LAMS--1199
c.3

CIC-14 REPORT COLLECTION
REPRODUCTION
COPY

LOS ALAMOS SCIENTIFIC LABORATORY

OF THE

UNIVERSITY OF CALIFORNIA

CONTRACT W-7405-ENG. 36 WITH

U. S. ATOMIC ENERGY COMMISSION



LOS ALAMOS SCIENTIFIC LABORATORY

of the

UNIVERSITY OF CALIFORNIA

Report written:
January 2, 1953

LAMS-1199

Report distributed: APR 1 1953

TABLES OF THE COMPTON EFFECT CROSS SECTIONS AND ENERGIES

Work done by:

C. Ann Burton
Ralph Eikelberger
William Lane
Donald Leman
Harris Mayer
Seymour Parter
Stewart Schlesinger

Report written by:

C. Ann Burton
Harris Mayer

All Los Alamos reports present the opinions of the author or authors and do not necessarily reflect the views of the Los Alamos Scientific Laboratory. Furthermore, this LAMS report has not been prepared for general distribution. It is accordingly requested that no distribution be made without the permission of the Director's Office of the Laboratory.

LOS ALAMOS NATL. LAB. LIBS.
3 9338 00310 7413

PHYSICS

TABLE OF CONTENTS

1. Introduction - iv

2. Table A: Collision variables and Jacobians - - - - - - - xvii

3. Table B: Sample errors from interpolation - - - - - - - xviii

4. Table I: $\sigma_1(w,\phi)$ vs. w - - - - - - - - - - - - - - - - - 1

The differential cross-section per unit solid angle of the scattered photon at regular intervals of w, the cosine of the angle of scattering, and $\gamma^{(*)}$ the energy of the incident photon (equation 8). Related variables and cross-sections.

Intervals in γ			Intervals in w		
0.0	(0.1)	2.0	-1.00	(0.1)	0.30
2.0	(0.5)	3.0	0.30	(0.05)	0.60
			0.60	(0.02)	1.00
3.0	(0.5)	10.0	-1.00	(0.1)	0.60
10.0	(1.0)	20.0	0.60	(0.02)	0.90
20.0	(2.0)	50.0	0.90	(0.01)	1.00

5. Table II. $\sigma_3(\gamma')$ vs. γ' - - - - - - - - - - - - - - - - 63

The differential cross-section per unit energy of the scattered photon at regular intervals of γ', the energy of the scattered photon, and of γ, the energy of the incident photon (Equation 11). Related variables and cross-sections.

Intervals in γ			Intervals in γ'		
0.1	(0.1)	1.0	Assorted Intervals		
1.0	(0.1)	2.0	γ min	(0.005)	0.40
			0.40	(0.01)	0.70
			0.70	(0.05)	γ
2.0	(0.5)	10.0	Assorted Intervals		
10.0	(1.0)	20.0	γ min	(0.05)	2.0
20.0	(2.0)	50.0	2.0	(0.50)	10.0
			10.0	(2.00)	γ

(*) All energies are measured in units of mc^2, the rest energy of the electron.

6. Table III. $\sigma_4(w',\phi')$ vs. w' - - - - - - - - - - - - - - - - - 173

The differential cross-section per unit solid angle of the recoil electron at regular intervals of w', the cosine of the recoil angle, and of γ the energy of the incident photon (Equation 13). Related variables and cross-sections.

Intervals in γ	Intervals in w'
0.0 (0.1) 2.0	1.00 (0.01) 0.90 0.90 (0.02) 0.80 0.80 (0.05) 0.00
2.0 (0.5) 10.0	1.000 (0.002) 0.990 0.99 (0.01) 0.80 0.80 (0.05) 0.00
10.0 (2.0) 50.0	1.000 (0.001) 0.990 .990 (0.005) 0.900 0.90 (0.05) 0.00

7. Table IV: $\sigma(\gamma_1' \rightarrow \gamma)$, $E_q(\gamma_1' \rightarrow \gamma)$, $E_e(\gamma_1' \rightarrow \gamma)$ vs. γ_1' - - - 230

The integrated cross-section, the energy in scattered photons, and the energy in recoil electrons for processes in which the scattered photon retains an energy between γ_1' and γ. The intervals in γ_1' and γ are the same as in Table II.

8. Table V: $\sigma_1(w,\phi)$ vs. w - - - - - - - - - - - - - - - - - - - 343

Shorter version of Table I

9. Table VI: $\sigma_3(\gamma')$ vs. γ' - - - - - - - - - - - - - - - - - 350

Shorter version of Table II

10. Table VII: $\sigma_4(w',\phi)$ vs. w' - - - - - - - - - - - - - - - - - 364

Shorter version of Table III

11. Table VIII: The total cross-section and energies as a function of γ, the energy of the incident photon - - - 370

Intervals in γ
0.0 (0.1) 2.0
2.0 (0.5) 10.0
10.0 (1.0) 30.0
30.0 (2.0) 50.0
50.0 (5.0) 100.0

INTRODUCTION

This report gives tables for the Compton scattering of a light quantum by an electron at rest. The tables are computed from the Klein-Nishina formula, as recorded, for example, by Heitler[1].

Computations were carried out on the International Business Machine Card Programmed Electronic Calculator at Los Alamos by the computing group of the Theoretical Division. The services of Seymour Parter, Stewart Schlesinger, Ralph Eikelberger, Donald Leman and William Lane in this regard are sincerely appreciated. Finally the great bulk of the task of organizing the computation and preparing the tables for publication has been done by C. Ann Burton.

A. THE COLLISION VARIABLES

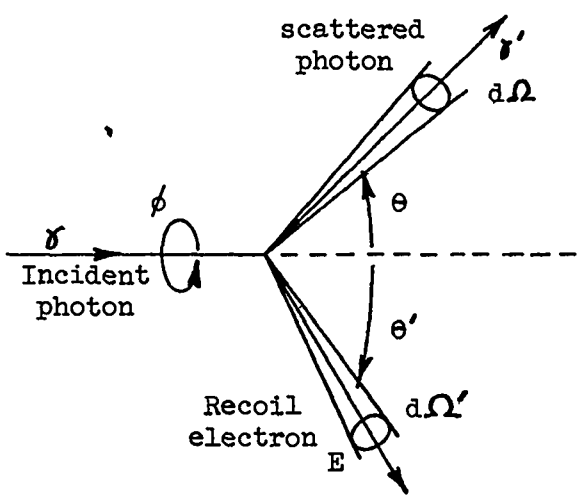
We consider a Compton collision in which a photon with energy γ[2] strikes an electron initially at rest. The collision is illustrated

---

[1] W. Heitler, The Quantum Theory of Radiation, Oxford, Second Edition 1944, p. 155. The Klein-Nishina formula does not include the radiative corrections of the new quantum electrodynamics. These corrections are of the order of $e^2/\hbar c$ compared to the terms computed here and are negative in sign. See M. Brown and R. P. Feynman, "Radiative Corrections to Compton Scattering", Physical Review 85, pp. 231-245, January 15, 1952.

[2] Throughout this paper energies will be given in units of mc^2, the rest energy of the electron.

Fig. 1



in Fig. 1. Conservation of energy and momentum gives the following results: a) The collision occurs in a plane. b) If the photon is scattered through an angle θ, its energy will be reduced to

$$\gamma' = \frac{\gamma}{1 + \gamma(1-\cos\theta)} \quad . \tag{1}$$

c) The electron will consequently acquire an energy

$$E = \gamma - \gamma' \quad , \tag{2}$$

and will make an angle θ' with the direction of the incident photon such that

$$\cot\theta' = (1+\gamma)\tan\frac{\theta}{2} \quad . \tag{3}$$

d) The azimuthal angle ϕ of the scattered photon, and ϕ' of the recoil electron, referred to an arbitrary zero, are related by

$$\phi' = \phi - \pi \quad . \tag{4}$$

Because of axial symmetry, however, none of the physical aspects of the collision depend upon the azimuths, and these generally need not be considered.

In the tables of this report, the energies γ, γ', and E, and the

cosines of the scattering angles

$$w = \cos\theta, \qquad w' = \cos\theta', \tag{5}$$

are used as variables. Given any two of these quantities, the remaining three may be found from equations (1), (2), and (3). For convenience these solutions are summarized in Table A at the end of this introduction. Only limited ranges of these variables, however, correspond to physically admissible collisions. For example, the collision angle for the photon lies between $\theta=0^{\circ}$ corresponding to extreme forward scattering and $\theta=180^{\circ}$ corresponding to extreme backward scattering. The permissible ranges of the variables for a given energy γ of the incident photon are--

Extreme backward scattering of photon				Extreme forward scattering of photon
-1	$\leq$	w	$\leq$	1
$\frac{\gamma}{1+2\gamma}$	$\leq$	γ'	$\leq$	γ
1	$\geq$	w'	$\geq$	0
$\frac{2\gamma^2}{1+2\gamma}$	$\geq$	E	$\geq$	0

B. DIFFERENTIAL CROSS-SECTIONS

The natural unit for measuring Compton cross-sections is the Thomson cross-section for the electron,

$$\phi_o = \frac{8\pi}{3}\left[\frac{e^2}{mc^2}\right]^2 = .6654 \times 10^{-24} \text{ cm.}^2 \tag{7}$$

The cross-section for scattering an unpolarized beam of photons through an angle $\theta(w=\cos\theta)$, into the solid angle $d\Omega = dwd\phi$ is

$$\sigma_1(w,\phi)dwd\phi = \phi_o \frac{3}{16\pi}\left(\frac{\gamma'}{\gamma}\right)^2 \left[\frac{\gamma}{\gamma'} + \frac{\gamma'}{\gamma} + w^2-1\right] dwd\phi. \quad (8)$$

By transformation of variables and by integrations we can get cross-sections for other physical processes. The Jacobians for these transformations are listed in Table A. Thus by integrating (8) over ϕ we get the cross-section for scattering into the region between two cones of half angle θ and $\theta+d\theta$ as

$$\sigma_2(w)dw = \int_{\phi=0}^{2\pi} \sigma_1(w,\phi)dwd\phi = 2\pi\sigma_1(w,\phi)dw. \quad (9)$$

Changing variable in (9) from w to γ', we obtain the cross-section for scattering a photon into the energy range from γ' to $\gamma'+d\gamma'$,

$$\sigma_3(\gamma')d\gamma' = \sigma_2\left[w(\gamma')\right]\left|\frac{dw}{d\gamma'}\right| d\gamma' = \sigma_2(w)dw, \quad (10)$$

which, by inserting the Jacobian $dw/d\gamma' = 1/\gamma'^2$ from Table A, gives

$$\sigma_3(\gamma')d\gamma' = \phi_o \frac{3}{8}\frac{1}{\gamma^2}\left[\frac{\gamma}{\gamma'} + \frac{\gamma'}{\gamma} + w^2-1\right] d\gamma'. \quad (11)$$

If the scattered photon is within the solid angle $d\Omega = dwd\phi$, the recoil electron will be in the corresponding solid angle $d\Omega' = dw'd\phi'$, where $\phi' = \phi-\pi$ and w' is related to w as shown in Table A. The cross-section for the electron recoiling into $d\Omega'$ is, therefore,

$$\sigma_4(w',\phi')d\Omega' = \sigma_1\left[w(w'),\phi(\phi')\right] \left|\frac{\partial(w,\phi)}{\partial(w',\phi')}\right| d\Omega' = \sigma_1(w,\phi)d\Omega. \quad (12)$$

The Jacobian for the transformation from the variables w,ϕ to w',ϕ' is given in Table A, and so we obtain

$$\sigma_4(w',\phi')dw'd\phi' =$$

$$\phi_o \frac{3}{16\pi}\left(\frac{\gamma'}{\gamma}\right)^2\left[\frac{\gamma}{\gamma'}+\frac{\gamma'}{\gamma}+w^2-1\right]\frac{4(1+\gamma)^2 w'\,dw'd\phi'}{\left\{(1+\gamma)^2-\left[(1+\gamma)^2-1\right]w'^2\right\}^2}. \qquad (13)$$

As in equation (8), integration over the azimuthal angle ϕ' gives a factor 2π, and we can introduce as the cross-section for the electron recoiling between two cones of half angles θ' and $\theta'+d\theta'$

$$\sigma_5(w')dw' = \int_o^{2\pi}\sigma_4(w',\phi')dw'd\phi' = 2\pi\sigma_4(w',\phi')dw'. \qquad (14)$$

Finally, the cross-section for finding the recoil electron with energy between E and E+dE may be obtained from (11) by transforming from the variable γ' to E. Thus, since $\partial E/\partial\gamma' = -1$, we obtain

$$\sigma_6(E)dE = \sigma_3\left[\gamma'(E)\right]\left|\frac{d\gamma'}{dE}\right|dE = \sigma_3(\gamma')d\gamma'. \qquad (15)$$

The six differential cross-sections introduced are related so that

$$2\pi\sigma_1(w,\phi)dw = \sigma_2(w)dw = \sigma_3(\gamma')d\gamma' =$$

$$2\pi\sigma_4(w',\phi')dw' = \sigma_5(w')dw' = \sigma_6(E)dE. \qquad (16)$$

In the tables σ_1, σ_3, and σ_4 are listed; the remaining cross-sections may be readily obtained using (15) and (16).

C. INTEGRATED CROSS-SECTIONS

We term the cross-section for scattering into a finite range the integrated cross-section. For example, the integrated cross-section for scattering a photon so that its final energy lies between γ_1' and γ_2' is $\Phi_3(\gamma_1' \to \gamma_2') = \int_{\gamma_1'}^{\gamma_2'} \sigma_3(\gamma')d\gamma'$. Similar integrated cross-sections could be defined for the scattered photon being in the angular interval w_1 to w_2, or the recoil electron being in the angular interval w_1' to w_2' or having energy between E_1 and E_2. Because of (16), however, there is a simple relationship among all these cross-sections, and it is sufficient merely to consider Φ_3. It is clear, furthermore, that we need tabulate only the integral $\Phi_3(\gamma_1' \to \gamma)$ from a variable lower limit to the fixed upper limit γ, for then the integral between any two limits may be obtained by subtraction. The required integration can be performed analytically, giving

$$\Phi_3(\gamma_1' \to \gamma) = \int_{\gamma_1'}^{\gamma} \sigma_3(\gamma')d\gamma' =$$

$$\phi_o \frac{3}{8\gamma^2}\left\{\left(\frac{\gamma}{2}+2\right) - \frac{\gamma_1'^2}{2\gamma} - \left(\frac{2}{\gamma}+\frac{1}{\gamma^2}\right)\gamma_1' + \frac{1}{\gamma_1'} + \left(\gamma - 2 - \frac{2}{\gamma}\right)\ln\frac{\gamma}{\gamma_1'}\right\}. \qquad (17)$$

If the integration extends over the entire permissible range of

scattered energies from $\gamma_1' = \gamma/(1+2\gamma)$ up to γ, we get the total cross-section

$$\Phi = \phi_o \frac{3}{8\gamma^2}\left\{\frac{2\gamma^2(1+\gamma)}{(1+2\gamma)^2} + 4 + (\gamma - 2 - \frac{2}{\gamma})\ln(1+2\gamma)\right\}. \tag{18}$$

Tables of both $\Phi_3(\gamma_1' \rightarrow \gamma)$ and Φ are included in this report.

D. ENERGIES

Consider a beam with unit flux of incident photons of energy γ. The number of quanta per unit time scattered out of this beam into the energy interval γ_1' to γ_2' is just $\Phi_3(\gamma_1' \rightarrow \gamma_2')$. The energy scattered in the process is

$$E_t(\gamma_1' \rightarrow \gamma_2') = \int_{\gamma_1'}^{\gamma_2'} \gamma\sigma_3(\gamma')d\gamma'. \tag{19}$$

This energy is divided between the scattered photons, which are given the energy

$$E_q(\gamma_1' \rightarrow \gamma_2') = \int_{\gamma_1'}^{\gamma_2'} \gamma'\sigma_3(\gamma')d\gamma', \tag{20}$$

and the recoil electrons, which are given the energy

$$E_e(\gamma_1' \rightarrow \gamma_2') = \int_{\gamma_1'}^{\gamma_2'} E\sigma_3(\gamma')d\gamma'. \tag{21}$$

The average energy per scattered photon is then

$$\overline{E}_q(\gamma_1' \to \gamma_2') = \frac{E_q(\gamma_1' \to \gamma_2')}{\Phi_3(\gamma_1' \to \gamma_2')} , \tag{22}$$

and the average energy per recoil electron is

$$\overline{E}_e(\gamma_1' \to \gamma_2') = \frac{E_e(\gamma_1' \to \gamma_2')}{\Phi_3(\gamma_1' \to \gamma_2')} . \tag{23}$$

The fraction of the scattered energy in the form of photons is

$$F_q(\gamma_1' \to \gamma_2') = \frac{E_q(\gamma_1' \to \gamma_2')}{E_t(\gamma_1' \to \gamma_2')} , \tag{24}$$

and the fraction given to the recoil electrons is

$$F_e(\gamma_1' \to \gamma_2') = \frac{E_e(\gamma_1' \to \gamma_2')}{E_t(\gamma_1' \to \gamma_2')} . \tag{25}$$

Just as in the case of the integrated cross-sections, it is sufficient to tabulate the integrals from a variable lower limit γ_1' to the fixed upper limit γ. The integrals can all be done analytically. We have

$$E_t(\gamma_1' \to \gamma) = \gamma \Phi_3(\gamma_1' \to \gamma), \tag{26}$$

$$E_q(\gamma_1' \to \gamma) = \phi_o \frac{3}{8\gamma^2} \left\{ \left(\frac{4}{3}\gamma^2 - \gamma - \frac{3}{2} \right) - \frac{\gamma_1'^3}{3\gamma} - \left(\frac{2}{\gamma} + \frac{1}{\gamma^2} \right) \frac{\gamma_1'^2}{2} \right.$$
$$\left. - (\gamma - 2 - \frac{2}{\gamma})\gamma_1' + \ln \frac{\gamma}{\gamma_1} \right\} , \tag{27}$$

$$E_e(\gamma_1' \to \gamma) = E_t(\gamma_1' \to \gamma) - E_q(\gamma_1' \to \gamma) . \tag{28}$$

Values of the energies (27) and (28) are included in Table IV with values of the integrated cross-section (17).

Since the case where the scattered energy limits cover the entire permissible range is particularly important, a separate listing of it, Table VIII, is included in this report. The analytic forms for the various energies are obtained by substituting the minimum possible energy of the scattered photon, $\gamma'_1 = \gamma/(1+2\gamma)$, as the lower limit, and the maximum possible energy of the scattered photon, $\gamma'_2 = \gamma$, as the upper limit, in the preceding formulae. We have

$$E_t = E_t(\gamma/(1+2\gamma) \longrightarrow \gamma) = \gamma \Phi_I \ , \ (\Phi_I \text{ given by (18)}). \tag{29}$$

$$E_q = E_q(\gamma/(1+2\gamma) \longrightarrow \gamma) =$$

$$\phi_o \frac{3}{8} \left\{ \frac{\frac{32}{3}\gamma^3 + 4\gamma^2 - 12\gamma - 10 - \frac{2}{\gamma}}{(1+2\gamma)^3} + \frac{1}{\gamma^2} \ln(1+2\gamma) \right\}. \tag{30}$$

$$E_e = E_e(\gamma/(1+2\gamma) \longrightarrow \gamma) =$$

$$\phi_o \frac{3}{8} \left\{ \frac{-\frac{20}{3}\gamma^3 + 34\gamma^2 + 62\gamma + 34 + \frac{6}{\gamma}}{(1+2\gamma)^3} + \left(1 - \frac{2}{\gamma} - \frac{3}{\gamma^2}\right) \ln(1+2\gamma) \right\}. \tag{31}$$

Equations analogous to (22) to (25) give the average energies of scattered photon and electron as well as the fractional energy obtained by each.

E. DESCRIPTION OF THE TABLES

The differential cross-sections, integrated cross-sections, and the energies defined above have been computed using the IBM CPEC. The numerical results of such calculation are obtained in a so-called "floating decimal" notation, which, for reasons of mechanical convenience, has been retained in printing the tables. In this notation, a positive number N of the form

$$N = A \times 10^{p};\ 1 \leq A < 10.$$

is recorded in the tables by giving the digits of A followed by a space and then two digits $q = 50 + p$ representing the exponent.

Several examples are

Number	"Floating Decimal" Equivalent
1.732	1732 50
.001732	1732 47
47.59	4759 51

Negative numbers are indicated by the letter N or by an asterisk following the exponent. In some exceptional cases, readily discernible in the tables, ordinary decimal notation is used.

The differential cross-sections σ_1, σ_3, and σ_4 are each listed in two sets of tables. The second set, Tables V, VI, and VII, lists respectively $\sigma_1(w,\phi)$ vs. w, $\sigma_3(\gamma')$ vs. γ', and $\sigma_4(w',\phi)$ vs. w' all with γ, the energy of the incident quantum, as a parameter. The first set of tables, Tables I, II, and III, is an elaboration of the second. In each table, γ is considered as a parameter and one variable is taken at regular intervals; the other corresponding variables and dif-

ferential cross-sections are then calculated. For example, in Table I w is chosen at regular intervals. Next $\sigma_1(w,\phi)$ is listed. The values of γ' and E corresponding to w are found together with $\sigma_3(\gamma')$ in columns 3, 4, and 5. Lastly, w' and the associated $\sigma_4(w',\phi')$ for these values of w are recorded in columns 6 and 7. Thus all the parts of the Compton process can be related at a glance.

Table IV lists the integrated cross-section $\mathfrak{I}_3(\gamma_1' \rightarrow \gamma)$, (equation (17)); the energy of the scattered quantum $E_q(\gamma_1' \rightarrow \gamma)$, (equation (27)); and of the recoil electron $E_e(\gamma_1' \rightarrow \gamma)$, (equation (28)); all as a function of the lower limit of the scattered quantum energy γ_1', γ considered as a parameter. In an abbreviated table, Table VIII, the total cross-sections and total averaged energies are given for various γ.

F. RECOMMENDED INTERPOLATION PROCEDURE

Tables I and V: σ_1 as a function of γ and w.

Linear interpolation for intermediary values of γ is good to better than 1% for all γ. Linear interpolation for intermediary values of w is also good to better than 1% for all values of w provided that $\gamma < 10$. For large γ, errors in linear interpolation exceed 1% for values of w close to 1. In this range, however, we may use linear interpolation in Table III which lists σ_1 computed at very small, but unequal intervals in w.

Tables II and VI: σ_3 as a function of γ and γ'.

Linear interpolation for intermediary values of γ gives small errors for $\gamma > 1.0$. Errors increase to about 10% in going to $\gamma = 0.5$. For smaller values of γ the tables are not complete enough to make interpolation feasible and equation (11) must be used directly. Linear interpolation for intermediary values of γ' is good for all γ and γ'.

Tables III and VII: σ_4 as a function of γ and w'.

Linear interpolation for intermediary values of γ gives small errors throughout. It also is satisfactory for all intermediary values of w' provided that $\gamma < 1$. For $\gamma > 1$, interpolation errors become large at places in the tables where the interval in w' is increased and when w' is close to 1.0. At the former points, quadratic interpolation is necessary. At the latter values, one can refer to Table I where σ_4 is computed for small but unequal intervals of w' in this range.

Table IV: Integrated cross sections and energies.

Linear interpolation for intermediary values of γ gives errors less than 2% for all three integrals with the general error considerably smaller. Linear interpolation on γ' gives very small errors for all γ, except in the region of $\gamma' = \gamma$. The errors are still small, however, for the first two integrals. The large error in the third may be overcome by interpolating for the desired γ' in the first two integrals and applying equation (28).

Table VIII: Total cross-sections and energies.

This is a single entry table. Linear interpolation gives very small errors throughout.

Table B at the end of this introduction summarizes the interpolation errors in the several functions.

G. ASSYMPTOTIC FORMULAE FOR LARGE γ.

The tables do not list values of the functions for γ, the energy of the incident quantum, greater than 50. They may be computed by using the following formulae: For the total cross section, cf. equation (18),

$$\Phi(\gamma) = \phi_o \frac{3}{8} \left\{ \frac{1}{2\gamma} + \frac{9}{2\gamma^2} - \frac{5}{4\gamma^3} + O\left(\frac{1}{\gamma^4}\right) + \left(\frac{1}{\gamma} - \frac{2}{\gamma^2} - \frac{2}{\gamma^3}\right) \ln 2\gamma \right\}. \quad (32)$$

For the energy of the scattered quanta, cf. equation (30),

$$E_q = \phi_o \frac{3}{8} \left\{ \frac{4}{3} - \frac{3}{2\gamma} - \frac{1}{4\gamma^2} + O\left(\frac{1}{\gamma^3}\right) + \frac{1}{\gamma^2} \ln 2\gamma \right\}. \quad (33)$$

For the energy of the recoil electron, cf. equation (31),

$$E_e = \phi_o \frac{3}{8} \left\{ -\frac{5}{6} + \frac{6}{\gamma} - \frac{1}{\gamma^2} + O\left(\frac{1}{\gamma^3}\right) + \left(1 - \frac{2}{\gamma} - \frac{3}{\gamma^2}\right) \ln 2\gamma \right\}. \quad (34)$$

TABLE A: COLLISION VARIABLES AND JACOBIANS

	I	II	III
Independent Variables	γ, w	γ, γ'	γ, E
Dependent Variables	γ', E, w'	w, E, w'	γ', w, w'
Equations	$\gamma' = \frac{\gamma}{1+\gamma(1-w)}$	$w = 1 - \frac{1}{\gamma'} + \frac{1}{\gamma}$	$w = 1 - \frac{1}{\gamma'} + \frac{1}{\gamma}$
	$E = \gamma - \gamma'$	$E = \gamma - \gamma'$	$\gamma' = \gamma - E$
	$w' = \sqrt{\frac{(1+\gamma)^2(1-w)}{(1+\gamma)^2(1-w)+(1+w)}}$	$w' = \sqrt{\frac{(1+\gamma)^2(1-w)}{(1+\gamma)^2(1-w)+(1+w)}}$	$w' = \sqrt{\frac{(1+\gamma)^2(1-w)}{(1+\gamma)^2(1-w)+(1+w)}}$
Jacobians		$\frac{\partial \gamma'}{\partial w} = \gamma'^2$	$\frac{\partial E}{\partial \gamma'} = -1$

	IV	V	VI
Independent Variables	γ, w'	γ', w	γ', E
Dependent Variables	w, γ', E	γ, E, w'	γ, w, w'
	$\gamma' = \frac{\gamma}{1+\gamma(1-w)}$	$\gamma = \frac{\gamma'}{1-\gamma'(1-w)}$	$\gamma = \gamma' + E$
Equations	$E = \gamma - \gamma'$	$E = \gamma - \gamma'$	$w = 1 - \frac{1}{\gamma'} + \frac{1}{\gamma}$
	$w = \frac{(1+\gamma)^2 - w'^2\left[(1+\gamma)^2+1\right]}{(1+\gamma)^2 - w'^2\left[(1+\gamma)^2-1\right]}$	$w' = \sqrt{\frac{(1+\gamma)^2(1-w)}{(1+\gamma)^2(1-w)+(1+w)}}$	$w' = \sqrt{\frac{(1+\gamma)^2(1-w)}{(1+\gamma)^2(1-w)+(1+w)}}$
Jacobians	$\frac{\partial(w,\phi)}{\partial(w',\phi')} = \frac{-4(1+\gamma)^2 w'}{\left\{(1+\gamma)^2 - \left[(1+\gamma)^2-1\right]w'^2\right\}^2}$		

TABLE B

Sample Errors in Interpolation Procedure

γ	Range of w	% error in σ_1	γ'	% error in σ_3	Range of w'	% error in σ_4
.1	-1.00 - .30	.26	.086	1.4	1.00 - .90	.05
	.35 - .60	.06	.092	1.3	.88 - .80	.17
	.62 - 1.00	.008			.75 - .00	.62
1.0	-1.00 - .30	.39	.34	.03	1.00 - .90	.45
	.35 - .60	.12	.41	.08	.88 - .80	.35
	.62 - 1.00	.02	.95	.006	.75 - .00	.22
10.0	-1.00 - .60	.84	.55	.28	1.00 - .95	.17[2]
	.62 - .90	.29	2.5	1.00		
	.91 - 1.00	.18[1]	9.5	.03	.75	.33[3]
50.0	-1.00 - .60	.96	.55	.22	1.00 - .990	.10[2]
	.62 - .95	.58	2.50	1.05	.985	1.00[3]
	.95 - 1.00	.27[1]	12.0	.67	.75	.33[3]

1 From Table III

2 From Table I

3 Quadratic Interpolation

Compton Cross Sections vs. Angle of Scattered Quantum

00 00 = γ / w	$\frac{\sigma_1(w,\phi)}{\phi_0}$	γ'	$\frac{\sigma_3(\gamma')}{\phi_0}$	E	w'	$\frac{\sigma_4(w',\phi)}{\phi_0}$
10 50N	1193662 49	0000000 00	INF	0000000 00	1000000 50	4774648 49
90 49N	1080264 49	0000000 00	INF	0000000 00	9746794 49	4211645 49
80 49N	9788028 48	0000000 00	INF	0000000 00	9486833 49	3714295 49
70 49N	8892782 48	0000000 00	INF	0000000 00	9219544 49	3279496 49
60 49N	8116902 48	0000000 00	INF	0000000 00	8944271 49	2903991 49
50 49N	7460387 48	0000000 00	INF	0000000 00	8660254 49	2584354 49
40 49N	6923239 48	0000000 00	INF	0000000 00	8366600 49	2316959 49
30 49N	6505458 48	0000000 00	INF	0000000 00	8062257 49	2097947 49
20 49N	6207042 48	0000000 00	INF	0000000 00	7745966 49	1923181 49
10 49N	6027993 48	0000000 00	INF	0000000 00	7416198 49	1788191 49
00 00	5968310 48	0000000 00	INF	0000000 00	7071067 49	1688093 49
10 49	6027993 48	0000000 00	INF	0000000 00	6708203 49	1617480 49
20 49	6207042 48	0000000 00	INF	0000000 00	6324555 49	1570271 49
30 49	6505458 48	0000000 00	INF	0000000 00	5916079 49	1539472 49
35 49	6699428 48	0000000 00	INF	0000000 00	5700877 49	1527704 49
40 49	6923239 48	0000000 00	INF	0000000 00	5477225 49	1516805 49
45 49	7176893 48	0000000 00	INF	0000000 00	5244044 49	1505437 49
50 49	7460387 48	0000000 00	INF	0000000 00	5000000 49	1492077 49
55 49	7773724 48	0000000 00	INF	0000000 00	4743416 49	1474960 49
60 49	8116902 48	0000000 00	INF	0000000 00	4472135 49	1451995 49
62 49	8262528 48	0000000 00	INF	0000000 00	4358898 49	1440621 49
64 49	8412930 48	0000000 00	INF	0000000 00	4242640 49	1427721 49
66 49	8568106 48	0000000 00	INF	0000000 00	4123105 49	1413088 49
68 49	8728057 48	0000000 00	INF	0000000 00	4000000 49	1396489 49
70 49	8892782 48	0000000 00	INF	0000000 00	3872983 49	1377663 49
72 49	9062282 48	0000000 00	INF	0000000 00	3741657 49	1356318 49
74 49	9236557 48	0000000 00	INF	0000000 00	3605551 49	1332115 49
76 49	9415606 48	0000000 00	INF	0000000 00	3464101 49	1304664 49
78 49	9599430 48	0000000 00	INF	0000000 00	3316624 49	1273508 49
80 49	9788028 48	0000000 00	INF	0000000 00	3162277 49	1238098 49
82 49	9981402 48	0000000 00	INF	0000000 00	3000000 49	1197768 49
84 49	1017955 49	0000000 00	INF	0000000 00	2828427 49	1151684 49
86 49	1038247 49	0000000 00	INF	0000000 00	2645751 49	1098777 49
88 49	1059017 49	0000000 00	INF	0000000 00	2449489 49	1037620 49
90 49	1080264 49	0000000 00	INF	0000000 00	2236068 49	9662176 48
92 49	1101988 49	0000000 00	INF	0000000 00	2000000 49	8815910 48
94 49	1124190 49	0000000 00	INF	0000000 00	1732050 49	7788623 48
96 49	1146870 49	0000000 00	INF	0000000 00	1414213 49	6487679 48
98 49	1170027 49	0000000 00	INF	0000000 00	1000000 49	4680110 48
10 50	1193662 49	0000000 00	INF	0000000 00	0000000 00	0000000 00

Compton Cross Sections vs. Angle of Scattered Quantum

10 49 = γ W	$\frac{\sigma_1(w,\phi)}{\phi_0}$	γ'	$\frac{\sigma_2(\gamma')}{\phi_0}$	E	w'	$\frac{\sigma_4(w',\phi)}{\phi_0}$
10 50N	8427475 48	8333333 48	7624999 51	1666667 48	1000000 50	4078897 49
90 49N	7756300 48	8403361 48	6901260 51	1596639 48	9789361 49	3611471 49
80 49N	7147302 48	8474576 48	6252966 51	1525424 48	9570244 49	3196712 49
70 49N	6603992 48	8547008 48	5680128 51	1452991 48	9341946 49	2832550 49
60 49N	6130066 48	8620689 48	5182758 51	1379310 48	9103664 49	2516759 49
50 49N	5729420 48	8695652 48	4760869 51	1304348 48	8854475 49	2246933 49
40 49N	5406165 48	8771929 48	4414473 51	1228070 48	8593300 49	2020462 49
30 49N	5164632 48	8849557 48	4143584 51	1150442 48	8318875 49	1834499 49
20 49N	5009389 48	8928571 48	3948214 51	1071429 48	8029696 49	1685913 49
10 49N	4945258 48	9009009 48	3828378 51	9909910 47	7723946 49	1571238 49
00 00	4977328 48	9090909 48	3784090 51	9090910 47	7399400 49	1486592 49
10 49	5110971 48	9174311 48	3815367 51	8256880 47	7053279 49	1427580 49
20 49	5351860 48	9259259 48	3922222 51	7407410 47	6682024 49	1389139 49
30 49	5705991 48	9345794 48	4104672 51	6542060 47	6280955 49	1365323 49
35 49	5927488 48	9389671 48	4224251 51	6103290 47	6067334 49	1356716 49
40 49	6179698 48	9433962 48	4362735 51	5660380 47	5843683 49	1348947 49
45 49	6463472 48	9478673 48	4520127 51	5213270 47	5608768 49	1340831 49
50 49	6779681 48	9523809 48	4696428 51	4761900 47	5361072 49	1331005 49
55 49	7129222 48	9569378 48	4891641 51	4306220 47	5098691 49	1317881 49
60 49	7513021 48	9615384 48	5105769 51	3846150 47	4819187 49	1299566 49
62 49	7676344 48	9633911 48	5196716 51	3660890 47	4701903 49	1290285 49
64 49	7845363 48	9652509 48	5290691 51	3474900 47	4581124 49	1279637 49
66 49	8020138 48	9671179 48	5387692 51	3288200 47	4456564 49	1267431 49
68 49	8200734 48	9689922 48	5487721 51	3100770 47	4327892 49	1253455 49
70 49	8387216 48	9708737 48	5590776 51	2912620 47	4194726 49	1237469 49
72 49	8579647 48	9727626 48	5696860 51	2723730 47	4056622 49	1219205 49
74 49	8778094 48	9746588 48	5805970 51	2534110 47	3913052 49	1198354 49
76 49	8982623 48	9765625 48	5918109 51	2343750 47	3763388 49	1174556 49
78 49	9193302 48	9784735 48	6033276 51	2152640 47	3606865 49	1147393 49
80 49	9410197 48	9803921 48	6151470 51	1960780 47	3442546 49	1116361 49
82 49	9633378 48	9823182 48	6272693 51	1768170 47	3269250 49	1080847 49
84 49	9862915 48	9842519 48	6396945 51	1574800 47	3085459 49	1040090 49
86 49	1009887 49	9861932 48	6524224 51	1380670 47	2889168 49	9931067 48
88 49	1034133 49	9881422 48	6654533 51	1185770 47	2677622 49	9385914 48
90 49	1059036 49	9900990 48	6787871 51	9901000 46	2446862 49	8747174 48
92 49	1084603 49	9920634 48	6924238 51	7936500 46	2190817 49	7987623 48
94 49	1110842 49	9940357 48	7063634 51	5964200 46	1899282 49	7062712 48
96 49	1137759 49	9960159 48	7206059 51	3984100 46	1552378 49	5887937 48
98 49	1165363 49	9980039 48	7351515 51	1996000 46	1098846 49	4251042 48
10 50	1193662 49	1000000 49	7500000 51	0000000 00	0000000 00	0000000 00

Compton Cross Sections vs. Angle of Scattered Quantum

20 49 = γ W	$\frac{\sigma_1(W,\phi)}{\phi_0}$	γ'	$\frac{\sigma_3(\gamma')}{\phi_0}$	E	W'	$\frac{\sigma_4(W';\phi)}{\phi_0}$
10 50N	6438119 48	1428571 49	1982142 51	5714286 48	1000000 50	3708356 49
90 49N	6000394 48	1449275 49	1794972 51	5507246 48	9823113 49	3291809 49
80 49N	5599466 48	1470588 49	1626838 51	5294118 48	9635179 49	2920618 49
70 49N	5239285 48	1492537 49	1477751 51	5074627 48	9438377 49	2593228 49
60 49N	4924184 48	1515151 49	1347727 51	4848485 48	9230769 49	2307932 49
50 49N	4658922 48	1538461 49	1236778 51	4615385 48	9011271 49	2062872 49
40 49N	4448729 48	1562500 49	1144921 51	4375000 48	8778622 49	1855989 49
30 49N	4299359 48	1587301 49	1072172 51	4126984 48	8531343 49	1685002 49
20 49N	4217143 48	1612903 49	1018548 51	3870968 48	8267673 49	1547367 49
10 49N	4209062 48	1639344 49	9840675 50	3606557 48	7985494 49	1440216 49
00 00	4282815 48	1666666 49	9687499 50	3333333 48	7682212 49	1360293 49
10 49	4446903 48	1694915 49	9726165 50	3050847 48	7354600 49	1303851 49
20 49	4710729 48	1724137 49	9956896 50	2758621 48	6998542 49	1266507 49
30 49	5084696 48	1754386 49	1037993 51	2456140 48	6608644 49	1243044 49
35 49	5316539 48	1769911 49	1066364 51	2300885 48	6398818 49	1234578 49
40 49	5580337 48	1785714 49	1099553 51	2142857 48	6177584 49	1227070 49
45 49	5877731 48	1801801 49	1137563 51	1981982 48	5943534 49	1219448 49
50 49	6210450 48	1818181 49	1180397 51	1818182 48	5694947 49	1210476 49
55 49	6580318 48	1834862 49	1228060 51	1651376 48	5429672 49	1198708 49
60 49	6989257 48	1851851 49	1280555 51	1481481 48	5144957 49	1182410 49
62 49	7164224 48	1858736 49	1302907 51	1412639 48	5024855 49	1174162 49
64 49	7345900 48	1865671 49	1326033 51	1343284 48	4900794 49	1164697 49
66 49	7534425 48	1872659 49	1349934 51	1273408 48	4772455 49	1153838 49
68 49	7729938 48	1879699 49	1374609 51	1203008 48	4639468 49	1141389 49
70 49	7932584 48	1886792 49	1400058 51	1132075 48	4501406 49	1127132 49
72 49	8142510 48	1893939 49	1426284 51	1060606 48	4357775 49	1110816 49
74 49	8359866 48	1901140 49	1453284 51	9885930 47	4207986 49	1092158 49
76 49	8584806 48	1908396 49	1481061 51	9160310 47	4051342 49	1070825 49
78 49	8817488 48	1915708 49	1509613 51	8429120 47	3886995 49	1046430 49
80 49	9058072 48	1923076 49	1538942 51	7692310 47	3713906 49	1018510 49
82 49	9306723 48	1930501 49	1569047 51	6949810 47	3530769 49	9864980 48
84 49	9563608 48	1937984 49	1599930 51	6201550 47	3335908 49	9496901 48
86 49	9828900 48	1945525 49	1631590 51	5447470 47	3127109 49	9071818 48
88 49	10010277 49	1953125 49	1664027 51	4687500 47	2901339 49	8577683 48
90 49	10385411 49	1960784 49	1697242 51	3921570 47	2654243 49	7997676 48
92 49	10676999 49	1968503 49	1731236 51	3149610 47	2379154 49	7306736 48
94 49	10977711 49	1976284 49	1766008 51	2371540 47	2064877 49	6463891 48
96 49	11287755 49	1984127 49	1801559 51	1587300 47	1689638 49	5391492 48
98 49	11607320 49	1992031 49	1837889 51	7968100 46	1197368 49	3894672 48
10 50	11936620 49	2000000 49	1875000 51	0000000 00	0000000 00	0000000 00

30 49 = γ	$\sigma_1(w,\phi)$	γ'	$\sigma_3(\gamma')$	E	w'	$\sigma_4(w',\phi)$
w	ϕ_0		ϕ_0			ϕ_0
10 50N	5187300 48	1875000 49	9270833 50	1125000 49	1000000 50	3506615 49
90 49N	4883662 48	1910828 49	8403927 50	1089172 49	9847830 49	3119736 49
80 49N	4603699 48	1948052 49	7622294 50	1051948 49	9686638 49	2773443 49
70 49N	4351052 48	1986755 49	6926048 50	1013245 49	9515525 49	2466496 49
60 49N	4129849 48	2027027 49	6315315 50	9729730 48	9333456 49	2197523 49
50 49N	3944776 48	2068965 49	5790229 50	9310345 48	9139230 49	1965001 49
40 49N	3801158 48	2112676 49	5350939 50	8873239 48	8931446 49	1767231 49
30 49N	3705055 48	2158273 49	4997602 50	8417266 48	8708448 49	1602307 49
20 49N	3663379 48	2205882 49	4730392 50	7941176 48	8468261 49	1468075 49
10 49N	3684027 48	2255639 49	4549498 50	7443609 48	8208500 49	1362082 49
00 00	3776036 48	2307692 49	4455128 50	6923077 48	7926239 49	1281507 49
10 49	3949769 48	2362204 49	4447506 50	6377953 48	7617826 49	1223067 49
20 49	4217143 48	2419354 49	4526881 50	5806452 48	7278602 49	1182881 49
30 49	4591886 48	2479338 49	4693526 50	5206612 48	6902461 49	1156277 49
35 49	4824383 48	2510460 49	4809667 50	4895398 48	6698074 49	1146318 49
40 49	5089856 48	2542372 49	4947739 50	4576271 48	6481124 49	1137479 49
45 49	5390681 48	2575107 49	5107787 50	4248927 48	6250026 49	1128782 49
50 49	5729420 48	2608695 49	5289854 50	3913043 48	6002842 49	1119094 49
55 49	6108839 48	2643171 49	5493988 50	3568282 48	5737155 49	1107084 49
60 49	6531917 48	2678571 49	5720237 50	3214286 48	5449883 49	1091153 49
62 49	6714087 48	2692998 49	5816942 50	3070018 48	5328066 49	1083258 49
64 49	6903973 48	2707581 49	5917196 50	2924188 48	5201849 49	1074279 49
66 49	7101799 48	2722323 49	6021004 50	2776769 48	5070875 49	1064055 49
68 49	7307797 48	2737226 49	6128369 50	2627737 48	4934732 49	1052403 49
70 49	7522207 48	2752293 49	6239296 50	2477064 48	4792949 49	1039120 49
72 49	7745274 48	2767527 49	6353788 50	2324723 48	4644973 49	1023976 49
74 49	7977255 48	2782931 49	6471849 50	2170687 48	4490157 49	1006705 49
76 49	8218412 48	2798507 49	6593482 50	2014925 48	4327727 49	987 0009 48
78 49	8469017 48	2814258 49	6718692 50	1857411 48	4156748 49	9645036 48
80 49	8729350 48	2830188 49	6847484 50	1698113 48	3976074 49	9387828 48
82 49	8999702 48	2846299 49	6979860 50	1537002 48	3784268 49	9093145 48
84 49	9280373 48	2862595 49	7115827 50	1374046 48	3579488 49	8754458 48
86 49	9571671 48	2879078 49	7255387 50	1209213 48	3359306 49	8363380 48
88 49	9873917 48	2895752 49	7398545 50	1042471 48	3120399 49	7908755 48
90 49	1018744 49	2912621 49	7545307 50	8737860 47	2858005 49	7375008 48
92 49	1051258 49	2929687 49	7695677 50	7031250 47	2564846 49	6738951 48
94 49	1084970 49	2946954 49	7849659 50	5304520 47	2228717 49	5962691 48
96 49	1119016 49	2964426 49	8007259 50	3557310 47	1825921 49	4974455 48
98 49	1156133 49	2982107 49	8168482 50	1789260 47	1295538 49	3594216 48
10 50	1193662 49	3000000 49	8333333 50	0000000 00	0000000 00	0000000 00

Compton Cross Sections vs. Angle of Scattered Quantum

40 49 = γ w	$\sigma_1(w,\phi)/\phi_0$	γ′	$\sigma_3(\gamma')/\phi_0$	E	w′	$\sigma_4(w',\phi)/\phi_0$
10 50N	4339100 48	2222222 49	5520833 50	1777777 49	1000000 50	3401855 49
90 49N	4119748 48	2272727 49	5011363 50	1727272 49	9868380 49	3033166 49
80 49N	3916593 48	2325581 49	4550145 50	1674418 49	9728062 49	2701658 49
70 49N	3732812 48	2380952 49	4137276 50	1619047 49	9578104 49	2406308 49
60 49N	3572101 48	2439024 49	3772865 50	1560975 49	9417419 49	2145972 49
50 49N	3438772 48	2500000 49	3457031 50	1500000 49	9244734 49	1919370 49
40 49N	3337862 48	2564102 49	3189903 50	1435897 49	9058554 49	1725058 49
30 49N	3275272 48	2631579 49	2971628 50	1368421 49	8857103 49	1561403 49
20 49N	3257927 48	2702702 49	2802364 50	1297297 49	8638245 49	1426537 49
10 49N	3293981 48	2777777 49	2682291 50	1222222 49	8399389 49	1318315 49
00 00	3393062 48	2857142 49	2611607 50	1142857 49	8137334 49	1234245 49
10 49	3566575 48	2941176 49	2590533 50	1058823 49	7848068 49	1171397 49
20 49	3828075 48	3030303 49	2619318 50	9696970 48	7526446 49	1126280 49
30 49	4193736 48	3125000 49	2698242 50	8750000 48	7165703 49	1094653 49
35 49	4421537 48	3174603 49	2756603 50	8253968 48	6967914 49	1082300 49
40 49	4682932 48	3225806 49	2827620 50	7741936 48	6756639 49	1071234 49
45 49	4980965 48	3278688 49	2911340 50	7213115 48	6530115 49	1060553 49
50 49	5318980 48	3333333 49	3007812 50	6666667 48	6286185 49	1049211 49
55 49	5700660 48	3389830 49	3117088 50	6101695 48	6022163 49	1035973 49
60 49	6130066 48	3448275 49	3239224 50	5517241 48	5734623 49	1019357 49
62 49	6316179 48	3472222 49	3291692 50	5277778 48	5612064 49	1011369 49
64 49	6510947 48	3496503 49	3346232 50	5034965 48	5484692 49	1002416 49
66 49	6714689 48	3521126 49	3402847 50	4788732 48	5352113 49	9923479 48
68 49	6927740 48	3546099 49	3461542 50	4539007 48	5213872 49	9809941 48
70 49	7150444 48	3571428 49	3522321 50	4285714 48	5069447 49	9681656 48
72 49	7383165 48	3597122 49	3585188 50	4028777 48	4918231 49	9536475 48
74 49	7626277 48	3623188 49	3650149 50	3768116 48	4759508 49	9371933 48
76 49	7880175 48	3649635 49	3717208 50	3503650 48	4592427 49	9185178 48
78 49	8145267 48	3676470 49	3786369 50	3235294 48	4415962 49	8972856 48
80 49	8421979 48	3703703 49	3857638 50	2962963 48	4228854 49	8730959 48
82 49	8710758 48	3731343 49	3931021 50	2686567 48	4029530 49	8454614 48
84 49	9012067 48	3759398 49	4006522 50	2406015 48	3815974 49	8137742 48
86 49	9326393 48	3787878 49	4084147 50	2121212 48	3585536 49	7772548 48
88 49	9654240 48	3816793 49	4163902 50	1832061 48	3334593 49	7348655 48
90 49	9996139 48	3846153 49	4245793 50	1538462 48	3057964 49	6851586 48
92 49	1035264 49	3875969 49	4329825 50	1240310 48	2747740 49	6259794 48
94 49	1072432 49	3906250 49	4416005 50	9375000 47	2390689 49	5538075 48
96 49	1111178 49	3937007 49	4504340 50	6299210 47	1961161 49	4619766 48
98 49	1151566 49	3968254 49	4594836 50	3174600 47	1393328 49	3337683 48
10 50	1193662 49	4000000 49	4687500 50	0000000 00	0000000 00	0000000 00

Compton Cross Sections vs. Angle of Scattered Quantum

50 49 = γ	$\frac{\sigma_1(w,\phi)}{\phi_0}$	γ'	$\frac{\sigma_2(\gamma')}{\phi_0}$	E	w'	$\frac{\sigma_4(w',\phi)}{\phi_0}$
w						
10 50N	3730194 48	2500000 49	3750000 50	2500000 49	1000000 50	3357174 49
90 49N	3567363 48	2564102 49	3409230 50	2435897 49	9885053 49	2999853 49
80 49N	3416181 48	2631579 49	3099473 50	2368421 49	9761870 49	2677129 49
70 49N	3279371 48	2702702 49	2820810 50	2297297 49	9629500 49	2388139 49
60 49N	3160175 48	2777777 49	2573333 50	2222222 49	9486833 49	2131915 49
50 49N	3062456 48	2857142 49	2357142 50	2142857 49	9332565 49	1907356 49
40 49N	2990836 48	2941176 49	2172353 50	2058823 49	9165121 49	1713216 49
30 49N	2950856 48	3030303 49	2019090 50	1969696 49	8982742 49	1548069 49
20 49N	2949184 48	3125000 49	1897500 50	1875000 49	8783100 49	1410273 49
10 49N	2993871 48	3225806 49	1807742 50	1774193 49	8563488 49	1297933 49
00 00	3094679 48	3333333 49	1750000 50	1666666 49	8320502 49	1205786 49
10 49	3263495 48	3448275 49	1724482 50	1551724 49	8049844 49	1140218 49
20 49	3514864 48	3571428 49	1731428 50	1428571 49	7745966 49	1089041 49
30 49	3866681 48	3703703 49	1771111 50	1296296 49	7401527 49	1051363 49
35 49	4086979 48	3773584 49	1803325 50	1226415 49	7211102 49	1036112 49
40 49	4341083 48	3846153 49	1843846 50	1153846 49	7006490 49	1022307 49
45 49	4632615 48	3921568 49	1892720 50	1078431 49	6785758 49	1009111 49
50 49	4965634 48	4000000 49	1950000 50	1000000 49	6546536 49	9955485 48
55 49	5344688 48	4081632 49	2015739 50	9183673 48	6285872 49	9804674 48
60 49	5774892 48	4166666 49	2090000 50	8333333 48	6000000 49	9624821 48
62 49	5962561 48	4201680 49	2122104 50	7983193 48	5877538 49	9541051 48
64 49	6159728 48	4237288 49	2155586 50	7627118 48	5749889 49	9448670 48
66 49	6366811 48	4273504 49	2190451 50	7264957 48	5616617 49	9346259 48
68 49	6584253 48	4310344 49	2226703 50	6896551 48	5477225 49	9232241 48
70 49	6812516 48	4347826 49	2264347 50	6521739 48	5331139 49	9104842 48
72 49	7052089 48	4385964 49	2303389 50	6140351 48	5177693 49	8962050 48
74 49	7303483 48	4424778 49	2343833 50	5752212 48	5016103 49	8801565 48
76 49	7567236 48	4464285 49	2385685 50	5357143 48	4845437 49	8620718 48
78 49	7843917 48	4504504 49	2428951 50	4954955 48	4664573 49	8416377 48
80 49	8134120 48	4545454 49	2473636 50	4545454 48	4472135 49	8184801 48
82 49	8438476 48	4587156 49	2519746 50	4128440 48	4266409 49	7921438 48
84 49	8757645 48	4629629 49	2567288 50	3703703 48	4045199 49	7620617 48
86 49	9092325 48	4672897 49	2616269 50	3271028 48	3805622 49	7275061 48
88 49	9443253 48	4716981 49	2666694 50	2830188 48	3543746 49	6875095 48
90 49	9811203 48	4761904 49	2718571 50	2380952 48	3253956 49	6407216 48
92 49	1019699 49	4807692 49	2771907 50	1923077 48	2927700 49	5851334 48
94 49	1060149 49	4854369 49	2826710 50	1456310 48	2550690 49	5174621 48
96 49	1102561 49	4901960 49	2882988 50	9803920 47	2095290 49	4314914 48
98 49	1147031 49	4950495 49	2940748 50	4950490 47	1490712 49	3116280 48
10 50	1193662 49	5000000 49	3000000 50	0000000 00	0000000 00	0000000 00

Compton Cross Sections vs. Angle of Scattered Quantum

60 49 = γ w	$\frac{\sigma_1(w,\phi)}{\phi_0}$	γ'	$\frac{\sigma_3(\gamma')}{\phi_0}$	E	w'	$\frac{\sigma_4(w',\phi)}{\phi_0}$
10 50N	32733780 48	27272720 49	27651510 50	32727270 49	10000000 50	33519390 49
90 49N	31503040 48	28037380 49	25180100 50	31962610 49	98987620 49	30016290 49
80 49N	30359820 48	28846150 49	22924680 50	31153840 49	97898040 49	26838740 49
70 49N	29327410 48	29702970 49	20885930 50	30297030 49	96721840 49	23979370 49
60 49N	28434050 48	30612240 49	19064620 50	29387750 49	95447990 49	21429800 49
50 49N	27714050 48	31578940 49	17461620 50	28421050 49	94063410 49	19180510 49
40 49N	27209230 48	32608690 49	16077890 50	27391300 49	92552500 49	17220580 49
30 49N	26970750 48	33707860 49	14914560 50	26292130 49	90896450 49	15537420 49
20 49N	27061460 48	34883720 49	13972860 50	25116270 49	89072350 49	14116430 49
10 49N	27558910 48	36144570 49	13254260 50	23855420 49	87051940 49	12940530 49
00 00	28559290 48	37500000 49	12760410 50	22500000 49	84799830 49	11989540 49
10 49	30182560 48	38961030 49	12493230 50	21038960 49	82270940 49	11239360 49
20 49	32579270 48	40540540 49	12454950 50	19459450 49	79406660 49	10660810 49
30 49	35939660 48	42253520 49	12648180 50	17746470 49	76128840 49	10217910 49
35 49	38054480 48	43165460 49	12832540 50	16834530 49	74302770 49	10033610 49
40 49	40505970 48	44117640 49	13075980 50	15882350 49	72329850 49	98652650 48
45 49	43335270 48	45112780 49	13378950 50	14887210 49	70189180 49	97050150 48
50 49	46589220 48	46153840 49	13741980 50	13846150 49	67855110 49	95437200 48
55 49	50321250 48	47244090 49	14165640 50	12755900 49	65295540 49	93705630 48
60 49	54592470 48	48387090 49	14650530 50	11612900 49	62469500 49	91725180 48
62 49	56467310 48	48859930 49	14861790 50	11140060 49	61252980 49	90828570 48
64 49	58444450 48	49342100 49	15083000 50	10657890 49	59981250 49	89854850 48
66 49	60529130 48	49833880 49	15314210 50	10166110 49	58649570 49	88790740 48
68 49	62726860 48	50335570 49	15555480 50	96644300 48	57252500 49	87621370 48
70 49	65043500 48	50847450 49	15806850 50	91525420 48	55783790 49	86330120 48
72 49	67485270 48	51369860 49	16068380 50	86301370 48	54236170 49	84898080 48
74 49	70058730 48	51903110 49	16340120 50	80968860 48	52601110 49	83303670 48
76 49	72770880 48	52447550 49	16622140 50	75524480 48	50868460 49	81521860 48
78 49	75629110 48	53003530 49	16914500 50	69964660 48	49026020 49	79523290 48
80 49	78641290 48	53571420 49	17217260 50	64285720 48	47058820 49	77272930 48
82 49	81815800 48	54151620 49	17530490 50	58483750 48	44948230 49	74728150 48
84 49	85161500 48	54744520 49	17854250 50	52554740 48	42670450 49	71835860 48
86 49	88687870 48	55350550 49	18188630 50	46494460 48	40194260 49	68527990 48
88 49	92404970 48	55970140 49	18533700 50	40298510 48	37477130 49	64714060 48
90 49	96323520 48	56603770 49	18889540 50	33962260 48	34458430 49	60267820 48
92 49	10045490 49	57251900 49	19256230 50	27480920 48	31046020 49	55001370 48
94 49	10481150 49	57915050 49	19633860 50	20849420 48	27086240 49	48607710 48
96 49	10940610 49	58593750 49	20022520 50	14062500 48	22282480 49	40505210 48
98 49	11425270 49	59288530 49	20422310 50	71146300 47	15876640 49	29234160 48
10 50	11936620 49	60000000 49	20833330 50	00000000 00	00000000 00	00000000 00

Compton Cross Sections vs. Angle of Scattered Quantum

70 49 = γ w	$\frac{\sigma_1(w,\phi)}{\phi_0}$	γ′	$\frac{\sigma_3(\gamma')}{\phi_0}$	E	w′	$\frac{\sigma_4(w',\phi)}{\phi_0}$
10 50N	2918531 48	2916666 49	2155612 50	4083333 49	1000000 50	3373822 49
90 49N	2824456 48	3004291 49	1966212 50	3995708 49	9910167 49	3027589 49
80 49N	2737222 48	3097345 49	1792712 50	3902654 49	9813137 49	2712246 49
70 49N	2658830 48	3196347 49	1635169 50	3803653 49	9707994 49	2427156 49
60 49N	2591745 48	3301886 49	1493646 50	3698113 49	9593655 49	2171590 49
50 49N	2539006 48	3414634 49	1368218 50	3585365 49	9468829 49	1944711 49
40 49N	2504380 48	3535353 49	1258967 50	3464646 49	9331970 49	1745557 49
30 49N	2492552 48	3664921 49	1165989 50	3335078 49	9181196 49	1573008 49
20 49N	2509381 48	3804347 49	1089396 50	3195652 49	9014203 49	1425755 49
10 49N	2562229 48	3954802 49	1029315 50	3045197 49	8828123 49	1302255 49
00 00	2660411 48	4117647 49	9858943 49	2882353 49	8619342 49	1200671 49
10 49	2815784 48	4294478 49	9593088 49	2705521 49	8383215 49	1118794 49
20 49	3043567 48	4487179 49	9497644 49	2512820 49	8113657 49	1053927 49
30 49	3363450 48	4697986 49	9575057 49	2302013 49	7802481 49	1002722 49
35 49	3565678 48	4810996 49	9679478 49	2189003 49	7627903 49	9809595 48
40 49	3801158 48	4929577 49	9828255 49	2070422 49	7438323 49	9609287 48
45 49	4074408 48	5054151 49	1002184 50	1945848 49	7231513 49	9418899 48
50 49	4390648 48	5185185 49	1026077 50	1814814 49	7004728 49	9229807 48
55 49	4755928 48	5323193 49	1054558 50	1676806 49	6754522 49	9031798 48
60 49	5177283 48	5468750 49	1087691 50	1531250 49	6476484 49	8812554 48
62 49	5363320 48	5529225 49	1102262 50	1470774 49	6356236 49	8715629 48
64 49	5560212 48	5591054 49	1117593 50	1408945 49	6230176 49	8611783 48
66 49	5768582 48	5654281 49	1133689 50	1345718 49	6097792 49	8499762 48
68 49	5989095 48	5718954 49	1150556 50	1281045 49	5958497 49	8378164 48
70 49	6222461 48	5785124 49	1168198 50	1214876 49	5811612 49	8245418 48
72 49	6469437 48	5852842 49	1186622 50	1147157 49	5656351 49	8099745 48
74 49	6730835 48	5922165 49	1205834 50	1077834 49	5491789 49	7939111 48
76 49	7007520 48	5993150 49	1225840 50	1006849 49	5316828 49	7761161 48
78 49	7300419 48	6065857 49	1246646 50	9341421 48	5130146 49	7563132 48
80 49	7610527 48	6140350 49	1268259 50	8596491 48	4930125 49	7341734 48
82 49	7938909 48	6216696 49	1290688 50	7833037 48	4714750 49	7092961 48
84 49	8286705 48	6294964 49	1313939 50	7050359 48	4481449 49	6811835 48
86 49	8655144 48	6375227 49	1338020 50	6247723 48	4226853 49	6491972 48
88 49	9045542 48	6457564 49	1362940 50	5424354 48	3946380 49	6124887 48
90 49	9459317 48	6542056 49	1388708 50	4579439 48	3633507 49	5698749 48
92 49	9897996 48	6628787 49	1415333 50	3712121 48	3278336 49	5195945 48
94 49	1036322 49	6717850 49	1442826 50	2821497 48	2864400 49	4587689 48
96 49	1085676 49	6809338 49	1471195 50	1906614 48	2359973 49	3819417 48
98 49	1138054 49	6903353 49	1500454 50	9664700 47	1684159 49	2754047 48
10 50	1193662 49	7000000 49	1530612 50	0000000 00	0000000 00	0000000 00

Compton Cross Sections vs. Angle of Scattered Quantum

80 49 = γ	$\sigma_1(w,\phi)$	γ'	$\sigma_3(\gamma')$	E	w'	$\sigma_4(w',\phi)$
w	ϕ_0		ϕ_0			ϕ_0
10 50N	26350075 48	3076923 49	17487980 50	4923077 49	1000000 50	3415057 49
90 49N	25627580 48	3174603 49	15977490 50	4825396 49	9919754 49	3070839 49
80 49N	24959880 48	3278688 49	14588880 50	4721311 49	9832820 49	2756120 49
70 49N	24364970 48	3389830 49	13322630 50	4610169 49	9738311 49	2470346 49
60 49N	23864470 48	3508771 49	12179270 50	4491228 49	9635179 49	2212877 49
50 49N	23485370 48	3636363 49	11159440 50	4363636 49	9522165 49	1982977 49
40 49N	23261560 48	3773584 49	10263850 50	4226415 49	9397752 49	1779786 49
30 49N	23235850 48	3921568 49	9493336 49	4078431 49	9260085 49	1602305 49
20 49N	23462530 48	4081632 49	8848852 49	3918367 49	9106874 49	1449353 49
10 49N	24010940 48	4255319 49	8331532 49	3744680 49	8935251 49	1319530 49
00 00	24970290 48	4444444 49	7942708 49	3555555 49	8741572 49	1211155 49
10 49	26456240 48	4651162 49	7683957 49	3348837 49	8521124 49	1122192 49
20 49	28620110 48	4878048 49	7557164 49	3121951 49	8267673 49	1050137 49
30 49	31661900 48	5128205 49	7564603 49	2871794 49	7972767 49	9918610 48
35 49	33592270 48	5263157 49	7619500 49	2736842 49	7806247 49	9666832 48
40 49	35848980 48	5405405 49	7709037 49	2594594 49	7624563 49	9433641 48
45 49	38480410 48	5555555 49	7833658 49	2444444 49	7425371 49	9212035 48
50 49	41543260 48	5714285 49	7993861 49	2285714 49	7205766 49	8993837 48
55 49	45104170 48	5882353 49	8190199 49	2117647 49	6962093 49	8769348 48
60 49	49241840 48	6060606 49	8423295 49	1939393 49	6689647 49	8526869 48
62 49	51078730 48	6134969 49	8526979 49	1865030 49	6571287 49	8421723 48
64 49	53029360 48	6211180 49	8636704 49	1788819 49	6446870 49	8310354 48
66 49	55100940 48	6289308 49	8752520 49	1710691 49	6315846 49	8191569 48
68 49	57301210 48	6369426 49	8874482 49	1630573 49	6177584 49	8064042 48
70 49	59638520 48	6451612 49	9002646 49	1548387 49	6031355 49	7926285 48
72 49	62121830 48	6535947 49	9137071 49	1464052 49	5876313 49	7776613 48
74 49	64760790 48	6622516 49	9277819 49	1377483 49	5711463 49	7613100 48
76 49	67565810 48	6711409 49	9424958 49	1288590 49	5535623 49	7433526 48
78 49	70548120 48	6802721 49	9578555 49	1197278 49	5347368 49	7235282 48
80 49	73719850 48	6896551 49	9738685 49	1103448 49	5144957 49	7015265 48
82 49	77094100 48	6993007 49	9905425 49	1006993 49	4926219 49	6769706 48
84 49	80685060 48	7092198 49	10078850 50	9078014 48	4688390 49	6493918 48
86 49	84508100 48	7194244 49	10259060 50	8057554 48	4427844 49	6181904 48
88 49	88579870 48	7299270 49	10446140 50	7007299 48	4139663 49	5825691 48
90 49	92918460 48	7407407 49	10640190 50	5925926 48	3816850 49	5414167 48
92 49	97543520 48	7518797 49	10841300 50	4812030 48	3448807 49	4930790 48
94 49	10247640 49	7633587 49	11049600 50	3664122 48	3017937 49	4348514 48
96 49	10774050 49	7751938 49	11265180 50	2480620 48	2490410 49	3616025 48
98 49	11336120 49	7874015 49	11488190 50	1259842 48	1780172 49	2604253 48
10 50	11936620 49	8000000 49	11718750 50	0000000 00	0000000 00	0000000 00

Compton Cross Sections vs. Angle of Scattered Quantum

90 49 = γ w	$\frac{\sigma_1(w,\phi)}{\phi_0}$	γ′	$\frac{\sigma_2(\gamma')}{\phi_0}$	E	w′	$\frac{\sigma_4(w',\phi)}{\phi_0}$
10 50N	2403419 48	3214285 49	1461640 50	5785714 49	1000000 50	3470537 49
90 49N	2347798 48	3321033 49	1337501 50	5678966 49	9927890 49	3126830 49
80 49N	2296830 48	3435114 49	1222999 50	5564885 49	9849570 49	2811443 49
70 49N	2252027 48	3557312 49	1118174 50	5442687 49	9764191 49	2523886 49
60 49N	2215296 48	3688524 49	1023072 50	5311475 49	9670745 49	2263597 49
50 49N	2189045 48	3829787 49	937462 49	5170212 49	9568015 49	2029920 49
40 49N	2176334 48	3982300 49	862582 49	5017699 49	9454525 49	1822089 49
30 49N	2181070 48	4147465 49	796803 49	4852534 49	9328462 49	1639205 49
20 49N	2208276 48	4326923 49	741068 49	4673076 49	9187575 49	1480200 49
10 49N	2264453 48	4522613 49	695076 49	4477387 49	9029025 49	1343796 49
00 00	2358087 48	4736842 49	660313 49	4263157 49	8849182 49	1228450 49
10 49	2500358 48	4972375 49	635402 49	4027624 49	8643311 49	1132280 49
20 49	2706146 48	5232558 49	621063 49	3767441 49	8405105 49	1052953 49
30 49	2995492 48	5521472 49	617596 49	3478527 49	8125935 49	987532 3 48
35 49	3179681 48	5678233 49	619636 4 49	3321766 49	7967368 49	9588987 48
40 49	3395742 48	5844155 49	6246993 49	3155844 49	7793608 49	9322423 48
45 49	3648763 48	6020066 49	6325908 49	2979933 49	7602211 49	9068978 48
50 49	3944776 48	6206896 49	6433588 49	2793103 49	7390143 49	8820862 48
55 49	4290972 48	6405693 49	6570573 49	2594306 49	7153559 49	8568827 48
60 49	4695959 48	6617647 49	6737472 49	2382352 49	6887494 49	8301713 48
62 49	4876669 48	6706408 49	6812761 49	2293591 49	6771410 49	8187670 48
64 49	5069173 48	6797583 49	6892995 49	2202416 49	6649067 49	8068023 48
66 49	5274287 48	6891271 49	6978225 49	2108729 49	6519879 49	7941638 48
68 49	5492892 48	6987577 49	7068506 49	2012422 49	6383174 49	7807249 48
70 49	5725942 48	7086614 49	7163896 49	1913385 49	6238176 49	7663440 48
72 49	5974470 48	7188498 49	7264453 49	1811501 49	6083978 49	7508612 48
74 49	6239599 48	7293354 49	7370244 49	1706645 49	5919518 49	7340938 48
76 49	6522545 48	7401315 49	7481335 49	1598684 49	5743528 49	7158309 48
78 49	6824632 48	7512520 49	7597798 49	1487479 49	5554485 49	6958257 48
80 49	7147302 48	7627118 49	7719711 49	1372881 49	5350520 49	6737847 48
82 49	7492125 48	7745266 49	7847153 49	1254733 49	5129310 49	6493523 48
84 49	7860814 48	7867132 49	7980212 49	1132867 49	4887889 49	6220862 48
86 49	8255241 48	7992895 49	8118979 49	1007104 49	4623376 49	5914214 48
88 49	8677454 48	8122743 49	8263551 49	8772563 48	4327505 49	5566076 48
90 49	9129697 48	8256880 49	8414033 49	7431193 48	3995796 49	5165990 48
92 49	9614430 48	8395522 49	8570536 49	6044776 48	3615933 49	4698395 48
94 49	1013435 49	8538899 49	8733178 49	4611006 48	3169161 49	4137830 48
96 49	1069245 49	8687258 49	8902087 49	3127413 48	2619506 49	3435946 48
98 49	1129200 49	8840864 49	9077399 49	1591356 48	1875680 49	2470938 48
10 50	1193662 49	9000000 49	9259259 49	0000000 00	0000000 00	0000000 00

Compton Cross Sections vs. Angle of Scattered Quantum

10 50 = γ w	$\frac{\sigma_1(w,\phi)}{\phi_0}$	γ'	$\frac{\sigma_3(\gamma')}{\phi_0}$	E	w'	$\frac{\sigma_4(w',\phi)}{\phi_0}$
10 50N	2210485 48	3333333 49	12500000 50	6666667 49	1000000 50	3536776 49
90 49N	2167914 48	3448275 49	11455560 50	6551724 49	9934852 49	3192456 49
80 49N	2129364 48	3571428 49	10489280 50	6428571 49	9863939 49	2875435 49
70 49N	2096170 48	3703703 49	9601389 49	6296296 49	9786452 49	2585286 49
60 49N	2070028 48	3846153 49	8792307 49	6153846 49	9701425 49	2321505 49
50 49N	2053098 48	4000000 49	8062500 49	6000000 49	9607689 49	2083509 49
40 49N	2048152 48	4166666 49	7412500 49	5833333 49	9503819 49	1870612 49
30 49N	2058765 48	4347826 49	6842934 49	5652174 49	9388055 49	1682002 49
20 49N	2089581 48	4545454 49	6354545 49	5454545 49	9258201 49	1516708 49
10 49N	2146684 48	4761904 49	5948214 49	5238095 49	9111469 49	1373562 49
00 00	2238116 48	5000000 49	5625000 49	5000000 49	8944271 49	1251145 49
10 49	2374620 48	5263157 49	5386184 49	4736842 49	8751899 49	1147710 49
20 49	2570712 48	5555555 49	5233333 49	4444444 49	8528028 49	1061078 49
30 49	2846275 48	5882352 49	5168382 49	4117647 49	8263938 49	0884887 48
35 49	3022103 48	6060606 49	5169602 49	3939394 49	8113124 49	0956382 6 48
40 49	3228949 48	6250000 49	5193750 49	3750000 49	7947194 49	0926365 2 48
45 49	3472081 48	6451612 49	5241229 49	3548387 49	7763631 49	0897802 0 48
50 49	3757825 48	6666666 49	5312500 49	3333333 3 49	7559269 49	0869948 6 48
55 49	4093807 48	6896551 49	5408082 49	3103448 49	7330166 49	0841920 0 48
60 49	4489283 48	7142857 49	5528571 49	2857143 49	7071067 49	0812647 0 48
62 49	4666582 48	7246376 49	5583891 49	2753623 49	6957560 49	0800304 3 48
64 49	4856009 48	7352941 49	5643352 49	2647059 49	6837634 49	0787456 9 48
66 49	5058467 48	7462686 49	5707007 49	2537313 49	6710671 49	0773996 2 48
68 49	5274938 48	7575757 49	5774909 49	2424242 49	6575959 49	0759801 2 48
70 49	5506493 48	7692307 49	5847115 49	2307692 49	6432675 49	0744736 6 48
72 49	5754297 48	7812500 49	5923687 49	2187500 49	6279858 49	0728649 8 48
74 49	6019628 48	7936507 49	6004690 49	2063492 49	6116377 49	0711366 7 48
76 49	6303878 48	8064516 49	6090193 49	1935484 49	5940885 49	0692686 6 48
78 49	6608576 48	8196721 49	6180270 49	1803279 49	5751756 49	0672375 3 48
80 49	6935397 48	8333333 49	6274999 49	1666667 49	5547002 49	0650154 2 48
82 49	7286180 48	8474576 49	6374466 49	1525424 49	5324139 49	0625686 4 48
84 49	7662949 48	8620689 49	6478758 49	1379310 49	5080005 49	0598554 2 48
86 49	8067932 48	8771929 49	6587973 49	1228070 49	4810456 49	0568223 7 48
88 49	8503591 48	8928571 49	6702214 49	1071429 49	4509876 49	0533987 4 48
90 49	8972643 48	9090909 49	6821590 49	0909091 0 48	4170288 49	0494859 8 48
92 49	9478100 48	9259259 49	6946222 49	0740741 0 48	3779644 49	0449374 3 48
94 49	1002329 49	9433962 49	7076235 49	0566038 0 48	3318007 49	0395130 9 48
96 49	1061195 49	9615384 49	7211769 49	0384615 0 48	2747211 49	0327566 1 48
98 49	1124819 49	9803921 49	7352970 49	0196078 0 48	1970658 49	0235162 7 48
10 50	1193662 49	1000000 50	7500000 49	0000000 00	0000000 00	0000000 00

Compton Cross Sections vs. Angle of Scattered Quantum

11 50 = γ	$\sigma_1(w,\phi)$	γ'	$\sigma_2(\gamma')$	E	w'	$\sigma_4(w',\phi)$
w	ϕ_0		ϕ_0			ϕ_0
10 50N	2047235 48	3437500 49	1088584 50	7562500 49	1000000 50	3611323 49
90 49N	2015017 48	3559870 49	9990572 49	7440129 49	9940855 49	3265527 49
80 49N	1986370 48	3691275 49	9159826 49	7308725 49	9876355 49	2946142 49
70 49N	1962481 48	3832752 49	8393901 49	7167247 49	9805731 49	2652785 49
60 49N	1944870 48	3985507 49	7693136 49	7014493 49	9728062 49	2385010 49
50 49N	1935490 48	4150943 49	7057929 49	6849057 49	9642229 49	2142297 49
40 49N	1936861 48	4330708 49	6488742 49	6669291 49	9546863 49	1924026 49
30 49N	1952264 48	4526748 49	5986123 49	6473251 49	9440265 49	1729463 49
20 49N	1986000 48	4741379 49	5550726 49	6258621 49	9320301 49	1557724 49
10 49N	2043760 48	4977375 49	5183332 49	6022624 49	9184255 49	1407739 49
00 00	2133150 48	5238095 49	4884888 49	5761905 49	9028605 49	1278198 49
10 49	2264453 48	5527638 49	4656547 49	5472362 49	8848698 49	1167478 49
20 49	2451753 48	5851063 49	4499736 49	5148936 49	8638245 49	1073541 49
30 49	2714633 48	6214689 49	4416235 49	4785311 49	8388503 49	9937847 48
35 49	2882650 48	6413994 49	4402656 49	4586006 49	8245175 49	9582030 48
40 49	3080774 48	6626506 49	4408294 49	4373494 49	8086898 49	9248153 48
45 49	3314402 48	6853582 49	4433532 49	4146417 49	7911098 49	8930153 48
50 49	3590081 48	7096774 49	4478805 49	3903226 49	7714542 49	8620895 48
55 49	3915798 48	7357859 49	4544616 49	3642140 49	7493100 49	8311880 48
60 49	4301363 48	7638888 49	4631542 49	3361111 49	7241379 49	7992834 48
62 49	4474973 48	7757404 49	4672371 49	3242595 49	7130675 49	7859668 48
64 49	4660965 48	7879656 49	4716732 49	3120344 49	7013433 49	7721958 48
66 49	4860325 48	8005822 49	4764675 49	2994178 49	6889004 49	7578660 48
68 49	5074130 48	8136094 49	4816255 49	2863905 49	6756639 49	7428616 48
70 49	5303559 48	8270676 49	4871528 49	2729323 49	6615472 49	7270528 48
72 49	5549909 48	8409785 49	4930555 49	2590214 49	6464489 49	7102933 48
74 49	5814605 48	8553654 49	4993404 49	2446345 49	6302497 49	6924167 48
76 49	6099216 48	8702531 49	5060142 49	2297468 49	6128068 49	6732314 48
78 49	6405474 48	8856682 49	5130846 49	2143317 49	5939480 49	6525138 48
80 49	6735289 48	9016393 49	5205595 49	1983607 49	5734623 49	6299993 48
82 49	7090777 48	9181969 49	5284476 49	1818030 49	5510859 49	6053678 48
84 49	7474284 48	9353741 49	5367583 49	1646258 49	5264828 49	5782232 48
86 49	7888414 48	9532062 49	5455013 49	1467938 49	4992122 49	5480606 48
88 49	8336066 48	9717314 49	5546876 49	1282685 49	4686768 49	5142114 48
90 49	8820470 48	9909909 49	5643288 49	1090090 49	4340288 49	4757453 48
92 49	9345237 48	1011029 50	5744373 49	8897060 48	3939886 49	4312785 48
94 49	9914408 48	1031894 50	5850267 49	6810510 48	3464415 49	3785452 48
96 49	1053252 49	1053639 50	5961119 49	4636010 48	2873478 49	3132325 48
98 49	1120467 49	1076320 50	6077087 49	2367910 48	2065085 49	2244314 48
10 50	1193662 49	1100000 50	6198347 49	0000000 00	0000000 00	0000000 00

Compton Cross Sections vs. Angle of Scattered Quantum

12 50 = γ w	$\frac{\sigma_1(w,\phi)}{\phi_0}$	γ'	$\frac{\sigma_3(\gamma')}{\phi_0}$	E	w'	$\frac{\sigma_4(w',\phi)}{\phi_0}$
10 50N	1907235 48	3529411 49	9620098 49	8470588 49	1000000 50	3692407 49
90 49N	1883336 48	3658536 49	8840828 49	8341463 49	9946068 49	3344461 49
80 49N	1862679 48	3797468 49	8115770 49	8202532 49	9887155 49	3022139 49
70 49N	1846334 48	3947368 49	7445175 49	8052632 49	9822534 49	2725103 49
60 49N	1835673 48	4109589 49	6829338 49	7890411 49	9751328 49	2452954 49
50 49N	1832471 48	4285714 49	6268601 49	7714286 49	9672471 49	2205223 49
40 49N	1839033 48	4477612 49	5763370 49	7522388 49	9584649 49	1981355 49
30 49N	1858380 48	4687500 49	5314127 49	7312500 49	9486229 49	1780679 49
20 49N	1894505 48	4918032 49	4921448 49	7081967 49	9375151 49	1602392 49
10 49N	1952734 48	5172413 49	4586027 49	6827586 49	9248775 49	1445510 49
00 00	2040256 48	5454545 49	4308712 49	6545455 49	9103664 49	1308824 49
10 49	2166891 48	5769230 49	4090544 49	6230769 49	8935251 49	1190823 49
20 49	2346253 48	6122449 49	3932823 49	5877551 49	8737316 49	1089597 49
30 49	2597523 48	6521739 49	3837183 49	5478261 49	8501154 49	1002691 49
35 49	2758295 48	6741573 49	3813275 49	5258427 49	8365005 49	9636387 48
40 49	2948235 48	6976744 49	3805717 49	5023256 49	8214141 49	9268801 48
45 49	3172824 48	7228915 49	3814868 49	4771084 49	8045952 49	8918346 48
50 49	3438772 48	7500000 49	3841145 49	4500000 49	7857142 49	8578174 48
55 49	3754354 48	7792207 49	3885027 49	4207792 49	7643477 49	8240105 48
60 49	4129849 48	8108108 49	3947072 49	3891892 49	7399400 49	7894233 48
62 49	4299602 48	8241758 49	3977117 49	3758242 49	7291663 49	7751057 48
64 49	4481925 48	8379888 49	4010218 49	3620112 49	7177305 49	7603799 48
66 49	4677877 48	8522727 49	4046425 49	3477273 49	7055649 49	7451455 48
68 49	4888622 48	8670520 49	4085790 49	3329480 49	6925914 49	7292903 48
70 49	5115445 48	8823529 49	4128370 49	3176471 49	6787193 49	7126900 48
72 49	5359764 48	8982035 49	4174226 49	3017964 49	6638424 49	6952037 48
74 49	5623150 48	9146341 49	4223424 49	2853659 49	6478352 49	6766717 48
76 49	5907342 48	9316770 49	4276035 49	2683230 49	6305476 49	6569105 48
78 49	6214272 48	9493670 49	4332133 49	2506329 49	6117981 49	6357063 48
80 49	6546089 48	9677419 49	4391801 49	2322581 49	5913636 49	6128064 48
82 49	6905187 48	9868421 49	4455126 49	2131579 49	5689655 49	5879061 48
84 49	7294242 48	1006711 50	4522203 49	1932886 49	5442477 49	5606290 48
86 49	7716249 48	1027397 50	4593136 49	1726027 49	5167436 49	5304962 48
88 49	8174567 48	1048951 50	4668036 49	1510490 49	4858197 49	4968750 48
90 49	8672972 48	1071428 50	4747023 49	1285714 49	4505775 49	4588858 48
92 49	9215723 48	1094890 50	4830231 49	1051095 49	4096614 49	4152212 48
94 49	9807629 48	1119403 50	4917801 49	8059700 48	3608335 49	3637400 48
96 49	1045414 49	1145038 50	5009892 49	5496180 48	2998266 49	3003608 48
98 49	1116145 49	1171875 50	5106673 49	2812500 48	2158938 49	2147361 48
10 50	1193662 49	1200000 50	5208333 49	0000000 00	0000000 00	0000000 00

Compton Cross Sections vs. Angle of Scattered Quantum

13 50= γ W	$\frac{\sigma_1(W,\phi)}{\phi_0}$	γ'	$\frac{\sigma_3(\gamma')}{\phi_0}$	E	W'	$\frac{\sigma_4(W',\phi)}{\phi_0}$
10 50N	1785785 48	3611111 49	8604536 49	9388889 49	1000000 50	3778722 49
90 49N	1768641 48	3746397 49	7917568 49	9253602 49	9950621 49	3428087 49
80 49N	1754498 48	3892215 49	7276777 49	9107784 49	9896606 49	3102379 49
70 49N	1744327 48	4049844 49	6682381 49	8950156 49	9837264 49	2801292 49
60 49N	1739378 48	4220779 49	6134634 49	8779221 49	9771763 49	2524474 49
50 49N	1741274 48	4406779 49	5633838 49	8593220 49	9699088 49	2271499 49
40 49N	1752134 48	4609929 49	5180347 49	8390071 49	9617984 49	2041864 49
30 49N	1774753 48	4832713 49	4774587 49	8167286 49	9526883 49	1834965 49
20 49N	1812846 48	5078125 49	4417067 49	7921875 49	9423802 49	1650062 49
10 49N	1871405 48	5349794 49	4108408 49	7650206 49	9306188 49	1486255 49
00 00	1957225 48	5652173 49	3849369 49	7347826 49	9170700 49	1342421 49
10 49	2079674 48	5990783 49	3640893 49	7009217 49	9012872 49	1217156 49
20 49	2251878 48	6372549 49	3484162 49	6627451 49	8826589 49	1108668 49
30 49	2492552 48	6806282 49	3380680 49	6193717 49	8603231 49	1014638 49
35 49	2646630 48	7046070 49	3349494 49	5953929 49	8473928 49	9721235 48
40 49	2828934 48	7303370 49	3332391 49	5696629 49	8330199 49	9319977 48
45 49	3044986 48	7580174 49	3329712 49	5419825 49	8169412 49	8937043 48
50 49	3301611 48	7878787 49	3341850 49	5121212 49	7988230 49	8565839 48
55 49	3607308 48	8201892 49	3369263 49	4798107 49	7782339 49	8198481 48
60 49	3972746 48	8552631 49	3412488 49	4447368 49	7546055 49	7825399 48
62 49	4138560 48	8701472 49	3434343 49	4298527 49	7441395 49	7672009 48
64 49	4317072 48	8855585 49	3458873 49	4144414 49	7330063 49	7514963 48
66 49	4509408 48	9015256 49	3486127 49	3984743 49	7211359 49	7353289 48
68 49	4716812 48	9180791 49	3516156 49	3819209 49	7084472 49	7185907 48
70 49	4940666 48	9352518 49	3549018 49	3647482 49	6948460 49	7011612 48
72 49	5182505 48	9530791 49	3584773 49	3469208 49	6802216 49	6829048 48
74 49	5444038 48	9715994 49	3623485 49	3284006 49	6644428 49	6636678 48
76 49	5727167 48	9908536 49	3665225 49	3091463 49	6473524 49	6432734 48
78 49	6034024 48	10010886 50	3710070 49	2891135 49	6287601 49	6215170 48
80 49	6366990 48	10317460 50	3758100 49	2682540 49	6084315 49	5981563 48
82 49	6728742 48	10534840 50	3809407 49	2465154 49	5860731 49	5729004 48
84 49	7122290 48	10761585 50	3864085 49	2238411 49	5613096 49	5453908 48
86 49	7551031 48	10998305 50	3922241 49	2001692 49	5336482 49	5151726 48
88 49	8018802 48	11245675 50	3983990 49	1754325 49	5024197 49	4816454 48
90 49	8529957 48	11504425 50	4049458 49	1495575 49	4666745 49	4439768 48
92 49	9089444 48	11775365 50	4118780 49	1224638 49	4249796 49	4009299 48
94 49	9702907 48	12059365 50	4192109 49	9406310 48	3749723 49	3504793 48
96 49	1037679 49	12357415 50	4269608 49	6425860 48	3121532 49	2887588 48
98 49	1111852 49	12670565 50	4351462 49	3294350 48	2252197 49	2059413 48
10 50	1193662 49	13000000 50	4437869 49	0000000 00	0000000 00	0000000 00

Compton Cross Sections vs. Angle of Scattered Quantum

14 50 = γ w	$\frac{\sigma_1(w,\phi)}{\phi_0}$	γ'	$\frac{\sigma_3(\gamma')}{\phi_0}$	E	w'	$\frac{\sigma_4(w',\phi)}{\phi_0}$
10 50N	1679375 48	3684210 49	7773899 49	1031578 50	1000000 50	3869281 49
90 49N	1667765 48	3825136 49	7161780 49	1017486 50	9954623 49	3515525 49
80 49N	1658978 48	3977272 49	6589459 49	1002272 50	9904922 49	3186066 49
70 49N	1653900 48	4142011 49	6057126 49	9857988 49	9850246 49	2880637 49
60 49N	1653680 48	4320987 49	5565003 49	9679012 49	9789804 49	2598915 49
50 49N	1659811 48	4516129 49	5113355 49	9483871 49	9722630 49	2340520 49
40 49N	1674253 48	4729729 49	4702495 49	9270270 49	9647527 49	2104998 49
30 49N	1699599 48	4964539 49	4332799 49	9035461 49	9562996 49	1891793 49
20 49N	1739317 48	5223880 49	4004721 49	8776119 49	9467130 49	1700234 49
10 49N	1798098 48	5511811 49	3718815 49	8488189 49	9357467 49	1529488 49
00 00	1882366 48	5833333 49	3475765 49	8166667 49	9230769 49	1378519 49
10 49	2001057 48	6194690 49	3276424 49	7805310 49	9082688 49	1246016 49
20 49	2166803 48	6603773 49	3121871 49	7396226 49	8907235 49	1130298 49
30 49	2397814 48	7070707 49	3013489 49	6929293 49	8695913 49	1029173 49
35 49	2545722 48	7329842 49	2977156 49	6670157 49	8573111 49	9832067 48
40 49	2720923 48	7608695 49	2953083 49	6391304 49	8436212 49	9397204 48
45 49	2928950 48	7909604 49	2941591 49	6090395 49	8282579 49	8981793 48
50 49	3176700 48	8235294 49	2943052 49	5764706 49	8108848 49	8579486 48
55 49	3472840 48	8588957 49	2957902 49	5411043 49	7910655 49	8182669 48
60 49	3828355 48	8974359 49	2986656 49	5025641 49	7682212 49	7782080 48
62 49	3990212 48	9138381 49	3002184 49	4861619 49	7580693 49	7618311 48
64 49	4164842 48	9308510 49	3020077 49	4691489 49	7472482 49	7451286 48
66 49	4353432 48	9485094 49	3040382 49	4514905 49	7356858 49	7280058 48
68 49	4557300 48	9668508 49	3063152 49	4331492 49	7232985 49	7103581 48
70 49	4777920 48	9859154 49	3088441 49	4140845 49	7099887 49	6920691 48
72 49	5016932 48	1005747 50	3116308 49	3942529 49	6956417 49	6730075 48
74 49	5276176 48	1026393 50	3146819 49	3736070 49	6801212 49	6530246 48
76 49	5557716 48	1047904 50	3180044 49	3520958 49	6632635 49	6319503 48
78 49	5863872 48	1070336 50	3216057 49	3296636 49	6448698 49	6095874 48
80 49	6197258 48	1093750 50	3254942 49	3062500 49	6246950 49	5857036 48
82 49	6560829 48	1118210 50	3296789 49	2817891 49	6024313 49	5600199 48
84 49	6957935 48	1143790 50	3341696 49	2562092 49	5776846 49	5321944 48
86 49	7392378 48	1170568 50	3389771 49	2294314 49	5499365 49	5017933 48
88 49	7868495 48	1198630 50	3441130 49	2013699 49	5184823 49	4682468 48
90 49	8391239 48	1228070 50	3495905 49	1719298 49	4823207 49	4307654 48
92 49	8966291 48	1258992 50	3554235 49	1410072 49	4399413 49	3881780 48
94 49	9600187 48	1291512 50	3616280 49	1084871 49	3888541 49	3385668 48
96 49	1030047 49	1325757 50	3682212 49	7424240 48	3243243 49	2782666 48
98 49	1107589 49	1361867 50	3752224 49	3813230 48	2344841 49	1979341 48
10 50	1193662 49	1400000 50	3826530 49	0000000 00	0000000 00	0000000 00

Compton Cross Sections vs. Angle of Scattered Quantum

15 50 = γ w	$\frac{\sigma_1(w,\phi)}{\phi_0}$	γ'	$\frac{\sigma_3(\gamma')}{\phi_0}$	E	w'	$\frac{\sigma_4(w',\phi)}{\phi_0}$
10 50N	1585332 48	37500000 49	7083333 49	1125000 50	10000000 50	3963331 49
90 49N	1578291 48	3896103 49	6532900 49	1110389 50	9958158 49	3606096 49
80 49N	1573938 48	4054054 49	6017117 49	1094594 50	9912279 49	3272593 49
70 49N	1573090 48	4225352 49	5536150 49	1077464 50	9861744 49	2962582 49
60 49N	1576809 48	4411764 49	5090196 49	1058823 50	9805806 49	2675773 49
50 49N	1586478 48	4615384 49	4679487 49	1038461 50	9743547 49	2411823 49
40 49N	1603917 48	4838709 49	4304301 49	1016129 50	9673824 49	2170317 49
30 49N	1631543 48	5084745 49	3964971 49	9915254 49	9595206 49	1950754 49
20 49N	1672606 48	5357142 49	3661904 49	9642857 49	9505863 49	1752513 49
10 49N	1731518 48	5660377 49	3395597 49	9339623 49	9403426 49	1574831 49
00 00	1814366 48	6000000 49	3166666 49	9000000 49	9284766 49	1416745 49
10 49	1929671 48	6382978 49	2975886 49	8617021 49	9145661 49	1277035 49
20 49	2089581 48	6818181 49	2824242 49	8181818 49	8980265 49	1154122 49
30 49	2311777 48	7317073 49	2713008 49	7682927 49	8780234 49	1045932 49
35 49	2454004 48	7594936 49	2673048 49	7405063 49	8663586 49	9965263 48
40 49	2622610 48	7894736 49	2643859 49	7105263 49	8533201 49	9496866 48
45 49	2823117 48	8219178 49	2625742 49	6780822 49	8386446 49	9048997 48
50 49	3062456 48	8571428 49	2619047 49	6428571 49	8219949 49	8615541 48
55 49	3349411 48	8955224 49	2624191 49	6044776 49	8029315 49	8189133 48
60 49	3695223 48	9375000 49	2641666 49	5625000 49	7808688 49	7760799 48
62 49	3853149 48	9554140 49	2652237 49	5445860 49	7710338 49	7586523 48
64 49	4023880 48	9740259 49	2664917 49	5259740 49	7605301 49	7409360 48
66 49	4208656 48	9933774 49	2679752 49	5066225 49	7492841 49	7228393 48
68 49	4408865 48	10135135 50	2696792 49	4864865 49	7372097 49	7042607 48
70 49	4626058 48	10344827 50	2716092 49	4655172 49	7242068 49	6850871 48
72 49	4861980 48	10563380 50	2737709 49	4436620 49	7101568 49	6651911 48
74 49	5118594 48	10791366 50	2761707 49	4208633 49	6949189 49	6444288 48
76 49	5398113 48	11029411 50	2788156 49	3970588 49	6783234 49	6226357 48
78 49	5703043 48	11278195 50	2817132 49	3721804 49	6601637 49	5996213 48
80 49	6036224 48	11538461 50	2848718 49	3461538 49	6401844 49	5751619 48
82 49	6400888 48	11811102 50	2883002 49	3188976 49	6180642 49	5489900 48
84 49	6800720 48	12096770 50	2920086 49	2903226 49	5933908 49	5207777 48
86 49	7239939 48	12396690 50	2960077 49	2603306 49	5656207 49	4901115 48
88 49	7723388 48	12711860 50	3003096 49	2288135 49	5340141 49	4564488 48
90 49	8256645 48	13043470 50	3049275 49	1956522 49	4975185 49	4190401 48
92 49	8846160 48	13392850 50	3098761 49	1607143 49	4545454 49	3767756 48
94 49	9499420 48	13761460 50	3151718 49	1238532 49	4024761 49	3278379 48
96 49	10225140 49	14150940 50	3208327 49	8490560 48	3363363 49	2687496 48
98 49	11033540 49	14563100 50	3268789 49	4368930 48	2436850 49	1906199 48
10 50	11936620 49	15000000 50	3333333 49	0000000 00	0000000 00	0000000 00

Compton Cross Sections vs. Angle of Scattered Quantum

16 50 = γ w	$\sigma_1(w,\phi)/\phi_0$	γ'	$\sigma_2(\gamma')/\phi_0$	E	w'	$\sigma_4(w',\phi)/\phi_0$
10 50N	1501383 48	3809523 49	6501116 49	1219047 50	1000000 50	4060281 49
90 49N	1498339 48	3960396 49	6002233 49	1203960 50	9961297 49	3699274 49
80 49N	1497680 48	4123711 49	5533787 49	1187628 50	9918816 49	3361485 49
70 49N	1500365 48	4301075 49	5095923 49	1169892 50	9871975 49	3046698 49
60 49N	1507382 48	4494382 49	4688816 49	1150561 50	9820064 49	2754653 49
50 49N	1520018 48	4705882 49	4312672 49	1129411 50	9762210 49	2485040 49
40 49N	1539972 48	4938271 49	3967737 49	1106172 50	9697327 49	2237482 49
30 49N	1565509 48	5194805 49	3654309 49	1080519 50	9624045 49	2011519 49
20 49N	1611680 48	5479452 49	3372752 49	1052054 50	9540615 49	1806587 49
10 49N	1670649 48	5797101 49	3123514 49	1020289 50	9444758 49	1621978 49
00 00	1752189 48	6153846 49	2907151 49	9846154 49	9333456 49	1456801 49
10 49	1864431 48	6557377 49	2724369 49	9442623 49	9202619 49	1309917 49
20 49	2019053 48	7017543 49	2576069 49	8982456 49	9046557 49	1179844 49
30 49	2233200 48	7547169 49	2463425 49	8452830 49	8857103 49	1064621 49
35 49	2370194 48	7843137 49	2420941 49	8156863 49	8746268 49	1011786 49
40 49	2532685 48	8163265 49	2387994 49	7836735 49	8622074 49	9616012 48
45 49	2726156 48	8510638 49	2364865 49	7489362 49	8481905 49	9135716 48
50 49	2957547 48	8888889 49	2351888 49	7111111 49	8322397 49	8671078 48
55 49	3235717 48	9302325 49	2349456 49	6697674 49	8139142 49	8214975 48
60 49	3572101 48	9756097 49	2358041 49	6243902 49	7926239 49	7758697 48
62 49	3726155 48	9950248 49	2364683 49	6049751 49	7831056 49	7573801 48
64 49	3893010 48	10152228 50	2373219 49	5847716 49	7729215 49	7386369 48
66 49	4073952 48	10362694 50	2383694 49	5637306 49	7619964 49	7195511 48
68 49	4270429 48	10582201 50	2396155 49	5417989 49	7502428 49	7000235 48
70 49	4484068 48	10810810 50	2410657 49	5189189 49	7375577 49	6799443 48
72 49	4716705 48	11049720 50	2427257 49	4950276 49	7238197 49	6591895 48
74 49	4970420 48	11299430 50	2446017 49	4700565 49	7088836 49	6376197 48
76 49	5247570 48	11560690 50	2467007 49	4439306 49	6925744 49	6150748 48
78 49	5550836 48	11834320 50	2490300 49	4165680 49	6746784 49	5913709 48
80 49	5883279 48	12121210 50	2515980 49	3878788 49	6549305 49	5662919 48
82 49	6248400 48	12422360 50	2544137 49	3577640 49	6329967 49	5395802 48
84 49	6650223 48	12738850 50	2574870 49	3261147 49	6084472 49	5109212 48
86 49	7093381 48	13071890 50	2608291 49	2928105 49	5807143 49	4799194 48
88 49	7583235 48	13422810 50	2644520 49	2577181 49	5490235 49	4460574 48
90 49	8126008 48	13793100 50	2683694 49	2206896 49	5122717 49	4086228 48
92 49	8728950 48	14184390 50	2725964 49	1815603 49	4687919 49	3665626 48
94 49	9400553 48	14598540 50	2771497 49	1401460 49	4158359 49	3181534 48
96 49	10150800 49	15037590 50	2820482 49	9624060 48	3481865 49	2600944 48
98 49	10991480 49	15503870 50	2873133 49	4961240 48	2528207 49	1839184 48
10 50	11936620 49	16000000 50	2929687 49	0000000 00	0000000 00	0000000 00

Compton Cross Sections vs. Angle of Scattered Quantum

17 50 = γ W	$\frac{\sigma_1(W,\phi)}{\phi_0}$	γ'	$\frac{\sigma_2(\gamma')}{\phi_0}$	E	W'	$\frac{\sigma_4(W',\phi)}{\phi_0}$
10 50N	1426497 48	3863634 49	60042460 49	13136360 50	10000000 50	41596670 49
90 49N	1426427 48	40189120 49	55489700 49	12981080 50	99640950 49	37946400 49
80 49N	1432361 48	41271920 49	51206380 49	12812800 50	99246520 49	34523640 49
70 49N	1434510 48	43701800 49	47192800 49	12629820 50	98811180 49	31326430 49
60 49N	1444298 48	45698930 49	43455351 49	12430100 50	98328200 49	28352420 49
50 49N	1459431 48	47288732 49	39988733 49	12211260 50	97789290 49	25598810 49
40 49N	1481502 48	50295850 49	36797460 49	11970410 50	97184110 49	23062170 49
30 49N	1512640 48	52959500 49	33886590 49	11704050 50	96499600 49	20738310 49
20 49N	1555720 48	55921050 49	31257960 49	11407890 50	95719000 49	18622020 49
10 49N	1614682 48	59233450 49	28915640 49	11076650 50	94820450 49	16706820 49
00 00	1695008 48	62962960 49	26864660 49	10703700 50	93774870 49	14984420 49
10 49	1804467 48	67193670 49	25111460 49	10280630 50	92542720 49	13444190 49
20 49	1954283 48	72033890 49	23664300 49	97966100 49	91068740 49	12072220 49
30 49	2161067 48	77625570 49	22534010 49	92374430 49	89273180 49	10849970 49
35 49	2293239 48	80760090 49	22092030 49	89239900 49	88219640 49	10287450 49
40 49	2450057 48	84158410 49	21735070 49	85841580 49	87036410 49	97522160 48
45 49	2636954 48	87855290 49	21465770 49	82144700 49	85697600 49	92395220 48
50 49	2860848 48	91891890 49	21286790 49	78108110 49	84169750 49	87436790 48
55 49	3130640 48	96317280 49	21203360 49	73682720 49	82408870 49	82577890 48
60 49	3457911 48	10119040 50	21218480 49	68809520 49	80355710 49	77733990 48
62 49	3608178 48	10328060 50	21253460 49	66719320 49	79435270 49	75777870 48
64 49	3771208 48	10545900 50	21305540 49	64540940 49	78448750 49	73799750 48
66 49	3948332 48	10773130 50	21375170 49	62268690 49	77388510 49	71790920 48
68 49	4141047 48	11010360 50	21462820 49	59896370 49	76245630 49	69741730 48
70 49	4351052 48	11258270 50	21569010 49	57417220 49	75009640 49	67641450 48
72 49	4580266 48	11517610 50	21694290 49	54823850 49	73668110 49	65478030 48
74 49	4830877 48	11789180 50	21839290 49	52108180 49	72206170 49	63237860 48
76 49	5105375 48	12073860 50	22004680 49	49261360 49	70605830 49	60905430 48
78 49	5406613 48	12372630 50	22191200 49	46273650 49	68845050 49	58462840 48
80 49	5737863 48	12686560 50	22399680 49	43134330 49	66896470 49	55889220 48
82 49	6102891 48	13016840 50	22631010 49	39831550 49	64725470 49	53159670 48
84 49	6506051 48	13364780 50	22886200 49	36352200 49	62287420 49	50243960 48
86 49	6952396 48	13731820 50	23166360 49	32681740 49	59523200 49	47104150 48
88 49	7447809 48	14119600 50	23472720 49	28803990 49	56352000 49	43690850 48
90 49	7999170 48	14529910 50	23806670 49	24700850 49	52658490 49	39936220 48
92 49	8614565 48	14964780 50	24169740 49	20352110 49	48268180 49	35740270 48
94 49	9303540 48	15426490 50	24563680 49	15735030 49	42893180 49	30939510 48
96 49	10077410 49	15917600 50	24990430 49	10823970 49	35987200 49	25220420 48
98 49	10949710 49	16441000 50	25452220 49	55899400 48	26188910 49	17776130 48
10 50	11936620 49	17000000 50	25951550 49	00000000 00	00000000 00	00000000 00

Compton Cross Sections vs. Angle of Scattered Quantum

18 50 = γ	$\sigma_1(w,\phi)$	γ'	$\sigma_3(\gamma')$	E	w'	$\sigma_4(w',\phi)$
w	ϕ_0		ϕ_0			ϕ_0
10 50N	1358775 48	3913043 49	5575684 49	1408695 50	1000000 50	4261119 49
90 49N	1361363 48	4072398 49	5157690 49	1392760 50	9966602 49	3891864 49
80 49N	1366404 48	4245283 49	4763714 49	1375471 50	9929882 49	3544931 49
70 49N	1374549 48	4433497 49	4393872 49	1356650 50	9889320 49	3220143 49
60 49N	1386674 48	4639175 49	4048300 49	1336082 50	9844275 49	2917287 49
50 49N	1403913 48	4864864 49	3727164 49	1313513 50	9793962 49	2636110 49
40 49N	1427767 48	5113636 49	3430660 49	1288636 50	9737395 49	2376300 49
30 49N	1460245 48	5389221 49	3159029 49	1261077 50	9673327 49	2137474 49
20 49N	1504064 48	5696202 49	2912564 49	1230379 50	9600156 49	1919155 49
10 49N	1562961 48	6040268 49	2691632 49	1195973 50	9515786 49	1720742 49
00 00	1642155 48	6428571 49	2496693 49	1157142 50	9417419 49	1541468 49
10 49	1749071 48	6870229 49	2328332 49	1112977 50	9301236 49	1380341 49
20 49	1894505 48	7377049 49	2187310 49	1062295 50	9161879 49	1236055 49
30 49	2094538 48	7964601 49	2074627 49	1003539 50	8991582 49	1106858 49
35 49	2222263 48	8294930 49	2029316 49	9705069 49	8891387 49	1047199 49
40 49	2373817 48	8653846 49	1991631 49	9346154 49	8778622 49	9903455 48
45 49	2554572 48	9045226 49	1961820 49	8954774 49	8650729 49	9358395 48
50 49	2771405 48	9473684 49	1940180 49	8526316 49	8504394 49	8831325 48
55 49	3033226 48	9944751 49	1927067 49	8055249 49	8335236 49	8315572 48
60 49	3351718 48	1046511 50	1922911 49	7534884 49	8137334 49	7802917 48
62 49	3498298 48	1068883 50	1923870 49	7311164 49	8048383 49	7596508 48
64 49	3657578 48	1092233 50	1926384 49	7077670 49	7952891 49	7388216 48
66 49	3830925 48	1116625 50	1930494 49	6833747 49	7850084 49	7177192 48
68 49	4019884 48	1142132 50	1936247 49	6578680 49	7739059 49	6962496 48
70 49	4226212 48	1168831 50	1943692 49	6311688 49	7618753 49	6743076 48
72 49	4451910 48	1196808 50	1952886 49	6031915 49	7487900 49	6517759 48
74 49	4699262 48	1226158 50	1963887 49	5738420 49	7344982 49	6285215 48
76 49	4970887 48	1256983 50	1976763 49	5430168 49	7188156 49	6043935 48
78 49	5269797 48	1289398 50	1991588 49	5106017 49	7015162 49	5792180 48
80 49	5599466 48	1323529 50	2008442 49	4764706 49	6823182 49	5527920 48
82 49	5963921 48	1359516 50	2027415 49	4404834 49	6608644 49	5248750 48
84 49	6367842 48	1397515 50	2048608 49	4024845 49	6366925 49	4951753 48
86 49	6816695 48	1437699 50	2072131 49	3623003 49	6091893 49	4633285 48
88 49	7316890 48	1480263 50	2098111 49	3197368 49	5775139 49	4288620 48
90 49	7875982 48	1525423 50	2126687 49	2745763 49	5404640 49	3911293 48
92 49	8502913 48	1573426 50	2158016 49	2265734 49	4962168 49	3491799 48
94 49	9208332 48	1624548 50	2192276 49	1754513 49	4417627 49	3014617 48
96 49	1000498 49	1679104 50	2229671 49	1208955 49	3713906 49	2449962 48
98 49	1090821 49	1737451 50	2270429 49	6254820 48	2708888 49	1720903 48
10 50	1193662 49	1800000 50	2314814 49	0000000 00	0000000 00	0000000 00

19 50= γ	$\sigma_1(w,\phi)$	γ'	$\sigma_2(\gamma')$	E	w'	$\sigma_4(w',\phi)$
w	ϕ_0		ϕ_0			ϕ_0
10 50N	1297364 48	3958333 49	5202562 49	1504166 50	1000000 50	4364335 49
90 49N	1302204 48	4121475 49	4816745 49	1487852 50	9968855 49	3990675 49
80 49N	1309434 48	4298642 49	4452470 49	1470135 50	9934588 49	3638941 49
70 49N	1319688 48	4491725 49	4109840 49	1450827 50	9896705 49	3308975 49
60 49N	1333788 48	4702970 49	3788980 49	1429703 50	9854601 49	3000583 49
50 49N	1352806 48	4935064 49	3490035 49	1406493 50	9807526 49	2713536 49
40 49N	1378163 48	5191256 49	3213182 49	1380874 50	9754543 49	2447550 49
30 49N	1411759 48	5475504 49	2958640 49	1352449 50	9694464 49	2202276 49
20 49N	1456172 48	5792683 49	2726674 49	1320731 50	9625755 49	1977274 49
10 49N	1514955 48	6148867 49	2517615 49	1285113 50	9546406 49	1771990 49
00 00	1593083 48	6551724 49	2331884 49	1244827 50	9453729 49	1585713 49
10 49	1697665 48	7011070 49	2170017 49	1198893 50	9344041 49	1417518 49
20 49	1839087 48	7539682 49	2032713 49	1146031 50	9212153 49	1266178 49
30 49	2032917 48	8154506 49	1920898 49	1084549 50	9050513 49	1130036 49
35 49	2156532 48	8501118 49	1874924 49	1049888 50	8955172 49	1066981 49
40 49	2303199 48	8878504 49	1835827 49	1012149 50	8847661 49	1006803 49
45 49	2478214 48	9290953 49	1803841 49	9709046 49	8725460 49	9490637 48
50 49	2688400 48	9743589 49	1779245 49	9256410 49	8585294 49	8932325 48
55 49	2942651 48	1024258 50	1762379 49	8757412 49	8422817 49	8386633 48
60 49	3252709 48	1079545 50	1753651 49	8204545 49	8232127 49	7845578 48
62 49	3395713 48	1103368 50	1752548 49	7966318 49	8146209 49	7628296 48
64 49	3551333 48	1128266 50	1752864 49	7717340 49	8053829 49	7409436 48
66 49	3720965 48	1154313 50	1754640 49	7456865 49	7954210 49	7188169 48
68 49	3906198 48	1181592 50	1757919 49	7184079 49	7846439 49	6963575 48
70 49	4108840 48	1210191 50	1762752 49	6898089 49	7729441 49	6734626 48
72 49	4330964 48	1240208 50	1769191 49	6597911 49	7601929 49	6500175 48
74 49	4574946 48	1271753 50	1777296 49	6282463 49	7462362 49	6258924 48
76 49	4843523 48	1304945 50	1787132 49	5950549 49	7308860 49	6009397 48
78 49	5139858 48	1339915 50	1798772 49	5600846 49	7139109 49	5749900 48
80 49	5467622 48	1376811 50	1812296 49	5231884 49	6950221 49	5478462 48
82 49	5831087 48	1415797 50	1827794 49	4842027 49	6738519 49	5192746 48
84 49	6235257 48	1457055 50	1845364 49	4429448 49	6499236 49	4889936 48
86 49	6686007 48	1500789 50	1865120 49	3992101 49	6226027 49	4566525 48
88 49	7190276 48	1547231 50	1887187 49	3527687 49	5910167 49	4217981 48
90 49	7756300 48	1596638 50	1911706 49	3033613 49	5539154 49	3838134 48
92 49	8393906 48	1649305 50	1938839 49	2506944 49	5093994 49	3417941 48
94 49	9114885 48	1705565 50	1968766 49	1944345 49	4543282 49	2942663 48
96 49	9933478 48	1765799 50	2001698 49	1342007 49	3827403 49	2383991 48
98 49	1086699 49	1830443 50	2037871 49	6955680 48	2798179 49	1668547 48
10 50	1193662 49	1900000 50	2077562 49	0000000 00	0000000 00	0000000 00

Compton Cross Sections vs. Angle of Scattered Quantum

20 50 = γ	$\frac{\sigma_1(w_1\phi)}{\phi_0}$	γ'	$\frac{\sigma_3(\gamma')}{\phi_0}$	E	w'	$\frac{\sigma_4(w',\phi)}{\phi_0}$
w						
10 50N	12414 08 48	4000000 49	4875000 49	1600000 50	1000000 50	4469070 49
90 49N	12481 47 48	4166666 49	4517187 49	1583333 50	9970887 49	4090854 49
80 49N	12572 35 48	4347826 49	4176804 49	1565217 50	9938837 49	3734197 49
70 49N	12692 74 48	4545454 49	3859943 49	1545454 50	9903379 49	3398958 49
60 49N	12850 46 48	4761904 49	3560714 49	1523809 50	9863939 49	3084963 49
50 49N	13055 67 48	5000000 49	3281250 49	1500000 50	9819805 49	2792002 49
40 49N	13321 88 48	5263157 49	3021710 49	1473684 50	9770084 49	2519819 49
30 49N	13667 14 48	5555555 49	2782291 49	1444444 50	9713641 49	2268092 49
20 49N	14115 97 48	5882353 49	2563235 49	1411764 50	9649012 49	2036418 49
10 49N	14702 21 48	6250000 49	2364843 49	1375000 50	9574271 49	1824287 49
00 00	15473 39 48	6666666 49	2187500 49	1333333 50	9486833 49	1631039 49
10 49	16497 68 48	7142857 49	2031696 49	1285714 50	9383148 49	1455809 49
20 49	17875 04 48	7692307 49	1898076 49	1230769 50	9258201 49	1297447 49
30 49	19756 21 48	8333333 49	1787500 49	1166666 50	9104654 49	1154388 49
35 49	20954 32 48	8695652 49	1741202 49	1130434 50	9013878 49	1087947 49
40 49	22375 56 48	9090909 49	1701136 49	1090909 50	8911327 49	1024452 49
45 49	24072 05 48	9523809 49	1667522 49	1047619 50	8794529 49	963481 1 48
50 49	26111 35 48	1000000 50	1640625 49	1000000 50	8660254 49	9045238 48
55 49	28582 02 48	1052631 50	1620764 49	9473684 49	8504200 49	8469543 48
60 49	31601 75 48	1111111 50.	1608333 49	8888889 49	8320502 49	7899960 48
62 49	32997 22 48	1136363 50	1605545 49	8636364 49	8237544 49	7671737 48
64 49	34517 81 48	1162790 50	1604058 49	8372093 49	8148217 49	7442230 48
66 49	36177 76 48	1190476 50	1603910 49	8095238 49	8051739 49	7210625 48
68 49	37993 30 48	1219512 50	1605146 49	7804878 49	7947194 49	6976025 48
70 49	39983 01 48	1250000 50	1607812 49	7500000 49	7833494 49	6737424 48
72 49	42168 25 48	1282051 50	1611961 49	7179487 49	7709342 49	6493698 48
74 49	44573 61 48	1315789 50	1617651 49	6842105 49	7573172 49	6243577 48
76 49	47227 57 48	1351351 50	1624946 49	6486486 49	7423074 49	5985619 48
78 49	50163 17 48	1388888 50	1633916 49	6111111 49	7256691 49	5718167 48
80 49	53418 98 48	1428571 50	1644642 49	5714286 49	7071067 49	5439301 48
82 49	57040 15 48	1470588 50	1657213 49	5294118 49	6862435 49	5146753 48
84 49	61079 81 48	1515151 50	1671727 49	4848485 49	6625891 49	4837792 48
86 49	65600 77 48	1562500 50	1688296 49	4375000 49	6354889 49	4509035 48
88 49	70677 72 48	1612903 50	1707048 49	3870968 49	6040404 49	4156133 48
90 49	76399 89 48	1666666 50	1728125 49	3333333 49	5669467 49	3773189 48
92 49	82874 57 48	1724137 50	1751689 49	2758621 49	5222329 49	3351590 48
94 49	90231 54 48	1785714 50	1777928 49	2142857 49	4666282 49	2877334 48
96 49	98628 88 48	1851851 50	1807055 49	1481481 49	3939192 49	2323511 48
98 49	10826 05 49	1923076 50	1839317 49	7692310 48	2886751 49	1620109 48
10 50	11936 62 49	2000000 50	1875000 49	0000000 00	0000000 00	0000000 00

Compton Cross Sections vs. Angle of Scattered Quantum

25 50 = γ W	$\sigma_1(w,\phi)/\phi_0$	γ'	$\sigma_2(\gamma')/\phi_0$	E	w'	$\sigma_4(w',\phi)/\phi_0$
10 50N	1022349 48	4166666 49	3700000 49	2083333 50	1000000 50	5009512 49
90 49N	1035063 48	4347826 49	3440347 49	2065217 50	9978586 49	4606841 49
80 49N	1049992 48	4545454 49	3193090 49	2045454 50	9954954 49	4224243 49
70 49N	1067632 48	4761904 49	2958285 49	2023809 50	9928740 49	3861654 49
60 49N	1088619 48	5000000 49	2736000 49	2000000 50	9899494 49	3518950 49
50 49N	1113783 48	5263158 49	2526315 49	1973684 50	9866660 49	3196014 49
40 49N	1144212 48	5555555 49	2329333 49	1944444 50	9829532 49	2892677 49
30 49N	1181368 48	5882353 49	2145176 49	1911764 50	9787209 49	2608744 49
20 49N	1227233 48	6250000 49	1974000 49	1875000 50	9738516 49	2343945 49
10 49N	1284557 48	6666666 49	1816000 49	1833333 50	9681897 49	2097941 49
00 00	1357225 48	7142857 49	1671428 49	1785714 50	9615239 49	1870285 49
10 49	1450867 48	7692307 49	1540615 49	1730769 50	9535608 49	1660364 49
20 49	1573865 48	8333333 49	1424000 49	1666666 50	9438798 49	1467349 49
30 49	1739105 48	9090909 49	1322181 49	1590909 50	9318553 49	1290067 49
35 49	1843557 48	9523809 49	1277071 49	1547619 50	9246802 49	1206826 49
40 49	1967155 48	1000000 50	1236000 49	1500000 50	9165151 49	1126829 49
45 49	2114656 48	1052631 50	1199131 49	1447368 50	9071387 49	1049736 49
50 49	2292355 48	1111111 50	1166666 49	1388888 50	8962581 49	9751211 48
55 49	2508707 48	1176470 50	1138852 49	1323529 50	8834766 49	9024554 48
60 49	2775264 48	1250000 50	1116000 49	1250000 50	8682431 49	8310675 48
62 49	2899351 48	1282051 50	1108332 49	1217948 50	8612970 49	8026854 48
64 49	3035267 48	1315789 50	1101549 49	1184210 50	8537714 49	7743070 48
66 49	3184506 48	1351351 50	1095684 49	1148648 50	8455894 49	7458604 48
68 49	3348803 48	1388888 50	1090773 49	1111111 50	8366600 49	7172633 48
70 49	3530177 48	1428571 50	1086857 49	1071428 50	8268741 49	6884254 48
72 49	3730989 48	1470588 50	1083981 49	1029411 50	8161001 49	6592436 48
74 49	3954015 48	1515151 50	1082196 49	9848485 49	8041769 49	6296023 48
76 49	4202529 48	1562500 50	1081560 49	9375000 49	7909057 49	5993702 48
78 49	4480421 48	1612903 50	1082136 49	8870968 49	7760377 49	5683970 48
80 49	4792332 48	1666666 50	1084000 49	8333333 49	7592566 49	5365093 48
82 49	5143832 48	1724137 50	1087233 49	7758621 49	7401527 49	5035051 48
84 49	5541654 48	1785714 50	1091931 49	7142857 49	7181848 49	4691445 48
86 49	5993986 48	1851851 50	1098204 49	6481481 49	6926184 49	4331375 48
88 49	6511864 48	1923076 50	1106178 49	5769231 49	6624243 49	3951194 48
90 49	7104676 48	2000000 50	1116000 49	5000000 49	6260990 49	3546102 48
92 49	7790855 48	2083333 50	1127840 49	4166667 49	5813183 49	3109274 48
94 49	8588794 48	2173913 50	1141899 49	3260869 49	5241816 49	2629817 48
96 49	9523109 48	2272727 50	1158414 49	2272727 49	4472135 49	2086843 48
98 49	1062538 49	2380952 50	1177668 49	1190476 49	3318318 49	1424907 48
10 50	1193662 49	2500000 50	1200000 49	0000000 00	0000000 00	0000000 00

Compton Cross Sections vs. Angle of Scattered Quantum

30 50 = γ w	$\frac{\sigma_1(w,\phi)}{\phi_0}$	γ'	$\frac{\sigma_3(\gamma')}{\phi_0}$	E	w'	$\frac{\sigma_4(w',\phi)}{\phi_0}$
10 50N	8700159 47	4285714 49	2976190 49	2571428 50	1000000 50	5568102 49
90 49N	8853752 47	4477611 49	2774689 49	2552238 50	9983593 49	5139184 49
80 49N	9028599 47	4687500 49	2581770 49	2531250 50	9965457 49	4729267 49
70 49N	9229042 47	4918032 49	2397472 49	2508196 50	9945305 49	4338308 49
60 49N	9460612 47	5172413 49	2221839 49	2482758 50	9922778 49	3966244 49
50 49N	9730453 47	5454545 49	2054924 49	2454545 50	9897433 49	3613001 49
40 49N	1004792 48	5769230 49	1896794 49	2423076 50	9868703 49	3278478 49
30 49N	1042548 48	6122448 49	1747534 49	2387755 50	9835862 49	2962549 49
20 49N	1088001 48	6521739 49	1607246 49	2347826 50	9797959 49	2665048 49
10 49N	1143487 48	6976744 49	1476065 49	2302325 50	9753724 49	2385751 49
00 00	1212313 48	7500000 49	1354166 49	2250000 50	9701425 49	2124360 49
10 49	1299282 48	8108108 49	1241779 49	2189189 50	9638632 49	1880452 49
20 49	1411597 48	8823529 49	1139215 49	2117647 50	9561828 49	1653438 49
30 49	1560443 48	9677419 49	1046908 49	2032258 50	9465727 49	1442454 49
40 49	1763957 48	1071428 50	9654761 48	1928571 50	9341987 49	1246214 49
50 49	2053098 48	1200000 50	8958333 48	1800000 50	9176629 49	1062723 49
60 49	2484180 48	1363636 50	8393939 48	1636363 50	8944271 49	8887674 48
62 49	2595646 48	1401869 50	8298707 48	1598130 50	8886002 49	8546995 48
64 49	2718143 48	1442307 50	8209871 48	1557692 50	8822575 49	8207506 48
66 49	2853171 48	1485148 50	8127706 48	1514851 50	8753269 49	7868553 48
68 49	3002493 48	1530612 50	8052517 48	1469387 50	8677218 49	7529403 48
70 49	3168190 48	1578947 50	7984649 48	1421052 50	8593378 49	7189223 48
72 49	3352729 48	1630434 50	7924492 48	1369565 50	8500474 49	6847075 48
74 49	3559055 48	1685393 50	7872490 48	1314606 50	8396932 49	6501887 48
76 49	3790706 48	1744186 50	7829147 48	1255813 50	8280786 49	6152446 48
78 49	4051956 48	1807228 50	7795039 48	1192771 50	8149545 49	5797355 48
80 49	4348007 48	1875000 50	7770833 48	1125000 50	8000000 49	5435009 48
82 49	4685236 48	1948052 50	7757294 48	1051948 50	7827936 49	5063542 48
84 49	5071526 48	2027027 50	7755315 48	9729730 49	7627700 49	4680774 48
86 49	5516707 48	2112676 50	7765939 48	8873239 49	7391491 49	4284101 48
88 49	6033150 48	2205882 50	7790392 48	7941176 49	7108186 49	3870348 48
90 49	6636587 48	2307692 50	7830128 48	6923077 49	6761234 49	3435476 48
91 49	6977034 48	2362204 50	7856256 48	6377953 49	6556300 49	3208479 48
92 49	7347246 48	2419354 50	7886881 48	5806452 49	6324555 49	2973956 48
93 49	7750716 48	2479338 50	7922276 48	5206612 49	6059811 49	2730742 48
94 49	8191457 48	2542372 50	7962739 48	4576271 49	5753559 49	2477272 48
95 49	8674088 48	2608695 50	8008604 48	3913043 49	5393598 49	2211300 48
96 49	9203954 48	2678571 50	8060237 48	3214286 49	4961389 49	1929321 48
97 49	9787261 48	2752293 50	8118046 48	2477064 49	4426266 49	1625215 48
98 49	1043124 49	2830188 50	8182484 48	1698113 49	3730019 49	1286420 48
99 49	1114437 49	2912621 50	8254057 48	8737860 48	2727977 49	8783212 47
10 50	1193662 49	3000000 50	8333333 48	0000000 00	0000000 00	0000000 00

35 50 = γ w	$\frac{\sigma_1(w,\phi)}{\phi_0}$	γ′	$\frac{\sigma_2(\gamma')}{\phi_0}$	E	w′	$\frac{\sigma_4(w',\phi)}{\phi_0}$
10 50 N	7576956 47	4375000 49	2487245 49	3062500 50	1000000 50	6137334 49
90 49 N	7741255 47	4575163 49	2323689 49	3042483 50	9987029 49	5681126 49
80 49 N	7925998 47	4794520 49	2166424 49	3020547 50	9972677 49	5243104 49
70 49 N	8135121 47	5035971 49	2015475 49	2996402 50	9956709 49	4823242 49
60 49 N	8373603 47	5303030 49	1870872 49	2969697 50	9938837 49	4421511 49
50 49 N	8647842 47	5600000 49	1732653 49	2940000 50	9918697 49	4037860 49
40 49 N	8966167 47	5932203 49	1600864 49	2906779 50	9895830 49	3672239 49
30 49 N	9339609 47	6306306 49	1475565 49	2869369 50	9869640 49	3324578 49
20 49 N	9783057 47	6730769 49	1356828 49	2826923 50	9839347 49	2994768 49
10 49 N	1031704 48	7216495 49	1244750 49	2778350 50	9803902 49	2682677 49
00 00	1097055 48	7777777 49	1139455 49	2722222 50	9761870 49	2388112 49
10 49	1178575 48	8433735 49	1041111 49	2656626 50	9711225 49	2110791 49
20 49	1282590 48	9210526 49	9499463 48	2578947 50	9649012 49	1850310 49
30 49	1418983 48	10144492 50	8662822 48	2485507 50	9570755 49	1606053 49
40 49	1603917 48	11290032 50	7905859 48	2370967 50	9469313 49	1377063 49
50 49	1865377 48	12727727 50	7235621 48	2227272 50	9332565 49	1161792 49
60 49	2255385 48	14583333 50	6663265 48	2041666 50	9138115 49	9576259 48
62 49	2356569 48	15021450 50	6561993 48	1997854 50	9088932 49	9177698 48
64 49	2467996 48	15486720 50	6465544 48	1951327 50	9035205 49	8781333 48
66 49	2591134 48	15981730 50	6374146 48	1901826 50	8976270 49	8386582 48
68 49	2727726 48	16509430 50	6288055 48	1849056 50	8911327 49	7992793 48
70 49	2879849 48	17073170 50	6207566 48	1792682 50	8839403 49	7599212 48
72 49	3049998 48	17676760 50	6133012 48	1732323 50	8759298 49	7204980 48
74 49	3241188 48	18324600 50	6064776 48	1667539 50	8669521 49	6809115 48
76 49	3457090 48	19021730 50	6003301 48	1597826 50	8568191 49	6410483 48
78 49	3702207 48	19774010 50	5949097 48	1522598 50	8452898 49	6007784 48
80 49	3982113 48	20588230 50	5902761 48	1441176 50	8320502 49	5599507 48
82 49	4303762 48	21472390 50	5864990 48	1352760 50	8166833 49	5183908 48
84 49	4675925 48	22435890 50	5836609 48	1256410 50	7986208 49	4758944 48
86 49	5109775 48	23489930 50	5818594 48	1151006 50	7770674 49	4322218 48
88 49	5619711 48	24647880 50	5812118 48	1035211 50	7508695 49	3870864 48
90 49	6224532 48	25925920 50	5818594 48	9074074 49	7182782 49	3401369 48
91 49	6570003 48	26615970 50	5827213 48	8384030 49	6987693 49	3158450 48
92 49	6949125 48	27343750 50	5839745 48	7656250 49	6764814 49	2909159 48
93 49	7366365 48	28112450 50	5856468 48	6887550 49	6507306 49	2652593 48
94 49	7826946 48	28925620 50	5877693 48	6074380 49	6205666 49	2387561 48
95 49	8336997 48	29787230 50	5903766 48	5212766 49	5846128 49	2112368 48
96 49	8903753 48	30701750 50	5935080 48	4298246 49	5407575 49	1824358 48
97 49	9535793 48	31674200 50	5972073 48	3325792 49	4854827 49	1518808 48
98 49	1024334 49	32710280 50	6015243 48	2289720 49	4120816 49	1185705 48
99 49	1103868 49	33816420 50	6065154 48	1183575 49	3039084 49	7963687 47
10 50	1193662 49	35000000 50	6122449 48	0000000 00	0000000 00	0000000 00

Compton Cross Sections vs. Angle of Scattered Quantum

40 50 = γ w	$\frac{\sigma_1(w,\phi)}{\phi_0}$	γ'	$\frac{\sigma_3(\gamma')}{\phi_0}$	E	w'	$\frac{\sigma_4(w',\phi)}{\phi_0}$
10 50 N	6713325 47	44444444 49	2135416 49	35555555 50	10000000 50	67133250 49
90 49 N	6380405 47	46511162 49	1998346 49	35348830 50	99894900 49	62291870 49
80 49 N	7067132 47	48780480 49	1866082 49	35121950 50	99778510 49	57625880 49
70 49 N	7277145 47	51282050 49	1738641 49	34871790 50	99648910 49	53135080 49
60 49 N	7515030 47	54054050 49	1616047 49	34594590 50	99503710 49	48819410 49
50 49 N	7786643 47	57142850 49	1498325 49	34285710 50	99339920 49	44678810 49
40 49 N	8099576 47	60606060 49	1385511 49	33939390 50	99153720 49	40712850 49
30 49 N	8463837 47	64516120 49	1277646 49	33548380 50	98940160 49	36921230 49
20 49 N	8892877 47	68965510 49	1174784 49	33103440 50	98692750 49	33303410 49
10 49 N	9405176 47	74074070 49	1076996 49	32592590 50	98402730 49	29858700 49
00 00	10002676 48	80000000 49	9843750 48	32000000 50	98058060 49	26585850 49
10 49	10795390 48	86956520 49	8970448 48	31304340 50	97641680 49	23483230 49
20 49	11767770 48	95238090 49	8151785 48	30476190 50	97128580 49	20548150 49
30 49	13032560 48	10526310 50	7390213 48	29473680 50	96480620 49	17776460 49
40 49	14735510 48	11764700 50	6689338 48	28235290 50	95636500 49	15161310 49
50 49	17131260 48	13333330 50	6054687 48	27666660 50	94491110 49	12691010 49
60 49	20700280 48	15384610 50	5495192 48	24615380 50	92847660 49	10344820 49
62 49	21627650 48	15873010 50	5393497 48	24126980 50	92429240 49	98875440 48
64 49	22650180 48	16393440 50	5295553 48	23606550 50	91970900 49	94333400 48
66 49	23782030 48	16949150 50	5201551 48	23050840 50	91466610 49	89817090 48
68 49	25040130 48	17543860 50	5111710 48	22456140 50	90909090 49	85320750 48
70 49	26444860 48	18181810 50	5026278 48	21818180 50	90289390 49	80837670 48
72 49	28020910 48	18867920 50	4945542 48	21132070 50	89596440 49	76360020 48
74 49	29798470 48	19607840 50	4869834 48	20392150 50	88816380 49	71878910 48
76 49	31814680 48	20408160 50	4799540 48	19591830 50	87931550 49	67383850 48
78 49	34115730 48	21276590 50	4735113 48	18723400 50	86919180 49	62862710 48
80 49	36759550 48	22222220 50	4677083 48	17777770 50	85749290 49	58301340 48
82 49	39819570 48	23255810 50	4626083 48	16744180 50	84381590 49	53683210 48
84 49	43389990 48	24390240 50	4582865 48	15609750 50	82760580 49	48989020 48
86 49	47593090 48	25641020 50	4548341 48	14358970 50	80807490 49	44196220 48
88 49	52589890 48	27027020 50	4523614 48	12972970 50	78406250 49	39278290 48
90 49	58595580 48	28571420 50	4510044 48	11428570 50	75377830 49	34203760 48
91 49	62064300 48	29411760 50	4507954 48	10588230 50	73543550 49	31596070 48
92 49	65902690 48	30303030 50	4509318 48	9696970 49	71428570 49	28933910 48
93 49	70165160 48	31250000 50	4514414 48	8750000 49	68959660 49	26210380 48
94 49	74916400 48	32258060 50	4523558 48	7741936 49	66033810 49	23416400 48
95 49	80233700 48	33333330 50	4537109 48	6666667 49	62500000 49	20539820 48
96 49	86210010 48	34482750 50	4555474 48	55172410 49	58123820 49	17561240 48
97 49	92957810 48	35714280 50	4579118 48	42857140 49	52510500 49	14445410 48
98 49	10061420 49	37037030 50	4608576 48	29629630 49	44901320 49	11114290 48
99 49	10934750 49	38461530 50	4644465 48	15384620 49	33407650 49	73318090 47
10 50	11936620 49	40000000 50	4687500 48	00000000 00	00000000 00	00000000 00

Compton Cross Sections vs. Angle of Scattered Quantum

45 50 = γ w	$\frac{\sigma_1(w,\phi)}{\phi_0}$	γ'	$\frac{\sigma_2(\gamma')}{\phi_0}$	E	w'	$\frac{\sigma_4(w',\phi)}{\phi_0}$
10 50N	6027993 47	4500000 49	1870370 49	4050000 50	1000000 50	7293872 49
90 49N	6193726 47	4712041 49	1752724 49	4028795 50	9991311 49	6781368 49
80 49N	6378322 47	4945055 49	1638868 49	4005494 50	9981685 49	6285866 49
70 49N	6585188 47	5202312 49	1528816 49	3979768 50	9970958 49	5807388 49
60 49N	6818600 47	5487804 49	1422583 49	3951219 50	9958932 49	5345918 49
50 49N	7084000 47	5806451 49	1320191 49	3919354 50	9945354 49	4901462 49
40 49N	7388414 47	6164383 49	1221664 49	3883561 50	9929905 49	4474011 49
30 49N	7741072 47	6569343 49	1127034 49	3843065 50	9912168 49	4063560 49
20 49N	8154335 47	7031250 49	1036342 49	3796875 50	9891595 49	3670094 49
10 49N	8645123 47	7563025 49	9496420 48	3743697 50	9867446 49	3293575 49
00 00	9237204 47	8181818 49	8670033 48	3681818 50	9838699 49	2933951 49
10 49	9964977 47	8910891 49	7885221 48	3608910 50	9803902 49	2591131 49
20 49	1088001 48	9782608 49	7143317 48	3521739 50	9760921 49	2264968 49
30 49	1206298 48	1084337 50	6446229 48	3415662 50	9706482 49	1955197 49
40 49	1364676 48	1216216 50	5796796 48	3283783 50	9635293 49	1661356 49
50 49	1586478 48	1384615 50	5199430 48	3115384 50	9538209 49	1382607 49
60 49	1916210 48	1607142 50	4661375 48	2892857 50	9397934 49	1117355 49
62 49	2001927 48	1660516 50	4561858 48	2839483 50	9362036 49	1065687 49
64 49	2096507 48	1717557 50	4465332 48	2782442 50	9322629 49	1014405 49
66 49	2201304 48	1778656 50	4371957 48	2721343 50	9279168 49	9634650 48
68 49	2317949 48	1844262 50	4281918 48	2655737 50	9230995 49	9128170 48
70 49	2448419 48	1914893 50	4195429 48	2585106 50	9177294 49	8624020 48
72 49	2595130 48	1991150 50	4112736 48	2508849 50	9117055 49	8121511 48
74 49	2761057 48	2073732 50	4034128 48	2426267 50	9049001 49	7619832 48
76 49	2949900 48	2163461 50	3959942 48	2336538 50	8971499 49	7118035 48
78 49	3166308 48	2261306 50	3890578 48	2238693 50	8882423 49	6614994 48
80 49	3416181 48	2368421 50	3826510 48	2131578 50	8778955 49	6109386 48
82 49	3707100 48	2486187 50	3768307 48	2013812 50	8657273 49	5599656 48
84 49	4048935 48	2616279 50	3716658 48	1883720 50	8512055 49	5083968 48
86 49	4454717 48	2760736 50	3672401 48	1739263 50	8335657 49	4560180 48
88 49	4941926 48	2922077 50	3636575 48	1577922 50	8116663 49	4025795 48
90 49	5534433 48	3103448 50	3610472 48	1396551 50	7837175 49	3477922 48
91 49	5880083 48	3202847 50	3601562 48	1297153 50	7666130 49	3197902 48
92 49	6265480 48	3308823 50	3595729 48	1191176 50	7467286 49	2913206 48
93 49	6697016 48	3422053 50	3593252 48	1077946 50	7232997 49	2623300 48
94 49	7182404 48	3543307 50	3594447 48	9566929 49	6952377 49	2327542 48
95 49	7731018 48	3673469 50	3599678 48	8265306 49	6609259 49	2025087 48
96 49	8354338 48	3813559 50	3609365 48	6864407 49	6178215 49	1714621 48
97 49	9066528 48	3964757 50	3623994 48	5352423 49	5615851 49	1393676 48
98 49	9885217 48	4128440 50	3644131 48	3715596 49	4837794 49	1056402 48
99 49	1083255 49	4306220 50	3670440 48	1937799 49	3632520 49	6836472 47
10 50	1193662 49	4500000 50	3703703 48	0000000 00	0000000 00	0000000 00

Compton Cross Sections vs. Angle of Scattered Quantum

50 50 = γ w	$\sigma_1(w,\phi)/\phi_0$	γ'	$\sigma_3(\gamma')/\phi_0$	E	w'	$\sigma_4(w',\phi)/\phi_0$
10 50 N	5470577 47	4545454 49	1663636 49	4545454 50	1000000 50	7877631 49
90 49 N	5632806 47	4761904 49	1560785 49	4523809 50	9992698 49	7336452 49
80 49 N	5813134 47	5000000 49	1461000 49	4500000 50	9984603 49	6811858 49
70 49 N	6014776 47	5263158 49	1364289 49	4473684 50	9975579 49	6303839 49
60 49 N	6241755 47	5555555 49	1270666 49	4444444 50	9965457 49	5812429 49
50 49 N	6499178 47	5882353 49	1180147 49	4411764 50	9954022 49	5337626 49
40 49 N	6793615 47	6250000 49	1092750 49	4375000 50	9941002 49	4879427 49
30 49 N	7133677 47	6666666 49	1008500 49	4333333 50	9926042 49	4437870 49
20 49 N	7530858 47	7142857 49	9274285 48	4285714 50	9908673 49	4012944 49
10 49 N	8000850 47	7692307 49	8495769 48	4230769 50	9888264 49	3604658 49
00 00	8565631 47	8333333 49	7750000 48	4166666 50	9863939 49	3212999 49
10 49	9256934 47	9090909 49	7037727 48	4090909 50	9834450 49	2837949 49
20 49	10012225 48	10000000 50	6360000 48	4000000 50	9797959 49	2479435 49
30 49	11235581 48	11111111 50	5718333 48	3888888 50	9751632 49	2137328 49
40 49	12719996 48	12500000 50	5115000 48	3750000 50	9690874 49	1811347 49
50 49	14790272 48	14285571 50	4553571 48	3571428 50	9607689 49	1500934 49
60 49	17860728 48	16666666 50	4040000 48	3333333 50	9486833 49	1204918 49
62 49	18658794 48	17241380 50	3943841 48	3275862 50	9455779 49	1147258 49
64 49	19539694 48	17857140 50	3850114 48	3214285 50	9421630 49	1090051 49
66 49	20516334 48	18518510 50	3758955 48	3148148 50	9383898 49	1033261 49
68 49	21604354 48	19230760 50	3670523 48	3076923 50	9341987 49	9768460 48
70 49	22822814 48	20000000 50	3585000 48	3000000 50	9295160 49	9207541 48
72 49	24195144 48	20833333 50	3502600 48	2916666 50	9242495 49	8649260 48
74 49	25750414 48	21739130 50	3423573 48	2826086 50	9182827 49	8092899 48
76 49	27525074 48	22727270 50	3348218 48	2727272 50	9114654 49	7537597 48
78 49	29565334 48	23809520 50	3276885 48	2619047 50	9036010 49	6982333 48
80 49	31930464 48	25000000 50	3210000 48	2500000 50	8944271 49	6425881 48
82 49	34697474 48	26315790 50	3148073 48	2368421 50	8835852 49	5866782 48
84 49	37967954 48	27777770 50	3091733 48	2222222 50	8705715 49	5303301 48
86 49	41878024 48	29411760 50	3041753 48	2058823 50	8546547 49	4733393 48
88 49	46613434 48	31250000 50	2999100 48	1875000 50	8347300 49	4154684 48
90 49	52432714 48	33333330 50	2965000 48	1666666 50	8090398 49	3564471 48
91 49	55858134 48	34482750 50	2951632 48	1551724 50	7931747 49	3264129 48
92 49	59703984 48	35714280 50	2941028 48	1428571 50	7745966 49	2959776 48
93 49	64043184 48	37037030 50	2933461 48	1296296 50	7525238 49	2651006 48
94 49	68965094 48	38461530 50	2929246 48	1153846 50	7258300 49	2337381 48
95 49	74580004 48	40000000 50	2928750 48	1000000 50	6928203 49	2018380 48
96 49	81025334 48	41666666 50	2932400 48	8333333 49	6507913 49	1693237 48
97 49	88473834 48	43478260 50	2940697 48	6521739 49	5950616 49	1360423 48
98 49	97144904 48	45454540 50	2954236 48	4545454 49	5163977 49	1015849 48
99 49	10732024 49	47619040 50	2973721 48	2380952 49	3913968 49	6443656 47
10 50	11936624 49	50000000 50	3000000 48	0000000 00	0000000 00	0000000 00

Compton Cross Sections vs. Angle of Scattered Quantum

55 50 = γ	$\sigma_1(w_1,\phi)$	γ'	$\sigma_2(\gamma')$	E	w'	$\sigma_4(w',\phi)$
w	ϕ_0		ϕ_0			ϕ_0
10 50N	5008130 47	4583333 49	1497933 49	5041666 50	1000000 50	8463740 49
90 49N	5165761 47	4803493 49	1406694 49	5019650 50	9993777 49	7893675 49
80 49N	5340757 47	5045871 49	1317984 49	4995412 50	9986876 49	7339818 49
70 49N	5536168 47	5314009 49	1231812 49	4968599 50	9979181 49	6802197 49
60 49N	5755803 47	5612245 49	1148186 49	4938775 50	9970544 49	6280825 49
50 49N	6004483 47	5945946 49	1067120 49	4905405 50	9960784 49	5775697 49
40 49N	6288404 47	6321839 49	9886292 48	4867816 50	9949664 49	5286861 49
30 49N	6615661 47	6748466 49	9127313 48	4825153 50	9936879 49	4814339 49
20 49N	6997037 47	7236842 49	8394519 48	4776315 50	9922026 49	4358149 49
10 49N	7447216 47	7801418 49	7688236 48	4719858 50	9904557 49	3918328 49
00 00	7986723 47	8461538 49	7008900 48	4653846 50	9883717 49	3494898 49
10 49	8645123 47	9243697 49	6357108 48	4575630 50	9858422 49	3087879 49
20 49	9466578 47	10185180 50	5733700 48	4481481 50	9827076 49	2697286 49
30 49	10520020 48	11340200 50	5139899 48	4365979 50	9787209 49	2323072 49
40 49	11919050 48	12790690 50	4577551 48	4220930 50	9734801 49	1965122 49
50 49	13864160 48	14666660 50	4049586 48	4033333 50	9662823 49	1623111 49
60 49	16742150 48	17187500 50	3560950 48	3781250 50	9557790 49	1296241 49
62 49	17489840 48	17799350 50	3468625 48	3720064 50	9530714 49	1232547 49
64 49	18315230 48	18456370 50	3378310 48	3654362 50	9500898 49	1169366 49
66 49	19230640 48	19163760 50	3290122 48	3583623 50	9467902 49	1106666 49
68 49	20251000 48	19927530 50	3204196 48	3507246 50	9431191 49	1044415 49
70 49	21394620 48	20754710 50	3120692 48	3424528 50	9390096 49	9825705 48
72 49	22684130 48	21653540 50	3039794 48	3334645 50	9343782 49	9210791 48
74 49	24147780 48	22633740 50	2961722 48	3236625 50	9291185 49	8598790 48
76 49	25821220 48	23706890 50	2886736 48	3129310 50	9230930 49	7988944 48
78 49	27749980 48	24886870 50	2815151 48	3011312 50	9161209 49	7380338 48
80 49	29993000 48	26190470 50	2747343 48	2880952 50	9079593 49	6771849 48
82 49	32627630 48	27638190 50	2683775 48	2736180 50	8982742 49	6162125 48
84 49	35757080 48	29255310 50	2625018 48	2574468 50	8865926 49	5549533 48
86 49	39521490 48	31073440 50	2571783 48	2392655 50	8722222 49	4932131 48
88 49	44114930 48	33132530 50	2524970 48	2186747 50	8541056 49	4307646 48
90 49	49812380 48	35483870 50	2485737 48	1951612 50	8305395 49	3673526 48
91 49	53193370 48	36789290 50	2469416 48	1821070 50	8158710 49	3352005 48
92 49	57013370 48	38194440 50	2455592 48	1680555 50	7985836 49	3027068 48
93 49	61353800 48	39711190 50	2444531 48	1528880 50	7778914 49	2698406 48
94 49	66315740 48	41353380 50	2436545 48	1364661 50	7526489 49	2365748 48
95 49	72025910 48	43137250 50	2432000 48	1186274 50	7211102 49	2028852 48
96 49	78644720 48	45081960 50	2431329 48	9918033 49	6804511 49	1687429 48
97 49	86377480 48	47210300 50	2435044 48	7789699 49	6257042 49	1340795 48
98 49	95490100 48	49549550 50	2443761 48	5450450 49	5469141 49	9864785 47
99 49	10633150 49	52132700 50	2458223 48	2867298 49	4184848 49	6129846 47
10 50	11936620 49	55000000 50	2479338 48	0000000 00	0000000 00	0000000 00

Compton Cross Sections vs. Angle of Scattered Quantum

60 50 = γ w	$\frac{\sigma_1(w,\phi)}{\phi_0}$	γ'	$\frac{\sigma_3(\gamma')}{\phi_0}$	E	w'	$\frac{\sigma_4(w',\phi)}{\phi_0}$
10 50N	4618173 47	4615384 49	1362179 49	5538461 50	1000000 50	9051620 49
90 49N	4770706 47	4838709 49	1280275 49	5516129 50	9994633 49	8452505 49
80 49N	4939906 47	5084745 49	1200494 49	5491525 50	9988681 49	7869290 49
70 49N	5128676 47	5357142 49	1122842 49	5464285 50	9982041 49	7301998 49
60 49N	5340639 47	5660377 49	1047327 49	5433962 50	9974587 49	6750631 49
50 49N	5580370 47	6000000 49	9739583 48	5400000 50	9966158 49	6215237 49
40 49N	5853741 47	6382978 49	9027482 48	5361702 50	9956553 49	5695851 49
30 49N	6168411 47	6818181 49	8337121 48	5318181 50	9945503 49	5192492 49
20 49N	6534564 47	7317073 49	7668699 48	5268292 50	9932659 49	4705207 49
10 49N	6966038 47	7894737 49	7022478 48	5210526 50	9917543 49	4234036 49
00 00	7482137 47	8571428 49	6398809 48	5142857 50	9899494 49	3779050 49
10 49	8110621 47	9375000 49	5798177 48	5062500 50	9877569 49	3340295 49
20 49	8892877 47	1034482 50	5221264 48	4965517 50	9850365 49	2917837 49
30 49	9893418 47	1153846 50	4669070 48	4846153 50	9815717 49	2511728 49
40 49	1121848 48	1304347 50	4143116 48	4695652 50	9770084 49	2121962 49
50 49	1305567 48	1500000 50	3645833 48	4500000 50	9707253 49	1748422 49
60 49	1576809 48	1764705 50	3181372 48	4235294 50	9615239 49	1390641 49
62 49	1647231 48	1829268 50	3092998 48	4170731 50	9591457 49	1320882 49
64 49	1724971 48	1898734 50	3006308 48	4101265 50	9565237 49	1251687 49
66 49	1811202 48	1973684 50	2921403 48	4026315 50	9536187 49	1183032 49
68 49	1907351 48	2054794 50	2838402 48	3945205 50	9503819 49	1114890 49
70 49	2015174 48	2142857 50	2757440 48	3857142 50	9467531 49	1047227 49
72 49	2136850 48	2238806 50	2678681 48	3761194 50	9426563 49	9799997 48
74 49	2275113 48	2343750 50	2602317 48	3656250 50	9379948 49	9131549 48
76 49	2433433 48	2459016 50	2528579 48	3540983 50	9326427 49	8466270 48
78 49	2616274 48	2586206 50	2457744 48	3413793 50	9264341 49	7803350 48
80 49	2829454 48	2727272 50	2390151 48	3272727 50	9191450 49	7141783 48
82 49	3080678 48	2884615 50	2326218 48	3115384 50	9104654 49	6480328 48
84 49	3380329 48	3061224 50	2266462 48	2938775 50	8999540 49	5817468 48
86 49	3742672 48	3260869 50	2211540 48	2739130 50	8869595 49	5151367 48
88 49	4187733 48	3488372 50	2162286 48	2511627 50	8704780 49	4479858 48
90 49	4744340 48	3750000 50	2119791 48	2250000 50	8488746 49	3800504 48
91 49	5077067 48	3896103 50	2101511 48	2103896 50	8353351 49	3457098 48
92 49	5455172 48	4054054 50	2085495 48	1945945 50	8192880 49	3110818 48
93 49	5887580 48	4225352 50	2072005 48	1774647 50	7999533 49	2761436 48
94 49	6385518 48	4411764 50	2061348 48	1588235 50	7761823 49	2408815 48
95 49	6963255 48	4615384 50	2053886 48	1384615 50	7462025 49	2052949 48
96 49	7639140 48	4838709 50	2050053 48	1161290 50	7071067 49	1693969 48
97 49	8437064 48	5084745 50	2050372 48	0915425 49	6537014 49	1331961 48
98 49	9388560 48	5357142 50	2055476 48	0642857 49	5753964 49	9659475 47
99 49	1053588 49	5660377 50	2066141 48	0339622 49	4445004 49	5878283 47
10 50	1193662 49	6000000 50	2083333 48	0000000 00	0000000 00	0000000 00

Compton Cross Sections vs. Angle of Scattered Quantum

65 50 = γ	$\sigma_1(w,\phi)$	γ'	$\sigma_2(\gamma')$	E	w'	$\sigma_4(w',\phi)$
w	ϕ_0		ϕ_0			ϕ_0
10 50N	4284829 47	4642857 49	1248943 49	6035714 50	1000000 50	9640866 49
90 49N	4432101 47	4868913 49	1174695 49	6013108 50	9995324 49	9012564 49
80 49N	4595380 47	5118110 49	1102255 49	5988189 50	9990138 49	8399918 49
70 49N	4777438 47	5394190 49	1031626 49	5960580 50	9984350 49	7802916 49
60 49N	4981729 47	5701754 49	9628152 48	5929824 50	9977851 49	7221579 49
50 49N	5212616 47	6046511 49	8958304 48	5895348 50	9970501 49	6655941 49
40 49N	5475686 47	6435643 49	8306813 48	5856435 50	9962121 49	6106072 49
30 49N	5778219 47	6878307 49	7673804 48	5812169 50	9952477 49	5571981 49
20 49N	6129876 47	7386363 49	7059440 48	5761363 50	9941262 49	5053731 49
10 49N	6543778 47	7975460 49	6463934 48	5702454 50	9928056 49	4551385 49
00 00	7038184 47	8666666 49	5887573 48	5633333 50	9912279 49	4065017 49
10 49	7639316 47	9489051 49	5330756 48	5551094 50	9893097 49	3594720 49
20 49	8386205 47	1048387 50	4794044 48	5451612 50	9869275 49	3140596 49
30 49	9339609 47	1171171 50	4278266 48	5328828 50	9838899 49	2702763 49
40 49	1059948 48	1326530 50	3784687 48	5173469 50	9798830 49	2281324 49
50 49	1234236 48	1529411 50	3315349 48	4970588 50	9743547 49	1876331 49
60 49	1491054 48	1805555 50	2873767 48	4694444 50	9662349 49	1487605 49
62 49	1557684 48	1873198 50	2789276 48	4626801 50	9641316 49	1411757 49
64 49	1631233 48	1946107 50	2706214 48	4553892 50	9618107 49	1336518 49
66 49	1712818 48	2024922 50	2624668 48	4475077 50	9592365 49	1261869 49
68 49	1803802 48	2110389 50	2544741 48	4389610 50	9563650 49	1187792 49
70 49	1905870 48	2203389 50	2466553 48	4296610 50	9531417 49	1114258 49
72 49	2021115 48	2304964 50	2390245 48	4195035 50	9494975 49	1041233 49
74 49	2152180 48	2416356 50	2315988 48	4083643 50	9453441 49	9686751 48
76 49	2302434 48	2539062 50	2243986 48	3960937 50	9405667 49	8965269 48
78 49	2476231 48	2674897 50	2174487 48	3825102 50	9350130 49	8247193 48
80 49	2679289 48	2826087 50	2107795 48	3673913 50	9284766 49	7531631 48
82 49	2919235 48	2995391 50	2044286 48	3504608 50	9206709 49	6817472 48
84 49	3206441 48	3186274 50	1984434 48	3313725 50	9111851 49	6103317 48
86 49	3555301 48	3403141 50	1928840 48	3096858 50	8994091 49	5387448 48
88 49	3986278 48	3651685 50	1878282 48	2848314 50	8843954 49	4667810 48
90 49	4529252 48	3939394 50	1833781 48	2560606 50	8645856 49	3942076 48
91 49	4855980 48	4100946 50	1814214 48	2399053 50	8520954 49	3576182 48
92 49	5229232 48	4276315 50	1796711 48	2223684 50	8372183 49	3207925 48
93 49	5658650 48	4467353 50	1781525 48	2032646 50	8191882 49	2837136 48
94 49	6156507 48	4676259 50	1768956 48	1823741 50	7968659 49	2463789 48
95 49	6738617 48	4905660 50	1759364 48	1594339 50	7684732 49	2088079 48
96 49	7425617 48	5158730 50	1753181 48	1341269 50	7310552 49	1710505 48
97 49	8244817 48	5439330 50	1750934 48	1060669 50	6792501 49	1331855 48
98 49	9232936 48	5752212 50	1753274 48	7477876 49	6019292 49	9525459 47
99 49	1044019 49	6103286 50	1761006 48	3967136 49	4694381 49	5676699 47
10 50	1193662 49	6500000 50	1775147 48	0000000 00	0000000 00	0000000 00

Compton Cross Sections vs. Angle of Scattered Quantum

70 50 = γ w	$\frac{\sigma_1(w,\phi)}{\phi_0}$	γ'	$\frac{\sigma_3(\gamma')}{\phi_0}$	E	w'	$\frac{\sigma_4(w',\phi)}{\phi_0}$
10 50N	3996557 47	4666666 49	1153061 49	6533333 50	1000000 50	1023118 50
90 49N	4138599 47	4895104 49	1085198 49	6510489 50	9995890 49	9573629 49
80 49N	4296024 47	5147058 49	1018892 49	6485294 50	9991330 49	8931436 49
70 49N	4471487 47	5426356 49	9541468 48	6457364 50	9986241 49	8304701 49
60 49N	4668292 47	5737704 49	8909668 48	6426229 50	9980525 49	7693392 49
50 49N	4890610 47	6086956 49	8293589 48	6391304 50	9974059 49	7097568 49
40 49N	5143775 47	6481481 49	7693310 48	6351851 50	9966685 49	6517278 49
30 49N	5434731 47	6930693 49	7108935 48	6306930 50	9958196 49	5952550 49
20 49N	5772687 47	7446808 49	6540598 48	6255319 50	9948320 49	5403455 49
10 49N	6170126 47	8045977 49	5988476 48	6195402 50	9936686 49	4870066 49
00 00	6644407 47	8750000 49	5452805 48	6125000 50	9922778 49	4352470 49
10 49	7220419 47	9589041 49	4933917 48	6041095 50	9905860 49	3850796 49
20 49	7935160 47	1060606 50	4432281 48	5939393 50	9884833 49	3365175 49
30 49	8846149 47	1186440 50	3948590 48	5813559 50	9857993 49	2895775 49
40 49	1004792 48	1346153 50	3483908 48	5653846 50	9822546 49	2442792 49
50 49	1170738 48	1555555 50	3039965 48	5444444 50	9773555 49	2006420 49
60 49	1414852 48	1842105 50	2619763 48	5157894 50	9701425 49	1586735 49
62 49	1478142 48	1912568 50	2538997 48	5087431 50	9682707 49	1504780 49
64 49	1547997 48	1988636 50	2459457 48	5011363 50	9662036 49	1423473 49
66 49	1625481 48	2071005 50	2381217 48	4928994 50	9639089 49	1342801 49
68 49	1711899 48	2160493 50	2304368 48	4839506 50	9613468 49	1262751 49
70 49	1808864 48	2258064 50	2229015 48	4741935 50	9584676 49	1183303 49
72 49	1918391 48	2364864 50	2155283 48	4635135 50	9552086 49	1104430 49
74 49	2043030 48	2482269 50	2083323 48	4517730 50	9514893 49	1026100 49
76 49	2186043 48	2611940 50	2013317 48	4388059 50	9472044 49	9482656 48
78 49	2351671 48	2755905 50	1945485 48	4244094 50	9422144 49	8708692 48
80 49	2545512 48	2916666 50	1880102 48	4083333 50	9363291 49	7938336 48
82 49	2775081 48	3097345 50	1817508 48	3902654 50	9292837 49	7170604 48
84 49	3050682 48	3301886 50	1758136 48	3698113 50	9206965 49	6404238 48
86 49	3386747 48	3535353 50	1702538 48	3464646 50	9099978 49	5637645 48
88 49	3804019 48	3804347 50	1651437 48	3195652 50	8962964 49	4868891 48
90 49	4333190 48	4117647 50	1605792 48	2882353 50	8781140 49	4095763 48
91 49	4653518 48	4294478 50	1585405 48	2705521 50	8665897 49	3706856 48
92 49	5021232 48	4487179 50	1566907 48	2512820 50	8528028 49	3316075 48
93 49	5446619 48	4697986 50	1550541 48	2302013 50	8360071 49	2923298 48
94 49	5942930 48	4929577 50	1536601 48	2070422 50	8150827 49	2528587 48
95 49	6527450 48	5185185 50	1525439 48	1814814 50	7882634 49	2132305 48
96 49	7223061 48	5468750 50	1517487 48	1531250 50	7525766 49	1735277 48
97 49	8060526 48	5785124 50	1513275 48	1214876 50	7025476 49	1338931 48
98 49	9081939 48	6140350 50	1513464 48	8596491 49	6266083 49	9449961 47
99 49	1034604 49	6542056 50	1518887 48	4579439 49	4933011 49	5515918 47
10 50	1193662 49	7000000 50	1530612 48	0000000 00	0000000 00	0000000 00

75 50 = γ W	$\frac{\sigma_1(w,\phi)}{\phi_0}$	γ'	$\frac{\sigma_2(\gamma')}{\phi_0}$	E	w'	$\frac{\sigma_4(w',\phi)}{\phi_0}$
10 50N	37447655 47	46875000 49	10708331 49	70312500 50	10000000 50	10822377 50
90 49N	33817147 47	49180332 49	10083717 49	70081960 50	99963599 49	10135455 50
80 49N	40334617 47	51724133 49	94726433 48	69827580 50	99923199 49	94637177 49
70 49N	42025517 47	54545455 49	88751511 48	69545450 50	99878099 49	88072022 49
60 49N	43922154 47	57692307 49	82912811 48	69230769 50	99827439 49	81659255 49
50 49N	46062667 47	61224499 49	77210887 48	68877555 50	99770119 49	75399547 49
40 49N	48499947 47	65217399 49	71646377 48	68478260 50	99704729 49	69292817 49
30 49N	51299827 47	69767441 49	66220153 48	68023255 50	99629439 49	63339887 49
20 49N	54550357 47	75000000 49	60933333 48	67500000 50	99541809 49	57541499 49
10 49N	58370747 47	81081081 49	55787387 48	66891891 50	99438549 49	51898399 49
00 00	62926627 47	38235299 49	50784317 48	66176470 50	99315069 49	46411607 49
10 49	68455167 47	96774199 49	45926887 48	65322580 50	99164759 49	41082527 49
20 49	75308587 47	10714287 50	41219047 48	64285710 50	98977829 49	35912757 49
30 49	84033807 47	12000000 50	36666667 48	63000000 50	98739039 49	30904477 49
40 49	95528837 47	13636364 50	32278787 48	61363630 50	98423329 49	26060377 49
50 49	11137837 48	15789477 50	28070177 48	59210520 50	97986379 49	21383627 49
60 49	13466007 48	18750000 50	24066667 48	56250000 50	97341719 49	16877167 49
62 49	14069227 48	19480527 50	23294267 48	55519487 50	97174179 49	15996427 49
64 49	14734927 48	20270277 50	22532467 48	54729737 50	96989029 49	15122477 49
66 49	15473287 48	21126767 50	21781937 48	53873237 50	96783349 49	14255297 49
68 49	16296787 48	22058827 50	21043457 48	52941177 50	96553519 49	13394777 49
70 49	17220897 48	23076927 50	20317947 48	51923077 50	96295009 49	12540787 49
72 49	18265027 48	24193547 50	19606537 48	50806457 50	96002089 49	11693167 49
74 49	19453737 48	25423727 50	18910557 48	49576277 50	95667419 49	10851647 49
76 49	20818617 48	26785717 50	18231617 48	48214287 50	95281349 49	10015867 49
78 49	22400887 48	28301887 50	17571727 48	46698117 50	94831049 49	91853737 48
80 49	24255217 48	30000007 50	16933337 48	45000007 50	94299037 49	83595167 48
82 49	26455447 48	31914897 50	16319547 48	43085107 50	93660797 49	75374487 48
84 49	29103477 48	34090907 50	15734307 48	40909097 50	92880927 49	67180477 48
86 49	32343267 48	36585367 50	15182697 48	38414637 50	91906277 49	58998677 48
88 49	36383807 48	39473687 50	14671437 48	35526317 50	90653237 49	50811097 48
90 49	41538047 48	42857147 50	14209527 48	32142857 50	88982067 49	42596757 48
91 49	44675027 48	44776127 50	14000767 48	30223887 50	87917967 49	38472887 48
92 49	48292027 48	46875007 50	13809337 48	28125007 50	86640027 49	34335037 48
93 49	52497717 48	49180327 50	13637587 48	25819677 50	85075997 49	30182367 48
94 49	57433607 48	51724137 50	13488367 48	23275867 50	83116587 49	26016167 48
95 49	63286507 48	54545457 50	13365157 48	20454547 50	80587727 49	21841497 48
96 49	70307077 48	57692307 50	13272207 48	17307697 50	77193027 49	17669437 48
97 49	78837437 48	61224497 50	13214847 48	13775517 50	72378667 49	13520147 48
98 49	89353857 48	65217397 50	13199767 48	97826087 49	64953667 49	94232397 47
99 49	10253397 49	69767447 50	13235557 48	52325587 49	51610027 49	53889417 47
10 50	11936627 49	75000007 50	13333337 48	00000007 00	00000007 00	00000007 00

Compton Cross Sections vs. Angle of Scattered Quantum

80 50 = γ w	$\frac{\sigma_1(w,\phi)}{\phi_0}$	γ'	$\frac{\sigma_3(\gamma')}{\phi_0}$	E	w'	$\frac{\sigma_4(w',\phi)}{\phi_0}$
10 50N	3522918 47	4705882 49	9995404 48	7529411 50	1000000 50	1141425 50
90 49N	3654971 47	4938271 49	9417028 48	7506172 50	9996752 49	1069792 50
80 49N	3801270 47	5194805 49	8850547 48	7480519 50	9993148 49	9996608 49
70 49N	3964265 47	5479452 49	8295992 48	7452054 50	9989124 49	9310276 49
60 49N	4146999 47	5797101 49	7753396 48	7420289 50	9984603 49	8639057 49
50 49N	4353307 47	6153846 49	7222806 48	7384615 50	9979487 49	7982938 49
40 49N	4588095 47	6557377 49	6704277 48	7344262 50	9973649 49	7341942 49
30 49N	4857733 47	7017543 49	6197882 48	7298245 50	9966926 49	6716177 49
20 49N	5170662 47	7547169 49	5703714 48	7245283 50	9959100 49	6105665 49
10 49N	5538299 47	8163265 49	5221898 48	7183673 50	9949874 49	5510544 49
00 00	5976497 47	8888888 49	4752604 48	7111111 50	9938837 49	4930890 49
10 49	6507935 47	9756097 49	4296065 48	7024390 50	9925397 49	4366864 49
20 49	7166261 47	1081081 50	3852618 48	6918918 50	9908673 49	3818661 49
30 49	8003667 47	1212121 50	3422762 48	6787878 50	9887295 49	3286528 49
40 49	9105778 47	1379310 50	3007273 48	6620689 50	9859006 49	2770798 49
50 49	1062359 48	1600000 50	2607421 48	6400000 50	9819805 49	2271891 49
60 49	1285046 48	1904761 50	2225446 48	6095238 50	9761870 49	1790294 49
62 49	1342710 48	1980198 50	2151518 48	6019802 50	9746794 49	1696090 49
64 49	1406338 48	2061855 50	2078514 48	5938144 50	9730124 49	1602598 49
66 49	1476903 48	2150537 50	2006494 48	5849462 50	9711594 49	1509813 49
68 49	1555604 48	2247191 50	1935526 48	5752809 50	9690874 49	1417735 49
70 49	1643927 48	2352941 50	1865694 48	5647058 50	9667550 49	1326358 49
72 49	1743737 48	2469135 50	1797094 48	5530864 50	9641100 49	1235670 49
74 49	1857405 48	2597402 50	1729848 48	5402597 50	9610849 49	1145653 49
76 49	1987989 48	2739726 50	1664101 48	5260274 50	9575913 49	1056284 49
78 49	2139489 48	2898550 50	1600030 48	5101449 50	9535112 49	9675271 48
80 49	2317236 48	3076923 50	1537860 48	4923077 50	9486833 49	8793294 48
82 49	2528468 48	3278688 50	1477872 48	4721311 50	9428809 49	7916203 48
84 49	2783232 48	3508771 50	1420427 48	4491228 50	9357754 49	7043030 48
86 49	3095832 48	3773584 50	1365995 48	4226415 50	9268715 49	6172482 48
88 49	3487217 48	4081632 50	1315197 48	3918367 50	9153857 49	5302908 48
90 49	3989107 48	4444444 50	1268880 48	3555555 50	9000000 49	4432341 48
91 49	4296068 48	4651162 50	1247751 48	3348837 50	8901636 49	3996057 48
92 49	4651438 48	4878048 50	1228216 48	3121951 50	8783100 49	3558842 48
93 49	5066603 48	5128205 50	1210503 48	2871794 50	8637433 49	3120640 48
94 49	5556533 48	5405405 50	1194888 48	2594594 50	8454027 49	2681639 48
95 49	6141226 48	5714285 50	1181710 48	2285714 50	8215838 49	2242458 48
96 49	6847854 48	6060606 50	1171392 48	1939393 50	7893522 49	1804459 48
97 49	7714055 48	6451612 50	1164463 48	1548387 50	7431505 49	1370187 48
98 49	8793096 48	6896551 50	1161602 48	1103448 50	6708203 49	9437741 47
99 49	1016222 49	7407407 50	1163687 48	5925926 49	5378528 49	5290337 47
10 50	1193662 49	8000000 50	1171875 48	0000000 00	0000000 00	0000000 00

Compton Cross Sections vs. Angle of Scattered Quantum

85 50 = γ w	$\frac{\sigma_1(w,\phi)}{\phi_0}$	γ'	$\frac{\sigma_2(\gamma')}{\phi_0}$	E	w'	$\frac{\sigma_4(w',\phi)}{\phi_0}$
10 50N	3325961 47	4722222 49	9371396 48	8027777 50	1000000 50	1200672 50
90 49N	3453341 47	4956268 49	8833032 48	8004373 50	9997085 49	1126091 50
80 49N	3594453 47	5214723 49	8305199 48	7978527 50	9993850 49	1052997 50
70 49N	3751651 47	5501618 49	7787919 48	7949838 50	9990237 49	9813842 49
60 49N	3927866 47	5821917 49	7281225 48	7917808 50	9986178 49	9112676 49
50 49N	4126788 47	6181818 49	6785152 48	7881818 50	9981583 49	8426427 49
40 49N	4353132 47	6589147 49	6299750 48	7841085 50	9976340 49	7755177 49
30 49N	4613024 47	7053941 49	5825080 48	7794605 50	9970301 49	7098953 49
20 49N	4914571 47	7589285 49	5361221 48	7741071 50	9963268 49	6457873 49
10 49N	5268737 47	8212560 49	4908279 48	7678744 50	9954977 49	5832002 49
00 00	5690735 47	8947368 49	4466399 48	7605263 50	9945054 49	5221481 49
10 49	6202310 47	9826589 49	4035782 48	7517341 50	9932966 49	4626453 49
20 49	6835702 47	1089743 50	3616715 48	7410256 50	9917919 49	4047143 49
30 49	7640876 47	1223021 50	3209629 48	7276978 50	9898672 49	3483821 49
40 49	8699738 47	1393442 50	2815191 48	7106557 50	9873183 49	2936868 49
50 49	1015663 48	1619047 50	2434503 48	6880952 50	9837827 49	2406797 49
60 49	1229198 48	1931818 50	2069518 48	6568181 50	9785497 49	1894263 49
62 49	1284465 48	2009456 50	1998688 48	6490543 50	9771865 49	1793925 49
64 49	1345438 48	2093596 50	1928670 48	6406403 50	9756784 49	1694322 49
66 49	1413054 48	2185090 50	1859517 48	6314910 50	9740011 49	1595458 49
68 49	1488462 48	2284946 50	1791289 48	6215053 50	9721245 49	1497336 49
70 49	1573090 48	2394366 50	1724060 48	6105633 50	9700107 49	1399953 49
72 49	1668737 48	2514792 50	1657919 48	5985207 50	9676118 49	1303310 49
74 49	1777690 48	2647975 50	1592972 48	5852024 50	9648658 49	1207394 49
76 49	1902907 48	2796052 50	1529349 48	5703947 50	9616915 49	1112192 49
78 49	2048272 48	2961672 50	1467213 48	5538327 50	9579801 49	1017679 49
80 49	2218975 48	3148148 50	1406766 48	5351851 50	9535826 49	9238144 48
82 49	2422100 48	3359683 50	1348264 48	5140316 50	9482893 49	8305422 48
84 49	2667531 48	3601694 50	1292039 48	4898305 50	9417950 49	7377814 48
86 49	2969435 48	3881278 50	1238523 48	4618721 50	9336379 49	6454188 48
88 49	3348726 48	4207920 50	1188295 48	4292079 50	9230844 49	5533056 48
90 49	3837402 48	4594594 50	1142149 48	3905405 50	9088932 49	4612601 48
91 49	4137612 48	4815864 50	1120937 48	3684136 50	8997881 49	4152036 48
92 49	4486463 48	5059523 50	1101196 48	3440476 50	8887825 49	3691006 48
93 49	4895794 48	5329153 50	1083145 48	3170846 50	8752083 49	3229476 48
94 49	5381325 48	5629139 50	1067051 48	2870860 50	8580407 49	2767676 48
95 49	5964281 48	5964912 50	1053246 48	2535087 50	8356190 49	2306324 48
96 49	6673860 48	6343283 50	1042146 48	2156716 50	8050558 49	1846997 48
97 49	7551072 48	6772908 50	1034280 48	1727091 50	7608119 49	1392728 48
98 49	8654903 48	7264957 50	1030329 48	1235042 50	6905667 49	9487515 47
99 49	1007249 49	7834101 50	1031189 48	6658986 49	5585819 49	5215831 47
10 50	1193662 49	8500000 50	1038062 48	0000000 00	0000000 00	0000000 00

Compton Cross Sections vs. Angle of Scattered Quantum

90 50 = γ	$\frac{\sigma_1(w,\phi)}{\phi_0}$	γ'	$\frac{\sigma_3(\gamma')}{\phi_0}$	E	w'	$\frac{\sigma_4(w',\phi)}{\phi_0}$
w						
10 50 N	3149917 47	4736842 49	8820662 48	8526315 50	1000000 50	1259967 50
90 49 N	3272860 47	4972375 49	8317244 48	8502762 50	9997369 49	1182430 50
80 49 N	3409050 47	5232558 49	7823212 48	8476744 50	9994449 49	1106369 50
70 49 N	3560757 47	5521472 49	7338587 48	8447852 50	9991188 49	1031780 50
60 49 N	3730806 47	5844155 49	6863395 48	8415584 50	9987523 49	9586746 49
50 49 N	3922752 47	6206896 49	6397669 48	8379310 50	9983374 49	8870410 49
40 49 N	4141137 47	6617647 49	5941448 48	8338235 50	9978640 49	8168808 49
30 49 N	4391860 47	7086614 49	5494787 48	8291338 50	9973185 49	7482292 49
20 49 N	4682725 47	7627118 49	5057752 48	8237288 50	9966832 49	6810661 49
10 49 N	5024283 47	8256880 49	4630436 48	8174311 50	9959340 49	6154121 49
00 00	5431162 47	9000000 49	4212962 48	8100000 50	9950371 49	5512822 49
10 49	5924266 47	9890109 49	3805504 48	8010989 50	9939443 49	4886898 49
20 49	6534564 47	1097561 50	3408310 48	7902439 50	9925833 49	4276585 49
30 49	7310016 47	1232876 50	3021752 48	7767123 50	9908416 49	3682149 49
40 49	8329187 47	1406250 50	2646412 48	7593750 50	9885336 49	3104063 49
50 49	9730453 47	1636363 50	2283249 48	7363636 50	9853292 49	2542904 49
60 49	1178259 48	1956521 50	1933977 48	7043478 50	9805806 49	1999453 49
62 49	1231349 48	2036199 50	1866039 48	6963800 50	9793424 49	1892971 49
64 49	1289914 48	2122641 50	1798819 48	6877358 50	9779720 49	1787252 49
66 49	1354852 48	2216748 50	1732363 48	6783251 50	9764472 49	1682297 49
68 49	1427270 48	2319587 50	1666727 48	6680412 50	9747403 49	1578119 49
70 49	1508544 48	2432432 50	1601977 48	6567567 50	9728166 49	1474712 49
72 49	1600404 48	2556818 50	1538190 48	6443181 50	9706320 49	1372090 49
74 49	1705064 48	2694610 50	1475463 48	6305389 50	9681294 49	1270242 49
76 49	1825383 48	2848101 50	1413914 48	6151898 50	9652341 49	1169174 49
78 49	1965132 48	3020134 50	1353690 48	5979865 50	9618457 49	1068860 49
80 49	2129364 48	3214285 50	1294973 48	5785714 50	9578262 49	9692814 48
82 49	2325000 48	3435114 50	1237999 48	5564885 50	9529814 49	8703914 48
84 49	2561750 48	3688524 50	1183072 48	5311475 50	9470274 49	7721278 48
86 49	2853606 48	3982300 50	1130591 48	5017699 50	9395338 49	6743927 48
88 49	3221388 48	4326923 50	1081096 48	4673076 50	9298135 49	5770560 48
90 49	3697237 48	4736842 50	1035331 48	4263157 50	9166984 49	4799521 48
91 49	3990750 48	4972375 50	1014160 48	4027624 50	9082572 49	4314339 48
92 49	4332987 48	5232558 50	9943497 47	3767441 50	8980265 49	3829128 48
93 49	4736183 48	5521472 50	9761096 47	3478527 50	8853669 49	3343910 48
94 49	5216736 48	5844155 50	9596993 47	3155844 50	8692913 49	2858941 48
95 49	5797011 48	6206896 50	9454422 47	2793103 50	8481889 49	2375014 48
96 49	6508136 48	6617647 50	9337472 47	2382352 50	8192319 49	1893895 48
97 49	7394434 48	7086614 50	9251396 47	1913385 50	7769309 49	1419058 48
98 49	8520648 48	7627118 50	9203044 47	1372881 50	7088812 49	9567802 47
99 49	9984178 48	8256880 50	9201533 47	7431193 49	5783149 49	5162013 47
10 50	1193662 49	9000000 50	9259259 47	0000000 00	0000000 00	0000000 00

Compton Cross Sections vs. Angle of Scattered Quantum

95 50 = γ W	$\frac{\sigma_1(w,\phi)}{\phi_0}$	γ'	$\frac{\sigma_2(\gamma')}{\phi_0}$	E	w'	$\frac{\sigma_4(w',\phi)}{\phi_0}$
10 50N	2991615 47	4750000 49	8331025 48	9025000 50	1000000 50	1319302 50
90 49N	3110356 47	4986876 49	7858377 48	9001312 50	9997613 49	1238814 50
80 49N	3241890 47	5248618 49	7394148 48	8975138 50	9994964 49	1159791 50
70 49N	3388407 47	5539358 49	6938356 48	8946064 50	9992006 49	1082216 50
60 49N	3552633 47	5864197 49	6491023 48	8913580 50	9988681 49	1006111 50
50 49N	3738000 47	6229508 49	6052177 48	8877049 50	9984917 49	9314720 49
40 49N	3948888 47	6643356 49	5621854 48	8835664 50	9980620 49	8582954 49
30 49N	4190988 47	7116104 49	5200099 48	8788389 50	9975669 49	7865971 49
20 49N	4471825 47	7661290 49	4786971 48	8733871 50	9969902 49	7163953 49
10 49N	4801569 47	8296943 49	4382549 48	8670305 50	9963099 49	6476835 49
00 00	5194318 47	9047619 49	3986941 48	8595238 50	9954954 49	5804841 49
10 49	5670205 47	9947643 49	3600296 48	8505235 50	9945027 49	5148055 49
20 49	6259042 47	1104651 50	3222830 48	8395348 50	9932659 49	4506827 49
30 49	7006977 47	1241830 50	2854869 48	8258170 50	9916825 49	3881396 49
40 49	7989550 47	1417910 50	2496920 48	8082089 50	9895830 49	3272249 49
50 49	9339740 47	1652173 50	2149825 48	7847826 50	9866660 49	2680049 49
60 49	1131578 48	1979166 50	1815097 48	7520833 50	9823385 49	2105720 49
62 49	1182681 48	2060737 50	1749855 48	7439262 50	9812091 49	1993096 49
64 49	1239047 48	2149321 50	1685254 48	7350678 50	9799588 49	1881255 49
66 49	1301543 48	2245862 50	1621332 48	7254137 50	9785671 49	1770205 49
68 49	1371232 48	2351485 50	1558140 48	7148514 50	9770084 49	1659949 49
70 49	1449442 48	2467532 50	1495737 48	7032467 50	9752509 49	1550505 49
72 49	1537845 48	2595628 50	1434192 48	6904371 50	9732538 49	1441879 49
74 49	1638577 48	2737752 50	1373594 48	6762247 50	9709647 49	1334078 49
76 49	1754410 48	2896341 50	1314049 48	6603658 50	9683144 49	1227108 49
78 49	1889002 48	3074433 50	1255689 48	6425566 50	9652100 49	1120961 49
80 49	2047270 48	3275862 50	1198681 48	6224137 50	9615239 49	1015626 49
82 49	2235975 48	3505535 50	1143242 48	5994464 50	9570755 49	9110700 48
84 49	2464639 48	3769841 50	1089650 48	5730158 50	9516008 49	8072494 48
86 49	2747061 48	4077253 50	1038276 48	5422746 50	9446980 49	7040830 48
88 49	3103909 48	4439252 50	9896218 47	5060747 50	9357238 49	6014607 48
90 49	3567363 48	4871794 50	9443853 47	4628205 50	9235789 49	4992337 48
91 49	3854282 48	5121293 50	9233450 47	4378706 50	9157402 49	4482192 48
92 49	4189882 48	5397727 50	9035659 47	4102272 50	9062168 49	3972498 48
93 49	4586744 48	5705705 50	8852496 47	3794294 50	8943982 49	3463271 48
94 49	5061871 48	6050955 50	8686466 47	3449044 50	8793361 49	2954796 48
95 49	5638682 48	6440678 50	8540718 47	3059322 50	8594727 49	2447934 48
96 49	6350144 48	6884058 50	8419270 47	2615942 50	8320502 49	1944614 48
97 49	7243804 48	7392996 50	8327327 47	2107003 50	7916547 49	1448706 48
98 49	8390177 48	7983193 50	8271757 47	1516806 50	7258661 49	9674757 47
99 49	9897243 48	8675799 50	8261809 47	8242009 49	5970826 49	5126188 47
10 50	1193662 49	9500000 50	8310249 47	0000000 00	0000000 00	0000000 00

Compton Cross Sections vs. Angle of Scattered Quantum

10 51. = γ	$\sigma_1(w,\phi)/\phi_0$	γ'	$\sigma_3(\gamma')/\phi_0$	E	w'	$\sigma_4(w',\phi)/\phi_0$
w						
10 50N	2848497 47	4761904 49	7892857 48	9523809 50	1000000 50	1378672 50
90 49N	2963266 47	5000000 49	7447500 48	9500000 50	9997825 49	1295238 50
80 49N	3090399 47	5263157 49	7009737 48	9473684 50	9995411 49	1213233 50
70 49N	3232016 47	5555555 49	6579583 48	9444444 50	9992715 49	1132671 50
60 49N	3390748 47	5882352 49	6157059 48	9411765 50	9989685 49	1053579 50
50 49N	3569912 47	6250000 49	5742187 48	9375000 50	9986254 49	9759280 49
40 49N	3773740 47	6666666 49	5335000 48	9333333 50	9982337 49	8997386 49
30 49N	4007729 47	7142857 49	4935535 48	9285714 50	9977823 49	8250123 49
20 49N	4279145 47	7692307 49	4543846 48	9230769 50	9972565 49	7517726 49
10 49N	4597809 47	8333333 49	4159999 48	9166667 50	9966361 49	6800046 49
00 00	4977328 47	9090909 49	3784090 48	9090909 50	9958932 49	6097422 49
10 49	5437130 47	1000000 50	3416250 48	9000000 50	9949874 49	5409876 49
20 49	6005970 47	1111111 50	3056666 48	8888889 50	9938586 49	4737768 49
30 49	6728337 47	1250000 50	2705625 48	8750000 50	9924130 49	4081434 49
40 49	7677021 47	1428571 50	2363571 48	8571429 50	9904953 49	3441306 49
50 49	8980097 47	1666666 50	2031250 48	8333333 50	9878291 49	2818123 49
60 49	1088619 48	2000000 50	1710000 48	8000000 50	9838699 49	2212934 49
62 49	1137899 48	2083333 50	1647275 48	7916667 50	9828358 49	2094179 49
64 49	1192249 48	2173913 50	1585121 48	7826087 50	9816907 49	1976212 49
66 49	1252504 48	2272727 50	1523577 48	7727273 50	9804157 49	1859049 49
68 49	1319692 48	2380952 50	1462685 48	7619048 50	9789871 49	1742716 49
70 49	1395092 48	2500000 50	1402500 48	7500000 50	9773756 49	1627220 49
72 49	1480321 48	2631578 50	1343084 48	7368421 50	9755436 49	1512578 49
74 49	1577447 48	2777777 50	1284516 48	7222222 50	9734425 49	1398800 49
76 49	1689154 48	2941176 50	1226894 48	7058823 50	9710083 49	1285904 49
78 49	1818994 48	3125000 50	1170337 48	6875000 50	9681549 49	1173889 49
80 49	1971752 48	3333333 50	1115000 48	6666667 50	9647638 49	1062759 49
82 49	2154029 48	3571428 50	1061078 48	6428571 50	9606671 49	9524954 48
84 49	2375153 48	3846153 50	1008830 48	6153846 50	9556189 49	8430690 48
86 49	2648714 48	4166666 50	9586000 47	5833333 50	9492438 49	7344178 48
88 49	2995186 48	4545454 50	9108545 47	5454545 50	9409388 49	6264514 48
90 49	3446699 48	5000000 50	8662500 47	5000000 50	9296696 49	5190425 48
91 49	3727161 48	5263157 50	8454059 47	4736842 50	9223780 49	4655022 48
92 49	4056158 48	5555555 50	8257333 47	4444444 50	9135002 49	4120540 48
93 49	4446567 48	5882352 50	8074257 47	4117647 50	9024539 49	3586998 48
94 49	4915929 48	6250000 50	7907250 47	3750000 50	8883301 49	3054711 48
95 49	5488635 48	6666666 50	7759375 47	3333333 50	8696263 49	2524594 48
96 49	6199386 48	7142857 50	7634571 47	2857143 50	8436614 49	1998708 48
97 49	7098866 48	7692307 50	7537990 47	2307692 50	8051175 49	1481286 48
98 49	8263346 48	8333333 50	7476499 47	1666667 50	7416198 49	9805219 47
99 49	9811660 48	9090909 50	7459465 47	9090910 49	6149186 49	5105928 47
10 50	1193662 49	1000000 51	7500000 47	0000000 00	0000000 00	0000000 00

Compton Cross Sections vs. Angle of Scattered Quantum

11 51 = γ	$\sigma_1(w_1\phi)$	γ'	$\sigma_2(\gamma')$	E	w'	$\sigma_4(w',\phi)$
w	ϕ_0		ϕ_0			ϕ_0
10 50N	25998 22 47	4782608 49	7141573 48	1052173 51	1000000 50	1497497 50
90 49N	2707294 47	5022831 49	6742457 48	1049771 51	9998173 49	1408123 50
80 49N	2826349 47	5288461 49	6349610 48	1047115 51	9996144 49	1320198 50
70 49N	2958974 47	5583756 49	5963045 48	1044162 51	9993878 49	1233672 50
60 49N	3107634 47	5913978 49	5582777 48	1040860 51	9991330 49	1148589 50
50 49N	3275436 47	6285714 49	5208825 48	1037142 51	9988446 49	1064934 50
40 49N	3466345 47	6707317 49	4841211 48	1032926 51	9985152 49	9827154 49
30 49N	3685508 47	7189542 49	4479967 48	1028104 51	9981355 49	9019409 49
20 49N	3939730 47	7746478 49	4125131 48	1022535 51	9976931 49	8226186 49
10 49N	4238205 47	8396946 49	3776757 48	1016030 51	9971711 49	7447671 49
00 00	4593664 47	9166666 49	3434917 48	1008333 51	9965457 49	6683880 49
10 49	5024283 47	1009174 50	3099713 48	9990826 50	9957830 49	5935089 49
20 49	5556942 47	1122449 50	2771293 48	9877551 50	9948320 49	5201493 49
30 49	6233207 47	1264367 50	2449878 48	9735632 50	9936132 49	4483489 49
40 49	7121032 47	1447368 50	2135820 48	9552631 50	9919953 49	3781635 49
50 49	8339878 47	1692307 50	1829704 48	9307692 50	9897433 49	3096662 49
60 49	10121153 48	2037037 50	1532598 48	8962963 50	9863939 49	2429845 49
62 49	10581196 48	2123552 50	1474416 48	8876448 50	9855181 49	2298804 49
64 49	11089969 48	2217741 50	1416698 48	8782258 50	9845477 49	2168586 49
66 49	11652251 48	2320675 50	1359474 48	8679325 50	9834666 49	2039207 49
68 49	12280048 48	2433628 50	1302780 48	8566372 50	9822546 49	1910690 49
70 49	12984248 48	2558139 50	1246660 48	8441860 50	9808863 49	1783055 49
72 49	13780278 48	2696078 50	1191166 48	8303922 50	9793296 49	1656339 49
74 49	14687518 48	2849741 50	1136363 48	8150259 50	9775426 49	1530559 49
76 49	15731258 48	3021978 50	1082332 48	7978022 50	9754700 49	1405746 49
78 49	16945008 48	3216374 50	1029172 48	7783626 50	9730375 49	1281919 49
80 49	18374118 48	3437500 50	9770144 47	7562500 50	9701425 49	1159105 49
82 49	20081458 48	3691275 50	9260239 47	7308725 50	9666389 49	1037313 49
84 49	22156448 48	3985507 50	8764211 47	7014493 50	9623123 49	9165468 48
86 49	24730438 48	4330708 50	8285023 47	6669291 50	9568340 49	7967837 48
88 49	28003458 48	4741379 50	7826759 47	6258621 50	9496730 49	6779753 48
90 49	32293718 48	5238095 50	7395218 47	5761905 50	9399125 49	5600389 48
91 49	34974208 48	5527638 50	7191981 47	5472362 50	9335702 49	5013656 48
92 49	38134688 48	5851063 50	6998909 47	5148936 50	9258201 49	4428767 48
93 49	41908518 48	6214689 50	6817784 47	4785311 50	9161334 49	3845779 48
94 49	46480088 48	6626506 50	6650856 47	4373494 50	9036786 49	3265049 48
95 49	52110278 48	7096774 50	6501016 47	3903226 50	8870655 49	2687563 48
96 49	59177818 48	7638888 50	6372038 47	3361111 50	8637789 49	2115600 48
97 49	68249068 48	8270676 50	6268945 47	2729323 50	8287366 49	1554004 48
98 49	80200558 48	9016393 50	6198570 47	1983607 50	7698003 49	1012664 48
99 49	96444378 48	9909909 50	6170457 47	1090090 50	6479390 49	5105482 47
10 50	11936628 49	1100000 51	6198347 47	0000000 00	0000000 00	0000000 00

13 51= γ w	$\frac{\sigma_1(w,\phi)}{\phi_0}$	γ'	$\frac{\sigma_2(\gamma')}{\phi_0}$	E	w'	$\frac{\sigma_4(w',\phi)}{\phi_0}$
10 50N	2391143 47	4800000 49	6520833 48	1152000 51	1000000 50	1616413 50
90 49N	2492101 47	5042016 49	6159379 48	1149579 51	9998443 49	1521127 50
80 49N	2603949 47	5309734 49	5803189 48	1146902 51	9996714 49	1427227 50
70 49N	2728554 47	5607476 49	5452273 48	1143925 51	9994783 49	1334726 50
60 49N	2868238 47	5940594 49	5106642 48	1140594 51	9992611 49	1243676 50
50 49N	3025922 47	6315789 49	4766310 48	1136842 51	9990152 49	1154010 50
40 49N	3205335 47	6741573 49	4431296 48	1132584 51	9987344 49	1065773 50
30 49N	3411319 47	7228915 49	4101625 48	1127710 51	9984107 49	9789739 49
20 49N	3650276 47	7792207 49	3777326 48	1122077 51	9980334 49	8935905 49
10 49N	3930851 47	8450704 49	3458443 48	1115493 51	9975881 49	8096658 49
00 00	4265019 47	9230769 49	3145032 48	1107692 51	9970544 49	7271991 49
10 49	4669866 47	1016949 50	2837173 48	1098305 51	9964034 49	6462031 49
20 49	5170662 47	1132075 50	2534984 48	1086792 51	9955914 49	5667237 49
30 49	5806460 47	1276595 50	2238641 48	1072340 51	9945503 49	4887794 49
40 49	6641077 47	1463414 50	1948424 48	1053658 51	9931673 49	4124392 49
50 49	7786643 47	1714285 50	1664806 48	1028571 51	9912407 49	3377848 49
60 49	9460612 47	2068965 50	1388649 48	9931034 50	9883717 49	2649510 49
62 49	9893106 47	2158273 50	1334441 48	9841727 50	9876208 49	2506198 49
64 49	1036999 48	2255639 50	1280617 48	9744361 50	9867885 49	2363731 49
66 49	1089860 48	2362204 50	1227200 48	9637795 50	9858608 49	2222129 49
68 49	1148793 48	2479338 50	1174221 48	9520661 50	9848202 49	2081413 49
70 49	1214926 48	2608695 50	1121716 48	9391304 50	9836448 49	1941621 49
72 49	1289683 48	2752293 50	1069728 48	9247706 50	9823067 49	1802789 49
74 49	1374893 48	2912621 50	1018312 48	9087379 50	9807695 49	1664951 49
76 49	1472941 48	3092783 50	9675343 47	8907216 50	9789852 49	1528150 49
78 49	1586999 48	3296703 50	9174805 47	8703297 50	9768890 49	1392430 49
80 49	1721371 48	3529411 50	8682598 47	8470588 50	9743911 49	1257828 49
82 49	1882045 48	3797468 50	8200145 47	8202532 50	9713641 49	1124386 49
84 49	2077586 48	4109589 50	7729338 47	7890411 50	9676198 49	9921371 48
86 49	2320659 48	4477612 50	7272745 47	7522388 50	9628686 49	8610995 48
88 49	2630720 48	4918032 50	6833948 47	7081967 50	9566412 49	7312677 48
90 49	3039085 48	5454545 50	6418087 47	6545455 50	9481224 49	6026102 48
91 49	3295468 48	5769230 50	6221013 47	6230769 50	9425680 49	5387046 48
92 49	3599076 48	6122449 50	6032823 47	5877551 50	9357604 49	4750766 48
93 49	3963557 48	6521739 50	5855151 47	5478261 50	9272207 49	4117357 48
94 49	4408034 48	6976744 50	5690092 47	5023256 50	9161899 49	3487207 48
95 49	4959992 48	7500000 50	5540364 47	4500000 50	9013878 49	2861361 48
96 49	5660074 48	8108108 50	5409572 47	3891892 50	8804711 49	2242246 48
97 49	6570414 48	8823529 50	5302588 47	3176471 50	8486285 49	1635193 48
98 49	7789745 48	9677419 50	5226176 47	2322581 50	7941013 49	1051579 48
99 49	9482291 48	1071428 51	5189992 47	1285714 50	6776718 49	5149222 47
10 50	1193662 49	1200000 51	5208333 47	0000000 00	0000000 00	0000000 00

Compton Cross Sections vs. Angle of Scattered Quantum

3 51 = γ	$\sigma_1(w,\phi)$	γ'	$\sigma_2(\gamma')$	E	w'	$\sigma_4(w',\phi)$
w	ϕ_0		ϕ_0			ϕ_0
0 50N	2213517 47	4814814 49	5999342 48	1251851 51	1000000 50	1735397 50
0 49N	2308647 47	5058365 49	5669137 48	1249416 51	9998657 49	1634161 50
0 49N	2414048 47	5327868 49	5343413 48	1246721 51	9997166 49	1534325 50
0 49N	2531483 47	5627705 49	5022179 48	1243722 51	9995501 49	1435876 50
0 49N	2663143 47	5963302 49	4705444 48	1240367 51	9993628 49	1338811 50
0 49N	2811785 47	6341463 49	4393220 48	1236585 51	9991507 49	1243161 50
0 49N	2980930 47	6770833 49	4085521 48	1232291 51	9989084 49	1148903 50
0 49N	3175151 47	7262569 49	3782366 48	1227374 51	9986292 49	1056083 50
0 49N	3400490 47	7831325 49	3483781 48	1221686 51	9983036 49	9646633 49
0 49N	3665112 47	8496732 49	3189798 48	1215032 51	9979193 49	8746697 49
0 00	3980323 47	9285714 49	2900465 48	1207142 51	9974587 49	7861197 49
0 49	4362257 47	1023622 50	2615844 48	1197637 51	9968965 49	6990405 49
0 49	4834771 47	1140350 50	2336032 48	1185964 51	9961952 49	6134504 49
0 49	5434731 47	1287128 50	2061170 48	1171287 51	9952957 49	5293856 49
0 49	6222360 47	1477272 50	1791487 48	1152272 51	9941002 49	4469126 49
0 49	7303443 47	1733333 50	1527366 48	1126666 51	9924336 49	3661161 49
0 49	8883047 47	2096774 50	1269517 48	1090322 51	9899494 49	2871434 49
2 49	9291126 47	2188552 50	1218805 48	1081144 51	9892988 49	2715867 49
4 49	9741082 47	2288732 50	1168414 48	1071126 51	9885774 49	2561159 49
6 49	1023981 48	2398524 50	1118365 48	1060147 51	9877729 49	2407328 49
8 49	1079583 48	2519379 50	1068683 48	1048062 51	9868703 49	2254410 49
0 49	1141978 48	2653061 50	1019396 48	1034693 51	9858503 49	2102439 49
2 49	1212511 48	2801724 50	9705437 47	1019827 51	9846884 49	1951466 49
4 49	1292913 48	2968036 50	9221694 47	1003196 51	9833529 49	1801540 49
6 49	1385441 48	3155339 50	8743310 47	9844660 50	9818016 49	1652704 49
8 49	1493106 48	3367875 50	8271007 47	9632124 50	9799777 49	1505024 49
0 49	1619999 48	3611111 50	7805719 47	9388889 50	9778024 49	1358554 49
2 49	1771832 48	3892215 50	7348671 47	9107784 50	9751632 49	1213365 49
4 49	1956810 48	4220779 50	6901498 47	8779221 50	9718941 49	1069517 49
6 49	2187127 48	4609929 50	6466442 47	8390071 50	9677390 49	9270675 48
8 49	2481658 48	5078125 50	6046653 47	7921875 50	9622807 49	7860590 48
0 49	2871087 48	5652173 50	5646706 47	7347826 50	9547920 49	6465110 48
1 49	3116578 48	5990783 50	5456204 47	7009217 50	9498956 49	5772865 48
2 49	3408367 48	6372549 50	5273512 47	6627451 50	9438798 49	5084317 48
3 49	3760292 48	6806282 50	5100133 47	6193717 50	9363104 49	4399610 48
4 49	4191978 48	7303370 50	4938012 47	5696629 50	9264956 49	3719182 48
5 49	4732032 48	7878787 50	4789705 47	5121212 50	9132593 49	3044118 48
6 49	5423492 48	8552631 50	4658642 47	4447368 50	8944271 49	2376950 48
7 49	6333509 48	9352518 50	4549536 47	3647482 50	8654736 49	1723382 48
8 49	7571479 48	1031746 51	4469047 47	2682540 50	8151115 49	1096088 48
9 49	9325015 48	1150442 51	4426898 47	1495575 50	7044164 49	5228982 47
0 50	1193662 49	1300000 51	4437869 47	0000000 00	0000000 00	0000000 00

Compton Cross Sections vs. Angle of Scattered Quantum

14 51 = γ	$\sigma_1(w,\phi)/\phi_0$	γ'	$\sigma_3(\gamma')/\phi_0$	E	w'	$\sigma_4(w',\phi)/\phi_0$
w						
10 50N	2060485 47	4827586 49	5555066 48	1351724 51	1000000 50	1854436 50
90 49N	2150383 47	5072463 49	5251192 48	1349275 51	9998830 49	1747246 50
80 49N	2249999 47	5343511 49	4951180 48	1346564 51	9997531 49	1641472 50
70 49N	2360999 47	5645161 49	4655036 48	1343548 51	9996080 49	1537042 50
60 49N	2485459 47	5982906 49	4362768 48	1340170 51	9994449 49	1434017 50
50 49N	2625989 47	6363636 49	4074385 48	1336363 51	9992600 49	1332364 50
40 49N	2785925 47	6796116 49	3789900 48	1332038 51	9990489 49	1232114 50
30 49N	2969597 47	7291666 49	3509327 48	1327083 51	9988055 49	1133243 50
20 49N	3182730 47	7865168 49	3232687 48	1321348 51	9985218 49	1035795 50
10 49N	3433060 47	8536585 49	2960008 48	1314634 51	9981867 49	9397577 49
00 00	3731299 47	9333333 49	2691326 48	1306666 51	9977851 49	8451459 49
10 49	4092735 47	10294111 50	2426695 48	1297058 51	9972949 49	7519912 49
20 49	4539976 47	11475411 50	2166192 48	1285245 51	9966832 49	6603070 49
30 49	5107957 47	12962961 50	1909934 48	1270370 51	9958983 49	5701402 49
40 49	5853741 47	14893611 50	1658109 48	1251063 51	9948548 49	4815479 49
50 49	6877545 47	17500000 50	1411033 48	1225000 51	9933992 49	3946245 49
60 49	8373603 47	21212121 50	1169295 48	1187878 51	9912279 49	3095245 49
62 49	8760110 47	22151891 50	1121676 48	1178481 51	9906588 49	2927431 49
64 49	9186283 47	23178801 50	1074329 48	1168211 51	9900277 49	2760489 49
66 49	9658661 47	24305551 50	1027272 48	1156944 51	9893237 49	2594430 49
68 49	10185301 48	25547441 50	980525 8 47	1144525 51	9885336 49	2429307 49
70 49	1077630 48	26923071 50	934114 9 47	1130769 51	9876403 49	2265157 49
72 49	1144441 48	28455281 50	888071 1 47	1115447 51	9866225 49	2102030 49
74 49	1220606 48	30172411 50	842433 1 47	1098275 51	9854519 49	1939985 49
76 49	1308270 48	32110091 50	797249 5 47	1078899 51	9840915 49	1779082 49
78 49	1410295 48	34313721 50	752582 5 47	1056862 51	9824910 49	1619392 49
80 49	1530581 48	36842101 50	708512 3 47	1031578 51	9805806 49	1460994 49
82 49	1674584 48	39772721 50	665144 9 47	1002272 51	9782608 49	1303979 49
84 49	1850168 48	43209871 50	622622 8 47	9679012 50	9753841 49	1148435 49
86 49	2069071 48	47297291 50	581142 4 47	9270270 50	9717224 49	9944595 48
88 49	2349577 48	52238801 50	540982 3 47	8776119 50	9669038 49	8421418 48
90 49	2721660 48	58333331 50	502551 0 47	8166667 50	9602766 49	6915562 48
91 49	2957019 48	61946901 50	484166 6 47	7805310 50	9559334 49	6169341 48
92 49	3237657 48	66037731 50	466472 8 47	7396226 50	9505863 49	5427735 48
93 49	3577500 48	70707071 50	449607 8 47	6929293 50	9438416 49	4690950 48
94 49	3996522 48	76086951 50	433752 2 47	6391304 50	9350680 49	3959474 48
95 49	4524217 48	82352941 50	419145 7 47	5764706 50	9231861 49	3234432 48
96 49	5205657 48	89743591 50	406114 5 47	5025641 50	9061831 49	2518432 48
97 49	6112531 48	98591541 50	395113 2 47	4140845 50	8798196 49	1817461 48
98 49	7364400 48	10937501 51	386795 2 47	3062500 50	8333333 49	1145311 48
99 49	9172410 48	12280701 51	382135 1 47	1719298 50	7284644 49	5338768 47
10 50	1193662 49	14000001 51	382653 0 47	0000000 00	0000000 00	0000000 00

Compton Cross Sections vs. Angle of Scattered Quantum

15 51 = γ w	$\frac{\sigma_1(w,\phi)}{\phi_0}$	γ'	$\frac{\sigma_2(\gamma')}{\phi_0}$	E	w'	$\frac{\sigma_4(w',\phi)}{\phi_0}$
10 50N	1927264 47	4838709 49	5172043 48	1451612 51	1000000 50	1973519 50
90 49N	2012450 47	5084745 49	4890649 48	1449152 51	9998972 49	1860418 50
80 49N	2106852 47	5357142 49	4612619 48	1446428 51	9997830 49	1748642 50
70 49N	2212055 47	5660377 49	4337956 48	1443396 51	9996555 49	1638260 50
60 49N	2330028 47	6000000 49	4066666 48	1440000 51	9995120 49	1529246 50
50 49N	2463250 47	6382978 49	3798758 48	1436170 51	9993495 49	1421603 50
40 49N	2614891 47	6818181 49	3534242 48	1431818 51	9991640 49	1315351 50
30 49N	2789062 47	7317073 49	3273130 48	1426829 51	9989499 49	1210472 50
20 49N	2991203 47	7894736 49	3015438 48	1421052 51	9987004 49	1106997 50
10 49N	3228664 47	8571428 49	2761190 48	1414285 51	9984058 49	1004908 50
00 00	3511627 47	9375000 49	2510416 48	1406250 51	9980525 49	9042473 49
10 49	3854624 47	10344482 50	2263161 48	1396551 51	9976213 49	8050281 49
20 49	4279145 47	11538846 50	2019487 48	1384615 51	9970831 49	7072700 49
30 49	4818404 47	13043347 50	1779492 48	1369565 51	9963923 49	6110075 49
40 49	5526655 47	15000000 50	1543333 48	1350000 51	9954736 49	5163178 49
50 49	6499178 47	17647705 50	1311274 48	1323529 51	9941916 49	4232820 49
60 49	7920625 47	21428857 50	1083809 48	1285714 51	9922778 49	3320618 49
62 49	8287899 47	22388806 50	1038942 48	1276119 51	9917760 49	3140581 49
64 49	8692881 47	23437750 50	9943083 47	1265625 51	9912194 49	2961417 49
66 49	9141787 47	24590016 50	9499224 47	1254098 51	9905984 49	2783142 49
68 49	9642287 47	25862206 50	9058023 47	1241379 51	9899011 49	2605822 49
70 49	1020397 48	27272272 50	8619697 47	1227272 51	9891127 49	2429488 49
72 49	1083898 48	28846153 50	8184513 47	1211538 51	9882139 49	2254194 49
74 49	1156296 48	30612244 50	7752802 47	1193877 51	9871799 49	2080017 49
76 49	1239634 48	32608695 50	7324985 47	1173913 51	9859776 49	1907021 49
78 49	1336642 48	34883720 50	6901597 47	1151162 51	9845624 49	1735286 49
80 49	1451045 48	37500000 50	6483333 47	1125000 51	9828721 49	1564910 49
82 49	1588063 48	40540540 50	6071117 47	1094594 51	9808181 49	1396007 49
84 49	1755239 48	44117647 50	5666196 47	1058823 51	9782685 49	1228690 49
86 49	1963879 48	48387096 50	5270301 47	1016129 51	9750195 49	1063092 49
88 49	2231678 48	53571428 50	4885904 47	9642857 50	9707375 49	8993499 48
90 49	2587859 48	60000000 50	4516666 47	9000000 50	9648363 49	7375981 48
91 49	2813813 48	63829787 50	4339386 47	8617021 50	9609614 49	6575101 48
92 49	3083970 48	68181818 50	4168242 47	8181818 50	9561828 49	5779723 48
93 49	3412275 48	73170731 50	4004508 47	7682927 50	9501425 49	4990153 48
94 49	3818918 48	78947368 50	3849859 47	7105263 50	9422639 49	4206930 48
95 49	4334072 48	85714285 50	3706547 47	6428571 50	9315560 49	3431225 48
96 49	5004521 48	93750000 50	3577666 47	5625000 50	9161573 49	2665705 48
97 49	5906016 48	10344827 51	3467592 47	4655172 50	8921070 49	1916577 48
98 49	7167731 48	11538461 51	3382718 47	3461538 50	8491918 49	1198572 48
99 49	9024289 48	13043477 51	3332775 47	1956522 50	7500915 49	5474067 47
10 50	1193662 49	15000000 51	3333333 47	0000000 00	0000000 00	0000000 00

Compton Cross Sections vs. Angle of Scattered Quantum

16 51 = γ	$\frac{\sigma_1(w_1\phi)}{\phi_0}$	γ'	$\frac{\sigma_3(\gamma')}{\phi_0}$	E	w'	$\frac{\sigma_4(w',\phi)}{\phi_0}$
w						
10 50N	1810239 47	4848484 49	4838423 48	1551515 51	1000000 50	2092637 50
90 49N	1891162 47	5095541 49	4576442 48	1549044 51	9999089 49	1973569 50
80 49N	1980849 47	5369127 49	4317415 48	1546308 51	9998078 49	1855871 50
70 49N	2080807 47	5673758 49	4061347 48	1543262 51	9996948 49	1739511 50
60 49N	2192912 47	6015037 49	3808241 48	1539849 51	9995677 49	1624508 50
50 49N	2319524 47	6400000 49	3558105 48	1536000 51	9994238 49	1510874 50
40 49N	2463659 47	6837606 49	3310947 48	1531623 51	9992593 49	1398612 50
30 49N	2629235 47	7339449 49	3066778 48	1526605 51	9990697 49	1287736 50
20 49N	2821432 47	7920792 49	2825611 48	1520792 51	9988485 49	1178233 50
10 49N	3047254 47	8602150 49	2587465 48	1513978 51	9985874 49	1070121 50
00 00	3316403 47	9411764 49	2352366 48	1505882 51	9982743 49	9634227 49
10 49	3642726 47	10389061 50	2120351 48	1496103 51	9978921 49	8581361 49
20 49	4046712 47	11594200 50	1891474 48	1484058 51	9974149 49	7543154 49
30 49	4560026 47	13114750 50	1665815 48	1468852 51	9968023 49	6519796 49
40 49	5234403 47	15094340 50	1443506 48	1449056 51	9959873 49	5511947 49
50 49	6160704 47	17777770 50	1224772 48	1422222 51	9948497 49	4520605 49
60 49	7515030 47	21621620 50	1010029 48	1383783 51	9931506 49	3547344 49
62 49	7865022 47	22598870 50	9676235 47	1374011 51	9927049 49	3355102 49
64 49	8250974 47	23668630 50	9254193 47	1363313 51	9922103 49	3163712 49
66 49	8678812 47	24844720 50	8834296 47	1351552 51	9916585 49	2973234 49
68 49	9155856 47	26143790 50	8416697 47	1338562 51	9910388 49	2783712 49
70 49	9691254 47	27586200 50	8001583 47	1324137 51	9903379 49	2595197 49
72 49	1029660 48	29197080 50	7589182 47	1308029 51	9895387 49	2407740 49
74 49	1098682 48	31007750 50	7179783 47	1289922 51	9886189 49	2221415 49
76 49	1178144 48	33057850 50	6773747 47	1269421 51	9875490 49	2036304 49
78 49	1270655 48	35398230 50	6371541 47	1246017 51	9862891 49	1852499 49
80 49	1379781 48	38095230 50	5973772 47	1219047 51	9847835 49	1670111 49
82 49	1510525 48	41237110 50	5581248 47	1187628 51	9829527 49	1489268 49
84 49	1670133 48	44943820 50	5195066 47	1150561 51	9806785 49	1310113 49
86 49	1869498 48	49382710 50	4816760 47	1106172 51	9777776 49	1132815 49
88 49	2125745 48	54794520 50	4448534 47	1052054 51	9739495 49	9575527 48
90 49	2467327 48	61538460 50	4093675 47	9846154 50	9686649 49	7845200 48
91 49	2684552 48	65573770 50	3922758 47	9442623 50	9651892 49	6989042 48
92 49	2944885 48	70175430 50	3757319 47	8982456 50	9608968 49	6139258 48
93 49	3262224 48	75471690 50	3598532 47	8452830 50	9554612 49	5296251 48
94 49	3656870 48	81632650 50	3447955 47	7836735 50	9483552 49	4460637 48
95 49	4159499 48	88888890 50	3307698 47	7111111 50	9386679 49	3633648 48
96 49	4818310 48	97560970 50	3180697 47	6243902 50	9246781 49	2817999 48
97 49	5712661 48	10810810 51	3071155 47	5189189 50	9026902 49	2020052 48
98 49	6980757 48	12121210 51	2985316 47	3878788 50	8630442 49	1255339 48
99 49	8880474 48	13793100 51	2932864 47	2206896 50	7695538 49	5631408 47
10 50	1193662 49	16000000 51	2929687 47	0000000 00	0000000 00	0000000 00

Compton Cross Sections vs. Angle of Scattered Quantum

17 51 = γ W	$\sigma_1(w,\phi)/\phi_0$	γ'	$\sigma_2(\gamma')/\phi_0$	E	w'	$\sigma_4(w',\phi)/\phi_0$
10 50 N	1706623 47	4857142 49	4545230 48	1651428 51	1000000 50	2211784 50
90 49 N	1783675 47	5105105 49	4300177 48	1648948 51	9999187 49	2086768 50
80 49 N	1869080 47	5379746 49	4057739 48	1646202 51	9998285 49	1963095 50
70 49 N	1964276 47	5685618 49	3817921 48	1643143 51	9997277 49	1840772 50
60 49 N	2071051 47	6028368 49	3580726 48	1639716 51	9996144 49	1719791 50
50 49 N	2191658 47	6415094 49	3346159 48	1635849 51	9994859 49	1600168 50
40 49 N	2328976 47	6854838 49	3114228 48	1631451 51	9993392 49	1481937 50
30 49 N	2486744 47	7359307 49	2884942 48	1626406 51	9991700 49	1365053 50
20 49 N	2669909 47	7943925 49	2658312 48	1620560 51	9989727 49	1249525 50
10 49 N	2885156 47	8629441 49	2434354 48	1613705 51	9987397 49	1135386 50
00 00	3141754 47	9444444 49	2213091 48	1605555 51	9984603 49	1022640 50
10 49	3452933 47	1042944 50	1994552 48	1595705 51	9981191 49	9113209 49
20 49	3838268 47	1164383 50	1778783 48	1583561 51	9976931 49	8014365 49
30 49	4328027 47	1317829 50	1565854 48	1568217 51	9971463 49	6930334 49
40 49	4971666 47	1517857 50	1355876 48	1548214 51	9964185 49	5861705 49
50 49	5856062 47	1789473 50	1149039 48	1521052 51	9954022 49	4809450 49
60 49	7149617 47	2179487 50	9457013 47	1482051 51	9938837 49	3775215 49
62 49	7483980 47	2278820 50	9055080 47	1472118 51	9934852 49	3570752 49
64 49	7852726 47	2387640 50	8654908 47	1461235 51	9930431 49	3367185 49
66 49	8261526 47	2507374 50	8256608 47	1449262 51	9925496 49	3164507 49
68 49	8717379 47	2639751 50	7860311 47	1436024 51	9919953 49	2962799 49
70 49	9229042 47	2786885 50	7466178 47	1421311 51	9913682 49	2762101 49
72 49	9807609 47	2951388 50	7074409 47	1404861 51	9906529 49	2562476 49
74 49	1046736 48	3136531 50	6685253 47	1386346 51	9898296 49	2364004 49
76 49	1122700 48	3346456 50	6299027 47	1365354 51	9888716 49	2166766 49
78 49	1211154 48	3586497 50	5916138 47	1341350 51	9877431 49	1970866 49
80 49	1315517 48	3863636 50	5537118 47	1313636 51	9863939 49	1776438 49
82 49	1440592 48	4187192 50	5162680 47	1281280 51	9847524 49	1583619 49
84 49	1593350 48	4569892 50	4793794 47	1243010 51	9827119 49	1392570 49
86 49	1784296 48	5029585 50	4431822 47	1197041 51	9801070 49	1203503 49
88 49	2030002 48	5592105 50	4078738 47	1140789 51	9766659 49	1016637 49
90 49	2358154 48	6296296 50	3737505 47	1070370 51	9719086 49	8322250 48
91 49	2567277 48	6719367 50	3572695 47	1028063 51	9687754 49	7410261 48
92 49	2818411 48	7203389 50	3412797 47	9796610 50	9649012 49	6505501 48
93 49	3125359 48	7762557 50	3258894 47	9237443 50	9599878 49	5608463 48
94 49	3508451 48	8415841 50	3112434 47	8584158 50	9535517 49	4719870 48
95 49	3998707 48	9189189 50	2975398 47	7810811 50	9447549 49	3841024 48
96 49	4645483 48	1011904 51	2850568 47	6880952 50	9320046 49	2974690 48
97 49	5531312 48	1125827 51	2741978 47	5741722 50	9118552 49	2127346 48
98 49	6802825 48	1268656 51	2655712 47	4313433 50	8751899 49	1315186 48
99 49	8740794 48	1452991 51	2601385 47	2470085 50	7870850 49	5808058 47
10 50	1193662 49	1700000 51	2595155 47	0000000 00	0000000 00	0000000 00

Compton Cross Sections vs. Angle of Scattered Quantum

18 51 = γ / w	$\frac{\sigma_1(w,\phi)}{\phi_0}$	γ'	$\frac{\sigma_2(\gamma')}{\phi_0}$	E	w'	$\frac{\sigma_4(w',\phi)}{\phi_0}$
10 50N	16142357 47	48648649 49	42855355 48	17513511 51	10000000 50	23309555 50
90 49N	16877597 47	51136369 49	40553711 48	17488633 51	99992711 49	21999777 50
80 49N	17692607 47	53892211 49	38275393 48	17461071 51	99984611 49	20703507 50
70 49N	18601157 47	56962021 49	36020423 48	17430381 51	99975561 49	19420487 50
60 49N	19620317 47	60402681 49	33788833 48	17395971 51	99965391 49	18151287 50
50 49N	20771637 47	64285711 49	31580683 48	17357141 51	99953861 49	16895211 50
40 49N	22082657 47	68702291 49	29396023 48	17312971 51	99940691 49	15652577 50
30 49N	23589127 47	73770491 49	27234933 48	17262291 51	99925501 49	14423707 50
20 49N	25338387 47	79646011 49	25097503 48	17203541 51	99907791 49	13208327 50
10 49N	27394407 47	86538461 49	22983883 48	17134611 51	99886871 49	12006857 50
00 00	29845907 47	94736841 49	20894253 48	17052631 51	99861781 49	10819227 50
10 49	32819537 47	10465111 50	18828863 48	16953481 51	99831141 49	96455727 49
20 49	36502767 47	11688311 50	16788113 48	16831161 51	99792881 49	84862527 49
30 49	41185507 47	13235291 50	14772603 48	16676471 51	99743761 49	73415927 49
40 49	47341627 47	15254231 50	12783273 48	16474571 51	99678381 49	62122517 49
50 49	55803707 47	18000001 50	10821753 48	16200001 51	99587051 49	50991757 49
60 49	68186007 47	21951221 50	88911473 47	15804871 51	99450541 49	40040557 49
62 49	71387457 47	22959181 50	85092023 47	15704081 51	99414711 49	37874257 49
64 49	74918457 47	24064171 50	81288073 47	15593581 51	99374941 49	35716647 49
66 49	78833367 47	25280891 50	77500573 47	15471911 51	99330551 49	33568177 49
68 49	83199337 47	26627211 50	73730653 47	15337271 51	99280681 49	31429147 49
70 49	88100337 47	28125001 50	69979743 47	15187501 51	99224261 49	29300467 49
72 49	93642777 47	29801321 50	66249573 47	15019861 51	99159891 49	27182477 49
74 49	99963727 47	31690141 50	62542313 47	14830981 51	99085771 49	25076247 49
76 49	10724277 48	33834581 50	58860763 47	14616541 51	98999521 49	22982557 49
78 49	11571977 48	36290321 50	55208483 47	14370961 51	98897861 49	20902537 49
80 49	12572357 48	39130431 50	51590173 47	14086951 51	98776291 49	18837627 49
82 49	13771607 48	42452831 50	48012143 47	13754711 51	98628311 49	16789287 49
84 49	15236877 48	46391751 50	44483003 47	13360821 51	98444271 49	14759507 49
86 49	17069547 48	51136361 50	41014943 47	12886361 51	98209151 49	12750557 49
88 49	19430097 48	56962021 50	37625643 47	12303791 51	97898261 49	10765147 49
90 49	22587797 48	64285711 50	34341933 47	11571421 51	97467941 49	88063427 48
91 49	24603757 48	68702291 50	32752073 47	11129771 51	97184191 49	78380287 48
92 49	27028987 48	73770491 50	31206433 47	10622951 51	96832961 49	68777607 48
93 49	30000217 48	79646011 50	29715023 47	10035391 51	96386931 49	59261557 48
94 49	33720307 48	86538461 50	28291313 47	93461541 50	95801701 49	49840407 48
95 49	38501657 48	94736841 50	26953883 47	85263161 50	95000001 49	40528057 48
96 49	44846967 48	10465111 51	25729113 47	75348841 50	93834311 49	31352707 48
97 49	53609367 48	11688311 51	24655673 47	63116881 50	91983351 49	22380137 48
98 49	66333377 48	13235291 51	23792753 47	47647061 50	88587951 49	13777657 48
99 49	86050897 48	15254231 51	23235623 47	27457631 50	80289651 49	60018327 47
10 50	11936627 49	18000001 51	23148143 47	00000001 00	00000001 00	00000001 00

19 51 = γ w	$\frac{\sigma_1(w,\phi)}{\phi_0}$	γ'	$\frac{\sigma_2(\gamma')}{\phi_0}$	E	w'	$\frac{\sigma_4(w',\phi)}{\phi_0}$
10 50N	1531342 47	4871794 49	4053910 48	1851282 51	1000000 50	2450147 50
90 49N	1601639 47	5121293 49	3836941 48	1848787 51	9999342 49	2313237 50
80 49N	1679570 47	5397727 49	3622064 48	1846022 51	9998611 49	2177640 50
70 49N	1766452 47	5705705 49	3409283 48	1842942 51	9997794 49	2043376 50
60 49N	1863922 47	6050955 49	3198599 48	1839490 51	9996876 49	1910474 50
50 49N	1974044 47	6440678 49	2990017 48	1835593 51	9995835 49	1778843 50
40 49N	2099456 47	6884058 49	2783542 48	1831159 51	9994647 49	1648625 50
30 49N	2243586 47	7392996 49	2579180 48	1826070 51	9993276 49	1519714 50
20 49N	2410969 47	7983193 49	2376940 48	1820168 51	9991677 49	1392197 50
10 49N	2607741 47	8675799 49	2176834 48	1813242 51	9989788 49	1266022 50
00 00	2842407 47	9500000 49	1978878 48	1805000 51	9987523 49	1141232 50
10 49	3127118 47	1049723 50	1783093 48	1795027 51	9984757 49	1017827 50
20 49	3479860 47	1172839 50	1589514 48	1782716 51	9981302 49	8958600 49
30 49	3928458 47	1328671 50	1398192 48	1767132 51	9976866 49	7753457 49
40 49	4518404 47	1532258 50	1209208 48	1746774 51	9970960 49	6563523 49
50 49	5329653 47	1809523 50	1022704 48	1719047 51	9962709 49	5389733 49
60 49	6517271 47	2209302 50	8389486 47	1679069 51	9950371 49	4233784 49
62 49	6824416 47	2311435 50	8025680 47	1668856 51	9947132 49	4004975 49
64 49	7163214 47	2423469 50	7663245 47	1657653 51	9943537 49	3777037 49
66 49	7538889 47	2546916 50	7302266 47	1645308 51	9939523 49	3550000 49
68 49	7957893 47	2683615 50	6942842 47	1631638 51	9935014 49	3323937 49
70 49	8428299 47	2835820 50	6585097 47	1616417 51	9929910 49	3098893 49
72 49	8960337 47	3006329 50	6229184 47	1599367 51	9924087 49	2874941 49
74 49	9567183 47	3198653 50	5875294 47	1580134 51	9917381 49	2652158 49
76 49	1026610 48	3417266 50	5523673 47	1558273 51	9909574 49	2430657 49
78 49	1108020 48	3667953 50	5174636 47	1533204 51	9900372 49	2210540 49
80 49	1204110 48	3958333 50	4828601 47	1504166 51	9889363 49	1991962 49
82 49	1319332 48	4298642 50	4486126 47	1470135 51	9875957 49	1775095 49
84 49	1460163 48	4702970 50	4147983 47	1429703 51	9859277 49	1560151 49
86 49	1636399 48	5191256 50	3815260 47	1380874 51	9837954 49	1347384 49
88 49	1863587 48	5792683 50	3489554 47	1320731 51	9809737 49	1137103 49
90 49	2167914 48	6551724 50	3173297 47	1244827 51	9770639 49	9296792 48
91 49	2362508 48	7011070 50	3019844 47	1198893 51	9744832 49	8271710 48
92 49	2596968 48	7539682 50	2870386 47	1146031 51	9712858 49	7255464 48
93 49	2884811 48	8154506 50	2725849 47	1084549 51	9672208 49	6248795 48
94 49	3246222 48	8878504 50	2587489 47	1012149 51	9618794 49	5252655 48
95 49	3712548 48	9743589 50	2457050 47	9256410 50	9545479 49	4268536 48
96 49	4334774 48	1079545 51	2337031 47	8204545 50	9438583 49	3299331 48
97 49	5200613 48	1210191 51	2231138 47	6898089 50	9268136 49	2351688 48
98 49	6471742 48	1376811 51	2145122 47	5231884 50	8953229 49	1442786 48
99 49	8473205 48	1596638 51	2088403 47	3033613 50	8171778 49	6210949 47
10 50	1193662 49	1900000 51	2077562 47	0000000 00	0000000 00	0000000 00

Compton Cross Sections vs. Angle of Scattered Quantum

20 51 = γ	$\sigma_1(w_1\phi)$	γ'	$\sigma_3(\gamma')$	E	w'	$\sigma_4(w',\phi)$
w	ϕ_0		ϕ_0			ϕ_0
10 50N	14565514 7	48780484 9	38460364 8	19512195 1	10000000 50	25693564 50
90 49N	15238864 7	51282055 9	36408414 8	19487175 1	99994034 9	24264584 50
80 49N	15985404 7	54054054 9	34375334 8	19459454 1	99987404 9	22849264 50
70 49N	16817754 7	57142854 9	32361164 8	19428574 1	99979994 9	21446934 50
60 49N	17751644 7	60606064 9	30365904 8	19393934 1	99971664 9	20057994 50
50 49N	18806864 7	64516134 9	28389614 8	19354834 1	99962224 9	18682164 50
40 49N	20008734 7	68965514 9	26432324 8	19310344 1	99951444 9	17320074 50
30 49N	21390164 7	74074074 9	24494094 8	19259254 1	99939004 9	15971194 50
20 49N	22994704 7	80000004 9	22575004 8	19200004 1	99924504 9	14635704 50
10 49N	24881284 7	86956524 9	20675134 8	19130434 1	99907364 9	13313934 50
00 00	27131614 7	95238094 9	18794644 8	19047614 1	99886814 9	12005824 50
10 49	29862434 7	10526315 0	16933714 8	18947364 1	99861714 9	10711544 50
20 49	33246634 7	11764705 0	15092644 8	18823524 1	99830364 9	94314874 49
30 49	37551724 7	13333334 0	13271874 8	18666664 1	99790104 9	81658714 49
40 49	43215234 7	15384615 0	11472114 8	18461534 1	99736494 9	69153724 49
50 49	51006404 7	18181815 0	96946024 7	18181814 1	99661584 9	56809164 49
60 49	62417554 7	22222224 0	79416664 7	17777774 1	99549544 9	44642324 49
62 49	65369614 7	23255814 0	75943864 7	17674414 1	99520124 9	42232644 49
64 49	68626264 7	24390244 0	72483294 7	17560974 1	99487464 9	39831744 49
66 49	72237794 7	25641024 0	69035674 7	17435894 1	99450994 9	37439694 49
68 49	76266364 7	27027024 0	65601894 7	17297294 1	99410024 9	35057514 49
70 49	80789684 7	28571424 0	62183034 7	17142854 1	99363644 9	32685444 49
72 49	85906334 7	30303034 0	58780454 7	16969694 1	99310724 9	30324334 49
74 49	91743204 7	32258064 0	55395844 7	16774194 1	99249764 9	27975044 49
76 49	98466714 7	34482754 0	52031374 7	16551724 1	99178784 9	25638564 49
78 49	10629944 8	37037034 0	48689864 7	16296294 1	99095094 9	23316274 49
80 49	11554644 8	40000004 0	45375004 7	16000004 1	98994944 9	21009524 49
82 49	12663734 8	43478264 0	42091794 7	15652174 1	98872954 9	18720304 49
84 49	14019764 8	47619044 0	38847144 7	15238094 1	98721104 9	16450884 49
86 49	15717474 8	52631574 0	35650854 7	14736844 1	98526884 9	14204094 49
88 49	17907604 8	58823534 0	32517354 7	14117644 1	98269704 9	11983394 49
90 49	20844874 8	66666664 0	29468754 7	13333334 1	97913004 9	97930264 48
91 49	22725584 8	71428574 0	27986654 7	12857144 1	97677354 9	87107814 48
92 49	24994644 8	76923074 0	26540764 7	12307694 1	97385164 9	76381284 48
93 49	27785454 8	83333334 0	25139684 7	11666664 1	97013324 9	65759444 48
94 49	31298434 8	90909094 0	23795114 7	10909094 1	96524094 9	55253064 48
95 49	35847164 8	10000005 1	22523434 7	10000004 1	95851444 9	44878404 48
96 49	41946824 8	11111115 1	21348334 7	88888894 0	94868334 9	34665214 48
97 49	50495164 8	12500005 1	20305314 7	75000004 0	93294944 9	24680644 48
98 49	63175344 8	14285715 1	19450174 7	57142864 0	90369614 9	15100074 48
99 49	83449964 8	16666665 1	18875934 7	33333334 0	83009784 9	64339374 47
10 50	11936624 9	20000005 1	18750004 7	00000004 0	00000004 0	00000004 0

Compton Cross Sections vs. Angle of Scattered Quantum

22 51 = γ	$\sigma_1(w,\phi)$	γ'	$\sigma_2(\gamma')$	E	w'	$\sigma_4(w',\phi)$
w	ϕ_0		ϕ_0			ϕ_0
10 50N	1326946 47	4838888 49	3488292 48	2151111 51	1000000 50	2807817 50
90 49N	1389035 47	5140186 49	3303204 48	2148598 51	9999502 49	2653058 50
80 49N	1457884 47	5418719 49	3119677 48	2145812 51	9998949 49	2499532 50
70 49N	1534659 47	5729166 49	2937709 48	2142708 51	9998332 49	2347409 50
60 49N	1620814 47	6077348 49	2757305 48	2139226 51	9997637 49	2196526 50
50 49N	1718182 47	6470588 49	2578466 48	2135294 51	9996850 49	2047011 50
40 49N	1829106 47	6918239 49	2401196 48	2130817 51	9995951 49	1898782 50
30 49N	1956634 47	7432432 49	2225499 48	2125675 51	9994914 49	1751938 50
20 49N	2104799 47	8029197 49	2051381 48	2119708 51	9993704 49	1606401 50
10 49N	2279063 47	8730158 49	1878849 48	2112698 51	9992275 49	1462198 50
00 00	2487000 47	9565217 49	1707914 48	2104347 51	9990561 49	1319363 50
10 49	2739440 47	1057692 50	1538590 48	2094230 51	9988467 49	1177893 50
20 49	3052430 47	1182795 50	1370901 48	2081720 51	9985852 49	1037830 50
30 49	3450812 47	1341463 50	1204879 48	2065853 51	9982492 49	8991979 49
40 49	3975249 47	1549295 50	1040580 48	2045070 51	9978018 49	7620585 49
50 49	4697281 47	1833333 50	8780991 47	2016666 51	9971764 49	6265053 49
60 49	5755803 47	2244898 50	7176168 47	1975510 51	9962405 49	4927065 49
62 49	6029811 47	2350427 50	6857880 47	1964957 51	9959947 49	4661822 49
64 49	6332161 47	2466367 50	6540579 47	1953363 51	9957217 49	4397413 49
66 49	6667543 47	2594339 50	6224321 47	1940566 51	9954170 49	4133938 49
68 49	7041746 47	2736318 50	5909177 47	1926368 51	9950744 49	3871414 49
70 49	7462020 47	2894736 50	5595231 47	1910526 51	9946866 49	3609904 49
72 49	7937549 47	3072625 50	5282591 47	1892737 51	9942439 49	3349499 49
74 49	8480176 47	3273809 50	4971391 47	1872619 51	9937339 49	3090272 49
76 49	9105426 47	3503184 50	4661804 47	1849681 51	9931399 49	2832345 49
78 49	9834078 47	3767123 50	4354054 47	1823287 51	9924392 49	2575864 49
80 49	1069462 48	4074074 50	4048439 47	1792592 51	9916004 49	2320975 49
82 49	1172724 48	4435483 50	3745361 47	1756451 51	9905780 49	2067904 49
84 49	1299050 48	4867256 50	3445381 47	1713274 51	9893045 49	1816900 49
86 49	1457334 48	5392156 50	3149301 47	1660784 51	9876743 49	1568302 49
88 49	1661774 48	6043955 50	2858309 47	1595604 51	9855131 49	1322522 49
90 49	1936495 48	6875000 50	2574251 47	1512500 51	9825113 49	1080088 49
91 49	2112787 48	7382550 50	2435695 47	1461745 51	9805252 49	9603299 48
92 49	2325960 48	7971014 50	2300143 47	1402898 51	9780594 49	8416711 48
93 49	2588957 48	8661417 50	2168337 47	1333858 51	9749164 49	7242265 48
94 49	2921432 48	9482758 50	2041297 47	1251724 51	9707724 49	6081374 48
95 49	3354556 48	1047619 51	1920473 47	1152380 51	9650585 49	4935939 48
96 49	3940454 48	1170212 51	1807991 47	1029787 51	9566738 49	3809167 48
97 49	4772113 48	1325301 51	1707109 47	8746988 50	9431723 49	2707920 48
98 49	6029456 48	1527777 51	1623071 47	6722222 50	9177999 49	1650250 48
99 49	8099050 48	1803278 51	1564906 47	3967213 50	8524367 49	6916770 47
10 50	1193662 49	2200000 51	1549586 47	0000000 00	0000000 00	0000000 00

Compton Cross Sections vs. Angle of Scattered Quantum

24 51 = γ	$\sigma_1(w,\phi)/\phi_0$	γ'	$\sigma_3(\gamma')/\phi_0$	E	w'	$\sigma_4(w',\phi)/\phi_0$
w						
10 50 N	1218529 47	4897959 49	3191432 48	2351020 51	1000000 50	3046324 50
90 49 N	1276121 47	5150214 49	3022881 48	2348497 51	9999579 49	2879628 50
80 49 N	1339989 47	5429864 49	2855639 48	2345701 51	9999111 49	2714171 50
70 49 N	1411221 47	5741626 49	2689708 48	2342583 51	9998588 49	2550092 50
60 49 N	1491169 47	6091370 49	2525089 48	2339086 51	9998000 49	2387303 50
50 49 N	1581538 47	6486486 49	2361785 48	2335135 51	9997334 49	2225825 50
40 49 N	1684508 47	6936416 49	2199798 48	2330635 51	9996573 49	2065653 50
30 49 N	1802918 47	7453416 49	2039131 48	2325465 51	9995695 49	1906812 50
20 49 N	1940524 47	8053691 49	1879788 48	2319463 51	9994670 49	1749247 50
10 49 N	2102414 47	8759124 49	1721777 48	2312408 51	9993461 49	1593082 50
00 00	2295650 47	9600000 49	1565104 48	2304000 51	9992009 49	1438234 50
10 49	2530332 47	1061946 50	1409781 48	2293805 51	9990236 49	1284734 50
20 49	2821432 47	1188118 50	1255827 48	2281188 51	9988021 49	1132642 50
30 49	3192149 47	1348314 50	1103266 48	2265168 51	9985175 49	9819619 49
40 49	3680475 47	1558441 50	9521442 47	2244155 51	9981385 49	8327462 49
50 49	4353307 47	1846153 50	8025340 47	2215384 51	9976086 49	6851117 49
60 49	5340639 47	2264151 50	6545794 47	2173584 51	9968152 49	5391999 49
62 49	5596377 47	2371541 50	6252092 47	2162845 51	9966068 49	5102477 49
64 49	5878637 47	2489626 50	5959202 47	2151037 51	9963753 49	4813860 49
66 49	6191812 47	2620087 50	5667168 47	2137991 51	9961168 49	4526118 49
68 49	6541331 47	2764976 50	5376046 47	2123502 51	9958262 49	4239308 49
70 49	6933990 47	2926829 50	5085905 47	2107317 51	9954972 49	3953540 49
72 49	7378405 47	3108808 50	4796831 47	2089119 51	9951216 49	3668857 49
74 49	7885683 47	3314917 50	4508933 47	2068508 51	9946887 49	3385359 49
76 49	8470389 47	3550295 50	4222349 47	2044970 51	9941844 49	3103165 49
78 49	9152036 47	3821656 50	3937262 47	2017834 51	9935894 49	2822428 49
80 49	9957380 47	4137931 50	3653915 47	1986206 51	9928768 49	2543310 49
82 49	1092418 48	4511278 50	3372636 47	1948872 51	9920079 49	2266044 49
84 49	1210755 48	4958677 50	3093887 47	1904132 51	9909250 49	1990919 49
86 49	1359132 48	5504587 50	2818331 47	1849541 51	9895379 49	1718306 49
88 49	1550963 48	6185567 50	2546960 47	1781443 51	9876974 49	1448679 49
90 49	1809140 48	7058823 50	2281326 47	1694117 51	9851380 49	1182664 49
91 49	1975105 48	7594936 50	2151403 47	1640506 51	9834427 49	1051255 49
92 49	2176144 48	8219178 50	2024001 47	1578082 51	9813358 49	9210743 48
93 49	2424779 48	8955223 50	1899761 47	1504477 51	9786468 49	7922649 48
94 49	2740189 48	9836065 50	1779580 47	1416393 51	9750955 49	6649996 48
95 49	3153149 48	1090909 51	1664743 47	1309090 51	9701881 49	5395064 48
96 49	3715907 48	1224489 51	1557164 47	1175510 51	9629640 49	4161352 48
97 49	4523632 48	1395348 51	1459827 47	1004651 51	9512742 49	2955919 48
98 49	5765794 48	1621621 51	1377653 47	7783784 50	9291176 49	1797160 48
99 49	7866212 48	1935483 51	1319369 47	4645161 50	8709162 49	7442459 47
10 50	1193662 49	2400000 51	1302083 47	0000000 00	0000000 00	0000000 00

Compton Cross Sections vs. Angle of Scattered Quantum

26 51 = γ w	$\sigma_1(w,\phi)/\phi_0$	γ'	$\sigma_2(\gamma')/\phi_0$	E	w'	$\sigma_4(w',\phi)/\phi_0$
10 50 N	1126497 47	4905660 49	2941135 48	2550943 51	1000000 50	3284865 50
90 49 N	1180190 47	5158730 49	2786418 48	2548412 51	9999639 49	3106206 50
80 49 N	1239743 47	5439330 49	2632817 48	2545606 51	9999238 49	2928903 50
70 49 N	1306170 47	5752212 49	2480332 48	2542477 51	9998789 49	2752879 50
60 49 N	1380735 47	6103286 49	2328964 48	2538967 51	9998285 49	2578115 50
50 49 N	1465033 47	6500000 49	2178716 48	2535000 51	9997714 49	2404648 50
40 49 N	1561104 47	6951871 49	2029589 48	2530481 51	9997061 49	2232573 50
30 49 N	1671600 47	7471264 49	1881586 48	2525287 51	9996308 49	2061727 50
20 49 N	1800040 47	8074534 49	1734710 48	2519254 51	9995430 49	1892211 50
10 49 N	1951184 47	8783783 49	1588967 48	2512162 51	9994393 49	1724006 50
00 00	2131647 47	9629629 49	1444362 48	2503703 51	9993148 49	1557185 50
10 49	2350892 47	10655573 50	1300905 48	2493442 51	9991627 49	1391662 50
20 49	2622956 47	11926660 50	1158609 48	2480733 51	9989727 49	1227551 50
30 49	2969597 47	13541666 50	1017497 48	2464583 51	9987286 49	1064828 50
40 49	3426480 47	15662650 50	8776021 47	2443373 51	9984034 49	9035709 49
50 49	4056450 47	18571420 50	7389845 47	2414285 51	9979487 49	7438586 49
60 49	4981729 47	22807010 50	6017595 47	2371929 51	9972677 49	5858567 49
62 49	5221541 47	23897050 50	5744995 47	2361029 51	9970887 49	5544894 49
64 49	5486286 47	25096520 50	5473072 47	2349034 51	9968900 49	5232007 49
66 49	5780103 47	26422760 50	5201863 47	2335772 51	9966680 49	4920046 49
68 49	6108105 47	27896990 50	4931414 47	2321030 51	9964185 49	4609023 49
70 49	6476692 47	29545450 50	4661780 47	2304545 51	9961359 49	4298994 49
72 49	6893988 47	31400960 50	4393032 47	2285990 51	9958132 49	3990082 49
74 49	7370459 47	33505150 50	4125258 47	2264948 51	9954413 49	3682316 49
76 49	7919841 47	35911600 50	3858573 47	2240884 51	9950079 49	3375878 49
78 49	8560532 47	38690470 50	3593126 47	2213095 51	9944964 49	3070887 49
80 49	9317784 47	41935480 50	3329118 47	2180645 51	9938837 49	2767541 49
82 49	10227244 48	45774640 50	3066821 47	2142253 51	9931364 49	2466064 49
84 49	11340980 48	50387590 50	2806618 47	2096124 51	9922045 49	2166777 49
86 49	12738310 48	56034480 50	2549066 47	2039655 51	9910104 49	1870081 49
88 49	14546380 48	63106790 50	2294999 47	1968932 51	9894248 49	1576508 49
90 49	16982870 48	72222220 50	2045734 47	1877777 51	9872177 49	1286766 49
91 49	18551330 48	77844310 50	1923539 47	1821556 51	9857545 49	1143618 49
92 49	20453930 48	84415580 50	1803481 47	1755844 51	9839347 49	1001810 49
93 49	22811650 48	92198580 50	1686118 47	1678014 51	9816096 49	8615173 48
94 49	25811050 48	101562500 51	1572240 47	1584375 51	9785349 49	7229475 48
95 49	29754480 48	113043400 51	1462989 47	1469565 51	9742785 49	5863682 48
96 49	35162140 48	127450900 51	1360094 47	1325490 51	9679969 49	4521692 48
97 49	42999140 48	146067400 51	1266289 47	1139325 51	9577921 49	3210819 48
98 49	55237210 48	171052600 51	1186184 47	8894737 50	9383148 49	1949725 48
99 49	76455370 48	206349200 51	1128190 47	5365079 50	8863184 49	8005089 47
10 50	11936620 49	260000000 51	1109467 47	0000000 00	0000000 00	0000000 00

Compton Cross Sections vs. Angle of Scattered Quantum

28 51 = γ W	$\frac{\sigma_1(W,\phi)}{\phi_0}$	γ'	$\frac{\sigma_3(\gamma')}{\phi_0}$	E	W'	$\frac{\sigma_4(W',\phi)}{\phi_0}$
10 50N	1047394 47	4912280 49	27272 42 48	2750877 51	1000000 50	3523434 50
90 49N	1097679 47	5166051 49	2584269 48	2748339 51	9999687 49	3332850 50
80 49N	1153456 47	5447470 49	2442257 48	2745525 51	9999339 49	3143632 50
70 49N	1215680 47	5761317 49	2301207 48	2742386 51	9998951 49	2955648 50
60 49N	1285536 47	6113537 49	2161120 48	2738864 51	9998514 49	2768935 50
50 49N	1364520 47	6511627 49	2021998 48	2734883 51	9998018 49	2583530 50
40 49N	1454550 47	6965174 49	1883842 48	2730348 51	9997453 49	2399468 50
30 49N	1558117 47	7486631 49	1746655 48	2725133 51	9996800 49	2216655 50
20 49N	1678526 47	8092485 49	1610438 48	2719075 51	9996038 49	2035171 50
10 49N	1820253 47	8805031 49	1475196 48	2711949 51	9995139 49	1855021 50
00 00	1989518 47	9655172 49	1340935 48	2703448 51	9994060 49	1676161 50
10 49	2195223 47	10687 02 50	1207661 48	2693129 51	9992741 49	1498665 50
20 49	2450579 47	1196581 50	1075385 48	2680341 51	9991093 49	1322518 50
30 49	2776080 47	1359223 50	9441267 47	2664077 51	9988977 49	1147792 50
40 49	3205335 47	1573033 50	8139116 47	2642696 51	9986156 49	9744892 49
50 49	3797613 47	1866666 50	6847895 47	2613333 51	9982211 49	8027252 49
60 49	4668292 47	2295082 50	5568542 47	2570491 51	9976303 49	6326552 49
62 49	4894086 47	2405498 50	5314243 47	2559450 51	9974750 49	5988654 49
64 49	5143414 47	2527075 50	5060516 47	2547292 51	9973025 49	5651613 49
66 49	5420188 47	2661597 50	4807393 47	2533840 51	9971098 49	5315440 49
68 49	5729246 47	2811245 50	4554911 47	2518875 51	9968932 49	4980201 49
70 49	6076641 47	2978723 50	4303116 47	2502127 51	9966479 49	4645984 49
72 49	6470059 47	3167420 50	4052067 47	2483257 51	9963677 49	4312810 49
74 49	6919408 47	3381642 50	3801836 47	2461835 51	9960448 49	3980841 49
76 49	7437689 47	3626943 50	3552519 47	2437305 51	9956684 49	3650160 49
78 49	8042326 47	3910614 50	3304240 47	2408938 51	9952241 49	3320937 49
80 49	8757241 47	4242424 50	3057166 47	2375757 51	9946917 49	2993350 49
82 49	9616218 47	4635761 50	2811525 47	2336423 51	9940423 49	2667657 49
84 49	1066864 48	5109489 50	2567641 47	2289051 51	9932322 49	2344190 49
86 49	1198980 48	5691056 50	2325981 47	2230894 51	9921936 49	2023367 49
88 49	1370058 48	6422018 50	2087256 47	2157798 51	9908138 49	1705775 49
90 49	1600845 48	7368420 50	1852594 47	2063157 51	9888917 49	1392191 49
91 49	1749583 48	7954545 50	1737336 47	2004545 51	9876166 49	1237231 49
92 49	1930218 48	8641975 50	1623904 47	1935802 51	9860295 49	1083708 49
93 49	2154424 48	9459459 50	1512789 47	1854054 51	9840002 49	9318314 48
94 49	2440318 48	1044776 51	1404688 47	1755223 51	9813139 49	7818459 48
95 49	2817505 48	1166666 51	1300621 47	1633333 51	9775898 49	6340606 48
96 49	3337518 48	1320754 51	1202151 47	1479245 51	9720822 49	4889119 48
97 49	4097534 48	1521739 51	1111788 47	1278260 51	9631061 49	3471671 48
98 49	5300813 48	1794871 51	1033845 47	1005128 51	9458757 49	2107154 48
99 49	7436163 48	2187500 51	9764110 46	6125000 50	8992518 49	8600049 47
10 50	1193662 49	2800000 51	9566326 46	0000000 00	0000000 00	0000000 00

Compton Cross Sections vs. Angle of Scattered Quantum

30 51= γ w	$\sigma_1(w,\phi)/\phi_0$	γ'	$\sigma_2(\gamma')/\phi_0$	E	w'	$\sigma_4(w',\phi)/\phi_0$
10 50N	9786745 46	4918032 49	2542349 48	2950819 51	1000000 50	3762024 50
90 49N	1025954 47	5172413 49	2409468 48	2948275 51	9999726 49	3559568 50
80 49N	1078403 47	5454545 49	2277424 48	2945454 51	9999421 49	3358297 50
70 49N	1136919 47	5769230 49	2146217 48	2942307 51	9999082 49	3158449 50
60 49N	1202620 47	6122448 49	2015850 48	2938775 51	9998699 49	2959770 50
50 49N	1276917 47	6521739 49	1886322 48	2934782 51	9998266 49	2762414 50
40 49N	1361615 47	6976744 49	1757635 48	2930232 51	9997770 49	2566381 50
30 49N	1459065 47	7500000 49	1629791 48	2925000 51	9997199 49	2371645 50
20 49N	1572382 47	8108108 49	1502792 48	2918918 51	9996533 49	2178194 50
10 49N	1705791 47	8823529 49	1376642 48	2911764 51	9995745 49	1986055 50
00 00	1865159 47	9677419 49	1251344 48	2903225 51	9994801 49	1795200 50
10 49	2058893 47	1071428 50	1126904 48	2892857 51	9993646 49	1605706 50
20 49	2299470 47	1200000 50	1003333 48	2880000 51	9992204 49	1417594 50
30 49	2606259 47	1363636 50	8806439 47	2863636 51	9990351 49	1230814 50
40 49	3011042 47	1578947 50	7588596 47	2842105 51	9987881 49	1045496 50
50 49	3569912 47	1875000 50	6380208 47	2812500 51	9984427 49	8616914 49
60 49	4392154 47	2307692 50	5182051 47	2769230 51	9979253 49	6795571 49
62 49	4605506 47	2419354 50	4943768 47	2758064 51	9977892 49	6433569 49
64 49	4841149 47	2542372 50	4705977 47	2745762 51	9976381 49	6072371 49
66 49	5102793 47	2678571 50	4468702 47	2732142 51	9974693 49	5712008 49
68 49	5395031 47	2830188 50	4231974 47	2716981 51	9972796 49	5352623 49
70 49	5723609 47	3000000 50	3995833 47	2700000 51	9970646 49	4994209 49
72 49	6095824 47	3191489 50	3760326 47	2680851 51	9968191 49	4636858 49
74 49	6521084 47	3409090 50	3525515 47	2659090 51	9965361 49	4280660 49
76 49	7011745 47	3658536 50	3291479 47	2634146 51	9962062 49	3925768 49
78 49	7584362 47	3947368 50	3058324 47	2605263 51	9958167 49	3572320 49
80 49	8261671 47	4285714 50	2826190 47	2571428 51	9953500 49	3220495 49
82 49	9075809 47	4687500 50	2595270 47	2531250 51	9947804 49	2870597 49
84 49	1007376 48	5172413 50	2365839 47	2482758 51	9940698 49	2522928 49
86 49	1132722 48	5769230 50	2138294 47	2423076 51	9931584 49	2177950 49
88 49	1295143 48	6521739 50	1913246 47	2347826 51	9919471 49	1836278 49
90 49	1514458 48	7500000 50	1691666 47	2250000 51	9902586 49	1498767 49
91 49	1655942 48	8108108 50	1582654 47	2189189 51	9891378 49	1331935 49
92 49	1827933 48	8823529 50	1475215 47	2117647 51	9877421 49	1166629 49
93 49	2041696 48	9677419 50	1369783 47	2032258 51	9859563 49	1003085 49
94 49	2314808 48	1071428 51	1266976 47	1928571 51	9835901 49	8415852 48
95 49	2676190 48	1200000 51	1167708 47	1800000 51	9803060 49	6824880 48
96 49	3176701 48	1363636 51	1073393 47	1636363 51	9754410 49	5262796 48
97 49	3913650 48	1578947 51	9863399 46	1421052 51	9674910 49	3737721 48
98 49	5094978 48	1875000 51	9105833 46	1125000 51	9521574 49	2268816 48
99 49	7237303 48	2307692 51	8538878 46	6923077 50	9101913 49	9223634 47
10 50	1193662 49	3000000 51	8333333 46	0000000 00	0000000 00	0000000 00

Compton Cross Sections vs. Angle of Scattered Quantum

32 51 = γ w	$\sigma_1(w,\phi)/\phi_0$	γ'	$\sigma_3(\gamma')/\phi_0$	E	w'	$\sigma_4(w',\phi)/\phi_0$
10 50N	91841894 6	49230764 9	23809344 8	31507695 1	10000000 50	40006325 0
90 49N	96302974 6	51779934 9	22568184 8	31482204 1	99997584 9	37860844 0
80 49N	10125224 7	54607504 9	21334374 8	31453924 1	99994894 9	35730774 0
70 49N	10677454 7	57761734 9	20107924 8	31422384 1	99991894 9	33611234 0
60 49N	11297554 7	61302684 9	18888854 8	31386974 1	99988524 9	31507294 0
50 49N	11998864 7	65306124 9	17677154 8	31346934 1	99984694 9	29414844 0
40 49N	12798454 7	69868994 9	16472844 8	31301314 1	99980324 9	27334024 0
30 49N	13718564 7	75117374 9	15275934 8	31248824 1	99975284 9	25266544 0
20 49N	14788664 7	81218274 9	14086444 8	31187814 1	99969404 9	23213604 0
10 49N	16048734 7	88397784 9	12904404 8	31116024 1	99962454 9	21171484 0
00 00	17554344 7	96969694 9	11729844 8	31030304 1	99954114 9	19142354 0
10 49	19385084 7	10738254 0	10562824 8	30926174 1	99943934 9	17128664 0
20 49	21659204 7	12030074 0	9403415 4 7	30796994 1	99931204 9	15126324 0
30 49	24560294 7	13675214 0	8251734 4 7	30632474 1	99914844 9	13138964 0
40 49	28389854 7	15841584 0	7107973 4 7	30415844 1	99893044 9	11165794 0
50 49	33680324 7	18823524 0	5972469 4 7	30117644 1	99862544 9	92074344 9
60 49	41469994 7	23188404 0	4845873 4 7	29681154 1	99816854 9	72655844 9
62 49	43492294 7	24316104 0	4621724 4 7	29568384 1	99804834 9	68795234 9
64 49	45726364 7	25559104 0	4398000 4 7	29444084 1	99791494 9	64941284 9
66 49	48207524 7	26936024 0	4174722 4 7	29306394 1	99776584 9	61096224 9
68 49	50979464 7	28469754 0	3951917 4 7	29153024 1	99759824 9	57260884 9
70 49	54096924 7	30188674 0	3729616 4 7	28981134 1	99740834 9	53435674 9
72 49	57629374 7	32128514 0	3507862 4 7	28787144 1	99719144 9	49619364 9
74 49	61666464 7	34333764 0	3286705 4 7	28566524 1	99694144 9	45816034 9
76 49	66325884 7	36866354 0	3066213 4 7	28313364 1	99664994 9	42024704 9
78 49	71765474 7	39800994 0	2846476 4 7	28019904 1	99630574 9	38247894 9
80 49	78202034 7	43243244 0	2627613 4 7	27675674 1	99589324 9	34488194 9
82 49	85942024 7	47337274 0	2409788 4 7	27266274 1	99538974 9	30746714 9
84 49	95433924 7	52287584 0	2193236 4 7	26771244 1	99476134 9	27027894 9
86 49	10736224 8	58394164 0	1978301 4 7	26160584 1	99395524 9	23336554 9
88 49	12282844 8	66115704 0	1765507 4 7	25388434 1	99288354 9	19678594 9
90 49	14372984 8	76190474 0	1555698 4 7	24380954 1	99138894 9	16063664 9
91 49	15722524 8	82474224 0	1452331 4 7	23752574 1	99039624 9	14276104 9
92 49	17364394 8	89887644 0	1350329 4 7	23011234 1	98915954 9	12504584 9
93 49	19407364 8	98765434 0	1250076 4 7	22123454 1	98757634 9	10751744 9
94 49	22021834 8	10958904 1	1152123 4 7	21041094 1	98547714 9	90207684 8
95 49	25489944 8	12307694 1	1057293 4 7	19692304 1	98256074 9	73157524 8
96 49	30312234 8	14035084 1	9668688 4 6	17964914 1	97823414 9	56420554 8
97 49	37458914 8	16326534 1	8829727 4 6	15673464 1	97114844 9	40083774 8
98 49	49044084 8	19512194 1	8093833 4 6	12487804 1	95742714 9	24342044 8
99 49	70482364 8	24242424 1	7535433 4 6	77575764 0	91950904 9	98727984 7
10 50	11936624 9	32000004 1	7324218 4 6	00000000 0	00000000 0	00000000 0

Compton Cross Sections vs. Angle of Scattered Quantum

34 51 = γ w	$\frac{\sigma_1(w,\phi)}{\phi_0}$	γ'	$\frac{\sigma_2(\gamma')}{\phi_0}$	E	w'	$\frac{\sigma_4(w',\phi)}{\phi_0}$
10 50 N	8651542 46	4927536 49	2238792 48	3350724 51	1000000 50	4239255 50
90 49 N	9073797 46	5182926 49	2122358 48	3348170 51	9999785 49	4012814 50
80 49 N	9542298 46	5466237 49	2006576 48	3345337 51	9999546 49	3787924 50
70 49 N	1006508 47	5782313 49	1891447 48	3342176 51	9999279 49	3564069 50
60 49 N	1065217 47	6137184 49	1776969 48	3338628 51	9998979 49	3341251 50
50 49 N	1131622 47	6538461 49	1663145 48	3334615 51	9998639 49	3120637 50
40 49 N	1207341 47	6995884 49	1549975 48	3330041 51	9998251 49	2900234 50
30 49 N	1294485 47	7522124 49	1437460 48	3324778 51	9997802 49	2681625 50
20 49 N	1395850 47	8133971 49	1325603 48	3318660 51	9997280 49	2464172 50
10 49 N	1515231 47	8854166 49	1214404 48	3311458 51	9996662 49	2248123 50
00 00	1657902 47	9714285 49	1103868 48	3302857 51	9995920 49	2033354 50
10 49	1831425 47	1075949 50	9939980 47	3292405 51	9995015 49	1819964 50
20 49	2047035 47	1205673 50	8848008 47	3279432 51	9993883 49	1607878 50
30 49	2322183 47	1370967 50	7762864 47	3262903 51	9992428 49	1397079 50
40 49	2685547 47	1588785 50	6684708 47	3241121 51	9990489 49	1187709 50
50 49	3187806 47	1888888 50	5613826 47	3211111 51	9987777 49	9798679 49
60 49	3927866 47	2328767 50	4550765 47	3167123 51	9983713 49	7736439 49
62 49	4120092 47	2442528 50	4339178 47	3155747 51	9982644 49	7326123 49
64 49	4332490 47	2567975 50	4127961 47	3143202 51	9981457 49	6916596 49
66 49	4568431 47	2707006 50	3917133 47	3129299 51	9980131 49	6508073 49
68 49	4832085 47	2861952 50	3706717 47	3113804 51	9978640 49	6100431 49
70 49	5128676 47	3035714 50	3496740 47	3096428 51	9976950 49	5693594 49
72 49	5464841 47	3231939 50	3287237 47	3076806 51	9975021 49	5287986 49
74 49	5849140 47	3455284 50	3078252 47	3054471 51	9972795 49	4883434 49
76 49	6292819 47	3711790 50	2869843 47	3028820 51	9970201 49	4480191 49
78 49	6810961 47	4009434 50	2662086 47	2999056 51	9967138 49	4078346 49
80 49	7424292 47	4358974 50	2455083 47	2964102 51	9963466 49	3678043 49
82 49	8162124 47	4775281 50	2248978 47	2922471 51	9958983 49	3279768 49
84 49	9067359 47	5279503 50	2043970 47	2872049 51	9953389 49	2883679 49
86 49	1020552 48	5902777 50	1840358 47	2809722 51	9946209 49	2490296 49
88 49	1168215 48	6692913 50	1638597 47	2730708 51	9936661 49	2100391 49
90 49	1367924 48	7727272 50	1439426 47	2627272 51	9923339 49	1714850 49
91 49	1496967 48	8374384 50	1341178 47	2562561 51	9914488 49	1524131 49
92 49	1654076 48	9139784 50	1244123 47	2486021 51	9903457 49	1335093 49
93 49	1849755 48	1005917 51	1148602 47	2394082 51	9889328 49	1148012 49
94 49	2100525 48	1118421 51	1055108 47	2281578 51	9870583 49	9632500 48
95 49	2433883 48	1259259 51	9643827 46	2140740 51	9844519 49	7812551 48
96 49	2898994 48	1440678 51	8775937 46	1959322 51	9805806 49	6026343 48
97 49	3592262 48	1683168 51	7966964 46	1716831 51	9742288 49	4283153 48
98 49	4727530 48	2023809 51	7252286 46	1376190 51	9618869 49	2602902 48
99 49	6868305 48	2537313 51	6703185 46	8626866 50	9274981 49	1054500 48
10 50	1193662 49	3400000 51	6487889 46	0000000 00	0000000 00	0000000 00

Compton Cross Sections vs. Angle of Scattered Quantum

36 51 = γ	$\sigma_1(w,\phi)$	γ'	$\sigma_3(\gamma')$	E	w'	$\sigma_4(w',\phi)$
w	ϕ_0		ϕ_0			ϕ_0
10 50N	8177301 46	4931506 49	2112665 48	3550684 51	1000000 50	4477890 50
90 49N	8578112 46	5187319 49	2003021 48	3548126 51	9999807 49	4239553 50
80 49N	9022849 46	5471124 49	1893958 48	3545288 51	9999594 49	4002777 50
70 49N	9519158 46	5787781 49	1785476 48	3542122 51	9999355 49	3767019 50
60 49N	1007656 47	6143344 49	1677577 48	3538566 51	9999087 49	3532280 50
50 49N	1070708 47	6545454 49	1570259 48	3534545 51	9998782 49	3299298 50
40 49N	1142613 47	7003891 49	1463525 48	3529961 51	9998435 49	3067450 50
30 49N	1225376 47	7531380 49	1357376 48	3524686 51	9998034 49	2836925 50
20 49N	1321659 47	8144796 49	1251812 48	3518552 51	9997566 49	2607231 50
10 49N	1435073 47	8866995 49	1146835 48	3511330 51	9997013 49	2379305 50
00 00	1570639 47	9729729 49	1042448 48	3502702 51	9996349 49	2152647 50
10 49	1735555 47	1077844 50	9386557 47	3492215 51	9995539 49	1927187 50
20 49	1940524 47	1208053 50	8354617 47	3479194 51	9994526 49	1702955 50
30 49	2202178 47	1374045 50	7328752 47	3462595 51	9993224 49	1480221 50
40 49	2547860 47	1592920 50	6309099 47	3440708 51	9991488 49	1258870 50
50 49	3025922 47	1894736 50	5295900 47	3410526 51	9989061 49	1039055 50
60 49	3730806 47	2337662 50	4289622 47	3366233 51	9985422 49	8207911 49
62 49	3913982 47	2452316 50	4089270 47	3354768 51	9984465 49	7773528 49
64 49	4116419 47	2578796 50	3889245 47	3342120 51	9983403 49	7340015 49
66 49	4341342 47	2719033 50	3689562 47	3328096 51	9982215 49	6907118 49
68 49	4592739 47	2875399 50	3490240 47	3312460 51	9980880 49	6475479 49
70 49	4875611 47	3050847 50	3291303 47	3294915 51	9979367 49	6044551 49
72 49	5196307 47	3249097 50	3092781 47	3275090 51	9977639 49	5614677 49
74 49	5563024 47	3474903 50	2894712 47	3252509 51	9975646 49	5186047 49
76 49	5986533 47	3734439 50	2697145 47	3226556 51	9973323 49	4758663 49
78 49	6481281 47	4035874 50	2500147 47	3196412 51	9970579 49	4332595 49
80 49	7067132 47	4390243 50	2303805 47	3160975 51	9967290 49	3908177 49
82 49	7772177 47	4812834 50	2108243 47	3118716 51	9963274 49	3485689 49
84 49	8637563 47	5325443 50	1913636 47	3067455 51	9958261 49	3065364 49
86 49	9726156 47	5960264 50	1720243 47	3003973 51	9951826 49	2647846 49
88 49	1113927 48	6766917 50	1528463 47	2923308 51	9943267 49	2233753 49
90 49	1305184 48	7826086 50	1338944 47	2817391 51	9931320 49	1824128 49
91 49	1428850 48	8490566 50	1245355 47	2750943 51	9923379 49	1621432 49
92 49	1579507 48	9278350 50	1152816 47	2672164 51	9913480 49	1420449 49
93 49	1767309 48	1022737 51	1061629 47	2577272 51	9900796 49	1221520 49
94 49	2008277 48	1139240 51	9722383 46	2460759 51	9883960 49	1025031 49
95 49	2329196 48	1285714 51	8853133 46	2314285 51	9860533 49	8314752 48
96 49	2778283 48	1475409 51	8019201 46	2124590 51	9825702 49	6415189 48
97 49	3451076 48	1730769 51	7238626 46	1869230 51	9768462 49	4561655 48
98 49	4562972 48	2093023 51	6544547 46	1506976 51	9656921 49	2774568 48
99 49	6696905 48	2647058 51	6005191 46	9529412 50	9343911 49	1123807 48
10 50	1193662 49	3600000 51	5787037 46	0000000 00	0000000 00	0000000 00

38 51 = γ w	$\frac{\sigma_1(w,\phi)}{\phi_0}$	γ'	$\frac{\sigma_2(\gamma')}{\phi_0}$	E	w'	$\frac{\sigma_4(w',\phi)}{\phi_0}$
10 50N	77523594 6	4935064 49	1999990 48	3750649 51	1000000 50	4716535 50
90 49N	8133787 46	5191256 49	1896390 48	3748087 51	9999827 49	4466298 50
80 49N	8557046 46	5475504 49	1793310 48	3745245 51	9999634 49	4217636 50
70 49N	9029416 46	5792682 49	1690752 48	3742073 51	9999419 49	3969972 50
60 49N	9559976 46	6148867 49	1588716 48	3738511 51	9999178 49	3723310 50
50 49N	10160184 7	6551724 49	1487203 48	3734482 51	9998904 49	3478427 50
40 49N	10844737	7011070 49	1386213 48	3729889 51	9998591 49	3234214 50
30 49N	11632737	7539682 49	1285747 48	3724603 51	9998230 49	2991837 50
20 49N	12549587	8154506 49	1185806 48	3718454 51	9997809 49	2750588 50
10 49N	13629717	8878504 49	1086392 48	3711214 51	9997311 49	2510462 50
00 00	14921027	9743589 49	9875079 47	3702564 51	9996714 49	2271695 50
10 49	16492247	10795457	8891553 47	3692045 51	9995984 49	2034379 50
20 49	18445517	12101917	7913394 47	3678980 51	9995072 49	1798270 50
30 49	20939727	13768117	6940676 47	3662318 51	9993900 49	1563430 50
40 49	24236137	15966387	5973515 47	3640336 51	9992338 49	1330150 50
50 49	28797097	19000007	5012118 47	3610000 51	9990152 49	1098265 50
60 49	35526337	23456797	4056889 47	3565432 51	9986876 49	8679766 49
62 49	37275817	24611397	3866646 47	3553886 51	9986015 49	8221569 49
64 49	39209617	25885557	3676693 47	3541144 51	9985058 49	7763716 49
66 49	41358627	27298857	3487042 47	3527011 51	9983988 49	7307108 49
68 49	43761097	28875387	3297711 47	3511246 51	9982786 49	6851130 49
70 49	46464967	30645167	3108720 47	3493548 51	9981423 49	6396208 49
72 49	49531137	32646047	2920094 47	3473539 51	9979867 49	5942269 49
74 49	53038257	34926477	2731867 47	3450735 51	9978072 49	5489418 49
76 49	57089667	37549407	2544082 47	3424505 51	9975979 49	5037754 49
78 49	61824097	40598297	2356796 47	3394017 51	9973508 49	4587636 49
80 49	67432217	44186047	2170086 47	3358139 51	9970544 49	4139023 49
82 49	74183937	48469387	1984059 47	3315306 51	9966926 49	3692352 49
84 49	82474607	53672317	1798868 47	3263276 51	9962408 49	3247852 49
86 49	92908607	60126587	1614740 47	3198734 51	9956609 49	2806128 49
88 49	10646057	68345327	1432026 47	3116546 51	9948893 49	2367874 49
90 49	12481477	79166667	1251298 47	3008333 51	9938120 49	1934104 49
91 49	13668987	85972847	1161966 47	2940271 51	9930957 49	1719404 49
92 49	15116497	94059407	1073560 47	2859405 51	9922026 49	1506472 49
93 49	16922267	10382517	9863548 46	2761748 51	9910578 49	1295649 49
94 49	19241667	11585367	9007473 46	2641463 51	9895375 49	1087369 49
95 49	22335587	13103447	8173461 46	2489655 51	9874208 49	8821850 48
96 49	26676437	15079367	7371256 46	2292063 51	9842712 49	6808202 48
97 49	33208987	17757007	6617528 46	2024299 51	9790880 49	4843525 48
98 49	44095327	21590907	5943338 46	1640909 51	9689627 49	2948901 48
99 49	65334817	27536237	5413965 46	1046376 51	9403735 49	1195014 48
10 50	11936627	38000007	5193905 46	0000000 00	0000000 00	0000000 00

Compton Cross Sections vs. Angle of Scattered Quantum

40 51 = γ w	$\frac{\sigma_1(w,\phi)}{\phi_0}$	γ'	$\frac{\sigma_3(\gamma')}{\phi_0}$	E	w'	$\frac{\sigma_4(w',\phi)}{\phi_0}$
10 50N	7369407 46	4938271 49	1898726 48	3950617 51	1000000 50	4955189 50
90 49N	7733233 46	5194805 49	1800538 48	3948051 51	9999843 49	4693051 50
80 49N	8136982 46	5479452 49	1702821 48	3945205 51	9999669 49	4432498 50
70 49N	8587609 46	5797101 49	1605574 48	3942029 51	9999475 49	4172219 50
60 49N	9093781 46	6153846 49	1508798 48	3938461 51	9999256 49	3914343 50
50 49N	9666448 46	6557377 49	1412493 48	3934426 51	9999008 49	3657010 50
40 49N	1031963 47	7017544 49	1316661 48	3929824 51	9998725 49	3401408 50
30 49N	1107162 47	7547170 49	1221301 48	3924528 51	9998398 49	3147119 50
20 49N	1194666 47	8163265 49	1126415 48	3918367 51	9998017 49	2893598 50
10 49N	1297767 47	8888888 49	1032005 48	3911111 51	9997567 49	2641592 50
00 00	1421046 47	9756097 49	9380716 47	3902439 51	9997026 49	2390937 50
10 49	1571075 47	10810810 50	8446178 47	3891891 51	9996366 49	2141539 50
20 49	1757626 47	12121210 50	7516477 47	3878787 51	9995541 49	1893564 50
30 49	1995905 47	13793100 50	6591675 47	3862069 51	9994480 49	1646720 50
40 49	2310929 47	16000000 50	5671875 47	3840000 51	9993066 49	1401405 50
50 49	2746995 47	19047610 50	4757254 47	3809523 51	9991088 49	1157501 50
60 49	3390748 47	23529410 50	3848161 47	3764705 51	9988123 49	9152440 49
62 49	3558182 47	24691350 50	3667061 47	3753086 51	9987343 49	8669696 49
64 49	3743289 47	25974020 50	3486219 47	3740259 51	9986477 49	8188332 49
66 49	3949033 47	27397260 50	3305646 47	3726027 51	9985509 49	7707407 49
68 49	4179090 47	28985500 50	3125358 47	3710144 51	9984420 49	7227474 49
70 49	4438064 47	30769230 50	2945372 47	3692307 51	9983187 49	6748467 49
72 49	4731809 47	32786880 50	2765711 47	3672131 51	9981778 49	6270373 49
74 49	5067883 47	35087710 50	2586402 47	3649122 51	9980153 49	5793351 49
76 49	5456223 47	37735840 50	2407485 47	3622641 51	9978258 49	5317677 49
78 49	5910169 47	40816320 50	2229009 47	3591836 51	9976020 49	4843255 49
80 49	6448067 47	44444440 50	2051041 47	3555555 51	9973337 49	4370586 49
82 49	7095890 47	48780480 50	1873676 47	3512195 51	9970060 49	3899640 49
84 49	7891701 47	54054050 50	1697047 47	3459459 51	9965968 49	3430973 49
86 49	8893707 47	60606060 50	1521355 47	3393939 51	9960715 49	2965067 49
88 49	1019582 48	68965510 50	1346909 47	3310344 51	9953724 49	2502647 49
90 49	1196049 48	80000000 50	1174218 47	3200000 51	9943960 49	2044736 49
91 49	1310289 48	86956520 50	1088787 47	3130434 51	9937467 49	1817990 49
92 49	1449614 48	95238090 50	1004178 47	3047619 51	9929369 49	1593070 49
93 49	1623536 48	10526310 51	9206385 46	2947368 51	9918986 49	1370323 49
94 49	1847139 48	11764700 51	8385275 46	2823529 51	9905192 49	1150219 49
95 49	2145828 48	13333330 51	7583984 46	2666666 51	9885977 49	9333496 48
96 49	2565857 48	15384610 51	6811442 46	2461538 51	9857364 49	7205067 48
97 49	3200500 48	18181810 51	6083075 46	2181818 51	9810222 49	5128515 48
98 49	4266154 48	22222220 51	5428020 46	1777777 51	9717932 49	3125667 48
99 49	6377522 48	28571420 51	4908716 46	1142857 51	9455944 49	1267958 48
10 50	1193662 49	40000000 51	4687500 46	0000000 00	0000000 00	0000000 00

Compton Cross Sections vs. Angle of Scattered Quantum

42 51 = γ	$\frac{\sigma_1(w,\phi)}{\phi_0}$	γ'	$\frac{\sigma_2(\gamma')}{\phi_0}$	E	w'	$\frac{\sigma_4(w',\phi)}{\phi_0}$
w						
10 50N	70222513 46	49411176 49	18072223 48	41505888 51	10000000 50	51938851 50
90 49N	73702850 46	51980200 49	17139110 48	41480190 51	99998570 49	49198090 50
80 49N	77562370 46	54830280 49	16210250 48	41451690 51	99996990 49	46465280 50
70 49N	81870270 46	58011050 49	15285670 48	41419880 51	99995220 49	43751440 50
60 49N	86709470 46	61583570 49	14365360 48	41384160 51	99993240 49	41053770 50
50 49N	92184780 46	65625000 49	13449320 48	41343750 51	99990980 49	38361140 50
40 49N	98430490 46	70234110 49	12537560 48	41297650 51	99988410 49	35686020 50
30 49N	10562150 47	75539570 49	11630090 48	41244600 51	99985440 49	33019730 50
20 49N	11399020 47	81712060 49	10726920 48	41182870 51	99981970 49	30365760 50
10 49N	12385180 47	88983050 49	98280580 47	41110160 51	99977880 49	27730010 50
00 00	13564510 47	97674410 49	89335150 47	41023250 51	99972960 49	25101600 50
10 49	14999970 47	10824740 50	80433190 47	40917520 51	99966960 49	22488690 50
20 49	16785260 47	12138720 50	71575040 47	40786120 51	99959460 49	19886760 50
30 49	19066150 47	13815790 50	62761250 47	40618420 51	99949810 49	17299870 50
40 49	22082650 47	16030530 50	53992700 47	40396940 51	99936960 49	14727210 50
50 49	26259890 47	19090900 50	45270950 47	40090900 51	99918970 49	12168310 50
60 49	32430090 47	23595500 50	36599020 47	39640440 51	99892000 49	96252940 49
62 49	34035530 47	24764150 50	34871090 47	39523580 51	99884910 49	91186130 49
64 49	35810710 47	26054590 50	33145480 47	39394540 51	99877030 49	86130730 49
66 49	37784160 47	27486910 50	31422290 47	39251300 51	99868230 49	81080560 49
68 49	39991230 47	29085870 50	29701640 47	39091410 51	99858330 49	76041250 49
70 49	42476220 47	30882350 50	27983690 47	38911760 51	99847110 49	71009820 49
72 49	45295490 47	32915360 50	26268640 47	38708460 51	99834300 49	65988660 49
74 49	48521810 47	35234890 50	24556740 47	38476510 51	99819510 49	60979190 49
76 49	52250870 47	37906130 50	22848320 47	38209380 51	99802280 49	55980000 49
78 49	56611200 47	41015620 50	21143820 47	37898430 51	99781920 49	50995190 49
80 49	61779590 47	44680850 50	19443840 47	37531910 51	99757510 49	46025840 49
82 49	68006410 47	49065420 50	17749190 47	37093450 51	99727690 49	41075510 49
84 49	75658710 47	54404140 50	16061080 47	36559580 51	99690460 49	36147430 49
86 49	85298030 47	61046510 50	14381260 47	35895340 51	99642650 49	31246110 49
88 49	97830880 47	69536420 50	12712500 47	35046350 51	99579020 49	26379930 49
90 49	11482610 48	80769230 50	11059320 47	33923070 51	99490130 49	21559380 49
91 49	12583450 48	87866100 50	10240870 47	33213380 51	99431010 49	19171600 49
92 49	13926630 48	96330270 50	94297570 46	32366970 51	99357250 49	16802070 49
93 49	15604380 48	10659890 51	86282040 46	31340100 51	99262650 49	14455170 49
94 49	17763170 48	11931810 51	78394790 46	30068180 51	99136950 49	12135340 49
95 49	20650480 48	13548380 51	70686240 46	28451610 51	98961770 49	98493010 48
96 49	24718940 48	15671640 51	63238400 46	26328350 51	98700720 49	76054550 48
97 49	30888280 48	18584070 51	56194260 46	23415920 51	98270200 49	54163640 48
98 49	41319090 48	22826080 51	49827340 46	19173910 51	97425790 49	33046490 48
99 49	62285590 48	29577460 51	44734810 46	12422530 51	95017470 49	13424990 48
10 50	11936610 49	42000000 51	42517000 46	00000000 00	00000000 00	00000000 00

44 51 = γ w	$\frac{\sigma_1(w,\phi)}{\phi_0}$	γ'	$\frac{\sigma_3(\gamma')}{\phi_0}$	E	w'	$\frac{\sigma_4(w',\phi)}{\phi_0}$
10 50N	6706812 46	4943820 49	1724133 48	4350561 51	1000000 50	5432518 50
90 49N	7039881 46	5200945 49	1635236 48	4347990 51	9999870 49	5146571 50
80 49N	7409535 46	5486284 49	1546729 48	4345137 51	9999725 49	4861360 50
70 49N	7822153 46	5804749 49	1458610 48	4341952 51	9999564 49	4578069 50
60 49N	8285691 46	6162464 49	1370880 48	4338375 51	9999382 49	4296412 50
50 49N	8810194 46	6567164 49	1283540 48	4334328 51	9999177 49	4015220 50
40 49N	9408542 46	7028754 49	1196590 48	4329712 51	9998941 49	3735274 50
30 49N	1009751 47	7560137 49	1110030 48	4324398 51	9998670 49	3456787 50
20 49N	1089939 47	8178438 49	1023862 48	4318215 51	9998354 49	3179902 50
10 49N	1184443 47	8906882 49	9380858 47	4310931 51	9997980 49	2904092 50
00 00	1297473 47	9777777 49	8527031 47	4302222 51	9997531 49	2629363 50
10 49	1435073 47	1083743 50	7677162 47	4291625 51	9996983 49	2355972 50
20 49	1606240 47	1215469 50	6831280 47	4278453 51	9996298 49	2084083 50
30 49	1824975 47	1383647 50	5989433 47	4261635 51	9995417 49	1813355 50
40 49	2114339 47	1605839 50	5151697 47	4239416 51	9994243 49	1544015 50
50 49	2515205 47	1913043 50	4318209 47	4208695 51	9992600 49	1276142 50
60 49	3107634 47	2365591 50	3489236 47	4163440 51	9990138 49	1009875 50
62 49	3261837 47	2483070 50	3324025 47	4151693 51	9989490 49	9568078 49
64 49	3432369 47	2612826 50	3159022 47	4138717 51	9988770 49	9038278 49
66 49	3621980 47	2756892 50	2994238 47	4124310 51	9987966 49	8509390 49
68 49	3834075 47	2917771 50	2829683 47	4108222 51	9987062 49	7981375 49
70 49	4072925 47	3098591 50	2665371 47	4090140 51	9986037 49	7454228 49
72 49	4343962 47	3303303 50	2501318 47	4069669 51	9984866 49	6927791 49
74 49	4654204 47	3536977 50	2337549 47	4046302 51	9983516 49	6402698 49
76 49	5012881 47	3806228 50	2174090 47	4019377 51	9981942 49	5878764 49
78 49	5432394 47	4119850 50	2010982 47	3988015 51	9980082 49	5356267 49
80 49	5929806 47	4489796 50	1848277 47	3951020 51	9977851 49	4835250 49
82 49	6529288 47	4932735 50	1686048 47	3906726 51	9975127 49	4315997 49
84 49	7266291 47	5472636 50	1524401 47	3852736 51	9971725 49	3798987 49
86 49	8195069 47	6145251 50	1363494 47	3785474 51	9967356 49	3284684 49
88 49	9403248 47	7006369 50	1203571 47	3699363 51	9961539 49	2773873 49
90 49	1104257 48	8148148 50	1045038 47	3585185 51	9953414 49	2267663 49
91 49	1210496 48	8870967 50	9664991 46	3512903 51	9948007 49	2016801 49
92 49	1340182 48	9734513 50	8886180 46	3426548 51	9941262 49	1767841 49
93 49	1502259 48	1078431 51	8115957 46	3321568 51	9932609 49	1521167 49
94 49	1710963 48	1208791 51	7357293 46	3191208 51	9921108 49	1277281 49
95 49	1990408 48	1375000 51	6614798 46	3025000 51	9905072 49	1036892 49
96 49	2384878 48	1594202 51	5896020 46	2805797 51	9881164 49	8009161 48
97 49	2984969 48	1896551 51	5214232 46	2503448 51	9841699 49	5706859 48
98 49	4005973 48	2340425 51	4595134 46	2059574 51	9764168 49	3485676 48
99 49	6086157 48	3055555 51	4095837 46	1344444 51	9542125 49	1418511 48
10 50	1193661 49	4400000 51	3873967 46	0000000 00	0000000 00	0000000 00

Compton Cross Sections vs. Angle of Scattered Quantum

46 51 = γ W	$\frac{\sigma_1(w,\phi)}{\phi_0}$	γ'	$\frac{\sigma_2(\gamma')}{\phi_0}$	E	w'	$\frac{\sigma_4(w',\phi)}{\phi_0}$
10 50 N	6418279 46	4946236 49	1648347 48	4550537 51	1000000 50	5671192 50
90 49 N	6737834 46	5203619 49	1563468 48	4547963 51	9999880 49	5373337 50
80 49 N	7092506 46	5489260 49	1478944 48	4545107 51	9999748 49	5076194 50
70 49 N	7488421 46	5808081 49	1394777 48	4541919 51	9999600 49	4780998 50
60 49 N	7933217 46	6166220 49	1310965 48	4538337 51	9999434 49	4486730 50
50 49 N	8436545 46	6571428 49	1227509 48	4534285 51	9999245 49	4194325 50
40 49 N	9010778 46	7033639 49	1144410 48	4529663 51	9999030 49	3902446 50
30 49 N	9672033 46	7565789 49	1061669 48	4524342 51	9998781 49	3612030 50
20 49 N	10441172 47	8185053 49	979285O 47	4518149 51	9998491 49	3323229 50
10 49 N	11134892 47	8914728 49	8972597 47	4510852 51	9998148 49	3035156 50
00 00	1243410 47	9787234 49	8155944 47	4502127 51	9997737 49	2748544 50
10 49	1375536 47	1084905 50	7342908 47	4491509 51	9997234 49	2463262 50
20 49	1539923 47	1216931 50	6533515 47	4478306 51	9996606 49	2179306 50
30 49	1750041 47	1385542 50	5727809 47	4461445 51	9995799 49	1896708 50
40 49	2028081 47	1608391 50	4925855 47	4439160 51	9994722 49	1615383 50
50 49	2413401 47	1916666 50	4127776 47	4408333 51	9993216 49	1335500 50
60 49	2983131 47	2371134 50	3333804 47	4362886 51	9990958 49	1057207 50
62 49	3131478 47	2489177 50	3175539 47	4351082 51	9990364 49	1001778 50
64 49	3295558 47	2619590 50	3017464 47	4338041 51	9989704 49	9464010 49
66 49	3478023 47	2764423 50	2859586 47	4323557 51	9988967 49	8910895 49
68 49	3682159 47	2926208 50	2701916 47	4307379 51	9988137 49	8358764 49
70 49	3912090 47	3108108 50	2544464 47	4289189 51	9987198 49	7807593 49
72 49	4173058 47	3314121 50	2387248 47	4268587 51	9986124 49	7257403 49
74 49	4471841 47	3549382 50	2230285 47	4245061 51	9984886 49	6708051 49
76 49	4817355 47	3820598 50	2073604 47	4217940 51	9983442 49	6160014 49
78 49	5221580 47	4136690 50	1917236 47	4186330 51	9981736 49	5613425 49
80 49	5701009 47	4509803 50	1761230 47	4149019 51	9979690 49	5068251 49
82 49	6279010 47	4956896 50	1605651 47	4104310 51	9977192 49	4524866 49
84 49	6989868 47	5502392 50	1450593 47	4049760 51	9974071 49	3983681 49
86 49	7886076 47	6182795 50	1296197 47	3981720 51	9970063 49	3445240 49
88 49	9052447 47	7055214 50	1142682 47	3894478 51	9964726 49	2910233 49
90 49	1063594 48	8214285 50	9904131 46	3778571 51	9957269 49	2379868 49
91 49	1166267 48	8949416 50	9149312 46	3705058 51	9952307 49	2116946 49
92 49	1291650 48	9829059 50	8400416 46	3617094 51	9946115 49	1855924 49
93 49	1448431 48	1090047 51	7659262 46	3509952 51	9938171 49	1597241 49
94 49	1650453 48	1223404 51	6928563 46	3376595 51	9927608 49	1341434 49
95 49	1921220 48	1393939 51	6212541 46	3206060 51	9912876 49	1089218 49
96 49	2304057 48	1619718 51	5518157 46	2980281 51	9890901 49	8415903 48
97 49	2888133 48	1932773 51	4857752 46	2667226 51	9854599 49	5999822 48
98 49	3887615 48	2395833 51	4255493 46	2204166 51	9783178 49	3668587 48
99 49	5949919 48	3150685 51	3766005 46	1449315 51	9577884 49	1495883 48
10 50	1193661 49	4600000 51	3544423 46	0000000 00	0000000 00	0000000 00

48 51 = γ w	$\sigma_1(w,\phi)/\phi_0$	γ'	$\sigma_3(\gamma')/\phi_0$	E	w'	$\sigma_4(w',\phi)/\phi_0$
10 50N	6153550 46	4948453 49	1578943 48	4750515 51	1000000 50	5909870 50
90 49N	6460643 46	5206073 49	1497735 48	4747939 51	9999890 49	5600108 50
80 49N	6801497 46	5491991 49	1416852 48	4745080 51	9999768 49	5291031 50
70 49N	7182003 46	5811138 49	1336297 48	4741888 51	9999632 49	4983928 50
60 49N	7609510 46	6169665 49	1256068 48	4738303 51	9999479 49	4677736 50
50 49N	8093303 46	6575342 49	1176166 48	4734246 51	9999305 49	4373432 50
40 49N	8645284 46	7038123 49	1096592 48	4729618 51	9999107 49	4069619 50
30 49N	9280962 46	7570978 49	1017346 48	4724290 51	9998878 49	3767275 50
20 49N	1002094 47	8191126 49	9384287 47	4718088 51	9998612 49	3466141 50
10 49N	1089321 47	8921933 49	8598402 47	4710780 51	9998296 49	3166193 50
00 00	1193672 47	9795918 49	7815821 47	4702040 51	9997918 49	2867704 50
10 49	1320743 47	1085972 50	7036559 47	4691402 51	9997455 49	2570537 50
20 49	1478866 47	1218274 50	6260641 47	4678172 51	9996877 49	2274686 50
30 49	1681019 47	1387283 50	5488102 47	4661271 51	9996134 49	1980045 50
40 49	1948589 47	1610738 50	4719003 47	4638926 51	9995144 49	1686735 50
50 49	2319524 47	1920000 50	3953450 47	4608000 51	9993758 49	1394910 50
60 49	2868238 47	2376237 50	3191651 47	4562376 51	9991680 49	1104610 50
62 49	3011160 47	2494802 50	3039774 47	4550519 51	9991133 49	1046775 50
64 49	3169261 47	2625820 50	2888070 47	4537417 51	9990526 49	9889980 49
66 49	3345103 47	2771362 50	2736545 47	4522863 51	9989848 49	9312905 49
68 49	3541862 47	2933985 50	2585209 47	4506601 51	9989084 49	8736582 49
70 49	3763522 47	3116883 50	2434071 47	4488311 51	9988220 49	8161328 49
72 49	4015152 47	3324099 50	2283146 47	4467590 51	9987232 49	7587144 49
74 49	4303304 47	3560830 50	2132451 47	4443916 51	9986092 49	7013860 49
76 49	4636602 47	3833865 50	1982010 47	4416613 51	9984763 49	6441800 49
78 49	5026637 47	4152249 50	1831853 47	4384775 51	9983193 49	5870896 49
80 49	5489368 47	4528301 50	1682021 47	4347169 51	9981310 49	5301613 49
82 49	6047417 47	4979253 50	1532573 47	4302074 51	9979010 49	4734193 49
84 49	6733984 47	5529953 50	1383594 47	4247004 51	9976137 49	4168866 49
86 49	7599919 47	6217616 50	1235210 47	4178238 51	9972447 49	3606218 49
88 49	8727419 47	7100591 50	1087618 47	4089940 51	9967533 49	3047042 49
90 49	1025898 48	8275861 50	9411480 46	3972413 51	9960666 49	2492472 49
91 49	1125251 48	9022556 50	8685009 46	3897744 51	9956096 49	2217483 49
92 49	1246628 48	9917355 50	7963885 46	3808264 51	9950392 49	1944409 49
93 49	1398472 48	1100917 51	7249768 46	3699082 51	9943073 49	1673716 49
94 49	1594255 48	1237113 51	6545136 46	3562886 51	9933339 49	1405940 49
95 49	1856897 48	1411764 51	5853869 46	3388235 51	9919760 49	1141867 49
96 49	2228782 48	1643835 51	5182398 46	3156164 51	9899494 49	8825528 48
97 49	2797631 48	1967213 51	4542213 46	2832786 51	9865994 49	6295098 48
98 49	3776186 48	2448979 51	3956061 46	2351020 51	9800000 49	3853252 48
99 49	5819472 48	3243243 51	3476197 46	1556756 51	9609690 49	1574517 48
10 50	1193661 49	4800000 51	3255208 46	0000000 00	0000000 00	0000000 00

Compton Cross Sections vs. Angle of Scattered Quantum

50 51= γ	$\sigma_1(w,\phi)$	γ'	$\sigma_2(\gamma')$	E	w'	$\sigma_4(w',\phi)$
w	ϕ_0		ϕ_0			ϕ_0
10 50N	5909797 46	4950495 49	1515148 48	4950495 51	1000000 50	6148553 50
90 49N	6205360 46	5208333 49	1437306 48	4947916 51	9999898 49	5826882 50
80 49N	6533428 46	5494505 49	1359764 48	4945054 51	9999786 49	5505869 50
70 49N	6899678 46	5813953 49	1282524 48	4941860 51	9999660 49	5186858 50
60 49N	7311188 46	6172839 49	1205585 48	4938271 51	9999519 49	4868744 50
50 49N	7776903 46	6578947 49	1128947 48	4934210 51	9999359 49	4551857 50
40 49N	8308286 46	7042253 49	1052611 48	4929577 51	9999176 49	4236792 50
30 49N	8920288 46	7575757 49	9765772 47	4924242 51	9998965 49	3922009 50
20 49N	9632765 46	8196721 49	9008459 47	4918032 51	9998718 49	3609453 50
10 49N	1047268 47	8928571 49	8254178 47	4910714 51	9998427 49	3297565 50
00 00	1147760 47	9803921 49	7502941 47	4901960 51	9998078 49	2987140 50
10 49	1270148 47	1086956 50	6754760 47	4891304 51	9997651 49	2677795 50
20 49	1422467 47	1219512 50	6009658 47	4878048 51	9997117 49	2369866 50
30 49	1617236 47	1388888 50	5267666 47	4861111 51	9996431 49	2063365 50
40 49	1875096 47	1612903 50	4528838 47	4838709 51	9995517 49	1758071 50
50 49	2232683 47	1923076 50	3793269 47	4807692 51	9994238 49	1454308 50
60 49	2761882 47	2380952 50	3061142 47	4761904 51	9992319 49	1152047 50
62 49	2899763 47	2500000 50	2915160 47	4750000 51	9991814 49	1091761 50
64 49	3052308 47	2631579 50	2769334 47	4736842 51	9991254 49	1031621 50
66 49	3221995 47	2777777 50	2623673 47	4722222 51	9990627 49	9715149 49
68 49	3411895 47	2941176 50	2478183 47	4705882 51	9989923 49	9114882 49
70 49	3625865 47	3125000 50	2332875 47	4687500 51	9989124 49	8515473 49
72 49	3868809 47	3333333 50	2187760 47	4666666 51	9988212 49	7917239 49
74 49	4147071 47	3571428 50	2042854 47	4642857 51	9987159 49	7319791 49
76 49	4469001 47	3846153 50	1898178 47	4615384 51	9985932 49	6723692 49
78 49	4845825 47	4166666 50	1753760 47	4583333 51	9984482 49	6128842 49
80 49	5293007 47	4545454 50	1609636 47	4545454 51	9982743 49	5535471 49
82 49	5832471 47	5000000 50	1465860 47	4500000 51	9980619 49	4943838 49
84 49	6496403 47	5555555 50	1322506 47	4444444 51	9977966 49	4354442 49
86 49	7334120 47	6250000 50	1179690 47	4375000 51	9974557 49	3767597 49
88 49	8425374 47	7142857 50	1037588 47	4285714 51	9970018 49	3184258 49
90 49	9908501 47	8333333 50	8965000 46	4166666 51	9963674 49	2605508 49
91 49	1087104 48	9090909 50	8264877 46	4090909 51	9959451 49	2318404 49
92 49	1204739 48	1000000 51	7569600 46	4000000 51	9954180 49	2033266 49
93 49	1351968 48	1111111 51	6880683 46	3888888 51	9947416 49	1750545 49
94 49	1541913 48	1250000 51	6200400 46	3750000 51	9938418 49	1470795 49
95 49	1796931 48	1428571 51	5532321 46	3571428 51	9925861 49	1194832 49
96 49	2158494 48	1666666 51	4882400 46	3333333 51	9907115 49	9237811 48
97 49	2712859 48	2000000 51	4261350 46	3000000 51	9876107 49	6592539 48
98 49	3671107 48	2500000 51	3690600 46	2500000 51	9814954 49	4039549 48
99 49	5694475 48	3333333 51	3220150 46	1666666 51	9638094 49	1654324 48
10 50	1193661 49	5000000 51	3000000 46	0000000 00	0000000 00	0000000 00

Compton Cross Sections vs Energy of Scattered Quantum

$10^{49}=\gamma$ γ'	$\sigma_3(\gamma')/\phi_0$	E	w	$\sigma_1(w,\phi)/\phi_0$	w'	$\sigma_4(w',\phi)/\phi_0$
8333 48	7624999 51	1666667 48	1000000 50*	8427475 48	1000000 50	4078897 49
8400 48	6934014 51	1600000 48	9047620 49*	7786879 48	9799579 49	3632520 49
8600 48	5313967 51	1400000 48	6279070 49*	6255123 48	9171217 49	2600157 49
8800 48	4307230 51	1200000 48	3636360 49*	5308643 48	8495115 49	1948310 49
9000 48	3837963 51	1000000 48	1111110 49*	4947729 48	7758801 49	1582421 49
9200 48	3839886 51	8000000 47	1304350 49	5172663 48	6943137 49	1413957 49
9400 48	4254967 51	6000000 47	3617020 49	5983731 48	6015931 49	1354864 49
9600 48	5032290 51	4000000 47	5833330 49	7381222 48	4914439 49	1306381 49
9800 48	6127101 51	2000000 47	7959180 49	9365421 48	3476770 49	1123037 49
1000 49	7500000 51	0000000 00	1000000 50	1193662 49	0000000 00	0000000 00

Compton Cross Sections vs Energy of Scattered Quantum

20 49 = γ / γ'	$\sigma_3(\gamma')/\phi_0$	E	w	$\sigma_1(w,\phi)/\phi_0$	w'	$\sigma_4(w',\phi)/\phi_0$
1428 49	1982142 51	5714286 48	1000000 50*	6438118 48	1000000 50	3708356 49
1440 49	1875810 51	5600000 48	9444444 49*	6190617 48	9902245 49	3471254 49
1460 49	1707374 51	5400000 48	8493151 49*	5792346 48	9728545 49	3098097 49
1480 49	1560030 51	5200000 48	7567568 49*	5438468 48	9551338 49	2773764 49
1500 49	1432291 51	5000000 48	6666667 49*	5129016 48	9370425 49	2493539 49
1520 49	1322784 51	4800000 48	5789474 49*	4864029 48	9185586 49	2253063 49
1540 49	1230234 51	4600000 48	4935065 49*	4643542 48	8996578 49	2048302 49
1560 49	1153464 51	4400000 48	4102564 49*	4467590 48	8803130 49	1875515 49
1580 49	1091380 51	4200000 48	3291139 49*	4336210 48	8604943 49	1731223 49
1600 49	1042968 51	4000000 48	2500000 49*	4249436 48	8401680 49	1612186 49
1620 49	1007288 51	3800000 48	1728395 49*	4207306 48	8192962 49	1515378 49
1640 49	9834660 50	3600000 48	9756100 48*	4209855 48	7978359 49	1437957 49
1660 49	9706874 50	3400000 48	2409640 48*	4257118 48	7757383 49	1377254 49
1680 49	9681973 50	3200000 48	4761900 48	4349131 48	7529469 49	1330740 49
1700 49	9752919 50	3000000 48	1176471 49	4485931 48	7293968 49	1296009 49
1720 49	9913162 50	2800000 48	1860465 49	4667552 48	7050116 49	1270755 49
1740 49	1015659 51	2600000 48	2528736 49	4894032 48	6797014 49	1252745 49
1760 49	1047753 51	2400000 48	3181818 49	5165405 48	6533586 49	1239793 49
1780 49	1087065 51	2200000 48	3820225 49	5481708 48	6258525 49	1229724 49
1800 49	1133101 51	2000000 48	4444444 49	5842975 48	5970223 49	1220337 49
1820 49	1185399 51	1800000 48	5054945 49	6249244 48	5666657 49	1209348 49
1840 49	1243525 51	1600000 48	5652174 49	6700550 48	5345224 49	1194316 49
1860 49	1307077 51	1400000 48	6236559 49	7196928 48	5002482 49	1172528 49
1880 49	1375676 51	1200000 48	6808511 49	7738415 48	4633699 49	1140821 49
1900 49	1448969 51	1000000 48	7368421 49	8325047 48	4232073 49	1095272 49
1920 49	1526627 51	8000000 47	7916667 49	8956858 48	3787166 49	1030605 49
1940 49	1608340 51	6000000 47	8453608 49	9633885 48	3281417 49	9388989 48
1960 49	1693817 51	4000000 47	8979592 49	1035616 49	2680602 49	8061430 48
1980 49	1782789 51	2000000 47	9494949 49	1112373 49	1896419 49	5990735 48
2000 49	1875000 51	0000000 00	1000000 50	1193662 49	0000000 00	0000000 00

30 γ'	49 = γ	$\sigma_3(\gamma')/\phi_0$	E	w	$\sigma_1(w,\phi)/\phi_0$	w'	$\sigma_4(w',\phi)/\phi_0$
1875	49	9270833 50	1125000 49	1000000 50*	5187300 48	1000000 50	3506615 49
1880	49	9142682 50	1120000 49	9858156 49*	5142916 48	9978934 49	3449225 49
1900	49	8653560 50	1100000 49	9298246 49*	4971897 48	9894120 49	3230820 49
1920	49	8200520 50	1080000 49	8750000 49*	4811317 48	9808411 49	3029404 49
1940	49	7781674 50	1060000 49	8213059 49*	4661188 48	9721781 49	2843882 49
1960	49	7395236 50	1040000 49	7687075 49*	4521518 48	9634205 49	2673224 49
1980	49	7039528 50	1020000 49	7171718 49*	4392321 48	9545657 49	2516464 49
2000	49	6712963 50	1000000 49	6666667 49*	4273605 48	9456108 49	2372691 49
2020	49	6414043 50	9800000 48	6171617 49*	4165381 48	9365530 49	2241047 49
2040	49	6141355 50	9600000 48	5686275 49*	4067660 48	9273893 49	2120727 49
2060	49	5893564 50	9400000 48	5210356 49*	3980454 48	9181162 49	2010967 49
2080	49	5669406 50	9200000 48	4743590 49*	3903771 48	9087306 49	1911050 49
2100	49	5467687 50	9000000 48	4285715 49*	3837623 48	8992288 49	1820297 49
2120	49	5287277 50	8800000 48	3836478 49*	3782021 48	8896069 49	1738069 49
2140	49	5127108 50	8600000 48	3395639 49*	3736975 48	8798612 49	1663762 49
2160	49	4986168 50	8400000 48	2962963 49*	3702495 48	8699872 49	1596802 49
2180	49	4863497 50	8200000 48	2538227 49*	3678593 48	8599806 49	1536649 49
2200	49	4758187 50	8000000 48	2121212 49*	3665279 48	8498365 49	1482789 49
2220	49	4669379 50	7800000 48	1711712 49*	3662563 48	8395501 49	1434738 49
2240	49	4596253 50	7600000 48	1309524 49*	3670457 48	8291158 49	1392034 49
2260	49	4538038 50	7400000 48	9144550 48*	3688970 48	8185281 49	1354238 49
2280	49	4493998 50	7200000 48	5263160 48*	3718114 48	8077807 49	1320936 49
2300	49	4463435 50	7000000 48	1449280 48*	3757898 48	7968672 49	1291730 49
2320	49	4445688 50	6800000 48	2298850 48	3808335 48	7857805 49	1266243 49
2340	49	4440128 50	6600000 48	5982900 48	3869433 48	7745133 49	1244116 49
2360	49	4446157 50	6400000 48	9604520 48	3941204 48	7630574 49	1225003 49
2380	49	4463207 50	6200000 48	1316526 49	4023658 48	7514042 49	1208576 49
2400	49	4490740 50	6000000 48	1666666 49	4116807 48	7395441 49	1194517 49
2420	49	4528242 50	5800000 48	2011019 49	4220661 48	7274672 49	1182523 49
2440	49	4575223 50	5600000 48	2349726 49	4335229 48	7151622 49	1172300 49
2460	49	4631221 50	5400000 48	2682926 49	4460524 48	7026172 49	1163566 49
2480	49	4695793 50	5200000 48	3010752 49	4596555 48	6898189 49	1156045 49
2500	49	4768518 50	5000000 48	3333333 49	4743332 48	6767529 49	1149469 49
2520	49	4848996 50	4800000 48	3650793 49	4900868 48	6634035 49	1143577 49
2540	49	4936845 50	4600000 48	3963254 49	5069172 48	6497528 49	1138111 49
2560	49	5031702 50	4400000 48	4270833 49	5248255 48	6357816 49	1132819 49
2580	49	5133219 50	4200000 48	4573643 49	5438127 48	6214681 49	1127447 49
2600	49	5241069 50	4000000 48	4871795 49	5638801 48	6067880 49	1121742 49
2620	49	5354935 50	3800000 48	5165394 49	5850284 48	5917139 49	1115450 49
2640	49	5474517 50	3600000 48	5454545 49	6072588 48	5762149 49	1108311 49
2660	49	5599531 50	3400000 48	5739348 49	6305725 48	5602554 49	1100058 49
2680	49	5729701 50	3200000 48	6019900 49	6549704 48	5437950 49	1090411 49
2700	49	5864768 50	3000000 48	6296296 49	6804536 48	5267856 49	1079079 49
2720	49	6004485 50	2800000 48	6568627 49	7070233 48	5091751 49	1065748 49
2740	49	6148613 50	2600000 48	6836983 49	7346803 48	4908955 49	1050076 49
2760	49	6296926 50	2400000 48	7101449 49	7634259 48	4718701 49	1031687 49

Compton Cross Sections vs Energy of Scattered Quantum

30 49 = γ / γ'	$\sigma_3(\gamma')/\phi_0$	E	w	$\sigma_1(w,\phi)/\phi_0$	w'	$\sigma_4(w',\phi)/\phi_0$
2780 49	6449208 50	2200000 48	7362110 49	7932610 48	4520046 49	1010153 49
2800 49	6605252 50	2000000 48	7619047 49	8241867 48	4311838 49	9849849 48
2820 49	6764863 50	1800000 48	7872340 49	8562042 48	4092586 49	9555977 48
2840 49	6927850 50	1600000 48	8122065 49	8893143 48	3860440 49	9212816 48
2860 49	7094035 50	1400000 48	8368298 49	9235183 48	3612904 49	8811394 48
2880 49	7263245 50	1200000 48	8611111 49	9588172 48	3346561 49	8339911 48
2900 49	7435317 50	1000000 48	8850574 49	9952120 48	3056498 49	7782010 48
2920 49	7610092 50	8000000 47	9086758 49	1032703 49	2735175 49	7113421 48
2940 49	7787422 50	6000000 47	9319728 49	1071293 49	2369912 49	6294536 48
2960 49	7967162 50	4000000 47	9549549 49	1110982 49	1935991 49	5250232 48
2980 49	8149176 50	2000000 47	9776286 49	1151771 49	1369636 49	3791605 48
3000 49	8333333 50	0000000 00	1000000 50	1193662 49	0000000 00	0000000 00

Compton Cross Sections vs Energy of Scattered Quantum

$40\ \gamma'$	$49=\gamma$	$\sigma_3(\gamma')/\phi_0$	E	w	$\sigma_1(w,\phi)/\phi_0$	w	$\sigma_4(w,'\phi)/\phi_0$
2222	49	5520833 50	1777777 49	1000000 50*	4339100 48	1000000 50	3401855 49
2240	49	5333346 50	1760000 49	9642857 49*	4259081 48	9953938 49	3265852 49
2260	49	5133110 50	1740000 49	9247788 49*	4172704 48	9901771 49	3121021 49
2280	49	4943718 50	1720000 49	8859649 49*	4090190 48	9849231 49	2984418 49
2300	49	4764702 50	1700000 49	8478261 49*	4011543 48	9796312 49	2855629 49
2320	49	4595617 50	1680000 49	8103448 49*	3936769 48	9743007 49	2734257 49
2340	49	4436040 50	1660000 49	7735043 49*	3865870 48	9689310 49	2619928 49
2360	49	4285568 50	1640000 49	7372881 49*	3798853 48	9635213 49	2512281 49
2380	49	4143815 50	1620000 49	7016807 49*	3735721 48	9580710 49	2410980 49
2400	49	4010416 50	1600000 49	6666667 49*	3676479 48	9525793 49	2315699 49
2420	49	3885021 50	1580000 49	6322314 49*	3621131 48	9470455 49	2226133 49
2440	49	3767296 50	1560000 49	5983607 49*	3569682 48	9414688 49	2141989 49
2460	49	3656923 50	1540000 49	5650407 49*	3522136 48	9358485 49	2062989 49
2480	49	3553598 50	1520000 49	5322581 49*	3478498 48	9301836 49	1988866 49
2500	49	3457031 50	1500000 49	5000000 49*	3438772 48	9244734 49	1919370 49
2520	49	3366945 50	1480000 49	4682540 49*	3402963 48	9187170 49	1854259 49
2540	49	3283076 50	1460000 49	4370079 49*	3371075 48	9129134 49	1793304 49
2560	49	3205169 50	1440000 49	4062500 49*	3343113 48	9070618 49	1736286 49
2580	49	3132985 50	1420000 49	3759690 49*	3319081 48	9011612 49	1682998 49
2600	49	3066290 50	1400000 49	3461538 49*	3298983 48	8952105 49	1633240 49
2620	49	3004865 50	1380000 49	3167939 49*	3282825 48	8892087 49	1586822 49
2640	49	2948497 50	1360000 49	2878788 49*	3270610 48	8831548 49	1543562 49
2660	49	2896985 50	1340000 49	2593985 49*	3262343 48	8770477 49	1503288 49
2680	49	2850133 50	1320000 49	2313433 49*	3258028 48	8708862 49	1465835 49
2700	49	2807757 50	1300000 49	2037037 49*	3257671 48	8646690 49	1431043 49
2720	49	2769679 50	1280000 49	1764706 49*	3261275 48	8583950 49	1398762 49
2740	49	2735729 50	1260000 49	1496350 49*	3268845 48	8520629 49	1368848 49
2760	49	2705744 50	1240000 49	1231884 49*	3280386 48	8456713 49	1341162 49
2780	49	2679566 50	1220000 49	9712230 48*	3295901 48	8392189 49	1315571 49
2800	49	2657047 50	1200000 49	7142860 48*	3315396 48	8327041 49	1291950 49
2820	49	2638042 50	1180000 49	4609930 48*	3338875 48	8261255 49	1270175 49
2840	49	2622414 50	1160000 49	2112680 48*	3366341 48	8194816 49	1250132 49
2860	49	2610031 50	1140000 49	3496500 47	3397801 48	8127705 49	1231708 49
2880	49	2600766 50	1120000 49	2777780 48	3433258 48	8059908 49	1214796 49
2900	49	2594497 50	1100000 49	5172410 48	3472717 48	7991405 49	1199293 49
2920	49	2591108 50	1080000 49	7534250 48	3516182 48	7922178 49	1185101 49
2940	49	2590485 50	1060000 49	9863950 48	3563658 48	7852207 49	1172124 49
2960	49	2592523 50	1040000 49	1216216 49	3615148 48	7781473 49	1160272 49
2980	49	2597116 50	1020000 49	1442953 49	3670659 48	7709953 49	1149456 49
3000	49	2604166 50	1000000 49	1666667 49	3730193 48	7637626 49	1139593 49
3020	49	2613578 50	980000 48	1887417 49	3793757 48	7564467 49	1130599 49
3040	49	2625259 50	960000 48	2105263 49	3861353 48	7490452 49	1122398 49
3060	49	2639122 50	940000 48	2320261 49	3932987 48	7415554 49	1114912 49
3080	49	2655082 50	920000 48	2532468 49	4008663 48	7339747 49	1108068 49
3100	49	2673057 50	900000 48	2741935 49	4088385 48	7263002 49	1101795 49
3120	49	2692970 50	880000 48	2948718 49	4172159 48	7185287 49	1096025 49

Compton Cross Sections vs Energy of Scattered Quantum

40 49 = γ'	$\sigma_3(\gamma')/\phi_0$	E	w	$\sigma_1(w,\phi)/\phi_0$	w'	$\sigma_4(w',\phi)/\phi_0$
3140 49	2714744 50	86000000 48	31528866 49	42599888 48	7106571 49	1090691 49
3160 49	2738308 50	84000000 48	33544330 49	43518777 48	7026820 49	1085727 49
3180 49	2763591 50	82000000 48	35553459 49	44478330 48	6945997 49	1081070 49
3200 49	2790527 50	80000000 48	37500000 49	45478528 48	6864064 49	1076659 49
3220 49	2819051 50	78000000 48	39440999 49	46519477 48	6780981 49	1072434 49
3240 49	2849101 50	76000000 48	41358020 49	47601218 48	6696705 49	1068335 49
3260 49	2880617 50	74000000 48	43251533 49	48723778 48	6611188 49	1064306 49
3280 49	2913541 50	72000000 48	45121959 49	49887198 48	6524382 49	1060289 49
3300 49	2947819 50	70000000 48	46969700 49	51091538 48	6436234 49	1056227 49
3320 49	2983397 50	68000000 48	48795188 49	52336838 48	6346689 49	1052067 49
3340 49	3020223 50	66000000 48	50598800 49	53623128 48	6255684 49	1047752 49
3360 49	3058248 50	64000000 48	52380955 49	54950478 48	6163156 49	1043228 49
3380 49	3097424 50	62000000 48	54142019 49	56318908 48	6069033 49	1038440 49
3400 49	3137705 50	60000000 48	55882359 49	57728488 48	5973241 49	1033334 49
3420 49	3179047 50	58000000 48	57602349 49	59179238 48	5875696 49	1027853 49
3440 49	3221407 50	56000000 48	59302339 49	60671218 48	5776309 49	1021942 49
3460 49	3264745 50	54000000 48	60982669 49	62204478 48	5674984 49	1015544 49
3480 49	3309019 50	52000000 48	62643689 49	63779038 48	5571614 49	1008600 49
3500 49	3354193 50	50000000 48	64285719 49	65394968 48	5466082 49	1001050 49
3520 49	3400229 50	48000000 48	65909099 49	67052298 48	5358258 49	992832 1 48
3540 49	3447091 50	46000000 48	67514129 49	68751078 48	5248004 49	983880 4 48
3560 49	3494746 50	44000000 48	69101129 49	70491358 48	5135159 49	974126 8 48
3580 49	3543161 50	42000000 48	70670399 49	72273178 48	5019550 49	963499 0 48
3600 49	3592303 50	40000000 48	72222229 49	74096568 48	4900980 49	951919 8 48
3620 49	3642142 50	38000000 48	73756919 49	75961608 48	4779227 49	939305 7 48
3640 49	3692647 50	36000000 48	75274739 49	77868318 48	4654042 49	925566 8 48
3660 49	3743791 50	34000000 48	76775969 49	79816739 48	4525139 49	910603 9 48
3680 49	3795545 50	32000000 48	78260879 49	81806919 48	4392190 49	894307 5 48
3700 49	3847884 50	30000000 48	79729739 49	83838908 48	4254814 49	876554 2 48
3720 49	3900781 50	28000000 48	81182809 49	85912758 48	4112567 49	857204 8 48
3740 49	3954211 50	26000000 48	82620329 49	88028498 48	3964925 49	836099 3 48
3760 49	4008151 50	24000000 48	84042559 49	90186178 48	3811259 49	813050 8 48
3780 49	4062578 50	22000000 48	85449749 49	92385868 48	3650805 49	787837 8 48
3800 49	4117469 50	20000000 48	86842119 49	94627568 48	3482629 49	760193 9 48
3820 49	4172802 50	18000000 48	88219909 49	96911348 48	3305549 49	729789 7 48
3840 49	4228556 50	16000000 48	89583339 49	99237248 48	3118048 49	6962097 48
3860 49	4284712 50	14000000 48	90932649 49	10160539 49	2918114 49	6589114 48
3880 49	4341250 50	12000000 48	92268049 49	10401559 49	2702991 49	6171625 48
3900 49	4398152 50	10000000 48	93589749 49	10646819 49	2468710 49	5699235 48
3920 49	4455399 50	80000000 47	94897969 49	10896299 49	2209180 49	5156194 48
3940 49	4512974 50	60000000 47	96192899 49	11150019 49	1914160 49	4516345 48
3960 49	4570860 50	40000000 47	97474759 49	11407979 49	1563683 49	3729291 48
3980 49	4629040 50	20000000 47	98743729 49	11670179 49	1106243 49	2666575 48
4000 49	4687500 50	00000000 00	10000000 50	11936629 49	0000000 00	0000000 00

Compton Cross Sections vs Energy of Scattered Quantum

50 γ'	49 = γ	$\sigma_3(\gamma')/\phi_0$	E	w	$\sigma_1(w,\phi)/\phi_0$	w'	$\sigma_4(w',\phi)/\phi_0$
2500	49	3750000 50	2500000 49	1000000 50*	3730193 48	1000000 50	3357174 49
2500	49	3750000 50	2500000 49	1000000 50*	3730194 48	1000000 50	3357174 49
2600	49	3238579 50	2400000 49	8461538 49*	3484347 48	9819805 49	2821831 49
2700	49	2830576 50	2300000 49	7037037 49*	3284146 48	9634579 49	2398252 49
2800	49	2508367 50	2200000 49	5714286 49*	3129877 48	9444002 49	2064576 49
2900	49	2257633 50	2100000 49	4482759 49*	3021827 48	9247722 49	1803227 49
3000	49	2066666 50	2000000 49	3333333 49*	2960281 48	9045340 49	1599993 49
3100	49	1925837 50	1900000 49	2258065 49*	2945528 48	8836412 49	1443316 49
3200	49	1827187 50	1800000 49	1250000 49*	2977852 48	8620436 49	1323740 49
3300	49	1764104 50	1700000 49	3030300 48*	3057541 48	8396839 49	1233494 49
3400	49	1731072 50	1600000 49	5882350 48	3184881 48	8164965 49	1166151 49
3500	49	1723469 50	1500000 49	1428571 49	3360158 48	7924058 49	1116363 49
3600	49	1737407 50	1400000 49	2222222 49	3583660 48	7673233 49	1079655 49
3700	49	1769605 50	1300000 49	2972973 49	3855671 48	7411449 49	1052243 49
3800	49	1817285 50	1200000 49	3684211 49	4176480 48	7137464 49	1030899 49
3900	49	1878086 50	1100000 49	4358974 49	4546372 48	6849776 49	1012825 49
4000	49	1950000 50	1000000 49	5000000 49	4965634 48	6546536 49	9955485 48
4100	49	2031308 50	9000000 48	5609756 49	5434552 48	6225430 49	9768221 48
4200	49	2120544 50	8000000 48	6190476 49	5953413 48	5883484 49	9545225 48
4300	49	2216446 50	7000000 48	6744186 49	6522503 48	5516772 49	9265326 48
4400	49	2317933 50	6000000 48	7272727 49	7142109 48	5119921 49	8905870 48
4500	49	2424074 50	5000000 48	7777778 49	7812518 48	4685212 49	8440350 48
4600	49	2534064 50	4000000 48	8260870 49	8534015 48	4200839 49	7834146 48
4700	49	2647211 50	3000000 48	8723404 49	9306887 48	3646984 49	7035456 48
4800	49	2762916 50	2000000 48	9166667 49	1013142 49	2985111 49	5951256 48
4900	49	2880662 50	1000000 48	9591837 49	1100790 49	2116036 49	4354969 48
5000	49	3000000 50	0000000 00	1000000 50	1193662 49	0000000 00	0000000 00

Compton Cross Sections vs Energy of Scattered Quantum

$60_{\gamma'}$ $49 = \gamma$	$\sigma_3(\gamma')/\phi_0$	E	w	$\sigma_1(w,\phi)/\phi_0$	w'	$\sigma_4(w',\phi)/\phi_0$
2727 49	2765151 50	3272727 49	1000000 50*	3273378 48	1000000 50	3351939 49
2800 49	2529289 50	3200000 49	9047619 49*	3155983 48	9903751 49	3017567 49
2900 49	2253345 50	3100000 49	7816092 49*	3016087 48	9768853 49	2628924 49
3000 49	2025463 50	3000000 49	6666666 49*	2901261 48	9630868 49	2309553 49
3100 49	1838320 50	2900000 49	5591398 49*	2811673 48	9489645 49	2047504 49
3200 49	1685836 50	2800000 49	4583333 49*	2747485 48	9345021 49	1832939 49
3300 49	1562930 50	2700000 49	3636363 49*	2708866 48	9196819 49	1657721 49
3400 49	1465341 50	2600000 49	2745098 49*	2695981 48	9044846 49	1515094 49
3500 49	1389479 50	2500000 49	1904762 49*	2708995 48	8888888 49	1399417 49
3600 49	1332304 50	2400000 49	1111111 49*	2748075 48	8728715 49	1305968 49
3700 49	1291236 50	2300000 49	3603600 48*	2813386 48	8564070 49	1230774 49
3800 49	1264074 50	2200000 49	3508780 48	2905093 48	8394669 49	1170482 49
3900 49	1248938 50	2100000 49	1025641 49	3023363 48	8220197 49	1122252 49
4000 49	1244213 50	2000000 49	1666667 49	3168362 48	8040302 49	1083665 49
4100 49	1248509 50	1900000 49	2276423 49	3340254 48	7854589 49	1052655 49
4200 49	1260629 50	1800000 49	2857143 49	3539208 48	7662610 49	1027447 49
4300 49	1279536 50	1700000 49	3410853 49	3765386 48	7463857 49	1006509 49
4400 49	1304331 50	1600000 49	3939394 49	4018957 48	7257747 49	9885073 48
4500 49	1334233 50	1500000 49	4444445 49	4300084 48	7043607 49	9722691 48
4600 49	1368563 50	1400000 49	4927537 49	4608935 48	6820651 49	9567552 48
4700 49	1406726 50	1300000 49	5390071 49	4945675 48	6587954 49	9410272 48
4800 49	1448206 50	1200000 49	5833334 49	5310470 48	6344412 49	9242217 48
4900 49	1492547 50	1100000 49	6258504 49	5703485 48	6088689 49	9055228 48
5000 49	1539351 50	1000000 49	6666667 49	6124886 48	5819143 49	8841342 48
5100 49	1588271 50	9000000 48	7058824 49	6574840 48	5533715 49	8592445 48
5200 49	1638998 50	8000000 48	7435898 49	7053512 48	5229763 49	8299843 48
5300 49	1691263 50	7000000 48	7798742 49	7561066 48	4903798 49	7953661 48
5400 49	1744827 50	6000000 48	8148148 49	8097670 48	4551041 49	7541892 48
5500 49	1799481 50	5000000 48	8484849 49	8663491 48	4164633 49	7048788 48
5600 49	1855040 50	4000000 48	8809524 49	9258691 48	3734079 49	6451786 48
5700 49	1911341 50	3000000 48	9122807 49	9883439 48	3241763 49	5714712 48
5800 49	1968239 50	2000000 48	9425288 49	1053790 49	2653431 49	4769481 48
5900 49	2025607 50	1000000 48	9717514 49	1122223 49	1880922 49	3445092 48
6000 49	2083333 50	0000000 00	1000000 50	1193662 49	0000000 00	0000000 00

70 49 $=\gamma$ γ'	$\sigma_3(\gamma')/\phi_0$	E	w	$\sigma_1(w,\phi)/\phi_0$	w'	$\sigma_4(w',\phi)/\phi_0$
2916 49	2155612 50	4083333 49	1000000 50*	2918531 48	1000000 50	3373822 49
3000 49	1974871 50	4000000 49	9047619 49*	2828795 48	9914601 49	3043371 49
3100 49	1788141 50	3900000 49	7972351 49*	2734925 48	9810344 49	2703961 49
3200 49	1629838 50	3800000 49	6964286 49*	2656223 48	9704076 49	2417525 49
3300 49	1495960 50	3700000 49	6017316 49*	2592794 48	9595720 49	2175768 49
3400 49	1383139 50	3600000 49	5126051 49*	2544742 48	9485192 49	1971761 49
3500 49	1288525 50	3500000 49	4285715 49*	2512171 48	9372403 49	1799691 49
3600 49	1209700 50	3400000 49	3492064 49*	2495186 48	9257259 49	1654666 49
3700 49	1144600 50	3300000 49	2741313 49*	2493891 48	9139656 49	1532547 49
3800 49	1091460 50	3200000 49	2030075 49*	2508390 48	9019487 49	1429828 49
3900 49	1048762 50	3100000 49	1355312 49*	2538789 48	8896634 49	1343523 49
4000 49	1015202 50	3000000 49	7142860 48*	2585190 48	8770969 49	1271083 49
4100 49	9896484 49	2900000 49	1045300 48*	2647700 48	8642355 49	1210326 49
4200 49	9711231 49	2800000 49	4761900 48	2726421 48	8510645 49	1159377 49
4300 49	9587751 49	2700000 49	1029900 49	2821459 48	8375675 49	1116623 49
4400 49	9518631 49	2600000 49	1558441 49	2932918 48	8237270 49	1080670 49
4500 49	9497392 49	2500000 49	2063492 49	3060903 48	8095238 49	1050309 49
4600 49	9518363 49	2400000 49	2546584 49	3205517 48	7949365 49	1024493 49
4700 49	9576567 49	2300000 49	3009118 49	3366865 48	7799421 49	1002306 49
4800 49	9667629 49	2200000 49	3452381 49	3545052 48	7645145 49	9829469 48
4900 49	9787693 49	2100000 49	3877551 49	3740181 48	7486251 49	9657122 48
5000 49	9933360 49	2000000 49	4285714 49	3952358 48	7322418 49	9499801 48
5100 49	1010162 50	1900000 49	4677871 49	4181687 48	7153286 49	9351975 48
5200 49	1028981 50	1800000 49	5054945 49	4428272 48	6978448 49	9208688 48
5300 49	1049557 50	1700000 49	5417789 49	4692217 48	6797441 49	9065457 48
5400 49	1071681 50	1600000 49	5767195 49	4973628 48	6609734 49	8918167 48
5500 49	1095166 50	1500000 49	6103896 49	5272608 48	6414713 49	8762996 48
5600 49	1119845 50	1400000 49	6428571 49	5589261 48	6211665 49	8596313 48
5700 49	1145572 50	1300000 49	6741854 49	5923693 48	5999744 49	8414593 48
5800 49	1172215 50	1200000 49	7044335 49	6276008 48	5777947 49	8214308 48
5900 49	1199654 50	1100000 49	7336561 49	6646308 48	5545057 49	7991820 48
6000 49	1227787 50	1000000 49	7619047 49	7034701 48	5299577 49	7743214 48
6100 49	1256517 50	9000000 48	7892271 49	7441289 48	5039634 49	7464116 48
6200 49	1285761 50	8000000 48	8156682 49	7866178 48	4762820 49	7149399 48
6300 49	1315443 50	7000000 48	8412698 49	8309471 48	4465959 49	6792756 48
6400 49	1345496 50	6000000 48	8660714 49	8771273 48	4144698 49	6385991 48
6500 49	1375859 50	5000000 48	8901099 49	9251688 48	3798791 49	5917785 48
6600 49	1406478 50	4000000 48	9134199 49	9750821 48	3400680 49	5371279 48
6700 49	1437305 50	3000000 48	9360341 49	1026877 49	2952320 49	4718706 48
6800 49	1468295 50	2000000 48	9579832 49	1080566 49	2416518 49	3906830 48
6900 49	1499409 50	1000000 48	9792960 49	1136157 49	1712984 49	2800168 48
7000 49	1530612 50	0000000 00	1000000 50	1193662 49	0000000 00	0000000 00

Compton Cross Sections vs Energy of Scattered Quantum

80 γ'	49 = γ	$\sigma_3(\gamma')/\phi_0$	E	w	$\sigma_1(w,\phi)/\phi_0$	w'	$\sigma_4(w',\phi)/\phi_0$
3076	49	1748798 50	4923076 49	1000000 50*	2635075 48	1000000 50	3415058 49
3100	49	1711138 50	4900000 49	9758065 49*	2617150 48	9981157 49	3329047 49
3200	49	1561889 50	4800000 49	3750000 49*	2545484 48	9898680 49	2989414 49
3300	49	1432977 50	4700000 49	7803030 49*	2483633 48	9814834 49	2697561 49
3400	49	1321679 50	4600000 49	6911765 49*	2431667 48	9729575 49	2446501 49
3500	49	1225685 50	4500000 49	6071429 49*	2389655 48	9642857 49	2230345 49
3600	49	1143030 50	4400000 49	5277778 49*	2357669 48	9554631 49	2044119 49
3700	49	1072032 50	4300000 49	4527027 49*	2335777 48	9464847 49	1883602 49
3800	49	1011249 50	4200000 49	3815789 49*	2324050 48	9373450 49	1745193 49
3900	49	9594389 49	4100000 49	3141026 49*	2322558 48	9280383 49	1625820 49
4000	49	9155273 49	4000000 49	2500000 49*	2331371 48	9185586 49	1522845 49
4100	49	8785838 49	3900000 49	1890244 49*	2350558 48	9088995 49	1434002 49
4200	49	8477990 49	3800000 49	1309524 49*	2380190 48	8990541 49	1357337 49
4300	49	8224674 49	3700000 49	7558140 48*	2420336 48	8890152 49	1291158 49
4400	49	8019716 49	3600000 49	2272730 48*	2471066 48	8787751 49	1234002 49
4500	49	7857711 49	3500000 49	2777780 48	2532452 48	8683256 49	1184593 49
4600	49	7733903 49	3400000 49	7608700 48	2604561 48	8576578 49	1141825 49
4700	49	7644110 49	3300000 49	1223404 49	2687465 48	8467623 49	1104728 49
4800	49	7584635 49	3200000 49	1666667 49	2781232 48	8356290 49	1072455 49
4900	49	7552212 49	3100000 49	2091837 49	2885934 48	8242469 49	1044264 49
5000	49	7543945 49	3000000 49	2500000 49	3001640 48	8126045 49	1019503 49
5100	49	7557264 49	2900000 49	2892157 49	3128420 48	8006888 49	9975953 48
5200	49	7589884 49	2800000 49	3269231 49	3266344 48	7884862 49	9780341 48
5300	49	7639767 49	2700000 49	3632075 49	3415482 48	7759817 49	9603697 48
5400	49	7705098 49	2600000 49	3981481 49	3575903 48	7631589 49	9442025 48
5500	49	7784252 49	2500000 49	4318182 49	3747679 48	7499999 49	9291767 48
5600	49	7875777 49	2400000 49	4642857 49	3930878 48	7364853 49	9149738 48
5700	49	7978371 49	2300000 49	4956140 49	4125571 48	7225934 49	9013076 48
5800	49	8090867 49	2200000 49	5258621 49	4331827 48	7083002 49	8879191 48
5900	49	8212214 49	2100000 49	5550847 49	4549717 48	6935791 49	8745727 48
6000	49	8341470 49	2000000 49	5833333 49	4779310 48	6784005 49	8610518 48
6100	49	8477787 49	1900000 49	6106557 49	5020677 48	6627309 49	8471555 48
6200	49	8620399 49	1800000 49	6370968 49	5273888 48	6465327 49	8326950 48
6300	49	8768616 49	1700000 49	6626984 49	5539011 48	6297629 49	8174905 48
6400	49	8921814 49	1600000 49	6875000 49	5816118 48	6123724 49	8013669 48
6500	49	9079430 49	1500000 49	7115385 49	6105278 48	5943043 49	7841506 48
6600	49	9240958 49	1400000 49	7348485 49	6406561 48	5754924 49	7656658 48
6700	49	9405935 49	1300000 49	7574627 49	6720037 48	5558586 49	7457283 48
6800	49	9573945 49	1200000 49	7794118 49	7045777 48	5353097 49	7241406 48
6900	49	9744610 49	1100000 49	8007246 49	7383848 48	5137332 49	7006839 48
7000	49	9917590 49	1000000 49	8214286 49	7734324 48	4909902 49	6751070 48
7200	49	1026927 50	8000000 48	8611111 49	8472762 48	4412613 49	6163360 48
7400	49	1062685 50	6000000 48	8986486 49	9261651 48	3839941 49	5444012 48
7600	49	1098856 50	4000000 48	9342105 49	10101155 49	3150630 49	4529536 48
7800	49	1135292 50	2000000 48	9679487 49	1099302 49	2238834 49	3260525 48
8000	49	1171875 50	0000000 00	1000000 50	1193662 49	0000000 00	0000000 00

Compton Cross Sections vs Energy of Scattered Quantum

90 γ'	49 = γ	$\sigma_3(\gamma')/\phi_0$	E	w	$\sigma_1(w,\phi)/\phi_0$	w'	$\sigma_4(w',\phi)/\phi_0$
3214	49	1461640 50	5785714 49	1000000 50*	2403419 48	1000000 50	3470537 49
3300	49	1360580 50	5700000 49	9191919 49*	2358154 48	9942187 49	3190584 49
3400	49	1256409 50	5600000 49	8300654 49*	2311581 48	9873818 49	2903316 49
3500	49	1165222 50	5500000 49	7460318 49*	2271774 48	9804430 49	2652831 49
3600	49	1085391 50	5400000 49	6666667 49*	2238779 48	9733994 49	2434124 49
3700	49	1015520 50	5300000 49	5915916 49*	2212647 48	9662483 49	2242933 49
3800	49	9544120 49	5200000 49	5204678 49*	2193427 48	9589865 49	2075617 49
3900	49	9010309 49	5100000 49	4529915 49*	2181167 48	9516107 49	1929054 49
4000	49	8544810 49	5000000 49	3888889 49*	2175918 48	9441175 49	1800555 49
4100	49	8139836 49	4900000 49	3279133 49*	2177727 48	9365036 49	1687803 49
4200	49	7788602 49	4800000 49	2698413 49*	2186644 48	9287650 49	1588791 49
4300	49	7485178 49	4700000 49	2144703 49*	2202719 48	9208980 49	1501777 49
4400	49	7224367 49	4600000 49	1616162 49*	2226000 48	9128984 49	1425248 49
4500	49	7001600 49	4500000 49	1111111 49*	2256537 48	9047619 49	1357881 49
4600	49	6812856 49	4400000 49	6280190 48*	2294378 48	8964839 49	1298522 49
4700	49	6654581 49	4300000 49	1654850 48*	2339573 48	8880597 49	1246159 49
4800	49	6523633 49	4200000 49	2777780 48	2392170 48	8794842 49	1199903 49
4900	49	6417224 49	4100000 49	7029480 48	2452220 48	8707520 49	1158974 49
5000	49	6332876 49	4000000 49	1111111 49	2519771 48	8618575 49	1122682 49
5100	49	6268383 49	3900000 49	1503268 49	2594872 48	8527946 49	1090419 49
5200	49	6221777 49	3800000 49	1880342 49	2677572 48	8435569 49	1061648 49
5300	49	6191300 49	3700000 49	2243186 49	2767921 48	8341377 49	1035891 49
5400	49	6175379 49	3600000 49	2592592 49	2865967 48	8245297 49	1012726 49
5500	49	6172603 49	3500000 49	2929293 49	2971760 48	8147252 49	9917751 48
5600	49	6181704 49	3400000 49	3253968 49	3085349 48	8047159 49	9727037 48
5700	49	6201543 49	3300000 49	3567251 49	3206783 48	7944930 49	9552120 48
5800	49	6231096 49	3200000 49	3869732 49	3336111 48	7840469 49	9390320 48
5900	49	6269436 49	3100000 49	4161958 49	3473382 48	7733675 49	9239242 48
6000	49	6315729 49	3000000 49	4444444 49	3618646 48	7624437 49	9096722 48
6100	49	6369219 49	2900000 49	4717668 49	3771951 48	7512636 49	8960816 48
6200	49	6429226 49	2800000 49	4982079 49	3933346 48	7398142 49	8829763 48
6300	49	6495128 49	2700000 49	5238095 49	4102881 48	7280816 49	8701968 48
6400	49	6566366 49	2600000 49	5486111 49	4280605 48	7160503 49	8575975 48
6500	49	6642431 49	2500000 49	5726496 49	4466567 48	7037036 49	8450450 48
6600	49	6722859 49	2400000 49	5959596 49	4660816 48	6910233 49	8324165 48
6700	49	6807229 49	2300000 49	6185738 49	4863401 48	6779888 49	8195975 48
6800	49	6895160 49	2200000 49	6405229 49	5074372 48	6645779 49	8064810 48
6900	49	6986300 49	2100000 49	6618357 49	5293776 48	6507656 49	7929657 48
7000	49	7080335 49	2000000 49	6825397 49	5521665 48	6365239 49	7789541 48
7200	49	7275948 49	1800000 49	7222222 49	6003088 48	6066233 49	7490653 48
7400	49	7479968 49	1600000 49	7597597 49	6519035 48	5745717 49	7160601 48
7600	49	7690700 49	1400000 49	7953216 49	7069899 48	5399682 49	6791406 48
7800	49	7906727 49	1200000 49	8290598 49	7656073 48	5022660 49	6373827 48
8000	49	8126857 49	1000000 49	8611111 49	8277948 48	4606822 49	5896043 48
8200	49	8350095 49	8000000 48	8915989 49	8935920 48	4140229 49	5341220 48
8400	49	8575604 49	6000000 48	9206349 49	9630380 48	3602907 49	4682203 48

Compton Cross Sections vs Energy of Scattered Quantum

90 49=γ γ′	$\sigma_3(\gamma')/\phi_0$	E	w	$\sigma_1(w,\phi)/\phi_0$	w′	$\sigma_4(w',\phi)/\phi_0$
8600 49	8802679 49	4000000 48	9483204 49	1036172 49	2956147 49	3867223 48
8800 49	9030730 49	2000000 48	9747475 49	1113033 49	2100633 49	2764227 48
9000 49	9259259 49	0000000 00	1000000 50	1193662 49	0000000 00	0000000 00

Compton Cross Sections vs Energy of Scattered Quantum

10 50 = γ'	$\sigma_3(\gamma')/\phi_0$	E	w	$\sigma_1(w,\phi)/\phi_0$	w'	$\sigma_4(w',\phi)/\phi_0$
3333 49	1250000 50	6666667 49	1000000 50*	2210485 48	1000000 50	3536776 49
3350 49	1233917 50	6650000 49	9850746 49*	2203920 48	9990614 49	3483637 49
3400 49	1187621 50	6600000 49	9411765 49*	2185022 48	9962335 49	3330906 49
3450 49	1144104 50	6550000 49	8985507 49*	2167324 48	9933867 49	3187668 49
3500 49	1103188 50	6500000 49	8571429 49*	2150829 48	9905211 49	3053272 49
3550 49	1064711 50	6450000 49	8169014 49*	2135544 48	9876362 49	2927118 49
3600 49	1028518 50	6400000 49	7777778 49*	2121471 48	9847319 49	2808653 49
3650 49	9944702 49	6350000 49	7397260 49*	2108616 48	9818079 49	2697364 49
3700 49	9624351 49	6300000 49	7027027 49*	2096983 48	9788640 49	2592778 49
3750 49	9322917 49	6250000 49	6666667 49*	2086577 48	9759000 49	2494456 49
3800 49	9039265 49	6200000 49	6315789 49*	2077401 48	9729156 49	2401989 49
3850 49	8772346 49	6150000 49	5974026 49*	2069461 48	9699106 49	2314999 49
3900 49	8521178 49	6100000 49	5641026 49*	2062761 48	9668846 49	2233137 49
3950 49	8284847 49	6050000 49	5316456 49*	2057305 48	9638375 49	2156075 49
4000 49	8062500 49	6000000 49	5000000 49*	2053098 48	9607689 49	2083509 49
4100 49	7656625 49	5900000 49	4390244 49*	2048449 48	9545663 49	1950757 49
4200 49	7297789 49	5800000 49	3809524 49*	2048849 48	9482746 49	1832841 49
4300 49	6980942 49	5700000 49	3255814 49*	2054334 48	9418914 49	1727990 49
4400 49	6701653 49	5600000 49	2727273 49*	2064940 48	9354143 49	1634654 49
4500 49	6456018 49	5500000 49	2222222 49*	2080702 48	9288407 49	1551480 49
4600 49	6240595 49	5400000 49	1739130 49*	2101656 48	9221679 49	1477282 49
4700 49	6052337 49	5300000 49	1276596 49*	2127840 48	9153931 49	1411016 49
4800 49	5888541 49	5200000 49	8333330 48*	2159286 48	9085135 49	1351762 49
4900 49	5746808 49	5100000 49	4081630 48*	2196033 48	9015259 49	1298711 49
5000 49	5625000 49	5000000 49	0000000	2238116 48	8944271 49	1251145 49
5100 49	5521208 49	4900000 49	3921570 48	2285570 48	8872139 49	1208429 49
5200 49	5433727 49	4800000 49	7692310 48	2338431 48	8798826 49	1170000 49
5300 49	5361031 49	4700000 49	1132075 49	2396736 48	8724297 49	1135358 49
5400 49	5301749 49	4600000 49	1481481 49	2460519 48	8648511 49	1104055 49
5500 49	5254648 49	4500000 49	1818182 49	2529817 48	8571428 49	1075695 49
5600 49	5218622 49	4400000 49	2142857 49	2604666 48	8493005 49	1049922 49
5700 49	5192670 49	4300000 49	2456140 49	2685101 48	8413197 49	1026418 49
5800 49	5175891 49	4200000 49	2758621 49	2771158 48	8331955 49	1004900 49
5900 49	5167470 49	4100000 49	3050847 49	2862873 48	8249230 49	9851120 48
6000 49	5166666 49	4000000 49	3333333 49	2960281 48	8164965 49	9668240 48
6100 49	5172813 49	3900000 49	3606557 49	3063420 48	8079106 49	9498304 48
6200 49	5185301 49	3800000 49	3870968 49	3172324 48	7991592 49	9339450 48
6300 49	5203581 49	3700000 49	4126984 49	3287029 48	7902357 49	9190006 48
6400 49	5227148 49	3600000 49	4375000 49	3407571 48	7811334 49	9048450 48
6500 49	5255547 49	3500000 49	4615385 49	3533985 48	7718449 49	8913410 48
6600 49	5288361 49	3400000 49	4848485 49	3666309 48	7623624 49	8783638 48
6700 49	5325208 49	3300000 49	5074627 49	3804577 48	7526776 49	8658000 48
6800 49	5365744 49	3200000 49	5294118 49	3948825 48	7427813 49	8535461 48
6900 49	5409648 49	3100000 49	5507246 49	4099089 48	7326640 49	8415076 48
7000 49	5456632 49	3000000 49	5714286 49	4255405 48	7223151 49	8295970 48
7500 49	5729166 49	2500000 49	6666667 49	5129016 48	6666666 49	7693524 48

Compton Cross Sections vs Energy of Scattered Quantum

10 γ' 50 $=\gamma$	$\sigma_3(\gamma')/\phi_0$	E	w	$\sigma_1(w,\phi)/\phi_0$	w'	$\sigma_4(w',\phi)/\phi_0$
8000 49	6046875 49	2000000 49	7500000 49	6159296 48	6030226 49	7022150 48
8500 49	6392517 49	1500000 49	8235294 49	7350720 48	5282705 49	6211055 48
9000 49	6754629 49	1000000 49	8888889 49	8707764 48	4364357 49	5172739 48
9500 49	7125519 49	5000000 48	9473684 49	1023490 49	3123475 49	3721538 48
1000 50	7500000 49	0000000 00	1000000 50	1193662 49	0000000 00	0000000 00

Compton Cross Sections vs Energy of Scattered Quantum

11 50 = γ γ′	$\sigma_3(\gamma')/\phi_0$	E	w	$\sigma_1(w,\phi)/\phi_0$	w′	$\sigma_4(w',\phi)/\phi_0$
3437 49	1088584 50	7562500 49	1000000 50*	2047235 48	1000000 50	3611323 49
3450 49	1078844 50	7550000 49	9894598 49*	2043700 48	9993998 49	3573620 49
3500 49	1041273 50	7500000 49	9480520 49*	2030116 48	9969902 49	3428372 49
3550 49	1005817 50	7450000 49	9078105 49*	2017419 48	9945659 49	3291580 49
3600 49	9723487 49	7400000 49	8686869 49*	2005613 48	9921268 49	3162695 49
3650 49	9407453 49	7350000 49	8306351 49*	1994701 48	9896727 49	3041201 49
3700 49	9108955 49	7300000 49	7936118 49*	1984687 48	9872035 49	2926628 49
3750 49	8826953 49	7250000 49	7575758 49*	1975574 48	9847191 49	2818533 49
3800 49	8560476 49	7200000 49	7224880 49*	1967366 48	9822191 49	2716509 49
3850 49	8308623 49	7150000 49	6883117 49*	1960065 48	9797036 49	2620175 49
3900 49	8070553 49	7100000 49	6550117 49*	1953676 48	9771722 49	2529181 49
3950 49	7845481 49	7050000 49	6225547 49*	1948201 48	9746249 49	2443197 49
4000 49	7632675 49	7000000 49	5909091 49*	1943644 48	9720615 49	2361918 49
4100 49	7241168 49	6900000 49	5299335 49*	1937298 48	9668854 49	2212356 49
4200 49	6891071 49	6800000 49	4718615 49*	1934663 48	9616425 49	2078437 49
4300 49	6578035 49	6700000 49	4164905 49*	1935767 48	9563313 49	1958366 49
4400 49	6298237 49	6600000 49	3636364 49*	1940638 48	9509501 49	1850576 49
4500 49	6048305 49	6500000 49	3131313 49*	1949300 48	9454974 49	1753689 49
4600 49	5825259 49	6400000 49	2648221 49*	1961783 48	9399713 49	1666497 49
4700 49	5626458 49	6300000 49	2185687 49*	1978112 48	9343702 49	1587934 49
4800 49	5449558 49	6200000 49	1742424 49*	1998314 48	9286922 49	1517059 49
4900 49	5292471 49	6100000 49	1317254 49*	2022417 48	9229353 49	1453040 49
5000 49	5153336 49	6000000 49	9090910 48*	2050447 48	9170976 49	1395139 49
5100 49	5030489 49	5900000 49	5169340 48*	2082431 48	9111769 49	1342701 49
5200 49	4922440 49	5800000 49	1398600 48*	2118396 48	9051712 49	1295142 49
5300 49	4827852 49	5700000 49	2229840 48	2158369 48	8990782 49	1251943 49
5400 49	4745524 49	5600000 49	5723900 48	2202377 48	8928955 49	1212639 49
5500 49	4674373 49	5500000 49	9090910 48	2250447 48	8866206 49	1176815 49
5600 49	4613424 49	5400000 49	1233766 49	2302606 48	8802512 49	1144101 49
5700 49	4561797 49	5300000 49	1547049 49	2358880 48	8737844 49	1114161 49
5800 49	4518694 49	5200000 49	1849530 49	2419296 48	8672174 49	1086698 49
5900 49	4483393 49	5100000 49	2141756 49	2483882 48	8605474 49	1061441 49
6000 49	4455239 49	5000000 49	2424242 49	2552664 48	8537714 49	1038149 49
6100 49	4433638 49	4900000 49	2697466 49	2625669 48	8468860 49	1016601 49
6200 49	4418048 49	4800000 49	2961877 49	2702925 48	8398880 49	9966028 48
6300 49	4407977 49	4700000 49	3217893 49	2784457 48	8327738 49	9779738 48
6400 49	4402975 49	4600000 49	3465909 49	2870293 48	8255397 49	9605531 48
6500 49	4402633 49	4500000 49	3706294 49	2960461 48	8181818 49	9441942 48
6600 49	4406575 49	4400000 49	3939394 49	3054985 48	8106960 49	9287650 48
6700 49	4414459 49	4300000 49	4165536 49	3153895 48	8030779 49	9141441 48
6800 49	4425971 49	4200000 49	4385027 49	3257216 48	7953230 49	9002223 48
6900 49	4440824 49	4100000 49	4598155 49	3364975 48	7874265 49	8868999 48
7000 49	4458753 49	4000000 49	4805195 49	3477200 48	7793830 49	8740853 48
7500 49	4586720 49	3500000 49	5757576 49	4106245 48	7367611 49	8149510 48
8000 49	4762417 49	3000000 49	6590909 49	4850958 48	6894826 49	7585311 48
8500 49	4969764 49	2500000 49	7326203 49	5714704 48	6363636 49	6991545 48

Compton Cross Sections vs Energy of Scattered Quantum

11 50=γ γ'	$\sigma_3(\gamma')/\phi_0$	E	w	$\sigma_1(w,\phi)/\phi_0$	w'	$\sigma_4(w',\phi)/\phi_0$
9000 49	5197859 49	2000000 49	7979798 49	6700846 48	5756125 49	6323638 48
9500 49	5439215 49	1500000 49	8564593 49	7812744 48	5042582 49	5536472 48
1000 50	5688648 49	1000000 49	9090909 49	9053765 48	4165978 49	4563852 48
1050 50	5942536 49	5000000 48	9567099 49	1042726 49	2981500 49	3251483 48
1100 50	6198347 49	0000000 00	1000000 50	1193662 49	0000000 00	0000000 00

12 50=γ γ'	$\sigma_3(\gamma')/\phi_0$	E	w	$\sigma_1(w,\phi)/\phi_0$	w'	$\sigma_4(w',\phi)/\phi_0$
3529 49	9620098 49	8470588 49	1000000 50*	1907235 48	1000000 50	3692407 49
3550 49	9488336 49	8450000 49	9835681 49*	1903123 48	9991453 49	3633461 49
3600 49	9180491 49	8400000 49	9444445 49*	1893612 48	9970614 49	3495922 49
3650 49	8889025 49	8350000 49	9063927 49*	1884777 48	9949657 49	3365934 49
3700 49	8612968 49	8300000 49	8693694 49*	1876620 48	9928582 49	3243023 49
3750 49	8351418 49	8250000 49	8333334 49*	1869144 48	9907388 49	3126753 49
3800 49	8103535 49	8200000 49	7982456 49*	1862352 48	9886072 49	3016711 49
3850 49	7868537 49	8150000 49	7640693 49*	1856246 48	9864635 49	2912521 49
3900 49	7645695 49	8100000 49	7307693 49*	1850829 48	9843074 49	2813829 49
3950 49	7434326 49	8050000 49	6983123 49*	1846103 48	9821389 49	2720305 49
4000 49	7233796 49	8000000 49	6666667 49*	1842071 48	9799578 49	2631643 49
4100 49	6862910 49	7900000 49	6056911 49*	1836099 48	9755575 49	2467782 49
4200 49	6528723 49	7800000 49	5476191 49*	1832934 48	9711053 49	2320178 49
4300 49	6227445 49	7700000 49	4932481 49*	1832597 48	9666002 49	2187024 49
4400 49	5955746 49	7600000 49	4393940 49*	1835108 48	9620412 49	2066737 49
4500 49	5710680 49	7500000 49	3888889 49*	1840488 48	9574271 49	1957925 49
4600 49	5489644 49	7400000 49	3405797 49*	1848757 48	9527567 49	1859364 49
4700 49	5290328 49	7300000 49	2943263 49*	1859938 48	9480288 49	1769973 49
4800 49	5110677 49	7200000 49	2500000 49*	1874049 48	9432422 49	1688794 49
4900 49	4948859 49	7100000 49	2074830 49*	1891112 48	9383956 49	1614979 49
5000 49	4803240 49	7000000 49	1666667 49*	1911148 48	9334876 49	1547774 49
5100 49	4672356 49	6900000 49	1274510 49*	1934178 48	9285169 49	1486509 49
5200 49	4554894 49	6800000 49	8974360 48*	1960221 48	9234821 49	1430585 49
5300 49	4449675 49	6700000 49	5345920 48*	1989299 48	9183816 49	1379467 49
5400 49	4355638 49	6600000 49	1851860 48*	2021433 48	9132140 49	1332677 49
5500 49	4271825 49	6500000 49	1515150 48	2056643 48	9079776 49	1289786 49
5600 49	4197373 49	6400000 49	4761900 48	2094950 48	9026709 49	1250409 49
5700 49	4131499 49	6300000 49	7894730 48	2136375 48	8972920 49	1214200 49
5800 49	4073495 49	6200000 49	1091954 49	2180938 48	8918393 49	1180847 49
5900 49	4022720 49	6100000 49	1384180 49	2228660 48	8863109 49	1150070 49
6000 49	3978588 49	6000000 49	1666666 49	2279563 48	8807048 49	1121613 49
6100 49	3940568 49	5900000 49	1939890 49	2333665 48	8750191 49	1095249 49
6200 49	3908177 49	5800000 49	2204301 49	2390989 48	8692517 49	1070770 49
6300 49	3880972 49	5700000 49	2460317 49	2451555 48	8634005 49	1047988 49
6400 49	3858552 49	5600000 49	2708333 49	2515384 48	8574631 49	1026731 49
6500 49	3840546 49	5500000 49	2948718 49	2582497 48	8514373 49	1006846 49
6600 49	3826618 49	5400000 49	3181818 49	2652914 48	8453206 49	9881919 48
6700 49	3816458 49	5300000 49	3407960 49	2726655 48	8391104 49	9706395 48
6800 49	3809782 49	5200000 49	3627451 49	2803742 48	8328040 49	9540725 48
6900 49	3806330 49	5100000 49	3840579 49	2884196 48	8263988 49	9383847 48
7000 49	3805862 49	5000000 49	4047619 49	2968036 48	8198915 49	9234784 48
7500 49	3841145 49	4500000 49	5000000 49	3438772 48	7857142 49	8578174 48
8000 49	3924334 49	4000000 49	5833333 49	3997294 48	7484552 49	8011089 48
8500 49	4040538 49	3500000 49	6568627 49	4646192 48	7075245 49	7475732 48
9000 49	4179526 49	3000000 49	7222222 49	5388057 48	6621222 49	6931994 48
9500 49	4334165 49	2500000 49	7807017 49	6225480 48	6111111 49	6349332 48

Compton Cross Sections vs Energy of Scattered Quantum

12 50 = γ γ'	$\sigma_3(\gamma')/\phi_0$	E	w	$\sigma_1(w,\phi)/\phi_0$	w'	$\sigma_4(w',\phi)/\phi_0$
1000 50	4499421 49	2000000 49	8333333 49	7161050 48	5527708 49	5700125 48
1050 50	4671703 49	1500000 49	8809523 49	8197359 48	4842481 49	4951736 48
1100 50	4848437 49	1000000 49	9242424 49	9336997 48	4000661 49	4050507 48
1150 50	5027762 49	5000000 48	9637681 49	1058255 49	2863186 49	2864635 48
1200 50	5208333 49	0000000 00	1000000 50	1193662 49	0000000 00	0000000 00

Compton Cross Sections vs Energy of Scattered Quantum

13 50 = γ / γ'	$\sigma_3(\gamma')/\phi_0$	E	w	$\sigma_1(w,\phi)/\phi_0$	w'	$\sigma_4(w',\phi)/\phi_0$
3611 49	8604536 49	9388889 49	1000000 50*	1785785 48	1000000 50	3778722 49
3650 49	8397057 49	9350000 49	9704952 49*	1780463 48	9985877 49	3672659 49
3700 49	8142378 49	9300000 49	9334719 49*	1774086 48	9967635 49	3542663 49
3750 49	7900560 49	9250000 49	8974359 49*	1768237 48	9949297 49	3419427 49
3800 49	7670868 49	9200000 49	8623481 49*	1762916 48	9930862 49	3302541 49
3850 49	7452616 49	9150000 49	8281718 49*	1758127 48	9912329 49	3191631 49
3900 49	7245165 49	9100000 49	7948718 49*	1753871 48	9893698 49	3086342 49
3950 49	7047917 49	9050000 49	7624148 49*	1750149 48	9874968 49	2986345 49
4000 49	6860316 49	9000000 49	7307692 49*	1746965 48	9856137 49	2891332 49
4100 49	6511996 49	8900000 49	6697936 49*	1742216 48	9818170 49	2715136 49
4200 49	6196416 49	8800000 49	6117216 49*	1739639 48	9779791 49	2555678 49
4300 49	5910246 49	8700000 49	5563506 49*	1739252 48	9740991 49	2411147 49
4400 49	5650552 49	8600000 49	5034965 49*	1741070 48	9701763 49	2279947 49
4500 49	5414742 49	8500000 49	4529914 49*	1745110 48	9662099 49	2160678 49
4600 49	5200519 49	8400000 49	4046822 49*	1751388 48	9621991 49	2052104 49
4700 49	5005844 49	8300000 49	3584288 49*	1759921 48	9581429 49	1953132 49
4800 49	4828900 49	8200000 49	3141025 49*	1770723 48	9540405 49	1862792 49
4900 49	4668068 49	8100000 49	2715855 49*	1783813 48	9498911 49	1780225 49
5000 49	4521900 49	8000000 49	2307692 49*	1799207 48	9456936 49	1704663 49
5100 49	4389097 49	7900000 49	1915535 49*	1816919 48	9414471 49	1635425 49
5200 49	4268495 49	7800000 49	1538461 49*	1836968 48	9371505 49	1571900 49
5300 49	4159045 49	7700000 49	1175617 49*	1859369 48	9328030 49	1513541 49
5400 49	4059803 49	7600000 49	8262110 48*	1884138 48	9284034 49	1459859 49
5500 49	3969917 49	7500000 49	4895100 48*	1911291 48	9239506 49	1410414 49
5600 49	3888615 49	7400000 49	1648350 48*	1940846 48	9194435 49	1364810 49
5700 49	3815200 49	7300000 49	1484480 48	1972818 48	9148809 49	1322691 49
5800 49	3749038 49	7200000 49	4509290 48	2007224 48	9102617 49	1283734 49
5900 49	3689553 49	7100000 49	7431550 48	2044080 48	9055845 49	1247649 49
6000 49	3636223 49	7000000 49	1025641 49	2083402 48	9008482 49	1214173 49
6100 49	3588569 49	6900000 49	1298865 49	2125206 48	8960513 49	1183068 49
6200 49	3546158 49	6800000 49	1563276 49	2169510 48	8911925 49	1154118 49
6300 49	3508592 49	6700000 49	1819292 49	2216328 48	8862704 49	1127127 49
6400 49	3475507 49	6600000 49	2067308 49	2265678 48	8812834 49	1101915 49
6500 49	3446570 49	6500000 49	2307693 49	2317576 48	8762302 49	1078321 49
6600 49	3421476 49	6400000 49	2540793 49	2372037 48	8711090 49	1056197 49
6700 49	3399946 49	6300000 49	2766935 49	2429079 48	8659182 49	1035408 49
6800 49	3381721 49	6200000 49	2986426 49	2488718 48	8606561 49	1015830 49
6900 49	3366565 49	6100000 49	3199554 49	2550970 48	8553210 49	9973517 48
7000 49	3354260 49	6000000 49	3406594 49	2615850 48	8499109 49	9798688 48
7500 49	3328985 49	5500000 49	4358975 49	2980263 48	8216667 49	9043554 48
8000 49	3350558 49	5000000 49	5192308 49	3412851 48	7912240 49	8424573 48
8500 49	3405227 49	4500000 49	5927602 49	3915652 48	7582417 49	7880198 48
9000 49	3483447 49	4000000 49	6581197 49	4490703 48	7222854 49	7368713 48
9500 49	3578486 49	3500000 49	7165992 49	5140043 48	6827859 49	6860738 48
1000 50	3685532 49	3000000 49	7692308 49	5865707 48	6389710 49	6334149 48
1050 50	3801104 49	2500000 49	8168498 49	6669734 48	5897436 49	5770178 48

Compton Cross Sections vs Energy of Scattered Quantum

13 50 = γ / γ′	$\sigma_3(\gamma')/\phi_0$	E	w	$\sigma_1(w,\phi)/\phi_0$	w′	$\sigma_4(w',\phi)/\phi_0$
1100 50	3922661 49	2000000 49	8601399 49	7554162 48	5334430 49	5149504 48
1150 50	4048332 49	1500000 49	8996656 49	8521027 48	4673161 49	4446465 48
1200 50	4176732 49	1000000 49	9358975 49	9572366 48	3860776 49	3615771 48
1250 50	4306834 49	5000000 48	9692308 49	1071021 49	2763072 49	2542783 48
1300 50	4437869 49	0000000 00	1000000 50	1193662 49	0000000 00	0000000 00

$\perp$ 50 = γ / γ'	$\sigma_3(\gamma')/\phi_0$	E	w	$\sigma_1(w,\phi)/\phi_0$	w'	$\sigma_4(w',\phi)/\phi_0$
3684 49	7773898 49	1031579 50	1000000 50*	1679375 48	1000000 50	3869281 49
3700 49	7700965 49	1030000 50	9884170 49*	1677910 48	9994947 49	3827054 49
3750 49	7477461 49	1025000 50	9523810 49*	1673542 48	9978894 49	3697780 49
3800 49	7264794 49	1020000 50	9172932 49*	1669593 48	9962763 49	3574956 49
3850 49	7062357 49	1015000 50	8831169 49*	1666062 48	9946552 49	3458204 49
3900 49	6869586 49	1010000 50	8498169 49*	1662952 48	9930260 49	3347172 49
3950 49	6685951 49	1005000 50	8173599 49*	1660265 48	9913887 49	3241528 49
4000 49	6510959 49	1000000 50	7857143 49*	1658002 48	9897433 49	3140969 49
4100 49	6185084 49	9900000 49	7247387 49*	1654754 48	9864276 49	2953976 49
4200 49	5888605 49	9800000 49	6666667 49*	1653222 48	9830783 49	2784112 49
4300 49	5618570 49	9700000 49	6112957 49*	1653418 48	9796949 49	2629561 49
4400 49	5372374 49	9600000 49	5584416 49*	1655357 48	9762768 49	2488722 49
4500 49	5147715 49	9500000 49	5079365 49*	1659050 48	9728233 49	2360186 49
4600 49	4942551 49	9400000 49	4596273 49*	1664512 48	9693340 49	2242709 49
4700 49	4755068 49	9300000 49	4133739 49*	1671755 48	9658081 49	2135190 49
4800 49	4583647 49	9200000 49	3690476 49*	1680791 48	9622450 49	2036650 49
4900 49	4426846 49	9100000 49	3265306 49*	1691635 48	9586441 49	1946218 49
5000 49	4283371 49	9000000 49	2857143 49*	1704299 48	9550046 49	1863120 49
5100 49	4152063 49	8900000 49	2464986 49*	1718796 48	9513258 49	1786663 49
5200 49	4031881 49	8800000 49	2087912 49*	1735140 48	9476070 49	1716227 49
5300 49	3921886 49	8700000 49	1725068 49*	1753343 48	9438476 49	1651256 49
5400 49	3821233 49	8600000 49	1375662 49*	1773418 48	9400466 49	1591251 49
5500 49	3729156 49	8500000 49	1038961 49*	1795379 48	9362034 49	1535763 49
5600 49	3644965 49	8400000 49	7142860 48*	1819238 48	9323171 49	1484388 49
5700 49	3568031 49	8300000 49	4010030 48*	1845009 48	9283869 49	1436760 49
5800 49	3497785 49	8200000 49	9852200 47*	1872704 48	9244120 49	1392549 49
5900 49	3433708 49	8100000 49	1937040 48	1902337 48	9203914 49	1351457 49
6000 49	3375329 49	8000000 49	4761900 48	1933921 48	9163242 49	1313213 49
6100 49	3322217 49	7900000 49	7494140 48	1967469 48	9122096 49	1277570 49
6200 49	3273979 49	7800000 49	1013825 49	2002993 48	9080465 49	1244306 49
6300 49	3230256 49	7700000 49	1269841 49	2040507 48	9038340 49	1213218 49
6400 49	3190717 49	7600000 49	1517857 49	2080024 48	8995710 49	1184120 49
6500 49	3155062 49	7500000 49	1758242 49	2121557 48	8952565 49	1156843 49
6600 49	3123013 49	7400000 49	1991342 49	2165119 48	8908893 49	1131234 49
6700 49	3094316 49	7300000 49	2217484 49	2210723 48	8864685 49	1107151 49
6800 49	3068736 49	7200000 49	2436975 49	2258382 48	8819927 49	1084466 49
6900 49	3046058 49	7100000 49	2650103 49	2308110 48	8774608 49	1063061 49
7000 49	3026083 49	7000000 49	2857143 49	2359918 48	8728715 49	1042827 49
7500 49	2960789 49	6500000 49	3809524 49	2650636 48	8490180 49	9560263 48
8000 49	2940669 49	6000000 49	4642857 49	2995341 48	8235162 49	8865817 48
8500 49	2953023 49	5500000 49	5378151 49	3395665 48	7961492 49	8279335 48
9000 49	2988964 49	5000000 49	6031746 49	3853239 48	7666518 49	7756267 48
9500 49	3042171 49	4500000 49	6616541 49	4369694 48	7346939 49	7265677 48
1000 50	3103080 49	4000000 49	7142857 49	4946662 48	6998542 49	6785409 48
1050 50	3183352 49	3500000 49	7619047 49	5585774 48	6615814 49	6298796 48
1100 50	3265523 49	3000000 49	8051948 49	6288663 48	6191272 49	5792181 48

Compton Cross Sections vs Energy of Scattered Quantum

14 50 = γ / γ'	$\sigma_3(\gamma')/\phi_0$	E	w	$\sigma_1(w,\phi)/\phi_0$	w'	$\sigma_4(w',\phi)/\phi_0$
1150 50	3352753 49	2500000 49	8447205 49	7056956 48	5714285 49	5252696 48
1200 50	3443660 49	2000000 49	8809524 49	7892289 48	5168765 49	4665586 48
1250 50	3537197 49	1500000 49	9142857 49	8796289 48	4528033 49	4009586 48
1300 50	3632570 49	1000000 49	9450549 49	9770591 48	3740879 49	3245488 48
1350 50	3729169 49	5000000 48	9735450 49	1081682 49	2677263 49	2272294 48
1400 50	3826530 49	0000000 00	1000000 50	1193662 49	0000000 00	0000000 00

Compton Cross Sections vs Energy of Scattered Quantum

γ'	$\sigma_3(\gamma')/\phi_0$	E	w	$\sigma_1(w,\phi)/\phi_0$	w'	$\sigma_4(w',\phi)/\phi_0$
15 50 = γ						
3750 49	7083333 49	1125000 50	1000000 50*	1585332 48	1000000 50	3963331 49
3750 49	7083333 49	1125000 50	1000000 50*	1585332 48	1000000 50	3963331 49
3800 49	6886262 49	1120000 50	9649122 49*	1582598 48	9985744 49	3835268 49
3850 49	6698400 49	1115000 50	9307359 49*	1580202 48	9971423 49	3713359 49
3900 49	6519241 49	1110000 50	8974359 49*	1578143 48	9957035 49	3597250 49
3950 49	6348317 49	1105000 50	8649789 49*	1576423 48	9942579 49	3486611 49
4000 49	6185185 49	1100000 50	8333333 49*	1575044 48	9928056 49	3381138 49
4100 49	5880677 49	1090000 50	7723577 49*	1573313 48	9898804 49	3184562 49
4200 49	5602721 49	1080000 50	7142857 49*	1572960 48	9869275 49	3005443 49
4300 49	5348679 49	1070000 50	6589147 49*	1573995 48	9839464 49	2841957 49
4400 49	5116222 49	1060000 50	6060606 49*	1576430 48	9809366 49	2692501 49
4500 49	4903292 49	1050000 50	5555555 49*	1580275 48	9778978 49	2555663 49
4600 49	4708058 49	1040000 50	5072463 49*	1585541 48	9748294 49	2430190 49
4700 49	4528895 49	1030000 50	4609929 49*	1592238 48	9717309 49	2314974 49
4800 49	4364351 49	1020000 50	4166666 49*	1600377 48	9686020 49	2209029 49
4900 49	4213131 49	1010000 50	3741496 49*	1609968 48	9654420 49	2111479 49
5000 49	4074074 49	1000000 50	3333333 49*	1621022 48	9622504 49	2021539 49
5100 49	3946136 49	9900000 49	2941176 49*	1633550 48	9590268 49	1938508 49
5200 49	3828380 49	9800000 49	2564102 49*	1647562 48	9557705 49	1861760 49
5300 49	3719962 49	9700000 49	2201258 49*	1663069 48	9524811 49	1790731 49
5400 49	3620119 49	9600000 49	1851852 49*	1680082 48	9491580 49	1724914 49
5500 49	3528160 49	9500000 49	1515151 49*	1698610 48	9458005 49	1663851 49
5600 49	3443461 49	9400000 49	1190476 49*	1718665 48	9424081 49	1607132 49
5700 49	3365456 49	9300000 49	8771930 48*	1740258 48	9389801 49	1554383 49
5800 49	3293627 49	9200000 49	5747120 48*	1763399 48	9355160 49	1505268 49
5900 49	3227507 49	9100000 49	2824860 48*	1788098 48	9320151 49	1459482 49
6000 49	3166666 49	9000000 49	00000000	1814366 48	9284766 49	1416745 49
6100 49	3110716 49	8900000 49	27732240 48	1842214 48	9249001 49	1376808 49
6200 49	3059297 49	8800000 49	53763500 48	1871652 48	9212846 49	1339439 49
6300 49	3012085 49	8700000 49	79365100 48	1902692 48	9176296 49	1304431 49
6400 49	2968779 49	8600000 49	10416667 49	1935343 48	9139342 49	1271591 49
6500 49	2929103 49	8500000 49	12820520 49	1969616 48	9101977 49	1240745 49
6600 49	2892807 49	8400000 49	15151520 49	2005522 48	9064194 49	1211736 49
6700 49	2859656 49	8300000 49	17412940 49	2043071 48	9025984 49	1184414 49
6800 49	2829437 49	8200000 49	19607850 49	2082274 48	8987338 49	1158649 49
6900 49	2801953 49	8100000 49	21739130 49	2123142 48	8948249 49	1134316 49
7000 49	2777022 49	8000000 49	23809530 49	2165686 48	8908707 49	1111303 49
7500 49	2685185 49	7500000 49	33333340 49	2403902 48	8703882 49	1012687 49
8000 49	2636574 49	7000000 49	41666670 49	2685592 48	8486251 49	9345573 48
8500 49	2619441 49	6500000 49	49019610 49	3012081 48	8254342 49	8699725 48
9000 49	2625514 49	6000000 49	55555560 49	3384695 48	8006407 49	8141818 48
9500 49	2648866 49	5500000 49	61403510 49	3804761 48	7740339 49	7638762 48
1000 50	2685185 49	5000000 49	66666670 49	4273605 48	7453559 49	7167053 48
1050 50	2731292 49	4500000 49	71428570 49	4792553 48	7142857 49	6709574 48
1100 50	2784818 49	4000000 49	75757580 49	5362932 48	6804137 49	6253382 48
1150 50	2843975 49	3500000 49	79710150 49	5986068 48	6432041 49	5788058 48

Compton Cross Sections vs Energy of Scattered Quantum

15 50 = γ / γ'	$\sigma_3(\gamma')/\phi_0$	E	w	$\sigma_1(w,\phi)/\phi_0$	w'	$\sigma_4(w',\phi)/\phi_0$
1200 50	2907407 49	3000000 49	8333334 49	6663287 48	6019291 49	5304317 48
1250 50	2974074 49	2500000 49	8666667 49	7395915 48	5555555 49	4792552 48
1300 50	3043173 49	2000000 49	8974359 49	8185280 48	5025189 49	4240793 48
1350 50	3114083 49	1500000 49	9259260 49	9032706 48	4402252 49	3630819 48
1400 50	3186319 49	1000000 49	9523810 49	9939521 48	3636963 49	2928122 48
1450 50	3259501 49	5000000 48	9770115 49	1090705 49	2602895 49	2042858 48
1500 50	3333333 49	0000000 00	1000000 50	1193662 49	0000000 00	0000000 00

16 50=γ γ′	$\sigma_3(\gamma')/\phi_0$	E	w	$\sigma_1(w,\phi)/\phi_0$	w′	$\sigma_4(w',\phi)/\phi_0$
3809 49	6501115 49	1219047 50	1000000 50*	1501583 48	1000000 50	4060281 49
3850 49	6360404 49	1215000 50	9724026 49*	1500466 48	9989667 49	3958323 49
3900 49	6193693 49	1210000 50	9391026 49*	1499336 48	9976852 49	3837663 49
3950 49	6034444 49	1205000 50	9066456 49*	1498482 48	9963980 49	3722543 49
4000 49	5882263 49	1200000 50	8750000 49*	1497906 48	9951052 49	3612657 49
4100 49	5597643 49	1190000 50	8140244 49*	1497590 48	9925022 49	3407465 49
4200 49	5337140 49	1180000 50	7559524 49*	1498398 48	9898760 49	3220008 49
4300 49	5098380 49	1170000 50	7005814 49*	1500338 48	9872261 49	3048460 49
4400 49	4879269 49	1160000 50	6477273 49*	1503419 48	9845523 49	2891219 49
4500 49	4677949 49	1150000 50	5972222 49*	1507650 48	9818542 49	2746862 49
4600 49	4492773 49	1140000 50	5489130 49*	1513039 48	9791313 49	2614135 49
4700 49	4322273 49	1130000 50	5026596 49*	1519595 48	9763834 49	2491924 49
4800 49	4165140 49	1120000 50	4583333 49*	1527327 48	9736101 49	2379234 49
4900 49	4020204 49	1110000 50	4158163 49*	1536244 48	9708109 49	2275185 49
5000 49	3886413 49	1100000 50	3750000 49*	1546354 48	9679855 49	2178987 49
5100 49	3762826 49	1090000 50	3357843 49*	1557667 48	9651334 49	2089930 49
5200 49	3648593 49	1080000 50	2980769 49*	1570190 48	9622543 49	2007382 49
5300 49	3542949 49	1070000 50	2617925 49*	1583932 48	9593477 49	1930772 49
5400 49	3445202 49	1060000 50	2268519 49*	1598904 48	9564132 49	1859587 49
5500 49	3354726 49	1050000 50	1931818 49*	1615112 48	9534503 49	1793363 49
5600 49	3270955 49	1040000 50	1607143 49*	1632566 48	9504586 49	1731682 49
5700 49	3193371 49	1030000 50	1293860 49*	1651274 48	9474377 49	1674167 49
5800 49	3121507 49	1020000 50	9913790 48*	1671246 48	9443869 49	1620472 49
5900 49	3054935 49	1010000 50	6991530 48*	1692490 48	9413059 49	1570287 49
6000 49	2993265 49	1000000 50	4166670 48*	1715015 48	9381941 49	1523329 49
6100 49	2936142 49	9900000 49	1434430 48*	1738829 48	9350511 49	1479340 49
6200 49	2883239 49	9800000 49	1209680 48	1763941 48	9318763 49	1438086 49
6300 49	2834258 49	9700000 49	3769840 48	1790361 48	9286691 49	1399351 49
6400 49	2788925 49	9600000 49	6250000 48	1818096 48	9254290 49	1362940 49
6500 49	2746988 49	9500000 49	8653850 48	1847156 48	9221554 49	1328673 49
6600 49	2708216 49	9400000 49	1098485 49	1877549 48	9188479 49	1296388 49
6700 49	2672396 49	9300000 49	1324627 49	1909284 48	9155056 49	1265932 49
6800 49	2639332 49	9200000 49	1544118 49	1943370 48	9121281 49	1237169 49
6900 49	2608842 49	9100000 49	1757246 49	1976815 48	9087147 49	1209970 49
7000 49	2580759 49	9000000 49	1964286 49	2012629 48	9052647 49	1184220 49
7500 49	2471413 49	8500000 49	2916667 49	2212525 48	8874428 49	1073715 49
8000 49	2403259 49	8000000 49	3750000 49	2447939 48	8683990 49	9863917 48
8500 49	2365402 49	7500000 49	4485294 49	2719963 48	8486285 49	9149588 48
9000 49	2350136 49	7000000 49	5138889 49	3029689 48	8274094 49	8543865 48
9500 49	2351903 49	6500000 49	5723684 49	3378211 48	8047984 49	8011461 48
1000 50	2366638 49	6000000 49	6250000 49	3766621 48	7806247 49	7527214 48
1050 50	2391322 49	5500000 49	6726190 49	4196012 48	7546831 49	7072884 48
1100 50	2423688 49	5000000 49	7159091 49	4667478 48	7267220 49	6634963 48
1150 50	2462015 49	4500000 49	7554348 49	5182110 48	6964285 49	6203159 48
1200 50	2504984 49	4000000 49	7916667 49	5741001 48	6634034 49	5769240 48
1250 50	2551574 49	3500000 49	8250000 49	6345245 48	6271240 49	5326116 48

Compton Cross Sections vs Energy of Scattered Quantum

16 50=γ γ'	$\sigma_8(\gamma')/\phi_0$	E	w	$\sigma_1(w,\phi)/\phi_0$	w'	$\sigma_4(w',\phi)/\phi_0$
1300 50	2600991 49	3000000 49	8557692 49	6995934 48	5868810 49	4866964 48
1350 50	2652612 49	2500000 49	8842593 49	7694162 48	5416665 49	4384137 48
1400 50	2705943 49	2000000 49	9107143 49	8441020 48	4899559 49	3867537 48
1450 50	2760598 49	1500000 49	9353448 49	9237603 48	4292198 49	3301211 48
1500 50	2816263 49	1000000 49	9583333 49	1008500 49	3546042 49	2654417 48
1550 50	2872693 49	5000000 48	9798387 49	1098431 49	2537824 49	1846596 48
1600 50	2929687 49	0000000 00	1000000 50	1193662 49	0000000 00	0000000 00

17 50 = γ / γ'	$\sigma_s(\gamma')/\phi_0$	E	w	$\sigma_1(w,\phi)/\phi_0$	w'	$\sigma_4(w',\phi)/\phi_0$
3863 49	6004246 49	1313636 50	1000000 50*	1426497 48	1000000 50	4159667 49
3900 49	5891916 49	1310000 50	9758673 49*	1426283 48	9991633 49	4069483 49
3950 49	5743304 49	1305000 50	9434103 49*	1426186 48	9980087 49	3950294 49
4000 49	5601136 49	1300000 50	9117647 49*	1426317 48	9968494 49	3836401 49
4100 49	5334810 49	1290000 50	8507891 49*	1427272 48	9945159 49	3623371 49
4200 49	5090499 49	1280000 50	7927171 49*	1429154 48	9921627 49	3428320 49
4300 49	4866058 49	1270000 50	7373461 49*	1431971 48	9897894 49	3249421 49
4400 49	4659588 49	1260000 50	6844920 49*	1435730 48	9873958 49	3085066 49
4500 49	4469407 49	1250000 50	6339869 49*	1440439 48	9849817 49	2933832 49
4600 49	4294021 49	1240000 50	5856777 49*	1446105 48	9825466 49	2794459 49
4700 49	4132098 49	1230000 50	5394243 49*	1452735 48	9800903 49	2665828 49
4800 49	3982450 49	1220000 50	4950980 49*	1460336 48	9776126 49	2546943 49
4900 49	3844013 49	1210000 50	4525810 49*	1468916 48	9751131 49	2436915 49
5000 49	3715832 49	1200000 50	4117647 49*	1478482 48	9725915 49	2334947 49
5100 49	3597049 49	1190000 50	3725490 49*	1489041 48	9700474 49	2240326 49
5200 49	3486893 49	1180000 50	3348416 49*	1500601 48	9674806 49	2152412 49
5300 49	3384664 49	1170000 50	2985572 49*	1513169 48	9648907 49	2070630 49
5400 49	3289734 49	1160000 50	2636166 49*	1526752 48	9622774 49	1994462 49
5500 49	3201532 49	1150000 50	2299465 49*	1541357 48	9596403 49	1923436 49
5600 49	3119538 49	1140000 50	1974790 49*	1556992 48	9569790 49	1857130 49
5700 49	3043282 49	1130000 50	1661507 49*	1573664 48	9542933 49	1795160 49
5800 49	2972336 49	1120000 50	1359026 49*	1591380 48	9515827 49	1737177 49
5900 49	2906308 49	1110000 50	1066800 49*	1610148 48	9488468 49	1682864 49
6000 49	2844843 49	1100000 50	7843140 48*	1629975 48	9460854 49	1631934 49
6100 49	2787613 49	1090000 50	5110900 48*	1650868 48	9432978 49	1584122 49
6200 49	2734320 49	1080000 50	2466790 48*	1672834 48	9404838 49	1539191 49
6300 49	2684691 49	1070000 50	9337000 46	1695881 48	9376430 49	1496921 49
6400 49	2638472 49	1060000 50	2573530 48	1720016 48	9347749 49	1457112 49
6500 49	2595434 49	1050000 50	4977380 48	1745247 48	9318791 49	1419579 49
6600 49	2555364 49	1040000 50	7308380 48	1771580 48	9289550 49	1384156 49
6700 49	2518065 49	1030000 50	9569800 48	1799023 48	9260024 49	1350687 49
6800 49	2483357 49	1020000 50	1176471 49	1827583 48	9230207 49	1319031 49
6900 49	2451073 49	1010000 50	1389599 49	1857268 48	9200094 49	1289056 49
7000 49	2421058 49	1000000 50	1596639 49	1888084 48	9169680 49	1260643 49
7500 49	2300369 49	9500000 49	2549020 49	2059398 48	9012982 49	1138407 49
8000 49	2218846 49	9000000 49	3382353 49	2260098 48	8847836 49	1041719 49
8500 49	2166371 49	8500000 49	4117647 49	2491098 48	8673649 49	962974 8 48
9000 49	2135746 49	8000000 49	4771242 49	2753307 48	8489474 49	8968853 48
9500 49	2121758 49	7500000 49	5356037 49	3047637 48	8294288 49	8397130 48
1000 50	2120574 49	7000000 49	5882353 49	3374999 48	8086898 49	7887755 48
1050 50	2129332 49	6500000 49	6358543 49	3736303 48	7865903 49	7421202 48
1100 50	2145870 49	6000000 49	6791444 49	4132462 48	7629635 49	6983036 48
1150 50	2168535 49	5500000 49	7186701 49	4564386 48	7376088 49	6562411 48
1200 50	2196054 49	5000000 49	7549020 49	5032986 48	7102803 49	6150966 48
1250 50	2227433 49	4500000 49	7882353 49	5539173 48	6806722 49	5742030 48
1300 50	2261894 49	4000000 49	8190045 49	6083859 48	6483943 49	5329966 48

Compton Cross Sections vs Energy of Scattered Quantum

17 50 = γ / γ'	$\sigma_3(\gamma')/\phi_0$	E	w	$\sigma_1(w,\phi)/\phi_0$	w'	$\sigma_4(w',\phi)/\phi_0$
1350 50	2298820 49	3500000 49	8474946 49	6667955 48	6129356 49	4909598 48
1400 50	2337720 49	3000000 49	8739496 49	7292370 48	5736031 49	4475588 48
1450 50	2378202 49	2500000 49	8985801 49	7958018 48	5294118 49	4021591 48
1500 50	2419950 49	2000000 49	9215686 49	8665808 48	4788710 49	3538839 48
1550 50	2462708 49	1500000 49	9430740 49	9416653 48	4195089 49	3013156 48
1600 50	2506270 49	1000000 49	9632353 49	1021146 49	3465813 49	2416918 48
1650 50	2550465 49	5000000 48	9821747 49	1105114 49	2480406 49	1677414 48
1700 50	2595155 49	0000000 00	1000000 50	1193662 49	0000000 00	0000000 00

Compton Cross Sections vs Energy of Scattered Quantum

18 50 = γ γ'	$\sigma_3(\gamma')/\phi_0$	E	w	$\sigma_1(w,\phi)/\phi_0$	w'	$\sigma_4(w',\phi)/\phi_0$
3913 49	5575684 49	1408695 50	1000000 50*	1358775 48	1000000 50	4261119 49
3950 49	5473562 49	1405000 50	9760900 49*	1359203 48	9992292 49	4170791 49
4000 49	5340506 49	1400000 50	9444444 49*	1359948 48	9981827 49	4053210 49
4100 49	5090901 49	1390000 50	8834688 49*	1362017 48	9960773 49	3832979 49
4200 49	4861490 49	1380000 50	8253968 49*	1364860 48	9939550 49	3630936 49
4300 49	4650318 49	1370000 50	7700258 49*	1368484 48	9918154 49	3445263 49
4400 49	4455658 49	1360000 50	7171717 49*	1372895 48	9896584 49	3274349 49
4500 49	4275977 49	1350000 50	6666666 49*	1378099 48	9874838 49	3116765 49
4600 49	4109913 49	1340000 50	6183574 49*	1384103 48	9852913 49	2971249 49
4700 49	3956251 49	1330000 50	5721040 49*	1390912 48	9830808 49	2836682 49
4800 49	3813907 49	1320000 50	5277777 49*	1398533 48	9808519 49	2712057 49
4900 49	3681909 49	1310000 50	4852607 49*	1406971 48	9786044 49	2596482 49
5000 49	3559384 49	1300000 50	4444444 49*	1416234 48	9763380 49	2489155 49
5100 49	3445550 49	1290000 50	4052287 49*	1426326 48	9740526 49	2389362 49
5200 49	3339698 49	1280000 50	3675213 49*	1437255 48	9717478 49	2296452 49
5300 49	3241190 49	1270000 50	3312369 49*	1449026 48	9694234 49	2209849 49
5400 49	3149450 49	1260000 50	2962963 49*	1461646 48	9670790 49	2129025 49
5500 49	3063953 49	1250000 50	2626262 49*	1475120 48	9647146 49	2053510 49
5600 49	2984224 49	1240000 50	2301587 49*	1489455 48	9623296 49	1982870 49
5700 49	2909832 49	1230000 50	1988304 49*	1504657 48	9599239 49	1916720 49
5800 49	2840382 49	1220000 50	1685823 49*	1520732 48	9574971 49	1854706 49
5900 49	2775516 49	1210000 50	1393597 49*	1537687 48	9550490 49	1796505 49
6000 49	2714906 49	1200000 50	1111111 49*	1555526 48	9525793 49	1741827 49
6100 49	2658251 49	1190000 50	8378870 48*	1574257 48	9500876 49	1690402 49
6200 49	2605276 49	1180000 50	5734760 48*	1593886 48	9475736 49	1641988 49
6300 49	2555730 49	1170000 50	3174600 48*	1614418 48	9450370 49	1596362 49
6400 49	2509379 49	1160000 50	6944400 47*	1635861 48	9424774 49	1553318 49
6500 49	2466011 49	1150000 50	1709410 48	1658219 48	9398946 49	1512670 49
6600 49	2425430 49	1140000 50	4040410 48	1681499 48	9372881 49	1474247 49
6700 49	2387454 49	1130000 50	6301830 48	1705708 48	9346576 49	1437889 49
6800 49	2351916 49	1120000 50	8496740 48	1730851 48	9320028 49	1403451 49
6900 49	2318662 49	1110000 50	1062802 49	1756935 48	9293232 49	1370800 49
7000 49	2287549 49	1100000 50	1269842 49	1783966 48	9266186 49	1339812 49
7500 49	2159779 49	1050000 50	2222223 49	1933535 48	9127046 49	1206114 49
8000 49	2069222 49	1000000 50	3055556 49	2107693 48	8981004 49	1100078 49
8500 49	2006452 49	9500000 49	3790850 49	2307208 48	8827471 49	1013813 49
9000 49	1964734 49	9000000 49	4444445 49	2532847 48	8665782 49	9417957 48
9500 49	1939175 49	8500000 49	5029240 49	2785379 48	8495179 49	8800925 48
10000 50	1926154 49	8000000 49	5555556 49	3065570 48	8314794 49	8258624 48
10500 50	1922961 49	7500000 49	6031746 49	3374187 48	8123623 49	7770246 48
11000 50	1927536 49	7000000 49	6464647 49	3712000 48	7920500 49	7320347 48
11500 50	1938297 49	6500000 49	6859904 49	4079775 48	7704052 49	6897321 48
12000 50	1954018 49	6000000 49	7222223 49	4478280 48	7472646 49	6492302 48
12500 50	1973736 49	5500000 49	7555556 49	4908280 48	7224316 49	6098392 48
13000 50	1996694 49	5000000 49	7863248 49	5370546 48	6956655 49	5710068 48
13500 50	2022287 49	4500000 49	8148149 49	5865845 48	6666665 49	5322709 48

Compton Cross Sections vs Energy of Scattered Quantum

18 50 = γ γ'	$\sigma_3(\gamma')/\phi_0$	E	w	$\sigma_1(w,\phi)/\phi_0$	w'	$\sigma_4(w',\phi)/\phi_0$
1400 50	2050031 49	4000000 49	8412699 49	6394943 48	6350528 49	4932213 48
1450 50	2079535 49	3500000 49	8659004 49	6958608 48	6003238 49	4534575 48
1500 50	2110482 49	3000000 49	8888889 49	7557608 48	5618006 49	4125425 48
1550 50	2142614 49	2500000 49	9103943 49	8192710 48	5185184 49	3699323 48
1600 50	2175720 49	2000000 49	9305556 49	8864683 48	4690175 49	3248527 48
1650 50	2209625 49	1500000 49	9494950 49	9574293 48	4108769 49	2760300 48
1700 50	2244185 49	1000000 49	9673203 49	1032230 49	3394498 49	2209642 48
1750 50	2279281 49	5000000 48	9841270 49	1110949 49	2429368 49	1530552 48
1800 50	2314814 49	0000000 00	1000000 50	1193662 49	0000000 00	0000000 00

Compton Cross Sections vs Energy of Scattered Quantum

$19\ 50=\gamma$ γ'	$\sigma_3(\gamma')/\phi_0$	E	w	$\sigma_1(w,\phi)/\phi_0$	w'	$\sigma_4(w',\phi)/\phi_0$
3958 49	5202562 49	1504166 50	1000000 50*	1297364 48	1000000 50	4364335 49
4000 49	5098948 49	1500000 50	9736842 49*	1298436 48	9992082 49	4263870 49
4100 49	4864584 49	1490000 50	9127086 49*	1301468 48	9972977 49	4036945 49
4200 49	4648822 49	1480000 50	8546366 49*	1305153 48	9953725 49	3828410 49
4300 49	4449874 49	1470000 50	7992656 49*	1309497 48	9934324 49	3636440 49
4400 49	4266161 49	1460000 50	7464115 49*	1314506 48	9914772 49	3459421 49
4500 49	4096277 49	1450000 50	6959064 49*	1320184 48	9895069 49	3295927 49
4600 49	3938977 49	1440000 50	6475972 49*	1326536 48	9875211 49	3144691 49
4700 49	3793146 49	1430000 50	6013438 49*	1333569 48	9855198 49	3004586 49
4800 49	3657791 49	1420000 50	5570175 49*	1341286 48	9835025 49	2874602 49
4900 49	3532018 49	1410000 50	5145005 49*	1349693 48	9814693 49	2753846 49
5000 49	3415029 49	1400000 50	4736842 49*	1358796 48	9794199 49	2641511 49
5100 49	3306102 49	1390000 50	4344685 49*	1368600 48	9773541 49	2536873 49
5200 49	3204587 49	1380000 50	3967611 49*	1379110 48	9752716 49	2439284 49
5300 49	3109899 49	1370000 50	3604767 49*	1390331 48	9731722 49	2348158 49
5400 49	3021505 49	1360000 50	3255361 49*	1402268 48	9710558 49	2262963 49
5500 49	2938925 49	1350000 50	2918660 49*	1414926 48	9689221 49	2183223 49
5600 49	2861719 49	1340000 50	2593985 49*	1428312 48	9667708 49	2108504 49
5700 49	2789490 49	1330000 50	2280702 49*	1442429 48	9646018 49	2038415 49
5800 49	2721875 49	1320000 50	1978221 49*	1457284 48	9624148 49	1972595 49
5900 49	2658543 49	1310000 50	1685995 49*	1472881 48	9602096 49	1910721 49
6000 49	2599191 49	1300000 50	1403509 49*	1489226 48	9579858 49	1852493 49
6100 49	2543541 49	1290000 50	1130285 49*	1506324 48	9557434 49	1797642 49
6200 49	2491339 49	1280000 50	8658740 48*	1524180 48	9534818 49	1745919 49
6300 49	2442352 49	1270000 50	6098580 48*	1542799 48	9512011 49	1697100 49
6400 49	2396365 49	1260000 50	3618420 48*	1562187 48	9489009 49	1650975 49
6500 49	2353181 49	1250000 50	1214570 48*	1582349 48	9465808 49	1607352 49
6600 49	2312618 49	1240000 50	1116430 48	1603289 48	9442407 49	1566059 49
6700 49	2274508 49	1230000 50	3377850 48	1625014 48	9418802 49	1526931 49
6800 49	2238696 49	1220000 50	5572760 48	1647529 48	9394991 49	1489822 49
6900 49	2205037 49	1210000 50	7704040 48	1670838 48	9370970 49	1454594 49
7000 49	2173401 49	1200000 50	9774440 48	1694946 48	9346737 49	1421121 49
7500 49	2041529 49	1150000 50	1929825 49	1827672 48	9222274 49	1276280 49
8000 49	1945017 49	1100000 50	2763158 49	1981178 48	9092009 49	1161015 49
8500 49	1875056 49	1050000 50	3498452 49	2156116 48	8955485 49	1067172 49
9000 49	1825336 49	1000000 50	4152047 49	2353141 48	8812188 49	9890094 48
9500 49	1791250 49	9500000 49	4736842 49	2572903 48	8661541 49	9224158 48
1000 50	1769381 49	9000000 49	5263158 49	2816057 48	8502891 49	8644011 48
1050 50	1757157 49	8500000 49	5739348 49	3083254 48	8335495 49	8127615 48
1100 50	1752617 49	8000000 49	6172249 49	3375147 48	8158501 49	7658522 48
1150 50	1754250 49	7500000 49	6567506 49	3692388 48	7970924 49	7224319 48
1200 50	1760876 49	7000000 49	6929825 49	4035631 48	7771619 49	6815523 48
1250 50	1771567 49	6500000 49	7263158 49	4405527 48	7559240 49	6424790 48
1300 50	1785588 49	6000000 49	7570850 49	4802731 48	7332184 49	6046344 48
1350 50	1802349 49	5500000 49	7855751 49	5227893 48	7088520 49	5675527 48
1400 50	1821376 49	5000000 49	8120301 49	5681667 48	6825891 49	5308481 48

Compton Cross Sections vs Energy of Scattered Quantum

19 50 = γ / γ'	$\sigma_3(\gamma')/\phi_0$	E	w	$\sigma_1(w,\phi)/\phi_0$	w'	$\sigma_4(w',\phi)/\phi_0$
1450 50	1842282 49	4500000 49	8366606 49	6164704 48	6541353 49	4941824 48
1500 50	1864754 49	4000000 49	8596491 49	6677659 48	6231158 49	4572401 48
1550 50	1888534 49	3500000 49	8811545 49	7221184 48	5890395 49	4196976 48
1600 50	1913409 49	3000000 49	9013158 49	7795931 48	5512404 49	3811851 48
1650 50	1939202 49	2500000 49	9202552 49	8402552 48	5087718 49	3412264 48
1700 50	1965767 49	2000000 49	9380805 49	9041700 48	4602015 49	2991278 48
1750 50	1992981 49	1500000 49	9548872 49	9714029 48	4031539 49	2537361 48
1800 50	2020740 49	1000000 49	9707602 49	1042019 49	3330695 49	2027755 48
1850 50	2048958 49	5000000 48	9857753 49	1116083 49	2383700 49	1402244 48
1900 50	2077562 49	0000000 00	1000000 50	1193662 49	0000000 00	0000000 00

Compton Cross Sections vs Energy of Scattered Quantum

20 50 = γ γ'	$\sigma_3(\gamma')/\phi_0$	E	w	$\sigma_1(w,\phi)/\phi_0$	w'	$\sigma_4(w',\phi)/\phi_0$
4000 49	4875000 49	1600000 50	1000000 50*	1241408 48	1000000 50	4469070 49
4000 49	4875000 49	1600000 50	1000000 50*	1241408 48	1000000 50	4469070 49
4100 49	4654514 49	1590000 50	9390244 49*	1245266 48	9982575 49	4235876 49
4200 49	4451233 49	1580000 50	8809524 49*	1249680 48	9965022 49	4021259 49
4300 49	4263513 49	1570000 50	8255814 49*	1254656 48	9947340 49	3823389 49
4400 49	4089901 49	1560000 50	7727273 49*	1260196 48	9929526 49	3640650 49
4500 49	3929108 49	1550000 50	7222222 49*	1266307 48	9911580 49	3471612 49
4600 49	3779985 49	1540000 50	6739130 49*	1272992 48	9893500 49	3315005 49
4700 49	3641508 49	1530000 50	6276596 49*	1280257 48	9875284 49	3169700 49
4800 49	3512760 49	1520000 50	5833333 49*	1288104 48	9856931 49	3034681 49
4900 49	3392920 49	1510000 50	5408163 49*	1296540 48	9838438 49	2909052 49
5000 49	3281250 49	1500000 50	5000000 49*	1305567 48	9819805 49	2792002 49
5100 49	3177085 49	1490000 50	4607843 49*	1315192 48	9801029 49	2682803 49
5200 49	3079826 49	1480000 50	4230769 49*	1325418 48	9782109 49	2580803 49
5300 49	2988931 49	1470000 50	3867925 49*	1336250 48	9763042 49	2485407 49
5400 49	2903909 49	1460000 50	3518519 49*	1347692 48	9743828 49	2396086 49
5500 49	2824315 49	1450000 50	3181818 49*	1359749 48	9724465 49	2312357 49
5600 49	2749745 49	1440000 50	2857143 49*	1372424 48	9704949 49	2233778 49
5700 49	2679828 49	1430000 50	2543860 49*	1385724 48	9685280 49	2159956 49
5800 49	2614231 49	1420000 50	2241379 49*	1399652 48	9665456 49	2090529 49
5900 49	2552646 49	1410000 50	1949153 49*	1414212 48	9645475 49	2025165 49
6000 49	2494791 49	1400000 50	1666667 49*	1429410 48	9625334 49	1963566 49
6250 49	2364843 49	1375000 50	1000000 49*	1470221 48	9574271 49	1824287 49
6500 49	2253189 49	1350000 50	3846150 48*	1515111 48	9522165 49	1703180 49
6750 49	2157005 49	1325000 50	1851850 48	1564151 48	9468983 49	1597259 49
7000 49	2073979 49	1300000 50	7142860 48	1617412 48	9414688 49	1504097 49
7250 49	2002206 49	1275000 50	1206897 49	1674962 48	9359242 49	1421705 49
7500 49	1940104 49	1250000 50	1666667 49	1736871 48	9302605 49	1348447 49
7750 49	1886352 49	1225000 50	2096774 49	1803210 48	9244734 49	1282964 49
8000 49	1839843 49	1200000 50	2500000 49	1874049 48	9185586 49	1224123 49
8250 49	1799640 49	1175000 50	2878788 49	1949457 48	9125114 49	1170979 49
8500 49	1764949 49	1150000 50	3235294 49	2029505 48	9063269 49	1122731 49
8750 49	1735092 49	1125000 50	3571429 49	2114262 48	8999999 49	1078705 49
9000 49	1709490 49	1100000 50	3888889 49	2203798 48	8935250 49	1038327 49
9250 49	1687645 49	1075000 50	4189189 49	2298184 48	8868964 49	1001110 49
9500 49	1669126 49	1050000 50	4473684 49	2397488 48	8801080 49	9666350 48
9750 49	1653561 49	1025000 50	4743590 49	2501782 48	8731533 49	9345426 48
10000 50	1640625 49	1000000 50	5000000 49	2611135 48	8660254 49	9045238 48
11000 50	1610020 49	9000000 49	5909091 49	3100537 48	8356290 49	8003475 48
12000 50	1604166 49	8000000 49	6666667 49	3676479 48	8017837 49	7132805 48
13000 50	1614829 49	7000000 49	7307692 49	4343437 48	7637626 49	6359900 48
14000 50	1636798 49	6000000 49	7857143 49	5105889 48	7205766 49	5639748 48
15000 50	1666666 49	5000000 49	8333333 49	5968310 48	6708204 49	4942796 48
16000 50	1702148 49	4000000 49	8750000 49	6935176 48	6123724 49	4246911 48
17000 50	1741673 49	3000000 49	9117647 49	8010964 48	5417363 49	3530596 48
18000 50	1784143 49	2000000 49	9444444 49	9200149 48	4522671 49	2762535 48

Compton Cross Sections vs Energy of Scattered Quantum

20 50=γ'	$\sigma_3(\gamma')/\phi_0$	E	w	$\sigma_1(w,\phi)/\phi_0$	w'	$\sigma_4(w',\phi)/\phi_0$
1900 50	1828774 49	1000000 49	9736842 49	1050721 49	3273269 49	1867316 48
2000 50	1875000 49	0000000 00	1000000 50	1193662 49	0000000 00	0000000 00

Compton Cross Sections vs Energy of Scattered Quantum

25 γ' 50 $=\gamma$	$\sigma_3(\gamma')/\phi_0$	E	w	$\sigma_1(w,\phi)/\phi_0$	w'	$\sigma_4(w',\phi)/\phi_0$
4166 49	3700000 49	2083333 50	1000000 50*	1022349 48	1000000 50	5009512 49
4200 49	3649589 49	2080000 50	9809524 49*	1024619 48	9996077 49	4931256 49
4300 49	3505592 49	2070000 50	9255814 49*	1031617 48	9984262 49	4707932 49
4400 49	3371682 49	2060000 50	8727273 49*	1038896 48	9972375 49	4500506 49
4500 49	3246963 49	2050000 50	8222222 49*	1046459 48	9960415 49	4307534 49
4600 49	3130634 49	2040000 50	7739130 49*	1054309 48	9948381 49	4127729 49
4700 49	3021982 49	2030000 50	7276596 49*	1062448 48	9936273 49	3959949 49
4800 49	2920366 49	2020000 50	6833333 49*	1070878 48	9924089 49	3803158 49
4900 49	2825211 49	2010000 50	6408163 49*	1079601 48	9911830 49	3656435 49
5000 49	2736000 49	2000000 50	6000000 49*	1088619 48	9899494 49	3518950 49
5100 49	2652263 49	1990000 50	5607843 49*	1097936 48	9887081 49	3389958 49
5200 49	2573581 49	1980000 50	5230769 49*	1107553 48	9874590 49	3268791 49
5300 49	2499568 49	1970000 50	4867925 49*	1117472 48	9862020 49	3154832 49
5400 49	2429879 49	1960000 50	4518519 49*	1127697 48	9849370 49	3047526 49
5500 49	2364198 49	1950000 50	4181818 49*	1138228 48	9836640 49	2946381 49
5600 49	2302236 49	1940000 50	3857143 49*	1149069 48	9823828 49	2850932 49
5700 49	2243732 49	1930000 50	3543860 49*	1160221 48	9810935 49	2760773 49
5800 49	2188446 49	1920000 50	3241379 49*	1171688 48	9797959 49	2675516 49
5900 49	2136157 49	1910000 50	2949153 49*	1183470 48	9784898 49	2594821 49
6000 49	2086666 49	1900000 50	2666667 49*	1195571 48	9771754 49	2518367 49
6250 49	1974000 49	1875000 50	2000000 49*	1227233 48	9738516 49	2343945 49
6500 49	1875195 49	1850000 50	1384615 49*	1260936 48	9704731 49	2190358 49
6750 49	1788205 49	1825000 50	8148150 48*	1296716 48	9670384 49	2054414 49
7000 49	1711346 49	1800000 50	2857140 48*	1334609 48	9635460 49	1933489 49
7250 49	1643222 49	1775000 50	2068970 48	1374651 48	9599944 49	1825421 49
7500 49	1582666 49	1750000 50	6666670 48	1416876 48	9563820 49	1728412 49
7750 49	1528701 49	1725000 50	1096774 49	1461322 48	9527072 49	1640963 49
8000 49	1480500 49	1700000 50	1500000 49	1508024 48	9489681 49	1561807 49
8250 49	1437360 49	1675000 50	1878788 49	1557018 48	9451631 49	1489880 49
8500 49	1398685 49	1650000 50	2235294 49	1608340 48	9412903 49	1424274 49
8750 49	1363959 49	1625000 50	2571429 49	1662025 48	9373477 49	1364213 49
9000 49	1332740 49	1600000 50	2888889 49	1718109 48	9333333 49	1309035 49
9250 49	1304647 49	1575000 50	3189189 49	1776628 48	9292451 49	1258170 49
9500 49	1279346 49	1550000 50	3473684 49	1837618 48	9250808 49	1211124 49
9750 49	1256548 49	1525000 50	3743590 49	1901115 48	9208383 49	1167468 49
1000 50	1236000 49	1500000 50	4000000 49	1967155 48	9165151 49	1126829 49
1100 50	1172231 49	1400000 50	4909091 49	2257453 48	8983645 49	9885255 48
1200 50	1130666 49	1300000 50	5666667 49	2591297 48	8787042 49	8785553 48
1300 50	1104568 49	1200000 50	6307692 49	2970977 48	8573214 49	7874085 48
1400 50	1089551 49	1100000 50	6857143 49	3398785 48	8339567 49	7090525 48
1500 50	1082666 49	1000000 50	7333333 49	3877014 48	8082904 49	6395415 48
1600 50	1081875 49	9000000 49	7750000 49	4407955 48	7799204 49	5762187 48
1700 50	1085730 49	8000000 49	8117647 49	4993899 48	7483314 49	5172446 48
1800 50	1093185 49	7000000 49	8444444 49	5637140 48	7128451 49	4612970 48
1900 50	1103468 49	6000000 49	8736842 49	6339969 48	6725382 49	4073686 48
2000 50	1116000 49	5000000 49	9000000 49	7104676 48	6260990 49	3546102 48

Compton Cross Sections vs Energy of Scattered Quantum

25 γ' 50 $=\gamma$	$\sigma_3(\gamma')/\phi_0$	E	w	$\sigma_1(w,\phi)/\phi_0$	w'	$\sigma_4(w',\phi)/\phi_0$
2100 50	1130340 49	4000000 49	9238095 49	7933555 48	5715476 49	3021678 48
2200 50	1146148 49	3000000 49	9454545 49	8828896 48	5056207 49	2489348 48
2300 50	1163160 49	2000000 49	9652174 49	9792994 48	4221158 49	1929659 48
2400 50	1181166 49	1000000 49	9833333 49	1082813 49	3055053 49	1292209 48
2500 50	1200000 49	0000000 00	1000000 50	1193662 49	0000000 00	0000000 00

Compton Cross Sections vs Energy of Scattered Quantum

30 γ'	50 $=\gamma$	$\sigma_3(\gamma')/\phi_0$	E	w	$\sigma_1(w,\phi)/\phi_0$	w'	$\sigma_4(w',\phi)/\phi_0$
4285	49	2976190 49	2571428 50	1000000 50*	8700160 47	1000000 50	5568102 49
4300	49	2960264 49	2570000 50	9922481 49*	8711390 47	9998784 49	5534172 49
4400	49	2853045 49	2560000 50	9393940 49*	8790917 47	9990248 49	5305876 49
4500	49	2752829 49	2550000 50	8888889 49*	8872059 47	9981668 49	5092697 49
4600	49	2659019 49	2540000 50	8405797 49*	8954828 47	9973042 49	4893324 49
4700	49	2571083 49	2530000 50	7943263 49*	9039241 47	9964371 49	4706577 49
4800	49	2488541 49	2520000 50	7500000 49*	9125307 47	9955653 49	4531421 49
4900	49	2410964 49	2510000 50	7074830 49*	9213042 47	9946890 49	4366907 49
5000	49	2337963 49	2500000 50	6666667 49*	9302459 47	9938079 49	4212190 49
5100	49	2269186 49	2490000 50	6274510 49*	9393570 47	9929222 49	4066502 49
5200	49	2204317 49	2480000 50	5897436 49*	9486388 47	9920317 49	3929149 49
5300	49	2143067 49	2470000 50	5534592 49*	9580929 47	9911364 49	3799503 49
5400	49	2085173 49	2460000 50	5185186 49*	9677204 47	9902363 49	3677003 49
5500	49	2030398 49	2450000 50	4848485 49*	9775226 47	9893313 49	3561113 49
5600	49	1978524 49	2440000 50	4523810 49*	9875011 47	9884214 49	3451376 49
5700	49	1929351 49	2430000 50	4210527 49*	9976567 47	9875066 49	3347354 49
5800	49	1882698 49	2420000 50	3908046 49*	1007991 48	9865867 49	3248653 49
5900	49	1838397 49	2410000 50	3615820 49*	1018506 48	9856618 49	3154910 49
6000	49	1796296 49	2400000 50	3333334 49*	1029202 48	9847319 49	3065799 49
6250	49	1699768 49	2375000 50	2666667 49*	1056744 48	9823845 49	2861345 49
6500	49	1614220 49	2350000 50	2051282 49*	1085449 48	9800044 49	2679858 49
6750	49	1538080 49	2325000 50	1481482 49*	1115338 48	9775909 49	2517972 49
7000	49	1470049 49	2300000 50	9523810 48*	1146431 48	9751432 49	2372902 49
7250	49	1409046 49	2275000 50	4597700 48*	1178749 48	9726607 49	2242340 49
7500	49	1354166 49	2250000 50	0000000	1212313 48	9701425 49	2124360 49
7750	49	1304646 49	2225000 50	4301070 48	1247143 48	9675878 49	2017339 49
8000	49	1259837 49	2200000 50	8333330 48	1283260 48	9649958 49	1919912 49
8250	49	1219190 49	2175000 50	1212121 49	1320685 48	9623656 49	1830911 49
8500	49	1182229 49	2150000 50	1568627 49	1359439 48	9596965 49	1749341 49
8750	49	1148549 49	2125000 50	1904762 49	1399542 48	9569874 49	1674351 49
9000	49	1117798 49	2100000 50	2222222 49	1441015 48	9542374 49	1605204 49
9250	49	1089669 49	2075000 50	2522522 49	1483879 48	9514456 49	1541264 49
9500	49	1063897 49	2050000 50	2807017 49	1528154 48	9486109 49	1481974 49
9750	49	1040249 49	2025000 50	3076923 49	1573862 48	9457325 49	1426855 49
1000	50	1018518 49	2000000 50	3333333 49	1621022 48	9428090 49	1375483 49
1100	50	9474670 48	1900000 50	4242424 49	1824608 48	9306432 49	1200657 49
1200	50	8958333 48	1800000 50	5000000 49	2053098 48	9176629 49	1062723 49
1300	50	8580154 48	1700000 50	5641025 49	2307820 48	9037792 49	9503941 48
1400	50	8303098 48	1600000 50	6190476 49	2590099 48	8888889 49	8563186 48
1500	50	8101851 48	1500000 50	6666666 49	2901261 48	8728715 49	7755566 48
1600	50	7958622 48	1400000 50	7083333 49	3242634 48	8555852 49	7046960 48
1700	50	7860598 48	1300000 50	7450980 49	3615543 48	8368612 49	6413272 48
1800	50	7798353 48	1200000 50	7777777 49	4021314 48	8164966 49	5837139 48
1900	50	7764824 48	1100000 50	8070175 49	4461275 48	7942445 49	5305815 48
2000	50	7754629 48	1000000 50	8333333 49	4936750 48	7698004 49	4809772 48
2100	50	7763604 48	9000000 49	8571428 49	5449067 48	7427814 49	4341735 48

Compton Cross Sections vs Energy of Scattered Quantum

30 50=γ γ'	$\sigma_3(\gamma')/\phi_0$	E	w	$\sigma_1(w,\phi)/\phi_0$	w'	$\sigma_4(w',\phi)/\phi_0$
2200 50	7788490 48	8000000 49	8787878 49	5999551 48	7126967 49	3895982 48
2300 50	7826699 48	7000000 49	8985507 49	6589530 48	6789001 49	3467806 48
2400 50	7876157 48	6000000 49	9166666 49	7220328 48	6405127 49	3053034 48
2500 50	7935184 48	5000000 49	9333333 49	7893274 48	5962848 49	2647486 48
2600 50	8002410 48	4000000 49	9487179 49	8609693 48	5443312 49	2246205 48
2700 50	8076702 48	3000000 49	9629629 49	9370909 48	4815437 49	1841910 48
2800 50	8157123 48	2000000 49	9761904 49	1017825 49	4020156 49	1420916 48
2900 50	8242887 48	1000000 49	9885057 49	1103304 49	2909577 49	9468709 47
3000 50	8333333 48	0000000 00	1000000 50	1193662 49	0000000 00	0000000 00

35 γ'	50 $=\gamma$	$\sigma_3(\gamma')/\phi_0$	E	w	$\sigma_1(w,\phi)/\phi_0$	w'	$\sigma_4(w',\phi)/\phi_0$
4375	49	2487244 49	3062500 50	1000000 50*	7576956 47	1000000 50	6137335 49
4400	49	2465649 49	3060000 50	9870130 49*	7597257 47	9998386 49	6077061 49
4500	49	2382672 49	3050000 50	9365079 49*	7679085 47	9991914 49	5845576 49
4600	49	2304802 49	3040000 50	8881987 49*	7761925 47	9985412 49	5628495 49
4700	49	2231622 49	3030000 50	8419453 49*	7845786 47	9978879 49	5424622 49
4800	49	2162756 49	3020000 50	7976190 49*	7930678 47	9972317 49	5232894 49
4900	49	2097868 49	3010000 50	7551020 49*	8016604 47	9965724 49	5052357 49
5000	49	2036651 49	3000000 50	7142857 49*	8103577 47	9959100 49	4882113 49
5100	49	1978830 49	2990000 50	6750700 49*	8191606 47	9952445 49	4721398 49
5200	49	1924154 49	2980000 50	6373626 49*	8280695 47	9945759 49	4569495 49
5300	49	1872397 49	2970000 50	6010782 49*	8370855 47	9939041 49	4425747 49
5400	49	1823350 49	2960000 50	5661376 49*	8462093 47	9932292 49	4289572 49
5500	49	1776826 49	2950000 50	5324675 49*	8554421 47	9925511 49	4160444 49
5600	49	1732653 49	2940000 50	5000000 49*	8647842 47	9918697 49	4037860 49
5700	49	1690671 49	2930000 50	4686717 49*	8742369 47	9911852 49	3921382 49
5800	49	1650738 49	2920000 50	4384236 49*	8838008 47	9904974 49	3810600 49
5900	49	1612720 49	2910000 50	4092010 49*	8934767 47	9898063 49	3705129 49
6000	49	1576496 49	2900000 50	3809524 49*	9032656 47	9891118 49	3604635 49
6250	49	1493065 49	2875000 50	3142857 49*	9282372 47	9873612 49	3373149 49
6500	49	1418636 49	2850000 50	2527472 49*	9539329 47	9855894 49	3166516 49
6750	49	1351949 49	2825000 50	1957672 49*	9803654 47	9837959 49	2981200 49
7000	49	1291961 49	2800000 50	1428571 49*	1007548 48	9819805 49	2814272 49
7250	49	1237802 49	2775000 50	9359600 48*	1035494 48	9801426 49	2663292 49
7500	49	1188740 49	2750000 50	4761900 48*	1064216 48	9782818 49	2526209 49
7750	49	1144156 49	2725000 50	4608300 47*	1093727 48	9763978 49	2401304 49
8000	49	1103524 49	2700000 50	3571430 48	1124040 48	9744900 49	2287108 49
8250	49	1066394 49	2675000 50	7359310 48	1155169 48	9725581 49	2182366 49
8500	49	1032379 49	2650000 50	1092437 49	1187127 48	9706014 49	2086012 49
8750	49	1001145 49	2625000 50	1428572 49	1219925 48	9686196 49	1997124 49
9000	49	9724035 48	2600000 50	1746032 49	1253578 48	9666121 49	1914898 49
9250	49	9459013 48	2575000 50	2046332 49	1288099 48	9645784 49	1838641 49
9500	49	9214184 48	2550000 50	2330827 49	1323500 48	9625179 49	1767744 49
9750	49	8987611 48	2525000 50	2600733 49	1359795 48	9604303 49	1701682 49
1000	50	8777593 48	2500000 50	2857143 49	1396997 48	9583148 49	1639985 49
1100	50	8075354 48	2400000 50	3766234 49	1555131 48	9495629 49	1429295 49
1200	50	7543385 48	2300000 50	4523810 49	1728816 48	9403167 49	1262724 49
1300	50	7134157 48	2200000 50	5164835 49	1918887 48	9305316 49	1127466 49
1400	50	6815910 48	2100000 50	5714286 49	2126180 48	9201575 49	1015043 49
1500	50	6566708 48	2000000 50	6190476 49	2351529 48	9091372 49	9196621 48
1600	50	6370978 48	1900000 50	6607143 49	2595770 48	8974059 49	8372505 48
1700	50	6217392 48	1800000 50	6974790 49	2859737 48	8848892 49	7648839 48
1800	50	6097536 48	1700000 50	7301587 49	3144267 48	8715013 49	7004177 48
1900	50	6005046 48	1600000 50	7593985 49	3450195 48	8571428 49	6422524 48
2000	50	5935027 48	1500000 50	7857143 49	3778355 48	8416975 49	5891773 48
2100	50	5883659 48	1400000 50	8095238 49	4129583 48	8250286 49	5402634 48
2200	50	5847925 48	1300000 50	8311688 49	4504714 48	8069733 49	4947891 48

Compton Cross Sections vs Energy of Scattered Quantum

35 γ' 50 $=\gamma$	$\sigma_3(\gamma')/\phi_0$	E	w	$\sigma_1(w,\phi)/\phi_0$	w'	$\sigma_4(w',\phi)/\phi_0$
2300 50	5825408 48	1200000 50	8509317 49	4904584 48	7873359 49	4521864 48
2400 50	5814157 48	1100000 50	8690476 49	5330026 48	7658786 49	4120039 48
2500 50	5812578 48	1000000 50	8857143 49	5781878 48	7423074 49	3738748 48
2600 50	5819358 48	9000000 49	9010989 49	6260973 48	7162534 49	3374962 48
2700 50	5833406 48	8000000 49	9153439 49	6768148 48	6872432 49	3026077 48
2800 50	5853811 48	7000000 49	9285714 49	7304237 48	6546537 49	2689733 48
2900 50	5879803 48	6000000 49	9408867 49	7870076 48	6176371 49	2363601 48
3000 50	5910732 48	5000000 49	9523810 49	8466500 48	5749887 49	2045085 48
3100 50	5946039 48	4000000 49	9631336 49	9094342 48	5248908 49	1730815 48
3200 50	5985250 48	3000000 49	9732143 49	9754441 48	4643453 49	1415501 48
3300 50	6027952 48	2000000 49	9826840 49	1044763 49	3876572 49	1088915 48
3400 50	6073788 48	1000000 49	9915966 49	1117474 49	2805664 49	7235449 47
3500 50	6122449 48	0000000 00	1000000 50	1193662 49	0000000 00	0000000 00

40 γ'	50 $=\gamma$	$\sigma_3(\gamma')/\phi_0$	E	w	$\sigma_1(w,\phi)/\phi_0$	w'	$\sigma_4(w',\phi)/\phi_0$
4444	49	2135416 49	3555555 50	1000000 50*	6713385 47	1000000 50	6713385 49
4600	49	2030687 49	3540000 50	9239130 49*	6838784 47	9992099 49	6343364 49
4800	49	1909635 49	3520000 50	8333333 49*	7002499 47	9981867 49	5916163 49
5000	49	1801757 49	3500000 50	7500000 49*	7168966 47	9971550 49	5535850 49
5200	49	1705157 49	3480000 50	6730769 49*	7338231 47	9961147 49	5195596 49
5400	49	1618273 49	3460000 50	6018519 49*	7510339 47	9950656 49	4889782 49
5600	49	1539807 49	3440000 50	5357143 49*	7685333 47	9940077 49	4613749 49
5800	49	1468677 49	3420000 50	4741379 49*	7863259 47	9929409 49	4363639 49
6000	49	1403971 49	3400000 50	4166667 49*	8044163 47	9918650 49	4136176 49
6200	49	1344916 49	3380000 50	3629032 49*	8228088 47	9907799 49	3928592 49
6400	49	1290857 49	3360000 50	3125000 49*	8415078 47	9896856 49	3738567 49
6600	49	1241229 49	3340000 50	2651515 49*	8605180 47	9885818 49	3564077 49
6800	49	1195549 49	3320000 50	2205882 49*	8798438 47	9874684 49	3403411 49
7000	49	1153400 49	3300000 50	1785714 49*	8994896 47	9863454 49	3255071 49
7200	49	1114417 49	3280000 50	1388889 49*	9194599 47	9852126 49	3117782 49
7400	49	1078283 49	3260000 50	1013514 49*	9397593 47	9840698 49	2990409 49
7600	49	1044723 49	3240000 50	6578950 48*	9603921 47	9829170 49	2871976 49
7800	49	1013492 49	3220000 50	3205130 48*	9813629 47	9817540 49	2761621 49
8000	49	9843750 48	3200000 50	0000000	1002676 48	9805806 49	2658585 49
8200	49	9571824 48	3180000 50	3048780 48	1024336 48	9793968 49	2562198 49
8400	49	9317456 48	3160000 50	5952380 48	1046347 48	9782023 49	2471869 49
8600	49	9079144 48	3140000 50	8720930 48	1068715 48	9769971 49	2387065 49
8800	49	8855549 48	3120000 50	1136364 49	1091442 48	9757809 49	2307321 49
9000	49	8645471 48	3100000 50	1388889 49	1114535 48	9745536 49	2232210 49
9200	49	8447834 48	3080000 50	1630435 49	1137997 48	9733152 49	2161355 49
9400	49	8261668 48	3060000 50	1861702 49	1161832 48	9720653 49	2094423 49
9600	49	8086100 48	3040000 50	2083333 49	1186046 48	9708039 49	2031103 49
9800	49	7920340 48	3020000 50	2295918 49	1210643 48	9695308 49	1971119 49
1000	50	7763671 48	3000000 50	2500000 49	1235626 48	9682458 49	1914224 49
1100	50	7095896 48	2900000 50	3409091 49	1366509 48	9616365 49	1668823 49
1200	50	6578775 48	2800000 50	4166667 49	1507744 48	9547032 49	1473995 49
1300	50	6171239 48	2700000 50	4807692 49	1659889 48	9474209 49	1315562 49
1400	50	5845623 48	2600000 50	5357143 49	1823505 48	9397617 49	1184034 49
1500	50	5582682 48	2500000 50	5833333 49	1999150 48	9316950 49	1072857 49
1600	50	5368652 48	2400000 50	6250000 49	2187385 48	9231861 49	9773721 48
1700	50	5193454 48	2300000 50	6617647 49	2388769 48	9141968 49	8941968 48
1800	50	5049551 48	2200000 50	6944444 49	2603861 48	9046836 49	8208207 48
1900	50	4931207 48	2100000 50	7236842 49	2833222 48	8945976 49	7553510 48
2000	50	4833984 48	2000000 50	7500000 49	3077410 48	8838834 49	6963384 48
2500	50	4564453 48	1500000 50	8500000 49	4540345 48	8183170 49	4660651 48
3000	50	4508463 48	1000000 50	9166667 49	6457898 48	7216877 49	2982773 48
3500	50	4564931 48	5000000 49	9642857 49	8900009 48	5590170 49	1624574 48
4000	50	4687500 48	0000000 00	1000000 50	1193662 49	0000000 00	0000000 00

45 γ'	50=γ	$\sigma_3(\gamma')/\phi_0$	E	w	$\sigma_1(w,\phi)/\phi_0$	w'	$\sigma_4(w',\phi)/\phi_0$
4500	49	1870370 49	4050000 50	1000000 50*	6027993 47	1000000 50	7293871 49
4600	49	1813064 49	4040000 50	9516908 49*	6105889 47	9995911 49	7044168 49
4800	49	1707996 49	4020000 50	8611111 49*	6263102 47	9987687 49	6586654 49
5000	49	1614083 49	4000000 50	7777778 49*	6422233 47	9979402 49	6178073 49
5200	49	1529740 49	3980000 50	7008547 49*	6583314 47	9971055 49	5811405 49
5400	49	1453660 49	3960000 50	6296297 49*	6746377 47	9962644 49	5480882 49
5600	49	1384755 49	3940000 50	5634921 49*	6911453 47	9954170 49	5181681 49
5800	49	1322116 49	3920000 50	5019157 49*	7078575 47	9945631 49	4909818 49
6000	49	1264974 49	3900000 50	4444445 49*	7247771 47	9937027 49	4661889 49
6200	49	1212680 49	3880000 50	3906810 49*	7419077 47	9928356 49	4435049 49
6400	49	1164678 49	3860000 50	3402778 49*	7592520 47	9919619 49	4226842 49
6600	49	1120491 49	3840000 50	2929293 49*	7768134 47	9910814 49	4035182 49
6800	49	1079711 49	3820000 50	2483660 49*	7945949 47	9901941 49	3858280 49
7000	49	1041982 49	3800000 50	2063492 49*	8125999 47	9892999 49	3694570 49
7200	49	1006995 49	3780000 50	1666667 49*	8308312 47	9883986 49	3542709 49
7400	49	9744814 48	3760000 50	1291292 49*	8492921 47	9874903 49	3401503 49
7600	49	9442029 48	3740000 50	9356730 48*	8679859 47	9865748 49	3269936 49
7800	49	9159524 48	3720000 50	5982910 48*	8869155 47	9856520 49	3147082 49
8000	49	8895461 48	3700000 50	2777780 48*	9060843 47	9847219 49	3032158 49
8200	49	8648211 48	3680000 50	2710000 47	9254951 47	9837843 49	2924440 49
8400	49	8416328 48	3660000 50	3174600 48	9451514 47	9828392 49	2823304 49
8600	49	8198520 48	3640000 50	5943150 48	9650560 47	9818865 49	2728189 49
8800	49	7993636 48	3620000 50	8585860 48	9852124 47	9809261 49	2638597 49
9000	49	7800640 48	3600000 50	1111111 49	1005623 48	9799578 49	2554074 49
9200	49	7618602 48	3580000 50	1352657 49	1026292 48	9789817 49	2474218 49
9400	49	7446687 48	3560000 50	1583924 49	1047222 48	9779975 49	2398670 49
9600	49	7284136 48	3540000 50	1805555 49	1068416 48	9770053 49	2327094 49
9800	49	7130265 48	3520000 50	2018140 49	1089878 48	9760048 49	2259204 49
1000	50	6984453 48	3500000 50	2222222 49	1111610 48	9749960 49	2194727 49
1100	50	6358156 48	3400000 50	3131313 49	1224437 48	9698236 49	1915716 49
1200	50	5866483 48	3300000 50	3888889 49	1344499 48	9644266 49	1693239 49
1300	50	5473386 48	3200000 50	4529914 49	1472186 48	9587900 49	1511841 49
1400	50	5154437 48	3100000 50	5079365 49	1607894 48	9528969 49	1361090 49
1500	50	4892546 48	3000000 50	5555555 49	1752014 48	9467292 49	1233730 49
1600	50	4676425 48	2900000 50	5972222 49	1904940 48	9402668 49	1124564 49
1700	50	4494029 48	2800000 50	6339869 49	2067063 48	9334876 49	1029785 49
1800	50	4341563 48	2700000 50	6666666 49	2238779 48	9263671 49	9465527 48
1900	50	4212831 48	2600000 50	6959064 49	2420479 48	9188781 49	8727049 48
2000	50	4103794 48	2500000 50	7222222 49	2612557 48	9109906 49	8065742 48
2500	50	3762231 48	2000000 50	8222222 49	3742360 48	8642416 49	5542689 48
3000	50	3623685 48	1500000 50	8888889 49	5190547 48	8001322 49	3784147 48
3500	50	3593591 48	1000000 50	9365079 49	7006238 48	7056504 49	2431536 48
4000	50	3627971 48	5000000 49	9722222 49	9238554 48	5465945 49	1320472 48
4500	50	3703703 48	0000000 00	1000000 50	1193662 49	0000000 00	0000000 00

$50\ \gamma'$	$50=\gamma$	$\sigma_3(\gamma')/\phi_0$	E	w	$\sigma_1(w,\phi)/\phi_0$	w'	$\sigma_4(w',\phi)/\phi_0$
4545	49	1663636 49	4545454 50	1000000 50*	5470577 47	1000000 50	7877631 49
4600	49	1636510 49	4540000 50	9739130 49*	5511307 47	9998165 49	7734858 49
4800	49	1543941 49	4520000 50	8833333 49*	5661526 47	9991407 49	7247865 49
5000	49	1461000 49	4500000 50	8000000 49*	5813134 47	9984603 49	6811858 49
5200	49	1386333 49	4480000 50	7230769 49*	5966155 47	9977753 49	6419609 49
5400	49	1318825 49	4460000 50	6518519 49*	6120614 47	9970855 49	6065164 49
5600	49	1257544 49	4440000 50	5857143 49*	6276531 47	9963910 49	5743579 49
5800	49	1201711 49	4420000 50	5241379 49*	6433930 47	9956916 49	5450702 49
6000	49	1150666 49	4400000 50	4666667 49*	6592834 47	9949874 49	5183041 49
6200	49	1103850 49	4380000 50	4129032 49*	6753266 47	9942783 49	4937616 49
6400	49	1060786 49	4360000 50	3625000 49*	6915249 47	9935641 49	4711891 49
6600	49	1021061 49	4340000 50	3151515 49*	7078805 47	9928450 49	4503699 49
6800	49	9843238 48	4320000 50	2705882 49*	7243959 47	9921208 49	4311157 49
7000	49	9502653 48	4300000 50	2285714 49*	7410731 47	9913915 49	4132651 49
7200	49	9186185 48	4280000 50	1888889 49*	7579146 47	9906569 49	3966757 49
7400	49	8891496 48	4260000 50	1513514 49*	7749227 47	9899172 49	3812235 49
7600	49	8616531 48	4240000 50	1157895 49*	7920996 47	9891721 49	3668012 49
7800	49	8359483 48	4220000 50	8205130 48*	8094476 47	9884217 49	3533137 49
8000	49	8118750 48	4200000 50	5000000 48*	8269690 47	9876658 49	3406751 49
8200	49	7892912 48	4180000 50	1951220 48*	8446661 47	9869045 49	3288113 49
8400	49	7680707 48	4160000 50	9523800 47	8625413 47	9861376 49	3176563 49
8600	49	7481007 48	4140000 50	3720930 48	8805967 47	9853652 49	3071508 49
8800	49	7292801 48	4120000 50	6363640 48	8988348 47	9845871 49	2972412 49
9000	49	7115185 48	4100000 50	8888890 48	9172576 47	9838032 49	2878802 49
9200	49	6947342 48	4080000 50	1130435 49	9358677 47	9830136 49	2790247 49
9400	49	6788536 48	4060000 50	1361702 49	9546672 47	9822181 49	2706369 49
9600	49	6638104 48	4040000 50	1583333 49	9736584 47	9814167 49	2626813 49
9800	49	6495441 48	4020000 50	1795918 49	9928437 47	9806093 49	2551263 49
1000	50	6360000 48	4000000 50	2000000 49	1012225 48	9797959 49	2479435 49
1100	50	5775124 48	3900000 50	2909091 49	1112158 48	9756353 49	2167756 49
1200	50	5311666 48	3800000 50	3666667 49	1217344 48	9713126 49	1918241 49
1300	50	4937574 48	3700000 50	4307692 49	1328068 48	9668179 49	1714217 49
1400	50	4631020 48	3600000 50	4857143 49	1444617 48	9621404 49	1544362 49
1500	50	4376666 48	3500000 50	5333333 49	1567278 48	9572688 49	1400749 49
1600	50	4163437 48	3400000 50	5750000 49	1696337 48	9521904 49	1277677 49
1700	50	3983148 48	3300000 50	6117647 49	1832080 48	9468916 49	1170944 49
1800	50	3829629 48	3200000 50	6444444 49	1974794 48	9413574 49	1077397 49
1900	50	3698144 48	3100000 50	6736842 49	2124766 48	9355715 49	9946241 48
2000	50	3585000 48	3000000 50	7000000 49	2282281 48	9295160 49	9207541 48
2500	50	3210000 48	2500000 50	8000000 49	3193046 48	8944271 49	6425881 48
3000	50	3026666 48	2000000 50	8666667 49	4335380 48	8485281 49	4541594 48
3500	50	2946734 48	1500000 50	9142857 49	5745095 48	7855844 49	3134207 48
4000	50	2928750 48	1000000 50	9500000 49	7458000 48	6928203 49	2018380 48
4500	50	2950740 48	5000000 49	9777778 49	9509905 48	5366561 49	1093867 48
5000	50	3000000 48	0000000 00	1000000 50	1193662 49	0000000 00	0000000 00

γ' 55	$\gamma = 50$	$\sigma_8(\gamma')/\phi_0$	E	w	$\sigma_1(w,\phi)/\phi_0$	w'	$\sigma_4(w',\phi)/\phi_0$
4583	49	1497933 49	5041666 50	1000000 50*	5008130 47	1000000 50	8463740 49
4600	49	1490629 49	5040000 50	9920948 49*	5020020 47	9999530 49	8418085 49
4800	49	1408058 49	5020000 50	9015151 49*	5163250 47	9993876 49	7902192 49
5000	49	1333925 49	5000000 50	8181818 49*	5307520 47	9988186 49	7439325 49
5200	49	1267057 49	4980000 50	7412587 49*	5452846 47	9982461 49	7022045 49
5400	49	1206485 49	4960000 50	6700337 49*	5599246 47	9976699 49	6644254 49
5600	49	1151397 49	4940000 50	6038961 49*	5746737 47	9970901 49	6300834 49
5800	49	1101114 49	4920000 50	5423197 49*	5895337 47	9965065 49	5987471 49
6000	49	1055062 49	4900000 50	4848485 49*	6045061 47	9959193 49	5700577 49
6200	49	1012751 49	4880000 50	4310850 49*	6195928 47	9953283 49	5437067 49
6400	49	9737643 48	4860000 50	3806818 49*	6347956 47	9947335 49	5194308 49
6600	49	9377410 48	4840000 50	3333333 49*	6501161 47	9941348 49	4970026 49
6800	49	9043710 48	4820000 50	2887700 49*	6655559 47	9935323 49	4762294 49
7000	49	8733846 48	4800000 50	2467532 49*	6811170 47	9929258 49	4569391 49
7200	49	8445466 48	4780000 50	2070707 49*	6968010 47	9923154 49	4389872 49
7400	49	8176511 48	4760000 50	1695332 49*	7126095 47	9917011 49	4222417 49
7600	49	7925172 48	4740000 50	1339713 49*	7285443 47	9910826 49	4065905 49
7800	49	7689851 48	4720000 50	1002331 49*	7446072 47	9904602 49	3919335 49
8000	49	7469136 48	4700000 50	6818180 48*	7608000 47	9898336 49	3781821 49
8200	49	7261771 48	4680000 50	3769400 48*	7771241 47	9892028 49	3652580 49
8400	49	7066637 48	4660000 50	8658000 47*	7935814 47	9885679 49	3530909 49
8600	49	6882736 48	4640000 50	1902750 48	8101738 47	9879287 49	3416186 49
8800	49	6709172 48	4620000 50	4545460 48	8269027 47	9872852 49	3307851 49
9000	49	6545140 48	4600000 50	7070710 48	8437701 47	9866374 49	3205408 49
9200	49	6389916 48	4580000 50	9486170 48	8607775 47	9859853 49	3108395 49
9400	49	6242843 48	4560000 50	1179884 49	8779268 47	9853287 49	3016410 49
9600	49	6103332 48	4540000 50	1401515 49	8952197 47	9846677 49	2929077 49
9800	49	5970842 48	4520000 50	1614100 49	9126577 47	9840022 49	2846071 49
1000	50	5844887 48	4500000 50	1818182 49	9302427 47	9833321 49	2767082 49
1100	50	5298818 48	4400000 50	2727273 49	1020433 48	9799118 49	2423509 49
1200	50	4863169 48	4300000 50	3484849 49	1114556 48	9763704 49	2147503 49
1300	50	4509125 48	4200000 50	4125874 49	1212827 48	9727012 49	1921207 49
1400	50	4216987 48	4100000 50	4675325 49	1315462 48	9688971 49	1732440 49
1500	50	3972861 48	4000000 50	5151515 49	1422676 48	9649505 49	1572641 49
1600	50	3766680 48	3900000 50	5568182 49	1534683 48	9608530 49	1435616 49
1700	50	3590982 48	3800000 50	5935829 49	1651700 48	9565957 49	1316789 49
1800	50	3440123 48	3700000 50	6262626 49	1773941 48	9521691 49	1212709 49
1900	50	3309762 48	3600000 50	6555024 49	1901621 48	9475625 49	1120726 49
2000	50	3196503 48	3500000 50	6818182 49	2034957 48	9427647 49	1038777 49
2500	50	2808824 48	3000000 50	7818182 49	2793989 48	9154324 49	7325035 48
3000	50	2601712 48	2500000 50	8484849 49	3726678 48	8808752 49	5288314 48
3500	50	2492720 48	2000000 50	8961039 49	4859927 48	8356716 49	3797939 48
4000	50	2442840 48	1500000 50	9318182 49	6220641 48	7736815 49	2638226 48
4500	50	2431275 48	1000000 50	9595960 49	7835726 48	6823228 49	1701315 48
5000	50	2445939 48	5000000 49	9818182 49	9732084 48	5285249 49	9206823 47
5500	50	2479338 48	0000000 00	1000000 50	1193662 49	0000000 00	0000000 00

Compton Cross Sections vs Energy of Scattered Quantum

60 γ'	50 $=\gamma$	$\sigma_3(\gamma')/\phi_0$	E	w	$\sigma_1(w,\phi)/\phi_0$	w'	$\sigma_4(w',\phi)/\phi_0$
4615	49	1362179 49	5538461 50	1000000 50*	4618173 47	1000000 50	9051620 49
4800	49	1293779 49	5520000 50	9166666 49*	4744196 47	9995566 49	8551255 49
5000	49	1226851 49	5500000 50	8333333 49*	4881488 47	9990736 49	8061921 49
5200	49	1166383 49	5480000 50	7564102 49*	5019590 47	9985878 49	7620036 49
5400	49	1111519 49	5460000 50	6851852 49*	5158516 47	9980991 49	7219295 49
5600	49	1061545 49	5440000 50	6190476 49*	5298279 47	9976076 49	6854419 49
5800	49	1015861 49	5420000 50	5574712 49*	5438893 47	9971132 49	6520981 49
6000	49	9739583 48	5400000 50	5000000 49*	5580370 47	9966158 49	6215237 49
6200	49	9354041 48	5380000 50	4462365 49*	5722723 47	9961156 49	5934010 49
6400	49	8998282 48	5360000 50	3958333 49*	5865967 47	9956123 49	5674557 49
6600	49	8669115 48	5340000 50	3484848 49*	6010115 47	9951061 49	5434539 49
6800	49	8363782 48	5320000 50	3039215 49*	6155178 47	9945968 49	5211923 49
7000	49	8079885 48	5300000 50	2619047 49*	6301173 47	9940844 49	5004962 49
7200	49	7815329 48	5280000 50	2222222 49*	6448109 47	9935690 49	4812097 49
7400	49	7568281 48	5260000 50	1846847 49*	6596002 47	9930505 49	4631998 49
7600	49	7337126 48	5240000 50	1491228 49*	6744865 47	9925288 49	4463476 49
7800	49	7120439 48	5220000 50	1153846 49*	6894711 47	9920040 49	4305480 49
8000	49	6916956 48	5200000 50	8333330 48*	7045553 47	9914760 49	4157082 49
8200	49	6725555 48	5180000 50	5284550 48*	7197405 47	9909447 49	4017472 49
8400	49	6545233 48	5160000 50	2380950 48*	7350279 47	9904102 49	3885907 49
8600	49	6375096 48	5140000 50	3876000 47	7504188 47	9898724 49	3761742 49
8800	49	6214340 48	5120000 50	3030310 48	7659149 47	9893313 49	3644376 49
9000	49	6062243 48	5100000 50	5555560 48	7815170 47	9887868 49	3533288 49
9200	49	5918152 48	5080000 50	7971020 48	7972268 47	9882390 49	3428001 49
9400	49	5781480 48	5060000 50	1028369 49	8130455 47	9876878 49	3328084 49
9600	49	5651692 48	5040000 50	1250000 49	8289744 47	9871331 49	3233151 49
9800	49	5528306 48	5020000 50	1462585 49	8450148 47	9865749 49	3142841 49
1000	50	5410879 48	5000000 50	1666667 49	8611683 47	9860132 49	3056842 49
1100	50	4900233 48	4900000 50	2575758 49	9436745 47	9831511 49	2682017 49
1200	50	4490741 48	4800000 50	3333334 49	1029202 48	9801960 49	2379991 49
1300	50	4156257 48	4700000 50	3974359 49	1117916 48	9771434 49	2131751 49
1400	50	3878850 48	4600000 50	4523810 49	1209982 48	9739882 49	1924292 49
1500	50	3645833 48	4500000 50	5000000 49	1305567 48	9707253 49	1748422 49
1600	50	3447989 48	4400000 50	5416667 49	1404837 48	9673488 49	1597479 49
1700	50	3278466 48	4300000 50	5784314 49	1507956 48	9638528 49	1466524 49
1800	50	3132073 48	4200000 50	6111111 49	1615091 48	9602307 49	1351815 49
1900	50	3004802 48	4100000 50	6403509 49	1726407 48	9564753 49	1250477 49
2000	50	2893518 48	4000000 50	6666667 49	1842071 48	9525793 49	1160262 49
2500	50	2504629 48	3500000 50	7666667 49	2491401 48	9306780 49	8245077 48
3000	50	2285879 48	3000000 50	8333334 49	3274281 48	9036960 49	6038680 48
3500	50	2160100 48	2500000 50	8809524 49	4211434 48	8695819 49	4447703 48
4000	50	2090567 48	2000000 50	9166667 49	5323585 48	8249578 49	3226578 48
4500	50	2057613 48	1500000 50	9444445 49	6631456 48	7637624 49	2251045 48
5000	50	2049768 48	1000000 50	9666667 49	8155769 48	6735751 49	1452979 48
5500	50	2059898 48	5000000 49	9848485 49	9917250 48	5217490 49	7854413 47
6000	50	2083333 48	0000000 00	1000000 50	1193662 49	0000000 00	0000000 00

65 50 = γ γ'	$\sigma_3(\gamma')/\phi_0$	E	w	$\sigma_1(w,\phi)/\phi_0$	w'	$\sigma_4(w',\phi)/\phi_0$
4642 49	1248943 49	6035714 50	1000000 50*	4284829 47	1000000 50	9640865 49
4800 49	1196401 49	60200000 50	9294871 49*	4387121 47	9996753 49	91962246 49
5000 49	1135464 49	60000000 50	8461538 49*	4517869 47	9992600 49	86806960 49
5200 49	1080329 49	59800000 50	7692307 49*	4649253 47	9988425 49	82145380 49
5400 49	1030236 49	59600000 50	6980057 49*	4781282 47	9984228 49	77911510 49
5600 49	9845461 48	59400000 50	6318681 49*	4913967 47	9980007 49	74051190 49
5800 49	9427243 48	59200000 50	5702917 49*	5047319 47	9975764 49	70518960 49
6000 49	9043158 48	59000000 50	5128205 49*	5181348 47	9971497 49	67275850 49
6200 49	8689339 48	58800000 50	4590570 49*	5316064 47	9967206 49	64289020 49
6400 49	8362463 48	58600000 50	4086538 49*	5451478 47	9962892 49	61530280 49
6600 49	8059672 48	58400000 50	3613053 49*	5587601 47	9958554 49	58975300 49
6800 49	7778488 48	58200000 50	3167420 49*	5724443 47	9954192 49	56602930 49
7000 49	7516757 48	58000000 50	2747252 49*	5862013 47	9949805 49	54394920 49
7200 49	7272596 48	57800000 50	2350427 49*	6000322 47	9945394 49	52335340 49
7400 49	7044353 48	57600000 50	1975052 49*	6139382 47	9940959 49	50410040 49
7600 49	6830574 48	57400000 50	1619433 49*	6279203 47	9936498 49	48606740 49
7800 49	6629973 48	57200000 50	1282051 49*	6419794 47	9932012 49	46914570 49
8000 49	6441410 48	57000000 50	9615380 48*	6561166 47	9927501 49	45323830 49
8200 49	6263871 48	56800000 50	6566600 48*	6703331 47	9922965 49	43825910 49
8400 49	6096450 48	56600000 50	3663000 48*	6846297 47	9918402 49	42413140 49
8600 49	5938337 48	56400000 50	8944500 47*	6990076 47	9913814 49	41078660 49
8800 49	5788804 48	56200000 50	1748260 48	7134678 47	9909199 49	39816360 49
9000 49	5647198 48	56000000 50	4273510 48	7280114 47	9904558 49	38620620 49
9200 49	5512925 48	55800000 50	6688970 48	7426393 47	9899890 49	37486560 49
9400 49	5385454 48	55600000 50	9001640 48	7573527 47	9895196 49	36409520 49
9600 49	5264298 48	55400000 50	1121795 49	7721525 47	9890474 49	35385440 49
9800 49	5149018 48	55200000 50	1334380 49	7870399 47	9885725 49	34410650 49
1000 50	5039214 48	55000000 50	1538462 49	8020158 47	9880948 49	33481740 49
1100 50	4560556 48	54000000 50	2447553 49	8782604 47	9856640 49	29426240 49
1200 50	4175157 48	53000000 50	3205129 49	9568755 47	9831604 49	26149710 49
1300 50	3859108 48	52000000 50	3846154 49	1037991 48	9805806 49	23450920 49
1400 50	3593965 48	51000000 50	4395605 49	1121739 48	9779211 49	21191430 49
1500 50	3374064 48	50000000 50	4871795 49	1208248 48	9751779 49	19273360 49
1600 50	3184910 48	49000000 50	5288462 49	1297649 48	9723472 49	17625470 49
1700 50	3022174 48	48000000 50	5656109 49	1390072 48	9694246 49	16194800 49
1800 50	2881052 48	47000000 50	5982906 49	1485649 48	9664055 49	14941150 49
1900 50	2757829 48	46000000 50	6275304 49	1584509 48	9632851 49	13833570 49
2000 50	2649592 48	45000000 50	6538462 49	1686782 48	9600580 49	12847760 49
2500 50	2265887 48	40000000 50	7538462 49	2253919 48	9421114 49	09186863 48
3000 50	2042704 48	35000000 50	8205129 49	2925957 48	9204507 49	06799161 48
3500 50	1907624 48	30000000 50	8681319 49	3719197 48	8937653 49	05095426 48
4000 50	1826025 48	25000000 50	9038462 49	4649937 48	8600260 49	03801611 48
4500 50	1779297 48	20000000 50	9316240 49	5734476 48	8158923 49	02776670 48
5000 50	1756556 48	15000000 50	9538462 49	6989115 48	7553694 49	01943058 48
5500 50	1751015 48	10000000 50	9720280 49	8430152 48	6661732 49	01254999 48
6000 50	1753225 48	05000000 49	9871795 49	1007388 49	5160155 49	00677862 47
6500 50	1775147 48	00000000 00	1000000 50	1193662 49	00000000 00	00000000 00

Compton Cross Sections vs Energy of Scattered Quantum

$70 \frac{50}{\gamma'} = \gamma$	$\sigma_3(\gamma')/\phi_0$	E	w	$\sigma_1(w,\phi)/\phi_0$	w'	$\sigma_4(w',\phi)/\phi_0$
4666 49	1153061 49	6533333 50	1000000 50*	3996557 47	1000000 50	1023118 50
4800 49	1112479 49	6520000 50	9404762 49*	4079384 47	9997604 49	9837982 49
5000 49	1056591 49	6500000 50	8571429 49*	4204042 47	9993995 49	9296502 49
5200 49	1005961 49	6480000 50	7802198 49*	4329206 47	9990368 49	8806261 49
5400 49	9599065 48	6460000 50	7089948 49*	4454886 47	9986723 49	8360383 49
5600 49	9178518 48	6440000 50	6428572 49*	4581089 47	9983059 49	7953512 49
5800 49	8793144 48	6420000 50	5812808 49*	4707825 47	9979376 49	7580667 49
6000 49	8438844 48	6400000 50	5238096 49*	4835102 47	9975675 49	7238030 49
6200 49	8112119 48	6380000 50	4700461 49*	4962927 47	9971954 49	6922116 49
6400 49	7809970 48	6360000 50	4196429 49*	5091309 47	9968214 49	6630034 49
6600 49	7529808 48	6340000 50	3722944 49*	5220257 47	9964455 49	6359248 49
6800 49	7269388 48	6320000 50	3277311 49*	5349779 47	9960676 49	6107582 49
7000 49	7026759 48	6300000 50	2857143 49*	5479883 47	9956877 49	5873142 49
7200 49	6800212 48	6280000 50	2460318 49*	5610577 47	9953059 49	5654263 49
7400 49	6588247 48	6260000 50	2084943 49*	5741872 47	9949221 49	5449487 49
7600 49	6389543 48	6240000 50	1729324 49*	5873772 47	9945362 49	5257518 49
7800 49	6202930 48	6220000 50	1391942 49*	6006289 47	9941484 49	5077242 49
8000 49	6027371 48	6200000 50	1071429 49*	6139429 47	9937585 49	4907641 49
8200 49	5861941 48	6180000 50	7665510 48*	6273203 47	9933665 49	4747812 49
8400 49	5705816 48	6160000 50	4761910 48*	6407616 47	9929725 49	4596973 49
8600 49	5558256 48	6140000 50	1993360 48*	6542679 47	9925763 49	4454387 49
8800 49	5418598 48	6120000 50	6493500 47	6678400 47	9921781 49	4319410 49
9000 49	5286242 48	6100000 50	3174600 48	6814786 47	9917777 49	4191487 49
9200 49	5160649 48	6080000 50	5590060 48	6951846 47	9913752 49	4070064 49
9400 49	5041331 48	6060000 50	7902730 48	7089588 47	9909705 49	3954688 49
9600 49	4927843 48	6040000 50	1011904 49	7228023 47	9905636 49	3844926 49
9800 49	4819783 48	6020000 50	1224489 49	7367155 47	9901546 49	3740378 49
1000 50	4716784 48	6000000 50	1428571 49	7506995 47	9897433 49	3640700 49
1100 50	4266907 48	5900000 50	2337662 49	8217103 47	9876530 49	3204855 49
1200 50	3903494 48	5800000 50	3095238 49	8946151 47	9855045 49	2851922 49
1300 50	3604535 48	5700000 50	3736263 49	9695186 47	9832954 49	2560655 49
1400 50	3354852 48	5600000 50	4285714 49	1046524 48	9810229 49	2316414 49
1500 50	3143655 48	5500000 50	4761904 49	1125738 48	9786844 49	2108806 49
1600 50	2963071 48	5400000 50	5178571 49	1207264 48	9762768 49	1930256 49
1700 50	2807226 48	5300000 50	5546218 49	1291205 48	9737970 49	1775120 49
1800 50	2671649 48	5200000 50	5873015 49	1377668 48	9712418 49	1639109 49
1900 50	2552879 48	5100000 50	6165413 49	1466755 48	9686075 49	1518906 49
2000 50	2448198 48	5000000 50	6428571 49	1558571 48	9658905 49	1411909 49
2500 50	2073198 48	4500000 50	7428571 49	2062248 48	9509146 49	1014952 49
3000 50	1849923 48	4000000 50	8095238 49	2649820 48	9331389 49	7572491 48
3500 50	1710224 48	3500000 50	8571428 49	3334336 48	9116846 49	5747244 48
4000 50	1621394 48	3000000 50	8928571 49	4128847 48	8852533 49	4372531 48
4500 50	1565801 48	2500000 50	9206349 49	5046403 48	8518354 49	3291197 48
5000 50	1533111 48	2000000 50	9428571 49	6100055 48	8081221 49	2415501 48
5500 50	1516865 48	1500000 50	9610389 49	7302852 48	7481758 49	1694040 48
6000 50	1512824 48	1000000 50	9761904 49	8667845 48	6598294 49	1094712 48

Compton Cross Sections vs Energy of Scattered Quantum

70 50 = γ'	$\sigma_3(\gamma')/\phi_0$	E	w	$\sigma_1(w,\phi)/\phi_0$	w'	$\sigma_4(w',\phi)/\phi_0$
6500 50	1518089 48	5000000 49	9890109 49	1020808 49	5111027 49	5909132 47
7000 50	1530612 48	0000000 00	1000000 50	1193662 49	0000000 00	0000000 00

Compton Cross Sections vs Energy of Scattered Quantum

75 γ'	50 $=\gamma$	$\sigma_3(\gamma')/\phi_0$	E	w	$\sigma_1(w,\phi)/\phi_0$	w'	$\sigma_4(w',\phi)/\phi_0$
4687	49	1070833 49	7031250 50	1000000 50*	3744765 47	1000000 50	1082237 50
4800	49	1039433 49	7020000 50	9500000 49*	3811529 47	9998226 49	1047701 50
5000	49	9878518 48	7000000 50	8666667 49*	3930537 47	9995060 49	9909875 49
5200	49	9410736 48	6980000 50	7897436 49*	4049957 47	9991879 49	9395655 49
5400	49	8984771 48	6960000 50	7185186 49*	4169795 47	9988684 49	8927641 49
5600	49	8595416 48	6940000 50	6523810 49*	4290057 47	9985472 49	8499925 49
5800	49	8238278 48	6920000 50	5908046 49*	4410751 47	9982246 49	8107682 49
6000	49	7909629 48	6900000 50	5333334 49*	4531884 47	9979004 49	7746872 49
6200	49	7606285 48	6880000 50	4795699 49*	4653461 47	9975746 49	7413936 49
6400	49	7325511 48	6860000 50	4291667 49*	4775490 47	9972472 49	7105822 49
6600	49	7064947 48	6840000 50	3818182 49*	4897979 47	9969183 49	6819874 49
6800	49	6822546 48	6820000 50	3372549 49*	5020933 47	9965877 49	6553963 49
7000	49	6596522 48	6800000 50	2952381 49*	5144359 47	9962556 49	6306019 49
7200	49	6385316 48	6780000 50	2555556 49*	5268264 47	9959218 49	6074377 49
7400	49	6187555 48	6760000 50	2180181 49*	5392655 47	9955864 49	5857480 49
7600	49	6002029 48	6740000 50	1824562 49*	5517539 47	9952493 49	5654026 49
7800	49	5827667 48	6720000 50	1487180 49*	5642922 47	9949106 49	5462819 49
8000	49	5663518 48	6700000 50	1166667 49*	5768812 47	9945701 49	5282814 49
8200	49	5508734 48	6680000 50	8617890 48*	5895214 47	9942281 49	5113079 49
8400	49	5362557 48	6660000 50	5714290 48*	6022137 47	9938843 49	4952773 49
8600	49	5224309 48	6640000 50	2945740 48*	6149587 47	9935388 49	4801163 49
8800	49	5093379 48	6620000 50	3030300 47*	6277569 47	9931915 49	4657562 49
9000	49	4969217 48	6600000 50	2222220 48	6406092 47	9928426 49	4521375 49
9200	49	4851327 48	6580000 50	4637680 48	6535162 47	9924918 49	4392041 49
9400	49	4739258 48	6560000 50	6950350 48	6664785 47	9921394 49	4269095 49
9600	49	4632601 48	6540000 50	9166660 48	6794970 47	9917851 49	4152055 49
9800	49	4530986 48	6520000 50	1129251 49	6925722 47	9914291 49	4040531 49
10000	50	4434073 48	6500000 50	1333333 49	7057047 47	9910712 49	3934144 49
11100	50	4010088 48	6400000 50	2242424 49	7722528 47	9892544 49	3468372 49
12200	50	3666666 48	6300000 50	3000000 49	8403380 47	9873903 49	3090447 49
13300	50	3383423 48	6200000 50	3641025 49	9100455 47	9854772 49	2778019 49
14400	50	3146273 48	6100000 50	4190476 49	9814602 47	9835129 49	2515655 49
15500	50	2945185 48	6000000 50	4666666 49	10546666 48	9814954 49	2292376 49
16600	50	2772823 48	5900000 50	5083333 49	11297508 48	9794226 49	2100156 49
17700	50	2623708 48	5800000 50	5450980 49	12067958 48	9772920 49	1933009 49
18800	50	2493662 48	5700000 50	5777777 49	12858878 48	9751012 49	1786379 49
19900	50	2379447 48	5600000 50	6070175 49	13671108 48	9728477 49	1656734 49
20000	50	2278518 48	5500000 50	6333333 49	14505508 48	9705286 49	1541304 49
25000	50	1914073 48	5000000 50	7333333 49	19039648 48	9578415 49	1113149 49
30000	50	1693333 48	4500000 50	8000000 49	24255218 48	9429903 49	8359517 48
35500	50	1551987 48	4000000 50	8476190 49	30258308 48	9253628 49	6406310 48
40000	50	1459073 48	3500000 50	8833333 49	37155018 48	9040872 49	4944452 48
45000	50	1397860 48	3000000 50	9111111 49	45051458 48	8778762 49	3801385 48
50000	50	1358518 48	2500000 50	9333333 49	54053738 48	8447368 49	2879500 48
55000	50	1334900 48	2000000 50	9515151 49	64267948 48	8013878 49	2120884 48
60000	50	1322962 48	1500000 50	9666666 49	75800188 48	7419411 49	1489906 48

75 50 = γ γ'	$\sigma_3(\gamma')/\phi_0$	E	w	$\sigma_1(w,\phi)/\phi_0$	w'	$\sigma_4(w',\phi)/\phi_0$
6500 50	1319938 48	1000000 50	9794871 49	8875658 48	6543310 49	9631634 47
7000 50	1323870 48	5000000 49	9904762 49	1032432 49	5068418 49	5196398 47
7500 50	1333333 48	0000000 00	1000000 50	1193662 49	0000000 00	0000000 00

Compton Cross Sections vs Energy of Scattered Quantum

$80\ 50 = \gamma$ γ'	$\sigma_3(\gamma')/\phi_0$	E	w	$\sigma_1(w,\phi)/\phi_0$	w'	$\sigma_4(w',\phi)/\phi_0$
4705 49	9995404 48	7529411 50	1000000 50*	3522918 47	1000000 50	1141425 50
4800 49	9752970 48	7520000 50	9583333 49*	3576345 47	9998686 49	1111392 50
5000 49	9274292 48	7500000 50	8750000 49*	3690123 47	9995887 49	1052116 50
5200 49	8839770 48	7480000 50	7980769 49*	3804239 47	9993075 49	9983276 49
5400 49	8443727 48	7460000 50	7268519 49*	3918698 47	9990250 49	9493075 49
5600 49	8081400 48	7440000 50	6607143 49*	4033507 47	9987412 49	9044752 49
5800 49	7748770 48	7420000 50	5991379 49*	4148670 47	9984562 49	8633355 49
6000 49	7442423 48	7400000 50	5416667 49*	4264194 47	9981698 49	8254506 49
6200 49	7159439 48	7380000 50	4879032 49*	4380084 47	9978822 49	7904574 49
6400 49	6897308 48	7360000 50	4375000 49*	4496345 47	9975932 49	7580540 49
6600 49	6653865 48	7340000 50	3901515 49*	4612984 47	9973029 49	7279632 49
6800 49	6427228 48	7320000 50	3455882 49*	4730006 47	9970113 49	6999577 49
7000 49	6215758 48	7300000 50	3035714 49*	4847416 47	9967184 49	6738253 49
7200 49	6018016 48	7280000 50	2638889 49*	4965219 47	9964241 49	6493959 49
7400 49	5832741 48	7260000 50	2263514 49*	5083423 47	9961284 49	6265070 49
7600 49	5658818 48	7240000 50	1907895 49*	5202032 47	9958314 49	6050215 49
7800 49	5495258 48	7220000 50	1570513 49*	5321051 47	9955330 49	5848177 49
8000 49	5341186 48	7200000 50	1250000 49*	5440487 47	9952332 49	5657871 49
8200 49	5195818 48	7180000 50	9451220 48*	5560345 47	9949320 49	5478328 49
8400 49	5058455 48	7160000 50	6547620 48*	5680631 47	9946294 49	5308663 49
8600 49	4928469 48	7140000 50	3779070 48*	5801349 47	9943253 49	5148107 49
8800 49	4805295 48	7120000 50	1136360 48*	5922507 47	9940199 49	4995973 49
9000 49	4688426 48	7100000 50	1388890 48	6044109 47	9937130 49	4851617 49
9200 49	4577402 48	7080000 50	3804350 48	6166160 47	9934047 49	4714461 49
9400 49	4471804 48	7060000 50	6117020 48	6288668 47	9930949 49	4584002 49
9600 49	4371256 48	7040000 50	8333330 48	6411636 47	9927837 49	4459776 49
9800 49	4275413 48	7020000 50	1045918 49	6535071 47	9924709 49	4341341 49
1000 50	4183960 48	7000000 50	1250000 49	6658979 47	9921567 49	4228320 49
1100 50	3783307 48	6900000 50	2159091 49	7285797 47	9905629 49	3732923 49
1200 50	3458048 48	6800000 50	2916667 49	7925263 47	9889302 49	3330249 49
1300 50	3189209 48	6700000 50	3557692 49	8578076 47	9872571 49	2996863 49
1400 50	2963655 48	6600000 50	4107143 49	9244935 47	9855422 49	2716533 49
1500 50	2772013 48	6500000 50	4583333 49	9926541 47	9837839 49	2477694 49
1600 50	2607421 48	6400000 50	5000000 49	1062359 48	9819805 49	2271891 49
1700 50	2464745 48	6300000 50	5367647 49	1133678 48	9801301 49	2092796 49
1800 50	2340065 48	6200000 50	5694444 49	1206682 48	9782310 49	1935585 49
1900 50	2230341 48	6100000 50	5986842 49	1281441 48	9762812 49	1796517 49
2000 50	2133178 48	6000000 50	6250000 49	1358023 48	9742785 49	1672651 49
2500 50	1780151 48	5500000 50	7250000 49	1770749 48	9633924 49	1213102 49
3000 50	1563517 48	5000000 50	7916667 49	2239573 48	9507985 49	9160139 48
3500 50	1422430 48	4500000 50	8392857 49	2773238 48	9360565 49	7074159 48
4000 50	1327514 48	4000000 50	8750000 49	3380488 48	9185586 49	5520313 48
4500 50	1262862 48	3500000 50	9027778 49	4070064 48	8974395 49	4311234 48
5000 50	1219116 48	3000000 50	9250000 49	4850709 48	8714212 49	3339860 48
5500 50	1190412 48	2500000 50	9431818 49	5731166 48	8385255 49	2541874 48
6000 50	1172892 48	2000000 50	9583333 49	6720177 48	7954952 49	1877289 48

Compton Cross Sections vs Energy of Scattered Quantum

80 50 $=\gamma'$	$\sigma_3(\gamma')/\phi_0$	E	w	$\sigma_1(w,\phi)/\phi_0$	w'	$\sigma_4(w',\phi)/\phi_0$
6500 50	1163911 48	1500000 50	9711538 49	7826485 48	7364856 49	1320493 48
7000 50	1161598 48	1000000 50	9821429 49	9058834 48	6495186 49	8538949 47
7500 50	1164591 48	5000000 49	9916667 49	1042596 49	5031145 49	4605053 47
8000 50	1171875 48	0000000 00	1000000 50	1193662 49	0000000 00	0000000 00

Compton Cross Sections vs Energy of Scattered Quantum

85 γ'	50 $=\gamma$	$\sigma_3(\gamma')/\phi_0$	E	w	$\sigma_1(w,\phi)/\phi_0$	w'	$\sigma_4(w',\phi)/\phi_0$
4722	49	9371395 48	8027777 50	1000000 50*	3325961 47	1000000 50	1200672 50
4800	49	9185478 48	8020000 50	9656862 49*	3368250 47	9999033 49	1174922 50
5000	49	8739119 48	8000000 50	8823529 49*	3477185 47	9996539 49	1113081 50
5200	49	8333588 48	7980000 50	8054298 49*	3586401 47	9994034 49	1056926 50
5400	49	7963664 48	7960000 50	7342048 49*	3695903 47	9991519 49	1005709 50
5600	49	7624965 48	7940000 50	6680672 49*	3805695 47	9988993 49	9588360 49
5800	49	7313791 48	7920000 50	6064908 49*	3915783 47	9986456 49	9157716 49
6000	49	7026995 48	7900000 50	5490196 49*	4026171 47	9983909 49	8760975 49
6200	49	6761884 48	7880000 50	4952561 49*	4136864 47	9981350 49	8394286 49
6400	49	6516144 48	7860000 50	4448529 49*	4247865 47	9978781 49	8054378 49
6600	49	6287774 48	7840000 50	3975044 49*	4359181 47	9976200 49	7738584 49
6800	49	6075035 48	7820000 50	3529411 49*	4470815 47	9973608 49	7444492 49
7000	49	5876410 48	7800000 50	3109243 49*	4582772 47	9971005 49	7169883 49
7200	49	5690571 48	7780000 50	2712418 49*	4695058 47	9968390 49	6913032 49
7400	49	5516348 48	7760000 50	2337043 49*	4807676 47	9965764 49	6672214 49
7600	49	5352707 48	7740000 50	1981424 49*	4920631 47	9963127 49	6446091 49
7800	49	5198735 48	7720000 50	1644042 49*	5033928 47	9960478 49	6233321 49
8000	49	5053617 48	7700000 50	1323529 49*	5147571 47	9957817 49	6032800 49
8200	49	4916627 48	7680000 50	1018651 49*	5261567 47	9955145 49	5843548 49
8400	49	4787115 48	7660000 50	7282910 48*	5375917 47	9952461 49	5664603 49
8600	49	4664499 48	7640000 50	4514360 48*	5490628 47	9949765 49	5495189 49
8800	49	4548254 48	7620000 50	1871650 48*	5605705 47	9947057 49	5334579 49
9000	49	4437908 48	7600000 50	6536000 47	5721151 47	9944337 49	5182117 49
9200	49	4333031 48	7580000 50	3069060 48	5836972 47	9941605 49	5037208 49
9400	49	4233237 48	7560000 50	5381730 48	5953173 47	9938861 49	4899326 49
9600	49	4138173 48	7540000 50	7598040 48	6069757 47	9936104 49	4767966 49
9800	49	4047518 48	7520000 50	9723890 48	6186729 47	9933336 49	4642679 49
1000	50	3960980 48	7500000 50	1176471 49	6304095 47	9930554 49	4523079 49
1100	50	3581408 48	7400000 50	2085562 49	6896985 47	9916458 49	3998311 49
1200	50	3272670 48	7300000 50	2843138 49	7500407 47	9902039 49	3571109 49
1300	50	3017022 48	7200000 50	3484163 49	8114941 47	9887284 49	3216936 49
1400	50	2802163 48	7100000 50	4033614 49	8741171 47	9872182 49	2918770 49
1500	50	2619301 48	7000000 50	4509804 49	9379682 47	9856720 49	2664488 49
1600	50	2461991 48	6900000 50	4926471 49	1003105 48	9840886 49	2445182 49
1700	50	2325403 48	6800000 50	5294118 49	1069587 48	9824666 49	2254196 49
1800	50	2205848 48	6700000 50	5620915 49	1137472 48	9808045 49	2086446 49
1900	50	2100460 48	6600000 50	5913313 49	1206817 48	9791008 49	1937982 49
2000	50	2006980 48	6500000 50	6176471 49	1277683 48	9773540 49	1805691 49
2500	50	1665641 48	6000000 50	7176471 49	1656843 48	9679107 49	1314641 49
3000	50	1454025 48	5500000 50	7843138 49	2082738 48	9570957 49	9973794 48
3500	50	1314419 48	5000000 50	8319328 49	2562655 48	9445841 49	7751420 48
4000	50	1218892 48	4500000 50	8676471 49	3103884 48	9299385 49	6101787 48
4500	50	1152294 48	4000000 50	8954249 49	3713714 48	9125549 49	4823197 48
5000	50	1105698 48	3500000 50	9176471 49	4399432 48	8915738 49	3799528 48
5500	50	1073506 48	3000000 50	9358289 49	5168329 48	8657256 49	2960298 48
6000	50	1052030 48	2500000 50	9509804 49	6027692 48	8330449 49	2261166 48

Compton Cross Sections vs Energy of Scattered Quantum

85 50=γ γ'	$\sigma_3(\gamma')/\phi_0$	E	w	$\sigma_1(w,\phi)/\phi_0$	w'	$\sigma_4(w',\phi)/\phi_0$
6500 50	1038742 48	2000000 50	9638009 49	6984811 48	7902958 49	1673510 48
7000 50	1031849 48	1500000 50	9747900 49	8046975 48	7316711 49	1178359 48
7500 50	1030048 48	1000000 50	9843138 49	9221472 48	6452729 49	7621714 47
8000 50	1032365 48	5000000 49	9926471 49	1051559 49	4998259 49	4109055 47
8500 50	1038062 48	0000000 00	1000000 50	1193662 49	0000000 00	0000000 00

90 γ'	50 $=\gamma$	$\sigma_3(\gamma')/\phi_0$	E	w	$\sigma_1(w,\phi)/\phi_0$	w'	$\sigma_4(w',\phi)/\phi_0$
4736	49	8820663 48	8526315 50	1000000 50*	3149917 47	1000000 50	1259967 50
4800	49	8679883 48	8520000 50	9722222 49*	3182852 47	9999295 49	1238287 50
5000	49	8261888 48	8500000 50	8888889 49*	3287301 47	9997060 49	1173914 50
5200	49	7881832 48	8480000 50	8119658 49*	3391985 47	9994815 49	1115396 50
5400	49	7534890 48	8460000 50	7407408 49*	3496911 47	9992561 49	1061990 50
5600	49	7217009 48	8440000 50	6746032 49*	3602080 47	9990298 49	1013069 50
5800	49	6924762 48	8420000 50	6130268 49*	3707498 47	9988026 49	9681070 49
6000	49	6655235 48	8400000 50	5555556 49*	3813169 47	9985745 49	9266519 49
6200	49	6405931 48	8380000 50	5017921 49*	3919095 47	9983454 49	8883053 49
6400	49	6174705 48	8360000 50	4513889 49*	4025281 47	9981153 49	8527515 49
6600	49	5959697 48	8340000 50	4040404 49*	4131732 47	9978844 49	8196916 49
6800	49	5759293 48	8320000 50	3594771 49*	4238451 47	9976525 49	7888891 49
7000	49	5572084 48	8300000 50	3174603 49*	4345441 47	9974196 49	7601059 49
7200	49	5396833 48	8280000 50	2777778 49*	4452707 47	9971858 49	7331733 49
7400	49	5232453 48	8260000 50	2402403 49*	4560252 47	9969510 49	7079137 49
7600	49	5077982 48	8240000 50	2046784 49*	4668082 47	9967152 49	6841798 49
7800	49	4932569 48	8220000 50	1709402 49*	4776200 47	9964785 49	6618332 49
8000	49	4795453 48	8200000 50	1388889 49*	4884608 47	9962408 49	6407655 49
8200	49	4665959 48	8180000 50	1084011 49*	4993312 47	9960020 49	6208732 49
8400	49	4543480 48	8160000 50	7936510 48*	5102316 47	9957623 49	6020562 49
8600	49	4427473 48	8140000 50	5167960 48*	5211623 47	9955216 49	5842383 49
8800	49	4317448 48	8120000 50	2525250 48*	5321237 47	9952799 49	5673320 49
9000	49	4212962 48	8100000 50	0000000	5431162 47	9950371 49	5512822 49
9200	49	4113617 48	8080000 50	2415460 48	5541402 47	9947934 49	5360218 49
9400	49	4019050 48	8060000 50	4728130 48	5651961 47	9945486 49	5214955 49
9600	49	3928930 48	8040000 50	6944440 48	5762844 47	9943028 49	5076532 49
9800	49	3842958 48	8020000 50	9070290 48	5874053 47	9940559 49	4944443 49
1000	50	3760859 48	8000000 50	1111111 49	5985593 47	9938079 49	4818319 49
1100	50	3400394 48	7900000 50	2020202 49	6548394 47	9925523 49	4264423 49
1200	50	3106710 48	7800000 50	2777778 49	7120054 47	9912695 49	3812846 49
1300	50	2863149 48	7700000 50	3418803 49	7701066 47	9899584 49	3438020 49
1400	50	2658146 48	7600000 50	3968254 49	8291922 47	9886183 49	3122162 49
1500	50	2483424 48	7500000 50	4444444 49	8893110 47	9872481 49	2852529 49
1600	50	2332908 48	7400000 50	4861111 49	9505123 47	9858467 49	2619793 49
1700	50	2202039 48	7300000 50	5228758 49	1012845 48	9844132 49	2416979 49
1800	50	2087334 48	7200000 50	5555555 49	1076359 48	9829463 49	2238730 49
1900	50	1986082 48	7100000 50	5847953 49	1141102 48	9814450 49	2080904 49
2000	50	1896147 48	7000000 50	6111111 49	1207125 48	9799078 49	1940206 49
2500	50	1566415 48	6500000 50	7111111 49	1558142 48	9716384 49	1417601 49
3000	50	1360310 48	6000000 50	7777778 49	1948501 48	9622504 49	1079970 49
3500	50	1222961 48	5500000 50	8253968 49	2384345 48	9514987 49	8438180 48
4000	50	1127757 48	5000000 50	8611111 49	2871811 48	9390602 49	6689762 48
4500	50	1060242 48	4500000 50	8888889 49	3417042 48	9245003 49	5338802 48
5000	50	1011888 48	4000000 50	9111111 49	4026176 48	9072184 49	4260421 48
5500	50	9773425 47	3500000 50	9292929 49	4705354 48	8863600 49	3378220 48
6000	50	9530749 47	3000000 50	9444444 49	5460717 48	8606630 49	2643662 48

$\gamma' = \gamma$	$\sigma_3(\gamma')/\phi_0$	E	w	$\sigma_1(w,\phi)/\phi_0$	w'	$\sigma_4(w',\phi)/\phi_0$
6500 50	9366637 47	2500000 50	9572649 49	6298404 48	8281735 49	2025050 48
7000 50	9263925 47	2000000 50	9682540 49	7224557 48	7856740 49	1501281 48
7500 50	9210105 47	1500000 50	9777778 49	8245314 48	7273928 49	1057972 48
8000 50	9195851 47	1000000 50	9861111 49	9366817 48	6415004 49	6844423 47
8500 50	9214067 47	5000000 49	9934640 49	1059520 49	4969054 49	3689028 47
9000 50	9259259 47	0000000 00	1000000 50	1193662 49	0000000 00	0000000 00

Compton Cross Sections vs Energy of Scattered Quantum

95 γ'	50 $=\gamma$	$\sigma_3(\gamma')/\phi_0$	E	w	$\sigma_1(w,\phi)/\phi_0$	w'	$\sigma_4(w',\phi)/\phi_0$
4750	49	8331024 48	9025000 50	1000000 50*	2991615 47	1000000 50	1319302 50
4800	49	8226654 48	9020000 50	9780701 49*	3016656 47	9999497 49	1301514 50
5000	49	7833734 48	9000000 50	8947368 49*	3116943 47	9997481 49	1234629 50
5200	49	7476227 48	8980000 50	8178137 49*	3217431 47	9995457 49	1173765 50
5400	49	7149652 48	8960000 50	7465887 49*	3318123 47	9993426 49	1118181 50
5600	49	6850241 48	8940000 50	6804511 49*	3419023 47	9991387 49	1067217 50
5800	49	6574807 48	8920000 50	6188747 49*	3520133 47	9989340 49	1020350 50
6000	49	6320636 48	8900000 50	5614035 49*	3621458 47	9987285 49	9771150 49
6200	49	6085405 48	8880000 50	5076400 49*	3722999 47	9985222 49	9371150 49
6400	49	5867112 48	8860000 50	4572368 49*	3824762 47	9983151 49	8999950 49
6600	49	5664025 48	8840000 50	4098883 49*	3926749 47	9981072 49	8654617 49
6800	49	5474638 48	8820000 50	3653250 49*	4028963 47	9978984 49	8332597 49
7000	49	5297635 48	8800000 50	3233082 49*	4131409 47	9976889 49	8031873 49
7200	49	5131860 48	8780000 50	2836257 49*	4234088 47	9974785 49	7750144 49
7400	49	4976298 48	8760000 50	2460882 49*	4337005 47	9972673 49	7485709 49
7600	49	4830050 48	8740000 50	2105263 49*	4440163 47	9970553 49	7237144 49
7800	49	4692318 48	8720000 50	1767881 49*	4543565 47	9968425 49	7003178 49
8000	49	4562393 48	8700000 50	1447368 49*	4647215 47	9966288 49	6782435 49
8200	49	4439640 48	8680000 50	1142490 49*	4751116 47	9964142 49	6573849 49
8400	49	4323493 48	8660000 50	8521300 48*	4855270 47	9961988 49	6376537 49
8600	49	4213440 48	8640000 50	5752750 48*	4959682 47	9959826 49	6189564 49
8800	49	4109025 48	8620000 50	3110040 48*	5064356 47	9957654 49	6012220 49
9000	49	4009831 48	8600000 50	5847900 47*	5169294 47	9955475 49	5843738 49
9200	49	3915483 48	8580000 50	1830670 48	5274498 47	9953286 49	5683430 49
9400	49	3825642 48	8560000 50	4143340 48	5379974 47	9951089 49	5530838 49
9600	49	3739999 48	8540000 50	6359650 48	5485725 47	9948882 49	5385329 49
9800	49	3658270 48	8520000 50	8485500 48	5591753 47	9946667 49	5246534 49
1000	50	3580198 48	8500000 50	1052632 49	5698062 47	9944444 49	5113914 49
1100	50	3237106 48	8400000 50	1961723 49	6233937 47	9933188 49	4531071 49
1200	50	2957172 48	8300000 50	2719299 49	6777340 47	9921700 49	4055324 49
1300	50	2724703 48	8200000 50	3360324 49	7328684 47	9909974 49	3660008 49
1400	50	2528786 48	8100000 50	3909775 49	7888389 47	9898001 49	3326529 49
1500	50	2361604 48	8000000 50	4385965 49	8456873 47	9885774 49	3041629 49
1600	50	2217413 48	7900000 50	4802632 49	9034552 47	9873284 49	2795544 49
1700	50	2091897 48	7800000 50	5170279 49	9621846 47	9860523 49	2580954 49
1800	50	1981757 48	7700000 50	5497076 49	1021917 48	9847481 49	2392255 49
1900	50	1884424 48	7600000 50	5789474 49	1082694 48	9834151 49	2225085 49
2000	50	1797868 48	7500000 50	6052632 49	1144558 48	9820520 49	2076002 49
2500	50	1479454 48	7000000 50	7052632 49	1471640 48	9747504 49	1521838 49
3000	50	1279085 48	6500000 50	7719299 49	1832154 48	9665245 49	1163694 49
3500	50	1144474 48	6000000 50	8195489 49	2231321 48	9571859 49	9134200 48
4000	50	1050219 48	5500000 50	8552632 49	2674361 48	9464908 49	7284629 48
4500	50	9825028 47	5000000 50	8830410 49	3166496 48	9341178 49	5858951 48
5000	50	9331651 47	4500000 50	9052632 49	3712946 48	9196345 49	4723770 48
5500	50	8970793 47	4000000 50	9234450 49	4318931 48	9024435 49	3797011 48
6000	50	8708625 47	3500000 50	9385965 49	4989674 48	8816949 49	3026090 48

Compton Cross Sections vs Energy of Scattered Quantum

95 50 = γ'	$\sigma_3(\gamma')/\phi_0$	E	w	$\sigma_1(w,\phi)/\phi_0$	w'	$\sigma_4(w',\phi)/\phi_0$
6500 50	8521925 47	3000000 50	9514170 49	5730395 48	8561331 49	2376336 48
7000 50	8394227 47	2500000 50	9624061 49	6546315 48	8238142 49	1824409 48
7500 50	8313524 47	2000000 50	9719299 49	7442653 48	7815386 49	1354387 48
8000 50	8270864 47	1500000 50	9802632 49	8424632 48	7235642 49	9551065 47
8500 50	8259430 47	1000000 50	9876161 49	9497472 48	6381239 49	6179969 47
9000 50	8273944 47	5000000 49	9941521 49	1066639 49	4942870 49	3330110 47
9500 50	8310249 47	0000000 00	1000000 50	1193662 49	0000000 00	0000000 00

Compton Cross Sections vs Energy of Scattered Quantum

$10^{51}\gamma'$	$\sigma_3(\gamma')/\phi_0$	E	w	$\sigma_1(w,\phi)/\phi_0$	w'	$\sigma_4(w',\phi)/\phi_0$
4761 49	7892857 48	9523810 50	1000000 50*	2848497 47	1000000 50	1378672 50
5000 49	7447500 48	9500000 50	9000000 49*	2963266 47	9997825 49	1295238 50
5500 49	6657226 48	9450000 50	7181818 49*	3205079 47	9993229 49	1147206 50
6000 49	6017916 48	9400000 50	5666667 49*	3448012 47	9988590 49	1027537 50
6500 49	5490699 48	9350000 50	4384615 49*	3692108 47	9983907 49	9288735 49
7000 49	5048877 48	9300000 50	3285714 49*	3937413 47	9979181 49	8462107 49
7500 49	4673541 48	9250000 50	2333333 49*	4183971 47	9974411 49	7760140 49
8000 49	4350937 48	9200000 50	1500000 49*	4431828 47	9969596 49	7157015 49
8500 49	4070832 48	9150000 50	7647060 48*	4681028 47	9964736 49	6633381 49
9000 49	3825463 48	9100000 50	1111110 48*	4931615 47	9959829 49	6174724 49
9500 49	3608834 48	9050000 50	4736840 48	5183634 47	9954875 49	5769835 49
1000 50	3416250 48	9000000 50	1000000 49	5437130 47	9949874 49	5409876 49
1050 50	3243975 48	8950000 50	1476190 49	5692149 47	9944824 49	5087880 49
1100 50	3089008 48	8900000 50	1909091 49	5948734 47	9939726 49	4798239 49
1150 50	2948907 48	8850000 50	2304348 49	6206930 47	9934578 49	4536320 49
1200 50	2821666 48	8800000 50	2666667 49	6466783 47	9929380 49	4298429 49
1250 50	2705625 48	8750000 50	3000000 49	6728337 47	9924130 49	4081434 49
1300 50	2599393 48	8700000 50	3307692 49	6991636 47	9918829 49	3882726 49
1350 50	2501803 48	8650000 50	3592593 49	7256727 47	9913475 49	3700109 49
1400 50	2411862 48	8600000 50	3857143 49	7523651 47	9908068 49	3531725 49
1450 50	2328725 48	8550000 50	4103448 49	7792456 47	9902606 49	3376031 49
1500 50	2251666 48	8500000 50	4333333 49	8063187 47	9897089 49	3231660 49
1550 50	2180059 48	8450000 50	4548387 49	8335887 47	9891516 49	3097415 49
1600 50	2113359 48	8400000 50	4750000 49	8610600 47	9885887 49	2972280 49
1650 50	2051093 48	8350000 50	4939394 49	8887373 47	9880200 49	2855399 49
1700 50	1992846 48	8300000 50	5117647 49	9166250 47	9874454 49	2745978 49
1750 50	1938252 48	8250000 50	5285714 49	9447275 47	9868649 49	2643321 49
1800 50	1886990 48	8200000 50	5444444 49	9730494 47	9862784 49	2546853 49
1850 50	1838775 48	8150000 50	5594595 49	1001595 48	9856857 49	2456028 49
1900 50	1793351 48	8100000 50	5736842 49	1030369 48	9850868 49	2370383 49
1950 50	1750494 48	8050000 50	5871795 49	1059375 48	9844815 49	2289473 49
2000 50	1710000 48	8000000 50	6000000 49	1088619 48	9838699 49	2212934 49
2500 50	1402500 48	7500000 50	7000000 49	1395092 48	9773756 49	1627220 49
3000 50	1207916 48	7000000 50	7666667 49	1730213 48	9701088 49	1248466 49
3500 50	1076326 48	6500000 50	8142857 49	2098457 48	9619220 49	9839118 48
4000 50	9834375 47	6000000 50	8500000 49	2504303 48	9526279 49	7886509 48
4500 50	9160185 47	5500000 50	8777778 49	2952224 48	9419837 49	6384177 48
5000 50	8662500 47	5000000 50	9000000 49	3446699 48	9296696 49	5190425 48
5500 50	8292148 47	4500000 50	9181818 49	3992202 48	9152553 49	4217654 48
6000 50	8016666 47	4000000 50	9333333 49	4593211 48	8981462 49	3409404 48
6500 50	7813756 47	3500000 50	9461538 49	5254201 48	8774965 49	2728136 48
7000 50	7667602 47	3000000 50	9571429 49	5979650 48	8520562 49	2148335 48
7500 50	7566666 47	2500000 50	9666667 49	6774032 48	8198914 49	1652419 48
8000 50	7502343 47	2000000 50	9750000 49	7641824 48	7778174 49	1228087 48
8500 50	7468079 47	1500000 50	9823529 49	8587502 48	7201194 49	8665334 47
9000 50	7458796 47	1000000 50	9888889 49	9615544 48	6350851 49	5607607 47

Compton Cross Sections vs Energy of Scattered Quantum

10 51=γ γ'	$\sigma_3(\gamma')/\phi_0$	E	w	$\sigma_1(w,\phi)/\phi_0$	w'	$\sigma_4(w',\phi)/\phi_0$
9500 50	7470498 47	5000000 49	9947368 49	1073042 49	4919364 49	3021169 47
1000 51	7500000 47	0000000 00	1000000 50	1193662 49	0000000 00	0000000 00

Compton Cross Sections vs Energy of Scattered Quantum

11 γ' 51 $=\gamma$	$\sigma_3(\gamma')/\phi_0$	E	w	$\sigma_1(w,\phi)/\phi_0$	w'	$\sigma_4(w',\phi)/\phi_0$
4782 49	7141573 48	1052173 51	1000000 50*	2599822 47	1000000 50	1497497 50
5000 49	6778481 48	1050000 51	9090909 49*	2697072 47	9998347 49	1416204 50
5500 49	6067849 48	1045000 51	7272727 49*	2921327 47	9994522 49	1257117 50
6000 49	5491541 48	1040000 51	5757576 49*	3146421 47	9990664 49	1128175 50
6500 49	5015228 48	1035000 51	4475524 49*	3372388 47	9986774 49	1021629 50
7000 49	4615270 48	1030000 51	3376623 49*	3599260 47	9982851 49	9321938 49
7500 49	4274882 48	1025000 51	2424242 49*	3827073 47	9978894 49	8560929 49
8000 49	3981829 48	1020000 51	1590909 49*	4055858 47	9974904 49	7905955 49
8500 49	3726994 48	1015000 51	8556150 48*	4285650 47	9970878 49	7336479 49
9000 49	3503444 48	1010000 51	2020200 48*	4516483 47	9966818 49	6836985 49
9500 49	3305819 48	1005000 51	3827750 48	4748390 47	9962723 49	6395475 49
1000 50	3129909 48	1000000 51	9090910 48	4981405 47	9958591 49	6002531 49
1050 50	2972366 48	9950000 50	1385281 49	5215561 47	9954424 49	5650608 49
1100 50	2830493 48	9900000 50	1818182 49	5450892 47	9950219 49	5333729 49
1150 50	2702093 48	9850000 50	2213439 49	5687432 47	9945978 49	5046940 49
1200 50	2585362 48	9800000 50	2575758 49	5925214 47	9941698 49	4786172 49
1250 50	2478801 48	9750000 50	2909091 49	6164271 47	9937380 49	4548123 49
1300 50	2381156 48	9700000 50	3216783 49	6404640 47	9933024 49	4329965 49
1350 50	2291371 48	9650000 50	3501684 49	6646350 47	9928628 49	4129343 49
1400 50	2208551 48	9600000 50	3766234 49	6889438 47	9924192 49	3944237 49
1450 50	2131930 48	9550000 50	4012539 49	7133936 47	9919716 49	3772946 49
1500 50	2060850 48	9500000 50	4242424 49	7379878 47	9915199 49	3613987 49
1550 50	1994744 48	9450000 50	4457478 49	7627298 47	9910640 49	3466101 49
1600 50	1933117 48	9400000 50	4659091 49	7876230 47	9906039 49	3328214 49
1650 50	1875540 48	9350000 50	4848485 49	8126705 47	9901396 49	3199315 49
1700 50	1821636 48	9300000 50	5026738 49	8378760 47	9896709 49	3078591 49
1750 50	1771074 48	9250000 50	5194805 49	8632427 47	9891978 49	2965291 49
1800 50	1723559 48	9200000 50	5353535 49	8887739 47	9887203 49	2858769 49
1850 50	1678832 48	9150000 50	5503686 49	9144732 47	9882382 49	2758427 49
1900 50	1636663 48	9100000 50	5645933 49	9403437 47	9877516 49	2663768 49
1950 50	1596844 48	9050000 50	5780886 49	9663890 47	9872603 49	2574317 49
2000 50	1559191 48	9000000 50	5909091 49	9926122 47	9867644 49	2489668 49
2500 50	1272095 48	8500000 50	6909091 49	1265376 48	9815295 49	1840959 49
3000 50	1088837 48	8000000 50	7575758 49	1559644 48	9757387 49	1420819 49
3500 50	9636501 47	7500000 50	8051948 49	1878778 48	9692981 49	1127372 49
4000 50	8742038 47	7000000 50	8409091 49	2226141 48	9620913 49	9110817 48
4500 50	8083116 47	6500000 50	8686869 49	2605097 48	9539723 49	7450664 48
5000 50	7587596 47	6000000 50	8909091 49	3019008 48	9447549 49	6135447 48
5500 50	7210061 47	5500000 50	9090909 49	3471238 48	9341987 49	5066916 48
6000 50	6920491 47	5000000 50	9242424 49	3965149 48	9219865 49	4181199 48
6500 50	6698255 47	4500000 50	9370629 49	4504105 48	9076912 49	3435343 48
7000 50	6528703 47	4000000 50	9480520 49	5091469 48	8907234 49	2799719 48
7500 50	6401145 47	3500000 50	9575758 49	5730603 48	8702442 49	2253546 48
8000 50	6307602 47	3000000 50	9659091 49	6424871 48	8450145 49	1782014 48
8500 50	6241995 47	2500000 50	9732620 49	7177635 48	8131158 49	1374499 48
9000 50	6199612 47	2000000 50	9797980 49	7992260 48	7713890 49	1023293 48

11 51=γ γ'	$\sigma_3(\gamma')/\phi_0$	E	w	$\sigma_1(w,\phi)/\phi_0$	w'	$\sigma_4(w',\phi)/\phi_0$
9500 50	6176742 47	1500000 50	9856459 49	8872108 48	7141680 49	7226700 47
1000 51	6170428 47	1000000 50	9909091 49	9820542 48	6298364 49	4677656 47
1100 51	6198347 47	0000000 00	1000000 50	1193662 49	0000000 00	0000000 00

Compton Cross Sections vs Energy of Scattered Quantum

$12_{\gamma'}$ $51=\gamma$	$\sigma_3(\gamma')/\phi_0$	E	w	$\sigma_1(w,\phi)/\phi_0$	w'	$\sigma_4(w',\phi)/\phi_0$
4800 49	6520833 48	1152000 51	1000000 50*	2391143 47	1000000 50	1616413 50
5000 49	6219256 48	1150000 51	9166667 49*	2474563 47	9998714 49	1536901 50
5500 49	5573962 48	1145000 51	7348485 49*	2683549 47	9995481 49	1366802 50
6000 49	5049551 48	1140000 51	5833334 49*	2893179 47	9992223 49	1228636 50
6500 49	4615324 48	1135000 51	4551282 49*	3103481 47	9988940 49	1114244 50
7000 49	4250098 48	1130000 51	3452381 49*	3314478 47	9985630 49	1018069 50
7500 49	3938802 48	1125000 51	2500000 49*	3526198 47	9982295 49	9360995 49
8000 49	3670428 48	1120000 51	1666667 49*	3738667 47	9978934 49	8654561 49
8500 49	3436759 48	1115000 51	9313730 48*	3951910 47	9975545 49	8039568 49
9000 49	3231537 48	1110000 51	2777780 48*	4165953 47	9972130 49	7499593 49
9500 49	3049919 48	1105000 51	3070170 48	4380822 47	9968687 49	7021763 49
1000 50	2888093 48	1100000 51	8333330 48	4596542 47	9965217 49	6596039 49
1050 50	2743026 48	1095000 51	1309523 49	4813141 47	9961719 49	6214427 49
1100 50	2612270 48	1090000 51	1742424 49	5030644 47	9958192 49	5870527 49
1150 50	2493831 48	1085000 51	2137681 49	5249076 47	9954636 49	5558984 49
1200 50	2386067 48	1080000 51	2500000 49	5468464 47	9951052 49	5275568 49
1250 50	2287615 48	1075000 51	2833333 49	5688833 47	9947438 49	5016642 49
1300 50	2197334 48	1070000 51	3141025 49	5910209 47	9943794 49	4779166 49
1350 50	2114260 48	1065000 51	3425926 49	6132620 47	9940120 49	4560679 49
1400 50	2037575 48	1060000 51	3690476 49	6356089 47	9936415 49	4358936 49
1450 50	1966582 48	1055000 51	3936781 49	6580643 47	9932680 49	4172160 49
1500 50	1900680 48	1050000 51	4166666 49	6806308 47	9928914 49	3998772 49
1550 50	1839348 48	1045000 51	4381720 49	7033111 47	9925115 49	3837381 49
1600 50	1782136 48	1040000 51	4583333 49	7261075 47	9921285 49	3686784 49
1650 50	1728650 48	1035000 51	4772727 49	7490229 47	9917422 49	3545971 49
1700 50	1678544 48	1030000 51	4950980 49	7720598 47	9913526 49	3414036 49
1750 50	1631516 48	1025000 51	5119047 49	7952205 47	9909597 49	3290147 49
1800 50	1587295 48	1020000 51	5277777 49	8185081 47	9905634 49	3173622 49
1850 50	1545645 48	1015000 51	5427928 49	8419249 47	9901636 49	3063836 49
1900 50	1506351 48	1010000 51	5570175 49	8654734 47	9897604 49	2960221 49
1950 50	1469226 48	1005000 51	5705128 49	8891564 47	9893537 49	2862270 49
2000 50	1434100 48	1000000 51	5833333 49	9129765 47	9889435 49	2769556 49
2500 50	1165436 48	9500000 50	6833333 49	1159281 48	9846343 49	2058046 49
3000 50	9928385 47	9000000 50	7500000 49	1422136 48	9799118 49	1596418 49
3500 50	8740714 47	8500000 50	7976190 49	1704131 48	9747133 49	1273791 49
4000 50	7884837 47	8000000 50	8333333 49	2007857 48	9689628 49	1036087 49
4500 50	7247862 47	7500000 50	8611111 49	2335904 48	9625669 49	8538554 48
5000 50	6762876 47	7000000 50	8833333 49	2690862 48	9554102 49	7097455 48
5500 50	6387711 47	6500000 50	9015151 49	3075323 48	9473475 49	5929100 48
6000 50	6094473 47	6000000 50	9166666 49	3491875 48	9381942 49	4962553 48
6500 50	5863976 47	5500000 50	9294871 49	3943111 48	9277113 49	4149772 48
7000 50	5682589 47	5000000 50	9404762 49	4431619 48	9155837 49	3457293 48
7500 50	5540364 47	4500000 50	9500000 49	4959992 48	9013878 49	2861361 48
8000 50	5429868 47	4000000 50	9583333 49	5530818 48	8845380 49	2344794 48
8500 50	5345437 47	3500000 50	9656862 49	6146688 48	8642012 49	1895050 48
9000 50	5282680 47	3000000 50	9722222 49	6810194 48	8391464 49	1502894 48

Compton Cross Sections vs Energy of Scattered Quantum

12 51 = γ γ'	$\sigma_3(\gamma')/\phi_0$	E	w	$\sigma_1(w,\phi)/\phi_0$	w'	$\sigma_4(w',\phi)/\phi_0$
9500 50	5238139 47	2500000 50	9780701 49	7523924 48	8074694 49	1161518 48
1000 51	5209056 47	2000000 50	9833333 49	8290470 48	7660326 49	8658114 47
1200 51	5208333 47	0000000 00	1000000 50	1193662 49	0000000 00	0000000 00

13 51 = γ′	$\sigma_3(\gamma')/\phi_0$	E	w	$\sigma_1(w,\phi)/\phi_0$	w′	$\sigma_4(w',\phi)/\phi_0$
4814 49	5999342 48	1251851 51	1000000 50*	2213517 47	1000000 50	1735397 50
5000 49	5744940 48	1250000 51	9230769 49*	2285839 47	9998979 49	1657395 50
5500 49	5154172 48	1245000 51	7412587 49*	2481443 47	9996211 49	1476332 50
6000 49	4673214 48	1240000 51	5897436 49*	2677554 47	9993423 49	1328941 50
6500 49	4274338 48	1235000 51	4615384 49*	2874191 47	9990614 49	1206752 50
7000 49	3938372 48	1230000 51	3516483 49*	3071376 47	9987785 49	1103850 50
7500 49	3651650 48	1225000 51	2564102 49*	3269127 47	9984936 49	1016042 50
8000 49	3404177 48	1220000 51	1730769 49*	3467467 47	9982065 49	9402843 49
8500 49	3188479 48	1215000 51	9954750 48*	3666414 47	9979174 49	8742642 49
9000 49	2998855 48	1210000 51	3418800 48*	3865990 47	9976261 49	8162327 49
9500 49	2830890 48	1205000 51	2429150 48	4066215 47	9973326 49	7648343 49
1000 50	2681103 48	1200000 51	7692310 48	4267108 47	9970370 49	7190087 49
1050 50	2546723 48	1195000 51	1245421 49	4468692 47	9967391 49	6778976 49
1100 50	2425510 48	1190000 51	1678322 49	4670986 47	9964391 49	6408202 49
1150 50	2315637 48	1185000 51	2073579 49	4874009 47	9961367 49	6072107 49
1200 50	2215601 48	1180000 51	2435898 49	5077784 47	9958321 49	5766176 49
1250 50	2124151 48	1175000 51	2769231 49	5282330 47	9955252 49	5486475 49
1300 50	2040238 48	1170000 51	3076923 49	5487667 47	9952159 49	5229875 49
1350 50	1962979 48	1165000 51	3361824 49	5693815 47	9949043 49	4993621 49
1400 50	1891622 48	1160000 51	3626374 49	5900797 47	9945903 49	4775380 49
1450 50	1825524 48	1155000 51	3872679 49	6108630 47	9942738 49	4573217 49
1500 50	1764133 48	1150000 51	4102564 49	6317338 47	9939549 49	4385466 49
1550 50	1706970 48	1145000 51	4317618 49	6526938 47	9936336 49	4210631 49
1600 50	1653619 48	1140000 51	4519231 49	6737451 47	9933097 49	4047462 49
1650 50	1603718 48	1135000 51	4708625 49	6948899 47	9929833 49	3894782 49
1700 50	1556947 48	1130000 51	4886878 49	7161301 47	9926544 49	3751684 49
1750 50	1513027 48	1125000 51	5054945 49	7374679 47	9923228 49	3617288 49
1800 50	1471710 48	1120000 51	5213675 49	7589051 47	9919887 49	3490818 49
1850 50	1432775 48	1115000 51	5363826 49	7804438 47	9916518 49	3371621 49
1900 50	1396026 48	1110000 51	5506073 49	8020863 47	9913123 49	3259098 49
1950 50	1361289 48	1105000 51	5641026 49	8238342 47	9909701 49	3152697 49
2000 50	1328406 48	1100000 51	5769231 49	8456899 47	9906251 49	3051957 49
2500 50	1076301 48	1050000 51	6769231 49	1070617 48	9870163 49	2277870 49
3000 50	9135417 47	1000000 51	7435898 49	1308552 48	9830917 49	1774744 49
3500 50	8009307 47	9500000 50	7912088 49	1561533 48	9788081 49	1422783 49
4000 50	7192664 47	9000000 50	8269231 49	1831597 48	9741135 49	1163416 49
4500 50	6580376 47	8500000 50	8547009 49	2120781 48	9689458 49	9646714 48
5000 50	6110080 47	8000000 50	8769231 49	2431123 48	9632292 49	8076581 48
5500 50	5742439 47	7500000 50	8951049 49	2764661 48	9568712 49	6805309 48
6000 50	5451416 47	7000000 50	9102564 49	3123431 48	9497568 49	5755165 48
6500 50	5219092 47	6500000 50	9230769 49	3509472 48	9417419 49	4873216 48
7000 50	5032730 47	6000000 50	9340660 49	3924820 48	9326436 49	4122387 48
7500 50	4883028 47	5500000 50	9435898 49	4371514 48	9222217 49	3476139 48
8000 50	4763037 47	5000000 50	9519231 49	4851590 48	9101660 49	2915083 48
8500 50	4667459 47	4500000 50	9592760 49	5367085 48	8960542 49	2424893 48
9000 50	4592185 47	4000000 50	9658120 49	5920038 48	8793039 49	1994853 48

Compton Cross Sections vs Energy of Scattered Quantum

13 51=γ'	$\sigma_3(\gamma')/\phi_0$	E	w	$\sigma_1(w,\phi)/\phi_0$	w'	$\sigma_4(w',\phi)/\phi_0$
9500 50	4533979 47	3500000 50	9716599 49	6512487 48	8590875 49	1616938 48
1000 51	4490257 47	3000000 50	9769231 49	7146467 48	8341809 49	1285055 48
1200 51	4423737 47	1000000 50	9935898 49	1013845 49	6217601 49	3397054 47
1300 51	4437869 47	0000000 00	1000000 50	1193662 49	0000000 00	0000000 00

Compton Cross Sections vs Energy of Scattered Quantum

$14_{\gamma'}$ 51 $=\gamma$	$\sigma_3(\gamma')/\phi_0$	E	w	$\sigma_1(w,\phi)/\phi_0$	w'	$\sigma_4(w',\phi)/\phi_0$
4827 49	5555066 48	1351724 51	1000000 50*	2060485 47	1000000 50	1854436 50
5000 49	5337619 48	1350000 51	9285714 49*	2123771 47	9999177 49	1777730 50
5500 49	4793011 48	1345000 51	7467532 49*	2307564 47	9996779 49	1585676 50
6000 49	4348947 48	1340000 51	5952381 49*	2491763 47	9994366 49	1429137 50
6500 49	3980167 48	1335000 51	4670329 49*	2676382 47	9991936 49	1299153 50
7000 49	3669174 48	1330000 51	3571428 49*	2861439 47	9989490 49	1189562 50
7500 49	3403475 48	1325000 51	2619047 49*	3046949 47	9987027 49	1095948 50
8000 49	3173921 48	1320000 51	1785714 49*	3232930 47	9984547 49	1015091 50
8500 49	2973661 48	1315000 51	1050420 49*	3419396 47	9982050 49	9445558 49
9000 49	2797465 48	1310000 51	3968250 48*	3606366 47	9979537 49	8825155 49
9500 49	2641272 48	1305000 51	1879700 48	3793853 47	9977005 49	8275240 49
1000 50	2501887 48	1300000 51	7142860 48	3981877 47	9974457 49	7784523 49
1050 50	2376754 48	1295000 51	1190476 49	4170451 47	9971890 49	7344057 49
1100 50	2263813 48	1290000 51	1623377 49	4359594 47	9969306 49	6946548 49
1150 50	2161378 48	1285000 51	2018634 49	4549321 47	9966704 49	6586149 49
1200 50	2068061 48	1280000 51	2380953 49	4739648 47	9964083 49	6257735 49
1250 50	1982709 48	1275000 51	2714286 49	4930593 47	9961444 49	5957435 49
1300 50	1904351 48	1270000 51	3021978 49	5122170 47	9958786 49	5681729 49
1350 50	1832172 48	1265000 51	3306879 49	5314396 47	9956109 49	5427775 49
1400 50	1765475 48	1260000 51	3571429 49	5507288 47	9953414 49	5193182 49
1450 50	1703666 48	1255000 51	3817734 49	5700863 47	9950699 49	4975772 49
1500 50	1646232 48	1250000 51	4047619 49	5895135 47	9947964 49	4773708 49
1550 50	1592731 48	1245000 51	4262673 49	6090123 47	9945210 49	4585491 49
1600 50	1542777 48	1240000 51	4464286 49	6285841 47	9942436 49	4409754 49
1650 50	1496034 48	1235000 51	4653680 49	6482306 47	9939642 49	4245310 49
1700 50	1452206 48	1230000 51	4831933 49	6679536 47	9936827 49	4091135 49
1750 50	1411033 48	1225000 51	5000000 49	6877545 47	9933992 49	3946245 49
1800 50	1372284 48	1220000 51	5158730 49	7076350 47	9931137 49	3809912 49
1850 50	1335756 48	1215000 51	5308881 49	7275968 47	9928259 49	3681336 49
1900 50	1301266 48	1210000 51	5451128 49	7476415 47	9925362 49	3559965 49
1950 50	1268651 48	1205000 51	5586081 49	7677706 47	9922442 49	3445123 49
2000 50	1237765 48	1200000 51	5714286 49	7879859 47	9919501 49	3336393 49
2500 50	1000520 48	1150000 51	6714286 49	9952362 47	9888837 49	2499957 49
3000 50	8467609 47	1100000 51	7380953 49	1212895 48	9855709 49	1955372 49
3500 50	7399260 47	1050000 51	7857143 49	1442595 48	9819805 49	1574000 49
4000 50	6620776 47	1000000 51	8214286 49	1685967 48	9780759 49	1292818 49
4500 50	6033847 47	9500000 50	8492064 49	1944641 48	9738142 49	1077357 49
5000 50	5580097 47	9000000 50	8714286 49	2220250 48	9691436 49	907212 48
5500 50	5222675 47	8500000 50	8896104 49	2514424 48	9640022 49	769561 48
6000 50	4937178 47	8000000 50	9047619 49	2828795 48	9583148 49	655965 48
6500 50	4706803 47	7500000 50	9175824 49	3164994 48	9519892 49	560659 48
7000 50	4519601 47	7000000 50	9285715 49	3524652 48	9449111 49	479588 48
7500 50	4366844 47	6500000 50	9380953 49	3909402 48	9369370 49	409835 48
8000 50	4242007 47	6000000 50	9464286 49	4320872 48	9278843 49	349251 48
8500 50	4140116 47	5500000 50	9537815 49	4760697 48	9175166 49	296239 48
9000 50	4057313 47	5000000 50	9603175 49	5230505 48	9055223 49	249589 48

Compton Cross Sections vs Energy of Scattered Quantum

$14\ 51=\gamma$ γ'	$\sigma_3(\gamma')/\phi_0$	E	w	$\sigma_1(w,\phi)/\phi_0$	w'	$\sigma_4(w',\phi)/\phi_0$
9500 50	3990557 47	4500000 50	9661654 49	5731929 48	8914825 49	2083853 48
1000 51	3937421 47	4000000 50	9714286 49	6266601 48	8748176 49	1719194 48
1200 51	3826802 47	2000000 50	9880953 49	8770384 48	7576135 49	6431241 47
1400 51	3826530 47	0000000 00	1000000 50	1193662 49	0000000 00	0000000 00

Compton Cross Sections vs Energy of Scattered Quantum

15 γ'	51 $=\gamma$	$\sigma_3(\gamma')/\phi_0$	E	w	$\sigma_1(w,\phi)/\phi_0$	w'	$\sigma_4(w',\phi)/\phi_0$
4838	49	5172043 48	1451612 51	1000000 50*	1927264 47	1000000 50	1973519 50
5000	49	4984074 48	1450000 51	9333333 49*	1983100 47	9999326 49	1897930 50
5500	49	4479028 48	1445000 51	7515151 49*	2156400 47	9997230 49	1694942 50
6000	49	4066666 48	1440000 51	6000000 49*	2330028 47	9995120 49	1529246 50
6500	49	3723807 48	1435000 51	4717948 49*	2503998 47	9992997 49	1391478 50
7000	49	3434368 48	1430000 51	3619047 49*	2678324 47	9990861 49	1275225 50
7500	49	3186851 48	1425000 51	2666666 49*	2853018 47	9988711 49	1175826 50
8000	49	2972824 48	1420000 51	1833333 49*	3028093 47	9986547 49	1089872 50
8500	49	2785963 48	1415000 51	1098039 49*	3203564 47	9984370 49	1014844 50
9000	49	2621440 48	1410000 51	4444440 48*	3379443 47	9982178 49	9488155 49
9500	49	2475500 48	1405000 51	1403510 48	3555743 47	9979972 49	8902299 49
1000	50	2345185 48	1400000 51	6666670 48	3732478 47	9977753 49	8379419 49
1050	50	2228129 48	1395000 51	1142857 49	3909660 47	9975518 49	7909641 49
1100	50	2122421 48	1390000 51	1575758 49	4087305 47	9973269 49	7485562 49
1150	50	2026499 48	1385000 51	1971015 49	4265424 47	9971006 49	7100794 49
1200	50	1939074 48	1380000 51	2333334 49	4444030 47	9968727 49	6750138 49
1250	50	1859074 48	1375000 51	2666667 49	4623137 47	9966433 49	6429223 49
1300	50	1785599 48	1370000 51	2974359 49	4802760 47	9964125 49	6134572 49
1350	50	1717889 48	1365000 51	3259260 49	4982909 47	9961801 49	5863018 49
1400	50	1655298 48	1360000 51	3523810 49	5163599 47	9959462 49	5612074 49
1450	50	1597272 48	1355000 51	3770115 49	5344844 47	9957107 49	5379425 49
1500	50	1543333 48	1350000 51	4000000 49	5526655 47	9954736 49	5163178 49
1550	50	1493070 48	1345000 51	4215054 49	5709047 47	9952349 49	4961640 49
1600	50	1446122 48	1340000 51	4416667 49	5892034 47	9949946 49	4773425 49
1650	50	1402177 48	1335000 51	4606061 49	6075627 47	9947527 49	4597234 49
1700	50	1360959 48	1330000 51	4784314 49	6259840 47	9945092 49	4432005 49
1750	50	1322226 48	1325000 51	4952381 49	6444688 47	9942640 49	4276710 49
1800	50	1285761 48	1320000 51	5111111 49	6630182 47	9940171 49	4130504 49
1850	50	1251375 48	1315000 51	5261262 49	6816336 47	9937686 49	3992619 49
1900	50	1218897 48	1310000 51	5403509 49	7003165 47	9935183 49	3862425 49
1950	50	1188175 48	1305000 51	5538462 49	7190679 47	9932663 49	3739213 49
2000	50	1159074 48	1300000 51	5666667 49	7378894 47	9930126 49	3622508 49
2500	50	9351852 47	1250000 51	6666667 49	9302459 47	9903751 49	2723937 49
3000	50	7896296 47	1200000 51	7333334 49	1131061 48	9875414 49	2137953 49
3500	50	6881557 47	1150000 51	7809524 49	1341661 48	9844887 49	1727141 49
4000	50	6139352 47	1100000 51	8166667 49	1563373 48	9811906 49	1424048 49
4500	50	5577366 47	1050000 51	8444445 49	1797522 48	9776161 49	1191736 49
5000	50	5140740 47	1000000 51	8666667 49	2043435 48	9737289 49	1008297 49
5500	50	4794827 47	9500000 50	8848485 49	2308439 48	9694861 49	8599492 48
6000	50	4516666 47	9000000 50	9000000 49	2587859 48	9648363 49	7375981 48
6500	50	4290444 47	8500000 50	9128205 49	2885022 48	9597177 49	6350195 48
7000	50	4104913 47	8000000 50	9238096 49	3201254 48	9540556 49	5478219 48
7500	50	3951652 47	7500000 50	9333334 49	3537881 48	9477581 49	4728329 48
8000	50	3823115 47	7000000 50	9416667 49	3896230 48	9407115 49	4077070 48
8500	50	3720018 47	6500000 50	9490196 49	4277628 48	9332729 49	3506885 48
9000	50	3633922 47	6000000 50	9555556 49	4683399 48	9253603 49	3004395 48

Compton Cross Sections vs Energy of Scattered Quantum

15 51=γ γ'	$\sigma_3(\gamma')/\phi_0$	E	w	$\sigma_1(w,\phi)/\phi_0$	w'	$\sigma_4(w',\phi)/\phi_0$
9500 50	3560962 47	5500000 50	9614035 49	5114871 48	9134387 49	2559363 48
1000 51	3501852 47	5000000 50	9666667 49	5573370 48	9014977 49	2163815 48
1200 51	3361574 47	3000000 50	9833334 49	7704160 48	8262359 49	9712860 47
1400 51	3325434 47	1000000 50	9952381 49	1037348 49	6158400 49	2578227 47
1500 51	3333333 47	0000000 00	1000000 50	1193662 49	0000000 00	0000000 00

$16_{\gamma'}$ 51 $=\gamma$	$\sigma_3(\gamma')/\phi_0$	E	w	$\sigma_1(w,\phi)/\phi_0$	w'	$\sigma_4(w',\phi)/\phi_0$
4848 49	4838423 48	1551515 51	1000000 50*	1810239 47	1000000 50	2092637 50
5000 49	4674339 48	1550000 51	9375000 49*	1859860 47	9999441 49	2018033 50
5500 49	4203565 48	1545000 51	7556818 49*	2023780 47	9997593 49	1804125 50
6000 49	3818728 48	1540000 51	6041667 49*	2187970 47	9995733 49	1629273 50
6500 49	3498420 48	1535000 51	4759615 49*	2352441 47	9993862 49	1483761 50
7000 49	3227768 48	1530000 51	3660714 49*	2517205 47	9991981 49	1360835 50
7500 49	2996126 48	1525000 51	2708333 49*	2682272 47	9990087 49	1255657 50
8000 49	2795677 48	1520000 51	1875000 49*	2847653 47	9988183 49	1164646 50
8500 49	2620553 48	1515000 51	1139706 49*	3013359 47	9986267 49	1085144 50
9000 49	2466268 48	1510000 51	4861110 48*	3179402 47	9984339 49	1015107 50
9500 49	2329332 48	1505000 51	9868400 47	3345791 47	9982400 49	9529661 49
1000 50	2206993 48	1500000 51	6250000 48	3512538 47	9980449 49	8974519 49
1050 50	2097047 48	1495000 51	1101190 49	3679654 47	9978486 49	8475696 49
1100 50	1997715 48	1490000 51	1534091 49	3847150 47	9976511 49	8025065 49
1150 50	1907540 48	1485000 51	1929348 49	4015037 47	9974524 49	7615984 49
1200 50	1825319 48	1480000 51	2291667 49	4183324 47	9972525 49	7243091 49
1250 50	1750053 48	1475000 51	2625000 49	4352025 47	9970513 49	6901750 49
1300 50	1680900 48	1470000 51	2932692 49	4521149 47	9968489 49	6588178 49
1350 50	1617151 48	1465000 51	3217593 49	4690708 47	9966453 49	6299127 49
1400 50	1558201 48	1460000 51	3482143 49	4860712 47	9964404 49	6031917 49
1450 50	1503533 48	1455000 51	3728448 49	5031172 47	9962341 49	5784024 49
1500 50	1452700 48	1450000 51	3958333 49	5202099 47	9960266 49	5553669 49
1550 50	1405316 48	1445000 51	4173387 49	5373505 47	9958178 49	5338840 49
1600 50	1361045 48	1440000 51	4375000 49	5545399 47	9956077 49	5138200 49
1650 50	1319594 48	1435000 51	4564394 49	5717794 47	9953962 49	4950310 49
1700 50	1280704 48	1430000 51	4742647 49	5890699 47	9951834 49	4774073 49
1750 50	1244148 48	1425000 51	4910714 49	6064126 47	9949693 49	4608416 49
1800 50	1209723 48	1420000 51	5069444 49	6238086 47	9947538 49	4452419 49
1850 50	1177253 48	1415000 51	5219595 49	6412590 47	9945368 49	4305242 49
1900 50	1146576 48	1410000 51	5361842 49	6587648 47	9943186 49	4166241 49
1950 50	1117551 48	1405000 51	5496795 49	6763272 47	9940988 49	4034680 49
2000 50	1090049 48	1400000 51	5625000 49	6939472 47	9938777 49	3910034 49
2500 50	8781967 47	1350000 51	6625000 49	8735584 47	9915850 49	2949496 49
3000 50	7401148 47	1300000 51	7291667 49	1060136 48	9891336 49	2322195 49
3500 50	6435900 47	1250000 51	7767857 49	1254774 48	9865064 49	1881946 49
4000 50	5727768 47	1200000 51	8125000 49	1458564 48	9836838 49	1556897 49
4500 50	5189754 47	1150000 51	8402778 49	1672599 48	9806430 49	1307637 49
5000 50	4770126 47	1100000 51	8625000 49	1897973 48	9773578 49	1110791 49
5500 50	4436193 47	1050000 51	8806818 49	2135777 48	9737973 49	9516150 48
6000 50	4166285 47	1000000 51	8958333 49	2387105 48	9699253 49	8203751 48
6500 50	3943469 47	9500000 50	9086538 49	2653050 48	9656991 49	7103931 48
7000 50	3763121 47	9000000 50	9196429 49	2934704 48	9610673 49	6169486 48
7500 50	3611475 47	8500000 50	9291667 49	3233161 48	9559688 49	5366226 48
8000 50	3484726 47	8000000 50	9375000 49	3549512 48	9503288 49	4668795 48
8500 50	3378442 47	7500000 50	9448529 49	3884852 48	9440560 49	4058114 48
9000 50	3289187 47	7000000 50	9513889 49	4240272 48	9370369 49	3519592 48

Compton Cross Sections vs Energy of Scattered Quantum

$16\ \gamma'\ 51 = \gamma$	$\sigma_3(\gamma')/\phi_0$	E	w	$\sigma_1(w,\phi)/\phi_0$	w'	$\sigma_4(w',\phi)/\phi_0$
9500 50	3214252 47	6500000 50	9572368 49	4616866 48	9291293 49	3041985 48
1000 51	3151474 47	6000000 50	9625000 49	5015726 48	9201519 49	2616468 48
1200 51	2991358 47	4000000 50	9791667 49	6855688 48	8675274 49	1317090 48
1400 51	2929804 47	2000000 50	9910714 49	9139338 48	7513014 49	4965198 47
1600 51	2929687 47	0000000 00	1000000 50	1193662 49	0000000 00	0000000 00

Compton Cross Sections vs Energy of Scattered Quantum

17 51 $=\gamma$ γ'	$\sigma_3(\gamma')/\phi_0$	E	w	$\sigma_1(w,\phi)/\phi_0$	w'	$\sigma_4(w',\phi)/\phi_0$
4857 49	4545229 48	1651428 51	1000000 50*	1706623 47	1000000 50	2211784 50
5000 49	4400764 48	1650000 51	9411765 49*	1751008 47	9999532 49	2138067 50
5500 49	3959957 48	1645000 51	7593583 49*	1906496 47	9997889 49	1913213 50
6000 49	3599234 48	1640000 51	6078432 49*	2062209 47	9996238 49	1729231 50
6500 49	3298719 48	1635000 51	4796380 49*	2218156 47	9994577 49	1575987 50
7000 49	3044585 48	1630000 51	3697479 49*	2374348 47	9992906 49	1446426 50
7500 49	2826921 48	1625000 51	2745098 49*	2530791 47	9991227 49	1335458 50
8000 49	2638444 48	1620000 51	1911765 49*	2687497 47	9989537 49	1239394 50
8500 49	2473681 48	1615000 51	1176471 49*	2844473 47	9987839 49	1155429 50
9000 49	2328447 48	1610000 51	5228760 48*	3001729 47	9986130 49	1081421 50
9500 49	2199479 48	1605000 51	6191900 47	3159274 47	9984412 49	1015712 50
1000 50	2084206 48	1600000 51	5882350 48	3317117 47	9982684 49	9569933 49
1050 50	1980567 48	1595000 51	1064425 49	3475268 47	9980945 49	9041996 49
1100 50	1886895 48	1590000 51	1497326 49	3633735 47	9979197 49	8564940 49
1150 50	1801826 48	1585000 51	1892583 49	3792527 47	9977439 49	8131693 49
1200 50	1724234 48	1580000 51	2254902 49	3951654 47	9975671 49	7736617 49
1250 50	1653181 48	1575000 51	2588235 49	4111125 47	9973892 49	7374941 49
1300 50	1587879 48	1570000 51	2895927 49	4270948 47	9972103 49	7042456 49
1350 50	1527662 48	1565000 51	3180828 49	4431134 47	9970304 49	6735956 49
1400 50	1471961 48	1560000 51	3445378 49	4591690 47	9968493 49	6452425 49
1450 50	1420292 48	1555000 51	3691683 49	4752627 47	9966673 49	6189497 49
1500 50	1372234 48	1550000 51	3921568 49	4913953 47	9964841 49	5944933 49
1550 50	1327426 48	1545000 51	4136622 49	5075677 47	9962999 49	5716978 49
1600 50	1285552 48	1540000 51	4338235 49	5237810 47	9961146 49	5503933 49
1650 50	1246334 48	1535000 51	4527629 49	5400358 47	9959282 49	5304411 49
1700 50	1209531 48	1530000 51	4705882 49	5563332 47	9957406 49	5117139 49
1750 50	1174928 48	1525000 51	4873949 49	5726742 47	9955520 49	4941101 49
1800 50	1142336 48	1520000 51	5032679 49	5890594 47	9953622 49	4775337 49
1850 50	1111587 48	1515000 51	5182830 49	6054900 47	9951713 49	4618955 49
1900 50	1082530 48	1510000 51	5325077 49	6219669 47	9949792 49	4471157 49
1950 50	1055031 48	1505000 51	5460030 49	6384908 47	9947859 49	4331296 49
2000 50	1028970 48	1500000 51	5588235 49	6550628 47	9945915 49	4198751 49
2500 50	8279983 47	1450000 51	6588235 49	8236251 47	9925802 49	3176417 49
3000 50	6967309 47	1400000 51	7254902 49	9979936 47	9904387 49	2507872 49
3500 50	6047651 47	1350000 51	7731092 49	1179079 48	9881539 49	2038204 49
4000 50	5371310 47	1300000 51	8088235 49	1367792 48	9857110 49	1691161 49
4500 50	4856036 47	1250000 51	8366013 49	1565045 48	9830929 49	1424904 49
5000 50	4452892 47	1200000 51	8588235 49	1771749 48	9802801 49	1214566 49
5500 50	4130938 47	1150000 51	8770053 49	1988814 48	9772498 49	1044468 49
6000 50	3869660 47	1100000 51	8921568 49	2217152 48	9739760 49	9042349 48
6500 50	3654915 47	1050000 51	9049773 49	2457673 48	9704278 49	7867455 48
7000 50	3476640 47	1000000 51	9159664 49	2711289 48	9665692 49	6869550 48
7500 50	3327476 47	9500000 50	9254902 49	2978912 48	9623575 49	6012018 48
8000 50	3201922 47	9000000 50	9338235 49	3261451 48	9577419 49	5267659 48
8500 50	3093778 47	8500000 50	9411764 49	3559818 48	9526610 49	4615946 48
9000 50	3005786 47	8000000 50	9477124 49	3874924 48	9470405 49	4041103 48

17 51=γ'	$\sigma_3(\gamma')/\phi_0$	E	w	$\sigma_1(w,\phi)/\phi_0$	w'	$\sigma_4(w',\phi)/\phi_0$
9500 50	2929378 47	7500000 50	9535603 49	4207681 48	9407894 49	3530932 48
1000 51	2864504 47	7000000 50	9588235 49	4558999 48	9337946 49	3075808 48
1200 51	2691345 47	5000000 50	9754902 49	6168109 48	8948692 49	1675320 48
1400 51	2611717 47	3000000 50	9873949 49	8147088 48	8201618 49	7602237 47
1600 51	2590402 47	1000000 50	9963235 49	1055425 49	6113135 49	2023249 47
1700 51	2595155 47	0000000 00	1000000 50	1193662 49	0000000 00	0000000 00

$18^{51=\gamma}_{\gamma'}$	$\sigma_3(\gamma')/\phi_0$	E	w	$\sigma_1(w,\phi)/\phi_0$	w'	$\sigma_4(w',\phi)/\phi_0$
4864 49	4285535 48	1751351 51	1000000 50*	1614235 47	1000000 50	2330955 50
5000 49	4157378 48	1750000 51	9444444 49*	1654168 47	9999604 49	2257985 50
5500 49	3742989 48	1745000 51	7626262 49*	1802038 47	9998135 49	2022275 50
6000 49	3403563 48	1740000 51	6111111 49*	1950098 47	9996658 49	1829123 50
6500 49	3120557 48	1735000 51	4829059 49*	2098355 47	9995173 49	1668182 50
7000 49	2881055 48	1730000 51	3730158 49*	2246817 47	9993681 49	1531982 50
7500 49	2675790 48	1725000 51	2777777 49*	2395492 47	9992180 49	1415246 50
8000 49	2497945 48	1720000 51	1944444 49*	2544386 47	9990672 49	1314123 50
8500 49	2342397 48	1715000 51	1209150 49*	2693509 47	9989155 49	1225700 50
9000 49	2205218 48	1710000 51	5555550 48*	2842868 47	9987630 49	1147718 50
9500 49	2083351 48	1705000 51	2924000 47	2992470 47	9986097 49	1078467 50
1000 50	1974379 48	1700000 51	5555560 48	3142323 47	9984555 49	1016541 50
1050 50	1876369 48	1695000 51	1031746 49	3292434 47	9983006 49	9608471 49
1100 50	1787754 48	1690000 51	1464647 49	3442812 47	9981447 49	9104978 49
1150 50	1707251 48	1685000 51	1859904 49	3593464 47	9979881 49	8647738 49
1200 50	1633802 48	1680000 51	2222223 49	3744398 47	9978305 49	8230593 49
1250 50	1566522 48	1675000 51	2555556 49	3895621 47	9976721 49	7848433 49
1300 50	1504671 48	1670000 51	2863248 49	4047141 47	9975129 49	7497199 49
1350 50	1447620 48	1665000 51	3148149 49	4198966 47	9973527 49	7173278 49
1400 50	1394836 48	1660000 51	3412699 49	4351104 47	9971917 49	6873650 49
1450 50	1345860 48	1655000 51	3659004 49	4503561 47	9970298 49	6595592 49
1500 50	1300297 48	1650000 51	3888889 49	4656346 47	9968669 49	6336972 49
1550 50	1257805 48	1645000 51	4103943 49	4809467 47	9967032 49	6095819 49
1600 50	1218086 48	1640000 51	4305556 49	4962930 47	9965385 49	5870350 49
1650 50	1180880 48	1635000 51	4494950 49	5116745 47	9963729 49	5659208 49
1700 50	1145956 48	1630000 51	4673203 49	5270917 47	9962064 49	5461066 49
1750 50	1113115 48	1625000 51	4841270 49	5425457 47	9960389 49	5274703 49
1800 50	1082175 48	1620000 51	5000000 49	5580370 47	9958705 49	5099175 49
1850 50	1052980 48	1615000 51	5150151 49	5735664 47	9957012 49	4933512 49
1900 50	1025385 48	1610000 51	5292398 49	5891348 47	9955309 49	4777018 49
1950 50	9992666 47	1605000 51	5427351 49	6047428 47	9953595 49	4628842 49
2000 50	9745084 47	1600000 51	5555556 49	6203913 47	9951873 49	4488399 49
2500 50	7834076 47	1550000 51	6555556 49	7792700 47	9934085 49	3404458 49
3000 50	6583647 47	1500000 51	7222223 49	9430381 47	9915218 49	2694789 49
3500 50	5705968 47	1450000 51	7698413 49	1112463 48	9895166 49	2195725 49
4000 50	5059192 47	1400000 51	8055556 49	1288312 48	9873818 49	1826686 49
4500 50	4565329 47	1350000 51	8333334 49	1471354 48	9851041 49	1543389 49
5000 50	4177955 47	1300000 51	8555556 49	1662355 48	9826687 49	1319504 49
5500 50	3867708 47	1250000 51	8737374 49	1862083 48	9800587 49	1138412 49
6000 50	3615112 47	1200000 51	8888889 49	2071306 48	9772545 49	9891081 48
6500 50	3406738 47	1150000 51	9017094 49	2290791 48	9742336 49	8640276 48
7000 50	3233027 47	1100000 51	9126985 49	2521306 48	9709698 49	7578077 48
7500 50	3086991 47	1050000 51	9222223 49	2763618 48	9674326 49	6665508 48
8000 50	2963400 47	1000000 51	9305556 49	3018495 48	9635859 49	5873549 48
8500 50	2858265 47	9500000 50	9379085 49	3286704 48	9593873 49	5180241 48
9000 50	2768490 47	9000000 50	9444445 49	3569012 48	9547858 49	4568685 48

Compton Cross Sections vs Energy of Scattered Quantum

18 51 $=\gamma$ γ'	$\sigma_3(\gamma')/\phi_0$	E	w	$\sigma_1(w,\phi)/\phi_0$	w'	$\sigma_4(w',\phi)/\phi_0$
9500 50	2691632 47	8500000 50	9502924 49	3866189 48	9497207 49	4025764 48
1000 51	2625743 47	8000000 50	9555556 49	4179000 48	9441175 49	3541075 48
1200 51	2444308 47	6000000 50	9722223 49	5601943 48	9141377 49	2042696 48
1400 51	2351849 47	4000000 50	9841270 49	7336446 48	8618573 49	1042329 48
1600 51	2314870 47	2000000 50	9930556 49	9431631 48	7463894 49	3948817 47
1800 51	2314814 47	0000000 00	1000000 50	1193662 49	0000000 00	0000000 00

Compton Cross Sections vs Energy of Scattered Quantum

19 51 = γ γ'	$\sigma_3(\gamma')/\phi_0$	E	w	$\sigma_1(w,\phi)/\phi_0$	w'	$\sigma_4(w',\phi)/\phi_0$
4871 49	4053910 48	1851282 51	1000000 50*	1531342 47	1000000 50	2450147 50
5000 49	3939455 48	1850000 51	9473684 49*	1567459 47	9999662 49	2377905 50
5500 49	3548525 48	1845000 51	7655502 49*	1708415 47	9998340 49	2131209 50
6000 49	3228042 48	1840000 51	6140351 49*	1849531 47	9997012 49	1929021 50
6500 49	2960631 48	1835000 51	4858299 49*	1990816 47	9995677 49	1760338 50
7000 49	2734179 48	1830000 51	3759398 49*	2132274 47	9994335 49	1617475 50
7500 49	2539986 48	1825000 51	2807017 49*	2273913 47	9992986 49	1494998 50
8000 49	2371647 48	1820000 51	1973684 49*	2415740 47	9991631 49	1388862 50
8500 49	2224343 48	1815000 51	1238390 49*	2557760 47	9990269 49	1295978 50
9000 49	2094380 48	1810000 51	5847950 48*	2699980 47	9988899 49	1214039 50
9500 49	1978878 48	1805000 51	0000000	2842407 47	9987523 49	1141232 50
1000 50	1875561 48	1800000 51	5263160 48	2985048 47	9986140 49	1076112 50
1050 50	1782605 48	1795000 51	1002506 49	3127908 47	9984749 49	1017532 50
1100 50	1698534 48	1790000 51	1435407 49	3270995 47	9983351 49	9645461 49
1150 50	1622137 48	1785000 51	1830664 49	3414314 47	9981946 49	9164114 49
1200 50	1552415 48	1780000 51	2192983 49	3557873 47	9980534 49	8724907 49
1250 50	1488533 48	1775000 51	2526316 49	3701678 47	9979114 49	8322467 49
1300 50	1429791 48	1770000 51	2834008 49	3845735 47	9977687 49	7952474 49
1350 50	1375595 48	1765000 51	3118909 49	3990051 47	9976253 49	7611148 49
1400 50	1325442 48	1760000 51	3383459 49	4134633 47	9974811 49	7295324 49
1450 50	1278897 48	1755000 51	3629764 49	4279487 47	9973361 49	7002242 49
1500 50	1235586 48	1750000 51	3859649 49	4424619 47	9971904 49	6729564 49
1550 50	1195188 48	1745000 51	4074703 49	4570037 47	9970439 49	6475265 49
1600 50	1157418 48	1740000 51	4276316 49	4715745 47	9968966 49	6237506 49
1650 50	1122031 48	1735000 51	4465710 49	4861753 47	9967486 49	6014785 49
1700 50	1088809 48	1730000 51	4643963 49	5008065 47	9965997 49	5805682 49
1750 50	1057562 48	1725000 51	4812030 49	5154687 47	9964501 49	5609098 49
1800 50	1028121 48	1720000 51	4970760 49	5301629 47	9962997 49	5423772 49
1850 50	1000333 48	1715000 51	5120911 49	5448893 47	9961484 49	5248965 49
1900 50	9740659 47	1710000 51	5263158 49	5596489 47	9959963 49	5083707 49
1950 50	9491985 47	1705000 51	5398111 49	5744422 47	9958435 49	4927276 49
2000 50	9256231 47	1700000 51	5526316 49	5892699 47	9956898 49	4778960 49
2500 50	7435083 47	1650000 51	6526316 49	7395814 47	9941055 49	3633534 49
3000 50	6241639 47	1600000 51	7192983 49	8940490 47	9924305 49	2882772 49
3500 50	5403643 47	1550000 51	7669173 49	10533325 48	9906567 49	2354361 49
4000 50	4783321 47	1500000 51	8026316 49	12180062 48	9887751 49	1963325 49
4500 50	4309533 47	1450000 51	8304094 49	13889914 48	9867756 49	1662969 49
5000 50	3937124 47	1400000 51	8526316 49	15666532 48	9846466 49	1425497 49
5500 50	3638160 47	1350000 51	8708134 49	17515569 48	9823752 49	1233359 49
6000 50	3394103 47	1300000 51	8859649 49	19446677 48	9799466 49	1074923 49
6500 50	3192171 47	1250000 51	8987854 49	21466510 48	9773439 49	9421880 48
7000 50	3023265 47	1200000 51	9097745 49	23577721 48	9745474 49	8294722 48
7500 50	2880726 47	1150000 51	9192983 49	25789960 48	9715349 49	7326475 48
8000 50	2759577 47	1100000 51	9276316 49	28108882 48	9682802 49	6486304 48
8500 50	2656016 47	1050000 51	9349845 49	30541138 48	9647527 49	5750877 48
9000 50	2567094 47	1000000 51	9415205 49	33093382 48	9609167 49	5102192 48

19 51=γ γ'	$\sigma_8(\gamma')/\phi_0$	E	w	$\sigma_1(w,\phi)/\phi_0$	w'	$\sigma_4(w',\phi)/\phi_0$
9500 50	2490485 47	95000000 50	9473684 49	3577266 48	9567297 49	4526230 48
1000 51	2424331 47	90000000 50	9526316 49	3858443 48	9521410 49	4011858 48
1200 51	2238003 47	70000000 50	9692983 49	5129126 48	9283336 49	2417219 48
1400 51	2136507 47	50000000 50	9812030 49	6664699 48	8896360 49	1337766 48
1600 51	2087914 47	30000000 50	9901316 49	8506929 48	8153646 49	6113230 47
1800 51	2074533 47	10000000 50	9970760 49	1069758 49	6077386 49	1629858 47
1900 51	2077562 47	00000000 00	1000000 50	1193662 49	00000000 00	00000000 00

$20 \atop \gamma'$ $51 = \gamma$	$\sigma_3(\gamma')/\phi_0$	E	w	$\sigma_1(w,\phi)/\phi_0$	w'	$\sigma_4(w',\phi)/\phi_0$
4878 49	3846036 48	1951219 51	1000000 50*	1456551 47	1000000 50	2569356 50
5000 49	3743203 48	1950000 51	9500000 49*	1489373 47	9999709 49	2497758 50
5500 49	3373241 48	1945000 51	7681818 49*	1624025 47	9998513 49	2240116 50
6000 49	3069713 48	1940000 51	6166667 49*	1758816 47	9997312 49	2028846 50
6500 49	2816280 48	1935000 51	4884615 49*	1893750 47	9996105 49	1852447 50
7000 49	2601538 48	1930000 51	3785714 49*	2028833 47	9994893 49	1702968 50
7500 49	2417291 48	1925000 51	2833333 49*	2164072 47	9993674 49	1574738 50
8000 49	2257500 48	1920000 51	2000000 49*	2299470 47	9992450 49	1463570 50
8500 49	2117616 48	1915000 51	1264706 49*	2435035 47	9991219 49	1366244 50
9000 49	1994152 48	1910000 51	6111110 48*	2570771 47	9989983 49	1280342 50
9500 49	1884388 48	1905000 51	2631600 47*	2706684 47	9988740 49	1204002 50
1000 50	1786171 48	1900000 51	5000000 48	2842780 47	9987492 49	1135690 50
1050 50	1697779 48	1895000 51	9761900 48	2979065 47	9986237 49	1074211 50
1100 50	1617813 48	1890000 51	1409091 49	3115543 47	9984976 49	1018616 50
1150 50	1545127 48	1885000 51	1804348 49	3252221 47	9983709 49	9680723 49
1200 50	1478776 48	1880000 51	2166667 49	3389105 47	9982436 49	9219429 49
1250 50	1417968 48	1875000 51	2500000 49	3526198 47	9981156 49	8796787 49
1300 50	1362041 48	1870000 51	2807692 49	3663509 47	9979871 49	8408065 49
1350 50	1310433 48	1865000 51	3092593 49	3801041 47	9978578 49	8049437 49
1400 50	1262664 48	1860000 51	3357143 49	3938801 47	9977280 49	7717527 49
1450 50	1218323 48	1855000 51	3603448 49	4076794 47	9975974 49	7409348 49
1500 50	1177057 48	1850000 51	3833333 49	4215025 47	9974663 49	7122747 49
1550 50	1138558 48	1845000 51	4048387 49	4353501 47	9973344 49	6855234 49
1600 50	1102558 48	1840000 51	4250000 49	4492227 47	9972019 49	6605224 49
1650 50	1068824 48	1835000 51	4439394 49	4631209 47	9970688 49	6370900 49
1700 50	1037150 48	1830000 51	4617647 49	4770452 47	9969349 49	6150924 49
1750 50	1007353 48	1825000 51	4785714 49	4909961 47	9968004 49	5944042 49
1800 50	9792736 47	1820000 51	4944444 49	5049742 47	9966652 49	5749079 49
1850 50	9527681 47	1815000 51	5094595 49	5189802 47	9965293 49	5565058 49
1900 50	9277088 47	1810000 51	5236842 49	5330145 47	9963927 49	5391099 49
1950 50	9039817 47	1805000 51	5371795 49	5470776 47	9962554 49	5226369 49
2000 50	8814843 47	1800000 51	5500000 49	5611703 47	9961174 49	5070218 49
2500 50	7075781 47	1750000 51	6500000 49	7038409 47	9946974 49	3863466 49
3000 50	5934635 47	1700000 51	7166667 49	8500739 47	9932005 49	3071696 49
3500 50	5131329 47	1650000 51	7642857 49	1000428 48	9916202 49	2513955 49
4000 50	4537500 47	1600000 51	8000000 49	1155464 48	9899494 49	2100952 49
4500 50	4082494 47	1550000 51	8277778 49	1315742 48	9881801 49	1783525 49
5000 50	3724218 47	1500000 51	8500000 49	1481819 48	9863032 49	1532445 49
5500 50	3436034 47	1450000 51	8681818 49	1654257 48	9843087 49	1329224 49
6000 50	3200260 47	1400000 51	8833333 49	1833614 48	9821850 49	1161609 49
6500 50	3004701 47	1350000 51	8961538 49	2020450 48	9799193 49	1021167 49
7000 50	2840672 47	1300000 51	9071429 49	2215324 48	9774967 49	9019037 48
7500 50	2701823 47	1250000 51	9166667 49	2418797 48	9749005 49	7994552 48
8000 50	2583398 47	1200000 51	9250000 49	2631428 48	9721111 49	7105667 48
8500 50	2481771 47	1150000 51	9323529 49	2853775 48	9691061 49	6327650 48
9000 50	2394126 47	1100000 51	9388889 49	3086399 48	9658595 49	5641426 48

Compton Cross Sections vs Energy of Scattered Quantum

$20\ \ 51 = \gamma$ γ'	$\sigma_3(\gamma')/\phi_0$	E	w	$\sigma_1(w,\phi)/\phi_0$	w'	$\sigma_4(w',\phi)/\phi_0$
9500 50	2318241 47	1050000 51	9447368 49	3329860 48	9623409 49	5032104 48
1000 51	2252343 47	1000000 51	9500000 49	3584716 48	9585144 49	4487840 48
1200 51	2063541 47	8000000 50	9666667 49	4729289 48	9391484 49	2797616 48
1400 51	1955787 47	6000000 50	9785714 49	6100955 48	9093267 49	1643100 48
1600 51	1898584 47	4000000 50	9875000 49	7735527 48	8573214 49	8458970 47
1800 51	1875028 47	2000000 50	9944444 49	9668811 48	7424634 49	3215498 47
2000 51	1875000 47	0000000 00	1000000 50	1193662 49	0000000 00	0000000 00

Compton Cross Sections vs Energy of Scattered Quantum

$2 \cdot 51 = \gamma$ γ'	$\sigma_3(\gamma')/\phi_0$	E	w	$\sigma_1(w,\phi)/\phi_0$	w'	$\sigma_4(w',\phi)/\phi_0$
4888 49	3488291 48	2151111 51	1000000 50*	1326946 47	1000000 50	2807817 50
5000 49	3403968 48	2150000 51	9545454 49*	1354396 47	9999780 49	2737192 50
5500 49	3069894 48	2145000 51	7727272 49*	1477981 47	9998788 49	2457963 50
6000 49	2795442 48	2140000 51	6212121 49*	1601670 47	9997792 49	2228416 50
6500 49	2566019 48	2135000 51	4930069 49*	1725467 47	9996791 49	2036589 50
7000 49	2371423 48	2130000 51	3831168 49*	1849376 47	9995787 49	1873908 50
7500 49	2204310 48	2125000 51	2878787 49*	1973401 47	9994777 49	1734209 50
8000 49	2059261 48	2120000 51	2045454 49*	2097546 47	9993764 49	1612984 50
8500 49	1932191 48	2115000 51	1310160 49*	2221816 47	9992745 49	1506781 50
9000 49	1819963 48	2110000 51	6565650 48*	2346215 47	9991723 49	1412985 50
9500 49	1720128 48	2105000 51	7177000 47*	2470747 47	9990695 49	1329567 50
1000 50	1630748 48	2100000 51	4545460 48	2595416 47	9989654 49	1254869 50
1050 50	1550266 48	2095000 51	9307360 48	2720226 47	9988627 49	1187655 50
1100 50	1477422 48	2090000 51	1363637 49	2845182 47	9987586 49	1126801 50
1150 50	1411181 48	2085000 51	1758894 49	2970288 47	9986540 49	1071461 50
1200 50	1350687 48	2080000 51	2121213 49	3095547 47	9985490 49	1020948 50
1250 50	1295227 48	2075000 51	2454546 49	3220965 47	9984435 49	9746334 49
1300 50	1244199 48	2070000 51	2762238 49	3346546 47	9983375 49	9320313 49
1350 50	1197095 48	2065000 51	3047139 49	3472293 47	9982310 49	8927045 49
1400 50	1153481 48	2060000 51	3311689 49	3598211 47	9981241 49	8562932 49
1450 50	1112984 48	2055000 51	3557994 49	3724304 47	9980166 49	8224883 49
1500 50	1075283 48	2050000 51	3787879 49	3850576 47	9979087 49	7910226 49
1550 50	1040101 48	2045000 51	4002933 49	3977031 47	9978003 49	7616645 49
1600 50	1007193 48	2040000 51	4204546 49	4103674 47	9976913 49	7341944 49
1650 50	9763481 47	2035000 51	4393940 49	4230509 47	9975819 49	7084668 49
1700 50	9473786 47	2030000 51	4572193 49	4357541 47	9974720 49	6842932 49
1750 50	9201194 47	2025000 51	4740260 49	4484772 47	9973616 49	6615530 49
1800 50	8944246 47	2020000 51	4898990 49	4612208 47	9972507 49	6401245 49
1850 50	8701643 47	2015000 51	5049141 49	4739852 47	9971392 49	6198903 49
1900 50	8472223 47	2010000 51	5191388 49	4867710 47	9970272 49	6007576 49
1950 50	8254947 47	2005000 51	5326341 49	4995784 47	9969148 49	5826436 49
2000 50	8048886 47	2000000 51	5454546 49	5124080 47	9968017 49	5654549 49
2500 50	6454221 47	1950000 51	6454546 49	6420131 47	9956420 49	4325437 49
3000 50	5405589 47	1900000 51	7121213 49	7742936 47	9944256 49	3451944 49
3500 50	4665813 47	1850000 51	7597403 49	9096694 47	9931482 49	2835694 49
4000 50	4117690 47	1800000 51	7954546 49	1048561 48	9918052 49	2378742 49
4500 50	3696652 47	1750000 51	8232324 49	1191389 48	9903914 49	2027191 49
5000 50	3364204 47	1700000 51	8454546 49	1338574 48	9889009 49	1748846 49
5500 50	3095972 47	1650000 51	8636364 49	1490536 48	9873275 49	1523391 49
6000 50	2875771 47	1600000 51	8787879 49	1647695 48	9856639 49	1337327 49
6500 50	2692434 47	1550000 51	8916084 49	1810472 48	9839023 49	1181363 49
7000 50	2538007 47	1500000 51	9025975 49	1979288 48	9820335 49	1048879 49
7500 50	2406669 47	1450000 51	9121213 49	2154562 48	9800476 49	9350625 48
8000 50	2294064 47	1400000 51	9204546 49	2336715 48	9779331 49	8363038 48
8500 50	2196869 47	1350000 51	9278075 49	2526167 48	9756772 49	7498655 48
9000 50	2112499 47	1300000 51	9343435 49	2723339 48	9732651 49	6736264 48

Compton Cross Sections vs Energy of Scattered Quantum

22 51=γ γ′	$\sigma_3(\gamma')/\phi_0$	E	w	$\sigma_1(w,\phi)/\phi_0$	w′	$\sigma_4(w',\phi)/\phi_0$
9500 50	2038921 47	1250000 51	9401914 49	2928652 48	9706801 49	6059298 48
1000 51	1974506 47	1200000 51	9454546 49	3142525 48	9679027 49	5454503 48
1200 51	1785484 47	1000000 51	9621213 49	4092029 48	9543649 49	3573067 48
1400 51	1670856 47	8000000 50	9740260 49	5212131 48	9350829 49	2275088 48
1600 51	1602638 47	6000000 50	9829546 49	6529737 48	9053899 49	1352256 48
1800 51	1565318 47	4000000 50	9898990 49	8071751 48	8536099 49	7004446 47
2000 51	1549602 47	2000000 50	9954546 49	9865078 48	7392459 49	2668907 47
2200 51	1549586 47	0000000 00	1000000 50	1193662 49	0000000 00	0000000 00

Compton Cross Sections vs Energy of Scattered Quantum

$24_{\gamma'}$ $51=\gamma$	$\sigma_3(\gamma')/\phi_0$	E	w	$\sigma_1(w,\phi)/\phi_0$	w'	$\sigma_4(w',\phi)/\phi_0$
4897 49	3191432 48	2351020 51	1000000 50*	1218529 47	1000000 50	3046324 50
5000 49	3121044 48	2350000 51	9583333 49*	1241823 47	9999829 49	2976538 50
5500 49	2816553 48	2345000 51	7765151 49*	1356011 47	9998993 49	2675512 50
6000 49	2566121 48	2340000 51	6250000 49*	1470279 47	9998154 49	2427898 50
6500 49	2356573 48	2335000 51	4967948 49*	1584629 47	9997311 49	2220630 50
7000 49	2178683 48	2330000 51	3869047 49*	1699066 47	9996465 49	2044771 50
7500 49	2025802 48	2325000 51	2916666 49*	1813592 47	9995615 49	1893615 50
8000 49	1893016 48	2320000 51	2083333 49*	1928210 47	9994762 49	1762320 50
8500 49	1776620 48	2315000 51	1348039 49*	2042925 47	9993906 49	1647286 50
9000 49	1673762 48	2310000 51	6944440 48*	2157739 47	9993046 49	1545616 50
9500 49	1582217 48	2305000 51	1096490 48*	2272655 47	9992182 49	1455133 50
1000 50	1500221 48	2300000 51	4166670 48	2387676 47	9991315 49	1374098 50
1050 50	1426358 48	2295000 51	8928570 48	2502807 47	9990445 49	1301100 50
1100 50	1359478 48	2290000 51	1325758 49	2618049 47	9989570 49	1235038 50
1150 50	1298639 48	2285000 51	1721015 49	2733407 47	9988693 49	1174936 50
1200 50	1243060 48	2280000 51	2083334 49	2848883 47	9987811 49	1120028 50
1250 50	1192088 48	2275000 51	2416667 49	2964482 47	9986926 49	1069680 50
1300 50	1145177 48	2270000 51	2724359 49	3080205 47	9986038 49	1023344 50
1350 50	1101861 48	2265000 51	3009260 49	3196056 47	9985145 49	9805637 49
1400 50	1061742 48	2260000 51	3273810 49	3312039 47	9984249 49	9409534 49
1450 50	1024482 48	2255000 51	3520115 49	3428157 47	9983349 49	9041654 49
1500 50	9897867 47	2250000 51	3750000 49	3544412 47	9982446 49	8699056 49
1550 50	9574004 47	2245000 51	3965054 49	3660809 47	9981539 49	8379404 49
1600 50	9271014 47	2240000 51	4166667 49	3777351 47	9980627 49	8080253 49
1650 50	8986951 47	2235000 51	4356061 49	3894040 47	9979712 49	7799938 49
1700 50	8720104 47	2230000 51	4534314 49	4010879 47	9978794 49	7536589 49
1750 50	8468962 47	2225000 51	4702381 49	4127874 47	9977871 49	7288773 49
1800 50	8232185 47	2220000 51	4861111 49	4245025 47	9976944 49	7055171 49
1850 50	8008583 47	2215000 51	5011262 49	4362337 47	9976014 49	6834513 49
1900 50	7797091 47	2210000 51	5153509 49	4479813 47	9975079 49	6625928 49
1950 50	7596757 47	2205000 51	5288462 49	4597456 47	9974141 49	6428285 49
2000 50	7406729 47	2200000 51	5416667 49	4715270 47	9973199 49	6240876 49
2500 50	5934832 47	2150000 51	6416667 49	5903487 47	9963549 49	4789821 49
3000 50	4965323 47	2100000 51	7083334 49	7112301 47	9953469 49	3834787 49
3500 50	4280234 47	2050000 51	7559524 49	8344950 47	9942931 49	3160173 49
4000 50	3771746 47	2000000 51	7916667 49	9604674 47	9931901 49	2659382 49
4500 50	3380418 47	1950000 51	8194445 49	1089470 48	9920346 49	2273707 49
5000 50	3070791 47	1900000 51	8416667 49	1221829 48	9908226 49	1968099 49
5500 50	2820405 47	1850000 51	8598485 49	1357866 48	9895499 49	1720360 49
6000 50	2614339 47	1800000 51	8750000 49	1497906 48	9882117 49	1515774 49
6500 50	2442295 47	1750000 51	8878205 49	1642272 48	9868030 49	1344191 49
7000 50	2296938 47	1700000 51	8988096 49	1791288 48	9853180 49	1198380 49
7500 50	2172896 47	1650000 51	9083334 49	1945278 48	9837502 49	1073073 49
8000 50	2066153 47	1600000 51	9166667 49	2104566 48	9820927 49	9643221 48
8500 50	1973638 47	1550000 51	9240196 49	2269475 48	9803374 49	8691241 48
9000 50	1892969 47	1500000 51	9305556 49	2440330 48	9784754 49	7851516 48

Compton Cross Sections vs Energy of Scattered Quantum

24 51 = γ / γ'	$\sigma_3(\gamma')/\phi_0$	E	w	$\sigma_1(w,\phi)/\phi_0$	w'	$\sigma_4(w',\phi)/\phi_0$
9500 50	1822266 47	1450000 51	9364035 49	2617454 48	9764967 49	7105798 48
1000 51	1760027 47	1400000 51	9416667 49	2801171 48	9743899 49	6439534 48
1200 51	1574481 47	1200000 51	9583334 49	3608444 48	9643958 49	4365261 48
1400 51	1457669 47	1000000 51	9702381 49	4547109 48	9509072 49	2927670 48
1600 51	1383746 47	8000000 50	9791667 49	5637889 48	9316948 49	1891000 48
1800 51	1338377 47	6000000 50	9861111 49	6901506 48	9021098 49	1133394 48
2000 51	1312979 47	4000000 50	9916667 49	8358685 48	8505168 49	5896622 47
2200 51	1302092 47	2000000 50	9962121 49	1003014 49	7365705 49	2250823 47
2400 51	1302083 47	0000000 00	1000000 50	1193662 49	0000000 00	0000000 00

26 γ'	51 $=\gamma$	$\sigma_3(\gamma')/\phi_0$	E	w	$\sigma_1(w,\phi)/\phi_0$	w'	$\sigma_4(w',\phi)/\phi_0$
4905	49	2941135 48	2550943 51	1000000 50*	1126497 47	1000000 50	3284865 50
5000	49	2881497 48	2550000 51	9615385 49*	1146511 47	9999865 49	3215883 50
5500	49	2601803 48	2545000 51	7797203 49*	1252621 47	9999151 49	2893043 50
6000	49	2371545 48	2540000 51	6282052 49*	1358795 47	9998434 49	2627272 50
6500	49	2178716 48	2535000 51	5000000 49*	1465033 47	9997714 49	2404648 50
7000	49	2014901 48	2530000 51	3901099 49*	1571339 47	9996992 49	2215550 50
7500	49	1874027 48	2525000 51	2948718 49*	1677716 47	9996267 49	2053016 50
8000	49	1751600 48	2520000 51	2115385 49*	1784165 47	9995539 49	1911697 50
8500	49	1644229 48	2515000 51	1380091 49*	1890690 47	9994808 49	1787789 50
9000	49	1549303 48	2510000 51	7264960 48*	1997292 47	9994075 49	1678239 50
9500	49	1464783 48	2505000 51	1417010 48*	2103975 47	9993339 49	1580730 50
1000	50	1389049 48	2500000 51	3846150 48	2210741 47	9992600 49	1493359 50
1050	50	1320804 48	2495000 51	8608050 48	2317593 47	9991859 49	1414619 50
1100	50	1258990 48	2490000 51	1293706 49	2424532 47	9991114 49	1343320 50
1150	50	1202743 48	2485000 51	1688963 49	2531563 47	9990367 49	1278450 50
1200	50	1151344 48	2480000 51	2051282 49	2638686 47	9989617 49	1219163 50
1250	50	1104194 48	2475000 51	2384615 49	2745905 47	9988864 49	1164798 50
1300	50	1060788 48	2470000 51	2692307 49	2853223 47	9988108 49	1114746 50
1350	50	1020700 48	2465000 51	2977208 49	2960641 47	9987350 49	1068518 50
1400	50	9835631 47	2460000 51	3241758 49	3068163 47	9986588 49	1025701 50
1450	50	9490645 47	2455000 51	3488063 49	3175790 47	9985823 49	9859288 49
1500	50	9169335 47	2450000 51	3717948 49	3283526 47	9985056 49	9488890 49
1550	50	8869356 47	2445000 51	3933002 49	3391373 47	9984286 49	9143295 49
1600	50	8588658 47	2440000 51	4134615 49	3499334 47	9983512 49	8819748 49
1650	50	8325448 47	2435000 51	4324009 49	3607411 47	9982736 49	8516473 49
1700	50	8078147 47	2430000 51	4502262 49	3715606 47	9981956 49	8231458 49
1750	50	7845360 47	2425000 51	4670329 49	3823923 47	9981174 49	7963295 49
1800	50	7625853 47	2420000 51	4829059 49	3932363 47	9980388 49	7710388 49
1850	50	7418527 47	2415000 51	4979210 49	4040929 47	9979600 49	7471603 49
1900	50	7222400 47	2410000 51	5121457 49	4149625 47	9978808 49	7245661 49
1950	50	7036593 47	2405000 51	5256410 49	4258452 47	9978013 49	7031704 49
2000	50	6860316 47	2400000 51	5384615 49	4367413 47	9977215 49	6828689 49
2500	50	5493964 47	2350000 51	6384615 49	5464947 47	9969061 49	5256048 49
3000	50	4592783 47	2300000 51	7051282 49	6578678 47	9960573 49	4219669 49
3500	50	3955148 47	2250000 51	7527472 49	7711149 47	9951731 49	3486846 49
4000	50	3481241 47	2200000 51	7884615 49	8864908 47	9942512 49	2942349 49
4500	50	3115995 47	2150000 51	8162393 49	1004250 48	9932892 49	2522592 49
5000	50	2826548 47	2100000 51	8384615 49	1124648 48	9922843 49	2189717 49
5500	50	2592075 47	2050000 51	8566433 49	1247938 48	9912337 49	1919688 49
6000	50	2398740 47	2000000 51	8717948 49	1374376 48	9901342 49	1696532 49
6500	50	2236988 47	1950000 51	8846153 49	1504217 48	9889822 49	1509278 49
7000	50	2100013 47	1900000 51	8956044 49	1637714 48	9877739 49	1350073 49
7500	50	1982832 47	1850000 51	9051282 49	1775123 48	9865051 49	1213199 49
8000	50	1881714 47	1800000 51	9134615 49	1916698 48	9851711 49	1094372 49
8500	50	1793812 47	1750000 51	9208144 49	2062695 48	9837667 49	9903279 48
9000	50	1716912 47	1700000 51	9273504 49	2213366 48	9822862 49	8985321 48

Compton Cross Sections vs Energy of Scattered Quantum

26 51 = γ γ'	$\sigma_3(\gamma')/\phi_0$	E	w	$\sigma_1(w,\phi)/\phi_0$	w'	$\sigma_4(w',\phi)/\phi_0$
9500 50	1649270 47	1650000 51	9331983 49	2368968 48	9807234 49	8170013 48
1000 51	1589492 47	1600000 51	9384615 49	2529756 48	9790709 49	7441447 48
1200 51	1409287 47	1400000 51	9551282 49	3229848 48	9713918 49	5172178 48
1400 51	1292949 47	1200000 51	9670329 49	4033274 48	9614286 49	3595800 48
1600 51	1216467 47	1000000 51	9759615 49	4956334 48	9479814 49	2450774 48
1800 51	1166525 47	8000000 50	9829059 49	6015327 48	9288285 49	1599089 48
2000 51	1135144 47	6000000 50	9884615 49	7226553 48	8993343 49	9642594 47
2200 51	1117253 47	4000000 50	9930069 49	8606311 48	8479018 49	5033236 47
2400 51	1109473 47	2000000 50	9967948 49	1017090 49	7343069 49	1923818 47
2600 51	1109467 47	0000000 00	1000000 50	1193662 49	0000000 00	0000000 00

Compton Cross Sections vs Energy of Scattered Quantum

28 γ'	51 = γ	$\sigma_3(\gamma')/\phi_0$	E	w	$\sigma_1(w,\phi)/\phi_0$	w'	$\sigma_4(w',\phi)/\phi_0$
4912	49	2727242 48	2750877 51	1000000 50*	1047394 47	1000000 50	3523434 50
5000	49	2676070 48	2750000 51	9642857 49*	1064774 47	9999891 49	3455228 50
5500	49	2417458 48	2745000 51	7824675 49*	1163869 47	9999274 49	3110653 50
6000	49	2204378 48	2740000 51	6309524 49*	1263015 47	9998654 49	2826438 50
6500	49	2025808 48	2735000 51	5027472 49*	1362213 47	9998033 49	2588479 50
7000	49	1874011 48	2730000 51	3928571 49*	1461465 47	9997409 49	2386500 50
7500	49	1743400 48	2725000 51	2976190 49*	1560773 47	9996783 49	2212307 50
8000	49	1629838 48	2720000 51	2142857 49*	1660139 47	9996155 49	2061057 50
8500	49	1530198 48	2715000 51	1407563 49*	1759566 47	9995524 49	1928291 50
9000	49	1442073 48	2710000 51	7539680 48*	1859055 47	9994892 49	1810905 50
9500	49	1363579 48	2705000 51	1691730 48*	1958609 47	9994257 49	1706314 50
1000	50	1293223 48	2700000 51	3571430 48	2058228 47	9993620 49	1612650 50
1050	50	1229804 48	2695000 51	8333330 48	2157917 47	9992981 49	1528153 50
1100	50	1172346 48	2690000 51	1266234 49	2257676 47	9992339 49	1451648 50
1150	50	1120049 48	2685000 51	1661491 49	2357507 47	9991695 49	1381999 50
1200	50	1072248 48	2680000 51	2023810 49	2457413 47	9991049 49	1318349 50
1250	50	1028389 48	2675000 51	2357143 49	2557395 47	9990401 49	1259970 50
1300	50	9880056 47	2670000 51	2664835 49	2657457 47	9989750 49	1206201 50
1350	50	9506998 47	2665000 51	2949736 49	2757598 47	9989097 49	1156536 50
1400	50	9161343 47	2660000 51	3214286 49	2857823 47	9988442 49	1110534 50
1450	50	8840188 47	2655000 51	3460591 49	2958132 47	9987784 49	1067778 50
1500	50	8541024 47	2650000 51	3690476 49	3058528 47	9987124 49	1027965 50
1550	50	8261673 47	2645000 51	3905530 49	3159014 47	9986462 49	9907990 49
1600	50	8000237 47	2640000 51	4107143 49	3259589 47	9985797 49	9560190 49
1650	50	7755051 47	2635000 51	4296537 49	3360258 47	9985130 49	9233895 49
1700	50	7524652 47	2630000 51	4474790 49	3461022 47	9984460 49	8927338 49
1750	50	7307746 47	2625000 51	4642857 49	3561883 47	9983789 49	8638844 49
1800	50	7103186 47	2620000 51	4801587 49	3662843 47	9983114 49	8366751 49
1850	50	6909950 47	2615000 51	4951738 49	3763903 47	9982437 49	8109794 49
1900	50	6727129 47	2610000 51	5093985 49	3865068 47	9981758 49	7866644 49
1950	50	6553907 47	2605000 51	5228938 49	3966337 47	9981076 49	7636305 49
2000	50	6389550 47	2600000 51	5357143 49	4067713 47	9980392 49	7417805 49
2500	50	5114836 47	2550000 51	6357143 49	5087822 47	9973410 49	5723774 49
3000	50	4273189 47	2500000 51	7023810 49	6120893 47	9966165 49	4606273 49
3500	50	3677056 47	2450000 51	7500000 49	7168966 47	9958640 49	3815334 49
4000	50	3233516 47	2400000 51	7857143 49	8234080 47	9950821 49	3227174 49
4500	50	2891281 47	2350000 51	8134921 49	9318275 47	9942688 49	2773425 49
5000	50	2619733 47	2300000 51	8357143 49	1042358 48	9934222 49	2413310 49
5500	50	2399462 47	2250000 51	8538961 49	1155206 48	9925403 49	2120961 49
6000	50	2217568 47	2200000 51	8690476 49	1270573 48	9916209 49	1879252 49
6500	50	2065143 47	2150000 51	8818681 49	1388663 48	9906614 49	1676295 49
7000	50	1935839 47	2100000 51	8928572 49	1509681 48	9896592 49	1503662 49
7500	50	1825007 47	2050000 51	9023810 49	1633831 48	9886114 49	1355173 49
8000	50	1729168 47	2000000 51	9107143 49	1761316 48	9875148 49	1226214 49
8500	50	1645664 47	1950000 51	9180672 49	1892340 48	9863658 49	1113260 49
9000	50	1572431 47	1900000 51	9246032 49	2027108 48	9851607 49	1013579 49

Compton Cross Sections vs Energy of Scattered Quantum

28 51 = γ γ'	$\sigma_8(\gamma')/\phi_0$	E	w	$\sigma_1(w,\phi)/\phi_0$	w'	$\sigma_4(w',\phi)/\phi_0$
9500 50	1507841 47	1850000 51	9304511 49	2165822 48	9838953 49	9250233 48
1000 51	1450591 47	1800000 51	9357143 49	2308688 48	9825648 49	8458755 48
1200 51	1276594 47	1600000 51	9523810 49	2925740 48	9764807 49	5992404 48
1400 51	1162235 47	1400000 51	9642857 49	3625520 48	9688220 49	4276796 48
1600 51	1085096 47	1200000 51	9732143 49	4421080 48	9588850 49	3025734 48
1800 51	1032744 47	1000000 51	9801587 49	5325469 48	9454735 49	2086151 48
2000 51	9977288 46	8000000 50	9857143 49	6351739 48	9263709 49	1371314 48
2200 51	9753137 46	6000000 50	9902597 49	7512938 48	8969552 49	8306883 47
2400 51	9623438 46	4000000 50	9940476 49	8822118 48	8456575 49	4346798 47
2600 51	9566363 46	2000000 50	9972528 49	1029233 49	7323573 49	1663110 47
2800 51	9566326 46	0000000 00	1000000 50	1193662 49	0000000 00	0000000 00

Compton Cross Sections vs Energy of Scattered Quantum

30 γ'	51 = γ	$\sigma_3(\gamma')/\phi_0$	E	w	$\sigma_1(w,\phi)/\phi_0$	w'	$\sigma_4(w',\phi)/\phi_0$
4918	49	2542349 48	2950819 51	1000000 50*	9786744 46	1000000 50	3762024 50
5000	49	2497963 48	2950000 51	9666667 49*	9939079 46	9999911 49	3694542 50
5500	49	2257490 48	2945000 51	7848485 49*	1086854 47	9999372 49	3327747 50
6000	49	2059212 48	2940000 51	6333334 49*	1179842 47	9998832 49	3025732 50
6500	49	1892944 48	2935000 51	5051282 49*	1272872 47	9998289 49	2772482 50
7000	49	1751528 48	2930000 51	3952381 49*	1365945 47	9997745 49	2556993 50
7500	49	1629791 48	2925000 51	3000000 49*	1459065 47	9997199 49	2371645 50
8000	49	1523900 48	2920000 51	2166667 49*	1552232 47	9996652 49	2210410 50
8500	49	1430955 48	2915000 51	1431373 49*	1645448 47	9996102 49	2068669 50
9000	49	1348724 48	2910000 51	7777780 48*	1738714 47	9995551 49	1943564 50
9500	49	1275457 48	2905000 51	1929830 48*	1832033 47	9994997 49	1831924 50
1000	50	1209768 48	2900000 51	3333330 48	1925406 47	9994442 49	1731897 50
1050	50	1150540 48	2895000 51	8095230 48	2018834 47	9993886 49	1641705 50
1100	50	1096867 48	2890000 51	1242424 49	2112320 47	9993327 49	1559986 50
1150	50	1048004 48	2885000 51	1637681 49	2205865 47	9992767 49	1485566 50
1200	50	1003333 48	2880000 51	2000000 49	2299470 47	9992204 49	1417594 50
1250	50	9623379 47	2875000 51	2333333 49	2393138 47	9991640 49	1355176 50
1300	50	9245835 47	2870000 51	2641025 49	2486869 47	9991074 49	1297710 50
1350	50	8897013 47	2865000 51	2925926 49	2580666 47	9990506 49	1244597 50
1400	50	8573761 47	2860000 51	3190476 49	2674531 47	9989936 49	1195404 50
1450	50	8273376 47	2855000 51	3436781 49	2768464 47	9989365 49	1149684 50
1500	50	7993518 47	2850000 51	3666666 49	2862467 47	9988791 49	1107107 50
1550	50	7732159 47	2845000 51	3881720 49	2956544 47	9988216 49	1067341 50
1600	50	7487528 47	2840000 51	4083333 49	3050693 47	9987638 49	1030125 50
1650	50	7258074 47	2835000 51	4272727 49	3144919 47	9987059 49	9952187 49
1700	50	7042432 47	2830000 51	4450980 49	3239221 47	9986477 49	9624030 49
1750	50	6839394 47	2825000 51	4619047 49	3333602 47	9985894 49	9315182 49
1800	50	6647891 47	2820000 51	4777777 49	3428065 47	9985309 49	9024003 49
1850	50	6466969 47	2815000 51	4927928 49	3522608 47	9984722 49	8748854 49
1900	50	6295780 47	2810000 51	5070175 49	3617236 47	9984132 49	8488504 49
1950	50	6133562 47	2805000 51	5205128 49	3711950 47	9983541 49	8241923 49
2000	50	5979629 47	2800000 51	5333333 49	3806750 47	9982948 49	8007909 49
2500	50	4785184 47	2750000 51	6333333 49	4759911 47	9976903 49	6192687 49
3000	50	3995833 47	2700000 51	7000000 49	5723609 47	9970646 49	4994209 49
3500	50	3436262 47	2650000 51	7476190 49	6699502 47	9964165 49	4145298 49
4000	50	3019560 47	2600000 51	7833333 49	7689246 47	9957449 49	3513566 49
4500	50	2697736 47	2550000 51	8111111 49	8694501 47	9950483 49	3025860 49
5000	50	2442129 47	2500000 51	8333333 49	9716925 47	9943254 49	2638545 49
5500	50	2234565 47	2450000 51	8515151 49	1075817 48	9935747 49	2323926 49
6000	50	2062962 47	2400000 51	8666666 49	1181990 48	9927945 49	2063652 49
6500	50	1918978 47	2350000 51	8794871 49	1290378 48	9919831 49	1844987 49
7000	50	1796664 47	2300000 51	8904762 49	1401145 48	9911385 49	1658897 49
7500	50	1691666 47	2250000 51	9000000 49	1514458 48	9902586 49	1498767 49
8000	50	1600723 47	2200000 51	9083333 49	1630483 48	9893413 49	1359642 49
8500	50	1521344 47	2150000 51	9156862 49	1749385 48	9883840 49	1237740 49
9000	50	1451594 47	2100000 51	9222222 49	1871330 48	9873842 49	1130127 49

30 γ' 51 $=\gamma$	$\sigma_3(\gamma')/\phi_0$	E	w	$\sigma_1(w,\phi)/\phi_0$	w'	$\sigma_4(w',\phi)/\phi_0$
9500 50	1389948 47	2050000 51	9280701 49	1996484 48	9863388 49	1034498 49
1000 51	1335185 47	2000000 51	9333333 49	2125013 48	9852446 49	9490108 48
1200 51	1167708 47	1800000 51	9500000 49	2676190 48	9803060 49	6824880 48
1400 51	1056160 47	1600000 51	9619047 49	3294625 48	9742360 49	4969117 48
1600 51	9795210 46	1400000 51	9708333 49	3990927 48	9665948 49	3612755 48
1800 51	9261316 46	1200000 51	9777777 49	4775708 48	9566809 49	2588438 48
2000 51	8890046 46	1000000 51	9833333 49	5659579 48	9433000 49	1799936 48
2200 51	8636974 46	8000000 50	9878787 49	6653147 48	9242419 49	1189849 48
2400 51	8472511 46	6000000 50	9916666 49	7767026 48	8948936 49	7232833 47
2600 51	8376178 46	4000000 50	9948718 49	9011824 48	8437130 49	3792117 47
2800 51	8333356 46	2000000 50	9976190 49	1039815 49	7306804 49	1452164 47
3000 51	8333333 46	0000000 00	1000000 50	1193662 49	0000000 00	0000000 00

32 γ'	51 $=\gamma$	$\sigma_3(\gamma')/\phi_0$	E	w	$\sigma_1(w,\phi)/\phi_0$	w'	$\sigma_4(w',\phi)/\phi_0$
4923	49	2380934 48	3150769 51	1000000 50*	9184189 46	1000000 50	4000632 50
5000	49	2342069 48	3150000 51	9687500 49*	9318797 46	9999927 49	3933169 50
5500	49	2117368 48	3145000 51	7869318 49*	1019393 47	9999452 49	3545424 50
6000	49	1931976 48	3140000 51	6354167 49*	1106941 47	9998976 49	3224987 50
6500	49	1776428 48	3135000 51	5072115 49*	1194523 47	9998499 49	2956223 50
7000	49	1644068 48	3130000 51	3973214 49*	1282141 47	9998020 49	2727596 50
7500	49	1530079 48	3125000 51	3020833 49*	1369798 47	9997540 49	2531090 50
8000	49	1430890 48	3120000 51	2187500 49*	1457493 47	9997057 49	2359532 50
8500	49	1343800 48	3115000 51	1452206 49*	1545228 47	9996574 49	2209232 50
9000	49	1266725 48	3110000 51	7986110 48*	1633005 47	9996090 49	2076255 50
9500	49	1198035 48	3105000 51	2138160 48*	1720826 47	9995603 49	1957575 50
1000	50	1136434 48	3100000 51	3125000 48	1808691 47	9995115 49	1851194 50
1050	50	1080879 48	3095000 51	7886900 48	1896601 47	9994626 49	1755300 50
1100	50	1030525 48	3090000 51	1221591 49	1984559 47	9994135 49	1668273 50
1150	50	9846740 47	3085000 51	1616848 49	2072565 47	9993643 49	1589210 50
1200	50	9427492 47	3080000 51	1979167 49	2160622 47	9993149 49	1516825 50
1250	50	9042677 47	3075000 51	2312500 49	2248729 47	9992654 49	1450422 50
1300	50	8688231 47	3070000 51	2620192 49	2336889 47	9992157 49	1389293 50
1350	50	8360700 47	3065000 51	2905093 49	2425103 47	9991659 49	1332741 50
1400	50	8057138 47	3060000 51	3169643 49	2513373 47	9991159 49	1280362 50
1450	50	7775011 47	3055000 51	3415948 49	2601699 47	9990657 49	1231631 50
1500	50	7512132 47	3050000 51	3645833 49	2690084 47	9990154 49	1186334 50
1550	50	7266600 47	3045000 51	3860887 49	2778528 47	9989649 49	1143911 50
1600	50	7036757 47	3040000 51	4062500 49	2867032 47	9989143 49	1104297 50
1650	50	6821150 47	3035000 51	4251894 49	2955599 47	9988635 49	1067100 50
1700	50	6618499 47	3030000 51	4430147 49	3044230 47	9988126 49	1032166 50
1750	50	6427674 47	3025000 51	4598214 49	3132925 47	9987615 49	9992418 49
1800	50	6247673 47	3020000 51	4756944 49	3221687 47	9987102 49	9682109 49
1850	50	6077602 47	3015000 51	4907095 49	3310517 47	9986588 49	9388681 49
1900	50	5916664 47	3010000 51	5049342 49	3399415 47	9986072 49	9111262 49
1950	50	5764146 47	3005000 51	5184295 49	3488384 47	9985554 49	8848160 49
2000	50	5619406 47	3000000 51	5312500 49	3577425 47	9985035 49	8598714 49
2500	50	4495826 47	2950000 51	6312500 49	4472080 47	9979750 49	6662545 49
3000	50	3752748 47	2900000 51	6979167 49	5375416 47	9974292 49	5383271 49
3500	50	3225606 47	2850000 51	7455357 49	6288797 47	9968652 49	4476455 49
4000	50	2832770 47	2800000 51	7812500 49	7213590 47	9962821 49	3801267 49
4500	50	2529148 47	2750000 51	8090278 49	8151162 47	9956788 49	3279677 49
5000	50	2287802 47	2700000 51	8312500 49	9102877 47	9950544 49	2865197 49
5500	50	2091647 47	2650000 51	8494318 49	1007010 48	9944076 49	2528324 49
6000	50	1929322 47	2600000 51	8645833 49	1105420 48	9937373 49	2249500 49
6500	50	1792983 47	2550000 51	8774038 49	1205655 48	9930422 49	2015122 49
7000	50	1677033 47	2500000 51	8883929 49	1307850 48	9923207 49	1815579 49
7500	50	1577379 47	2450000 51	8979167 49	1412143 48	9915715 49	1643776 49
8000	50	1490950 47	2400000 51	9062500 49	1518669 48	9907929 49	1494463 49
8500	50	1415405 47	2350000 51	9136029 49	1627567 48	9899831 49	1363582 49
9000	50	1348923 47	2300000 51	9201389 49	1738971 48	9891402 49	1248008 49

Compton Cross Sections vs Energy of Scattered Quantum

32 51 $=\gamma'$	$\sigma_8(\gamma')/\phi_0$	E	w	$\sigma_1(w,\phi)/\phi_0$	w'	$\sigma_4(w',\phi)/\phi_0$
9500 50	1290068 47	2250000 51	9259868 49	1853020 48	9882621 49	1145272 49
1000 51	1237692 47	2200000 51	9312500 49	1969849 48	9873467 49	1053407 49
1200 51	1076738 47	2000000 51	9479167 49	2467701 48	9832582 49	7668585 48
1400 51	9684343 46	1800000 51	9598214 49	3020969 48	9783296 49	5671637 48
1600 51	8929968 46	1600000 51	9687500 49	3638396 48	9722718 49	4209929 48
1800 51	8394497 46	1400000 51	9756944 49	4328723 48	9646461 49	3102388 48
2000 51	8012151 46	1200000 51	9812500 49	5100694 48	9547519 49	2243822 48
2200 51	7741106 46	1000000 51	9857954 49	5963051 48	9413983 49	1570486 48
2400 51	7553497 46	8000000 50	9895833 49	6924536 48	9223782 49	1042682 48
2600 51	7430047 46	6000000 50	9927885 49	7993894 48	8930882 49	6355566 47
2800 51	7356988 46	4000000 50	9955357 49	9179864 48	8420124 49	3337453 47
3000 51	7324234 46	2000000 50	9979167 49	1049119 49	7292011 49	1278834 47
3200 51	7324218 46	0000000 00	1000000 50	1193662 49	0000000 00	0000000 00

Compton Cross Sections vs Energy of Scattered Quantum

34 γ'	51 = γ	$\sigma_3(\gamma')/\phi_0$	E	w	$\sigma_1(w,\phi)/\phi_0$	w'	$\sigma_4(w',\phi)/\phi_0$
4927	49	2238791 48	3350724 51	1000000 50*	8651541 46	1000000 50	4239255 50
5000	49	2204479 48	3350000 51	9705882 49*	8771344 46	9999939 49	4172660 50
5500	49	1993615 48	3345000 51	7887700 49*	9598136 46	9999518 49	3762516 50
6000	49	1819541 48	3340000 51	6372549 49*	1042520 47	9999095 49	3423936 50
6500	49	1673419 48	3335000 51	5090497 49*	1125256 47	9998672 49	3140207 50
7000	49	1549027 48	3330000 51	3991596 49*	1208023 47	9998247 49	2898621 50
7500	49	1441860 48	3325000 51	3039215 49*	1290820 47	9997821 49	2690108 50
8000	49	1348578 48	3320000 51	2205882 49*	1373651 47	9997394 49	2508942 50
8500	49	1266651 48	3315000 51	1470588 49*	1456514 47	9996966 49	2349815 50
9000	49	1194126 48	3310000 51	8169930 48*	1539413 47	9996536 49	2208706 50
9500	49	1129475 48	3305000 51	2321980 48*	1622348 47	9996105 49	2083157 50
1000	50	1071483 48	3300000 51	2941180 48	1705319 47	9995673 49	1970541 50
1050	50	1019175 48	3295000 51	7703080 48	1788329 47	9995240 49	1868965 50
1100	50	9717535 47	3290000 51	1203209 49	1871378 47	9994805 49	1776729 50
1150	50	9285659 47	3285000 51	1598466 49	1954467 47	9994369 49	1692750 50
1200	50	8890703 47	3280000 51	1960785 49	2037599 47	9993932 49	1616100 50
1250	50	8528134 47	3275000 51	2294118 49	2120773 47	9993494 49	1545625 50
1300	50	8194131 47	3270000 51	2601810 49	2203990 47	9993054 49	1480830 50
1350	50	7885452 47	3265000 51	2886711 49	2287253 47	9992613 49	1420855 50
1400	50	7599328 47	3260000 51	3151261 49	2370562 47	9992171 49	1365279 50
1450	50	7333377 47	3255000 51	3397566 49	2453918 47	9991727 49	1313638 50
1500	50	7085543 47	3250000 51	3627451 49	2537323 47	9991282 49	1265529 50
1550	50	6854040 47	3245000 51	3842505 49	2620777 47	9990836 49	1220605 50
1600	50	6637308 47	3240000 51	4044118 49	2704282 47	9990389 49	1178490 50
1650	50	6433980 47	3235000 51	4233512 49	2787839 47	9989940 49	1139064 50
1700	50	6242853 47	3230000 51	4411765 49	2871449 47	9989490 49	1101954 50
1750	50	6062864 47	3225000 51	4579832 49	2955112 47	9989038 49	1067022 50
1800	50	5893070 47	3220000 51	4738562 49	3038832 47	9988585 49	1034029 50
1850	50	5732629 47	3215000 51	4888713 49	3122607 47	9988131 49	1002922 50
1900	50	5580793 47	3210000 51	5030960 49	3206441 47	9987676 49	9734478 49
1950	50	5436889 47	3205000 51	5165913 49	3290332 47	9987219 49	9455286 49
2000	50	5300313 47	3200000 51	5294118 49	3374284 47	9986761 49	9190022 49
2500	50	4239734 47	3150000 51	6294118 49	4217341 47	9982101 49	7133391 49
3000	50	3537876 47	3100000 51	6960785 49	5067634 47	9977299 49	5773320 49
3500	50	3039677 47	3050000 51	7436975 49	5926302 47	9972346 49	4808741 49
4000	50	2668186 47	3000000 51	7794118 49	6794481 47	9967236 49	4090137 49
4500	50	2380881 47	2950000 51	8071896 49	7673313 47	9961961 49	3534655 49
5000	50	2152351 47	2900000 51	8294118 49	8563934 47	9956513 49	3093036 49
5500	50	1966478 47	2850000 51	8475936 49	9467487 47	9950883 49	2733967 49
6000	50	1812543 47	2800000 51	8627451 49	1038510 48	9945062 49	2436565 49
6500	50	1683140 47	2750000 51	8755656 49	1131793 48	9939040 49	2186497 49
7000	50	1572990 47	2700000 51	8865547 49	1226710 48	9932807 49	1973473 49
7500	50	1478226 47	2650000 51	8960785 49	1323376 48	9926351 49	1790027 49
8000	50	1395952 47	2600000 51	9044118 49	1421905 48	9919660 49	1630522 49
8500	50	1323956 47	2550000 51	9117647 49	1522409 48	9912720 49	1490633 49
9000	50	1260519 47	2500000 51	9183007 49	1625004 48	9905519 49	1367087 49

Compton Cross Sections vs Energy of Scattered Quantum

34 51 = γ / γ'	$\sigma_3(\gamma')/\phi_0$	E	w	$\sigma_1(w,\phi)/\phi_0$	w'	$\sigma_4(w',\phi)/\phi_0$
9500 50	1204285 47	2450000 51	9241486 49	1729803 48	9898040 49	1257223 49
1000 51	1154170 47	2400000 51	9294118 49	1836920 48	9890268 49	1158949 49
1200 51	9995693 46	2200000 51	9460785 49	2290844 48	9855867 49	8522558 48
1400 51	8947019 46	2000000 51	9579832 49	2790966 48	9815056 49	6383497 48
1600 51	8208823 46	1800000 51	9669118 49	3344575 48	9765857 49	4816067 48
1800 51	7677432 46	1600000 51	9738562 49	3958960 48	9705387 49	3625902 48
2000 51	7290709 46	1400000 51	9794118 49	4641410 48	9629264 49	2699250 48
2200 51	7009143 46	1200000 51	9839572 49	5399212 48	9530501 49	1966433 48
2400 51	6806410 46	1000000 51	9877451 49	6239657 48	9397200 49	1383313 48
2600 51	6664297 46	8000000 50	9909503 49	7170033 48	9207333 49	9215613 47
2800 51	6569798 46	6000000 50	9936975 49	8197628 48	8914964 49	5629779 47
3000 51	6513382 46	4000000 50	9960785 49	9329732 48	8405090 49	2959937 47
3200 51	6487900 46	2000000 50	9981618 49	1057363 49	7279007 49	1134826 47
3400 51	6487889 46	0000000 00	1000000 50	1193662 49	0000000 00	0000000 00

Compton Cross Sections vs Energy of Scattered Quantum

36 γ' 51 $=\gamma$	$\sigma_3(\gamma')/\phi_0$	E	w	$\sigma_1(w,\phi)/\phi_0$	w'	$\sigma_4(w',\phi)/\phi_0$
4931 49	2112664 48	3550684 51	1000000 50*	8177301 46	1000000 50	4477890 50
5000 49	2082150 48	3550000 51	9722222 49*	8284612 46	9999948 49	4411353 50
5500 49	1883523 48	3545000 51	7904040 49*	9068104 46	9999572 49	3979743 50
6000 49	1719469 48	3540000 51	6388889 49*	9851831 46	9999195 49	3623720 50
6500 49	1581697 48	3535000 51	5106837 49*	1063580 47	9998817 49	3324060 50
7000 49	1464370 48	3530000 51	4007936 49*	1142002 47	9998438 49	3069250 50
7500 49	1363258 48	3525000 51	3055555 49*	1220452 47	9998057 49	2849197 50
8000 49	1275220 48	3520000 51	2222222 49*	1298928 47	9997676 49	2658236 50
8500 49	1197878 48	3515000 51	1486928 49*	1377433 47	9997294 49	2490107 50
9000 49	1129396 48	3510000 51	8333330 48*	1455967 47	9996910 49	2341467 50
9500 49	1068337 48	3505000 51	2485380 48*	1534531 47	9996526 49	2208666 50
1000 50	1013557 48	3500000 51	2777780 48	1613127 47	9996141 49	2089715 50
1050 50	9641367 47	3495000 51	7539680 48	1691754 47	9995754 49	1982377 50
1100 50	9193263 47	3490000 51	1186869 49	1770415 47	9995367 49	1885034 50
1150 50	8785105 47	3485000 51	1582126 49	1849110 47	9994978 49	1796509 50
1200 50	8411789 47	3480000 51	1944445 49	1927839 47	9994588 49	1715382 50
1250 50	8069041 47	3475000 51	2277778 49	2006605 47	9994198 49	1641021 50
1300 50	7753260 47	3470000 51	2585470 49	2085408 47	9993806 49	1572382 50
1350 50	7461388 47	3465000 51	2870371 49	2164249 47	9993413 49	1509049 50
1400 50	7190813 47	3460000 51	3134921 49	2243128 47	9993019 49	1450331 50
1450 50	6939291 47	3455000 51	3381226 49	2322048 47	9992624 49	1395745 50
1500 50	6704881 47	3450000 51	3611111 49	2401008 47	9992228 49	1344784 50
1550 50	6485896 47	3445000 51	3826165 49	2480010 47	9991830 49	1297263 50
1600 50	6280866 47	3440000 51	4027778 49	2559055 47	9991432 49	1252772 50
1650 50	6088501 47	3435000 51	4217172 49	2638143 47	9991032 49	1211030 50
1700 50	5907665 47	3430000 51	4395425 49	2717276 47	9990632 49	1171793 50
1750 50	5737354 47	3425000 51	4563492 49	2796455 47	9990230 49	1134782 50
1800 50	5576676 47	3420000 51	4722222 49	2875680 47	9989827 49	1099987 50
1850 50	5424840 47	3415000 51	4872373 49	2954953 47	9989423 49	1066999 50
1900 50	5281137 47	3410000 51	5014620 49	3034273 47	9989018 49	1035837 50
1950 50	5144932 47	3405000 51	5149573 49	3113644 47	9988612 49	1006306 50
2000 50	5015655 47	3400000 51	5277778 49	3193065 47	9988204 49	9782358 49
2500 50	4011443 47	3350000 51	6277778 49	3990256 47	9984066 49	7604848 49
3000 50	3346523 47	3300000 51	6944445 49	4793542 47	9979807 49	6164059 49
3500 50	2874304 47	3250000 51	7420635 49	5603880 47	9975423 49	5141878 49
4000 50	2522005 47	3200000 51	7777778 49	6422233 47	9970909 49	4379872 49
4500 50	2249398 47	3150000 51	8055556 49	7249557 47	9966257 49	3790628 49
5000 50	2032437 47	3100000 51	8277778 49	8086813 47	9961462 49	3321908 49
5500 50	1855868 47	3050000 51	8459596 49	8934960 47	9956517 49	2940665 49
6000 50	1709542 47	3000000 51	8611111 49	9794957 47	9951415 49	2624747 49
6500 50	1586450 47	2950000 51	8739316 49	1066776 48	9946148 49	2358981 49
7000 50	1481593 47	2900000 51	8849207 49	1155434 48	9940709 49	2132520 49
7500 50	1391309 47	2850000 51	8944445 49	1245564 48	9935088 49	1937385 49
8000 50	1312855 47	2800000 51	9027778 49	1337264 48	9929276 49	1767657 49
8500 50	1244138 47	2750000 51	9101307 49	1430628 48	9923264 49	1618786 49
9000 50	1183529 47	2700000 51	9166667 49	1525752 48	9917040 49	1487225 49

Compton Cross Sections vs Energy of Scattered Quantum

36 51 = γ / γ'	$\sigma_8(\gamma')/\phi_0$	E	w	$\sigma_1(w,\phi)/\phi_0$	w'	$\sigma_4(w',\phi)/\phi_0$
9500 50	1129744 47	26500000 51	9225146 49	1622734 48	9910594 49	1370217 49
1000 51	1081756 47	26000000 51	9277778 49	1721668 48	9903914 49	1265534 49
1200 51	9332490 46	24000000 51	9444445 49	2138849 48	9874569 49	9386057 48
1400 51	8318638 46	22000000 51	9563492 49	2594946 48	9840223 49	7103986 48
1600 51	7598974 46	20000000 51	9652778 49	3096100 48	9799476 49	5430300 48
1800 51	7075278 46	18000000 51	9722222 49	3648452 48	9750356 49	4157640 48
2000 51	6688672 46	16000000 51	9777778 49	4258140 48	9689981 49	3163947 48
2200 51	6401717 46	14000000 51	9823232 49	4931306 48	9613981 49	2373903 48
2400 51	6189473 46	12000000 51	9861111 49	5674090 48	9515373 49	1739232 48
2600 51	6034677 46	10000000 51	9893163 49	6492632 48	9382281 49	1228407 48
2800 51	5925006 46	80000000 50	9920635 49	7393073 48	9192723 49	8206418 47
3000 51	5851427 46	60000000 50	9944445 49	8381551 48	8900807 49	5022106 47
3200 51	5807166 46	40000000 50	9965278 49	9464209 48	8391762 49	2643246 47
3400 51	5787044 46	20000000 50	9983660 49	1064718 49	7267500 49	1013881 47
3600 51	5787037 46	00000000 00	10000000 50	1193662 49	00000000 00	00000000 00

Compton Cross Sections vs Energy of Scattered Quantum

$38\ 51 = \gamma$ γ'	$\sigma_3(\gamma')/\phi_0$	E	w	$\sigma_1(w,\phi)/\phi_0$	w'	$\sigma_4(w',\phi)/\phi_0$
4935 49	1999991 48	3750649 51	1000000 50*	7752359 46	1000000 50	4716535 50
5000 49	1972677 48	3750000 51	9736842 49*	7849033 46	9999956 49	4650797 50
5500 49	1784948 48	3745000 51	7918660 49*	8593524 46	9999618 49	4196987 50
6000 49	1629826 48	3740000 51	6403509 49*	9338216 46	9999279 49	3822461 50
6500 49	1499504 48	3735000 51	5121457 49*	1008311 47	9998939 49	3507617 50
7000 49	1388485 48	3730000 51	4022556 49*	1082823 47	9998599 49	3240176 50
7500 49	1292780 48	3725000 51	3070175 49*	1157357 47	9998257 49	3008627 50
8000 49	1209429 48	3720000 51	2236842 49*	1231914 47	9997915 49	2807596 50
8500 49	1136187 48	3715000 51	1501548 49*	1306495 47	9997571 49	2630523 50
9000 49	1071323 48	3710000 51	8479530 48*	1381102 47	9997227 49	2474186 50
9500 49	1013478 48	3705000 51	2631580 48*	1455734 47	9996882 49	2334430 50
1000 50	9615739 47	3700000 51	2631580 48	1530392 47	9996536 49	2209189 50
1050 50	9147395 47	3695000 51	7393480 48	1605078 47	9996190 49	2096124 50
1100 50	8722682 47	3690000 51	1172249 49	1679792 47	9995842 49	1993546 50
1150 50	8335780 47	3685000 51	1567506 49	1754535 47	9995493 49	1900066 50
1200 50	7981861 47	3680000 51	1929825 49	1829307 47	9995144 49	1814675 50
1250 50	7656885 47	3675000 51	2263158 49	1904111 47	9994793 49	1736368 50
1300 50	7357445 47	3670000 51	2570850 49	1978945 47	9994442 49	1664055 50
1350 50	7080650 47	3665000 51	2855751 49	2053812 47	9994089 49	1597191 50
1400 50	6824029 47	3660000 51	3120301 49	2128712 47	9993736 49	1535396 50
1450 50	6585455 47	3655000 51	3366606 49	2203646 47	9993382 49	1477724 50
1500 50	6363094 47	3650000 51	3596491 49	2278615 47	9993027 49	1424145 50
1550 50	6155348 47	3645000 51	3811545 49	2353619 47	9992671 49	1373985 50
1600 50	5960827 47	3640000 51	4013158 49	2428659 47	9992314 49	1327009 50
1650 50	5778307 47	3635000 51	4202552 49	2503736 47	9991956 49	1283074 50
1700 50	5606715 47	3630000 51	4380805 49	2578852 47	9991597 49	1241684 50
1750 50	5445098 47	3625000 51	4548872 49	2654006 47	9991237 49	1202694 50
1800 50	5292614 47	3620000 51	4707602 49	2729200 47	9990877 49	1165901 50
1850 50	5148511 47	3615000 51	4857753 49	2804434 47	9990515 49	1131126 50
1900 50	5012118 47	3610000 51	5000000 49	2879709 47	9990152 49	1098265 50
1950 50	4882835 47	3605000 51	5134953 49	2955027 47	9989788 49	1067059 50
2000 50	4760121 47	3600000 51	5263158 49	3030387 47	9989424 49	1037487 50
2500 50	3806629 47	3550000 51	6263158 49	3786524 47	9985723 49	8076954 49
3000 50	3174992 47	3500000 51	6929825 49	4547842 47	9981922 49	6555799 49
3500 50	2726213 47	3450000 51	7406015 49	5315156 47	9978014 49	5475774 49
4000 50	2391255 47	3400000 51	7763158 49	6089283 47	9973996 49	4670380 49
4500 50	2131950 47	3350000 51	8040936 49	6871037 47	9969864 49	4047460 49
5000 50	1925478 47	3300000 51	8263158 49	7661237 47	9965611 49	3551699 49
5500 50	1757359 47	3250000 51	8444976 49	8460694 47	9961234 49	3148262 49
6000 50	1617959 47	3200000 51	8596491 49	9270228 47	9956725 49	2813859 49
6500 50	1500625 47	3150000 51	8724696 49	1009065 48	9952080 49	2532410 49
7000 50	1400609 47	3100000 51	8834587 49	1092278 48	9947292 49	2292482 49
7500 50	1314435 47	3050000 51	8929825 49	1176743 48	9942354 49	2085703 49
8000 50	1239498 47	3000000 51	9013158 49	1262543 48	9937259 49	1905763 49
8500 50	1173810 47	2950000 51	9086687 49	1349757 48	9932000 49	1747889 49
9000 50	1115823 47	2900000 51	9152047 49	1438469 48	9926568 49	1608317 49

38 γ'	51 = γ	$\sigma_8(\gamma')/\phi_0$	E	w	$\sigma_1(w,\phi)/\phi_0$	w'	$\sigma_4(w',\phi)/\phi_0$
9500	50	1064319 47	2850000 51	9210526 49	1528759 48	9920956 49	1484171 49
1000	51	1018322 47	2800000 51	9263158 49	1620709 48	9915152 49	1373037 49
1200	51	8756073 46	2600000 51	9429825 49	2006744 48	9889826 49	1025820 49
1400	51	7776617 46	2400000 51	9548872 49	2425866 48	9860523 49	7832435 48
1600	51	7076679 46	2200000 51	9638158 49	2883298 48	9826225 49	6051976 48
1800	51	6562943 46	2000000 51	9707602 49	3384260 48	9785537 49	4696650 48
2000	51	6179470 46	1800000 51	9763158 49	3933973 48	9736486 49	3636393 48
2200	51	5890690 46	1600000 51	9808612 49	4537657 48	9676198 49	2790461 48
2400	51	5672903 46	1400000 51	9846491 49	5200535 48	9600305 49	2106636 48
2600	51	5509708 46	1200000 51	9878543 49	5927826 48	9501836 49	1550412 48
2800	51	5389394 46	1000000 51	9906015 49	6724750 48	9368938 49	1098629 48
3000	51	5303379 46	8000000 50	9929825 49	7596531 48	9179642 49	7355833 47
3200	51	5245224 46	6000000 50	9950658 49	8548387 48	8888153 49	4508296 47
3400	51	5210010 46	4000000 50	9969040 49	9585539 48	8379843 49	2374871 47
3600	51	5193911 46	2000000 50	9985380 49	1071321 49	7257162 49	9112618 46
3800	51	5193905 46	0000000 00	1000000 50	1193662 49	0000000 00	0000000 00

Compton Cross Sections vs Energy of Scattered Quantum

40 γ'	51 $=\gamma$	$\sigma_3(\gamma')/\phi_0$	E	w	$\sigma_1(w,\phi)/\phi_0$	w'	$\sigma_4(w',\phi)/\phi_0$
4938	49	1898726 48	3950617 51	1000000 50*	7369407 46	1000000 50	4955189 50
5000	49	1874135 48	3950000 51	9750000 49*	7456949 46	9999962 49	4889062 50
5500	49	1696175 48	3945000 51	7931818 49*	8166130 46	9999657 49	4414928 50
6000	49	1549064 48	3940000 51	6416667 49*	8875483 46	9999350 49	4021848 50
6500	49	1425430 48	3935000 51	5134615 49*	9585014 46	9999044 49	3691831 50
7000	49	1320075 48	3930000 51	4035714 49*	1029473 47	9998736 49	3410852 50
7500	49	1229230 48	3925000 51	3083333 49*	1100464 47	9998427 49	3167924 50
8000	49	1150092 48	3920000 51	2250000 49*	1171474 47	9998118 49	2956913 50
8500	49	1080539 48	3915000 51	1514706 49*	1242506 47	9997808 49	2771288 50
9000	49	1018930 48	3910000 51	8611110 48*	1313559 47	9997498 49	2606735 50
9500	49	9639791 47	3905000 51	2763160 48*	1384633 47	9997186 49	2460121 50
1000	50	9146630 47	3900000 51	2500000 48	1455731 47	9996874 49	2328442 50
1050	50	8701584 47	3895000 51	7261900 48	1526852 47	9996561 49	2209737 50
1100	50	8297946 47	3890000 51	1159091 49	1597997 47	9996247 49	2101995 50
1150	50	7930199 47	3885000 51	1554348 49	1669167 47	9995933 49	2003940 50
1200	50	7593766 47	3880000 51	1916667 49	1740363 47	9995617 49	1914014 50
1250	50	7284814 47	3875000 51	2250000 49	1811584 47	9995301 49	1831677 50
1300	50	7000113 47	3870000 51	2557692 49	1882833 47	9994984 49	1755618 50
1350	50	6736917 47	3865000 51	2842593 49	1954109 47	9994667 49	1685391 50
1400	50	6492884 47	3860000 51	3107143 49	2025414 47	9994348 49	1620463 50
1450	50	6265995 47	3855000 51	3353448 49	2096747 47	9994029 49	1559843 50
1500	50	6054508 47	3850000 51	3583333 49	2168111 47	9993709 49	1503507 50
1550	50	5856909 47	3845000 51	3798387 49	2239504 47	9993388 49	1450838 50
1600	50	5671875 47	3840000 51	4000000 49	2310929 47	9993066 49	1401405 50
1650	50	5498246 47	3835000 51	4189394 49	2382386 47	9992744 49	1355082 50
1700	50	5335002 47	3830000 51	4367647 49	2453875 47	9992421 49	1311583 50
1750	50	5181239 47	3825000 51	4535714 49	2525398 47	9992097 49	1270591 50
1800	50	5036156 47	3820000 51	4694444 49	2596954 47	9991772 49	1231895 50
1850	50	4899040 47	3815000 51	4844595 49	2668545 47	9991446 49	1195310 50
1900	50	4769254 47	3810000 51	4986842 49	2740171 47	9991119 49	1160726 50
1950	50	4646226 47	3805000 51	5121795 49	2811834 47	9990792 49	1127930 50
2000	50	4529443 47	3800000 51	5250000 49	2883533 47	9990464 49	1096788 50
2500	50	3621826 47	3750000 51	6250000 49	3602697 47	9987135 49	8549455 49
3000	50	3020328 47	3700000 51	6916667 49	4326302 47	9983720 49	6947782 49
3500	50	2592800 47	3650000 51	7392857 49	5055047 47	9980215 49	5810370 49
4000	50	2273584 47	3600000 51	7750000 49	5789634 47	9976617 49	4961703 49
4500	50	2026369 47	3550000 51	8027778 49	6530759 47	9972921 49	4305026 49
5000	50	1829443 47	3500000 51	8250000 49	7279123 47	9969124 49	3782269 49
5500	50	1669027 47	3450000 51	8431818 49	8035426 47	9965222 49	3356705 49
6000	50	1535953 47	3400000 51	8583333 49	8800366 47	9961209 49	3003790 49
6500	50	1423887 47	3350000 51	8711538 49	9574644 47	9957082 49	2706693 49
7000	50	1328311 47	3300000 51	8821429 49	1035895 48	9952835 49	2453325 49
7500	50	1245914 47	3250000 51	8916667 49	1115400 48	9948463 49	2234868 49
8000	50	1174218 47	3200000 51	9000000 49	1196049 48	9943960 49	2044736 49
8500	50	1111329 47	3150000 51	9073529 49	1277911 48	9939321 49	1877856 49
9000	50	1055774 47	3100000 51	9138889 49	1361056 48	9934539 49	1730295 49

40 γ'	51 = γ	$\sigma_3(\gamma')/\phi_0$	E	w	$\sigma_1(w,\phi)/\phi_0$	w'	$\sigma_4(w',\phi)/\phi_0$
9500	50	1006392 47	3050000 51	9197368 49	1445555 48	9929607 49	1598959 49
1000	51	9622558 46	3000000 51	9250000 49	1531477 48	9924519 49	1481403 49
1200	51	8250162 46	2800000 51	9416667 49	1890798 48	9902440 49	1113832 49
1400	51	7304159 46	2600000 51	9535714 49	2278486 48	9877147 49	8568253 48
1600	51	6624389 46	2400000 51	9625000 49	2699019 48	9847881 49	6680475 48
1800	51	6121979 46	2200000 51	9694444 49	3156872 48	9813628 49	5242250 48
2000	51	5743652 46	2000000 51	9750000 49	3656522 48	9772991 49	4115601 48
2200	51	5455525 46	1800000 51	9795454 49	4202445 48	9724004 49	3214526 48
2400	51	5235026 46	1600000 51	9833333 49	4799118 48	9663793 49	2483052 48
2600	51	5066530 46	1400000 51	9865385 49	5451016 48	9587995 49	1883860 48
2800	51	4938885 46	1200000 51	9892857 49	6162616 48	9489656 49	1391582 48
3000	51	4843912 46	1000000 51	9916667 49	6938393 48	9356924 49	9886919 47
3200	51	4775482 46	8000000 50	9937500 49	7782826 48	9167878 49	6632213 47
3400	51	4728905 46	6000000 50	9955882 49	8700388 48	8876767 49	4069801 47
3600	51	4700538 46	4000000 50	9972222 49	9695557 48	8369100 49	2145389 47
3800	51	4687504 46	2000000 50	9986842 49	1077280 49	7247858 49	8234692 46
4000	51	4687500 46	0000000 00	1000000 50	1193662 49	0000000 00	0000000 00

42 51 = γ γ′	$\sigma_3(\gamma')/\phi_0$	E	w	$\sigma_1(w,\phi)/\phi_0$	w′	$\sigma_4(w',\phi)/\phi_0$
4941 49	1807222 48	4150588 51	1000000 50*	7022513 46	1000000 50	5193850 50
5000 49	1784967 48	4150000 51	9761905 49*	7102158 46	9999967 49	5128907 50
5500 49	1615811 48	4145000 51	7943723 49*	7779220 46	9999690 49	4631902 50
6000 49	1475925 48	4140000 51	6428572 49*	8456431 46	9999412 49	4221187 50
6500 49	1358327 48	4135000 51	5146520 49*	9133797 46	9999133 49	3875531 50
7000 49	1258088 48	4130000 51	4047619 49*	9811322 46	9998854 49	3581135 50
7500 49	1171634 48	4125000 51	3095238 49*	1048901 47	9998574 49	3326966 50
8000 49	1096305 48	4120000 51	2261905 49*	1116687 47	9998294 49	3106081 50
8500 49	1030087 48	4115000 51	1526611 49*	1184491 47	9998012 49	2911682 50
9000 49	9714226 47	4110000 51	8730160 48*	1252314 47	9997730 49	2739284 50
9500 49	9190896 47	4105000 51	2882210 48*	1320155 47	9997448 49	2585625 50
1000 50	8721168 47	4100000 51	2380950 48	1388017 47	9997165 49	2447813 50
1050 50	8297215 47	4095000 51	7142850 48	1455898 47	9996881 49	2323520 50
1100 50	7912663 47	4090000 51	1147186 49	1523800 47	9996596 49	2210463 50
1150 50	7562268 47	4085000 51	1542443 49	1591724 47	9996311 49	2107724 50
1200 50	7241677 47	4080000 51	1904762 49	1659670 47	9996025 49	2013467 50
1250 50	6947247 47	4075000 51	2238095 49	1727638 47	9995739 49	1926987 50
1300 50	6675904 47	4070000 51	2545787 49	1795630 47	9995451 49	1847362 50
1350 50	6425038 47	4065000 51	2830688 49	1863646 47	9995163 49	1773684 50
1400 50	6192419 47	4060000 51	3095238 49	1931685 47	9994875 49	1705429 50
1450 50	5976126 47	4055000 51	3341543 49	1999751 47	9994585 49	1641914 50
1500 50	5774503 47	4050000 51	3571428 49	2067841 47	9994296 49	1582866 50
1550 50	5586108 47	4045000 51	3786482 49	2135958 47	9994005 49	1527451 50
1600 50	5409682 47	4040000 51	3988095 49	2204102 47	9993714 49	1475793 50
1650 50	5244121 47	4035000 51	4177489 49	2272274 47	9993421 49	1427108 50
1700 50	5088453 47	4030000 51	4355742 49	2340473 47	9993129 49	1381462 50
1750 50	4941819 47	4025000 51	4523809 49	2408701 47	9992835 49	1338434 50
1800 50	4803455 47	4020000 51	4682539 49	2476959 47	9992541 49	1297944 50
1850 50	4672683 47	4015000 51	4832690 49	2545246 47	9992246 49	1259514 50
1900 50	4548894 47	4010000 51	4974937 49	2613564 47	9991951 49	1223241 50
1950 50	4431548 47	4005000 51	5109890 49	2681913 47	9991654 49	1188773 50
2000 50	4320152 47	4000000 51	5238095 49	2750294 47	9991357 49	1156146 50
2500 50	3454222 47	3950000 51	6238095 49	3435978 47	9988348 49	9022307 49
3000 50	2880141 47	3900000 51	6904762 49	4125498 47	9985263 49	7340473 49
3500 50	2471963 47	3850000 51	7380952 49	4819459 47	9982102 49	6145407 49
4000 50	2167095 47	3800000 51	7738095 49	5518464 47	9978860 49	5253720 49
4500 50	1930913 47	3750000 51	8015873 49	6223118 47	9975536 49	4563296 49
5000 50	1742710 47	3700000 51	8238095 49	6934024 47	9972125 49	4013475 49
5500 50	1589342 47	3650000 51	8419913 49	7651787 47	9968624 49	3565808 49
6000 50	1462064 47	3600000 51	8571428 49	8377011 47	9965030 49	3194460 49
6500 50	1354833 47	3550000 51	8699633 49	9110302 47	9961338 49	2881727 49
7000 50	1263338 47	3500000 51	8809524 49	9852261 47	9957546 49	2614900 49
7500 50	1184421 47	3450000 51	8904762 49	1060349 48	9953648 49	2384816 49
8000 50	1115717 47	3400000 51	8988095 49	1136460 48	9949640 49	2184489 49
8500 50	1055418 47	3350000 51	9061624 49	1213619 48	9945517 49	2008591 49
9000 50	1002119 47	3300000 51	9126984 49	1291887 48	9941275 49	1853020 49

42 51 = γ γ'	$\sigma_3(\gamma')/\phi_0$	E	w	$\sigma_1(w,\phi)/\phi_0$	w'	$\sigma_4(w',\phi)/\phi_0$
9500 50	9547131 46	3250000 51	9185463 49	1371324 48	9936908 49	1714525 49
1000 51	9123127 46	3200000 51	9238095 49	1451990 48	9932411 49	1590511 49
1200 51	7802317 46	3000000 51	9404762 49	1788159 48	9912992 49	1202566 49
1400 51	6888526 46	2800000 51	9523809 49	2148832 48	9890939 49	9310865 48
1600 51	6228887 46	2600000 51	9613095 49	2537876 48	9865675 49	7315358 48
1800 51	5738563 46	2400000 51	9682539 49	2959159 48	9836444 49	5793912 48
2000 51	5366699 46	2200000 51	9738095 49	3416547 48	9802230 49	4600835 48
2200 51	5080949 46	2000000 51	9783549 49	3913905 48	9761641 49	3645004 48
2400 51	4859764 46	1800000 51	9821428 49	4455103 48	9712710 49	2866819 48
2600 51	4688229 46	1600000 51	9853480 49	5044006 48	9652568 49	2226269 48
2800 51	4555694 46	1400000 51	9880952 49	5684480 48	9576862 49	1695907 48
3000 51	4454355 46	1200000 51	9904762 49	6380394 48	9478633 49	1256515 48
3200 51	4378357 46	1000000 51	9923595 49	7135612 48	9346061 49	8947186 47
3400 51	4323224 46	8000000 50	9943977 49	7954002 48	9157238 49	6011206 47
3600 51	4285478 46	6000000 50	9960317 49	8839432 48	8866461 49	3692489 47
3800 51	4262370 46	4000000 50	9974937 49	9795767 48	8359387 49	1947682 47
4000 51	4251703 46	2000000 50	9988095 49	1082687 49	7239461 49	7477906 46
4200 51	4251700 46	0000000 00	1000000 50	1193662 49	0000000 00	0000000 00

44 γ'	51=γ	$\sigma_3(\gamma')/\phi_0$		E		w		$\sigma_1(w,\phi)/\phi_0$		w'		$\sigma_4(w',\phi)/\phi_0$	
4943	49	1724132	48	4350561	51	1000000	50*	6706813	46	1000000	50	5432518	50
5000	49	1703895	48	4350000	51	9772727	49*	6779582	46	9999971	49	5367288	50
5500	49	1542715	48	4345000	51	7954545	49*	7427305	46	9999718	49	4848547	50
6000	49	1409380	48	4340000	51	6439394	49*	8075156	46	9999465	49	4419656	50
6500	49	1297257	48	4335000	51	5157342	49*	8723141	46	9999211	49	4059163	50
7000	49	1201661	48	4330000	51	4058441	49*	9371265	46	9998956	49	3751409	50
7500	49	1119192	48	4325000	51	3106060	49*	1001953	47	9998701	49	3486541	50
8000	49	1047323	48	4320000	51	2272727	49*	1066795	47	9998445	49	3255390	50
8500	49	9841360	47	4315000	51	1537433	49*	1131652	47	9998189	49	3051915	50
9000	49	9281474	47	4310000	51	8838380	48*	1196525	47	9997932	49	2872060	50
9500	49	8781948	47	4305000	51	2990430	48*	1261415	47	9997675	49	2711105	50
1000	50	8333531	47	4300000	51	2272730	48	1326322	47	9997417	49	2567234	50
1050	50	7928765	47	4295000	51	7034630	48	1391247	47	9997158	49	2436734	50
1100	50	7561579	47	4290000	51	1136364	49	1456189	47	9996899	49	2318863	50
1150	50	7226975	47	4285000	51	1531621	49	1521151	47	9996639	49	2211127	50
1200	50	6920805	47	4280000	51	1893940	49	1586131	47	9996379	49	2112793	50
1250	50	6639595	47	4275000	51	2227273	49	1651131	47	9996118	49	2022368	50
1300	50	6380415	47	4270000	51	2534965	49	1716152	47	9995856	49	1939083	50
1350	50	6140778	47	4265000	51	2819866	49	1781193	47	9995594	49	1861994	50
1400	50	5918554	47	4260000	51	3084416	49	1846255	47	9995331	49	1790683	50
1450	50	5711916	47	4255000	51	3330721	49	1911340	47	9995068	49	1724066	50
1500	50	5519280	47	4250000	51	3560606	49	1976446	47	9994804	49	1662129	50
1550	50	5339271	47	4245000	51	3775660	49	2041576	47	9994539	49	1604296	50
1600	50	5170690	47	4240000	51	3977273	49	2106728	47	9994274	49	1550172	50
1650	50	5012482	47	4235000	51	4166667	49	2171905	47	9994008	49	1499240	50
1700	50	4863721	47	4230000	51	4344920	49	2237106	47	9993742	49	1451474	50
1750	50	4723586	47	4225000	51	4512987	49	2302332	47	9993475	49	1406433	50
1800	50	4591348	47	4220000	51	4671717	49	2367584	47	9993207	49	1363893	50
1850	50	4466361	47	4215000	51	4821868	49	2432861	47	9992939	49	1323720	50
1900	50	4348043	47	4210000	51	4964115	49	2498165	47	9992671	49	1285790	50
1950	50	4235878	47	4205000	51	5099068	49	2563496	47	9992401	49	1249673	50
2000	50	4129396	47	4200000	51	5227273	49	2628855	47	9992131	49	1215478	50
2500	50	3301512	47	4150000	51	6227273	49	3284074	47	9989396	49	9495678	49
3000	50	2752475	47	4100000	51	6893940	49	3942630	47	9986597	49	7733481	49
3500	50	2361989	47	4050000	51	7370130	49	4605047	47	9983731	49	6481129	49
4000	50	2070251	47	4000000	51	7727273	49	5271851	47	9980796	49	5546137	49
4500	50	1844174	47	3950000	51	8005051	49	5943567	47	9977789	49	4821999	49
5000	50	1663968	47	3900000	51	8227273	49	6620721	47	9974708	49	4245392	49
5500	50	1517070	47	3850000	51	8409091	49	7303839	47	9971550	49	3775538	49
6000	50	1395119	47	3800000	51	8560606	49	7993445	47	9968312	49	3385747	49
6500	50	1292338	47	3750000	51	8688811	49	8690066	47	9964991	49	3057376	49
7000	50	1204605	47	3700000	51	8798702	49	9394227	47	9961583	49	2777165	49
7500	50	1128901	47	3650000	51	8893940	49	1010645	48	9958086	49	2535453	49
8000	50	1062964	47	3600000	51	8977273	49	1082726	48	9954496	49	2324905	49
8500	50	1005066	47	3550000	51	9050802	49	1155720	48	9950808	49	2140019	49
9000	50	9538633	46	3500000	51	9116162	49	1229677	48	9947020	49	1976426	49

Compton Cross Sections vs Energy of Scattered Quantum

44 γ' 51=γ	$\sigma_3(\gamma')/\phi_0$	E	w	$\sigma_1(w,\phi)/\phi_0$	w'	$\sigma_4(w,'\phi)/\phi_0$
9500 50	90829584 6	34500000 51	91746414 9	13046514 8	99431264 9	18307864 9
1000 51	86751644 6	34000000 51	92272734 9	13806954 8	99391224 9	17003194 9
1200 51	74028704 6	32000000 51	93939404 9	16966124 8	99219124 9	12919764 9
1400 51	65199024 6	30000000 51	95129874 9	20338424 8	99025144 9	10059784 9
1600 51	58800484 6	28000000 51	96022734 9	23957474 8	98804844 9	79561364 8
1800 51	54021624 6	26000000 51	96717174 9	27856894 8	98552464 9	63511564 8
2000 51	50375984 6	24000000 51	97272734 9	32070344 8	98260454 9	50915284 8
2200 51	47554144 6	22000000 51	97727274 9	36631424 8	97918684 9	40811064 8
2400 51	45349974 6	20000000 51	98106064 9	41573794 8	97513224 9	32567654 8
2600 51	43620794 6	18000000 51	98426584 9	46931054 8	97024414 9	25759134 8
2800 51	42264724 6	16000000 51	98701304 9	52736854 8	96423644 9	20091234 8
3000 51	41207104 6	14000000 51	98939404 9	59024824 8	95667354 9	15355784 8
3200 51	40391914 6	12000000 51	99147734 9	65828584 8	94686134 9	11406044 8
3400 51	39776354 6	10000000 51	99331554 9	73181774 8	93361804 9	81368764 7
3600 51	39327124 6	80000000 50	99494954 9	81118024 8	91475494 9	54738954 7
3800 51	39017954 6	60000000 50	99641154 9	89670964 8	88570734 9	33653634 7
4000 51	38827814 6	40000000 50	99772734 9	98874224 8	83505184 9	17760374 7
4200 51	38739694 6	20000000 50	99891784 9	10876144 9	72316924 9	68201694 6
4400 51	38739674 6	00000000 00	10000004 0	11936624 9	00000004 0	00000004 0

46 γ'	51 $=\gamma$	$\sigma_3(\gamma')/\phi_0$	E	w	$\sigma_1(w,\phi)/\phi_0$	w'	$\sigma_4(w',\phi)/\phi_0$
4946	49	1648347 48	4550537 51	1000000 50*	6418280 46	1000000 50	5671192 50
5000	49	1629865 48	4550000 51	9782609 49*	6485027 46	9999975 49	5606142 50
5500	49	1475944 48	4545000 51	7964427 49*	7105843 46	9999743 49	5065656 50
6000	49	1348575 48	4540000 51	6449276 49*	7726770 46	9999511 49	4618577 50
6500	49	1241440 48	4535000 51	5167224 49*	8347815 46	9999278 49	4242647 50
7000	49	1150077 48	4530000 51	4068323 49*	8968981 46	9999045 49	3922707 50
7500	49	1071243 48	4525000 51	3115942 49*	9590274 46	9998812 49	3645694 50
8000	49	1002531 48	4520000 51	2282609 49*	1021169 47	9998578 49	3404786 50
8500	49	9421088 47	4515000 51	1547315 49*	1083325 47	9998343 49	3192626 50
9000	49	8885632 47	4510000 51	8937200 48*	1145495 47	9998108 49	3004694 50
9500	49	8407843 47	4505000 51	3089250 48*	1207680 47	9997872 49	2837070 50
1000	50	7978888 47	4500000 51	2173910 48	1269879 47	9997636 49	2686636 50
1050	50	7591651 47	4495000 51	6935810 48	1332094 47	9997400 49	2550405 50
1100	50	7240332 47	4490000 51	1126482 49	1394325 47	9997162 49	2427111 50
1150	50	6920159 47	4485000 51	1521739 49	1456572 47	9996925 49	2314998 50
1200	50	6627170 47	4480000 51	1884058 49	1518835 47	9996687 49	2212253 50
1250	50	6358046 47	4475000 51	2217391 49	1581116 47	9996448 49	2117752 50
1300	50	6109989 47	4470000 51	2525083 49	1643415 47	9996209 49	2030698 50
1350	50	5880620 47	4465000 51	2809984 49	1705732 47	9995969 49	1950245 50
1400	50	5667905 47	4460000 51	3074534 49	1768067 47	9995729 49	1875542 50
1450	50	5470097 47	4455000 51	3320839 49	1830422 47	9995488 49	1806237 50
1500	50	5285683 47	4450000 51	3550724 49	1892796 47	9995247 49	1741543 50
1550	50	5113349 47	4445000 51	3765778 49	1955190 47	9995005 49	1681120 50
1600	50	4951946 47	4440000 51	3967391 49	2017604 47	9994763 49	1624561 50
1650	50	4800468 47	4435000 51	4156785 49	2080040 47	9994520 49	1571324 50
1700	50	4658028 47	4430000 51	4335038 49	2142496 47	9994277 49	1521472 50
1750	50	4523842 47	4425000 51	4503105 49	2204975 47	9994033 49	1474370 50
1800	50	4397213 47	4420000 51	4661835 49	2267476 47	9993788 49	1429950 50
1850	50	4277522 47	4415000 51	4811986 49	2329999 47	9993544 49	1388064 50
1900	50	4164214 47	4410000 51	4954233 49	2392546 47	9993298 49	1348365 50
1950	50	4056793 47	4405000 51	5089186 49	2455117 47	9993052 49	1310623 50
2000	50	3954812 47	4400000 51	5217391 49	2517711 47	9992806 49	1274942 50
2500	50	3161786 47	4350000 51	6217391 49	3145087 47	9990309 49	9969576 49
3000	50	2635713 47	4300000 51	6884058 49	3775381 47	9987757 49	8127016 49
3500	50	2261462 47	4250000 51	7360248 49	4409055 47	9985147 49	6817133 49
4000	50	1981782 47	4200000 51	7717391 49	5046567 47	9982477 49	5839050 49
4500	50	1764994 47	4150000 51	7995169 49	5688378 47	9979745 49	5081307 49
5000	50	1592146 47	4100000 51	8217391 49	6334948 47	9976948 49	4477684 49
5500	50	1451205 47	4050000 51	8399209 49	6986737 47	9974085 49	3985876 49
6000	50	1334165 47	4000000 51	8550724 49	7644204 47	9971153 49	3577614 49
6500	50	1235491 47	3950000 51	8678929 49	8307809 47	9968149 49	3233654 49
7000	50	1151235 47	3900000 51	8788820 49	8978013 47	9965071 49	2940021 49
7500	50	1078504 47	3850000 51	8884058 49	9655274 47	9961916 49	2686652 49
8000	50	1015132 47	3800000 51	8967391 49	1034005 48	9958681 49	2465950 49
8500	50	9594628 46	3750000 51	9040920 49	1103281 48	9955363 49	2272077 49
9000	50	9102090 46	3700000 51	9106280 49	1173400 48	9951959 49	2100478 49

46 51 = γ γ'	$\sigma_3(\gamma')/\phi_0$	E	w	$\sigma_1(w,\phi)/\phi_0$	w'	$\sigma_4(w',\phi)/\phi_0$
9500 50	8663554 46	3650000 51	9164759 49	1244409 48	9948465 49	1947669 49
1000 51	8270901 46	3600000 51	9217391 49	1316354 48	9944878 49	1810754 49
1200 51	7044201 46	3400000 51	9384058 49	1614412 48	9929519 49	1381990 49
1400 51	6190604 46	3200000 51	9503105 49	1931120 48	9912325 49	1081456 49
1600 51	5570000 46	3000000 51	9592391 49	2269422 48	9892946 49	8602440 48
1800 51	5104626 46	2800000 51	9661835 49	2632261 48	9870938 49	6913632 48
2000 51	4747860 46	2600000 51	9717391 49	3022581 48	9845724 49	5587311 48
2200 51	4470051 46	2400000 51	9762845 49	3443325 48	9816552 49	4522318 48
2400 51	4251442 46	2200000 51	9800724 49	3897436 48	9782408 49	3652138 48
2600 51	4078360 46	2000000 51	9832776 49	4387857 48	9741900 49	2931664 48
2800 51	3941040 46	1800000 51	9860248 49	4917530 48	9693069 49	2329564 48
3000 51	3832324 46	1600000 51	9884058 49	5489401 48	9633048 49	1823521 48
3200 51	3746846 46	1400000 51	9904891 49	6106411 48	9557495 49	1397631 48
3400 51	3680502 46	1200000 51	9923273 49	6771503 48	9459470 49	1040344 48
3600 51	3630101 46	1000000 51	9939613 49	7487623 48	9327164 49	7433234 47
3800 51	3593125 46	8000000 50	9954233 49	8257711 48	9138719 49	5006154 47
4000 51	3567557 46	6000000 50	9967391 49	9084711 48	8848529 49	3080126 47
4200 51	3551769 46	4000000 50	9979296 49	9971568 48	8342469 49	1626237 47
4400 51	3544424 46	2000000 50	9990118 49	1092122 49	7224887 49	6246883 46
4600 51	3544423 46	0000000 00	1000000 50	1193662 49	0000000 00	0000000 00

Compton Cross Sections vs Energy of Scattered Quantum

48 γ'	51=γ	$\sigma_3(\gamma')/\phi_0$	E	w	$\sigma_1(w,\phi)/\phi_0$	w'	$\sigma_4(w',\phi)/\phi_0$
4948	49	1578943 48	4750515 51	1000000 50*	6153550 46	1000000 50	5909870 50
5000	49	1561998 48	4750000 51	9791667 49*	6214994 46	9999978 49	5845468 50
5500	49	1414712 48	4745000 51	7973485 49*	6811045 46	9999765 49	5283230 50
6000	49	1292799 48	4740000 51	6458334 49*	7407195 46	9999551 49	4817951 50
6500	49	1190228 48	4735000 51	5176282 49*	8003449 46	9999338 49	4426571 50
7000	49	1102738 48	4730000 51	4077381 49*	8599808 46	9999123 49	4092798 50
7500	49	1027234 48	4725000 51	3125000 49*	9196280 46	9998909 49	3804802 50
8000	49	9614124 47	4720000 51	2291667 49*	9792868 46	9998694 49	3554215 50
8500	49	9035240 47	4715000 51	1556373 49*	1038957 47	9998478 49	3332661 50
9000	49	8522173 47	4710000 51	9027780 48*	1098640 47	9998262 49	3137441 50
9500	49	8064309 47	4705000 51	3179830 48*	1158336 47	9998046 49	2962603 50
1000	50	7653200 47	4700000 51	2083330 48	1218044 47	9997829 49	2805949 50
1050	50	7282038 47	4695000 51	6845230 48	1277767 47	9997612 49	2664040 50
1100	50	6945274 47	4690000 51	1117424 49	1337503 47	9997394 49	2535797 50
1150	50	6638341 47	4685000 51	1512681 49	1397254 47	9997176 49	2418517 50
1200	50	6357447 47	4680000 51	1875000 49	1457019 47	9996957 49	2311613 50
1250	50	6099415 47	4675000 51	2208333 49	1516800 47	9996738 49	2213249 50
1300	50	5861566 47	4670000 51	2516025 49	1576596 47	9996519 49	2122444 50
1350	50	5641623 47	4665000 51	2800926 49	1636408 47	9996299 49	2038510 50
1400	50	5437638 47	4660000 51	3065476 49	1696237 47	9996078 49	1960561 50
1450	50	5247938 47	4655000 51	3311781 49	1756082 47	9995857 49	1888360 50
1500	50	5071074 47	4650000 51	3541666 49	1815944 47	9995636 49	1820944 50
1550	50	4905788 47	4645000 51	3756720 49	1875825 47	9995414 49	1757852 50
1600	50	4750979 47	4640000 51	3958333 49	1935723 47	9995192 49	1698994 50
1650	50	4605683 47	4635000 51	4147727 49	1995639 47	9994969 49	1643475 50
1700	50	4469051 47	4630000 51	4325980 49	2055575 47	9994746 49	1591477 50
1750	50	4340330 47	4625000 51	4494047 49	2115529 47	9994522 49	1542336 50
1800	50	4218855 47	4620000 51	4652777 49	2175503 47	9994298 49	1496065 50
1850	50	4104031 47	4615000 51	4802928 49	2235497 47	9994073 49	1452270 50
1900	50	3995326 47	4610000 51	4945175 49	2295512 47	9993848 49	1410901 50
1950	50	3892266 47	4605000 51	5080128 49	2355547 47	9993623 49	1371628 50
2000	50	3794422 47	4600000 51	5208333 49	2415604 47	9993397 49	1334360 50
2500	50	3033449 47	4550000 51	6208333 49	3017428 47	9991109 49	1044375 50
3000	50	2528508 47	4500000 51	6875000 49	3621821 47	9988773 49	8520948 49
3500	50	2169206 47	4450000 51	7351190 49	4229188 47	9986386 49	7153649 49
4000	50	1900637 47	4400000 51	7708333 49	4839933 47	9983947 49	6132466 49
4500	50	1692414 47	4350000 51	7986111 49	5454462 47	9981453 49	5341063 49
5000	50	1526356 47	4300000 51	8208333 49	6073179 47	9978903 49	4710613 49
5500	50	1390918 47	4250000 51	8390151 49	6696488 47	9976295 49	4196637 49
6000	50	1278418 47	4200000 51	8541666 49	7324795 47	9973627 49	3770029 49
6500	50	1183544 47	4150000 51	8669871 49	7958506 47	9970897 49	3410400 49
7000	50	1102509 47	4100000 51	8779762 49	8598021 47	9968103 49	3103413 49
7500	50	1032536 47	4050000 51	8875000 49	9243750 47	9965242 49	2838457 49
8000	50	9715468 46	4000000 51	8958333 49	9896095 47	9962313 49	2607567 49
8500	50	9179503 46	3950000 51	9031862 49	1055546 48	9959312 49	2404659 49
9000	50	8705123 46	3900000 51	9097222 49	1122225 48	9956236 49	2225107 49

48 γ'	51 = γ	$\sigma_3(\gamma')/\phi_0$	E	w	$\sigma_1(w,\phi)/\phi_0$	w'	$\sigma_4(w',\phi)/\phi_0$
9500	50	8282579 46	3850000 51	9155701 49	1189687 48	9953084 49	2065106 49
1000	51	7904080 46	3800000 51	9208333 49	1257973 48	9949852 49	1921774 49
1200	51	6720224 46	3600000 51	9375000 49	1540162 48	9936062 49	1472569 49
1400	51	5894543 46	3400000 51	9494047 49	1838765 48	9920716 49	1157466 49
1600	51	5292538 46	3200000 51	9583333 49	2156374 48	9903538 49	9253907 48
1800	51	4839563 46	3000000 51	9652777 49	2495579 48	9884176 49	7480992 48
2000	51	4490859 46	2800000 51	9708333 49	2858969 48	9862187 49	6087741 48
2200	51	4217960 46	2600000 51	9753787 49	3249136 48	9836996 49	4968147 48
2400	51	4001899 46	2400000 51	9791666 49	3668671 48	9807850 49	4052281 48
2600	51	3829549 46	2200000 51	9823718 49	4120163 48	9773735 49	3292614 48
2800	51	3691533 46	2000000 51	9851190 49	4606202 48	9733264 49	2655976 48
3000	51	3580983 46	1800000 51	9875000 49	5129381 48	9684475 49	2118599 48
3200	51	3492743 46	1600000 51	9895833 49	5692287 48	9624510 49	1663426 48
3400	51	3422875 46	1400000 51	9914215 49	6297512 48	9549024 49	1277929 48
3600	51	3368314 46	1200000 51	9930555 49	6947647 48	9451084 49	9529428 47
3800	51	3326643 46	1000000 51	9945175 49	7645283 48	9318895 49	6817881 47
4000	51	3295926 46	8000000 50	9958333 49	8393008 48	9130617 49	4596149 47
4200	51	3274598 46	6000000 50	9970238 49	9193414 48	8840679 49	2829673 47
4400	51	3261379 46	4000000 50	9981060 49	1004909 49	8335110 49	1494668 47
4600	51	3255209 46	2000000 50	9990942 49	1096263 49	7218387 49	5741839 46
4800	51	3255208 46	0000000 00	1000000 50	1193662 49	0000000 00	0000000 00

50 γ'	51 = γ	$\sigma_3(\gamma')/\phi_0$	E	w	$\sigma_1(w,\phi)/\phi_0$	w'	$\sigma_4(w',\phi)/\phi_0$
4950	49	15151148 48	4950495 51	1000000 50*	5909797 46	1000000 50	6148553 50
5000	49	14995560 48	4950000 51	9800000 49*	5966543 46	9999980 49	6084061 50
5500	49	13583570 48	4945000 51	7981818 49*	6539727 46	9999784 49	5500281 50
6000	49	12414520 48	4940000 51	6466667 49*	7112999 46	9999587 49	5017780 50
6500	49	11430730 48	4935000 51	5184615 49*	7686362 46	9999390 49	4610936 50
7000	49	10591420 48	4930000 51	4085714 49*	8259820 46	9999193 49	4263869 50
7500	49	98669760 47	4925000 51	3133333 49*	8833376 46	9998995 49	3963800 50
8000	49	92353350 47	4920000 51	2300000 49*	9407034 46	9998796 49	3703168 50
8500	49	86797510 47	4915000 51	1564706 49*	9980798 46	9998598 49	3473481 50
9000	49	81872780 47	4910000 51	9111110 48*	10554670 47	9998399 49	3269903 50
9500	49	77477460 47	4905000 51	3263160 48*	11128650 47	9998199 49	3088227 50
1000	50	73530600 47	4900000 51	2000000 48	11702750 47	9997999 49	2925104 50
1050	50	69966930 47	4895000 51	6761900 48	12276980 47	9997799 49	2777833 50
1100	50	66733270 47	4890000 51	1109091 49	12851320 47	9997599 49	2644215 50
1150	50	63785830 47	4885000 51	1504348 49	13425790 47	9997398 49	2522437 50
1200	50	61088260 47	4880000 51	1866667 49	14000390 47	9997196 49	2410800 50
1250	50	58610100 47	4875000 51	2200000 49	14575130 47	9996994 49	2308451 50
1300	50	56325630 47	4870000 51	2507692 49	15150010 47	9996792 49	2214114 50
1350	50	54213030 47	4865000 51	2792593 49	15725020 47	9996589 49	2126730 50
1400	50	52255620 47	4860000 51	3057143 49	16300180 47	9996386 49	2045847 50
1450	50	50431330 47	4855000 51	3303448 49	16875490 47	9996183 49	1970502 50
1500	50	48732260 47	4850000 51	3533333 49	17450950 47	9995979 49	1900517 50
1550	50	47144350 47	4845000 51	3748387 49	18026570 47	9995775 49	1834880 50
1600	50	45657030 47	4840000 51	3950000 49	18602350 47	9995570 49	1773418 50
1650	50	44261060 47	4835000 51	4139394 49	19178280 47	9995365 49	1715745 50
1700	50	42948270 47	4830000 51	4317647 49	19754390 47	9995159 49	1661335 50
1750	50	41711460 47	4825000 51	4485714 49	20330670 47	9994953 49	1610364 50
1800	50	40544230 47	4820000 51	4644444 49	20907110 47	9994747 49	1562268 50
1850	50	39440860 47	4815000 51	4794595 49	21483740 47	9994540 49	1516493 50
1900	50	38396270 47	4810000 51	4936842 49	22060550 47	9994333 49	1473406 50
1950	50	37405880 47	4805000 51	5071795 49	22637540 47	9994126 49	1432564 50
2000	50	36465600 47	4800000 51	5200000 49	23214720 47	9993918 49	1393730 50
2500	50	29151600 47	4750000 51	6200000 49	28997630 47	9991814 49	1091761 50
3000	50	24297260 47	4700000 51	6866667 49	34803270 47	9989668 49	8914969 49
3500	50	20842330 47	4650000 51	7342857 49	40635210 47	9987476 49	7490489 49
4000	50	18259350 47	4600000 51	7700000 49	46497050 47	9985239 49	6426078 49
4500	50	16256340 47	4550000 51	7977778 49	52392350 47	9982953 49	5601323 49
5000	50	14658600 47	4500000 51	8200000 49	58324710 47	9980619 49	4943839 49
5500	50	13355180 47	4450000 51	8381818 49	64297700 47	9978234 49	4407880 49
6000	50	12272260 47	4400000 51	8533333 49	70314900 47	9975796 49	3962871 49
6500	50	11358790 47	4350000 51	8661538 49	76379900 47	9973305 49	3587709 49
7000	50	10578350 47	4300000 51	8771429 49	82496270 47	9970757 49	3267315 49
7500	50	99042660 46	4250000 51	8866667 49	88667600 47	9968151 49	2990703 49
8000	50	93165370 46	4200000 51	8950000 49	94897460 47	9965485 49	2749644 49
8500	50	87998900 46	4150000 51	9023529 49	10118940 48	9962758 49	2537801 49
9000	50	83424510 46	4100000 51	9088889 49	10754710 48	9959966 49	2350221 49

50 γ'	51 $=\gamma$	$\sigma_3(\gamma')/\phi_0$	E	w	$\sigma_1(w,\phi)/\phi_0$	w'	$\sigma_4(w',\phi)/\phi_0$
9500	50	7934852 46	4050000 51	9147368 49	1139741 48	9957108 49	2183080 49
1000	51	7569600 46	4000000 51	9200000 49	1204739 48	9954180 49	2033266 49
1200	51	6426016 46	3800000 51	9366667 49	1472734 48	9941730 49	1563654 49
1400	51	5626824 46	3600000 51	9485714 49	1755252 48	9927951 49	1233987 49
1600	51	5048709 46	3400000 51	9575000 49	2054584 48	9912618 49	9910078 48
1800	51	4601896 46	3200000 51	9644444 49	2373023 48	9895453 49	8052888 48
2000	51	4261350 46	3000000 51	9700000 49	2712859 48	9876107 49	6592539 48
2200	51	3993699 46	2800000 51	9745454 49	3076386 48	9854136 49	5418243 48
2400	51	3780704 46	2600000 51	9783333 49	3465894 48	9828966 49	4456744 48
2600	51	3609742 46	2400000 51	9815385 49	3883676 48	9799842 49	3658130 48
2800	51	3471798 46	2200000 51	9842857 49	4332022 48	9765756 49	2987469 48
3000	51	3360266 46	2000000 51	9866667 49	4813227 48	9725317 49	2419582 48
3200	51	3270189 46	1800000 51	9887500 49	5329580 48	9676569 49	1936306 48
3400	51	3197779 46	1600000 51	9905882 49	5883374 48	9616653 49	1524194 48
3600	51	3140090 46	1400000 51	9922222 49	6476902 48	9541227 49	1173298 48
3800	51	3094796 46	1200000 51	9936842 49	7112453 48	9443365 49	8762666 47
4000	51	3060037 46	1000000 51	9950000 49	7792321 48	9311283 49	6276515 47
4200	51	3034307 46	8000000 50	9961905 49	8518797 48	9123152 49	4234671 47
4400	51	3016374 46	6000000 50	9972727 49	9294173 48	8833468 49	2608694 47
4600	51	3005222 46	4000000 50	9982609 49	1012074 49	8328242 49	1378293 47
4800	51	3000001 46	2000000 50	9991667 49	1100079 49	7212419 49	5295709 46
5000	51	3000000 46	0000000 00	1000000 50	1193662 49	0000000 00	0000000 00

W'	$\frac{\cdots\cdots\cdots}{\phi_0}$	γ'	$\frac{\sigma_3(\gamma')}{\phi_0}$	E	W	$\frac{\sigma_1(W_1\phi)}{\phi_0}$
1000 50	47746 48 49	0000000 00	INF	0000000 00	1000000 50*	1193662 49
9900 49	4542514 49	0000000 00	INF	0000000 00	9602000 49*	1147099 49
9800 49	4323241 49	0000000 00	INF	0000000 00	9208000 49*	1102867 49
9700 49	4116329 49	0000000 00	INF	0000000 00	8818000 49*	1060909 49
9600 49	3921291 49	0000000 00	INF	0000000 00	8432000 49*	1021169 49
9500 49	3737651 49	0000000 00	INF	0000000 00	8050000 49*	9835924 48
9400 49	3564943 49	0000000 00	INF	0000000 00	7672000 49*	9481232 48
9300 49	3402713 49	0000000 00	INF	0000000 00	7298000 49*	9147080 48
9200 49	3250518 49	0000000 00	INF	0000000 00	6928000 49*	8832930 48
9100 49	3107924 49	0000000 00	INF	0000000 00	6562000 49*	8538255 48
9000 49	2974510 49	0000000 00	INF	0000000 00	6200000 49*	8262528 48
8800 49	2733580 49	0000000 00	INF	0000000 00	5488000 49*	7765854 48
8600 49	2524557 49	0000000 00	INF	0000000 00	4792000 49*	7338828 48
8400 49	2344428 49	0000000 00	INF	0000000 00	4112000 49*	6977464 48
8200 49	2190339 49	0000000 00	INF	0000000 00	3448000 49*	6677864 48
8000 49	2059592 49	0000000 00	INF	0000000 00	2800000 49*	6436225 48
7500 49	1818469 49	0000000 00	INF	0000000 00	1250000 49*	6061565 48
7000 49	1671795 49	0000000 00	INF	0000000 00	2000000 48	5970697 48
6500 49	1589041 49	0000000 00	INF	0000000 00	1550000 49	6111699 48
6000 49	1544694 49	0000000 00	INF	0000000 00	2800000 49	6436225 48
5500 49	1517893 49	0000000 00	INF	0000000 00	3950000 49	6899515 48
5000 49	1492077 49	0000000 00	INF	0000000 00	5000000 49	7460387 48
4500 49	1454623 49	0000000 00	INF	0000000 00	5950000 49	8081241 48
4000 49	1396489 49	0000000 00	INF	0000000 00	6800000 49	8728057 48
3500 49	1311855 49	0000000 00	INF	0000000 00	7550000 49	9370396 48
3000 49	1197768 49	0000000 00	INF	0000000 00	8200000 49	9981402 48
2500 49	1053779 49	0000000 00	INF	0000000 00	8750000 49	1053779 49
2000 49	8815910 48	0000000 00	INF	0000000 00	9200000 49	1101988 49
1500 49	6846935 48	0000000 00	INF	0000000 00	9550000 49	1141155 49
1000 49	4680110 48	0000000 00	INF	0000000 00	9800000 49	1170027 49
5000 48	2375417 48	0000000 00	INF	0000000 00	9950000 49	1187708 49
0000 00	0000000 00	0000000 00	INF	0000000 00	1000000 50	1193662 49

10 49 = γ w'	$\frac{\sigma_4(w',\phi)}{\phi_0}$	γ'	$\frac{\sigma_3(\gamma')}{\phi_0}$	E	w	$\frac{\sigma_1(w,\phi)}{\phi_0}$
1000 50	4078897 49	8333333 48	7624999 51	1666667 48	1000000 50*	8427475 48
9900 49	3848033 49	8366771 48	7268497 51	1633229 48	9520424 49*	8098052 48
9800 49	3633390 49	8399861 48	6935368 51	1600138 48	9049583 49*	7788143 48
9700 49	3434037 49	8432605 48	6624574 51	1567394 48	8587312 49*	7497244 48
9600 49	3249089 49	8465002 48	6335118 51	1534997 48	8133450 49*	7224854 48
9500 49	3077705 49	8497054 48	6066048 51	1502945 48	7687841 49*	6970482 48
9400 49	2919083 49	8528760 48	5816447 51	1471239 48	7250332 49*	6733638 48
9300 49	2772463 49	8560120 48	5585437 51	1439879 48	6820777 49*	6513840 48
9200 49	2637120 49	8591136 48	5372175 51	1408863 48	6399032 49*	6310613 48
9100 49	2512366 49	8621807 48	5175853 51	1378192 48	5984959 49*	6123487 48
9000 49	2397547 49	8652134 48	4995695 51	1347866 48	5578421 49*	5951995 48
8800 49	2195256 49	8711755 48	4680917 51	1288245 48	4787430 49*	5654086 48
8600 49	2025629 49	8770002 48	4422230 51	1229997 48	4025054 49*	5413285 48
8400 49	1884496 49	8826877 48	4214454 51	1173122 48	3290338 49*	5226076 48
8200 49	1768092 49	8882384 48	4052809 51	1117615 48	2582382 49*	5089035 48
8000 49	1673023 49	8936523 48	3932881 51	1063477 48	1900334 49*	4998827 48
7500 49	1509350 49	9065905 48	3789542 51	9340950 47	3033772 48*	4957118 48
7000 49	1420724 49	9186789 48	3826419 51	8132110 47	1148044 49	5139729 48
6500 49	1376674 49	9299206 48	3997466 51	7007940 47	2463936 49	5501697 48
6000 49	1354301 49	9403182 48	4264629 51	5968170 47	3653032 49	6001380 48
5500 49	1336749 49	9498746 48	4596405 51	5012540 47	4722955 49	6600412 48
5000 49	1311984 49	9585921 48	4966695 51	4140780 47	5680345 49	7263658 48
4500 49	1271833 49	9664727 48	5353873 51	3352720 47	6530975 49	7959163 48
4000 49	1211211 49	9735187 48	5740051 51	2648130 47	7279836 49	8658139 48
3500 49	1127504 49	9797315 48	6110484 51	2026850 47	7931223 49	9334904 48
3000 49	1020068 49	9851128 48	6453078 51	1488710 47	8488791 49	9966876 48
2500 49	8898214 48	9896640 48	6758018 51	1033590 47	8955613 49	1053452 49
2000 49	7389097 48	9933862 48	7017453 51	6613800 46	9334221 49	1102137 49
1500 49	5704282 48	9962802 48	7225260 51	3719700 46	9626641 49	1141397 49
1000 49	3881841 48	9983469 48	7376855 51	1653100 46	9834423 49	1170184 49
5000 48	1964936 48	9995867 48	7469059 51	4132000 45	9958659 49	1187755 49
0000 00	0000000 00	1000000 49	7500000 51	0000000 00	1000000 50	1193662 49

$20 \cdot 49 - \gamma$ W'	$\sigma_4(W',\phi)/\phi_0$	γ'	$\sigma_3(\gamma')/\phi_0$	E	W	$\sigma_1(W,\phi)/\phi_0$
10000 50	3708356 49	1428571 49	1982142 51	5714286 48	1000000 50*	6438119 48
9900 49	3466046 49	1440261 49	1873468 51	5597389 48	9431854 49*	6185132 48
9800 49	3244533 49	1451820 49	1773625 51	5481797 48	8879051 49*	5949872 48
9700 49	3042214 49	1463249 49	1682042 51	5367508 48	8341059 49*	5731854 48
9600 49	2857606 49	1474548 49	1598188 51	5254515 48	7817371 49*	5530524 48
9500 49	2689337 49	1485718 49	1521568 51	5142817 48	7307507 49*	5345452 48
9400 49	2536135 49	1496759 49	1451716 51	5032406 48	6811007 49*	5176140 48
9300 49	2396822 49	1507671 49	1388201 51	4923281 48	6327432 49*	5022112 48
9200 49	2270304 49	1518456 49	1330617 51	4815439 48	5856363 49*	4882900 48
9100 49	2155569 49	1529112 49	1278584 51	4708872 48	5397402 49*	4758047 48
9000 49	2051676 49	1539642 49	1231749 51	4603580 48	4950166 49*	4647098 48
8800 49	1872993 49	1560319 49	1152358 51	4396802 48	4089427 49*	4465139 48
8600 49	1728001 49	1580492 49	1090027 51	4195074 48	3271414 49*	4333537 48
8400 49	1611311 49	1600163 49	1042627 51	3998368 48	2493625 49*	4248912 48
8200 49	1518272 49	1619334 49	1008280 51	3806655 48	1753765 49*	4207990 48
8000 49	1444872 49	1638009 49	9853295 50	3619910 48	1049723 49*	4207597 48
7500 49	1325725 49	1682539 49	9685810 50	3174602 48	5660377 48	4364020 48
7000 49	1266623 49	1724021 49	9955616 50	2759786 48	1996079 49	4709486 48
6500 49	1238426 49	1762490 49	1052265 51	2375097 48	3262100 49	5202340 48
6000 49	1221319 49	1797979 49	1128160 51	2020201 48	4382022 49	5804442 48
5500 49	1202109 49	1830520 49	1215274 51	1694796 48	5370724 49	6481022 48
5000 49	1172344 49	1860139 49	1307539 51	1398602 48	6240601 49	7200558 48
4500 49	1126980 49	1886863 49	1400317 51	1131363 48	7001998 49	7934647 48
4000 49	1063426 49	1910714 49	1490049 51	8928580 47	7663551 49	8657895 48
3500 49	980872 7 48	1931712 49	1574005 51	6828790 47	8232450 49	9347840 48
3000 49	8797935 48	1949874 49	1650090 51	5012520 47	8714653 49	9984842 48
2500 49	7615907 48	1965217 49	1716701 51	3478260 47	9115044 49	1055203 49
2000 49	6283342 48	1977753 49	1772627 51	2224690 47	9437570 49	1103523 49
1500 49	4825681 48	1987492 49	1816965 51	1250790 47	9685336 49	1142293 49
1000 49	3271686 48	1994442 49	1849067 51	5557100 46	9860685 49	1170620 49
5000 48	1652343 48	1998611 49	1868496 51	1389000 46	9965251 49	1187870 49
0000 00	0000000 00	2000000 49	1875000 51	0000000 00	1000000 50	1193662 49

30 49 = γ w'	$\frac{\sigma_1(w',\phi)}{\phi_0}$	γ'	$\frac{\sigma_2(\gamma')}{\phi_0}$	E	w	$\frac{\sigma_1(w,\phi)}{\phi_0}$
1000 50	3506615 49	1875000 49	9270833 50	1125000 49	1000000 50*	5187301 48
9900 49	3245328 49	1898620 49	8686120 50	1101379 49	9336490 49*	4983359 48
9800 49	3010621 49	1921951 49	8158179 50	1078048 49	8697119 49*	4796210 48
9700 49	2799908 49	1944994 49	7682197 50	1055005 49	8080687 49*	4625327 48
9600 49	2610864 49	1967752 49	7253802 50	1032247 49	7486073 49*	4470197 48
9500 49	2441389 49	1990225 49	6869019 50	1009774 49	6912229 49*	4330314 48
9400 49	2289590 49	2012416 49	6524228 50	9875838 48	6358176 49*	4205182 48
9300 49	2153756 49	2034326 49	6216130 50	9656740 48	5822996 49*	4094316 48
9200 49	2032341 49	2055956 49	5941715 50	9440434 48	5305827 49*	3997236 48
9100 49	1923943 49	2077309 49	5698230 50	9226907 48	4805861 49*	3913474 48
9000 49	1827296 49	2098386 49	5483160 50	9016139 48	4322341 49*	3842570 48
8800 49	1664761 49	2139717 49	5129238 50	8602830 48	3401819 49*	3737538 48
8600 49	1536758 49	2179961 49	4863716 50	8200385 48	2539036 49*	3678629 48
8400 49	1436711 49	2219131 49	4672905 50	7808688 48	1729347 49*	3662461 48
8200 49	1359182 49	2257237 49	4545220 50	7427627 48	9686112 48*	3685780 48
8000 49	1299672 49	2294290 49	4470825 50	7057093 48	2531240 48*	3745455 48
7500 49	1206780 49	2382386 49	4465953 50	6176135 48	1358617 49	4034211 48
7000 49	1161925 49	2464123 49	4643845 50	5358770 48	2750943 49	4487687 48
6500 49	1138207 49	2539641 49	4935210 50	4603581 48	3957703 49	5066064 48
6000 49	1118976 49	2609073 49	5291999 50	3909266 48	5005549 49	5733403 48
5500 49	1094193 49	2672535 49	5680531 50	3274647 48	5915680 49	6457374 48
5000 49	1058122 49	2730134 49	6076984 50	2698651 48	6705107 49	7209024 48
4500 49	1007846 49	2781968 49	6464402 50	2180317 48	7387560 49	7962562 48
4000 49	9423030 48	2828121 49	6830650 50	1718788 48	7974170 49	8695172 48
3500 49	8616440 48	2868670 49	7167025 50	1313300 48	8473971 49	9386858 48
3000 49	7668187 48	2903680 49	7467280 50	9631970 47	8894281 49	10002028 49
2500 49	6592941 48	2933209 49	7726938 50	6679040 47	9240986 49	10580068 49
2000 49	5408694 48	2957305 49	7942812 50	4269460 47	9518768 49	11055571 49
1500 49	4135536 48	2976006 49	8112660 50	2399320 47	9731259 49	11435539 49
1000 49	2794857 48	2989343 49	8234950 50	1065640 47	9881171 49	11712204 49
5000 48	1408816 48	2997336 49	8308693 50	2663100 46	9970384 49	11880220 49
0000 00	0000000 00	3000000 49	8333333 50	0000000 00	1000000 50	11936662 49

w'	$\frac{\sigma_4(w',\phi)}{\phi_0}$	γ'	$\frac{\sigma_3(\gamma')}{\phi_0}$	E	w	$\frac{\sigma_t(w,\phi)}{\phi_c}$
1000 50	34018554 9	2222222 49	55208333 50	1777777 49	1000000 50*	43391008
9900 49	31162677 9	2260676 49	51265288 50	1739323 49	9234543 49*	41698498
9800 49	28643299	2298611 49	47768077 50	1701388 49	8504531 49*	40168808
9700 49	26420779	2336030 49	44669777 50	1663969 49	7807664 49*	38796348
9600 49	24460419	2372938 49	41928900 50	1627061 49	7141836 49*	37575668
9500 49	22731739	2409341 49	39508735 0	1590658 49	6505120 49*	36501438
9400 49	21207969	2445242 49	37376688 50	1554757 49	5895745 49*	35568428
9300 49	19865519	2480645 49	35503768 50	1519354 49	5312084 49*	34771548
9200 49	18683589	2515556 49	33864138 50	1484443 49	4752635 49*	34105808
9100 49	17643789	2549978 49	32434768 50	1450021 49	4216016 49*	33566338
9000 49	16729839	2583916 49	31195000 50	1416083 49	3700947 49*	33148368
8800 49	15223509	2650353 49	29212368 50	1349646 49	2730811 49*	32658378
8600 49	14067619	2714901 49	27789888 50	1285098 49	1833751 49*	32599808
8400 49	13185499	2777589 49	26825258 50	1222410 49	1002445 49*	32938208
8200 49	12516299	2838446 49	26235118 50	1161553 49	2305370 48*	33640658
8000 49	12011569	2897502 49	25951218 50	1102497 49	4875148 48	34675708
7500 49	11234099	3037433 49	26236368 50	9625668 48	2077464 49	38524528
7000 49	10841439	3166666 49	27465488 50	8333333 48	3421052 49	43834098
6500 49	10591669	3285563 49	29229438 50	7144366 48	4563818 49	50218098
6000 49	10347869	3394449 49	31264178 50	6055507 48	5540138 49	57333148
5500 49	10035299	3493617 49	33396828 50	5063821 48	6376377 49	64874818
5000 49	9616372 8	3583333 49	35513028 50	4166668 48	7093023 49	72574178
4500 49	9075896 8	3663830 49	37536578 50	3361693 48	7706162 49	80194688
4000 49	8412064 8	3735318 49	39416588 50	2646817 48	8228520 49	87529498
3500 49	7631056 8	3797979 49	4111904 50	2020202 48	8670212 49	94399218
3000 49	6743679 8	3851973 49	42621298 50	1480263 48	9039282 49	10064998
2500 49	5763341 8	3897435 49	43908378 50	1025641 48	9342105 49	10615138
2000 49	4704817 8	3934479 49	44970518 50	6552010 47	9583680 49	11079568
1500 49	3583531 8	3963197 49	45801438 50	3680220 47	9767849 49	11449618
1000 49	2415155 8	3983660 49	46397188 50	1633980 47	9897456 49	11718618
5000 48	1215412 8	3995917 49	46755458 50	4082200 46	9974458 49	11881888
0000 00	0000000 0	4000000 49	46875008 50	0000000 00	1000000 50	11936628

Compton Cross Sections vs. Angle of Recoil Electron

50 49 = γ W′	$\sigma_1(W',\phi)/\phi_0$	γ′	$\sigma_2(\gamma')/\phi_0$	E	W	$\sigma_1(W_1,\phi)/\phi_0$
1000 50	3357174 49	2500000 49	3750000 50	2500000 49	1000000 50*	3730193 48
9900 49	3043034 49	2555829 49	3450539 50	2444170 49	9126234 49*	3587326 48
9800 49	2771009 49	2610826 49	3189761 50	2389173 49	8302048 49*	3460464 48
9700 49	2535261 49	2664999 49	2962794 50	2335000 49	7523454 49*	3349006 48
9600 49	2330822 49	2718360 49	2765451 50	2281640 49	6786885 49*	3252371 48
9500 49	2153451 49	2770916 49	2594124 50	2229083 49	6089136 49*	3169989 48
9400 49	1999517 49	2822680 49	2445691 50	2177320 49	5427324 49*	3101308 48
9300 49	1865903 49	2873658 49	2317444 50	2126341 49	4798845 49*	3045789 48
9200 49	1749925 49	2923861 49	2207028 50	2076138 49	4201342 49*	3002906 48
9100 49	1649267 49	2973298 49	2112385 50	2026701 49	3632678 49*	2972148 48
9000 49	1561926 49	3021977 49	2031717 50	1978022 49	3090909 49*	2953017 48
8800 49	1420476 49	3117097 49	1906179 50	1882902 49	2081123 49*	2947710 48
8600 49	1314231 49	3209287 49	1819922 50	1790712 49	1159562 49*	2983254 48
8400 49	1234577 49	3298611 49	1764763 50	1701388 49	3157894 48*	3056109 48
8200 49	1174935 49	3385129 49	1734272 50	1614871 49	4590280 48	3162917 48
8000 49	1130252 49	3468899 49	1723357 50	1531100 49	1172413 49	3300493 48
7500 49	1060557 49	3666666 49	1757024 50	1333333 49	2727272 49	3759593 48
7000 49	1021900 49	3848413 49	1845214 50	1151586 49	4015267 49	4349411 48
6500 49	9929089 48	4014864 49	1961529 50	9851357 48	5092559 49	5032187 48
6000 49	9624821 48	4166666 49	2090000 50	8333333 48	6000000 49	5774892 48
5500 49	9251365 48	4304397 49	2220799 50	6956023 48	6767946 49	6548688 48
5000 49	8784999 48	4428571 49	2347822 50	5714287 48	7419354 49	7328459 48
4500 49	8219224 48	4539641 49	2467256 50	4603583 48	7971831 49	8092404 48
4000 49	7556965 48	4638009 49	2576732 50	3619910 48	8439024 49	8821708 48
3500 49	6806117 48	4724021 49	2674792 50	2759787 48	8831594 49	9500226 48
3000 49	5977027 48	4797979 49	2760557 50	2020204 48	9157894 49	1011425 49
2500 49	5081078 48	4860139 49	2833514 50	1398602 48	9424460 49	1065229 49
2000 49	4129923 48	4910714 49	2893379 50	8928560 47	9636363 49	1110490 49
1500 49	3135101 48	4949874 49	2940008 50	5012540 47	9797468 49	1146455 49
1000 49	2107885 48	4977752 49	2973334 50	2224710 47	9910614 49	1172547 49
5000 48	1059263 48	4994442 49	2993333 50	5557300 46	9977746 49	1188363 49
0000 00	0000000 00	5000000 49	3000000 50	0000000 00	1000000 50	1193662 49

60 49 = γ	$\frac{\sigma_4(w',\phi)}{\phi_0}$	γ'	$\frac{\sigma_3(\gamma')}{\phi_0}$	E	w	$\frac{\sigma_1(w,\phi)}{\phi_0}$
w'						
10000 50	33519394 9	27272727 49	27651514 50	32727274 9	10000000 50*	32733784 8
9900 49	30055714 9	28028114 9	25208004 50	31971884 9	9011797 49*	31517094 8
9800 49	27112934 9	28771094 9	23119774 50	31228914 9	8090444 49*	30459044 8
9700 49	24607904 9	29501854 9	21334644 50	30498144 9	7229508 49*	29553174 8
9600 49	22471954 9	30220584 9	19809094 50	29779414 9	6423357 49*	28793244 8
9500 49	20648054 9	30927474 9	18506604 50	29072524 9	5667042 49*	28173174 8
9400 49	19088684 9	31622694 9	17396404 50	28377304 9	4956194 49*	27687094 8
9300 49	17754064 9	32306414 9	16452454 50	27693584 9	4286941 49*	27329284 8
9200 49	16610764 9	32978804 9	15652594 50	27021194 9	3655841 49*	27094194 8
9100 49	15630584 9	33640024 9	14977934 50	26359974 9	3059825 49*	26976454 8
9000 49	14789684 9	34290244 9	14412294 50	25709754 9	2496143 49*	26970834 8
8800 49	13447744 9	35558394 9	13554294 50	24441704 9	1456163 49*	27275894 8
8600 49	12456364 9	36784154 9	12988534 50	23215844 9	5189500 48*	27970604 8
8400 49	11721584 9	37968974 9	12647274 50	22031024 9	3293715 48	29018494 8
8200 49	11174154 9	39113834 9	12479034 50	20886164 9	1100263 49	30385174 8
8000 49	10762664 9	40219784 9	12444284 50	19780224 9	1803278 49	32038294 8
7500 49	10100104 9	42820784 9	12756904 50	17179214 9	3313521 49	37228424 8
7000 49	9691576 48	45198854 9	13407274 50	14801144 9	4542214 49	43592884 8
6500 49	9350356 48	47366584 9	14215724 50	12633414 9	5554737 49	50761374 8
6000 49	8986951 48	49335094 9	15079744 50	10664914 9	6397117 49	58415214 8
5500 49	8561413 48	51114194 9	15939784 50	8885809 48	7102629 49	66280444 8
5000 49	8059309 48	52712554 9	16760964 50	7287447 48	7695852 49	74122034 8
4500 49	7479215 48	54137754 9	17522954 50	5862247 48	8195267 49	81738744 8
4000 49	6826156 48	55396414 9	18214074 50	4603581 48	8614958 49	88959154 8
3500 49	6108083 48	56494294 9	18827864 50	3505703 48	8965764 49	95637984 8
3000 49	5334024 48	57436304 9	19361004 50	2563698 48	9256075 49	10165314 9
2500 49	4513145 48	58226604 9	19812024 50	1773396 48	9492385 49	10690344 9
2000 49	3654298 48	58868634 9	20180484 50	1131361 48	9679692 49	11130634 9
1500 49	2765862 48	59365174 9	20466524 50	634821 0 47	9821775 49	11479624 9
1000 49	1855730 48	59718354 9	20670444 50	281644 0 47	9921396 49	11732364 9
5000 48	9313814 47	59929664 9	20792634 50	703390 0 46	9980438 49	11885384 9
0000 00	0000000 00	60000004 9	20833334 50	0000000 00	10000004 50	11936624 9

70 49 = γ W'	$\frac{\sigma_4(W',\phi)}{\phi_0}$	γ'	$\frac{\sigma_3(\gamma')}{\phi_0}$	E	W	$\frac{\sigma_1(W,\phi)}{\phi_0}$
1000 50	3373822 49	2916666 49	2155612 50	4083333 49	1000000 50*	2918531 48
9900 49	2991882 49	3014119 49	1946613 50	3985880 49	8891472 49*	2814625 48
9800 49	2673637 49	3109818 49	1771410 50	3890181 49	7870500 49*	2726524 48
9700 49	2407576 49	3203797 49	1624331 50	3796202 49	6927243 49*	2653535 48
9600 49	2184477 49	3296087 49	1500782 50	3703912 49	6053288 49*	2594988 48
9500 49	1996901 49	3386718 49	1397017 50	3613281 49	5241392 49*	2550235 48
9400 49	1838809 49	3475721 49	1309959 50	3524278 49	4485293 49*	2518650 48
9300 49	1705274 49	3563124 49	1237068 50	3436876 49	3779544 49*	2499629 48
9200 49	1592251 49	3648955 49	1176231 50	3351044 49	3119388 49*	2492585 48
9100 49	1496405 49	3733242 49	1125687 50	3266757 49	2500651 49*	2496953 48
9000 49	1414977 49	3816012 49	1083957 50	3183987 49	1919652 49*	2512186 48
8800 49	1286566 49	3977101 49	1022141 50	3022898 49	8582261 48*	2573146 48
8600 49	1192816 49	4132421 49	9829158 49	2867578 49	8682738 47	2671441 48
8400 49	1123714 49	4282160 49	9605597 49	2717839 49	9330153 48	2803304 48
8200 49	1072127 49	4426495 49	9508588 49	2573504 49	1694479 49	2965215 48
8000 49	1032922 49	4565595 49	9506709 49	2434404 49	2382766 49	3153879 48
7500 49	9671162 48	4891465 49	9776403 49	2108534 49	3841943 49	3722864 48
7000 49	9225999 48	5187856 49	1026597 50	1812144 49	5009929 49	4397403 48
6500 49	8831309 48	5456750 49	1084853 50	1543249 49	5959789 49	5141138 48
6000 49	8414816 48	5699882 49	1145542 50	1300118 49	6741491 49	5923288 48
5500 49	7947280 48	5918766 49	1204884 50	1081233 49	7390301 49	6717813 48
5000 49	7420147 48	6114724 49	1260792 50	8852752 48	7931747 49	7502701 48
4500 49	6834618 48	6288907 49	1312131 50	7110924 48	8384700 49	8259388 48
4000 49	6196200 48	6442310 49	1358308 50	5576896 48	8763332 49	8972261 48
3500 49	5511994 48	6575791 49	1399045 50	4242089 48	9078419 49	9628265 48
3000 49	4789362 48	6690080 49	1434239 50	3099193 48	9338211 49	1021655 49
2500 49	4035323 48	6785792 49	1463883 50	2142078 48	9549041 49	1072822 49
2000 49	3256326 48	6863434 49	1488019 50	1365659 48	9715747 49	1115608 49
1500 49	2458206 48	6923409 49	1506707 50	7659020 47	9841965 49	1149447 49
1000 49	1646256 48	6966032 49	1520005 50	3396780 47	9930340 49	1173913 49
5000 48	8253336 47	6991519 49	1527963 50	8480700 46	9982670 49	1188710 49
0000 00	0000000 00	7000000 49	1530612 50	0000000 00	1000000 50	1193662 49

80 49 = γ W'	$\frac{\sigma_4(W',\phi)}{\phi_0}$	γ'	$\frac{\sigma_3(\gamma')}{\phi_0}$	E	W	$\frac{\sigma_1(W,\phi)}{\phi_0}$
1000 50	3415058 49	3076923 49	1748798 50	4923076 49	1000000 50*	2635075 48
9900 49	2994412 49	3198412 49	1564092 50	4801587 49	8765508 49*	2546545 48
9800 49	2650807 49	3317520 49	1412275 50	4682479 49	7642995 49*	2473812 48
9700 49	2368700 49	3434297 49	1287137 50	4565702 49	6618037 49*	2416132 48
9600 49	2136017 49	3548793 49	1183798 50	4451206 49	5678588 49*	2372791 48
9500 49	1943297 49	3661057 49	1098391 50	4338942 49	4814510 49*	2343097 48
9400 49	1783063 49	3771136 49	1027821 50	4228864 49	4017209 49*	2326388 48
9300 49	1649361 49	3879073 49	9695939 49	4120926 49	3279350 49*	2322030 48
9200 49	1537422 49	3984915 49	9216837 49	4015084 49	2594638 49*	2329379 48
9100 49	1443396 49	4088702 49	8824350 49	3911297 49	1957639 49*	2347868 48
9000 49	1364162 49	4190476 49	8504856 49	3809523 49	1363636 49*	2376916 48
8800 49	1240350 49	4388144 49	8041673 49	3611855 49	2886782 48*	2464497 48
8600 49	1150624 49	4578222 49	7757832 49	3421777 49	6574639 48	2587941 48
8400 49	1084517 49	4760999 49	7604442 49	3239000 49	1496008 49	2743366 48
8200 49	1034799 49	4936744 49	7546510 49	3063256 49	2243734 49	2927166 48
8000 49	9964199 48	5105709 49	7558628 49	2894290 49	2914083 49	3135994 48
7500 49	9291766 48	5500000 49	7784251 49	2499999 49	4318181 49	3747679 48
7000 49	8803539 48	5856752 49	8158711 49	2143247 49	5425690 49	4454053 48
6500 49	8358052 48	6178879 49	8589790 49	1821120 49	6315835 49	5219418 48
6000 49	7896325 48	6468899 49	9029969 49	1531100 49	7041420 49	6014052 48
5500 49	7396489 48	6728991 49	9454349 49	1271008 49	7638932 49	6813210 48
5000 49	6853418 48	6961038 49	9849940 49	1038961 49	8134328 49	7596295 48
4500 49	6269306 48	7166667 49	1021020 50	8333329 48	8546511 49	8346202 48
4000 49	5649184 48	7347272 49	1053211 50	6527280 48	8889505 49	9048740 48
3500 49	4998853 48	7504048 49	1081461 50	4959516 48	9173860 49	9692202 48
3000 49	4323936 48	7638008 49	1105764 50	3619912 48	9407582 49	1026698 49
2500 49	3629504 48	7749999 49	1126165 50	2500003 48	9596774 49	1076528 49
2000 49	2919977 48	7840716 49	1142731 50	1592834 48	9746064 49	1118087 49
1500 49	2199163 48	7910714 49	1155532 50	8928510 47	9858916 49	1150869 49
1000 49	1470346 48	7960416 49	1164627 50	3958400 47	9937841 49	1174569 49
5000 48	7364179 47	7990118 49	1170065 50	9881400 46	9984541 49	1188876 49
0000 00	0000000 00	8000000 49	1171875 50	0000000 00	1000000 50	1193662 49

90 49 = γ W'	$\frac{\sigma_4(W',\phi)}{\phi_0}$	γ'	$\frac{\sigma_3(\gamma')}{\phi_0}$	E	W	$\frac{\sigma_1(W,\phi)}{\phi_0}$
1000 50	3470537 49	3214285 49	1461640 50	5785714 49	1000000 50*	2403419 48
9900 49	3008188 49	3361878 49	1294492 50	5638121 49	8634160 49*	2328540 48
9800 49	2638083 49	3506333 49	1159845 50	5493666 49	7408705 49*	2269481 48
9700 49	2339676 49	3647728 49	1050878 50	5352272 49	6303213 49*	2225448 48
9600 49	2097509 49	3786136 49	9624007 49	5213863 49	5301040 49*	2195677 48
9500 49	1899813 49	3921630 49	8904116 49	5078369 49	4388489 49*	2179436 48
9400 49	1737534 49	4054279 49	8317937 49	4945720 49	3554184 49*	2176021 48
9300 49	1603641 49	4184151 49	7840937 49	4815848 49	2788599 49*	2184755 48
9200 49	1492622 49	4311309 49	7453633 49	4688690 49	2083695 49*	2204990 48
9100 49	1400128 49	4435818 49	7140421 49	4564181 49	1432642 49*	2236101 48
9000 49	1322699 49	4557737 49	6888711 49	4442262 49	8296009 48*	2277491 48
8800 49	1202505 49	4794036 49	6530729 49	4205963 49	2518605 48	2388825 48
8600 49	1115708 49	5020650 49	6317999 49	3979349 49	1193371 49	2534659 48
8400 49	1051531 49	5237994 49	6208387 49	3762005 49	2019832 49	2710996 48
8200 49	1002739 49	5446455 49	6172535 49	3553545 49	2750545 49	2914147 48
8000 49	9644085 48	5646396 49	6189639 49	3353603 49	3400701 49	3140712 48
7500 49	8945987 48	6111155 49	6375603 49	2888844 49	4747592 49	3789553 48
7000 49	8413342 48	6529488 49	6665714 49	2470511 49	5795976 49	4522984 48
6500 49	7922149 48	6905485 49	6991359 49	2094544 49	6629807 49	5305989 48
6000 49	7423340 48	7242526 49	7318689 49	1757473 49	7303774 49	6109892 48
5500 49	6899842 48	7543674 49	7630760 49	1456325 49	7854971 49	6911205 48
5000 49	6348238 48	7811445 49	7919223 49	1188554 49	8309382 49	7690694 48
4500 49	5770652 48	8048019 49	8180207 49	9519801 48	8685694 49	8432619 48
4000 49	5171111 48	8255257 49	8412207 49	7447423 48	8997619 49	9124127 48
3500 49	4553939 48	8434740 49	8614953 49	5652600 48	9255381 49	9754756 48
3000 49	3923089 48	8587798 49	8788792 49	4122014 48	9466682 49	1031604 49
2500 49	3281915 48	8715540 49	8934339 49	2844595 48	9637352 49	1080118 49
2000 49	2633157 48	8818873 49	9052281 49	1811264 48	9771793 49	1120480 49
1500 49	1979004 48	8898517 49	9143269 49	1014823 48	9873284 49	1152277 49
1000 49	1321195 48	8955023 49	9807848 49	4497660 47	9944194 49	1175199 49
5000 48	6611336 47	8988774 49	9246427 49	1122520 47	9986124 49	1189036 49
0000 00	0000000 00	9000000 49	9259259 49	0000000 00	1000000 50	1193662 49

10 50 = γ w'	$\frac{\sigma_4(w',\phi)}{\phi_0}$	γ'	$\frac{\sigma_3(\gamma')}{\phi_0}$	E	w	$\frac{\sigma_1(w,\phi)}{\phi_0}$
10000 50	3536776 49	3333333 49	1250000 50	6666667 49	10000000 50*	2210485 48
9900 49	3029826 49	3509056 49	1096043 50	6490943 49	8497688 49*	2147971 48
9800 49	2632285 49	3680747 49	9745398 49	6319253 49	7168394 49*	2101317 48
9700 49	2317504 49	3848517 49	8780029 49	6151482 49	5984031 49*	2069679 48
9600 49	2066073 49	4012474 49	8009114 49	5987526 49	4922279 49*	2052244 48
9500 49	1863643 49	4172719 49	7391314 49	5827280 49	3965183 49*	2048237 48
9400 49	1699462 49	4329354 49	6895248 49	5670646 49	3098132 49*	2056914 48
9300 49	1565379 49	4482472 49	6496796 49	5517527 49	2309115 49*	2077565 48
9200 49	1455148 49	4632166 49	6177212 49	5367834 49	1588170 49*	2109507 48
9100 49	1363938 49	4778524 49	5921780 49	5221476 49	926964 48*	2152087 48
9000 49	1287980 49	4921630 49	5718841 49	5078370 49	3184713 48*	2204682 48
8800 49	1170580 49	5198412 49	5434997 49	4801587 49	7633587 48	2337550 48
8600 49	1085831 49	5463133 49	5270667 49	4536867 49	1695486 49	2503625 48
8400 49	1022768 49	5716367 49	5189319 49	4283633 49	2506372 49	2698800 48
8200 49	9742180 48	5958648 49	5166119 49	4041351 49	3217672 49	2919309 48
8000 49	9354150 48	6190476 49	5183854 49	3809524 49	3846153 49	3161702 48
7500 49	8624315 48	6727272 49	5335912 49	3272727 49	5135135 49	3843322 48
7000 49	8048945 48	7207977 49	5563077 49	2792023 49	6126482 49	4600044 48
6500 49	7518143 48	7638015 49	5813215 49	2361984 49	6907593 49	5397561 48
6000 49	6989958 48	8021978 49	6061581 49	1978022 49	7534246 49	6208248 48
5500 49	6450183 48	8363759 49	6296303 49	1636241 49	8043654 49	7009851 48
5000 49	5895911 48	8666667 49	6511834 49	1333333 49	8461538 49	7784445 48
4500 49	5328558 48	8933508 49	6705831 49	1066491 49	8806190 49	8517593 48
4000 49	4750873 48	9166666 49	6877582 49	8333330 48	9090909 49	9197691 48
3500 49	4165682 48	9368149 49	7027189 49	6318510 48	9325533 49	9815431 48
3000 49	3575407 48	9539641 49	7155133 49	4603580 48	9517426 49	1036339 49
2500 49	2981928 48	9682539 49	7262032 49	3174600 48	9672131 49	1083569 49
2000 49	2386598 48	9797979 49	7348516 49	2020210 48	9793814 49	1122775 49
1500 49	1790322 48	9886863 49	7415153 49	1131360 48	9885569 49	1153605 49
1000 49	1193639 48	9949874 49	7462406 49	5012500 47	9949622 49	1175802 49
5000 48	5968304 47	9987492 49	7490619 49	1250700 47	9987476 49	1189188 49
0000 00	0000000 00	1000000 50	7500000 49	0000000 00	1000000 50	1193662 49

11 50 = γ w'	$\frac{\sigma_4(w',\phi)}{\phi_0}$	γ'	$\frac{\sigma_3(\gamma')}{\phi_0}$	E	w	$\frac{\sigma_1(w,\phi)}{\phi_0}$
1000 50	3611323 49	3437500 49	1088584 50	7562500 49	1000000 50*	2047235 48
9900 49	3056951 49	3643350 49	9448449 49	7356650 49	8356356 49*	1996101 48
9800 49	2631210 49	3844125 49	8337484 49	7155875 49	6922811 49*	1960876 48
9700 49	2300121 49	4039980 49	7470877 49	6960019 49	5661685 49*	1940663 48
9600 49	2039731 49	4231065 49	6790047 49	6768935 49	4543801 49*	1934605 48
9500 49	1832849 49	4417521 49	6252377 49	6582479 49	3546220 49*	1941881 48
9400 49	1666923 49	4599485 49	5826342 49	6400514 49	2650652 49*	1961709 48
9300 49	1532663 49	4777089 49	5488266 49	6222911 49	1842340 49*	1993342 48
9200 49	1423103 49	4950457 49	5220132 49	6049542 49	1109244 49*	2036068 48
9100 49	1332958 49	5119710 49	5008065 49	5880289 49	4414445 48*	2089204 48
9000 49	1258178 49	5284964 49	4841263 49	5715035 49	1693063 48	2152102 48
8800 49	1142879 49	5603913 49	4611234 49	5396087 49	1246835 49	2304730 48
8600 49	1059475 49	5908138 49	4480843 49	5091861 49	2165104 49	2489323 48
8400 49	9969092 48	6198413 49	4418251 49	4801587 49	2957746 49	2701665 48
8200 49	9481197 48	6475448 49	4402306 49	4524552 49	3647962 49	2937920 48
8000 49	9085106 48	6739905 49	4418634 49	4260094 49	4253905 49	3194595 48
7500 49	8321037 48	7349924 49	4542388 49	3650075 49	5485327 49	3905441 48
7000 49	7706360 48	7893453 49	4721872 49	3106547 49	6422182 49	4682399 48
6500 49	7142246 48	8377510 49	4916699 49	2622490 49	7154187 49	5491914 48
6000 49	6591618 48	8807971 49	5108340 49	2192028 49	7737556 49	6307420 48
5500 49	6041710 48	9189775 49	5288227 49	1810224 49	8209251 49	7107879 48
5000 49	5489330 48	9527085 49	5452558 49	1472915 49	8594518 49	7876632 48
4500 49	4934813 48	9823402 49	5599881 49	1176597 49	8911136 49	8600483 48
4000 49	4379528 48	10081680 50	5729898 49	9183190 48	9171928 49	9269000 48
3500 49	3824872 48	10304390 50	5842865 49	6956020 48	9386314 49	9873958 48
3000 49	3271900 48	10493610 50	5939279 49	5063820 48	9561307 49	10408890 49
2500 49	2721236 48	10651040 50	6019705 49	3489550 48	9702159 49	10868750 49
2000 49	2173105 48	10778060 50	6084690 49	2219380 48	9812804 49	11249670 49
1500 49	1627388 48	10875760 50	6134712 49	1242370 48	9896152 49	11548710 49
1000 49	1083701 48	10944970 50	6170160 49	5502700 47	9954295 49	11763750 49
5000 48	5414717 47	10986270 50	6191314 49	1372800 47	9988640 49	11893330 49
0000 00	0000000 00	11000000 50	6198347 49	0000000 00	10000000 50	11936620 49

12 50 = γ w'	$\frac{\sigma_4(w',\phi)}{\phi_0}$	γ'	$\frac{\sigma_3(\gamma')}{\phi_0}$	E	w	$\frac{\sigma_1(w,\phi)}{\phi_0}$
1000 50	3692407 49	3529411 49	9620098 49	8470588 49	1000000 50*	1907235 48
9900 49	3087853 49	3767363 49	8263829 49	8232637 49	8210431 49*	1866708 48
9800 49	2633306 49	3999037 49	7237558 49	8000963 49	6672684 49*	1842142 48
9700 49	2286085 49	4224645 49	6451552 49	7775355 49	5337293 49*	1832588 48
9600 49	2017098 49	4444387 49	5843841 49	7555612 49	4166953 49*	1837140 48
9500 49	1806060 49	4658456 49	5370631 49	7341543 49	3133003 49*	1854938 48
9400 49	1638547 49	4867035 49	5000336 49	7132965 49	2213056 49*	1885160 48
9300 49	1504123 49	5070297 49	4709774 49	6929702 49	1389374 49*	1927024 48
9200 49	1395125 49	5268411 49	4481656 49	6731588 49	6477195 48*	1979785 48
9100 49	1305847 49	5461537 49	4302909 49	6538463 49	2346852 47	2042735 48
9000 49	1231992 49	5649826 49	4163524 49	6350174 49	6336725 48	2115199 48
8800 49	1118215 49	6012474 49	3973521 49	5987526 49	1701244 49	2286136 48
8600 49	1035599 49	6357452 49	3867531 49	5642547 49	2603763 49	2487827 48
8400 49	9730746 48	6685768 49	3817685 49	5314231 49	3376190 49	2715957 48
8200 49	9237191 48	6998347 49	3805847 49	5001653 49	4044244 49	2966623 48
8000 49	8831086 48	7296039 49	3819915 49	4703961 49	4627266 49	3236295 48
7500 49	8032687 48	7980149 49	3920321 49	4019851 49	5802238 49	3973414 48
7000 49	7383003 48	8586687 49	4063235 49	3413312 49	6687398 49	4768079 48
6500 49	6791634 48	9124492 49	4216792 49	2875508 49	7373819 49	5587527 48
6000 49	6224613 48	9600888 49	4366789 49	2399111 49	7917630 49	6406270 48
5500 49	5669594 48	1002197 50	4506868 49	1978022 49	8355263 49	7204467 48
5000 49	5122588 48	1039285 50	4634336 49	1607143 49	8711340 49	7966683 48
4500 49	4582661 48	1071779 50	4748261 49	1282210 49	9003052 49	8680910 48
4000 49	4049807 48	1100034 50	4848561 49	9996530 48	9242711 49	9337825 48
3500 49	3524098 48	1124350 50	4935538 49	7564970 48	9439307 49	9930199 48
3000 49	3005395 48	1144972 50	5009656 49	5502720 48	9599501 49	1045245 49
2500 49	2493270 48	1162105 50	5071407 49	3789470 48	9728260 49	1090032 49
2000 49	1987021 48	1175911 50	5121253 49	2408830 48	9829293 49	1127056 49
1500 49	1485724 48	1186521 50	5159594 49	1347860 48	9905334 49	1156077 49
1000 49	9882812 47	1194031 50	5186749 49	5968200 47	9958347 49	1176920 49
5000 48	4934727 47	1198511 50	5202949 49	1488700 47	9989648 49	1189471 49
0000 00	0000000 00	1200000 50	5208333 49	0000000 00	1000000 50	1193662 49

13 50 = γ w'	$\frac{\sigma_1(w',\phi)}{\phi_0}$	γ'	$\frac{\sigma_2(\gamma')}{\phi_0}$	E	w	$\frac{\sigma_1(w,\phi)}{\phi_0}$
1000 50	3778722 49	3611111 49	8604536 49	9388889 49	1000000 50*	1785785 48
9900 49	3121281 49	3883119 49	7314033 49	9116881 49	8060184 49*	1755248 48
9800 49	2637456 49	4147479 49	6358293 49	8852521 49	6418721 49*	1740720 48
9700 49	2274370 49	4404470 49	5639519 49	8595530 49	5011898 49*	1741203 48
9600 49	1997180 49	4654356 49	5092396 49	8345643 49	3792938 49*	1755746 48
9500 49	1782287 49	4897391 49	4672072 49	8102609 49	2726727 49*	1783443 48
9400 49	1613335 49	5133812 49	4347008 49	7866188 49	1786393 49*	1823436 48
9300 49	1478754 49	5363849 49	4094557 49	7636150 49	9510192 48*	1874909 48
9200 49	1370216 49	5587719 49	3898162 49	7412281 49	2040816 48*	1937087 48
9100 49	1281629 49	5805688 49	3745517 49	7194371 49	4676448 48	2009233 48
9000 49	1208477 49	6017775 49	3627350 49	6982224 49	1074871 49	2090651 48
8800 49	1095745 49	6425525 49	3467739 49	6574475 49	2129377 49	2278682 48
8600 49	1013486 49	6812373 49	3379683 49	6187626 49	3013136 49	2496279 48
8400 49	9506754 48	7179604 49	3338689 49	5820395 49	3763963 49	2739032 48
8200 49	9005461 48	7528389 49	3329110 49	5471610 49	4409255 49	3002980 48
8000 49	8588398 48	7859803 49	3340671 49	5140196 49	4969344 49	3284561 48
7500 49	7757145 48	8618608 49	3421941 49	4381391 49	6089506 49	4045451 48
7000 49	7077098 48	9288128 49	3536505 49	3711871 49	6925876 49	4855689 48
6500 49	6464062 48	9879244 49	3658785 49	3120755 49	7570076 49	5683351 48
6000 49	5885819 48	1040088 50	3777650 49	2599111 49	8077744 49	6504034 48
5500 49	5329738 48	1086043 50	3888247 49	2139565 49	8484573 49	7299085 48
5000 49	4790722 48	1126399 50	3988599 49	1736004 49	8814463 49	8054256 48
4500 49	4266498 48	1161665 50	4078086 49	1383349 49	9083974 49	8758676 48
4000 49	3755743 48	1192262 50	4156728 49	1077376 49	9304891 49	9404061 48
3500 49	3257343 48	1218541 50	4224826 49	8145820 48	9485777 49	9984122 48
3000 49	2770121 48	1240792 50	4282787 49	5920720 48	9632945 49	1049409 49
2500 49	2292773 48	1259252 50	4331031 49	4074740 48	9751089 49	1093043 49
2000 49	1823846 48	1274111 50	4369946 49	2588850 48	9843701 49	1129044 49
1500 49	1361781 48	1285519 50	4399861 49	1448020 48	9913352 49	1157228 49
1000 49	9049300 47	1293590 50	4421040 49	6409900 47	9961883 49	1177437 49
5000 48	4515842 47	1298401 50	4433671 49	1598600 47	9990529 49	1189601 49
0000 00	0000000 00	1300000 50	4437870 49	0000000 00	1000000 50	1193662 49

14 50 = γ w'	$\frac{\sigma_4(w',\phi)}{\phi_0}$	γ'	$\frac{\sigma_3(\gamma')}{\phi_0}$	E	w	$\frac{\sigma_1(w,\phi)}{\phi_0}$
10000 50	38692811 49	36842100 49	77738980 49	10315780 50	10000000 50*	16793750 48
9900 49	31563010 49	39922160 49	65376500 49	10007780 50	79058830 49*	16583260 48
9800 49	26428500 49	42910240 49	56417970 49	97089760 49	61616020 49*	16533300 48
9700 49	22642380 49	45809940 49	49801300 49	94190050 49	46864630 49*	16633370 48
9600 49	19792570 49	48624700 49	44840640 49	91375290 49	34228180 49*	16873530 48
9500 49	17608010 49	51357770 49	41078380 49	88642230 49	23283920 49*	17244310 48
9400 49	15905470 49	54012210 49	38200590 49	85987790 49	13714750 49*	17736750 48
9300 49	14558110 49	56590940 49	35986620 49	83409060 49	52781490 48*	18342350 48
9200 49	13476370 49	59096740 49	34278190 49	80903260 49	22144990 48	19053070 48
9100 49	12595830 49	61532230 49	32959600 49	78467770 49	89121150 48	19861290 48
9000 49	11869470 49	63899910 49	31944950 49	76100080 49	14933830 49	20759790 48
8800 49	10748700 49	68441250 49	30583840 49	71558750 49	25317860 49	22800690 48
8600 49	99264080 48	72738420 49	29837810 49	67261570 49	33949660 49	25125510 48
8400 49	92931900 48	76807470 49	29490670 49	63192530 49	41232910 49	27689290 48
8200 49	87829850 48	80662960 49	29406640 49	59337030 49	47455940 49	30451870 48
8000 49	83547490 48	84318180 49	29497820 49	55681810 49	52830180 49	33377410 48
7500 49	74930920 48	92657000 49	30154130 49	47342990 49	63503650 49	41202490 48
7000 49	67873320 48	99980800 49	31077950 49	40020000 49	71408560 49	49442320 48
6500 49	61576430 48	10641860 50	32060550 49	33581380 49	77460050 49	57786500 48
6000 49	55725390 48	11207970 50	33012800 49	27920230 49	82206400 49	66001990 48
5500 49	50186200 48	11705090 50	33896640 49	22949040 49	85995690 49	73914010 48
5000 49	44895160 48	12140410 50	34697010 49	18595830 49	89059080 49	81391580 48
4500 49	39816270 48	12519880 50	35409600 49	14801130 49	91555630 49	88336870 48
4000 49	34924020 48	12848410 50	36035010 49	11515870 49	93597950 49	94676850 48
3500 49	30196770 48	13130050 50	36576000 49	86994200 48	95267430 49	10035740 49
3000 49	25613910 48	13368140 50	37036050 49	63185100 48	96623900 49	10533850 49
2500 49	21155070 48	13565410 50	37418710 49	43459000 48	97711670 49	10959100 49
2000 49	16799710 48	13724020 50	37727200 49	27597900 48	98563630 49	11309340 49
1500 49	12527240 48	13845690 50	37964250 49	15430600 48	99203940 49	11583090 49
1000 49	83169510 47	13931710 50	38132020 49	68289000 47	99649880 49	11779280 49
5000 48	41481140 47	13982970 50	38232060 49	17027000 47	99913010 49	11897250 49
0000 00	00000000 00	14000000 50	38265300 49	00000000 00	10000000 50	11936620 49

15 50 = γ w'	$\frac{\sigma_4(w',\phi)}{\phi_0}$	γ'	$\frac{\sigma_3(\gamma')}{\phi_0}$	E	w	$\frac{\sigma_1(w,\phi)}{\phi_0}$
1000 50	3963331 49	3750000 49	7083333 49	1125000 50	1000000 50*	1585332 48
9900 49	3192204 49	4095932 49	5892526 49	1090406 50	7747798 49*	1573356 48
9800 49	2648896 49	4430926 49	5048376 49	1056907 50	5901978 49*	1577468 48
9700 49	2255149 49	4755442 49	4435948 49	1024455 50	4361870 49*	1596572 48
9600 49	1962799 49	5069916 49	3983512 49	9930083 49	3057523 49*	1629626 48
9500 49	1741060 49	5374759 49	3644550 49	9625241 49	1938817 49*	1675645 48
9400 49	1569625 49	5670358 49	3387911 49	9329642 49	1689032 48*	1733697 48
9300 49	1434731 49	5957080 49	3192158 49	9042920 49	1200801 48*	1802899 48
9200 49	1326832 49	6235272 49	3042180 49	8764728 49	6288751 48	1882417 48
9100 49	1239174 49	6505263 49	2927111 49	8494737 49	1294498 49	1971465 48
9000 49	1166895 49	6767362 49	2838990 49	8232637 49	1889862 49	2069297 48
8800 49	1055161 49	7269057 49	2721350 49	7730943 49	2909723 49	2288551 48
8600 49	972721 7 48	7742536 49	2657031 49	7257463 49	3751003 49	2535031 48
8400 49	9087455 48	8189773 49	2626875 49	6810227 49	4456316 49	2804163 48
8200 49	8567838 48	8612547 49	2619026 49	6387452 49	5055700 49	3091884 48
8000 49	8128715 48	9012473 49	2625907 49	5987526 49	5570934 49	3394592 48
7500 49	7239671 48	9921630 49	2678775 49	5078370 49	6587677 49	4196841 48
7000 49	6512659 48	1071636 50	2753660 49	4283633 49	7335146 49	5032985 48
6500 49	5870739 48	1141231 50	2833257 49	3587687 49	7904200 49	5872912 48
6000 49	5282408 48	1202205 50	2910287 49	2977941 49	8348623 49	6694431 48
5500 49	4733187 48	1255583 50	2981681 49	2444170 49	8702238 49	7481217 48
5000 49	4215375 48	1302197 50	3046256 49	1978022 49	8987341 49	8221299 48
4500 49	3724088 48	1342735 50	3103688 49	1572646 49	9219183 49	8905925 48
4000 49	3255671 48	1377758 50	3154049 49	1222411 49	9408502 49	9528731 48
3500 49	2807031 48	1407731 50	3197580 49	9226900 48	9563036 49	1008511 49
3000 49	2375361 48	1433030 50	3234577 49	6696980 48	9688446 49	1057178 49
2500 49	1958018 48	1453964 50	3265335 49	4603580 48	9788918 49	1098639 49
2000 49	1552469 48	1470779 50	3290120 49	2922070 48	9867549 49	1132731 49
1500 49	1156260 48	1483667 50	3309160 49	1633240 48	9926613 49	1159340 49
1000 49	7670036 47	1492773 50	3322632 49	7226100 47	9967728 49	1178393 49
5000 48	3823539 47	1498198 50	3330664 49	1801700 47	9991983 49	1189842 49
0000 00	0000000 00	1500000 50	3333333 49	0000000 00	1000000 50	1193662 49

16 50 = γ w′	$\frac{\sigma_4(w',\phi)}{\phi_0}$	γ′	$\frac{\sigma_3(\gamma')}{\phi_0}$	E	w	$\frac{\sigma_1(w,\phi)}{\phi_0}$
10000 50	40602814 9	38095234 9	65011154 9	12190474 0	10000000 50*	15015834 8
9900 49	32284504 9	41952994 9	53488804 9	11804704 0	7586199 49*	14983354 8
9800 49	26551554 9	45681974 9	45500054 9	11431804 0	5640471 49*	15111994 8
9700 49	22467114 9	49287974 9	39805764 9	11071204 0	4038925 49*	15390334 8
9600 49	19474124 9	52776424 9	35658594 9	10722354 0	2697852 49*	15807544 8
9500 49	17226534 9	56152464 9	32587384 9	10384754 0	1558657 49*	16353374 8
9400 49	15501454 9	59420894 9	30284024 9	10057914 0	5790965 48*	17018144 8
9300 49	14150844 9	62586264 9	28540664 9	9741373 49	2720540 48	17792714 8
9200 49	13073814 9	65652864 9	27213304 9	9434714 49	1018370 49	18668474 8
9100 49	12200024 9	68624704 9	26199944 9	9137529 49	1677989 49	19637284 8
9000 49	11479474 9	71505634 9	25426794 9	8849436 49	2265087 49	20691514 8
8800 49	10363154 9	77008934 9	24397794 9	8299107 49	3264493 49	23027824 8
8600 49	9534964 48	82189344 9	23834684 9	7781065 49	4082972 49	25624804 8
8400 49	8887853 48	87070714 9	23566974 9	7292929 49	4765081 49	28435974 8
8200 49	8358820 48	91674474 9	23490584 9	6832552 49	5341838 49	31420334 8
8000 49	7909444 48	96019984 9	23539684 9	6398001 49	5835502 49	34541724 8
7500 49	6996300 48	10586464 0	23964244 9	5413534 49	6803977 49	42745054 8
7000 49	6252190 48	11443184 0	24574054 9	4556816 49	7511174 49	51214234 8
6500 49	5601884 48	12190474 0	25223534 9	3809524 49	8046875 49	59657824 8
6000 49	5013325 48	12842974 0	25852084 9	3157028 49	8463639 49	67865134 8
5500 49	4470778 48	13412454 0	26434374 9	2587544 49	8794244 49	75684304 8
5000 49	3965206 48	13908494 0	26960744 9	2091504 49	9060150 49	83006554 8
4500 49	3490531 48	14338884 0	27428634 9	1661113 49	9275958 49	89754274 8
4000 49	3042100 48	14710004 0	27838704 9	1289997 49	9451904 49	95872624 8
3500 49	2616023 48	15027054 0	28192994 9	9729450 48	9595335 49	10132324 9
3000 49	2208859 48	15294284 0	28493984 9	7057110 48	9711612 49	10607964 9
2500 49	1817473 48	15515154 0	28744134 9	4848470 48	9804687 49	11012384 9
2000 49	1438946 48	15692384 0	28945654 9	3076180 48	9877481 49	11344394 9
1500 49	1070524 48	15828124 0	29100424 9	1718780 48	9932130 49	11603214 9
1000 49	7095766 47	15923974 0	29209914 9	7602700 47	9970159 49	11788354 9
5000 48	3535622 47	15981044 0	29275184 9	1895200 47	9992587 49	11899544 9
0000 00	0000000 00	16000004 0	29296874 9	0000000 00	10000000 50	11936624 9

17 50 = γ w'	$\frac{\sigma_1(w',\phi)}{\phi_0}$	γ'	$\frac{\sigma_2(\gamma')}{\phi_0}$	E	w	$\frac{\sigma_1(w,\phi)}{\phi_0}$
10000 50	41596684 9	38636364 9	60042464 9	13136364 0	10000000 0*	14264988 8
9900 49	32646224 9	42911634 9	48851414 9	12708834 0	7421352 49*	14316844 8
9800 49	26613064 9	47036644 9	41264054 9	12296334 0	5377668 49*	14529964 8
9700 49	22386344 9	51018574 9	35949274 9	11898144 0	3718353 49*	14892474 8
9600 49	19328004 9	54864144 9	32131394 9	11513584 0	2344488 49*	15393124 8
9500 49	17052664 9	58579654 9	29334874 9	11142034 0	1188421 49*	16021304 8
9400 49	15317804 9	62171014 9	27255814 9	10782894 0	2023143 48*	16766994 8
9300 49	13965434 9	65643764 9	25693114 9	10435624 0	648612 6 48	17620724 8
9200 49	12889654 9	69003114 9	24509764 9	10099684 0	139025 4 49	18573624 8
9100 49	12017654 9	72253984 9	23610004 9	9774601 49	2042286 49	19617324 8
9000 49	11298304 9	75400984 9	22925444 9	9459902 49	2619926 49	20743974 8
8800 49	10181164 9	81400514 9	22015744 9	8859949 49	3597417 49	23217084 8
8600 49	9348074 48	87033644 9	21516104 9	8296636 49	4392543 49	25939294 8
8400 49	8693297 48	92328874 9	21274204 9	7767113 49	5051504 49	28863474 8
8200 49	8155200 48	97311694 9	21198124 9	7268830 49	5606096 49	31948284 8
8000 49	7696430 48	10200505 0	21230274 9	6799500 49	6078911 49	35157544 8
7500 49	6762548 48	11260174 0	21569874 9	5739822 49	7001499 49	43526954 8
7000 49	6005135 48	12178334 0	22068474 9	4821669 49	7671047 49	52091644 8
6500 49	5349750 48	12976174 0	22601924 9	4023826 49	8175921 49	60570174 8
6000 49	4763415 48	13670504 0	23118854 9	3329494 49	8567335 49	68763114 8
5500 49	4229058 48	14274764 0	23597924 9	2725236 49	8876983 49	76530004 8
5000 49	3736342 48	14799774 0	24030974 9	2200229 49	9125491 49	83772514 8
4500 49	3278094 48	15254304 0	24415854 9	1745696 49	9326826 49	90422564 8
4000 49	2848780 48	15645494 0	24753104 9	1354501 49	9490737 49	96433644 8
3500 49	2443820 48	15979164 0	25044404 9	1020837 49	9624202 49	10177454 9
3000 49	2059248 48	16260014 0	25291834 9	7399820 48	9732298 49	10642474 9
2500 49	1691527 48	16491864 0	25497414 9	5081310 48	9818758 49	11037124 9
2000 49	1337433 48	16677744 0	25663014 9	3222560 48	9886337 49	11360634 9
1500 49	9939817 47	16820804 0	25790174 9	1799990 48	9937049 49	11612514 9
1000 49	6583652 47	16920394 0	25880124 9	7960400 47	9972326 49	11792544 9
5000 48	3279042 47	16980164 0	25933744 9	1984000 47	9993126 49	11900604 9
0000 00	0000000 00	17000004 0	25951554 9	0000000 00	10000004 0	11936624 9

18 50 = γ	$\frac{\sigma_4(w',\phi)}{\phi_0}$	γ'	$\frac{\sigma_3(\gamma')}{\phi_0}$	E	w	$\frac{\sigma_1(w,\phi)}{\phi_0}$
w'						
1000 50	4261119 49	3913043 49	5575684 49	1408695 50	1000000 50*	1358775 48
9900 49	3300398 49	4384219 49	4485343 49	1361578 50	7253519 49*	1372146 48
9800 49	2667113 49	4838003 49	3762574 49	1316199 50	5114127 49*	1401643 48
9700 49	2230705 49	5275274 49	3264896 49	1272472 50	3400805 49*	1446037 48
9600 49	1918739 49	5696851 49	2912097 49	1230314 50	1998000 49*	1504166 48
9500 49	1688658 49	6103500 49	2656336 49	1189649 50	828484 0 48*	1574929 48
9400 49	1514277 49	6495938 49	2467717 49	1150406 50	1613204 48	1657293 48
9300 49	1378856 49	6874833 49	2326824 49	1112516 50	1009748 49	1750282 48
9200 49	1271343 49	7240813 49	2220630 49	1075918 50	1744951 49	1852981 48
9100 49	1184241 49	7594466 49	2140151 49	1040553 50	2388073 49	1964531 48
9000 49	1112342 49	7936345 49	2079042 49	1006365 50	2955296 49	2084128 48
8800 49	1000413 49	8586823 49	1997854 49	9413177 49	3909804 49	2344493 48
8600 49	9165511 48	9196040 49	1953011 49	8803960 49	4681310 49	2628613 48
8400 49	8503118 48	9767363 49	1930843 49	8232637 49	5317377 49	2931715 48
8200 49	7956556 48	1030378 50	1923186 49	7696212 49	5850386 49	3249641 48
8000 49	7489376 48	1080799 50	1924970 49	7192009 49	6303142 49	3578772 48
7500 49	6538066 48	1194266 50	1951996 49	6057332 49	7182216 49	4431001 48
7000 49	5770760 48	1292163 50	1992908 49	5078370 49	7816593 49	5295927 48
6500 49	5113118 48	1376918 50	2036983 49	4230811 49	8292963 49	6146450 48
6000 49	4531003 48	1450443 50	2079803 49	3495565 49	8661112 49	6963764 48
5500 49	4005974 48	1514252 50	2119530 49	2857475 49	8951636 49	7734931 48
5000 49	3526471 48	1569558 50	2155459 49	2304411 49	9184339 49	8451139 48
4500 49	3084329 48	1617341 50	2187397 49	1826584 49	9372569 49	9106495 48
4000 49	2673241 48	1658391 50	2215383 49	1416082 49	9525616 49	9697132 48
3500 49	2288039 48	1693350 50	2239556 49	1066491 49	9650105 49	1022059 49
3000 49	1924321 48	1722738 50	2260086 49	7726150 48	9750844 49	1067539 49
2500 49	1578225 48	1746972 50	2277143 49	5302780 48	9831365 49	1106069 49
2000 49	1246291 48	1766382 50	2290880 49	3361710 48	9894269 49	1137607 49
1500 49	9253632 47	1781288 50	2301429 49	1877150 48	9941452 49	1162136 49
1000 49	6125045 47	1791700 50	2308890 49	8299700 47	9974265 49	1179652 49
5000 48	3049411 47	1797931 50	2313337 49	2068300 47	9993608 49	1190160 49
0000 00	0000000 00	1800000 50	2314814 49	0000000 00	1000000 50	1193662 49

19 50 = γ w'	$\frac{\sigma_4(w',\phi)}{\phi_0}$	γ'	$\frac{\sigma_3(\gamma')}{\phi_0}$	E	w	$\frac{\sigma_1(w_1\phi)}{\phi_0}$
1000 50	43643335 49	39583333 49	52025625 49	15041666 50	10000000 50*	12973648
9900 49	33355526 49	44750499 49	41374399 49	14524955 50	70829639 49*	13187048
9800 49	26724044 49	49717788 49	34471989 49	14028228 50	48503679 49*	13561578
9700 49	22227699 49	54495869 49	29798589 49	13550419 50	30868589 49*	14084548
9600 49	19050599 49	59094619 49	26527619 49	13090539 50	16588579 49*	14743968
9500 49	16726419 49	63523269 49	24179289 49	12647679 50	47910719 48*	15528488
9400 49	14974419 49	67790369 49	22460209 49	12220969 50	51180018 48	16427438
9300 49	13618289 49	71903949 49	21183199 49	11809609 50	13557159 49	17430788
9200 49	12543309 49	75871469 49	20224519 49	11412859 50	20829719 49	18529138
9100 49	11672619 49	79699909 49	19499869 49	11030019 50	27160909 49	19713668
9000 49	10953359 49	83395799 49	18950349 49	10660429 50	32721459 49	20976148
8800 49	98310248 48	90414079 49	18219739 49	99585929 49	42029339 49	23704688
8600 49	89866058 48	96970899 49	17813299 49	93029119 49	49507849 49	26659208
8400 49	83169158 48	10310559 50	17607899 49	86894429 49	55643629 49	29791478
8200 49	77626498 48	10885309 50	17530649 49	81146979 49	60764589 49	33059718
8000 49	72881178 48	11424429 50	17536579 49	75755799 49	65099799 49	36427838
7500 49	63225398 48	12633789 50	17750199 49	63662199 49	73478709 49	45091018
7000 49	55483798 48	13672879 50	18086929 49	53271299 49	79494049 49	53815128
6500 49	48908719 48	14569289 50	18453099 49	44307199 49	83994019 49	62339808
6000 49	43145779 48	15344519 50	18810129 49	36554909 49	87461689 49	70488448
5500 49	37997119 48	16015509 50	19141969 49	29845009 49	90192069 49	78142548
5000 49	33335819 48	16595739 50	19442339 49	24042639 49	92375149 49	85223948
4500 49	29071299 48	17096039 50	19709479 49	19039669 49	94138489 49	91682398
4000 49	25133779 48	17525109 50	19943629 49	14748989 49	95570569 49	97486698
3500 49	21466629 48	17889969 50	20145899 49	11100359 49	96734329 49	10261849
3000 49	18022209 48	18196299 50	20317689 49	80370109 48	97675359 49	10706819
2500 49	14759339 48	18448649 50	20460419 49	55135409 48	98427059 49	11083159
2000 49	11641589 48	18650609 50	20575369 49	34940009 48	99014009 49	11390779
1500 49	86361239 47	18804959 50	20663629 49	19504709 48	99454109 49	11629779
1000 49	57127379 47	18913779 50	20726059 49	86222009 47	99760079 49	11800309
5000 48	28430839 47	18978519 50	20763269 49	21484009 47	99940419 49	11902559
0000 00	00000000 00	19000009 50	20775629 49	00000000 00	10000009 50	11936629

20 50 = γ w'	$\frac{\sigma_4(w',\phi)}{\phi_0}$	γ'	$\frac{\sigma_3(\gamma')}{\phi_0}$	E	w	$\frac{\sigma_1(w,\phi)}{\phi_0}$
10000 50	4469070 49	4000000 49	4875000 49	1600000 50	1000000 50*	1241408 48
9980 49	4203171 49	4114718 49	4623557 49	1588528 50	9303001 49*	1245881 48
9960 49	3963276 49	4228479 49	4396252 49	1577152 50	8649160 49*	1251040 48
9940 49	3746176 49	4341296 49	4190184 49	1565870 50	8034593 49*	1256875 48
9920 49	3549136 49	4453179 49	4002873 49	1554682 50	7455866 49*	1263375 48
9900 49	3369811 49	4564138 49	3832188 49	1543586 50	6909937 49*	1270529 48
9800 49	2677056 49	5105459 49	3171602 49	1489454 50	4586877 49*	1315735 48
9700 49	2214713 49	5625238 49	2731673 49	1437476 50	2777023 49*	1375722 48
9600 49	1891631 49	6124661 49	2427506 49	1387533 50	1327433 49*	1449254 48
9500 49	1657071 49	6604823 49	2211120 49	1339517 50	1404494 48*	1535164 48
9400 49	1481120 49	7066744 49	2053787 49	1293325 50	8492129 48	1632354 48
9300 49	1345309 49	7511370 49	1937487 49	1248862 50	1686851 49	1739792 48
9200 49	1237788 49	7939584 49	1850472 49	1206041 50	2404881 49	1856514 48
9100 49	1150703 49	8352205 49	1784832 49	1164779 50	3027113 49	1981618 48
9000 49	1078705 49	8750000 49	1735092 49	1125000 50	3571428 49	2114262 48
8900 49	1018061 49	9133685 49	1697370 49	1086631 50	4051517 49	2253662 48
8800 49	9661130 48	9503930 49	1668859 49	1049606 50	4478037 49	2399090 48
8700 49	9209315 48	9861362 49	1647491 49	1013863 50	4859413 49	2549865 48
8600 49	8810940 48	1020656 50	1631718 49	9793432 49	5202387 49	2705357 48
8500 49	8455353 48	1054009 50	1620364 49	9459902 49	5512422 49	2864983 48
8400 49	8134470 48	1086247 50	1612527 49	9137530 49	5793991 49	3028198 48
8300 49	7842082 48	1117417 50	1607504 49	8825828 49	6050791 49	3194500 48
8200 49	7573363 48	1147566 50	1604745 49	8524340 49	6285903 49	3363423 48
8100 49	7324521 48	1176736 50	1603813 49	8232637 49	6501919 49	3534534 48
8000 49	7092551 48	1204969 50	1604359 49	7950310 49	6701030 49	3707434 48
7500 49	6115675 48	1333333 50	1621093 49	6666667 49	7500000 49	4586756 48
7000 49	5337337 48	1443181 50	1648881 49	5568182 49	8070866 49	5465772 48
6500 49	4681975 48	1537619 50	1679453 49	4623804 49	8496441 49	6319546 48
6000 49	4112775 48	1619047 50	1709404 49	3809525 49	8823529 49	7131553 48
5500 49	3608666 48	1689345 50	1737306 49	3106547 49	9080547 49	7891024 48
5000 49	3155915 48	1749999 50	1762595 49	2500001 49	9285714 49	8591102 48
4500 49	2744674 48	1802198 50	1785103 49	1978020 49	9451219 49	9227595 48
4000 49	2367384 48	1846889 50	1804840 49	1531101 49	9585492 49	9798079 48
3500 49	2017970 48	1884841 50	1821894 49	1151585 49	9694513 49	10301132 49
3000 49	1691371 48	1916666 50	1836380 49	8333320 48	9782608 49	10736682 49
2500 49	1383268 48	1942857 50	1848417 49	5714290 48	9852941 49	11104457 49
2000 49	1089882 48	1963800 50	1858111 49	3619910 48	9907834 49	11404777 49
1500 49	8078422 47	1979798 50	1865554 49	2020190 48	9948979 49	11637777 49
1000 49	5340704 47	1991071 50	1870819 49	8928400 47	9977578 49	11803900 49
5000 48	2657008 47	1997775 50	1873957 49	2224700 47	9994432 49	11903455 49
0000 00	0000000 00	2000000 50	1875000 49	0000000 00	1000000 50	1193662 49

25 50 = γ w'	$\frac{\sigma_1(w',\phi)}{\phi_0}$	γ'	$\frac{\sigma_2(\gamma')}{\phi_0}$	E	w	$\frac{\sigma_1(w,\phi)}{\phi_0}$
1000 50	5009512 49	4166666 49	3700000 49	2083333 50	1000000 50*	1022349 48
9980 49	4631652 49	4335930 49	3456365 49	2066406 50	9063098 49*	1034200 48
9960 49	4301096 49	4503462 49	3242798 49	2049653 50	8205134 49*	1046726 48
9940 49	4010263 49	4669288 49	3054574 49	2033071 50	7416540 49*	1059917 48
9920 49	3753027 49	4833431 49	2887862 49	2016656 50	6689234 49*	1073761 48
9900 49	3524391 49	4995917 49	2739531 49	2000408 50	6016341 49*	1088245 48
9800 49	3688590 49	5784313 49	2196914 49	1921568 50	3288135 49*	1169868 48
9700 49	2170508 49	6534687 49	1862461 49	1846531 50	1302950 49*	1265776 48
9600 49	1825578 49	7249615 49	1643321 49	1775038 50	2061636 48	1374587 48
9500 49	1582753 49	7931441 49	1493187 49	1706855 50	1391952 49	1494991 48
9400 49	1403920 49	8582311 49	1386838 49	1641768 50	2348127 49	1625753 48
9300 49	1267193 49	9204182 49	1309577 49	1579581 50	3135373 49	1765720 48
9200 49	1159300 49	9798850 49	1252363 49	1520115 50	3794721 49	1913818 48
9100 49	1071831 49	1036796 50	1209386 49	1463203 50	4354906 49	2069056 48
9000 49	9992547 48	1091304 50	1176774 49	1408695 50	4836653 49	2230514 48
8900 49	9378148 48	1143548 50	1151866 49	1356451 50	5255288 49	2397349 48
8800 49	8848932 48	1193657 50	1132787 49	1306342 50	5622385 49	2568785 48
8700 49	8386190 48	1241750 50	1118182 49	1258249 50	5946852 49	2744110 48
8600 49	7976279 48	1287938 50	1107057 49	1212061 50	6235653 49	2922674 48
8500 49	7609057 48	1332323 50	1098667 49	1167676 50	6494313 49	3103884 48
8400 49	7276850 48	1375000 50	1092446 49	1125000 50	6727272 49	3287196 48
8300 49	6973769 48	1416056 50	1087959 49	1083943 50	6938137 49	3472116 48
8200 49	6695223 48	1455576 50	1084868 49	1044423 50	7129868 49	3658196 48
8100 49	6437587 48	1493634 50	1082905 49	1006365 50	7304921 49	3845026 48
8000 49	6197964 48	1530303 50	1081859 49	9696969 49	7465346 49	4032234 48
7500 49	5201172 48	1694991 50	1085443 49	8050089 49	8100263 49	4963206 48
7000 49	4431401 48	1833333 50	1096330 49	6666666 49	8545454 49	5864683 48
6500 49	3806799 48	1950406 50	1109534 49	5495934 49	8872863 49	6717553 48
6000 49	3284085 48	2049999 50	1122967 49	4500002 49	9121951 49	7510949 48
5500 49	2837024 48	2134992 50	1135719 49	3650075 49	9316142 49	8239181 48
5000 49	2448104 48	2207602 50	1147402 49	2923976 49	9470198 49	8899748 48
4500 49	2104830 48	2269559 50	1157868 49	2304408 49	9593857 49	9492099 48
4000 49	1797847 48	2322222 50	1167082 49	1777777 49	9693779 49	1001680 49
3500 49	1519887 48	2366666 50	1175065 49	1333333 49	9774647 49	1047505 49
3000 49	1265142 48	2403743 50	1181857 49	9625670 48	9839822 49	1086829 49
2500 49	1028843 48	2434124 50	1187507 49	6587590 48	9891745 49	1119803 49
2000 49	8069790 47	2458333 50	1192061 49	4166700 48	9932203 49	1146569 49
1500 49	5960946 47	2476774 50	1195559 49	2322590 48	9962490 49	1167250 49
1000 49	3931300 47	2489743 50	1198034 49	1025650 48	9983522 49	1181948 49
5000 48	1953018 47	2497445 50	1199509 49	2554400 47	9995909 49	1190737 49
0000 00	0000000 00	2500000 50	1200000 49	0000000 00	1000000 50	1193662 49

30 50 = γ w′	$\frac{\sigma_4(w',\phi)}{\phi_0}$	γ′	$\frac{\sigma_3(\gamma')}{\phi_0}$	E	w	$\frac{\sigma_1(w,\phi)}{\phi_0}$
10000 50	5568102 49	4285714 49	2976190 49	2571428 50	10000000 50*	8700160 47
9980 49	5053015 49	4519380 49	2734165 49	2548061 50	8793592 49*	8887972 47
9960 49	4617243 49	4750209 49	2528992 49	2524979 50	7718368 49*	9082247 47
9940 49	4245043 49	4978251 49	2353468 49	2502174 50	6754040 49*	9282868 47
9920 49	3924410 49	5203554 49	2202079 49	2479644 50	5884297 49*	9489720 47
9900 49	3646054 49	5426167 49	2070548 49	2457383 50	5095879 49*	9702684 47
9800 49	2679543 49	6500462 49	1614071 49	2349953 50	2050188 49*	10855503 48
9700 49	2118073 49	7514040 49	1351250 49	2248596 50	2491386 47	12142235 48
9600 49	1758211 49	8471761 49	1186233 49	2152823 50	1529411 49	13549944 48
9500 49	1510364 49	9377975 49	1076198 49	2062202 50	2670050 49	15063668 48
9400 49	1329980 49	10236590 50	9955567 48	1976340 50	3564457 49	16670107 48
9300 49	1192827 49	11051130 50	9444138 48	1894886 50	4284487 49	18356768 48
9200 49	1084785 49	11824770 50	9037538 48	1817522 50	4876513 49	20112038 48
9100 49	9971596 48	12560400 50	8732089 48	1743959 50	5371803 49	21925298 48
9000 49	9243509 48	13260620 50	8499396 48	1673938 50	5792207 49	23786798 48
8900 49	8626153 48	13927810 50	8320309 48	1607218 50	6153453 49	25687708 48
8800 49	8093670 48	14564130 50	8181525 48	1543586 50	6467153 49	27620018 48
8700 49	7627715 48	15171580 50	8073560 48	1482841 50	6742063 49	29576528 48
8600 49	7214934 48	15751950 50	7989504 48	1424804 50	6984916 49	31550708 48
8500 49	6845411 48	16306920 50	7924220 48	1369307 50	7200968 49	33536738 48
8400 49	6511627 48	16838000 50	7873834 48	1316199 50	7394387 49	35529388 48
8300 49	6207791 48	17346600 50	7835373 48	1265339 50	7568516 49	37523978 48
8200 49	5929364 48	17834020 50	7806531 48	1216597 50	7726073 49	39516358 48
8100 49	5672737 48	18301450 50	7785497 48	1169854 50	7869286 49	41502818 48
8000 49	5435009 48	18750000 50	7770833 48	1125000 50	8000000 49	43480078 48
7500 49	4459750 48	20742850 50	7759660 48	9257141 49	8512396 49	53137378 48
7000 49	3727141 48	22389990 50	7801931 48	7610009 49	8867052 49	62248678 48
6500 49	3149466 48	23765110 50	7863624 48	6234885 49	9125485 49	70684268 48
6000 49	2679040 48	24921630 50	7930247 48	5078368 49	9320754 49	78389848 48
5500 49	2286687 48	25899070 50	7995288 48	4100922 49	9472191 49	85353808 48
5000 49	1953061 48	26727270 50	8055797 48	3272725 49	9591836 49	91587888 48
4500 49	1664576 48	27429020 50	8110504 48	2570977 49	9687560 49	97115528 48
4000 49	1411283 48	28021970 50	8158954 48	1978021 49	9764705 49	10196528 49
3500 49	1185646 48	28519880 50	8201088 48	1480114 49	9827007 49	10616648 49
3000 49	9817911 47	28933500 50	8237033 48	1066492 49	9877133 49	10974718 49
2500 49	7950156 47	29271250 50	8266984 48	7287490 48	9917012 49	11273268 49
2000 49	6214611 47	29539640 50	8291152 48	4603580 48	9948051 49	11514518 49
1500 49	4578721 47	29743630 50	8309732 48	2563690 48	9971269 49	11700258 49
1000 49	3014228 47	29886860 50	8322884 48	1131340 48	9987381 49	11831908 49
5000 48	1495815 47	29971830 50	8330727 48	2816100 47	9996867 49	11910498 49
0000 00	0000000 00	30000000 50	8333333 48	0000000 00	10000000 50	11936628 49

35 50 = γ w'	$\frac{\sigma_4(w',\phi)}{\phi_0}$	γ'	$\frac{\sigma_3(\gamma')}{\phi_0}$	E	w	$\frac{\sigma_1(w,\phi)}{\phi_0}$
1000 50	61373334 49	43750000 49	24872444 49	30625000 50	10000000 50*	75769560 47
9980 49	54586284 49	46828844 49	22438311 49	30317110 50	84972184 49*	78313614 47
9960 49	49046234 49	49864404 49	20447474 49	30013554 50	71972414 49*	80917234 47
9940 49	44457414 49	52857584 49	18795974 49	29714244 50	60616174 49*	83579494 47
9920 49	40607604 49	55809244 49	17409054 49	29419074 50	50610364 49*	86299374 47
9900 49	37341234 49	58720214 49	16231714 49	29127974 50	41727674 49*	89075834 47
9800 49	26522534 49	72692714 49	12338484 49	27730724 50	89939284 48*	10376804 48
9700 49	20581664 49	85762084 49	10225774 49	26423794 50	11969784 49	11970354 48
9600 49	16887244 49	98011244 49	89433684 48	25198874 50	26542324 49	13673294 48
9500 49	14384004 49	10951324 50	81051194 48	24048674 50	37258314 49	15470814 48
9400 49	12577754 49	12033284 50	75280024 48	22966724 50	45468574 49	17348734 48
9300 49	11210304 49	13052714 50	71153364 48	21947284 50	51959004 49	19293774 48
9200 49	10135264 49	14014734 50	68117824 48	20985264 50	57217954 49	21293674 48
9100 49	92642124 48	14923904 50	65836244 48	20076094 50	61564834 49	23337274 48
9000 49	85408964 48	15784314 50	64092934 48	19215684 50	65217394 49	25414504 48
8900 49	79280274 48	16599634 50	62744164 48	18400364 50	68329144 49	27516334 48
8800 49	73999784 48	17373184 50	61690964 48	17626814 50	71011454 49	29634704 48
8700 49	69385974 48	18107954 50	60863324 48	16892044 50	73347064 49	31762484 48
8600 49	65306884 48	18806644 50	60210424 48	16193354 50	75398734 49	33893354 48
8500 49	61664314 48	19471734 50	59694704 48	15528264 50	77214944 49	36021794 48
8400 49	58383664 48	20105454 50	59287884 48	14894544 50	78833694 49	38142924 48
8300 49	55407254 48	20709854 50	58968324 48	14290144 50	80285244 49	40252534 48
8200 49	52689684 48	21286804 50	58719274 48	13713194 50	81593964 49	42346914 48
8100 49	50194744 48	21838004 50	58527594 48	13161994 50	82779694 49	44422874 48
8000 49	47893094 48	22365024 50	58382854 48	12634974 50	83858764 49	46477664 48
7500 49	38571324 48	24684214 50	58121164 48	10315794 50	88059704 49	56362844 48
7000 49	31730494 48	26573964 50	58265944 48	84260374 49	90940604 49	65485864 48
6500 49	26457504 48	28133214 50	58569664 48	68667814 49	93026254 49	73778824 48
6000 49	22252984 48	29431824 50	58925874 48	55681774 49	94594594 49	81238234 48
5500 49	18812854 48	30520384 50	59285904 48	44796174 49	95806434 49	87892444 48
5000 49	15937794 48	31436354 50	59626954 48	35636414 49	96761134 49	93783674 48
4500 49	13490114 48	32207974 50	59938564 48	27920234 49	97523224 49	98958554 48
4000 49	11370724 48	32856744 50	60216344 48	21432524 49	98136284 49	10346264 49
3500 49	95059664 47	33399274 50	60458954 48	16007244 49	98630664 49	10733834 49
3000 49	78394834 47	33848414 50	60666514 48	11515844 49	99027944 49	11062314 49
2500 49	63269724 47	34214104 50	60839794 48	78589104 48	99343724 49	11334914 49
2000 49	49326844 47	34504044 50	60979804 48	49595404 48	99589324 49	11554364 49
1500 49	36269264 47	34724024 50	61087544 48	27598004 48	99772924 49	11722834 49
1000 49	23842754 47	34878274 50	61163844 48	12172204 48	99900284 49	11841994 49
5000 48	11822074 47	34969704 50	61209364 48	30294004 47	99975254 49	11913024 49
0000 00	00000000 00	35000004 50	61224494 48	00000004 00	10000004 50	11936624 49

40 50 = γ / w'	$\frac{\sigma_4(w',\phi)}{\phi_0}$	γ'	$\frac{\sigma_3(\gamma')}{\phi_0}$	E	w	$\frac{\sigma_1(w,\phi)}{\phi_0}$
10000 50	67133325 49	4444444 49	2135416 49	3555555 50	1000000 50*	67133325 47
9980 49	5843823 49	4836327 49	1889122 49	3516367 50	8176847 49*	7032529 47
9960 49	5160435 49	5221951 49	1695172 49	3477804 50	6649927 49*	7356982 47
9940 49	4611829 49	5601464 49	1539261 49	3439853 50	5352472 49*	7686625 47
9920 49	4163454 49	5975008 49	1411733 49	3402499 50	4236378 49*	8021393 47
9900 49	3791320 49	6342719 49	1305863 49	3365728 50	3266107 49*	8361209 47
9800 49	2610409 49	8098322 49	970772 48	3190167 50	1517637 48	10132801 48
9700 49	1992788 49	9726511 49	798015 48	3027348 50	2218822 49	12015601 48
9600 49	1617996 49	11240044 50	6959637 48	2875955 50	3603553 49	13995021 48
9500 49	1367309 49	12651515 50	6302763 48	2734848 50	4595808 49	16055951 48
9400 49	1187698 49	1396965 50	5854500 48	2603034 50	5341628 49	18183661 48
9300 49	1052274 49	1520355 50	5535523 48	2479644 50	5922591 49	20364281 48
9200 49	9460864 48	1636084 50	5301394 48	2363915 50	6387845 49	22585081 48
9100 49	8602185 48	1744825 50	5125455 48	2255174 50	6768768 49	24834581 48
9000 49	7890468 48	1847176 50	4990834 48	2152823 50	7086330 49	27102531 48
8900 49	7288613 48	1943665 50	4886380 48	2056334 50	7355082 49	29379911 48
8800 49	6771198 48	2034767 50	4804468 48	1965232 50	7585432 49	31658831 48
8700 49	6320236 48	2120903 50	4739721 48	1879096 50	7785028 49	33932421 48
8600 49	5922648 48	2202454 50	4688257 48	1797545 50	7959611 49	36194751 48
8500 49	5568690 48	2279761 50	4647213 48	1720238 50	8113577 49	38440731 48
8400 49	5250950 48	2353133 50	4614438 48	1646866 50	8250347 49	40666051 48
8300 49	4963680 48	2422848 50	4588289 48	1577152 50	8372625 49	42867021 48
8200 49	4702349 48	2489158 50	4567499 48	1510841 50	8482578 49	45040551 48
8100 49	4463330 48	2552294 50	4551072 48	1447705 50	8581957 49	47184071 48
8000 49	4243682 48	2612466 50	4538220 48	1387534 50	8672199 49	49295461 48
7500 49	3364119 48	2874999 50	4509309 48	1125000 50	9021739 49	5932064 48
7000 49	2731259 48	3086247 50	4511898 48	913527 49	9259818 49	6839760 48
6500 49	2252394 48	3258771 50	4527315 48	741284 49	9431359 49	7651890 48
6000 49	1876956 48	3401247 50	4547503 48	598528 49	9559902 49	8372778 48
5500 49	1574412 48	3519841 50	4568744 48	4801585 49	9658962 49	9008721 48
5000 49	1324996 48	3619047 50	4589264 48	3809525 49	9736842 49	9566470 48
4500 49	1115239 48	3702206 50	4608220 48	2977936 49	9798907 49	10052511 49
4000 49	9355954 47	3771835 50	4625234 48	2281644 49	9848771 49	10472711 49
3500 49	7790689 47	3829860 50	4640158 48	1701393 49	9888939 49	10832251 49
3000 49	6403838 47	3877759 50	4652961 48	1222409 49	9921190 49	11135541 49
2500 49	5154490 47	3916667 50	4663671 48	833260 48	9946808 49	11386271 49
2000 49	4010048 47	3947454 50	4672336 48	525540 48	9966722 49	11587461 49
1500 49	2943771 47	3970779 50	4679010 48	292020 48	9981602 49	11741551 49
1000 49	1932991 47	3987118 50	4683739 48	128816 0 48	9991922 49	11850341 49
5000 48	9578009 46	3996794 50	4686562 48	320540 0 47	9997995 49	11915111 49
0000 00	0000000 00	4000000 50	4687500 48	0000000 00	1000000 50	11936621 49

Compton Cross Sections vs. Angle of Recoil Electron

45 50 = γ	$\frac{\sigma_1(w',\phi)}{\phi_0}$	γ'	$\frac{\sigma_2(\gamma')}{\phi_0}$	E	w	$\frac{\sigma_1(w,\phi)}{\phi_0}$
w'						
1000 50	7293872 49	4500000 49	1870370 49	4050000 50	1000000 50*	6027993 47
9980 49	6205952 49	4985630 49	1620494 49	4001437 50	7835422 49*	6410735 47
9960 49	5384096 49	5462577 49	1431375 49	3953742 50	6084155 49*	6797809 47
9940 49	4744824 49	5931068 49	1284090 49	3906893 50	4638145 49*	7189220 47
9920 49	4235514 49	6391385 49	1166677 49	3860867 50	3423984 49*	7584952 47
9900 49	3821553 49	6843559 49	1071246 49	3815644 50	2390057 49*	7984973 47
9800 49	2557636 49	8991334 49	7808768 48	3600866 50	1100403 49	10047338 48
9700 49	1924022 49	10966586 50	6376666 48	3403341 50	3103612 49	12205538 48
9600 49	1547268 49	12789015 50	5549463 48	3221098 50	4403012 49	14445928 48
9500 49	1297980 49	14475445 50	5023652 48	3052455 50	5313970 49	16753428 48
9400 49	1120488 49	16040295 50	4667478 48	2895970 50	5987922 49	19112918 48
9300 49	9872054 48	17496025 50	4415142 48	2750397 50	6506636 49	21510158 48
9200 49	8830108 48	18853425 50	4230382 48	2614657 50	6918147 49	23932078 48
9100 49	7989720 48	20121945 50	4091685 48	2487805 50	7252522 49	26367088 48
9000 49	7294883 48	21309805 50	3985548 48	2369019 50	7529546 49	28804948 48
8900 49	6708789 48	22424275 50	3903105 48	2257572 50	7762769 49	31236848 48
8800 49	6206267 48	23471755 50	3838319 48	2152824 50	7961783 49	33655228 48
8700 49	5769525 48	24457945 50	3786949 48	2054205 50	8133570 49	36053678 48
8600 49	5385626 48	25387875 50	3745945 48	1961212 50	8283333 49	38426818 48
8500 49	5044923 48	26266055 50	3713064 48	1873394 50	8415027 49	40770158 48
8400 49	4740078 48	27096535 50	3686621 48	1790346 50	8531713 49	43080038 48
8300 49	4465388 48	27882925 50	3665336 48	1711707 50	8635797 49	45353488 48
8200 49	4216355 48	28628495 50	3648219 48	1637150 50	8729198 49	47588078 48
8100 49	3989372 48	29336185 50	3634496 48	1566381 50	8813463 49	49781938 48
8000 49	3781513 48	30008675 50	3623556 48	1499132 50	8889852 49	51933658 48
7500 49	2957380 48	32920465 50	3596417 48	1207953 50	9184598 49	62032898 48
7000 49	2374318 48	35233735 50	3594003 48	976264 3 49	9384325 49	71024028 48
6500 49	1939907 48	37112595 50	3601898 48	788740 9 49	9527718 49	78957628 48
6000 49	1604027 48	38649815 50	3613881 48	635018 1 49	9634888 49	85918958 48
5500 49	1336709 48	39921635 50	3627070 48	507836 3 49	9717314 49	92001048 48
5000 49	1118769 48	40980145 50	3640075 48	4019857 49	9782016 49	97292088 48
4500 49	9372992 47	41863705 50	3652226 48	3136299 49	9833517 49	10187158 49
4000 49	7832531 47	42600885 50	3663203 48	2399120 49	9874853 49	10580798 49
3500 49	6500882 47	43213415 50	3672872 48	1786585 49	9908125 49	10915998 49
3000 49	5329209 47	43717795 50	3681190 48	1282208 49	9934823 49	11197598 49
2500 49	4280088 47	44126685 50	3688161 48	8733110 48	9956019 49	11429648 49
2000 49	3323988 47	44449735 50	3693809 48	5502650 48	9972489 49	11615368 49
1500 49	2436907 47	44694145 50	3698161 48	3058510 48	9984793 49	11757298 49
1000 49	1598682 47	44865215 50	3701248 48	1347840 48	9993323 49	11857358 49
5000 48	7917152 46	44966465 50	3703091 48	3353100 47	9998343 49	11916868 49
0000 00	0000000 00	4500000 50	3703703 48	0000000 00	1000000 50	11936628 49

50 50 = γ	$\sigma_4(w',\phi)$	γ'	$\sigma_3(\gamma')$	E	w	$\sigma_1(w_1,\phi)$
w'	ϕ_0		ϕ_0			ϕ_0
1000 50	7877631 49	4545454 49	1663636 49	4545454 50	1000000 50*	5470577 47
9980 49	6543536 49	5134550 49	1409929 49	4486544 50	7475900 49*	5915923 47
9960 49	5576287 49	5711989 49	1225654 49	4428801 50	5507034 49*	6364483 47
9940 49	4847242 49	6278110 49	1086609 49	4372188 50	3928359 49*	6816343 47
9920 49	4280562 49	6833239 49	9784854 48	4316676 50	2634346 49*	7271563 47
9900 49	3828944 49	7377690 49	8923354 48	4262230 50	1554376 49*	7730172 47
9800 49	2497073 49	9949958 49	6393238 48	4005004 50	1949706 49	1007357 48
9700 49	1853673 49	1229613 50	5192710 48	3770386 50	3867361 49	1249543 48
9600 49	1477674 49	1444444 50	4512268 48	3555555 50	5076923 49	1498361 48
9500 49	1231211 49	1641860 50	4084353 48	3358139 50	5909348 49	1752329 48
9400 49	1056739 49	1823867 50	3796398 48	3176132 50	6517146 49	2009919 48
9300 49	9262491 48	1992175 50	3593263 48	3007824 50	6980361 49	2269677 48
9200 49	8245630 48	2148248 50	3444936 48	2851752 50	7345043 49	2530289 48
9100 49	7427788 48	2293348 50	3333775 48	2706651 50	7639563 49	2790594 48
9000 49	6753427 48	2428571 50	3248779 48	2571428 50	7882352 49	3049594 48
8900 49	6186150 48	2554869 50	3182759 48	2445130 50	8085905 49	3306446 48
8800 49	5701117 48	2673077 50	3130842 48	2326922 50	8258992 49	3560445 48
8700 49	5280783 48	2783926 50	3089619 48	2216073 50	8407950 49	3811014 48
8600 49	4912394 48	2888064 50	3056641 48	2111935 50	8537472 49	4057684 48
8500 49	4586449 48	2986063 50	3030112 48	2013936 50	8651108 49	4300083 48
8400 49	4295700 48	3078431 50	3008690 48	1921569 50	8751592 49	4537916 48
8300 49	4034532 48	3165623 50	2991354 48	1834376 50	8841064 49	4770970 48
8200 49	3798497 48	3248046 50	2977318 48	1751953 50	8921225 49	4999076 48
8100 49	3584039 48	3326062 50	2965967 48	1673937 50	8993441 49	5222125 48
8000 49	3388263 48	3400000 50	2956816 48	1599999 50	9058823 49	5440044 48
7500 49	2618795 48	3717949 50	2932863 48	1282051 50	9310344 49	6452364 48
7000 49	2082301 48	3968420 50	2928533 48	1031579 50	9480106 49	7340162 48
6500 49	1687814 48	4169533 50	2932497 48	8304668 49	9601650 49	8113956 48
6000 49	1386360 48	4333333 50	2939881 48	6666661 49	9692307 49	8786062 48
5500 49	1148926 48	4468131 50	2948422 48	5318685 49	9761928 49	9368318 48
5000 49	9571357 47	4579832 50	2957023 48	4201676 49	9816513 49	9871293 48
4500 49	7987502 47	4672786 50	2965147 48	3272731 49	9859922 49	1030403 49
4000 49	6652880 47	4750000 50	2972534 48	2499996 49	9894736 49	1067417 49
3500 49	5506676 47	4814040 50	2979067 48	1859592 49	9922743 49	1098803 49
3000 49	4503991 47	4866667 50	2984702 48	1333321 49	9945205 49	1125083 49
2500 49	3610672 47	4909254 50	2989433 48	9074510 48	9963031 49	1146674 49
2000 49	2800029 47	4942858 50	2993269 48	5714190 48	9976878 49	1163917 49
1500 49	2050513 47	4968252 50	2996229 48	3174710 48	9987220 49	1177070 49
1000 49	1344156 47	4986014 50	2998329 48	1398580 48	9994389 49	1186332 49
5000 48	6653618 46	4996522 50	2999583 48	3477600 47	9998607 49	1191836 49
0000 00	0000000 00	5000000 50	3000000 48	0000000 00	1000000 50	1193662 49

55 50 = γ w'	$\frac{\sigma_1(w',\phi)}{\phi_0}$	γ'	$\frac{\sigma_2(\gamma')}{\phi_0}$	E	w	$\frac{\sigma_1(w,\phi)}{\phi_0}$
1000 50	84637404 9	4583333 49	1497933 49	5041666 50	1000000 50*	5008130 47
9980 49	68558666 49	5285583 49	1240417 49	4971441 50	7101203 49*	5515361 47
9960 49	57384388 49	5972601 49	1061139 49	4902739 50	4924940 49*	6024483 47
9940 49	49220488 49	6644872 49	9300333 48	4835512 50	3231015 49*	6535697 47
9920 49	43023128 49	7302863 49	8304832 48	4769713 50	1875078 49*	7049158 47
9900 49	38174138 49	7947018 49	7526256 48	4705298 50	7651541 48*	7564975 47
9800 49	24312894 49	1097466 50	5311144 48	4402533 50	2706284 49	1018100 48
9700 49	17831804 49	1371382 50	4295163 48	4128617 50	4526269 49	1285633 48
9600 49	14100884 49	1620348 50	3728664 48	3879651 50	5646669 49	1558081 48
9500 49	11675644 49	1847589 50	3375756 48	3652410 50	6405725 49	1834012 48
9400 49	99679528 48	2055798 50	3139720 48	3444201 50	6953891 49	2111893 48
9300 49	86957028 48	2247238 50	2973907 48	3252762 50	7368274 49	2390263 48
9200 49	77074508 48	2423827 50	2853193 48	3076172 50	7692475 49	2667809 48
9100 49	69148948 48	2587202 50	2762914 48	2912797 50	7953002 49	2943394 48
9000 49	62631778 48	2738765 50	2693980 48	2761234 50	8166902 49	3216061 48
8900 49	57164428 48	2879730 50	2640476 48	2620270 50	8345634 49	3485026 48
8800 49	52502518 48	3011145 50	2598409 48	2488855 50	8497186 49	3749652 48
8700 49	48473708 48	3133926 50	2564992 48	2366073 50	8627296 49	4009442 48
8600 49	44952728 48	3248876 50	2538232 48	2251123 50	8740195 49	4264008 48
8500 49	41846258 48	3356700 50	2516670 48	2143299 50	8839066 49	4513065 48
8400 49	39083188 48	3458020 50	2499216 48	2041979 50	8926354 49	4756407 48
8300 49	36608328 48	3553388 50	2485045 48	1946611 50	9003967 49	4993900 48
8200 49	34378038 48	3643295 50	2473522 48	1856704 50	9073414 49	5225463 48
8100 49	32357398 48	3728180 50	2464152 48	1771819 50	9135907 49	5451066 48
8000 49	30517958 48	3808431 50	2456545 48	1691568 50	9192429 49	5670708 48
7500 49	23344258 48	4151393 50	2435968 48	1348606 50	9409351 49	6681584 48
7000 49	18406208 48	4419151 50	2431119 48	1080848 50	9555303 49	7556213 48
6500 49	14816378 48	4632617 50	2432977 48	8673826 49	9659574 49	8310191 48
6000 49	12100578 48	4805484 50	2437668 48	6945159 49	9737226 49	8959196 48
5500 49	99804308 47	4947081 50	2443396 48	5529185 49	9796788 49	9517266 48
5000 49	82812578 47	5063963 50	2449289 48	4360366 49	9843444 49	9996348 48
4500 49	68878038 47	5160859 50	2454916 48	3391407 49	9880520 49	10406408 49
4000 49	57208808 47	5241244 50	2460063 48	2587555 49	9910238 49	10755618 49
3500 49	47242218 47	5307720 50	2464632 48	1922791 49	9934134 49	11050668 49
3000 49	38565808 47	5362247 50	2468583 48	1377529 49	9953298 49	11296958 49
2500 49	30868488 47	5406311 50	2471905 48	9368810 48	9968491 49	11498848 49
2000 49	23908548 47	5441034 50	2474602 48	5896560 48	9980295 49	11659738 49
1500 49	17492318 47	5467253 50	2476684 48	3274610 48	9989109 49	11782288 49
1000 49	11459088 47	5485578 50	2478162 48	1442160 48	9995819 49	11868478 49
5000 48	56700848 46	5496414 50	2479045 48	3585300 47	9998813 49	11919658 49
0000 00	00000000 00	5500000 50	2479338 48	0000000 00	1000000 50	11936628 49

60 50 = γ w'	$\frac{\sigma_4(w',\phi)}{\phi_0}$	γ'	$\frac{\sigma_3(\gamma')}{\phi_0}$	E	w	$\frac{\sigma_1(w,\phi)}{\phi_0}$
1000 50	90 51620 49	46 15384 49	13 62179 49	55 38461 50	1000000 50*	46 18173 47
9980 49	71 42766 49	54 40449 49	11 01039 49	54 55955 50	671 4168 49*	51 86715 47
9960 49	58 72431 49	62 46050 49	92 69611 48	53 75395 50	434 3450 49*	57 55626 47
9940 49	49 72340 49	70 32864 49	80 35136 48	52 96713 50	255 2290 49*	63 25252 47
9920 49	43 04300 49	78 01536 49	71 18827 48	52 19846 50	115 1321 49*	68 95866 47
9900 49	37 90483 49	85 52681 49	64 14474 48	51 44731 50	25 5728 3 47*	74 67681 47
9800 49	23 62328 49	120 6521 50	44 66869 48	47 93478 50	33 7837 8 49	10 34888 48
9700 49	17 13625 49	152 1774 50	36 00025 48	44 78225 50	50 9539 2 49	13 26864 48
9600 49	13 45116 49	180 6249 50	31 23595 48	41 93750 50	61 3033 2 49	16 21923 48
9500 49	11 07363 49	206 4203 50	28 29318 48	39 35796 50	68 2218 3 49	19 18699 48
9400 49	94 07791 48	22 99143 50	26 33620 48	37 00856 50	73 1722 1 49	22 15671 48
9300 49	81 71312 48	25 13983 50	24 96710 48	34 86016 50	76 8891 6 49	25 11384 48
9200 49	72 13813 48	27 11164 50	23 97344 48	32 88835 50	79 7821 5 49	28 04545 48
9100 49	64 48075 48	28 92747 50	23 23204 48	31 07252 50	82 0974 5 49	30 94060 48
9000 49	58 20094 48	30 60484 50	22 66689 48	29 39515 50	83 9928 9 49	33 79033 48
8900 49	52 94657 48	32 15871 50	22 22877 48	27 84128 50	85 5708 9 49	36 58753 48
8800 49	48 47804 48	33 60199 50	21 88454 48	26 39800 50	86 9065 3 49	39 32672 48
8700 49	44 62655 48	34 94584 50	21 61114 48	25 05415 50	88 0509 6 49	42 00384 48
8600 49	41 26946 48	36 19993 50	21 39215 48	23 80006 50	89 0423 1 49	44 61597 48
8500 49	38 31546 48	37 37277 50	21 21555 48	22 62782 50	89 9092 1 49	47 16123 48
8400 49	35 69498 48	38 47176 50	21 07240 48	21 52823 50	90 6735 7 49	49 63048 48
8300 49	33 35400 48	39 50346 50	20 95595 48	20 49653 50	91 3524 3 49	52 04787 48
8200 49	31 24990 48	40 47367 50	20 86100 48	19 52632 50	91 9592 4 49	54 38770 48
8100 49	29 34850 48	41 38753 50	20 78352 48	18 61246 50	92 5047 9 49	56 66022 48
8000 49	27 62204 48	42 24961 50	20 72032 48	17 75038 50	92 9978 1 49	58 86566 48
7500 49	20 93548 48	45 91303 50	20 54560 48	14 08696 50	94 8863 6 49	68 93043 48
7000 49	16 38476 48	48 75000 50	20 49818 48	11 24999 50	96 1538 4 49	77 53269 48
6500 49	13 10937 48	50 99733 50	20 50530 48	90 92662 49	97 0577 9 49	84 87530 48
6000 49	10 65303 48	52 80799 50	20 53586 48	71 92005 49	97 7301 3 49	91 14491 48
5500 49	87 50095 47	54 28496 50	20 57544 48	57 15034 49	98 2453 6 49	96 50027 48
5000 49	72 35279 47	55 50000 50	20 61704 48	44 99996 49	98 6486 4 49	101 0724 49
4500 49	60 04422 47	56 50443 50	20 65717 48	34 95568 49	98 9689 4 49	104 9678 49
4000 49	49 71806 47	57 33581 50	20 69410 48	26 64189 49	99 2255 5 49	108 3726 49
3500 49	40 97401 47	58 02198 50	20 72700 48	19 78016 49	99 4318 1 49	111 0559 49
3000 49	33 39347 47	58 58393 50	20 75581 48	14 16067 49	99 5971 3 49	113 3738 49
2500 49	26 69260 47	59 03743 50	20 77952 48	96 28700 48	99 7282 6 49	115 2884 49
2000 49	20 65229 47	59 39446 50	20 79903 48	60 55380 48	99 8300 7 49	116 7764 49
1500 49	15 09780 47	59 66381 50	20 81410 48	33 61820 48	99 9060 9 49	117 9234 49
1000 49	98 84908 46	59 85197 50	20 82481 48	14 80260 48	99 9587 8 49	118 7893 49
5000 48	48 89536 46	59 96319 50	20 83120 48	36 00500 47	99 9897 7 49	119 2076 49
0000 00	00 00000 00	60 00000 50	20 83333 48	00 00000 00	100 0000 50	119 3668 49

65 50 = γ w'	$\frac{\sigma_1(w',\phi)}{\phi_0}$	γ'	$\frac{\sigma_2(\gamma')}{\phi_0}$	E	w	$\frac{\sigma_1(w,\phi)}{\phi_0}$
1000 50	96408654 9	4642857 49	1248943 49	6035714 50	1000000 50*	4284829 47
9980 49	7404449 49	5600365 49	9844664 48	5939963 50	6317515 49*	4914211 47
9960 49	5980391 49	6533474 49	8157876 48	5846652 50	3767330 49*	5542244 47
9940 49	5001153 49	7443098 49	6997109 48	5755690 50	1896802 49*	6169448 47
9920 49	4289762 49	8330109 49	6153859 48	5666989 50	4661828 48*	6796246 47
9900 49	3751233 49	9195333 49	5515979 48	5580466 50	6633801 48	7422970 47
9800 49	2291777 49	1322096 50	3796879 48	5177903 50	3974716 49	1056265 48
9700 49	1645785 49	1680567 50	3051973 48	4819432 50	5588092 49	1371870 48
9600 49	1283131 49	2001767 50	2647799 48	4498232 50	6542876 49	1688621 48
9500 49	1050739 49	2291176 50	2400094 48	4208823 50	7173891 49	2005236 48
9400 49	8886535 48	2553250 50	2236254 48	3946749 50	7621886 49	2320215 48
9300 49	7687634 48	2791651 50	2122092 48	3708348 50	7956351 49	2632126 48
9200 49	6761964 48	3009409 50	2039494 48	3490590 50	8215550 49	2939716 48
9100 49	6023661 48	3209062 50	1978016 48	3290937 50	8422287 49	3241950 48
9000 49	5419733 48	3392747 50	1931241 48	3107252 50	8590998 49	3538015 48
8900 49	4915689 48	3562275 50	1895031 48	2937724 50	8731267 49	3827292 48
8800 49	4488100 48	3719194 50	1866610 48	2780806 50	8849707 49	4109333 48
8700 49	4120472 48	3864833 50	1844050 48	2635166 50	8951028 49	4383839 48
8600 49	3800830 48	4000341 50	1825983 48	2499658 50	9038675 49	4650622 48
8500 49	3520265 48	4126715 50	1811410 48	2373284 50	9115227 49	4909598 48
8400 49	3271987 48	4244825 50	1799589 48	2255174 50	9182652 49	5160754 48
8300 49	3050732 48	4355433 50	1789961 48	2144566 50	9242479 49	5404139 48
8200 49	2852343 48	4459212 50	1782096 48	2040787 50	9295912 49	5639851 48
8100 49	2673489 48	4556752 50	1775663 48	1943247 50	9343915 49	5868020 48
8000 49	2511468 48	4648579 50	1770399 48	1851420 50	9387266 49	6088805 48
7500 49	1887878 48	5036797 50	1755627 48	1463302 50	9553072 49	7088614 48
7000 49	1467768 48	5335221 50	1751250 48	1164779 50	9664124 49	7933651 48
6500 49	1168059 48	5570265 50	1751340 48	9297347 49	9743214 49	8648532 48
6000 49	9450176 47	5758771 50	1753372 48	7412287 49	9801980 49	9854520 48
5500 49	7733815 47	5911970 50	1756178 48	5880300 49	9846978 49	9769071 48
5000 49	6375553 47	6037620 50	1759191 48	4623791 49	9882179 49	1020622 49
4500 49	5274059 47	6141232 50	1762127 48	3587671 49	9910123 49	1057714 49
4000 49	4360746 47	6226814 50	1764843 48	2731853 49	9932503 49	1089076 49
3500 49	3587520 47	6297329 50	1767271 48	2026701 49	9950486 49	1115414 49
3000 49	2919590 47	6354998 50	1769379 48	1450020 49	9964896 49	1137291 49
2500 49	2331013 47	6401485 50	1771157 48	9851500 48	9976324 49	1155150 49
2000 49	1801864 47	6438049 50	1772603 48	6195080 48	9985196 49	1169338 49
1500 49	1316331 47	6465617 50	1773721 48	3438220 48	9991819 49	1180118 49
1000 49	8614154 46	6484863 50	1774515 48	1513700 48	9996409 49	1187685 49
5000 48	4259737 46	6496237 50	1774990 48	3762600 47	9999108 49	1192174 49
0000 00	0000000 00	6500000 50	1775147 48	0000000 00	1000000 50	1193662 49

70 50 = γ w'	$\frac{\sigma_4(w',\phi)}{\phi_0}$	γ'	$\frac{\sigma_3(\gamma')}{\phi_0}$	E	w	$\frac{\sigma_1(w,\phi)}{\phi_0}$
1000 50	1023118 50	4666666 49	1153061 49	6533333 50	1000000 50*	3996557 47
9980 49	7641427 49	5766220 49	8855949 48	6423377 50	5913810 49*	4686383 47
9960 49	6064550 49	6835681 49	7224851 48	6316431 50	3200549 49*	5372948 47
9940 49	5011366 49	7876259 49	6134739 48	6212374 50	1267810 49*	6056981 47
9920 49	4261580 49	8889105 49	5358762 48	6111089 50	1788451 48	6739080 47
9900 49	3702293 49	9875306 49	4780426 48	6012469 50	1302302 49	7419725 47
9800 49	2220847 49	1444098 50	3257495 48	5555901 50	4503834 49	1081178 48
9700 49	1580187 49	1847523 50	2613291 48	5152476 50	6015921 49	1419671 48
9600 49	1224323 49	2206521 50	2267797 48	4793478 50	6896551 49	1757279 48
9500 49	9976851 48	2527999 50	2057578 48	4472000 50	7472873 49	2092813 48
9400 49	8402761 48	2817500 50	1919242 48	4182499 50	7879326 49	2424810 48
9300 49	7242226 48	3079528 50	1823225 48	3920471 50	8181321 49	2751876 48
9200 49	6348664 48	3317778 50	1753969 48	3682222 50	8414506 49	3072817 48
9100 49	5637783 48	3535309 50	1702548 48	3464690 50	8599964 49	3386682 48
9000 49	5057693 48	3734677 50	1663503 48	3265322 50	8750963 49	3692750 48
8900 49	4574699 48	3918034 50	1633325 48	3081965 50	8876270 49	3990517 48
8800 49	4165933 48	4087202 50	1609665 48	2912797 50	8981910 49	4279647 48
8700 49	3815310 48	4243739 50	1590901 48	2756260 50	9072159 49	4559957 48
8600 49	3511167 48	4388982 50	1575880 48	2611017 50	9150139 49	4831379 48
8500 49	3244819 48	4524083 50	1563765 48	2475916 50	9218179 49	5093930 48
8400 49	3009663 48	4650045 50	1553936 48	2349954 50	9278055 49	5347710 48
8300 49	2800573 48	4767740 50	1545924 48	2232259 50	9331142 49	5592858 48
8200 49	2613508 48	4877935 50	1539373 48	2122064 50	9378523 49	5829568 48
8100 49	2445228 48	4981301 50	1534005 48	2018698 50	9421063 49	6058048 48
8000 49	2293110 48	5078432 50	1529603 48	1921567 50	9459459 49	6278537 48
7500 49	1710956 48	5487135 50	1517115 48	1512864 50	9606126 49	7269929 48
7000 49	1322345 48	5799201 50	1513189 48	1200798 50	9704195 49	8099342 48
6500 49	1047291 48	6043707 50	1512948 48	956292 2 49	9773958 49	8795308 48
6000 49	8439927 47	6238998 50	1514322 48	7610018 49	9825750 49	9381409 48
5500 49	6884740 47	6397185 50	1516356 48	6028145 49	9865383 49	9876416 48
5000 49	5660376 47	6526569 50	1518587 48	4734302 49	9896373 49	1029508 49
4500 49	4671996 47	6633026 50	1520782 48	3669735 49	9920964 49	1064904 49
4000 49	3855774 47	6720798 50	1522823 48	2792015 49	9940652 49	1094741 49
3500 49	3167211 47	6793010 50	1524653 48	2069898 49	9956469 49	1119736 49
3000 49	2574276 47	6851988 50	1526245 48	1480118 49	9969141 49	1140454 49
2500 49	2053210 47	6899485 50	1527590 48	1005145 49	9979188 49	1157338 49
2000 49	1585845 47	6936816 50	1528684 48	631833 0 48	9986987 49	1170734 49
1500 49	1157815 47	6964945 50	1529531 48	350546 0 48	9992809 49	1180902 49
1000 49	7573579 46	6984569 50	1530133 48	154303 0 48	9996843 49	1188033 49
5000 48	3744223 46	6996165 50	1530492 48	3834600 47	9999216 49	1192261 49
0000 00	0000000 00	7000000 50	1530612 48	0000000 00	1000000 50	1193662 49

75 50 = γ	$\frac{\sigma_4(w',\phi)}{\phi_0}$	γ'	$\frac{\sigma_3(\gamma')}{\phi_0}$	E	w	$\frac{\sigma_1(w,\phi)}{\phi_0}$
w'						
1000 50	10822237 50	4687500 49	1070833 49	7031250 50	1000000 50*	3744765 47
9980 49	7854432 49	5938672 49	8007577 48	6906132 50	5505446 49*	4494692 47
9960 49	6127150 49	7153248 49	6433436 48	6784675 50	2646329 49*	5239257 47
9940 49	5005626 49	8332803 49	5410754 48	6666719 50	6674296 48*	5979435 47
9920 49	4222281 49	9478823 49	4696598 48	6552117 50	7835012 48	6716027 47
9900 49	3645884 49	1059271 50	4171603 48	6440728 50	1892881 49	7449678 47
9800 49	2150445 49	1572417 50	2817838 48	5927582 50	4973701 49	1108848 48
9700 49	1517164 49	2022397 50	2257519 48	5477602 50	6388706 49	1469550 48
9600 49	1168752 49	2420137 50	1960183 48	5079862 50	7201336 49	1827245 48
9500 49	9481012 48	2774181 50	1780475 48	4725818 50	7728666 49	2180851 48
9400 49	7954419 48	3091307 50	1662788 48	4408692 50	8098455 49	2528956 48
9300 49	6832296 48	3376956 50	1581409 48	4123043 50	8372087 49	2870221 48
9200 49	5970554 48	3635551 50	1522887 48	3864448 50	8582719 49	3203528 48
9100 49	5286630 48	3870723 50	1479543 48	3629276 50	8749837 49	3528029 48
9000 49	4729824 48	4085480 50	1446697 48	3414519 50	8885640 49	3843122 48
8900 49	4267257 48	4282333 50	1421351 48	3217666 50	8998158 49	4148420 48
8800 49	3876655 48	4463402 50	1401506 48	3036597 50	9092889 49	4443725 48
8700 49	3542349 48	4630477 50	1385782 48	2869522 50	9173729 49	4728971 48
8600 49	3252995 48	4785095 50	1373203 48	2714904 50	9243511 49	5004217 48
8500 49	3000149 48	4928571 50	1363060 48	2571428 50	9304347 49	5269597 48
8400 49	2777386 48	5062039 50	1354831 48	2437960 50	9357844 49	5525307 48
8300 49	2579731 48	5186487 50	1348122 48	2313512 50	9405245 49	5771597 48
8200 49	2403258 48	5302774 50	1342632 48	2197225 50	9447527 49	6008740 48
8100 49	2244827 48	5411655 50	1338128 48	2088344 50	9485469 49	6237037 48
8000 49	2101891 48	5513793 50	1334429 48	1986206 50	9519699 49	6456792 48
7500 49	1557716 48	5941709 50	1323851 48	1558290 50	9650315 49	7438444 48
7000 49	1197472 48	6266432 50	1320381 48	1233567 50	9737529 49	8252020 48
6500 49	9443116 47	6519659 50	1319972 48	9803404 49	9799510 49	8929659 48
6000 49	7583328 47	6721155 50	1320914 48	7788442 49	9845493 49	9496916 48
5500 49	6168123 47	6883874 50	1322418 48	6161260 49	9880663 49	9973667 48
5000 49	5059097 47	7016651 50	1324102 48	4833490 49	9908151 49	1037532 49
4500 49	4167423 47	7125672 50	1325774 48	3743279 49	9929957 49	1071375 49
4000 49	3433690 47	7215416 50	1327337 48	2845832 49	9947411 49	1099827 49
3500 49	2816656 47	7289148 50	1328742 48	2108517 49	9961430 49	1123607 49
3000 49	2286787 47	7349302 50	1329967 48	1506974 49	9972660 49	1143282 49
2500 49	1822266 47	7397706 50	1331003 48	1022940 49	9981562 49	1159293 49
2000 49	1406464 47	7435716 50	1331846 48	6428400 48	9988472 49	1171979 49
1500 49	1026297 47	7464339 50	1332499 48	3566090 48	9993630 49	1181598 49
1000 49	6710760 46	7484305 50	1332963 48	1569460 48	9997204 49	1188341 49
5000 48	3316924 46	7496098 50	1333241 48	3901700 47	9999306 49	1192337 49
0000 00	0000000 00	7500000 50	1333333 48	0000000 00	1000000 50	1193662 49

80 50 = γ w'	$\frac{\sigma_4(w',\phi)}{\phi_0}$	γ'	$\frac{\sigma_3(\gamma')}{\phi_0}$	E	w	$\frac{\sigma_1(w,\phi)}{\phi_0}$
1000 50	1141425 50	4705882 49	9995404 48	7529411 50	1000000 50*	3522918 47
9980 49	8044370 49	6118217 49	7272500 48	7388178 50	5094629 49*	4332651 47
9960 49	6170385 49	7486595 49	5756103 48	7251340 50	2107205 49*	5134728 47
9940 49	4986337 49	8813029 49	4797495 48	7118697 50	9683616 47*	5930416 47
9920 49	4174045 49	1009941 50	4140046 48	6990058 50	1348431 49	6720745 47
9900 49	3583858 49	1134751 50	3662846 48	6865248 50	2437500 49	7506554 47
9800 49	2081232 49	1706937 50	2455553 48	6293062 50	5391554 49	1138688 48
9700 49	1456905 49	2204942 50	1965648 48	5795057 50	6714734 49	1520969 48
9600 49	1116384 49	2642250 50	1708194 48	5357749 50	7465346 49	1898039 48
9500 49	9018303 48	3029260 50	1553560 48	4970739 50	7948863 49	2268932 48
9400 49	7539153 48	3374124 50	1452757 48	4625875 50	8286268 49	2632300 48
9300 49	6454951 48	3683324 50	1383304 48	4316676 50	8535061 49	2986879 48
9200 49	5624360 48	3962073 50	1333503 48	4037926 50	8726068 49	3331651 48
9100 49	4966645 48	4214616 50	1296708 48	3785383 50	8877304 49	3665882 48
9000 49	4432341 48	4444444 50	1268880 48	3555555 50	9000000 49	3989107 48
8900 49	3989419 48	4654453 50	1247441 48	3345546 50	9101520 49	4301982 48
8800 49	3616190 48	4847065 50	1230677 48	3152934 50	9186896 49	4601742 48
8700 49	3297423 48	5024325 50	1217409 48	2975674 50	9259683 49	4891163 48
8600 49	3022085 48	5187965 50	1206802 48	2812034 50	9322462 49	5169521 48
8500 49	2781975 48	5339470 50	1198254 48	2660529 50	9377155 49	5437075 48
8400 49	2570857 48	5480112 50	1191319 48	2519887 50	9425219 49	5694131 48
8300 49	2383898 48	5610992 50	1185665 48	2389007 50	9467784 49	5941029 48
8200 49	2217296 48	5733070 50	1181036 48	2266929 50	9505733 49	6178145 48
8100 49	2068003 48	5847177 50	1177237 48	2152823 50	9539772 49	6405847 48
8000 49	1933556 48	5954046 50	1174112 48	2045953 50	9570469 49	6624518 48
7500 49	1424141 48	6400000 50	1165123 48	1600000 50	9687500 49	7595420 48
7000 49	1089470 48	6736501 50	1162079 48	1263498 50	9765550 49	8393147 48
6500 49	8557956 47	6997778 50	1161596 48	1002221 50	9820974 49	9053066 48
6000 49	6850755 47	7204969 50	1162248 48	7950309 49	9862069 49	9602475 48
5500 49	5557814 47	7371836 50	1163379 48	6281631 49	9893485 49	1006220 49
5000 49	4548756 47	7507693 50	1164673 48	4923065 49	9918032 49	1044810 49
4500 49	3740381 47	7619047 50	1165968 48	3809524 49	9937500 49	1077230 49
4000 49	3077294 47	7710569 50	1167185 48	2894301 49	9953079 49	1104416 49
3500 49	2521235 47	7785675 50	1168281 48	2143241 49	9965589 49	1127094 49
3000 49	2044901 47	7846891 50	1169239 48	1531085 49	9975609 49	1145826 49
2500 49	1628201 47	7896106 50	1170049 48	1038938 49	9983552 49	1161048 49
2000 49	1255882 47	7934725 50	1170709 48	652748 0 48	9989717 49	1173095 49
1500 49	9159795 46	7963799 50	1171221 48	3620020 48	9994318 49	1182224 49
1000 49	5987409 46	7984070 50	1171585 48	1592980 48	9997506 49	1188619 49
5000 48	2958808 46	7996040 50	1171802 48	3959600 47	9999381 49	1192407 49
0000 00	0000000 00	8000000 50	1171875 48	0000000 00	1000000 50	1193662 49

85 50 = γ w'	$\frac{\sigma_1(w',\phi)}{\phi_0}$	γ	$\frac{\sigma_2(\gamma')}{\phi_0}$	E	w	$\frac{\sigma_1(w,\phi)}{\phi_0}$
1000 50	1200672 50	4722222 49	9371395 48	8027777 50	1000000 50*	3325961 47
9980 49	8212258 49	6305236 49	6630298 48	7869476 50	4683361 49*	4195232 47
9960 49	6196353 49	7836025 49	5171964 48	7716397 50	1585101 49*	5054372 47
9940 49	4955641 49	9317121 49	4273998 48	7568287 50	4435418 48	5904973 47
9920 49	4118734 49	1075089 50	3668486 48	7424910 50	1874921 49	6748333 47
9900 49	3517744 49	1213957 50	3234126 48	7286042 50	2938951 49	7585501 47
9800 49	2013680 49	1847532 50	2154138 48	6652467 50	5763844 49	1170247 48
9700 49	1399488 49	2394916 50	1723740 48	6105083 50	7000960 49	1573522 48
9600 49	1067123 49	2872508 50	1499578 48	5627491 50	7695193 49	1969300 48
9500 49	8586826 48	3292792 50	1365728 48	5207207 50	8139534 49	2356748 48
9400 49	7154507 48	3665442 50	1278851 48	4834557 50	8448286 49	2734594 48
9300 49	6107357 48	3998067 50	1219198 48	4501932 50	8675261 49	3101664 48
9200 49	5306983 48	4296738 50	1176546 48	4203261 50	8849124 49	3457062 48
9100 49	4674553 48	4566359 50	1145105 48	3933641 50	8986542 49	3800195 48
9000 49	4161852 48	4810989 50	1121374 48	3689070 50	9097870 49	4130747 48
8900 49	3737697 48	5033744 50	1103121 48	3466255 50	9189877 49	4448625 48
8800 49	3380997 48	5237547 50	1088867 48	3262452 50	9267180 49	4753913 48
8700 49	3076950 48	5424639 50	1077597 48	3075360 50	9333030 49	5046828 48
8600 49	2814839 48	5596961 50	1068595 48	2903038 50	9389786 49	5327682 48
8500 49	2586699 48	5756165 50	1061345 48	2743834 50	9439202 49	5596846 48
8400 49	2386481 48	5903662 50	1055465 48	2596337 50	9482606 49	5854737 48
8300 49	2209500 48	6040673 50	1050672 48	2459326 50	9521026 49	6101800 48
8200 49	2052070 48	6168253 50	1046746 48	2331747 50	9555266 49	6338493 48
8100 49	1911241 48	6287312 50	1043522 48	2212687 50	9585966 49	6565263 48
8000 49	1784631 48	6398658 50	1040869 48	2101341 50	9613643 49	6782568 48
7500 49	1307022 48	6861573 50	1033200 48	1638426 50	9719079 49	7741978 48
7000 49	9954383 47	7209058 50	1030539 48	1290941 50	9789326 49	8523968 48
6500 49	7791610 47	7477783 50	1030034 48	1022216 50	9839175 49	9166800 48
6000 49	6219399 47	7690221 50	1030489 48	8097781 49	9876118 49	9699318 48
5500 49	5033787 47	7860895 50	1031353 48	6391042 49	9904350 49	1014318 49
5000 49	4111906 47	7999567 50	1032362 48	5004389 49	9926402 49	1051441 49
4500 49	3375763 47	8113046 50	1033380 48	3869534 49	9943887 49	1082851 49
4000 49	2773638 47	8206188 50	1034341 48	2938119 49	9957878 49	1108579 49
3500 49	2269964 47	8282536 50	1035209 48	2174638 49	9969111 49	1130851 49
3000 49	1839456 47	8344712 50	1035968 48	1552876 49	9978106 49	1148125 49
2500 49	1463562 47	8394658 50	1036611 48	1083412 49	9985237 49	1162638 49
2000 49	1128251 47	8433839 50	1037136 48	6616090 48	9990770 49	1174104 49
1500 49	8225376 46	8463311 50	1037542 48	3668850 48	9994900 49	1182787 49
1000 49	5375011 46	8483861 50	1037831 48	1613880 48	9997761 49	1188869 49
5000 48	2655709 46	8495991 50	1038004 48	4008400 47	9999444 49	1192470 49
0000 00	0000000 00	8500000 50	1038062 48	0000000 00	1000000 50	1193662 49

90 50 = γ w'	$\frac{\sigma_4(w',\phi)}{\phi_0}$	γ'	$\frac{\sigma_3(\gamma')}{\phi_0}$	E	w	$\frac{\sigma_1(w,\phi)}{\phi_0}$
1000 50	12599967 50	4736842 49	8820663 48	8526315 50	10000000 50*	31499917 47
9980 49	8359264 49	6500030 49	6065246 48	8349996 50	4273430 49*	4078490 47
9960 49	6206985 49	8201741 49	4664863 48	8179825 50	1081422 49*	4994260 47
9940 49	4915413 49	9845161 49	3824090 48	8015483 50	9538371 48	5899211 47
9920 49	4057954 49	1143326 50	3266074 48	7856673 50	2364702 49	6794958 47
9900 49	3448800 49	1296867 50	2870144 48	7703132 50	3400222 49	7682719 47
9800 49	1948114 49	1994074 50	1901194 48	7005926 50	609626 52 49	1203176 48
9700 49	1344918 49	2592081 50	1521394 48	6407918 50	7253207 49	1626894 48
9600 49	1020836 49	3110578 50	1325224 48	5889421 50	7896274 49	2040759 48
9500 49	8184543 48	3564364 50	1208730 48	5435635 50	8305562 49	2444071 48
9400 49	6798030 48	3964781 50	1133430 48	5035218 50	8588904 49	2835656 48
9300 49	5786829 48	4320665 50	1081896 48	4679334 50	8796652 49	3214455 48
9200 49	5015589 48	4638999 50	1045149 48	4361000 50	8955474 49	3579705 48
9100 49	4407415 48	4925385 50	1018122 48	4074614 50	9080813 49	3930978 48
9000 49	3915344 48	5184355 50	9977617 47	3815644 50	9182231 49	4268118 48
8900 49	3509045 48	5419627 50	9821262 47	3580372 50	9265965 49	4591201 48
8800 49	3168011 48	5634272 50	9699326 47	3365727 50	9336258 49	4900466 48
8700 49	2877862 48	5830852 50	9603019 47	3169147 50	9396096 49	5196274 48
8600 49	2628193 48	6011522 50	9526160 47	2988477 50	9447639 49	5479071 48
8500 49	2411277 48	6178109 50	9464292 47	2821890 50	9492492 49	5749359 48
8400 49	2221245 48	6332163 50	9414142 47	2667836 50	9531872 49	6007656 48
8300 49	2053559 48	6475022 50	9373258 47	2524977 50	9566714 49	6254510 48
8200 49	1904643 48	6607834 50	9339780 47	2392165 50	9597755 49	6490453 48
8100 49	1771648 48	6731594 50	9312276 47	2268405 50	9625578 49	6716818 48
8000 49	1652267 48	6847176 50	9289626 47	2152824 50	9650655 49	6931725 48
7500 49	1203775 48	7326060 50	9223919 47	1673939 50	9746121 49	7879100 48
7000 49	9130713 47	7683801 50	9200682 47	1316198 50	9809671 49	8645546 48
6500 49	7123755 47	7959444 50	9195714 47	1040555 50	9854748 49	9271980 48
6000 49	5671457 47	8176734 50	9198893 47	8238655 49	9888129 49	9780486 48
5500 49	4580514 47	8350904 50	9205591 47	6490957 49	9913636 49	10021736 49
5000 49	3735093 47	8492164 50	9213562 47	5078357 49	9933554 49	10157510 49
4500 49	3061971 47	8607584 50	9221677 47	3924155 49	9949344 49	10874088 49
4000 49	2512805 47	8702204 50	9229362 47	2977955 49	9961977 49	11123728 49
3500 49	2054470 47	8779692 50	9236328 47	2203079 49	9972118 49	11331258 49
3000 49	1663484 47	8842732 50	9242419 47	1572671 49	9980239 49	11502148 49
2500 49	1322691 47	8893354 50	9247588 47	1066455 49	9986675 49	11640718 49
2000 49	1019130 47	8933029 50	9251808 47	6697090 48	9991670 49	11750178 49
1500 49	7426991 46	8962877 50	9255077 47	3712240 48	9995397 49	11833008 49
1000 49	4851975 46	8983667 50	9257404 47	1633830 48	9997980 49	11890958 49
5000 48	2396903 46	8995943 50	9258796 47	4056300 47	9999498 49	11928586 49
0000 00	0000000 00	9000000 50	9259259 47	0000000 00	100000 : 50	11936628 49

95 50 = γ w′	$\frac{\sigma_1(w',\phi)}{\phi_0}$	γ′	$\frac{\sigma_2(\gamma')}{\phi_0}$	E	w	$\frac{\sigma_1(w,\phi)}{\phi_0}$
1000 50	1319302 50	4750000 49	8331024 48	9025000 50	1000000 50*	2991615 47
9980 49	8486395 49	6702790 49	5565065 48	8829721 50	3866528 49*	3979254 47
9960 49	6204236 49	8583936 49	4222066 48	8641606 50	5970356 48*	4951287 47
9940 49	4867371 49	1039722 50	3435076 48	8460277 50	1434676 49	5910049 47
9920 49	3992964 49	1214632 50	2920494 48	8285367 50	2819690 49	6857510 47
9900 49	3378053 49	1383451 50	2559043 48	8116548 50	3824332 49	7795171 47
9800 49	1884743 49	2146435 50	1687264 48	7353564 50	6393744 49	1237197 48
9700 49	1293144 49	2796202 50	1350731 48	6703797 50	7476353 49	1680840 48
9600 49	9773668 48	3356136 50	1178247 48	6143863 50	8073014 49	2112204 48
9500 49	7809388 48	3843582 50	1076350 48	5656417 50	8450892 49	2530731 48
9400 49	6467392 48	4271701 50	1010741 48	5228298 50	8711643 49	2935364 48
9300 49	5490870 48	4650635 50	9659822 47	4849364 50	8902388 49	3325170 48
9200 49	4747597 48	4988353 50	9341476 47	4511646 50	9047961 49	3699559 48
9100 49	4162604 48	5291177 50	9107854 47	4208822 50	9162692 49	4058268 48
9000 49	3690171 48	5564202 50	8932179 47	3935797 50	9255429 49	4401325 48
8900 49	3300810 48	5811583 50	8797484 47	3688417 50	9331929 49	4728980 48
8800 49	2974583 48	6036724 50	8692576 47	3463275 50	9396104 49	5041634 48
8700 49	2697531 48	6242459 50	8609809 47	3257540 50	9450699 49	5339802 48
8600 49	2459549 48	6431163 50	8543810 47	3068836 50	9497702 49	5624071 48
8500 49	2253140 48	6604825 50	8490721 47	2895174 50	9538587 49	5895048 48
8400 49	2072616 48	6765151 50	8447704 47	2734848 50	9574468 49	6153381 48
8300 49	1913577 48	6913585 50	8412646 47	2586415 50	9606204 49	6399696 48
8200 49	1772564 48	7051377 50	8383939 47	2448622 50	9634468 49	6634622 48
8100 49	1646818 48	7179603 50	8360349 47	2320396 50	9659796 49	6858757 48
8000 49	1534109 48	7299197 50	8340916 47	2200802 50	9682618 49	7072682 48
7500 49	1112297 48	7793141 50	8284376 47	1706858 50	9769452 49	8007650 48
7000 49	8405206 47	8160483 50	8264070 47	1339516 50	9827213 49	8758826 48
6500 49	6538235 47	8442569 50	8259335 47	1057430 50	9868158 49	9369458 48
6000 49	5192860 47	8664350 50	8261560 47	8356497 49	9898477 49	9870842 48
5500 49	4185820 47	8841751 50	8266814 47	6582481 49	9921634 49	10288572 49
5000 49	3407798 47	8985391 50	8273191 47	5146086 49	9939713 49	10630083 49
4500 49	2789983 47	9102597 50	8279734 47	3974030 49	9954043 49	10918600 49
4000 49	2287108 47	9198569 50	8285953 47	3014307 49	9965506 49	11158433 49
3500 49	1868265 47	9277095 50	8291599 47	2239045 49	9974707 49	11357499 49
3000 49	1511609 47	9340935 50	8296551 47	1590649 49	9982074 49	11521210 49
2500 49	1201220 47	9392162 50	8300752 47	1078380 49	9987913 49	11653830 49
2000 49	9251081 46	9432293 50	8304185 47	6770690 48	9992444 49	11758490 49
1500 49	6739428 46	9462469 50	8306845 47	3753100 48	9995825 49	11837640 49
1000 49	4401731 46	9483494 50	8308739 47	1650510 48	9998167 49	11893010 49
5000 48	2174163 46	9495894 50	8309872 47	4105100 47	9999545 49	11925760 49
0000 00	0000000 00	9500000 50	8310849 47	0000000 00	1000000 50	11936620 49

10 51 = γ w'	$\frac{\sigma_4(w',\phi)}{\phi_0}$	γ'	$\frac{\sigma_3(\gamma')}{\phi_0}$	E	w	$\frac{\sigma_1(w,\phi)}{\phi_0}$
1000 50	1378672 50	4761904 49	7892857 48	9523809 50	1000000 50*	2848497 47
9980 49	8594959 49	6913767 49	5119881 48	9308623 50	3463893 49*	3895019 47
9960 49	6189649 49	8982685 49	3833449 48	9101731 50	1325277 48*	4922913 47
9940 49	4812959 49	1097332 50	3096882 48	8902668 50	1886988 49	5935002 47
9920 49	3924961 49	1289001 50	2621983 48	8710999 50	3242054 49	6933564 47
9900 49	3306312 49	1473684 50	2291506 48	8526316 50	4214285 49	7920455 47
9800 49	1823692 49	2304487 50	1505043 48	7695513 50	6660639 49	1272090 48
9700 49	1244078 49	3007060 50	1205696 48	6992940 50	7674493 49	1735171 48
9600 49	9365486 48	3608877 50	1053377 48	6391123 50	8229054 49	2183475 48
9500 49	7459327 48	4130081 50	9638309 47	5869919 50	8578740 49	2616604 48
9400 49	6160388 48	4585784 50	9063897 47	5414216 50	8819347 49	3033628 48
9300 49	5217202 48	4987541 50	8673191 47	5012459 50	8995003 49	3433776 48
9200 49	4500682 48	5344335 50	8396004 47	4655664 50	9128859 49	3816631 48
9100 49	3937776 48	5663261 50	8193014 47	4336739 50	9234233 49	4182125 48
9000 49	3484005 48	5950001 50	8040640 47	4049999 50	9319327 49	4530486 48
8900 49	3110675 48	6209140 50	7923992 47	3790860 50	9389471 49	4862136 48
8800 49	2798431 48	6444445 50	7833253 47	3555555 50	9448275 49	5177658 48
8700 49	2533704 48	6659017 50	7761740 47	3340982 50	9498276 49	5477716 48
8600 49	2306688 48	6855442 50	7704766 47	3144557 50	9541304 49	5763026 48
8500 49	2110110 48	7035896 50	7658965 47	2964104 50	9578717 49	6034330 48
8400 49	1938457 48	7202218 50	7621874 47	2797781 50	9611539 49	6292374 48
8300 49	1787464 48	7355975 50	7591653 47	2644024 50	9640561 49	6537881 48
8200 49	1653786 48	7498511 50	7566909 47	2501488 50	9666402 49	6771560 48
8100 49	1534749 48	7630978 50	7546575 47	2369022 50	9689552 49	6994077 48
8000 49	1428203 48	7754384 50	7529818 47	2245615 50	9710407 49	7206083 48
7500 49	1030871 48	8262550 50	7480954 47	1737449 50	9789719 49	8128406 48
7000 49	7762879 47	8638890 50	7463182 47	1361109 50	9842443 49	8864621 48
6500 49	6022050 47	8926985 50	7458758 47	1073015 50	9879800 49	9460112 48
6000 49	4772387 47	9152941 50	7460309 47	8470590 49	9907455 49	9947141 48
5500 49	3840024 47	9333329 50	7464477 47	6666700 49	9928571 49	1034886 49
5000 49	3121709 47	9479167 50	7469635 47	5208330 49	9945054 49	1068818 49
4500 49	2552685 47	9598015 50	7474967 47	4019840 49	9958117 49	1095954 49
4000 49	2090507 47	9695239 50	7480053 47	3047600 49	9968565 49	1119030 49
3500 49	1706272 47	9774712 50	7484680 47	2252880 49	9976952 49	1138155 49
3000 49	1379620 47	9839285 50	7488744 47	1607150 49	9983666 49	1153868 49
2500 49	1095744 47	9891069 50	7492194 47	1089300 49	9988986 49	1166583 49
2000 49	8435212 46	9931620 50	7495014 47	6837900 48	9993115 49	1176611 49
1500 49	6143114 46	9962104 50	7497201 47	3789600 48	9996196 49	1184190 49
1000 49	4011370 46	9983337 50	7498758 47	1666200 48	9998330 49	1189490 49
5000 48	1981092 46	9995861 50	7499689 47	4138000 47	9999585 49	1192625 49
0000 00	0000000 00	1000000 51	7500000 47	0000000 00	1000000 50	1193662 49

12 51 = γ w'	$\frac{\sigma_4(w',\phi)}{\phi_0}$	γ'	$\frac{\sigma_3(\gamma')}{\phi_0}$	E	w	$\frac{\sigma_1(w,\phi)}{\phi_0}$
1000 50	1616413 50	4800000 49	6520833 48	1152000 51	1000000 50*	2391143 47
9990 49	1148860 50	6339001 49	4746741 48	1136610 51	4942021 49*	3035690 47
9980 49	8867144 49	7841879 49	3751202 48	1121581 51	1918711 49*	3671393 47
9970 49	7196764 49	9309875 49	3116459 48	1106901 51	9205129 47	4299019 47
9960 49	6042093 49	1074419 50	2677510 48	1092558 51	1525983 49	4919254 47
9950 49	5197562 49	1214598 50	2356415 48	1078540 51	2600157 49	5532701 47
9940 49	4553820 49	1351632 50	2111689 48	1064836 51	3434874 49	6139901 47
9930 49	4047325 49	1485626 50	1919135 48	1051437 51	4102166 49	6741321 47
9920 49	3638763 49	1616681 50	1763895 48	1038331 51	4647821 49	7337392 47
9910 49	3302460 49	1744892 50	1636187 48	1025510 51	5102321 49	7928491 47
9900 49	3020947 49	1870349 50	1529380 48	1012965 51	5486737 49	8514927 47
9850 49	2104494 49	2459279 50	1182904 48	954072050	6767102 49	11386384 8
9800 49	1603213 49	2991088 50	995360947	900891150	7490069 49	14172914 8
9750 49	1288318 49	3473684 50	879366247	852631550	7954545 49	16887714 8
9700 49	1072581 49	3913579 50	801471947	808642050	8278127 49	19536954 8
9650 49	9156779 48	4316185 50	7461504 47	7683814 50	8516472 49	2212314 48
9600 49	7964665 48	4686037 50	7052308 47	7313963 50	8699333 49	2464693 48
9550 49	7028254 48	5026961 50	6740144 47	6973039 50	8844060 49	2710818 48
9500 49	6273200 48	5342213 50	6496146 47	6657787 50	8961449 49	2950654 48
9450 49	5651426 48	5634573 50	6301653 47	6365427 50	9058576 49	3184172 48
9400 49	5130504 48	5906439 50	6144085 47	6093560 50	9140266 49	3411370 48
9350 49	4687764 48	6159883 50	6014686 47	5840116 50	9209925 49	3632270 48
9300 49	4306885 48	6396703 50	5907185 47	5603297 50	9270028 49	3846919 48
9250 49	3975822 48	6618473 50	5816978 47	5381526 50	9322411 49	4055396 48
9200 49	3685487 48	6826580 50	5740622 47	5173420 50	9368471 49	4257802 48
9150 49	3428886 48	7022238 50	5675494 47	4977761 50	9409285 49	4454254 48
9100 49	3200549 48	7206519 50	5619570 47	4793480 50	9445701 49	4644879 48
9050 49	2996142 48	7380387 50	5571255 47	4619612 50	9478391 49	4829827 48
9000 49	2812173 48	7544691 50	5529291 47	4455309 50	9507897 49	5009247 48
8500 49	1655800 48	8796797 50	5305810 47	3203202 50	9696556 49	6534631 48
8000 49	1098084 48	9601247 50	5231082 47	2398753 50	9791802 49	7674798 48
7500 49	7806410 47	1015908 51	5202671 47	1840912 50	9848993 49	8545863 48
7000 49	5810564 47	1056644 51	5191988 47	1433558 50	9886940 49	9225956 48
6500 49	4466662 47	1087499 51	5188883 47	1125001 50	9913793 49	9766804 48
6000 49	3514155 47	1111505 51	5189182 47	884941049	9933652 49	10203344 9
5500 49	2811064 47	1130548 51	5190997 47	694514049	9948806 49	10559644 9
5000 49	2274309 47	1145864 51	5193418 47	541352049	9960629 49	10858764 9
4500 49	1852454 47	1158295 51	5195988 47	417042049	9969995 49	11094994 9
4000 49	1512158 47	1168430 51	5198470 47	315700049	9977483 49	11295384 9
3500 49	1230951 47	1176691 51	5200744 47	233084049	9983492 49	11460694 9
3000 49	9931438 46	1183389 51	5202750 47	166105049	9988302 49	11596004 9
2500 49	7874180 46	1188750 51	5204458 47	112494049	9992113 49	11705154 9
2000 49	6053383 46	1192942 51	5205856 47	705740048	9995070 49	11791084 9
1500 49	4403961 46	1196090 51	5206942 47	390980048	9997276 49	11855794 9
1000 49	2873666 46	1198281 51	5207716 47	171830048	9998804 49	11901054 9
5000 48	1418612 46	1199572 51	5208179 47	4275000 47	9999703 49	11928774 9
0000 00	0000000 00	1200000 51	5208333 47	0000000 00	1000000 50	11936624 9

14 51 = γ w'	$\frac{\sigma_4(w',\phi)}{\phi_0}$	γ'	$\frac{\sigma_3(\gamma')}{\phi_0}$	E	w	$\frac{\sigma_1(w,\phi)}{\phi_0}$
1000 50	1854436 50	4827586 49	5555067 48	1351724 51	1000000 50*	2060485 47
9990 49	1210890 50	6896085 49	3789723 48	1331039 51	3786694 49*	2822942 47
9980 49	8933476 49	8908205 49	2828206 48	1310917 51	5113186 48*	3572002 47
9970 49	7049187 49	1086617 50	2292949 48	1291338 51	1511413 49	4308913 47
9960 49	5804500 49	1277209 50	1939255 48	1272279 51	2884716 49	5034767 47
9950 49	4922555 49	1462815 50	1688546 48	1253718 51	3878153 49	5750590 47
9940 49	4265693 49	1643613 50	1501836 48	1235638 51	4630129 49	6457169 47
9930 49	3758108 49	1819807 50	1357559 48	1218019 51	5219198 49	7155330 47
9920 49	3354397 49	1991550 50	1242869 48	1200845 51	5693071 49	7845634 47
9910 49	3025876 49	2159003 50	1149615 48	1184099 51	6082519 49	8528634 47
9900 49	2753565 49	2322354 50	1072368 48	1167764 51	6408311 49	9204944 47
9850 49	1883579 49	3082291 50	8265765 47	1091770 51	7469946 49	1249828 48
9800 49	1418477 49	3758966 50	6967330 47	1024103 51	8053979 49	1566835 48
9750 49	1130254 49	4365329 50	6176887 47	9634670 50	8423507 49	1873371 48
9700 49	9345773 48	4911777 50	5652307 47	9088222 50	8678362 49	2170318 48
9650 49	7931979 48	5406753 50	5283268 47	8593246 50	8864747 49	2458079 48
9600 49	6863310 48	5857188 50	5012473 47	8142811 50	9006982 49	2736848 48
9550 49	6027418 48	6268819 50	4807320 47	7731181 50	9119088 49	3006731 48
9500 49	5355904 48	6646436 50	4647946 47	7353564 50	9209719 49	3267826 48
9450 49	4804793 48	6994074 50	4521603 47	7005925 50	9284503 49	3520246 48
9400 49	4344541 48	7315156 50	4419755 47	6684843 50	9347260 49	3764138 48
9350 49	3954565 48	7612599 50	4336492 47	6387400 50	9400673 49	3999675 48
9300 49	3620090 48	7888913 50	4267604 47	6111087 50	9446683 49	4227062 48
9250 49	3330223 48	8146256 50	4210018 47	5853743 50	9486727 49	4446520 48
9200 49	3076757 48	8386505 50	4161446 47	5613494 50	9521894 49	4658290 48
9150 49	2853398 48	8611308 50	4120150 47	5388692 50	9553022 49	4862632 48
9100 49	2655218 48	8822094 50	4084794 47	5177906 50	9580768 49	5059803 48
9050 49	2478315 48	9020128 50	4054333 47	4979872 50	9605654 49	5250069 48
9000 49	2319551 48	9206520 50	4027945 47	4793480 50	9628099 49	5433688 48
8500 49	1334470 48	1060367 51	3888652 47	3396330 50	9771216 49	6958757 48
8000 49	8706899 47	1148011 51	3842596 47	2519889 50	9843214 49	8060037 48
7500 49	6116664 47	1207843 51	3825072 47	1921563 50	9886363 49	8881396 48
7000 49	4512152 47	1251054 51	3818362 47	1489455 50	9914960 49	9511515 48
6500 49	3444543 47	1283582 51	3816252 47	1164771 50	9935179 49	1000609 49
6000 49	2695151 47	1308625 51	3816212 47	9137480 49	9950124 49	1040119 49
5500 49	2146437 47	1328441 51	3817103 47	7155840 49	9961523 49	1072109 49
5000 49	1730382 47	1344317 51	3818378 47	5568220 49	9970414 49	1098254 49
4500 49	1405302 47	1357163 51	3819761 47	4283620 49	9977454 49	1119749 49
4000 49	1144400 47	1367609 51	3821111 47	3239020 49	9983083 49	1137455 49
3500 49	9297564 46	1376108 51	3822355 47	2389120 49	9987598 49	1152011 49
3000 49	7489390 46	1382986 51	3823455 47	1701320 49	9991212 49	1163890 49
2500 49	5930380 46	1388484 51	3824394 47	1151550 49	9994075 49	1173450 49
2000 49	4554485 46	1392779 51	3825165 47	7220400 48	9996297 49	1180959 49
1500 49	3310977 46	1396001 51	3825763 47	3998700 48	9997954 49	1186615 49
1000 49	2159332 46	1398242 51	3826190 47	1757900 48	9999102 49	1190560 49
5000 48	1065645 46	1399563 51	3826445 47	4369000 47	9999777 49	1192890 49
0000 00	0000000 00	1400000 51	3826530 47	0000000 00	10000000 50	1193662 49

16 51 = γ w'	$\frac{\sigma_1(w',\phi)}{\phi_0}$	γ'	$\frac{\sigma_2(\gamma')}{\phi_0}$	E	w	$\frac{\sigma_1(w,\phi)}{\phi_0}$
1000 50	20926375 0	48484849	48384231	15515151	10000000 50*	18102397
9990 49	12511533 0	75231499	29862099	15247681	26673055 49*	26899227
9980 49	88553085	10114807	21807231	14988521	73849877	35508767
9970 49	68194665	12627233	17319061	14737271	27056113	43950227
9960 49	55252933	15064044	14464451	14493591	39866765	52240277
9950 49	46314655	17428550	12492361	14257141	48872905	60393147
9940 49	39780365	19723979	11050501	14027601	55550285	68421387
9930 49	34800845	21953239	99519447	13804671	60698625	76335227
9920 49	30884285	24119195	90882297	13588085	64789245	84144337
9910 49	27725925	26224525	83921867	13377545	68117755	91856617
9900 49	25126845	28271665	78200057	13172835	70878895	99478637
9850 49	16942265	37713979	60262687	12228601	79734625	13641847
9800 49	12642155	46010165	50966987	11398981	84515675	17171837
9750 49	10004485	53356695	45379907	10664331	87508215	20561817
9700 49	82259005	59907575	41707907	10009241	89557625	23823305
9650 49	69472365	65785185	39145147	94214815	91049015	26962135
9600 49	59845195	71088065	37277335	88911945	92182945	29981845
9550 49	52340345	75896375	35870645	84103635	93074145	32885265
9500 49	46329705	80276085	34783585	79723915	93792985	35675235
9450 49	41410845	84281785	33925905	75718225	94385045	38354735
9400 49	37314365	87959415	33237455	72040595	94881125	40923245
9350 49	33852885	91347555	32676805	68652445	95302795	43396385
9300 49	30891975	94478845	32214625	65521155	95665615	45765925
9250 49	28332825	97381315	31829525	62618685	95981095	48039845
9200 49	26101065	10007915	31505685	59920845	96257915	50222265
9150 49	24139565	10259315	31231115	57406865	96502765	52317165
9100 49	22403715	10494125	30996655	55058745	96720865	54328465
9050 49	20858265	10713945	30795125	52860555	96916365	56260155
9000 49	19474805	10920145	30620925	50798585	97092605	58115915
8500 49	10987945	12444455	29708445	35555495	98214285	73223675
8000 49	70740645	13381915	29409775	26180815	98777225	83820175
7500 49	49221475	14013785	29296235	19862135	99114175	91567845
7000 49	36051335	14466125	29252265	15338725	99337305	97428115
6500 49	27370755	14803805	29237785	11961955	99494985	10197915
6000 49	21323995	15063595	29236565	93640105	99611485	10558545
5500 49	16924325	15267925	29241345	73207805	99700315	10848695
5000 49	13605965	15431125	29248645	56887805	99769585	11084625
4500 49	11024855	15562825	29256725	43717805	99824435	11277755
4000 49	89614515	15669735	29264685	33026805	99868265	11436345
3500 49	72696385	15756565	29272045	24343305	99903435	11566355
3000 49	58486625	15826745	29278575	17325805	99931585	11672215
2500 49	46266445	15882795	29284155	11720205	99953875	11757285
2000 49	35504865	15926535	29288745	73466005	99971165	11823975
1500 49	25796055	15959325	29292305	40677005	99984075	11874155
1000 49	16816745	15982125	29294845	17874005	99993015	11909145
5000 48	82972135	15995575	29296365	44280005	99998265	11929805
0000 00	00000000	16000005	29296875	00000000	10000005	11936625

18 51 = γ	$\sigma_4(w',\phi)$	γ'	$\sigma_3(\gamma')$	E	w	$\sigma_1(w,\phi)$
w'	ϕ_0		ϕ_0			ϕ_0
1000 50	2330955 50	4864864 49	4285535 48	1751351 51	1000000 50*	1614235 47
9990 49	1273467 50	8221901 49	2426417 48	1717781 51	1607080 49*	2610539 47
9980 49	8680870 49	1146217 50	1713083 48	1685378 51	1831203 49	3582056 47
9970 49	6546760 49	1459169 50	1337259 48	1654083 51	3702340 49	4531554 47
9960 49	5233064 49	1761606 50	1105770 48	1623839 51	4878918 49	5461382 47
9950 49	4344646 49	2054041 50	9491616 47	1594595 51	5687105 49	6373510 47
9940 49	3704786 49	2336970 50	8363491 47	1566302 51	6276512 49	7269663 47
9930 49	3222606 49	2610839 50	7513525 47	1538916 51	6725370 49	8151251 47
9920 49	2846658 49	2876085 50	6851105 47	1512391 51	7078608 49	9019542 47
9910 49	2545619 49	3133112 50	6321075 47	1486688 51	7363840 49	9875589 47
9900 49	2299328 49	3382281 50	5887963 47	1461771 51	7598971 49	10720824 48
9850 49	1532397 49	4522082 50	4546236 47	1347791 51	8344184 49	14796616 48
9800 49	1134866 49	5510851 50	3861671 47	1248914 51	8740954 49	18665521 48
9750 49	8929378 48	6376715 50	3454579 47	1162328 51	8987350 49	22356758 48
9700 49	7306597 48	7141216 50	3189231 47	1085878 51	9155234 49	25885148 48
9650 49	6144494 48	7821148 50	3005303 47	1017885 51	9276971 49	29258338 48
9600 49	5272333 48	8429787 50	2872039 47	9570213 50	9369285 49	32482078 48
9550 49	4594356 48	8977752 50	2772194 47	9022248 50	9441691 49	35561418 48
9500 49	4052805 48	9473684 50	2695388 47	8526316 50	9500000 49	38501648 48
9450 49	3610759 48	9924626 50	2635039 47	8075373 50	9547961 49	41308138 48
9400 49	3243548 48	1033643 51	2586778 47	7663565 50	9588103 49	43986658 48
9350 49	2934030 48	1071396 51	2547612 47	7286038 50	9622193 49	46548928 48
9300 49	2669934 48	1106130 51	2515424 47	6938696 50	9651502 49	48988848 48
9250 49	2442240 48	1138193 51	2488681 47	6618069 50	9676970 49	51312288 48
9200 49	2244163 48	1167881 51	2466250 47	6321189 50	9699303 49	53537068 48
9150 49	2070491 48	1195445 51	2447280 47	6045550 50	9719047 49	55668548 48
9100 49	1917171 48	1221106 51	2431116 47	5788937 50	9736626 49	57694288 48
9050 49	1780987 48	1245053 51	2417252 47	5549468 50	9752377 49	59637289 48
9000 49	1659363 48	1267451 51	2405290 47	5325481 50	9766570 49	61496538 48
8500 49	9207486 47	1431093 51	2343049 47	3689069 50	9856788 49	76372558 48
8000 49	5861877 47	1530070 51	2322858 47	2699293 50	9901990 49	86549768 48
7500 49	4046587 47	1596083 51	2315194 47	2039163 50	9929022 49	93868318 48
7000 49	2946608 47	1642997 51	2312205 47	1570022 50	9946912 49	99339178 48
6500 49	2227197 47	1677836 51	2311189 47	1221633 50	9959550 49	10355118 49
6000 49	1729158 47	1704534 51	2311061 47	954658 0 49	9968885 49	10686688 49
5500 49	1368612 47	1725466 51	2311336 47	7453390 49	9976601 49	10952068 49
5000 49	1097826 47	1742143 51	2311783 47	5785660 49	9981549 49	11146968 49
4500 49	8879617 46	1755576 51	2312285 47	4442380 49	9985942 49	11342398 49
4000 49	7207108 46	1766464 51	2312784 47	3353560 49	9989452 49	11485898 49
3500 49	5839479 46	1775295 51	2313247 47	2470460 49	9992268 49	11603358 49
3000 49	4693481 46	1782424 51	2313658 47	1757540 49	9994582 49	11698818 49
2500 49	3709929 46	1788113 51	2314011 47	1188630 49	9996307 49	11776408 49
2000 49	2845273 46	1792553 51	2314300 47	7447000 48	9997691 49	11835488 49
1500 49	2066289 46	1795878 51	2314585 47	4181500 48	9998724 49	11880538 49
1000 49	1346605 46	1798187 51	2314686 47	1812600 48	9999440 49	11911938 49
5000 48	6642767 45	1799549 51	2314782 47	4502000 47	9999861 49	11930408 49
0000 00	0000000 00	1800000 51	2314814 47	0000000 00	1000000 50	11936688 49

Compton Cross Sections vs. Angle of Recoil Electron

20 51 $= \gamma$	$\sigma_1(w',\phi)$	γ'	$\sigma_2(\gamma')$	E	w	$\sigma_1(w,\phi)$
w'	ϕ_0		ϕ_0			ϕ_0
1000 50	25693560 50	48780480 49	38460360 48	19512190 51	10000000 50*	14565510 47
9990 49	12814540 50	89932040 49	19957320 48	19100670 51	61950660 48*	25689250 47
9980 49	84455690 49	12949950 50	13674360 48	18705000 51	27779670 49	36497560 47
9970 49	62559920 49	16757310 50	10522780 48	18324260 51	45324580 49	47028350 47
9960 49	49441390 49	20423610 50	86331760 47	17957630 51	56037050 49	57313340 47
9950 49	40721950 49	23956430 50	73766450 47	17604350 51	63257560 49	67378810 47
9940 49	34517780 49	27363030 50	64823850 47	17263690 51	68454350 49	77247350 47
9930 49	29884610 49	30649950 50	58146920 47	16935000 51	72373510 49	86937360 47
9920 49	26297530 49	33823460 50	52980100 47	16617650 51	75434730 49	96464890 47
9910 49	23441390 49	36889390 50	48869760 47	16311060 51	77891930 49	10584330 48
9900 49	21115550 49	39852940 50	45527240 47	16014700 51	79907740 49	11508330 48
9850 49	13937350 49	53301830 50	35272870 47	14669810 51	86238910 49	15949430 48
9800 49	10256270 49	64827590 50	30108770 47	13517240 51	89574460 49	20138770 48
9750 49	80299120 48	74814790 50	27065760 47	12518520 51	91633660 49	24111010 48
9700 49	65427650 48	83551960 50	25096530 47	11644800 51	93031400 49	27883490 48
9650 49	54811870 48	91259690 50	23739760 47	10874030 51	94042250 49	31466930 48
9600 49	46866230 48	98109430 50	22761840 47	10189050 51	94807300 49	34869760 48
9550 49	40705190 48	10423680 51	22032480 47	95763190 50	95406450 49	38100060 48
9500 49	35795600 48	10974990 51	21473730 47	90250030 50	95888380 49	41165800 48
9450 49	31797660 48	11473670 51	21036300 47	85263210 50	96284400 49	44075270 48
9400 49	28484370 48	11926910 51	20687650 47	80730880 50	96615590 49	46836810 48
9350 49	25698190 48	12340600 51	20405550 47	76593940 50	96896660 49	49458560 48
9300 49	23326450 48	12719700 51	20174350 47	72802990 50	97138170 49	51948570 48
9250 49	21286380 48	13068350 51	19982750 47	69316410 50	97347920 49	54314720 48
9200 49	19515710 48	13390090 51	19822410 47	66099100 50	97531780 49	56564470 48
9150 49	17966720 48	13687860 51	19687100 47	63121330 50	97694260 49	58704800 48
9100 49	16602300 48	13964290 51	19572030 47	60357040 50	97838870 49	60742700 48
9050 49	15392960 48	14221530 51	19473520 47	57784650 50	97968410 49	62684130 48
9000 49	14315210 48	14461540 51	19388660 47	55384540 50	98085100 49	64535310 48
8500 49	78291090 47	16197370 51	18949660 47	38026250 50	98826150 49	79124490 48
8000 49	49371570 47	17232430 51	18808380 47	27675640 50	99196980 49	88892490 48
7500 49	33856890 47	17916680 51	18754850 47	20833160 50	99418600 49	95818450 48
7000 49	24534230 47	18400000 51	18733870 47	15999910 50	99565210 49	10094470 49
6500 49	18476220 47	18757360 51	18726580 47	12426380 50	99668750 49	10486290 49
6000 49	14303710 47	19030290 51	18725450 47	96970800 49	99745220 49	10793020 49
5500 49	11295690 47	19243750 51	18727120 47	75624100 49	99803500 49	11037500 49
5000 49	90443500 46	19413480 51	18730000 47	58652000 49	99848940 49	11234780 49
4500 49	73046610 46	19549990 51	18733280 47	45000200 49	99884910 49	11395340 49
4000 49	59216860 46	19660460 51	18736560 47	33953600 49	99913650 49	11526500 49
3500 49	47933100 46	19750000 51	18739620 47	24999600 49	99936700 49	11633630 49
3000 49	38495880 46	19822230 51	18742340 47	17776600 49	99955150 49	11720580 49
2500 49	30409540 46	19879800 51	18744670 47	12019300 49	99969770 49	11790230 49
2000 49	23310620 46	19924720 51	18746590 47	75276000 48	99981100 49	11844780 49
1500 49	16922280 46	19958320 51	18748080 47	41673000 48	99989560 49	11888710 49
1000 49	11025480 46	19981690 51	18749150 47	18303000 48	99995410 49	11914840 49
5000 48	54379980 45	19995440 51	18749780 47	45590000 47	99998860 49	11931040 49
0000 00	00000000 00	20000000 51	18750000 47	00000000 00	10000000 50	11936680 49

22 51 = γ w'	$\frac{\sigma_4(w',\phi)}{\phi_0}$	γ'	$\frac{\sigma_3(\gamma')}{\phi_0}$	E	w	$\frac{\sigma_1(w,\phi)}{\phi_0}$
1000 50	28078817 50	48888888 49	34882920 48	21511111 51	10000000 50*	13269460 47
9990 49	12782870 50	98374657 49	16587570 48	21016250 51	28932550 48	25548740 47
9980 49	81747110 49	14577360 50	11069750 48	20542260 51	35945960 49	37438310 47
9970 49	59626190 49	19121520 50	84183360 47	20087840 51	52248360 49	48988170 47
9960 49	46672130 49	23481820 50	68643430 47	19651810 51	61959330 49	60239710 47
9950 49	38184850 49	27669150 50	58456400 47	19233080 51	68404130 49	71226900 47
9940 49	32205900 49	31693650 50	51278280 47	18830630 51	72993400 49	81978190 47
9930 49	27773860 49	35564550 50	45958480 47	18443540 51	76427570 49	92516790 47
9920 49	24362190 49	39290560 50	41865880 47	18070940 51	79094050 49	10286240 48
9910 49	21658220 49	42879680 50	38625630 47	17712030 51	81224380 49	11303130 48
9900 49	19464620 49	46339190 50	36001240 47	17366080 51	82965440 49	12303660 48
9850 49	12743240 49	61918790 50	28015460 47	15808120 51	88395270 49	17094750 48
9800 49	93261000 48	75116210 50	24038530 47	14488370 51	91232740 49	21587160 48
9750 49	72696650 48	86438530 50	21713790 47	13356140 51	92976540 49	25820850 48
9700 49	59007190 48	96258570 50	20219060 47	12374140 51	94156770 49	29816640 48
9650 49	49261580 48	10485630 51	19194660 47	11514360 51	95008600 49	33588480 48
9600 49	41984830 48	11244650 51	18459780 47	10755340 51	95652330 49	37148300 48
9550 49	36355240 48	11919590 51	17913960 47	10080400 51	96155910 49	40507460 48
9500 49	31879360 48	12523710 51	17497330 47	94762900 50	96560590 49	43677520 48
9450 49	28242680 48	13067530 51	17172240 47	89324680 50	96892890 49	46669620 48
9400 49	25235470 48	13559640 51	16913910 47	84403550 50	97170630 49	49494940 48
9350 49	22712430 48	14007100 51	16705430 47	79928960 50	97406210 49	52164460 48
9300 49	20569380 48	14415650 51	16535010 47	75843480 50	97608550 49	54688150 48
9250 49	18730110 48	14790190 51	16394070 47	72098020 50	97784210 49	57076190 48
9200 49	17137090 48	15134740 51	16276390 47	68652580 50	97938140 49	59337380 48
9150 49	15746500 48	15452780 51	16177250 47	65472130 50	98074130 49	61480660 48
9100 49	14524090 48	15747250 51	16093090 47	62527480 50	98195130 49	63513960 48
9050 49	13442790 48	16020620 51	16021160 47	59793770 50	98303500 49	65444460 48
9000 49	12481020 48	16275120 51	15959280 47	57248710 50	98401100 49	67279460 48
8500 49	67398590 47	18099590 51	15640830 47	39004020 50	99020470 49	81548880 48
8000 49	42155680 47	19174220 51	15539070 47	28257750 50	99330120 49	90924500 48
7500 49	28745520 47	19879270 51	15500580 47	21207250 50	99515080 49	97492060 48
7000 49	20744960 47	20374710 51	15485440 47	16252870 50	99637410 49	10231200 49
6500 49	15574400 47	20739680 51	15480090 47	12603170 50	99723780 49	10597360 49
6000 49	12028460 47	21017700 51	15479150 47	98230000 49	99787560 49	10882720 49
5500 49	94809980 46	21234640 51	15480210 47	76535800 49	99836160 49	11109310 49
5000 49	75798920 46	21406880 51	15482150 47	59311600 49	99874050 49	11291670 49
4500 49	61144010 46	21545200 51	15484380 47	45479800 49	99904040 49	11439710 49
4000 49	49518410 46	21657000 51	15486630 47	34299900 49	99928010 49	11560420 49
3500 49	40050340 46	21747570 51	15488720 47	25242800 49	99947230 49	11658890 49
3000 49	32144020 46	21820550 51	15490590 47	17944300 49	99962610 49	11738690 49
2500 49	25378660 46	21878700 51	15492200 47	12129500 49	99974790 49	11802560 49
2000 49	19446190 46	21924030 51	15493520 47	75967000 48	99984340 49	11852530 49
1500 49	14112620 46	21957970 51	15494540 47	42028000 48	99991290 49	11890040 49
1000 49	91929020 45	21981820 51	15495280 47	18473000 48	99996180 49	11916130 49
5000 48	45335680 45	21995400 51	15495720 47	45970000 47	99999050 49	11931520 49
0000 00	00000000 00	22000000 51	15495860 47	00000000 00	10000000 50	11936620 49

24 51 = γ	$\sigma_4(w',\phi)$	γ'	$\sigma_3(\gamma')$	E	w	$\sigma_1(w,\phi)$
w'	ϕ_0		ϕ_0			ϕ_0
1000 50	3046324 50	4897959 49	3191432 48	2351020 51	10000000 50*	12185297
9990 49	1266632 50	1075481 50	1391466 48	2292451 51	11185024 9	2561523 47
9980 49	7885912 49	1634338 50	9074002 47	2236566 51	4297982 49	3857472 47
9970 49	5675874 49	2168155 50	6833705 47	2183184 51	5804452 49	5112783 47
9960 49	4406462 49	2678567 50	5545760 47	2132143 51	6683327 49	6332664 47
9950 49	3584781 49	3167115 50	4711458 47	2083288 51	7259218 49	7521478 47
9940 49	3010699 49	3635134 50	4128470 47	2036486 51	7665736 49	8682610 47
9930 49	2587796 49	4083943 50	3699046 47	1991605 51	7968052 49	9819049 47
9920 49	2263777 49	4514648 50	3370318 47	1948535 51	8201654 49	10932999 48
9910 49	2007929 49	4928311 50	3111121 47	1907168 51	8387574 49	12026333 48
9900 49	1801048 49	5325994 50	2901872 47	1867400 51	8539083 49	13100866 48
9850 49	1170864 49	7103666 50	2269618 47	1689633 51	9008943 49	18327966 48
9800 49	8527407 48	8592854 50	1957823 47	1540714 51	9252909 49	23007457 48
9750 49	6620796 48	9858475 50	1776860 47	1414152 51	9402310 49	27484822 48
9700 49	5355237 48	1094730 51	1661175 47	1305269 51	9503199 49	31684754 48
9650 49	4456424 48	1189393 51	1582288 47	1210606 51	9575902 49	35623166 48
9600 49	3786787 48	1272449 51	1525932 47	1127550 51	9630781 49	39322107 48
9550 49	3269844 48	1345906 51	1484230 47	1054093 51	9673673 49	42790897 48
9500 49	2859718 48	1411335 51	1452505 47	9886643 50	9708117 49	46046717 48
9450 49	2527208 48	1469981 51	1427824 47	9300185 50	9736385 49	49104197 48
9400 49	2252844 48	1522845 51	1408263 47	8771550 50	9760000 49	51977507 48
9350 49	2023138 48	1570739 51	1392516 47	8892602 50	9780023 49	54680077 48
9300 49	1828448 48	1614333 51	1379671 47	7856664 50	9797215 49	57224537 48
9250 49	1661689 48	1654175 51	1369071 47	7458242 50	9812136 49	59622417 48
9200 49	1517560 48	1690735 51	1360235 47	7092648 50	9825207 49	61884987 48
9150 49	1391987 48	1724394 51	1352804 47	6756054 50	9836753 49	64021887 48
9100 49	1281811 48	1755486 51	1346506 47	6445135 50	9847024 49	66042517 48
9050 49	1184537 48	1784294 51	1341130 47	6157057 50	9856221 49	67955427 48
9000 49	1098167 48	1811057 51	1336513 47	5889428 50	9864503 49	69768227 48
8500 49	5863942 47	2001454 51	1312853 47	3985456 50	9917030 49	83700417 48
8000 49	3641635 47	2112406 51	1305339 47	2875932 50	9943272 49	92704037 48
7500 49	2471099 47	2184719 51	1302502 47	2152805 50	9958941 49	98944157 48
7000 49	1777074 47	2235312 51	1301383 47	1646871 50	9969302 49	10349097 49
6500 49	1330637 47	2272465 51	1300983 47	1275344 50	9976616 49	10692687 49
6000 49	1025593 47	2300698 51	1300906 47	9930180 49	9982016 49	10959367 49
5500 49	8070959 46	2322693 51	1300976 47	7730670 49	9986131 49	11170587 49
5000 49	6444317 46	2340124 51	1301111 47	5987540 49	9989339 49	11339987 49
4500 49	5193015 46	2354111 51	1301268 47	4588820 49	9991877 49	11477347 49
4000 49	4202131 46	2365410 51	1301427 47	3458990 49	9993906 49	11589187 49
3500 49	3396343 46	2374548 51	1301576 47	2545140 49	9995533 49	11680847 49
3000 49	2724373 46	2381912 51	1301708 47	1808730 49	9996835 49	11753997 49
2500 49	2150027 46	2387776 51	1301822 47	1222350 49	9997866 49	11812977 49
2000 49	1646876 46	2392346 51	1301916 47	7653600 48	9998666 49	11859097 49
1500 49	1194876 46	2395768 51	1301989 47	4231900 48	9999263 49	11893707 49
1000 49	7781978 45	2398141 51	1302041 47	1859000 48	9999676 49	11917757 49
5000 48	3837354 45	2399539 51	1302072 47	4607000 47	9999919 49	11931947 49
0000 00	00000000 00	2400000 51	1302083 47	00000000 00	10000800 50	11936627 49

26 51 = γ w'	$\frac{\sigma_4(w',\phi)}{\phi_0}$	γ'	$\frac{\sigma_3(\gamma')}{\phi_0}$	E	w	$\frac{\sigma_1(w,\phi)}{\phi_0}$
1000 50	32848650	49056600 49	29411350 48	25509430 51	10000000 50*	11264970 47
9990 49	12487160 50	11745260 50	11769640 48	24825470 51	18705470 49	25840990 47
9980 49	75909050 49	18246650 50	75221190 47	24175330 51	49041590 49	39859040 47
9970 49	54008280 49	24434320 50	56198090 47	23556560 51	62920100 49	53400110 47
9960 49	41635600 49	30330440 50	45439570 47	22966950 51	70875980 49	66529140 47
9950 49	33707310 49	35955070 50	38540940 47	22404490 51	76033670 49	79298110 47
9940 49	28206990 49	41326620 50	33753780 47	21867330 51	79648680 49	91749270 47
9930 49	24175620 49	46461670 50	30246390 47	21353830 51	82323040 49	10391620 48
9920 49	21099410 49	51375620 50	27572430 47	20862430 51	84381660 49	11582690 48
9910 49	18678340 49	56082470 50	25471120 47	20391750 51	86015260 49	12750360 48
9900 49	16725510 49	60594840 50	23779950 47	19940510 51	87343090 49	13896400 48
9850 49	10806520 49	80623290 50	18700860 47	17937670 51	91442790 49	19346520 48
9800 49	78360970 48	97223640 50	16217870 47	16277630 51	93560580 49	24398200 48
9750 49	60619430 48	11120600 51	14786100 47	14879390 51	94853830 49	29102550 48
9700 49	48872600 48	12314410 51	13875640 47	13685580 51	95725590 49	33488910 48
9650 49	40548000 48	13345530 51	13257560 47	12654460 51	96353010 49	37579910 48
9600 49	34358790 48	14245060 51	12817740 47	11754930 51	96826180 49	41396210 48
9550 49	29590780 48	15036680 51	12493380 47	10963310 51	97195740 49	44957700 48
9500 49	25815730 48	15738620 51	12247380 47	10261370 51	97492350 49	48283310 48
9450 49	22761530 48	16365340 51	12056500 47	96346570 50	97735670 49	51391550 48
9400 49	20246600 48	16928250 51	11905590 47	90717460 50	97938860 49	54299480 48
9350 49	18145340 48	17436620 51	11784380 47	85633720 50	98111090 49	57023270 48
9300 49	16367910 48	17897970 51	11685700 47	81020240 50	98258930 49	59577600 48
9250 49	14848540 48	18318560 51	11604410 47	76814380 50	98387210 49	61976390 48
9200 49	13537810 48	18703530 51	11536760 47	72964680 50	98499560 49	64232010 48
9150 49	12397940 48	19057180 51	11479960 47	69428120 50	98598780 49	66355720 48
9100 49	11399630 48	19383210 51	11431880 47	66167890 50	98687040 49	68350030 48
9050 49	10519700 48	19684670 51	11390900 47	63153240 50	98766860 49	70248160 48
9000 49	97397210 47	19964280 51	11355740 47	60357110 50	98837200 49	72034970 48
8500 49	51489230 47	21939910 51	11176290 47	40600900 50	99288840 49	85628440 48
8000 49	31775780 47	23080320 51	11119620 47	29196710 50	99513450 49	94274580 48
7500 49	21470540 47	23819370 51	11098270 47	21806300 50	99647880 49	10021570 49
7000 49	15393430 47	24334480 51	11089820 47	16655110 50	99736750 49	10451750 49
6500 49	11500100 47	24711710 51	11086780 47	12882860 50	99799480 49	10775340 49
6000 49	88482610 46	24997780 51	11086150 47	10022110 50	99845790 49	11028640 49
5500 49	69535980 46	25220270 51	11086630 47	77972500 49	99881080 49	11223270 49
5000 49	55460690 46	25396410 51	11087590 47	60358600 49	99908590 49	11381570 49
4500 49	44652280 46	25537600 51	11088730 47	46839400 49	99930360 49	11509660 49
4000 49	36106290 46	25651590 51	11089880 47	34841000 49	99947750 49	11613040 49
3500 49	29165670 46	25743710 51	11090970 47	25628900 49	99961700 49	11698550 49
3000 49	23384170 46	25817880 51	11091930 47	18211400 49	99972870 49	11767000 49
2500 49	18447460 46	25876940 51	11092770 47	12305500 49	99981710 49	11818070 49
2000 49	14126240 46	25922960 51	11093450 47	77038000 48	99988560 49	11854660 49
1500 49	10246920 46	25957410 51	11093980 47	42586000 48	99993680 49	11896810 49
1000 49	66725860 45	25981280 51	11094370 47	18712000 48	99997220 49	11919110 49
5000 48	32900020 45	25995330 51	11094590 47	46640000 47	99999310 49	11938850 49
0000 00	00000000 00	26000000 51	11094670 47	00000000 00	10000000 50	11953680 49

28 51 = γ w′	$\frac{\sigma_1(w',\phi)}{\phi_0}$	γ′	$\frac{\sigma_2(\gamma')}{\phi_0}$	E	w	$\frac{\sigma_1(w,\phi)}{\phi_0}$
1000 50	3523434 50	4912280 49	2727242 48	2750877 51	1000000 50*	1047394 47
9990 49	1226265 50	1280862 50	1003078 48	2671913 51	2549903 49	2619149 47
9980 49	7297717 49	2028604 50	6299251 47	2597139 51	5427646 49	4125758 47
9970 49	5140231 49	2737707 50	4675450 47	2526229 51	6704451 49	5577216 47
9960 49	3938562 49	3411092 50	3769956 47	2458890 51	7425531 49	6981416 47
9950 49	3175193 49	4051378 50	3194320 47	2394862 51	7888847 49	8344574 47
9940 49	2648740 49	4660962 50	2797251 47	2333903 51	8211662 49	9671698 47
9930 49	2264572 49	5241977 50	2507642 47	2275802 51	8449465 49	1096670 48
9920 49	1972417 49	5796406 50	2287642 47	2220359 51	8631935 49	1223279 48
9910 49	1743103 49	6326035 50	2115272 47	2167396 51	8776373 49	1347254 48
9900 49	1558550 49	6832468 50	1976904 47	2116753 51	8893542 49	1468794 48
9850 49	1001494 49	9064918 50	1563587 47	1893508 51	9253988 49	2044891 48
9800 49	7233184 48	1089644 51	1363120 47	1710355 51	9439411 49	2575868 48
9750 49	5576613 48	1242608 51	1248211 47	1557391 51	9552383 49	3067444 48
9700 49	4482245 48	1372275 51	1175496 47	1427724 51	9628425 49	3523090 48
9650 49	3708273 48	1483587 51	1126336 47	1316412 51	9683100 49	3945613 48
9600 49	3133970 48	1580178 51	1091480 47	1219821 51	9724303 49	4337589 48
9550 49	2692420 48	1664785 51	1065856 47	1135214 51	9756465 49	4701491 48
9500 49	2343542 48	1739509 51	1046475 47	1060491 51	9782267 49	5039672 48
9450 49	2061841 48	1805977 51	1031475 47	9940228 50	9803426 49	5354309 48
9400 49	1830347 48	1865487 51	1019642 47	9345123 50	9821090 49	5647453 48
9350 49	1637310 48	1919076 51	1010156 47	8809231 50	9836058 49	5920977 48
9300 49	1474338 48	1967582 51	1002447 47	8324173 50	9848904 49	6176575 48
9250 49	1335279 48	2011692 51	9961081 46	7883075 50	9860049 49	6415785 48
9200 49	1215534 48	2051981 51	9908401 46	7480186 50	9869808 49	6640038 48
9150 49	1111577 48	2088917 51	9864232 46	7110825 50	9878426 49	6850559 48
9100 49	1020679 48	2122904 51	9826893 46	6770960 50	9886090 49	7048505 48
9050 49	9406925 47	2154281 51	9795097 46	6457183 50	9892951 49	7234921 48
9000 49	8698960 47	2183335 51	9767848 46	6166647 50	9899128 49	7410711 48
8500 49	4557535 47	2387382 51	9629283 46	4126179 50	9938274 49	8734900 48
8000 49	2797016 47	2504189 51	9585745 46	2958108 50	9957811 49	9567099 48
7500 49	1882855 47	2579501 51	9569364 46	2204988 50	9969470 49	10133385 49
7000 49	1346330 47	2631822 51	9562876 46	1681777 50	9977177 49	10541197 49
6500 49	1003820 47	2670042 51	9560517 46	1299574 50	9982616 49	10847770 49
6000 49	7711714 46	2698976 51	9560006 46	1010238 50	9986632 49	11083448 49
5500 49	6053207 46	2721452 51	9560343 46	7854760 49	9989691 49	11269225 49
5000 49	4823345 46	2739224 51	9561053 46	6077570 49	9992076 49	11417776 49
4500 49	3880374 46	2753456 51	9561897 46	4654330 49	9993963 49	11537773 49
4000 49	3135757 46	2764937 51	9562755 46	3506270 49	9995471 49	11635119 49
3500 49	2531714 46	2774218 51	9563561 46	2578140 49	9996680 49	11714448 49
3000 49	2029025 46	2781681 51	9564283 46	1831900 49	9997648 49	11778448 49
2500 49	1600159 46	2787628 51	9564904 46	1237150 49	9998414 49	11829261 49
2000 49	1225015 46	2792252 51	9565416 46	7747900 48	9999009 49	11869558 49
1500 49	8884372 45	2795718 51	9565814 46	4281900 48	9999458 49	11899550 49
1000 49	5784565 45	2798119 51	9566099 46	1880300 48	9999759 49	11928031 49
5000 48	2851927 45	2799529 51	9566269 46	4703000 47	9999940 49	11938254 49
0000 00	0000000 00	2800000 51	9566326 46	0000000 00	1000000 50	11936684 49

30 51 = γ w'	$\frac{\sigma_4(w',\phi)}{\phi_0}$	γ'	$\frac{\sigma_3(\gamma')}{\phi_0}$	E	w	$\frac{\sigma_1(w,\phi)}{\phi_0}$
1000 50	3762024 50	4918032 49	2542349 48	2950819 51	1000000 50*	9786745 46
9990 49	1200676 50	1394467 50	8608360 47	2860553 51	3162135 49	2664141 47
9980 49	7011334 49	2246017 50	5324043 47	2775398 51	5881008 49	4274527 47
9970 49	4895132 49	3050683 50	3930556 47	2694931 51	7055378 49	5821949 47
9960 49	3730830 49	3812233 50	3162895 47	2618776 51	7710199 49	7315834 47
9950 49	2996692 49	4534028 50	2678490 47	2546597 51	8127789 49	8763521 47
9940 49	2492976 49	5219118 50	2346073 47	2478088 51	8417300 49	1017082 48
9930 49	2126778 49	5870207 50	2104567 47	2412979 51	8629816 49	1154223 48
9920 49	1849099 49	6489792 50	1921684 47	2351020 51	8792451 49	1288142 48
9910 49	1631651 49	7080100 50	1778775 47	2291989 51	8920924 49	1419122 48
9900 49	1456978 49	7643136 50	1664317 47	2235686 51	9024970 49	1547389 48
9850 49	9316119 48	1010871 51	1324088 47	1989128 51	9344088 49	2153422 48
9800 49	6703671 48	1211175 51	1160258 47	1788824 51	9507689 49	2708873 48
9750 49	5151938 48	1377119 51	1066866 47	1622880 51	9607179 49	3220130 48
9700 49	4128927 48	1516840 51	1008035 47	1483160 51	9674068 49	3691267 48
9650 49	3406816 48	1636095 51	9684148 46	1363904 51	9722121 49	4125710 48
9600 49	2872030 48	1739068 51	9404155 46	1260931 51	9758313 49	4526614 48
9550 49	2461667 48	1828881 51	9198916 46	1171118 51	9786551 49	4896974 48
9500 49	2138064 48	1907900 51	9044080 46	1092099 51	9809196 49	5239574 48
9450 49	1877282 48	1977956 51	8924519 46	1022043 51	9827761 49	5556974 48
9400 49	1663394 48	2040494 51	8830390 46	9595057 50	9843255 49	5851548 48
9350 49	1485366 48	2096654 51	8755077 46	9033456 50	9856383 49	6125391 48
9300 49	1335343 48	2147368 51	8693970 46	8526318 50	9867647 49	6380450 48
9250 49	1207564 48	2193389 51	8643790 46	8066103 50	9877417 49	6618444 48
9200 49	1097711 48	2235334 51	8602154 46	7646655 50	9885972 49	6840886 48
9150 49	1002499 48	2273722 51	8567284 46	7262771 50	9893526 49	7049176 48
9100 49	9193781 47	2308987 51	8537839 46	6910129 50	9900243 49	7244545 48
9050 49	8463426 47	2341496 51	8512791 46	6585037 50	9906255 49	7428122 48
9000 49	7817900 47	2371554 51	8491345 46	6284454 50	9911668 49	7600862 48
8500 49	4062786 47	2581495 51	8382654 46	4185043 50	9945961 49	8890874 48
8000 49	2481027 47	2700780 51	8348657 46	3992195 50	9963069 49	9692043 48
7500 49	1664614 47	2777350 51	8335884 46	3226491 50	9973277 49	1023371 49
7000 49	1187480 47	2830388 51	8330820 46	1696111 50	9980024 49	1062184 49
6500 49	8838380 46	2869050 51	8328966 46	1309492 50	9984785 49	1091158 49
6000 49	6780894 46	2898270 51	8328548 46	1017293 50	9988300 49	1113441 49
5500 49	5317002 46	2920941 51	8328790 46	7905820 49	9990978 49	1130961 49
5000 49	4233207 46	2938857 51	8329323 46	6114290 49	9993065 49	1144950 49
4500 49	3403342 46	2953194 51	8329962 46	4680520 49	9994716 49	1156238 49
4000 49	2748778 46	2964752 51	8330613 46	3524790 49	9996036 49	1165397 49
3500 49	2218292 46	2974080 51	8331226 46	2591910 49	9997095 49	1172828 49
3000 49	1777214 46	2981591 51	8331776 46	1840830 49	9997941 49	1178837 49
2500 49	1401173 46	2987568 51	8332249 46	1243130 49	9998612 49	1183636 49
2000 49	1072445 46	2992217 51	8332638 46	7782800 48	9999132 49	1187377 49
1500 49	7776555 45	2995695 51	8332942 46	4304800 48	9999521 49	1190183 49
1000 49	5062702 45	2998111 51	8333160 46	1888800 48	9999789 49	1192134 49
5000 48	2495871 45	2999532 51	8333290 46	4679000 47	9999947 49	1193283 49
0000 00	0000000 00	3000000 51	8333333 46	0000000 00	1000000 50	1193662 49

32 51 = γ w'	$\frac{\sigma_1(w',\phi)}{\phi_0}$	γ'	$\frac{\sigma_2(\gamma')}{\phi_0}$	E	w	$\frac{\sigma_1(w,\phi)}{\phi_0}$
1000 50	40000632 50	49230763 49	2380934 48	3150769 51	1000000 50*	9184188 46
9990 49	11730275 0	15153095 0	7435191 47	3048469 51	3713187 49	2717158 47
9980 49	6734959 49	2476758 50	4537816 47	2952324 51	6274964 49	4430313 47
9970 49	4665710 49	3382091 50	3335581 47	2861790 51	7355750 49	6072429 47
9960 49	3539351 49	4236049 50	2680260 47	2776395 51	7951809 49	7654541 47
9950 49	2833600 49	5042671 50	2269489 47	2695732 51	8329424 49	9184798 47
9940 49	2351715 49	5806401 50	1988721 47	2619359 51	8590263 49	10671078
9930 49	2002345 49	6529767 50	1785555 47	2547023 51	8781051 49	12116838
9920 49	1738094 49	7216220 50	1632138 47	2478378 51	8926733 49	13526858
9910 49	1531648 49	7868823 50	1512487 47	2413117 51	9041662 49	14904988
9900 49	1366090 49	8489793 50	1416851 47	2351020 51	9134615 49	16253198
9850 49	8695483 48	11191055 1	1133902 47	2080894 51	9418928 49	22601528
9800 49	6235621 48	13365305 1	9985408 46	1863469 51	9564294 49	28388578
9750 49	4777680 48	15152435 1	9217898 46	1684756 51	9652540 49	33683478
9700 49	3818512 48	16647966 1	8736332 46	1535203 51	9711825 49	38536448
9650 49	3142601 48	17917166 1	8413281 46	1408283 51	9754375 49	42985718
9600 49	2643076 48	19008446 1	8185605 46	1299155 51	9786417 49	47072158
9550 49	2260416 48	19956016 1	8019240 46	1204398 51	9811397 49	50827778
9500 49	1959301 48	20787166 1	7893974 46	1121283 51	9831434 49	54288338
9450 49	1717060 48	21521486 1	7797486 46	1047851 51	9847847 49	57480318
9400 49	1518786 48	22175506 1	7721631 46	9824494 50	9861551 49	60433298
9350 49	1354014 48	22761056 1	7661077 46	9238948 50	9873153 49	63167638
9300 49	1215439 48	23289016 1	7611984 46	8710986 50	9883112 49	65708308
9250 49	1097574 48	23766806 1	7571757 46	8233200 50	9891744 49	68070398
9200 49	9964343 47	24201826 1	7538395 46	7798176 50	9899308 49	70274098
9150 49	9088841 47	24598976 1	7510508 46	7401025 50	9905979 49	72330838
9100 49	8325850 47	24963616 1	7486961 46	7036384 50	9911917 49	74257568
9050 49	7656135 47	25298906 1	7466973 46	6701093 50	9917226 49	76062088
9000 49	7065159 47	25608856 1	7449856 46	6391150 50	9922010 49	77758558
8500 49	3644658 47	27762206 1	7363394 46	4237800 50	9952297 49	90324578
8000 49	2215783 47	28977446 1	7336463 46	3022556 50	9967403 49	98045368
7500 49	1482253 47	29754376 1	7326360 46	2456822 50	9976415 49	10323108
7000 49	1055175 47	30291096 1	7322351 46	1708903 50	9982370 49	10693028
6500 49	7841524 46	30681716 1	7320873 46	1318283 50	9986572 49	10968378
6000 49	6009013 46	30976536 1	7320529 46	1023465 50	9989674 49	11179658
5500 49	4707395 46	31204946 1	7320708 46	7950520 49	9992038 49	11345408
5000 49	3745114 46	31385346 1	7321115 46	6146510 49	9993880 49	11477608
4500 49	3009158 46	31529626 1	7321608 46	4703720 49	9995337 49	11584158
4000 49	2429234 46	31645776 1	7322111 46	3542300 49	9996502 49	11670458
3500 49	1959676 46	31739686 1	7322586 46	2603160 49	9997436 49	11740588
3000 49	1569526 46	31815116 1	7323011 46	1848840 49	9998183 49	11797148
2500 49	1237121 46	31875156 1	7323378 46	1248490 49	9998775 49	11842308
2000 49	9466995 45	31921856 1	7323680 46	7814500 48	9999234 49	11877518
1500 49	6863727 45	31956746 1	7323915 46	4325700 48	9999577 49	11903878
1000 49	4467998 45	31981066 1	7324084 46	1893300 48	9999814 49	11928288
5000 48	2202550 45	31995296 1	7324185 46	4710000 47	9999954 49	11933058
0000 00	0000000 00	32000006 1	7324218 46	0000000 00	1000000 50	11936628

34 51 = γ w'	$\frac{\sigma_1(w',\phi)}{\phi_0}$	γ'	$\frac{\sigma_3(\gamma')}{\phi_0}$	E	w	$\frac{\sigma_1(w,\phi)}{\phi_0}$
1000 50	4239255 50	4927536 49	2238792 48	3350724 51	1000000 50*	8651542 46
9990 49	1144120 50	1643386 50	6460149 47	3235661 51	4209121 49	2776784 47
9980 49	6470109 49	2720725 50	3897517 47	3127927 51	6618628 49	4591745 47
9970 49	4451434 49	3731604 50	2854960 47	3026839 51	7614304 49	6327198 47
9960 49	3362812 49	4681951 50	2291913 47	2931804 51	8158256 49	7995988 47
9950 49	2684524 49	5576854 50	1940956 47	2842314 51	8500991 49	9607589 47
9940 49	2223176 49	6421660 50	1702028 47	2757834 51	8736887 49	1117073 48
9930 49	1889651 49	7219577 50	1529669 47	2678042 51	8908995 49	1268940 48
9920 49	1637932 49	7974808 50	1399835 47	2602519 51	9040169 49	1416894 48
9910 49	1441620 49	8690991 50	1298794 47	2530900 51	9143501 49	1561346 48
9900 49	1284415 49	9370836 50	1218186 47	2462916 51	9226977 49	1702513 48
9850 49	8141641 48	1230997 51	9806723 46	2169003 51	9481767 49	2365146 48
9800 49	5819440 48	1465436 51	8677525 46	1934563 51	9611727 49	2965855 48
9750 49	4445967 48	1656727 51	8040353 46	1743272 51	9690518 49	3512346 48
9700 49	3544026 48	1815842 51	7642152 46	1584157 51	9743408 49	4010439 48
9650 49	2909594 48	1950189 51	7375928 46	1449810 51	9781346 49	4464681 48
9600 49	2441591 48	2065204 51	7188846 46	1334795 51	9809904 49	4879836 48
9550 49	2083764 48	2164705 51	7052479 46	1235294 51	9832160 49	5259682 48
9500 49	1802711 48	2251696 51	6950031 46	1148303 51	9850008 49	5608238 48
9450 49	1577023 48	2328328 51	6871277 46	1071671 51	9864625 49	5928518 48
9400 49	1392636 48	2396417 51	6809463 46	1003583 51	9876827 49	6223831 48
9350 49	1239666 48	2457234 51	6760199 46	9427660 50	9887156 49	6496398 48
9300 49	1111229 48	2511959 51	6720315 46	8880409 50	9896022 49	6748930 48
9250 49	1002160 48	2561392 51	6687675 46	8386076 50	9903705 49	6983089 48
9200 49	9087127 47	2606334 51	6660631 46	7936658 50	9910436 49	7201048 48
9150 49	8279358 47	2647298 51	6638052 46	7527020 50	9916373 49	7404000 48
9100 49	7576330 47	2684854 51	6619005 46	7151454 50	9921657 49	7593716 48
9050 49	6960052 47	2719344 51	6602851 46	6806552 50	9926382 49	7771059 48
9000 49	6416901 47	2751193 51	6589028 46	6488067 50	9930638 49	7937499 48
8500 49	3288047 47	2971453 51	6519396 46	4285466 50	9957582 49	9161474 48
8000 49	1990944 47	3095010 51	6497787 46	3049892 50	9971017 49	9906265 48
7500 49	1328318 47	3173730 51	6489690 46	2262698 50	9979030 49	1040361 49
7000 49	9438219 46	3227976 51	6486474 46	1720240 50	9984326 49	1075695 49
6500 49	7004318 46	3267390 51	6485284 46	1326096 50	9988062 49	1101922 49
6000 49	5361809 46	3297102 51	6485000 46	1028979 50	9990820 49	1122005 49
5500 49	4196932 46	3320101 51	6485132 46	7989890 49	9992921 49	1137735 49
5000 49	3336811 46	3338244 51	6485450 46	6175550 49	9994559 49	1150261 49
4500 49	2679682 46	3352749 51	6485836 46	4725030 49	9995855 49	1160348 49
4000 49	2162356 46	3364435 51	6486231 46	3556410 49	9996890 49	1168522 49
3500 49	1743772 46	3373857 51	6486604 46	2614270 49	9997721 49	1175143 49
3000 49	1396219 46	3381432 51	6486939 46	1856740 49	9998385 49	1180487 49
2500 49	1100281 46	3387469 51	6487227 46	1253090 49	9998911 49	1184758 49
2000 49	8418389 45	3392157 51	6487465 46	7842700 48	9999319 49	1188084 49
1500 49	6102686 45	3395659 51	6487650 46	4341000 48	9999624 49	1190572 49
1000 49	3972221 45	3398093 51	6487783 46	1906300 48	9999835 49	1192304 49
5000 48	1958054 45	3399526 51	6487862 46	4739000 47	9999959 49	1193324 49
0000 00	0000000 00	3400000 51	6487889 46	0000000 00	1000000 50	1193662 49

36 51 = γ	$\sigma_4(w',\phi)$	γ'	$\sigma_3(\gamma')$	E	w	$\sigma_1(w,\phi)$
w'	ϕ_0		ϕ_0			ϕ_0
1000 50	4477890 50	4931506 49	2112665 48	3550684 51	1000000 50*	8177301 46
9990 49	1114627 50	1778602 50	5644313 47	3422139 51	4655384 49	2841769 47
9980 49	6217909 49	2977723 50	3371320 47	3302227 51	6919508 49	4757611 47
9970 49	4251650 49	4098935 50	2462670 47	3190106 51	7838120 49	6585194 47
9960 49	3199986 49	5149559 50	1975925 47	3085044 51	8335863 49	8339324 47
9950 49	2547970 49	6135836 50	1674042 47	2986416 51	8648008 49	1003076 48
9940 49	2105995 49	7064203 50	1469250 47	2893579 51	8862190 49	1166923 48
9930 49	1787268 49	7938683 50	1321916 47	2806131 51	9018123 49	1325930 48
9920 49	1547265 49	8764512 50	1211153 47	2723548 51	9136813 49	1480726 48
9910 49	1360243 49	9545138 50	1125187 47	2645486 51	9230124 49	1631584 48
9900 49	1210718 49	1028475 51	1056692 47	2571524 51	9305465 49	1778922 48
9850 49	7644777 48	1346317 51	8556429 46	2253682 51	9535011 49	2468355 48
9800 49	5447363 48	1597646 51	7606159 46	2002353 51	9651857 49	3089917 48
9750 49	4150211 48	1801289 51	7072395 46	1798710 51	9722620 49	3652193 48
9700 49	3299883 48	1969706 51	6740076 46	1630293 51	9770088 49	4161866 48
9650 49	2702841 48	2111233 51	6518593 46	1488766 51	9804121 49	4624305 48
9600 49	2263218 48	2231899 51	6363378 46	1368100 51	9829729 49	5044955 48
9550 49	1927719 48	2335931 51	6250501 46	1264068 51	9849682 49	5428191 48
9500 49	1664678 48	2426602 51	6165880 46	1173397 51	9865679 49	5778466 48
9450 49	1453841 48	2506273 51	6100941 46	1093726 51	9878778 49	6099213 48
9400 49	1281872 48	2576882 51	6050062 46	1023117 51	9889712 49	6393951 48
9350 49	1139453 48	2639833 51	6009562 46	9601666 50	9898965 49	6665243 48
9300 49	1020055 48	2696364 51	5976821 46	9036358 50	9906908 49	6915881 48
9250 49	9188233 47	2747352 51	5950053 46	8526475 50	9913790 49	7147756 48
9200 49	8322051 47	2793625 51	5927903 46	8063744 50	9919819 49	7363048 48
9150 49	7574350 47	2835746 51	5909426 46	7642531 50	9925137 49	7563109 48
9100 49	6924426 47	2874316 51	5893854 46	7256833 50	9929869 49	7749768 48
9050 49	6355418 47	2909702 51	5880654 46	6902978 50	9934100 49	7923970 48
9000 49	5854474 47	2942338 51	5869369 46	6576620 50	9937912 49	8087171 48
8500 49	2981466 47	3167145 51	5812657 46	4328550 50	9962035 49	9279632 48
8000 49	1798714 47	3292552 51	5795120 46	3074480 50	9974061 49	9998800 48
7500 49	1197179 47	3372183 51	5788557 46	2278166 50	9981234 49	1047641 49
7000 49	8492150 46	3426960 51	5785948 46	1730396 50	9985973 49	1081465 49
6500 49	6294384 46	3466687 51	5784978 46	1333122 50	9989317 49	1106499 49
6000 49	4813800 46	3496604 51	5784742 46	1033960 50	9991785 49	1125633 49
5500 49	3765208 46	3519741 51	5784843 46	8025850 49	9993666 49	1140599 49
5000 49	2991837 46	3537997 51	5785093 46	6200270 49	9995131 49	1152512 49
4500 49	2401508 46	3552564 51	5785400 46	4743530 49	9996291 49	1162084 49
4000 49	1937150 46	3564302 51	5785714 46	3569720 49	9997217 49	1169839 49
3500 49	1561686 46	3573767 51	5786011 46	2623290 49	9997960 49	1176120 49
3000 49	1250115 46	3581369 51	5786278 46	1863030 49	9998555 49	1181184 49
2500 49	9849476 45	3587421 51	5786509 46	1257890 49	9999026 49	1185226 49
2000 49	7534795 45	3592124 51	5786698 46	7875400 48	9999391 49	1188375 49
1500 49	5461560 45	3595650 51	5786846 46	4349300 48	9999663 49	1190740 49
1000 49	3554611 45	3598082 51	5786952 46	1917100 48	9999852 49	1192373 49
5000 48	1752117 45	3599520 51	5787015 46	4795000 47	9999963 49	1193339 49
0000 00	0000000 00	3600000 51	5787037 46	0000000 00	1000000 50	1193668 49

38 51 = γ w'	$\frac{\sigma_4(w',\phi)}{\phi_0}$	γ'	$\frac{\sigma_3(\gamma')}{\phi_0}$	E	w	$\frac{\sigma_1(w,\phi)}{\phi_0}$
1000 50	4716535 50	4935064 49	1999991 48	3750649 51	1000000 50*	7752360 46
9990 49	1084950 50	1921013 50	4956952 47	3607898 51	5057570 49	2911357 47
9980 49	5978518 49	3247657 50	2935156 47	3475234 51	7184014 49	4927103 47
9970 49	4065472 49	4483806 50	2139425 47	3351619 51	8032910 49	6845591 47
9960 49	3049514 49	5638180 50	1716289 47	3236182 51	8489536 49	8683376 47
9950 49	2422645 49	6719003 50	1454915 47	3128099 51	8774842 49	1045364 48
9940 49	1998794 49	7732965 50	1278254 47	3026703 51	8969992 49	1216549 48
9930 49	1693987 49	8686053 50	1151404 47	2931394 51	9111886 49	1382588 48
9920 49	1464773 49	9583621 50	1056266 47	2841637 51	9219710 49	1544019 48
9910 49	1286406 49	1042999 51	9825640 46	2757000 51	9304385 49	1701177 48
9900 49	1143957 49	1123012 51	9239332 46	2676987 51	9372695 49	1854513 48
9850 49	7196970 48	1464873 51	7524501 46	2335126 51	9580505 49	2569792 48
9800 49	5113059 48	1732937 51	6718449 46	2067062 51	9686102 49	3211107 48
9750 49	3885138 48	1948691 51	6267651 46	1851308 51	9749993 49	3788010 48
9700 49	3081589 48	2126158 51	5987978 46	1673841 51	9792826 49	4308157 48
9650 49	2518390 48	2274614 51	5802142 46	1525385 51	9823523 49	4777758 48
9600 49	2104444 48	2400713 51	5672232 46	1399286 51	9846614 49	5203010 48
9550 49	1789105 48	2509064 51	5577976 46	1290935 51	9864602 49	5588824 48
9500 49	1542316 48	2603238 51	5507445 46	1196761 51	9879021 49	5940161 48
9450 49	1344850 48	2685783 51	5453411 46	1114217 51	9890826 49	6260805 48
9400 49	1184055 48	2758781 51	5411139 46	1041218 51	9900678 49	6554557 48
9350 49	1051101 48	2823734 51	5377535 46	976251 50	9909016 49	6824192 48
9300 49	9398051 47	2881961 51	5350403 46	918038 50	9916172 49	7078663 48
9250 49	8455745 47	2934393 51	5328246 46	865606 50	9922372 49	7301989 48
9200 49	7650622 47	2981924 51	5309923 46	818075 50	9927803 49	7514588 48
9150 49	6956504 47	3025133 51	5294653 46	774866 50	9932593 49	7711642 48
9100 49	6353842 47	3064646 51	5281797 46	735353 50	9936855 49	7895191 48
9050 49	5826794 47	3100853 51	5270910 46	699146 50	9940666 49	8066103 48
9000 49	5363294 47	3134217 51	5261605 46	665782 50	9944099 49	8226151 48
8500 49	2715919 47	3363211 51	5214952 46	436789 50	9965823 49	9388122 48
8000 49	1633059 47	3490317 51	5200570 46	309682 50	9976650 49	1000386 49
7500 49	1084558 47	3570792 51	5195194 46	229807 50	9983108 49	1054268 49
7000 49	7681489 46	3626027 51	5193057 46	173972 50	9987374 49	1086689 49
6500 49	5687173 46	3666053 51	5192259 46	133946 50	9990384 49	1110641 49
6000 49	4345699 46	3696148 51	5192061 46	103851 50	9992606 49	1128908 49
5500 49	3396839 46	3719423 51	5192138 46	805768 49	9994298 49	1143187 49
5000 49	2697702 46	3737760 51	5192338 46	628397 49	9995617 49	1154538 49
4500 49	2164510 46	3752403 51	5192584 46	475970 49	9996661 49	1163650 49
4000 49	1745379 46	3764183 51	5192838 46	358169 49	9997495 49	1171088 49
3500 49	1406699 46	3773686 51	5193078 46	263139 49	9998164 49	1177000 49
3000 49	1125803 46	3781320 51	5193293 46	186797 49	9998699 49	1181816 49
2500 49	8868415 45	3787378 51	5193479 46	126218 49	9999123 49	1185648 49
2000 49	6783380 45	3792103 51	5193632 46	78967 48	9999458 49	1188643 49
1500 49	4916368 45	3795629 51	5193752 46	43703 48	9999697 49	1190888 49
1000 49	3199568 45	3798080 51	5193837 46	19195 48	9999867 49	1192440 49
5000 48	1577046 45	3799523 51	5193888 46	47650 47	9999967 49	1193388 49
0000 00	0000000 00	3800000 51	5193906 46	0000000 00	1000000 50	1193668 49

40 51 = γ	$\sigma_1(w',\phi)$	γ'	$\sigma_2(\gamma')$	E	w	$\sigma_1(w,\phi)$
w'	ϕ_0		ϕ_0			ϕ_0
1000 50	4955189 50	4938271 49	1898726 48	3950617 51	1000000 50*	7369407 47
9990 49	1055497 50	2070493 50	4374520 47	3792950 51	5420232 49	2984682 47
9980 49	5751839 49	3530385 50	2570778 47	3646961 51	7417447 49	5099515 47
9970 49	3891909 49	4885980 50	1870730 47	3511401 51	8203327 49	7107794 47
9960 49	2910689 49	6148076 50	1500807 47	3385192 51	8623474 49	9028666 47
9950 49	2307379 49	7325755 50	1273302 47	3267424 51	8884953 49	10875688 48
9940 49	1900652 49	8427709 50	1119937 47	3157229 51	9063437 49	12659988 48
9930 49	1608725 49	9460818 50	1010062 47	3053918 51	9193009 49	14388883 48
9920 49	1389477 49	1043093 51	9278452 46	2956906 51	9291313 49	16067266 48
9910 49	1219234 49	1134476 51	8641803 46	2865523 51	9368535 49	17701718 48
9900 49	1083256 49	1220560 51	8136810 46	2779439 51	9430704 49	19299268 48
9850 49	6791622 48	1586480 51	6663997 46	2413519 51	9619673 49	26694668 48
9800 49	4811296 48	1871099 51	5975332 46	2128900 51	9715555 49	33294778 48
9750 49	3646450 48	2098724 51	5591760 46	1901276 51	9773520 49	39199398 48
9700 49	2885458 48	2284983 51	5354601 46	1715016 51	9812360 49	44495218 48
9650 49	2353030 48	2440131 51	5197456 46	1559868 51	9840186 49	49253548 48
9600 49	1962400 48	2571441 51	5087868 46	1428558 51	9861112 49	53543798 48
9550 49	1665353 48	2683922 51	5008521 46	1316077 51	9877411 49	57420848 48
9500 49	1433288 48	2781432 51	4949251 46	1218567 51	9890473 49	60939188 48
9450 49	1247914 48	2866701 51	4903917 46	1133298 51	9901166 49	64139898 48
9400 49	1097206 48	2941955 51	4868502 46	1058044 51	9910090 49	67063718 48
9350 49	9727836 47	3008794 51	4840384 46	9912053 50	9917640 49	69740508 48
9300 49	8687811 47	3068623 51	4817704 46	9313764 50	9924120 49	72201718 48
9250 49	7808425 47	3122414 51	4799203 46	8775857 50	9929735 49	74468108 48
9200 49	7057998 47	3171109 51	4783919 46	8288901 50	9934653 49	76564338 48
9150 49	6411837 47	3215330 51	4771190 46	7846693 50	9938989 49	78505158 48
9100 49	5851447 47	3255727 51	4760480 46	7442724 50	9942848 49	80309518 48
9050 49	5361904 47	3292712 51	4751415 46	7072878 50	9946298 49	81988078 48
9000 49	4931794 47	3326757 51	4743675 46	6732426 50	9949406 49	83555958 48
8500 49	2484407 47	3559618 51	4704948 46	4403817 50	9969071 49	94881558 48
8000 49	1489298 47	3688281 51	4693042 46	3117188 50	9978870 49	10160679 49
7500 49	9871223 46	3769530 51	4688596 46	2304691 50	9984714 49	10603219 49
7000 49	6981659 46	3825188 51	4686828 46	1748111 50	9988575 49	10914529 49
6500 49	5163752 46	3865466 51	4686166 46	1345337 50	9991299 49	11144019 49
6000 49	3942734 46	3895749 51	4685999 46	1042503 50	9993309 49	11318909 49
5500 49	3079985 46	3919124 51	4686060 46	8087510 49	9994841 49	11455299 49
5000 49	2444909 46	3937550 51	4686222 46	6244950 49	9996034 49	11563659 49
4500 49	1960923 46	3952241 51	4686422 46	4775890 49	9996979 49	11650609 49
4000 49	1580733 46	3964069 51	4686628 46	3593030 49	9997734 49	11720969 49
3500 49	1273681 46	3973599 51	4686824 46	2640060 49	9998339 49	11777879 49
3000 49	1019142 46	3981256 51	4687000 46	1874370 49	9998823 49	11823759 49
2500 49	8027006 45	3987352 51	4687151 46	1264790 49	9999206 49	11860379 49
2000 49	6138997 45	3992079 51	4687276 46	7920300 48	9999504 49	11888839 49
1500 49	4448938 45	3995680 51	4687374 46	4379200 48	9999726 49	11910179 49
1000 49	2895183 45	3998080 51	4687444 46	1919100 48	9999879 49	11925029 49
5000 48	1426957 45	3999580 51	4687486 46	4799000 47	9999970 49	11933729 49
0000 00	0000000 00	4000000 51	4687500 46	0000000 00	1000000 50	11936629 49

42 51 = γ w'	$\frac{\sigma_4(w',\phi)}{\phi_0}$	γ'	$\frac{\sigma_3(\gamma')}{\phi_0}$	E	w	$\frac{\sigma_1(w,\phi)}{\phi_0}$
10000 50	51938510 50	49411760 49	18072220 48	41505880 51	10000000 50*	70225130 46
9990 49	10264870 50	22270510 50	38780640 47	39772940 51	57478530 49	30612290 47
9980 49	55375970 49	38257310 50	22641720 47	38174860 51	76242150 49	52742250 47
9970 49	37298880 49	53049090 50	16456700 47	36695090 51	83530490 49	73708750 47
9960 49	27820110 49	66781250 50	13206170 47	35321870 51	87406690 49	93735990 47
9950 49	22011370 49	79555110 50	11214660 47	34044480 51	89811050 49	11296460 48
9940 49	18104710 49	91474710 50	98756820 46	32852520 51	91448970 49	13151920 48
9930 49	15305820 49	10262040 51	89184370 46	31737950 51	92636300 49	14947790 48
9920 49	13207060 49	11306580 51	82031500 46	30693410 51	93536550 49	16690280 48
9910 49	11577650 49	12287040 51	76508150 46	29712950 51	94242290 49	18383270 48
9900 49	10278680 49	13209910 51	72127170 46	28790080 51	94810880 49	20031750 48
9850 49	64232340 48	17109710 51	59397230 46	24890280 51	96536310 49	27674000 48
9800 49	45377660 48	20119500 51	53474620 46	21880500 51	97410650 49	34451020 48
9750 49	34305770 48	22511910 51	50188750 46	19488080 51	97938850 49	40481010 48
9700 49	27084690 48	24459970 51	48163590 46	17540030 51	98292630 49	45861770 48
9650 49	22041290 48	26076070 51	46825300 46	15923920 51	98546010 49	50674010 48
9600 49	18347450 48	27439110 51	45894210 46	14560880 51	98736520 49	54994370 48
9550 49	15543590 48	28603440 51	45221310 46	13396550 51	98884870 49	58884360 48
9500 49	13356820 48	29610300 51	44719530 46	12389690 51	99003750 49	62402670 48
9450 49	11612830 48	30488800 51	44336320 46	11511190 51	99101060 49	65593470 48
9400 49	10197220 48	31262770 51	44037300 46	10737220 51	99182350 49	68500830 48
9350 49	90301860 47	31948960 51	43800200 46	10051040 51	99250960 49	71155700 48
9300 49	80560450 47	32562340 51	43609120 46	94376600 50	99309910 49	73591680 48
9250 49	72333980 47	33112990 51	43453430 46	88870050 50	99360990 49	75830010 48
9200 49	65322470 47	33610930 51	43324900 46	83890670 50	99405720 49	77896670 48
9150 49	59291910 47	34062580 51	43217950 46	79374140 50	99445170 49	79806740 48
9100 49	54067350 47	34474760 51	43128030 46	75252340 50	99480270 49	81579760 48
9050 49	49507910 47	34851790 51	43051960 46	71482010 50	99511650 49	83226860 48
9000 49	45505770 47	35198590 51	42987050 46	68014040 50	99539930 49	84763420 48
8500 49	22813310 47	37563160 51	42662860 46	44368330 50	99718770 49	95806400 48
8000 49	13637340 47	38864190 51	42563470 46	31358040 50	99807880 49	10231900 49
7500 49	90225390 46	39683760 51	42526380 46	23162380 50	99861020 49	10658700 49
7000 49	63733350 46	40244320 51	42511630 46	17556750 50	99896120 49	10958150 49
6500 49	47094640 46	40649540 51	42506090 46	13504590 50	99920890 49	11178470 49
6000 49	35933260 46	40953850 51	42504680 46	10461420 50	99939170 49	11346090 49
5500 49	28055030 46	41188660 51	42505150 46	81133400 49	99953100 49	11476700 49
5000 49	22260510 46	41373560 51	42506480 46	62643700 49	99963950 49	11580330 49
4500 49	17847820 46	41521120 51	42508120 46	47887100 49	99972530 49	11663540 49
4000 49	14383360 46	41639730 51	42509820 46	36026700 49	99979390 49	11730730 49
3500 49	11586820 46	41735310 51	42511430 46	26468500 49	99984900 49	11785100 49
3000 49	92695720 45	41812090 51	42512880 46	18790400 49	99989300 49	11828900 49
2500 49	72998670 45	41873200 51	42514130 46	12680000 49	99992780 49	11863850 49
2000 49	55823580 45	41920590 51	42515160 46	79406000 48	99995490 49	11891010 49
1500 49	40451340 45	41956120 51	42515970 46	43878000 48	99997510 49	11911400 49
1000 49	26322490 45	41980780 51	42516540 46	19219000 48	99998900 49	11925560 49
5000 48	12973220 45	41995230 51	42516890 46	47620000 47	99999720 49	11933880 49
0000 00	00000000 00	42000000 51	42517000 46	00000000 00	10000000 50	11936610 49

44 51 = γ	$\sigma_1(w',\phi)$	γ'	$\sigma_2(\gamma')$	E	w	$\sigma_1(w,\phi)$
w'	ϕ_0		ϕ_0			ϕ_0
1000 50	54325185 0	49438204 9	17241324 8	43505615 1	10000000 50*	67068124 6
9990 49	99807904 9	23906965 0	34525484 7	41609305 1	60443914 9	31405734 7
9980 49	53352074 9	41336005 0	20044054 7	39866395 1	78080744 9	54509324 7
9970 49	35790044 9	57410335 0	14555714 7	38258965 1	84854254 9	76354334 7
9960 49	26626624 9	72281665 0	11687184 7	36771835 1	88437954 9	97182064 7
9950 49	21029954 9	86077054 0	99351094 6	35392295 1	90655234 9	11715684 8
9940 49	17274884 9	98918844 0	87596514 6	34108115 1	92163424 9	13641594 8
9930 49	14587464 9	11088935 1	79214574 6	32911065 1	93254734 9	15502614 8
9920 49	12574844 9	12208035 1	72961714 6	31791965 1	94081404 9	17306394 8
9910 49	11014764 9	13256995 1	68136614 6	30743005 1	94729544 9	19058594 8
9900 49	97716324 8	14241875 1	64316344 6	29758125 1	95251174 9	20762314 8
9850 49	60871864 8	18381885 1	53249334 6	25618115 1	96832594 9	28636144 8
9800 49	42888644 8	21553175 1	48124904 6	22446824 1	97633034 9	35580544 8
9750 49	32345574 8	24059185 1	45292564 6	19940814 1	98116314 9	41726194 8
9700 49	25480914 8	26090195 1	43552244 6	17909804 1	98439874 9	47182984 8
9650 49	20694814 8	27768695 1	42405064 6	16231304 1	98671544 9	52041384 8
9600 49	17195524 8	29179805 1	41608664 6	14820194 1	98845704 9	56385684 8
9550 49	14543924 8	30381955 1	41034154 6	13618044 1	98981294 9	60283314 8
9500 49	12479304 8	31419105 1	40606424 6	12580894 1	99089944 9	63797314 8
9450 49	10835294 8	32322115 1	40280254 6	11677884 1	99178874 9	66974864 8
9400 49	95028564 7	33116344 1	40026024 6	10883654 1	99253064 9	69863014 8
9350 49	84059064 7	33819344 1	39824684 6	10180654 1	99315834 9	72494144 8
9300 49	74914274 7	34446804 1	39662594 6	95532004 0	99369704 9	74902964 8
9250 49	67202064 7	35009624 1	39530574 6	89903744 0	99416364 9	77113114 8
9200 49	60635714 7	35517834 1	39421724 6	84821694 0	99457234 9	79149574 8
9150 49	54994294 7	35978374 1	39331194 6	80216844 0	99493274 9	81038984 8
9100 49	50111534 7	36398214 1	39255134 6	76017824 0	99525344 9	82770754 8
9050 49	45854684 7	36782054 1	39190814 6	72179484 0	99554004 9	84387164 8
9000 49	42121164 7	37134724 1	39135974 6	68652754 0	99579834 9	85892794 8
8500 49	21022164 7	39532764 1	38862534 6	44672344 0	99743184 9	96664194 8
8000 49	12534144 7	40847044 1	38778904 6	31529514 0	99824574 9	10397684 9
7500 49	82788044 6	41673134 1	38747734 6	23268614 0	99873094 9	10709734 9
7000 49	58411674 6	42237274 1	38735314 6	17627304 0	99905154 9	10998134 9
6500 49	43125654 6	42644704 1	38730664 6	13553004 0	99927764 9	11209984 9
6000 49	32883714 6	42950394 1	38729444 6	10496054 0	99944464 9	11378924 9
5500 49	25661474 6	43186334 1	38729834 6	81366504 9	99957174 9	11496304 9
5000 49	20352094 6	43370644 1	38730914 6	62936004 9	99967014 9	11594964 9
4500 49	16313494 6	43519944 1	38732894 6	48006004 9	99974984 9	11675334 9
4000 49	13143464 6	43638824 1	38733704 6	36117204 9	99981184 9	11739654 9
3500 49	10585804 6	43734634 1	38735044 6	26536404 9	99986214 9	11791664 9
3000 49	84673614 5	43811664 1	38736244 6	18833804 9	99990834 9	11833604 9
2500 49	66672594 5	43872974 1	38737284 6	12702104 9	99993414 9	11867074 9
2000 49	50979964 5	43920574 1	38738144 6	79426004 8	99995884 9	11893094 9
1500 49	36939194 5	43956094 1	38738804 6	43903004 8	99997724 9	11912844 9
1000 49	24035614 5	43980644 1	38739284 6	19351004 8	99999004 9	11928604 9
5000 48	11845754 5	43995164 1	38739574 6	48390004 7	99999754 9	11933964 9
0000 00	00000000 0	44000004 1	38739674 6	00000000 0	10000004 8	11936614 9

46 51 = γ W'	$\frac{\sigma_1(w',\phi)}{\phi_0}$	γ'	$\frac{\sigma_3(\gamma')}{\phi_0}$	E	w	$\frac{\sigma_1(w,\phi)}{\phi_0}$
1000 50	5671191 50	4946236 49	1648347 48	4550537 51	1000000 50*	6418279 46
9990 49	9704395 49	2561301 50	3086104 47	4343869 51	6313125 49	3222194 47
9980 49	5144088 49	4453860 50	1782932 47	4154614 51	7972147 49	5628960 47
9970 49	3437876 49	6193383 50	1294068 47	3980661 51	8602765 49	7900111 47
9960 49	2551659 49	7797463 50	1039790 47	3820253 51	8934923 49	1006173 48
9950 49	2012141 49	9281799 50	8848852 46	3671820 51	9140014 49	1213309 48
9940 49	1650708 49	1065914 51	7812447 46	3534085 51	9279229 49	1412707 48
9930 49	1392539 49	1194066 51	7074297 46	3405933 51	9379916 49	1605315 48
9920 49	1199405 49	1313602 51	6524520 46	3286397 51	9456126 49	1791829 48
9910 49	1049782 49	1425361 51	6101050 46	3174638 51	9515815 49	1972763 48
9900 49	9305980 48	1530033 51	5766335 46	3069966 51	9563810 49	2148433 48
9850 49	5779595 48	1967991 51	4799025 46	2632008 51	9709258 49	2958145 48
9800 49	4061539 48	2301038 51	4353182 46	2298961 51	9782805 49	3668385 48
9750 49	3055923 48	2562753 51	4107631 46	2037246 51	9827186 49	4293638 48
9700 49	2402246 48	2773915 51	3957195 46	1826084 51	9856889 49	4846118 48
9650 49	1947270 48	2947780 51	3858276 46	1652219 51	9878152 49	5335851 48
9600 49	1615200 48	3093510 51	3789741 46	1506489 51	9894134 49	5772089 48
9550 49	1363999 48	3217344 51	3740386 46	1382655 51	9906575 49	6162144 48
9500 49	1168712 48	3323934 51	3703700 46	1276065 51	9916543 49	6512697 48
9450 49	1013457 48	3416580 51	3675757 46	1183419 51	9924700 49	6828892 48
9400 49	8877998 47	3497918 51	3654005 46	1102081 51	9931506 49	7115552 48
9350 49	7844935 47	3569818 51	3636792 46	1030181 51	9937264 49	7376169 48
9300 49	6984764 47	3633901 51	3622950 46	9660982 50	9942205 49	7614280 48
9250 49	6260178 47	3691313 51	3611686 46	9086869 50	9946485 49	7832346 48
9200 49	5643958 47	3743113 51	3602400 46	8568869 50	9950233 49	8033007 48
9150 49	5115045 47	3789999 51	3594688 46	8100009 50	9953538 49	8217876 48
9100 49	4657692 47	3832705 51	3588211 46	7672946 50	9956479 49	8388978 48
9050 49	4259321 47	3871717 51	3582737 46	7282825 50	9959108 49	8547565 48
9000 49	3910222 47	3907542 51	3578071 46	6924572 50	9961476 49	8695140 48
8500 49	1943436 47	4150474 51	3554845 46	4495254 50	9976455 49	9746223 48
8000 49	1155970 47	4283126 51	3547759 46	3168734 50	9983917 49	1035848 49
7500 49	7623390 46	4366329 51	3545120 46	2336702 50	9988366 49	1075682 49
7000 49	5373015 46	4423089 51	3544069 46	1769103 50	9991305 49	1103503 49
6500 49	3963804 46	4464020 51	3543673 46	1359794 50	9993378 49	1123896 49
6000 49	3020678 46	4494739 51	3543567 46	1052605 50	9994908 49	1139383 49
5500 49	2356145 46	4518399 51	3543598 46	8160050 49	9996074 49	1151420 49
5000 49	1868102 46	4537034 51	3543690 46	6296590 49	9996982 49	1160967 49
4500 49	1496868 46	4551862 51	3543804 46	4813780 49	9997701 49	1168606 49
4000 49	1205729 46	4563807 51	3543923 46	3619280 49	9998275 49	1174786 49
3500 49	9709152 45	4573408 51	3544035 46	2659160 49	9998736 49	1179772 49
3000 49	7764998 45	4581139 51	3544136 46	1886050 49	9999104 49	1183797 49
2500 49	6113394 45	4587254 51	3544223 46	1274520 49	9999396 49	1186989 49
2000 49	4674079 45	4592036 51	3544295 46	7963500 48	9999622 49	1189489 49
1500 49	3386529 45	4595602 51	3544351 46	4397100 48	9999791 49	1191356 49
1000 49	2203453 45	4598075 51	3544391 46	1924700 48	9999908 49	1192652 49
5000 48	1085915 45	4599513 51	3544415 46	4866000 47	9999977 49	1193406 49
0000 00	0000000 00	4600000 51	3544423 46	0000000 00	1000000 50	1193661 49

48 51 = γ w'	$\sigma_1(w',\phi)/\phi_0$	γ'	$\sigma_2(\gamma')/\phi_0$	E	w	$\sigma_1(w,\phi)/\phi_0$
1000 50	5909869 50	4948453 49	1578943 48	4750515 51	1000000 50*	6153550 46
9990 49	9436295 49	2738872 50	2768959 47	4526112 51	6557196 49	3305829 47
9980 49	4963667 49	4786332 50	1593011 47	4321366 51	8119051 49	5808241 47
9970 49	3305846 49	6661979 50	1155928 47	4133802 51	8707277 49	8165026 47
9960 49	2448577 49	8386571 50	9295294 46	3961342 51	9015951 49	1040524 48
9950 49	1927854 49	9977268 50	7920426 46	3802273 51	9206054 49	1254850 48
9940 49	1579709 49	1144973 51	7002253 46	3655026 51	9334951 49	1460996 48
9930 49	1331359 49	1281643 51	6349428 46	3518356 51	9428085 49	1659927 48
9920 49	1145759 49	1408835 51	5863929 46	3391165 51	9498527 49	1852375 48
9910 49	1002040 49	1527451 51	5490609 46	3272548 51	9553647 49	2038804 48
9900 49	8877089 48	1638422 51	5195638 46	3161577 51	9597990 49	2219783 48
9850 49	5497122 48	2100238 51	4345965 46	2699761 51	9732197 49	3051010 48
9800 49	3853251 48	2448979 51	3956061 46	2351020 51	9800000 49	3776186 48
9750 49	2892567 48	2721545 51	3742065 46	2078454 51	9840895 49	4411258 48
9700 49	2269134 48	2940524 51	3611321 46	1859475 51	9868258 49	4969767 48
9650 49	1835961 48	3120209 51	3525545 46	1679790 51	9887841 49	5462784 48
9600 49	1520339 48	3270385 51	3466233 46	1529614 51	9902558 49	5900324 48
9550 49	1281933 48	3397623 51	3423610 46	1402376 51	9914009 49	6290063 48
9500 49	1096952 48	3507032 51	3391939 46	1292967 51	9923191 49	6639690 48
9450 49	9500747 47	3601898 51	3367861 46	1198101 51	9930701 49	6954044 48
9400 49	8313604 47	3685055 51	3349139 46	1114944 51	9936966 49	7238381 48
9350 49	7338883 47	3758461 51	3334339 46	1041538 51	9942267 49	7496353 48
9300 49	6528307 47	3823823 51	3322443 46	9761763 50	9946814 49	7731672 48
9250 49	5846206 47	3882299 51	3312770 46	9177009 50	9950754 49	7946756 48
9200 49	5266705 47	3935004 51	3304809 46	8649958 50	9954204 49	8144360 48
9150 49	4769816 47	3982678 51	3298195 46	8173220 50	9957246 49	8326201 48
9100 49	4340570 47	4026083 51	3292641 46	7739163 50	9959952 49	8494353 48
9050 49	3966942 47	4065679 51	3287954 46	7343203 50	9962371 49	8649924 48
9000 49	3639786 47	4102020 51	3283961 46	6979800 50	9964551 49	8794550 48
8500 49	1802014 47	4347876 51	3264106 46	4521235 50	9978335 49	9820617 48
8000 49	1069469 47	4481665 51	3258062 46	3183345 50	9985202 49	1041497 49
7500 49	7042894 46	4565431 51	3255812 46	2345682 50	9989295 49	1080048 49
7000 49	4958963 46	4622495 51	3254916 46	1775048 50	9992000 49	1106911 49
6500 49	3655739 46	4663628 51	3254578 46	1363719 50	9993907 49	1126581 49
6000 49	2784381 46	4694453 51	3254488 46	1055463 50	9995315 49	1141492 49
5500 49	2170919 46	4718197 51	3254513 46	8180220 49	9996388 49	1153077 49
5000 49	1720664 46	4736882 51	3254589 46	6311800 49	9997223 49	1162255 49
4500 49	1378368 46	4751760 51	3254686 46	4823990 49	9997885 49	1169602 49
4000 49	1109985 46	4763621 51	3254784 46	3637880 49	9998408 49	1175484 49
3500 49	8937034 45	4773353 51	3254880 46	2664680 49	9998837 49	1180326 49
3000 49	7146458 45	4781089 51	3254965 46	1891020 49	9999176 49	1184187 49
2500 49	5625862 45	4787246 51	3255039 46	1275320 49	9999444 49	1187265 49
2000 49	4300923 45	4792018 51	3255099 46	7981600 48	9999652 49	1189656 49
1500 49	3115949 45	4795580 51	3255147 46	4419600 48	9999808 49	1191442 49
1000 49	2027316 45	4798065 51	3255181 46	1934600 48	9999915 49	1192690 49
5000 48	9990886 44	4799516 51	3255201 46	4838000 47	9999979 49	1193418 49
0000 00	0000000 00	4800000 51	3255208 46	0000000 00	1000000 50	1193661 49

Compton Cross Sections vs. Angle of Recoil Electron

50 51 = γ w'	$\frac{\sigma_4(w',\phi)}{\phi_0}$	γ'	$\frac{\sigma_3(\gamma')}{\phi_0}$	E	w	$\frac{\sigma_1(w,\phi)}{\phi_0}$
1000 50	61485535 0	49504954 9	15151484 8	49504954 51	10000000 50*	59097974 6
9990 49	91769684 9	29233744 0	24932374 7	47076624 51	67792944 9	33911924 7
9980 49	47932504 9	51309314 0	14292354 7	44869064 51	82510364 9	59884744 7
9970 49	31821954 9	71465274 0	10370794 7	42853474 51	88007194 9	84298964 7
9960 49	23523574 9	89941644 0	83474864 6	41005834 51	90881684 9	10747254 8
9950 49	18494964 9	10693584 1	71219224 6	39306414 51	92648594 9	12961764 8
9940 49	15138414 9	12262644 1	63050534 6	37737354 51	93845154 9	15089574 8
9930 49	12746894 9	13715504 1	57251984 6	36284494 51	94708984 9	17140914 8
9920 49	10961244 9	15064624 1	52945754 6	34935384 51	95361934 9	19123514 8
9910 49	95795254 8	16320164 1	49638814 6	33679834 51	95872614 9	21042164 8
9900 49	84809804 8	17492544 1	47028874 6	32507454 51	96283274 9	22902914 8
9850 49	52369584 8	22348114 1	39531094 6	27651884 51	97525344 9	31422514 8
9800 49	36618074 8	25990024 1	36105064 6	24009974 51	98152364 9	38815184 8
9750 49	27427344 8	28821764 1	34230884 6	21178234 51	98530394 9	45256344 8
9700 49	21472844 8	31087474 1	33088914 6	18912524 51	98783264 9	50894804 8
9650 49	17342484 8	32940354 1	32341404 6	17059644 51	98964214 9	55851594 8
9600 49	14338174 8	34484894 1	31825384 6	15515104 51	99100174 9	60235394 8
9550 49	12072774 8	35790984 1	31455034 6	14209014 51	99205994 9	64129454 8
9500 49	10317144 8	36910854 1	31180464 6	13089144 51	99290764 9	67610014 8
9450 49	89253664 7	37880654 1	30971874 6	12119344 51	99360134 9	70733074 8
9400 49	78020164 7	38729664 1	30809804 6	11270334 51	99417994 9	73552364 8
9350 49	68807884 7	39478104 1	30681814 6	10521904 51	99466944 9	76105084 8
9300 49	61155074 7	40143554 1	30579064 6	09856474 50	99508944 9	78428864 8
9250 49	54722704 7	40738504 1	30495564 6	09261494 50	99545324 9	80550264 8
9200 49	49263074 7	41274214 1	30426834 6	08725784 50	99577184 9	82496334 8
9150 49	44585984 7	41758364 1	30369794 6	08241634 50	99605274 9	84284734 8
9100 49	40548794 7	42198724 1	30321954 6	07801274 50	99630264 9	85936144 8
9050 49	37037804 7	42600324 1	30281554 6	07399674 50	99652604 9	87462954 8
9000 49	33965924 7	42968804 1	30247144 6	07031204 50	99672724 9	88881414 8
8500 49	16755004 7	45454544 1	30076424 6	04545454 50	99800004 9	98901064 8
8000 49	99233284 6	46803114 1	30024554 6	03196874 50	99863394 9	10467574 9
7500 49	65262964 6	47646044 1	30005254 6	02353954 50	99901184 9	10841044 9
7000 49	45910094 6	48219494 1	29997574 6	01780504 50	99926144 9	11100734 9
6500 49	33822154 6	48632454 1	29994664 6	01367544 50	99943764 9	11290584 9
6000 49	25747634 6	48941874 1	29993894 6	01058124 50	99956754 9	11434424 9
5500 49	20067124 6	49180164 1	29994094 6	00819834 49	99966654 9	11546114 9
5000 49	15900134 6	49367354 1	29994744 6	00632644 49	99974374 9	11634424 9
4500 49	12734054 6	49516714 1	29995554 6	00483284 49	99980474 9	11705254 9
4000 49	10253024 6	49636664 1	29996404 6	00363404 49	99985354 9	11762354 9
3500 49	82535404 5	49733184 1	29997204 6	00266814 49	99989264 9	11808464 9
3000 49	65990614 5	49810714 1	29997934 6	00189284 49	99992394 9	11845604 9
2500 49	51943394 5	49872074 1	29998564 6	00127924 49	99994874 9	11875054 9
2000 49	39707514 5	49920124 1	29999074 6	00079724 48	99996794 9	11898144 9
1500 49	28765714 5	49955784 1	29999484 6	00044214 48	99998234 9	11915314 9
1000 49	18714804 5	49980504 1	29999774 6	00019494 48	99999224 9	11927224 9
5000 48	92227624 4	49995254 1	29999944 6	00004744 47	99999804 9	11934334 9
0000 00	00000000 0	50000004 1	30000004 6	00000000 0	10000004 0	11936614 9

Integrated Cross Sections and Integrals for Average Energies

$\gamma = 10\ 49$ γ_1'	$\int_{\gamma_1'}^{\gamma}\left[\frac{\sigma_s(\gamma')}{\phi_0}\right]d\gamma'$	$\int_{\gamma_1'}^{\gamma}\left[\frac{\gamma'\sigma_s(\gamma')}{\phi_0}\right]d\gamma'$	$\int_0^{E=\gamma-\gamma_1'}[E'\sigma_s(E')/\phi_0]\,dE'$	γ_1'
1000 49	0000000 00	0000000 00	0000000 00	1000 49
9800 48	1358250 49	1345301 48	1294870 46	9800 48
9600 48	2469375 49	2423351 48	4602370 46	9600 48
9400 48	3392625 49	3300423 48	9220120 46	9400 48
9200 48	4195500 49	4047356 48	1481437 47	9200 48
9000 48	4956000 49	4739250 48	2167500 47	9000 48
8800 48	5762250 49	5456400 48	3058500 47	8800 48
8600 48	6714750 49	6285000 48	4297500 47	8600 48
8400 48	7928625 49	7316250 48	6123750 47	8400 48
8333 48	8413416 49	7721812 48	6916043 47	8333 48

$\gamma = 20$ 49 γ_i'	$\int_{\gamma_i'}^{\gamma}\left[\frac{\sigma_3(\gamma')}{\phi_0}\right]d\gamma'$	$\int_{\gamma_i'}^{\gamma}\left[\frac{\gamma'\sigma_3(\gamma')}{\phi_0}\right]d\gamma'$	$\int_0^{E=\gamma-\gamma_i'}[E'\sigma_6(E')/\phi_0]dE'$	γ_i'
2000 49	00000000 00	00000000 00	00000000 00	2000 49
1980 49	3657468 48	7278037 47	3690010 45	1980 49
1960 49	7132875 48	1412669 48	1390590 46	1960 49
1940 49	1043531 49	2056381 48	3068070 46	1940 49
1920 49	1356881 49	2661400 48	5236230 46	1920 49
1900 49	1654378 49	3229615 48	7914090 46	1900 49
1880 49	1936781 49	3763324 48	1102379 47	1880 49
1860 49	2205018 49	4264848 48	1451898 47	1860 49
1840 49	2459981 49	4736620 48	1833423 47	1840 49
1820 49	2702765 49	5180982 48	2245490 47	1820 49
1800 49	2934534 49	5600437 48	2686313 47	1800 49
1780 49	3156412 49	5997675 48	3151500 47	1780 49
1760 49	3369825 49	6375318 48	3643312 47	1760 49
1740 49	3576000 49	6736284 48	4157156 47	1740 49
1720 49	3776559 49	7083281 48	4698375 47	1720 49
1700 49	3973059 49	7419328 48	5267907 47	1700 49
1680 49	4167271 49	7747500 48	5870438 47	1680 49
1660 49	4360987 49	8071021 48	6509531 47	1660 49
1640 49	4556240 49	8393100 48	7193812 47	1640 49
1620 49	4755112 49	8717287 48	7929375 47	1620 49
1600 49	4959946 49	9047015 48	8728782 47	1600 49
1580 49	5173153 49	9386006 48	9603000 47	1580 49
1560 49	5397393 49	9738065 48	1056722 48	1560 49
1540 49	5635528 49	1010715 49	1163906 48	1540 49
1520 49	5890528 49	1049734 49	1283709 48	1520 49
1500 49	6165796 49	1091282 49	1418766 48	1500 49
1480 49	6464662 49	1135820 49	1571119 48	1480 49
1460 49	6791100 49	1183794 49	1744256 48	1460 49
1440 49	7149037 49	1235697 49	1941103 48	1440 49
1428 49	7369443 49	1267306 49	2065819 48	1428 49

$\gamma = 30$ 49 γ_i'	$\int_{\gamma_i'}^{\gamma}\left[\frac{\sigma_s(\gamma')}{\phi_0}\right]d\gamma'$	$\int_{\gamma_i'}^{\gamma}\left[\frac{\gamma'\sigma_s(\gamma')}{\phi_0}\right]d\gamma'$	$\int_{0}^{E=\gamma-\gamma_i'}[E'\sigma_s(E')/\phi_0]\,dE'$	γ_i'
3000 49	00000000 00	00000000 00	00000000 00	3000 49
2980 49	16488220 48	49282666 47	16395880 45	2980 49
2960 49	32598458 48	97145877 47	64950100 45	2960 49
2940 49	48350838 48	14362277 48	14297100 46	2940 49
2920 49	63747628 48	18874188 48	25010000 46	2920 49
2900 49	78793048 48	23251608 48	38630400 46	2900 49
2880 49	93490838 48	27499698 48	54755500 46	2880 49
2860 49	10785099 49	31619638 48	73565100 46	2860 49
2840 49	12187099 49	35616318 48	94497600 46	2840 49
2820 49	13556209 49	39491308 48	11773200 47	2820 49
2800 49	14893179 49	43248308 48	14312299 47	2800 49
2780 49	16198559 49	46889888 48	17057757 47	2780 49
2760 49	17473209 49	50420818 48	19988128 47	2760 49
2740 49	18717639 49	53843138 48	23097748 47	2740 49
2720 49	19932809 49	57160548 48	26378718 47	2720 49
2700 49	21119759 49	60377088 48	29821688 47	2700 49
2680 49	22279099 49	63495838 48	33414538 47	2680 49
2660 49	23412099 49	66520498 48	37157868 47	2660 49
2640 49	24519379 49	69454748 48	41033768 47	2640 49
2620 49	25602059 49	72303298 48	45028718 47	2620 49
2600 49	26661429 49	75068248 48	49160388 47	2600 49
2580 49	27698919 49	77754998 48	53417498 47	2580 49
2560 49	28715309 49	80367208 48	57787058 47	2560 49
2540 49	29711929 49	82908958 48	62268308 47	2540 49
2520 49	30690459 49	85384588 48	66867928 47	2520 49
2500 49	31652179 49	87798128 48	71584138 47	2500 49
2480 49	32598559 49	90154208 48	76414558 47	2480 49
2460 49	33530999 49	92458088 48	81349208 47	2460 49
2440 49	34451519 49	94713168 48	86413808 47	2440 49
2420 49	35361769 49	96924708 48	91605808 47	2420 49
2400 49	36263459 49	99098128 48	96922508 47	2400 49
2380 49	37158599 49	10123799 49	10237838 48	2380 49
2360 49	38049519 49	10334859 49	10800048 48	2360 49
2340 49	38937799 49	10543659 49	11376838 48	2340 49
2320 49	39826389 49	10750659 49	11972668 48	2320 49
2300 49	40717059 49	10956399 49	12587258 48	2300 49
2280 49	41612379 49	11161489 49	13222258 48	2280 49
2260 49	42515559 49	11366439 49	13882298 48	2260 49
2240 49	43428639 49	11571929 49	14566708 48	2240 49
2220 49	44354839 49	11778509 49	15279428 48	2220 49
2200 49	45297269 49	11986819 49	16023638 48	2200 49
2180 49	46259309 49	12197389 49	16804088 48	2180 49
2160 49	47243959 49	12411119 49	17620758 48	2160 49
2140 49	48254889 49	12628459 49	18480128 48	2140 49
2120 49	49296179 49	12850209 49	19386538 48	2120 49

Integrated Cross Sections and Integrals for Average Energies

$\gamma = 30$ 49 γ_i'	$\int_{\gamma_i'}^{\gamma}\left[\frac{\sigma_3(\gamma')}{\phi_0}\right]d\gamma'$	$\int_{\gamma_i'}^{\gamma}\left[\frac{\gamma'\sigma_3(\gamma')}{\phi_0}\right]d\gamma'$	$\int_0^{E=\gamma-\gamma_i'}[E'\sigma_e(E')/\phi_0]dE'$	γ_i'
2100 49	5037129 49	1307705 49	2034333 48	2100 49
2080 49	5148463 49	1330974 49	2135645 48	2080 49
2060 49	5264042 49	1354900 49	2243120 48	2060 49
2040 49	5384366 49	1379560 49	2357492 48	2040 49
2020 49	5509867 49	1405044 49	2479157 48	2020 49
2000 49	5641097 49	1431412 49	2609162 48	2000 49
1980 49	5778583 49	1458772 49	2748029 48	1980 49
1960 49	5922876 49	1487195 49	2896671 48	1960 49
1940 49	6074580 49	1516785 49	3055891 48	1940 49
1920 49	6234349 49	1547617 49	3226879 48	1920 49
1900 49	6402830 49	1579797 49	3410520 48	1900 49
1880 49	6580730 49	1613413 49	3608058 48	1880 49
1875 49	6626768 49	1622059 49	3659710 48	1875 49

Integrated Cross Sections and Integrals for Average Energies

$\gamma = 40\ 49$ γ_i'	$\int_{\gamma_i'}^{\gamma}\left[\frac{\sigma_s(\gamma')}{\phi_0}\right]d\gamma'$	$\int_{\gamma_i'}^{\gamma}\left[\frac{\gamma'\sigma_s(\gamma')}{\phi_0}\right]d\gamma'$	$\int_0^{E=\gamma-\gamma_i'}[E'\sigma_s(E')/\phi_0]dE'$	γ_i'
4000 49	0000000 00	0000000 00	0000000 00	4000 49
3980 49	9316875 47	3717210 47	9539100 44	3980 49
3960 49	1851656 48	7369509 47	3711580 45	3960 49
3940 49	2760070 48	1095751 48	8276500 45	3940 49
3920 49	3656789 48	1448237 48	1447800 46	3920 49
3900 49	4542234 48	1794396 48	2249720 46	3900 49
3880 49	5416195 48	2134353 48	3212480 46	3880 49
3860 49	6278765 48	2468190 48	4331550 46	3860 49
3840 49	7129992 48	2795959 48	5603740 46	3840 49
3820 49	7970203 48	3117705 48	7037530 46	3820 49
3800 49	8799140 48	3433575 48	8608050 46	3800 49
3780 49	9617132 48	3743597 48	1032560 47	3780 49
3760 49	1042425 49	4047870 48	1218298 47	3760 49
3740 49	1122051 49	4346443 48	1417626 47	3740 49
3720 49	1200600 49	4639446 48	1629534 47	3720 49
3700 49	1278079 49	4926928 48	1853900 47	3700 49
3680 49	1354518 49	5208959 48	2091154 47	3680 49
3660 49	1429905 49	5485647 48	2339750 47	3660 49
3640 49	1504270 49	5757065 48	2600153 47	3640 49
3620 49	1577613 49	6023334 48	2871184 47	3620 49
3600 49	1649964 49	6284484 48	3153748 47	3600 49
3580 49	1721318 49	6540642 48	3446298 47	3580 49
3560 49	1791693 49	6791910 48	3748643 47	3560 49
3540 49	1861110 49	7038337 48	4061061 47	3540 49
3520 49	1929588 49	7280025 48	4383282 47	3520 49
3500 49	1997130 49	7517100 48	4714220 47	3500 49
3480 49	2063753 49	7749649 48	5053664 47	3480 49
3460 49	2129489 49	7977771 48	5401853 47	3460 49
3440 49	2194350 49	8201531 48	5758687 47	3440 49
3420 49	2258360 49	8421065 48	6123752 47	3420 49
3400 49	2321517 49	8636472 48	6495961 47	3400 49
3380 49	2383863 49	8847841 48	6876118 47	3380 49
3360 49	2445424 49	9055265 48	7264312 47	3360 49
3340 49	2506207 49	9258881 48	7659470 47	3340 49
3320 49	2566239 49	9458810 48	8061490 47	3320 49
3300 49	2625550 49	9655122 48	8470800 47	3300 49
3280 49	2684163 49	9847954 48	8886980 47	3280 49
3260 49	2742098 49	10037443 49	9309560 47	3260 49
3240 49	2799396 49	10222363 49	9739500 47	3240 49
3220 49	2856079 49	10406669 49	10176628 48	3220 49
3200 49	2912170 49	1058675 49	1061927 48	3200 49
3180 49	2967712 49	1076391 49	1106937 48	3180 49
3160 49	3022725 49	1093833 49	1152562 48	3160 49
3140 49	3077245 49	1111010 49	1198879 48	3140 49
3120 49	3131325 49	1127936 49	1245940 48	3120 49

Integrated Cross Sections and Integrals for Average Energies

$\gamma = 40\ 49$ γ_1'	$\int_{\gamma_1'}^{\gamma}\left[\frac{\sigma_3(\gamma')}{\phi_0}\right]d\gamma'$	$\int_{\gamma_1'}^{\gamma}\left[\frac{\gamma'\sigma_3(\gamma')}{\phi_0}\right]d\gamma'$	$\int_0^{E=\gamma-\gamma_1'}[E'\sigma_6(E')/\phi_0]dE'$	γ_1'
3100 49	3184982 49	1144623 49	1293698 48	3100 49
3080 49	3238260 49	1161085 49	1342186 48	3080 49
3060 49	3291206 49	1177336 49	1391463 48	3060 49
3040 49	3343837 49	1193392 49	1441427 48	3040 49
3020 49	3396225 49	1209265 49	1492245 48	3020 49
3000 49	3448401 49	1224969 49	1543915 48	3000 49
2980 49	3500404 49	1240520 49	1596415 48	2980 49
2960 49	3552295 49	1255934 49	1649840 48	2960 49
2940 49	3604125 49	1271221 49	1704286 48	2940 49
2920 49	3655935 49	1286400 49	1759735 48	2920 49
2900 49	3707796 49	1301488 49	1816298 48	2900 49
2880 49	3759733 49	1316502 49	1873910 48	2880 49
2860 49	3811837 49	1331457 49	1932778 48	2860 49
2840 49	3864159 49	1346367 49	1992966 48	2840 49
2820 49	3916760 49	1361253 49	2054503 48	2820 49
2800 49	3969705 49	1376131 49	2117510 48	2800 49
2780 49	4023063 49	1391018 49	2182066 48	2780 49
2760 49	4076901 49	1405934 49	2248265 48	2760 49
2740 49	4131316 49	1420894 49	2316319 48	2740 49
2720 49	4186368 49	1435923 49	2386242 48	2720 49
2700 49	4242128 49	1451037 49	2458146 48	2700 49
2680 49	4298702 49	1466254 49	2532269 48	2680 49
2660 49	4356166 49	1481597 49	2608688 48	2660 49
2640 49	4414617 49	1497085 49	2687618 48	2640 49
2620 49	4474134 49	1512740 49	2769136 48	2620 49
2600 49	4534844 49	1528581 49	2853560 48	2600 49
2580 49	4596827 49	1544635 49	2940951 48	2580 49
2560 49	4660197 49	1560923 49	3031554 48	2560 49
2540 49	4725075 49	1577464 49	3125653 48	2540 49
2520 49	4791560 49	1594288 49	3223357 48	2520 49
2500 49	4859789 49	1611413 49	3325024 48	2500 49
2480 49	4929890 49	1628865 49	3430903 48	2480 49
2460 49	5001977 49	1646672 49	3541183 48	2460 49
2440 49	5076206 49	1664858 49	3656243 48	2440 49
2420 49	5152718 49	1683450 49	3776363 48	2420 49
2400 49	5231660 49	1702475 49	3901889 48	2400 49
2380 49	5313189 49	1721959 49	4033162 48	2380 49
2360 49	5397464 49	1741935 49	4170504 48	2360 49
2340 49	5484672 49	1762425 49	4314434 48	2340 49
2320 49	5574972 49	1783463 49	4465252 48	2320 49
2300 49	5668560 49	1805081 49	4623427 48	2300 49
2280 49	5765622 49	1827310 49	4789388 48	2280 49
2260 49	5866378 49	1850180 49	4963706 48	2260 49
2240 49	5971019 49	1873725 49	5146826 48	2240 49
2222 49	6067490 49	1895249 49	5317471 48	2222 49

$\gamma = 50$ γ_i' 49	$\int_{\gamma_i'}^{\gamma}\left[\frac{\sigma_s(\gamma')}{\phi_0}\right]d\gamma'$	$\int_{\gamma_i'}^{\gamma}\left[\frac{\gamma'\sigma_s(\gamma')}{\phi_0}\right]d\gamma'$	$\int_0^{E=\gamma-\gamma_i'}[E'\sigma_s(E')/\phi_0]dE'$	γ_i'
5000 49	0000000 00	0000000 00	0000000 00	5000 49
4900 49	2940180 48	1455502 48	1458790 46	4900 49
4800 49	5761830 48	2824099 48	5681590 46	4800 49
4700 49	8466720 48	4109012 48	1243480 47	4700 49
4600 49	1105713 49	5313629 48	2149357 47	4600 49
4500 49	1353592 49	6441570 48	3263925 47	4500 49
4400 49	1590658 49	7496601 48	4566915 47	4400 49
4300 49	1817332 49	8482725 48	6039375 47	4300 49
4200 49	2034130 49	9404205 48	7664480 47	4200 49
4100 49	2241663 49	1026554 49	9427740 47	4100 49
4000 49	2440657 49	1107152 49	1131765 48	4000 49
3900 49	2631976 49	1182730 49	1332582 48	3900 49
3800 49	2816641 49	1253833 49	1544877 48	3800 49
3700 49	2995867 49	1321045 49	1768880 48	3700 49
3600 49	3171081 49	1385000 49	2005399 48	3600 49
3500 49	3343962 49	1446374 49	2256070 48	3500 49
3400 49	3516495 49	1505895 49	2523516 48	3400 49
3300 49	3691021 49	1564361 49	2811498 48	3300 49
3200 49	3870313 49	1622626 49	3125301 48	3200 49
3100 49	4057645 49	1681625 49	3471971 48	3100 49
3000 49	4256884 49	1742384 49	3860582 48	3000 49
2900 49	4472647 49	1806017 49	4303064 48	2900 49
2800 49	4710402 49	1873756 49	4814443 48	2800 49
2700 49	4976697 49	1946961 49	5413866 48	2700 49
2600 49	5279374 49	2027136 49	6125504 48	2600 49
2500 49	5627859 49	2115956 49	6979729 48	2500 49

$\gamma = 60\ 49$ γ_i	$\int_{\gamma_1'}^{\gamma}\left[\frac{\sigma_3(\gamma')}{\phi_0}\right]d\gamma'$	$\int_{\gamma_1'}^{\gamma}\left[\frac{\gamma'\sigma_3(\gamma')}{\phi_0}\right]d\gamma'$	$\int_0^{E=\gamma-\gamma_1'}[E'\sigma_6(E')/\phi_0]dE'$	γ_i'
6000 49	00000000 00	00000000 00	00000000 00	6000 49
5900 49	20544413 48	12224432 48	10215306 46	5900 49
5800 49	40512999 48	23906655 48	40114200 46	5800 49
5700 49	59910622 48	35060755 48	88562200 46	5700 49
5600 49	78741955 48	45700822 48	15443410 47	5600 49
5500 49	97013933 48	55842182 48	23661740 47	5500 49
5400 49	11473484 49	65500522 48	33403570 47	5400 49
5300 49	13191400 49	74691962 48	44564630 47	5300 49
5200 49	14856400 49	83433622 48	57047960 47	5200 49
5100 49	16469900 49	91743700 48	70757410 47	5100 49
5000 49	18033577 49	99640577 48	85608400 47	5000 49
4900 49	19549344 49	10714388 49	10152230 48	4900 49
4800 49	21019494 49	11427455 49	11842410 48	4800 49
4700 49	22446711 49	12105422 49	13626100 48	4700 49
4600 49	23834066 49	12750544 49	15498900 48	4600 49
4500 49	25185111 49	13365311 49	17457510 48	4500 49
4400 49	26503977 49	13952255 49	19501290 48	4400 49
4300 49	27795477 49	14514055 49	21632310 48	4300 49
4200 49	29065044 49	15053633 49	23853870 48	4200 49
4100 49	30319000 49	15574044 49	26173560 48	4100 49
4000 49	31564655 49	16078533 49	28602590 48	4000 49
3900 49	32810433 49	16570611 49	31156490 48	3900 49
3800 49	34065977 49	17054011 49	33855720 48	3800 49
3700 49	35342577 49	17532688 49	36728600 48	3700 49
3600 49	36653099 49	18011000 49	39808520 48	3600 49
3500 49	38012566 49	18493566 49	43139750 48	3500 49
3400 49	39438299 49	18985377 49	46776040 48	3400 49
3300 49	40950477 49	19491877 49	50784060 48	3300 49
3200 49	42572577 49	20018966 49	55245770 48	3200 49
3100 49	44331988 49	20573044 49	60261530 48	3100 49
3000 49	46260766 49	21161166 49	65952930 48	3000 49
2900 49	48396499 49	21791022 49	72468750 48	2900 49
2800 49	50783477 49	22471055 49	79990320 48	2800 49
2727 49	52706777 49	23002500 49	86215590 48	2727 49

$\gamma = 70\ 49$ γ_i'	$\int_{\gamma_i'}^{\gamma}\left[\frac{\sigma_s(\gamma')}{\phi_0}\right]d\gamma'$	$\int_{\gamma_i'}^{\gamma}\left[\frac{\gamma'\sigma_s(\gamma')}{\phi_0}\right]d\gamma'$	$\int_0^{E=\gamma-\gamma_i'}[E'\sigma_s(E')/\phi_0]\,dE'$	γ_i'
7000 49	0000000 00	0000000 00	0000000 00	7000 49
6900 49	1515005 48	1052960 48	7542900 45	6900 49
6800 49	2998843 48	2069423 48	2976700 46	6800 49
6700 49	4451650 48	3050066 48	6608930 46	6700 49
6600 49	5873512 48	3995642 48	1158166 47	6600 49
6500 49	7264659 48	4906882 48	1783795 47	6500 49
6400 49	8625326 48	5784524 48	2532038 47	6400 49
6300 49	9955775 48	6629372 48	3396704 47	6300 49
6200 49	1125631 49	7442264 48	4371584 47	6200 49
6100 49	1252743 49	8224009 48	5451927 47	6100 49
6000 49	1376953 49	8975510 48	6631640 47	6000 49
5900 49	1498320 49	9697661 48	7905810 47	5900 49
5800 49	1616906 49	1039142 49	9269230 47	5800 49
5700 49	1732790 49	1105777 49	1071758 48	5700 49
5600 49	1846053 49	1169771 49	1224661 48	5600 49
5500 49	1956793 49	1231235 49	1385196 48	5500 49
5400 49	2065126 49	1290278 49	1553099 48	5400 49
5300 49	2171176 49	1347016 49	1728063 48	5300 49
5200 49	2275089 49	1401572 49	1909900 48	5200 49
5100 49	2377030 49	1454074 49	2098468 48	5100 49
5000 49	2477187 49	1504655 49	2293757 48	5000 49
4900 49	2575773 49	1553456 49	2495852 48	4900 49
4800 49	2673027 49	1600624 49	2704948 48	4800 49
4700 49	2769222 49	1646319 49	2921366 48	4700 49
4600 49	2864668 49	1690700 49	3145676 48	4600 49
4500 49	2959712 49	1733947 49	3378515 48	4500 49
4400 49	3054755 49	1776241 49	3620872 48	4400 49
4300 49	3150245 49	1817778 49	3873934 48	4300 49
4200 49	3246691 49	1858767 49	4139169 48	4200 49
4100 49	3344675 49	1899429 49	4418439 48	4100 49
4000 49	3444856 49	1940000 49	4713991 48	4000 49
3900 49	3547983 49	1980732 49	5028558 48	3900 49
3800 49	3654911 49	2021897 49	5365407 48	3800 49
3700 49	3766622 49	2063783 49	5728524 48	3700 49
3600 49	3884232 49	2106705 49	6122570 48	3600 49
3500 49	4009020 49	2150998 49	6553164 48	3500 49
3400 49	4142463 49	2197028 49	7026958 48	3400 49
3300 49	4286254 49	2245189 49	7551890 48	3300 49
3200 49	4442355 49	2295910 49	8137381 48	3200 49
3100 49	4613035 49	2349662 49	8794630 48	3100 49
3000 49	4800931 49	2406954 49	9536972 48	3000 49
2916 49	4972862 49	2457807 49	1023196 49	2916 49

Integrated Cross Sections and Integrals for Average Energies

$\gamma = 80\ 49$ γ_1'	$\int_{\gamma_1'}^{\gamma}\left[\frac{\sigma_3(\gamma')}{\phi_0}\right]d\gamma'$	$\int_{\gamma_1'}^{\gamma}\left[\frac{\gamma'\sigma_3(\gamma')}{\phi_0}\right]d\gamma'$	$\int_0^{E=\gamma-\gamma_1'}[E'\sigma_6(E')/\phi_0]dE'$	γ_1'
8000 49	00000000 00	00000000 00	00000000 00	8000 49
7800 49	2307158 48	1822769 48	2295750 46	7800 49
7600 49	4541261 48	3543159 48	8984980 46	7600 49
7400 49	6702750 48	5164398 48	1978018 47	7400 49
7200 49	8792291 48	6689871 48	3439617 47	7200 49
7000 49	1081086 49	8123171 48	5255189 47	7000 49
6900 49	1179394 49	8806437 48	6287213 47	6900 49
6800 49	1275985 49	9468102 48	7397780 47	6800 49
6700 49	1370881 49	1010867 49	8583800 47	6700 49
6600 49	1464114 49	1072867 49	9842410 47	6600 49
6500 49	1555713 49	1132865 49	1117053 48	6500 49
6400 49	1645716 49	1190918 49	1256542 48	6400 49
6300 49	1734164 49	1247084 49	1402464 48	6300 49
6200 49	1821104 49	1301424 49	1554590 48	6200 49
6100 49	1906591 49	1353999 49	1712737 48	6100 49
6000 49	1990682 49	1404875 49	1876707 48	6000 49
5900 49	2073444 49	1454119 49	2046354 48	5900 49
5800 49	2154953 49	1501802 49	2221598 48	5800 49
5700 49	2235290 49	1547998 49	2402338 48	5700 49
5600 49	2314553 49	1592782 49	2588598 48	5600 49
5500 49	2392842 49	1636235 49	2780388 48	5500 49
5400 49	2470278 49	1678437 49	2977849 48	5400 49
5300 49	2546991 49	1719479 49	3181135 48	5300 49
5200 49	2623126 49	1759450 49	3390509 48	5200 49
5100 49	2698845 49	1798446 49	3606297 48	5100 49
5000 49	2774335 49	1836569 49	3828993 48	5000 49
4900 49	2849796 49	1873922 49	4059146 48	4900 49
4800 49	2925459 49	1910618 49	4297487 48	4800 49
4700 49	3001579 49	1946775 49	4544885 48	4700 49
4600 49	3078443 49	1982515 49	4802394 48	4600 49
4500 49	3156370 49	2017972 49	5071246 48	4500 49
4400 49	3235725 49	2053283 49	5352968 48	4400 49
4300 49	3316909 49	2088596 49	5649307 48	4300 49
4200 49	3400379 49	2124069 49	5962341 48	4200 49
4100 49	3486650 49	2159869 49	6294511 48	4100 49
4000 49	3576301 49	2196174 49	6648670 48	4000 49
3900 49	3669987 49	2233177 49	7028125 48	3900 49
3800 49	3768451 49	2271082 49	7436794 48	3800 49
3700 49	3872535 49	2310108 49	7879200 48	3700 49
3600 49	3983199 49	2350494 49	8360657 48	3600 49
3500 49	4101531 49	2392495 49	8887299 48	3500 49
3400 49	4228780 49	2436388 49	9466360 48	3400 49
3300 49	4366377 49	2482473 49	10106628 49	3300 49
3200 49	4515962 49	2531078 49	10816691 49	3200 49
3100 49	4679431 49	2582559 49	11609886 49	3100 49
3076 49	4719352 49	2594887 49	11805594 49	3076 49

$\gamma = 90\ 49$ γ_1'	$\int_{\gamma_1'}^{\gamma}\left[\frac{\sigma_s(\gamma')}{\phi_0}\right]d\gamma'$	$\int_{\gamma_1'}^{\gamma}\left[\frac{\gamma'\sigma_s(\gamma')}{\phi_0}\right]d\gamma'$	$\int_0^{E=\gamma-\gamma_1'}[E'\sigma_s(E')/\phi_0]dE'$	γ_1'
9000 49	0000000 00	0000000 00	0000000 00	9000 49
8800 49	1828989 48	1627883 48	1820720 46	8800 49
8600 49	3612329 48	3179451 48	7164490 46	8600 49
8400 49	5350129 48	4656666 48	1584504 47	8400 49
8200 49	7042668 48	6061548 48	2768531 47	8200 49
8000 49	8690321 48	7396224 48	4250651 47	8000 49
7800 49	1029361 49	8662901 48	6013526 47	7800 49
7600 49	1185328 49	9863912 48	8040460 47	7600 49
7400 49	1337025 49	1100170 49	1031522 48	7400 49
7200 49	1484571 49	1207886 49	1282277 48	7200 49
7000 49	1628118 49	1309811 49	1554952 48	7000 49
6900 49	1698450 49	1358692 49	1699132 48	6900 49
6800 49	1767854 49	1406235 49	1848338 48	6800 49
6700 49	1836363 49	1452480 49	2002471 48	6700 49
6600 49	1904010 49	1497466 49	2161430 48	6600 49
6500 49	1970833 49	1541235 49	2325146 48	6500 49
6400 49	2036874 49	1583832 49	2493544 48	6400 49
6300 49	2102177 49	1625300 49	2666594 48	6300 49
6200 49	2166794 49	1665687 49	2844281 48	6200 49
6100 49	2230782 49	1705039 49	3026648 48	6100 49
6000 49	2294200 49	1743408 49	3213724 48	6000 49
5900 49	2357120 49	1780845 49	3405630 48	5900 49
5800 49	2419616 49	1817406 49	3602485 48	5800 49
5700 49	2481771 49	1853146 49	3804482 48	5700 49
5600 49	2543679 49	1888123 49	4011876 48	5600 49
5500 49	2605441 49	1922401 49	4224959 48	5500 49
5400 49	2667170 49	1956044 49	4444091 48	5400 49
5300 49	2728992 49	1989119 49	4669743 48	5300 49
5200 49	2791045 49	2021696 49	4902446 48	5200 49
5100 49	2853481 49	2053850 49	5142830 48	5100 49
5000 49	2916472 49	2085660 49	5391649 48	5000 49
4900 49	2980206 49	2117207 49	5649777 48	4900 49
4800 49	3044890 49	2148579 49	5918221 48	4800 49
4700 49	3110761 49	2179865 49	6198194 48	4700 49
4600 49	3178073 49	2211165 49	6491014 48	4600 49
4500 49	3247119 49	2242579 49	6798280 48	4500 49
4400 49	3318219 49	2274217 49	7121804 48	4400 49
4300 49	3391733 49	2306193 49	7463660 48	4300 49
4200 49	3468065 49	2338631 49	7826272 48	4200 49
4100 49	3547664 49	2371663 49	8212350 48	4100 49
4000 49	3631040 49	2405426 49	8625098 48	4000 49
3900 49	3718762 49	2440073 49	9068130 48	3900 49
3800 49	3811473 49	2475762 49	9545640 48	3800 49
3700 49	3909902 49	2512667 49	10062440 49	3700 49
3600 49	4014870 49	2550975 49	1062407 49	3600 49

Integrated Cross Sections and Integrals for Average Energies

$\gamma = 90$ 49 γ_i'	$\int_{\gamma_i'}^{\gamma} \left[\frac{\sigma_3(\gamma')}{\phi_0}\right] d\gamma'$	$\int_{\gamma_i'}^{\gamma} \left[\frac{\gamma'\sigma_3(\gamma')}{\phi_0}\right] d\gamma'$	$\int_0^{E=\gamma-\gamma_i'} [E'\sigma_6(E')/\phi_0]\, dE'$	γ_i'
3500 49	4127312 49	2590886 49	1123695 49	3500 49
3400 49	4248293 49	2632616 49	1190847 49	3400 49
3300 49	4379026 49	2676403 49	1264720 49	3300 49
3214 49	4499896 49	2715766 49	1334140 49	3214 49

Integrated Cross Sections and Integrals for Average Energies

$\gamma = 10$ 50 γ_1'	$\int_{\gamma_1'}^{\gamma}\left[\frac{\sigma_s(\gamma')}{\phi_0}\right]d\gamma'$	$\int_{\gamma_1'}^{\gamma}\left[\frac{\gamma'\sigma_s(\gamma')}{\phi_0}\right]d\gamma'$	$\int_0^{E=\gamma-\gamma_1'}[E'\sigma_s(E')/\phi_0]dE'$	γ_1'
1000 50	00000000 00	00000000 00	00000000 00	1000 50
9500 49	3656310 48	3565684 48	9062540 46	9500 49
9000 49	7126110 48	6776017 48	3500925 47	9000 49
8500 49	1041239 49	9652273 48	7601200 47	8500 49
8000 49	1352135 49	1221788 49	1303472 48	8000 49
7500 49	1646389 49	1449901 49	1964882 48	7500 49
7000 49	1925799 49	1652531 49	2732688 48	7000 49
6900 49	1980128 49	1690290 49	2898382 48	6900 49
6800 49	2034003 49	1727194 49	3068090 48	6800 49
6700 49	2087454 49	1763274 49	3241802 48	6700 49
6600 49	2140519 49	1798562 49	3419568 48	6600 49
6500 49	2193235 49	1833091 49	3601437 48	6500 49
6400 49	2245645 49	1866896 49	3787484 48	6400 49
6300 49	2297794 49	1900011 49	3977829 48	6300 49
6200 49	2349734 49	1932473 49	4172607 48	6200 49
6100 49	2401519 49	1964322 49	4371969 48	6100 49
6000 49	2453211 49	1995596 49	4576158 48	6000 49
5900 49	2504876 49	2026336 49	4785399 48	5900 49
5800 49	2556586 49	2056586 49	4999996 48	5800 49
5700 49	2608422 49	2086392 49	5220298 48	5700 49
5600 49	2660470 49	2115799 49	5446713 48	5600 49
5500 49	2712828 49	2144857 49	5679705 48	5500 49
5400 49	2765600 49	2173618 49	5919823 48	5400 49
5300 49	2818903 49	2202134 49	6167689 48	5300 49
5200 49	2872865 49	2230464 49	6424014 48	5200 49
5100 49	2927627 49	2258665 49	6689616 48	5100 49
5000 49	2983344 49	2286801 49	6965428 48	5000 49
4900 49	3040187 49	2314938 49	7252493 48	4900 49
4800 49	3098346 49	2343144 49	7552026 48	4800 49
4700 49	3158031 49	2371493 49	7865386 48	4700 49
4600 49	3219475 49	2400062 49	8194122 48	4600 49
4500 49	3282934 49	2428934 49	8539996 48	4500 49
4400 49	3348696 49	2458196 49	8904992 48	4400 49
4300 49	3417079 49	2487941 49	9291380 48	4300 49
4200 49	3488440 49	2518267 49	9701730 48	4200 49
4100 49	3563175 49	2549279 49	1013896 49	4100 49
4000 49	3641729 49	2581090 49	1060639 49	4000 49
3950 49	3682591 49	2597332 49	1085259 49	3950 49
3900 49	3724600 49	2613820 49	1110780 49	3900 49
3850 49	3767828 49	2630570 49	1137257 49	3850 49
3800 49	3812350 49	2647599 49	1164750 49	3800 49
3750 49	3858249 49	2664926 49	1193322 49	3750 49
3700 49	3905609 49	2682567 49	1223042 49	3700 49
3650 49	3954524 49	2700542 49	1253981 49	3650 49
3600 49	4005089 49	2718872 49	1286217 49	3600 49

Integrated Cross Sections and Integrals for Average Energies

$\gamma = 10$ 50 γ_i'	$\int_{\gamma_1'}^{\gamma} \left[\frac{\sigma_3(\gamma')}{\phi_0}\right] d\gamma'$	$\int_{\gamma_1'}^{\gamma} \left[\frac{\gamma'\sigma_3(\gamma')}{\phi_0}\right] d\gamma'$	$\int_0^{E=\gamma-\gamma_i'} [E'\sigma_6(E')/\phi_0]\, dE'$	γ_i'
3550 49	4057411 49	2737576 49	1319835 49	3550 49
3500 49	4111599 49	2756676 49	1354923 49	3500 49
3450 49	4167771 49	2776195 49	1391576 49	3450 49
3400 49	4226052 49	2796156 49	1429896 49	3400 49
3350 49	4286580 49	2816582 49	1469997 49	3350 49
3333 49	4307278 49	2823499 49	1483778 49	3333 49

Integrated Cross Sections and Integrals for Average Energies

$\gamma = 11\ 50$ γ_1'	$\int_{\gamma_1'}^{\gamma}\left[\frac{\sigma_s(\gamma')}{\phi_0}\right]d\gamma'$	$\int_{\gamma_1'}^{\gamma}\left[\frac{\gamma'\sigma_s(\gamma')}{\phi_0}\right]d\gamma'$	$\int_0^{E=\gamma-\gamma_1'}[E'\sigma_s(E')/\phi_0]dE'$	γ_1'
1100 50	00000000 00	00000000 00	00000000 00	1100 50
1050 50	30351864 8	32633514 8	75353404 6	1050 50
1000 50	59428524 8	62442424 8	29289604 7	1000 50
9500 49	87245714 8	89569354 8	64009284 7	9500 49
9000 49	11383404 9	11416864 9	11048864 8	9000 49
8500 49	13924624 9	13640904 9	16761884 8	8500 49
8000 49	16356604 9	15647724 9	23445434 8	8000 49
7500 49	18692284 9	17458244 9	31032714 8	7500 49
7000 49	20951234 9	19096254 9	39501094 8	7000 49
6900 49	21396194 9	19405494 9	41303234 8	6900 49
6800 49	21839504 9	19709164 9	43142894 8	6800 49
6700 49	22281504 9	20007514 9	45021424 8	6700 49
6600 49	22722524 9	20300794 9	46939794 8	6600 49
6500 49	23162944 9	20589274 9	48899684 8	6500 49
6400 49	23603194 9	20873234 9	50902794 8	6400 49
6300 49	24043704 9	21152944 9	52951244 8	6300 49
6200 49	24484964 9	21428734 9	55047214 8	6200 49
6100 49	24927494 9	21700894 9	57193494 8	6100 49
6000 49	25371884 9	21969754 9	59393244 8	6000 49
5900 49	25818764 9	22235634 9	61649984 8	5900 49
5800 49	26268804 9	22498904 9	63967764 8	5800 49
5700 49	26722754 9	22759934 9	66351024 8	5700 49
5600 49	27181454 9	23019084 9	68805134 8	5600 49
5500 49	27645754 9	23276774 9	71335594 8	5500 49
5400 49	28116664 9	23533404 9	73949224 8	5400 49
5300 49	28595234 9	23789444 9	76653144 8	5300 49
5200 49	29082634 9	24045314 9	79455854 8	5200 49
5100 49	29580164 9	24301534 9	82366504 8	5100 49
5000 49	30089224 9	24558604 9	85395494 8	5000 49
4900 49	30611374 9	24817054 9	88554544 8	4900 49
4800 49	31148314 9	25077464 9	91856904 8	4800 49
4700 49	31701954 9	25340414 9	95317314 8	4700 49
4600 49	32274344 9	25606564 9	98952224 8	4600 49
4500 49	32867814 9	25876574 9	10278014 9	4500 49
4400 49	33484904 9	26151164 9	10682234 9	4400 49
4300 49	34128454 9	26431084 9	11110214 9	4300 49
4200 49	34801614 9	26717144 9	11564634 9	4200 49
4100 49	35507904 9	27010224 9	12048464 9	4100 49
4000 49	36251234 9	27311244 9	12565114 9	4000 49
3950 49	36638134 9	27465034 9	12836914 9	3950 49
3900 49	37035984 9	27621184 9	13118404 9	3900 49
3850 49	37445404 9	27779834 9	13410124 9	3850 49
3800 49	37867074 9	27941114 9	13712664 9	3800 49
3750 49	38301704 9	28105174 9	14026694 9	3750 49
3700 49	38750024 9	28272174 9	14352844 9	3700 49

Integrated Cross Sections and Integrals for Average Energies

$\gamma = 11$ 50 γ_1'	$\int_{\gamma_1'}^{\gamma}\left[\frac{\sigma_3(\gamma')}{\phi_0}\right]d\gamma'$	$\int_{\gamma_1'}^{\gamma}\left[\frac{\gamma'\sigma_3(\gamma')}{\phi_0}\right]d\gamma'$	$\int_0^{E=\gamma-\gamma_1'}[E'\sigma_6(E')/\phi_0]dE'$	γ_1'
3650 49	3921286 49	2844226 49	1469188 49	3650 49
3600 49	3969107 49	2861560 49	1504457 49	3600 49
3550 49	4018552 49	2879236 49	1541170 49	3550 49
3500 49	4069721 49	2897272 49	1579421 49	3500 49
3450 49	4122715 49	2915687 49	1619299 49	3450 49
3437 49	4136261 49	2920352 49	1629535 49	3437 49

Integrated Cross Sections and Integrals for Average Energies

$\gamma = 12\ 50$ γ_1'	$\int_{\gamma_1'}^{\gamma}\left[\frac{\sigma_s(\gamma')}{\phi_0}\right]d\gamma'$	$\int_{\gamma_1'}^{\gamma}\left[\frac{\gamma'\sigma_s(\gamma')}{\phi_0}\right]d\gamma'$	$\int_0^{E=\gamma-\gamma_1'}[E'\sigma_s(E')/\phi_0]dE'$	γ_1'
1200 50	00000000 00	00000000 00	00000000 00	1200 50
1150 50	25588993 48	30071196 48	63595220 46	1150 50
1100 50	50279678 48	57851668 48	24839377 47	1100 50
1050 50	74078628 48	83439158 48	54551887 47	1050 50
1000 50	97004098 48	10694133 49	94635550 47	1000 50
9500 49	11908448 49	12847328 49	14428178 48	9500 49
9000 49	14036338 49	14815938 49	20276688 48	9000 49
8500 49	16090578 49	16613688 49	26950048 48	8500 49
8000 49	18080658 49	18255748 49	34410388 48	8000 49
7500 49	20020388 49	19759208 49	42652518 48	7500 49
7000 49	21929748 49	21143578 49	51721218 48	7000 49
6900 49	22310338 49	21408078 49	53643228 48	6900 49
6800 49	22691118 49	21668918 49	55604188 48	6800 49
6700 49	23072398 49	21926288 49	57605938 48	6700 49
6600 49	23454528 49	22180398 49	59650348 48	6600 49
6500 49	23837848 49	22431478 49	61739428 48	6500 49
6400 49	24222768 49	22679748 49	63875748 48	6400 49
6300 49	24609708 49	22925448 49	66062008 48	6300 49
6200 49	24999118 49	23168828 49	68301108 48	6200 49
6100 49	25391518 49	23410148 49	70596678 48	6100 49
6000 49	25787428 49	23649668 49	72952408 48	6000 49
5900 49	26187438 49	23887678 49	75372508 48	5900 49
5800 49	26592188 49	24124448 49	77861768 48	5800 49
5700 49	27002378 49	24360308 49	80425488 48	5700 49
5600 49	27418758 49	24595548 49	83069528 48	5600 49
5500 49	27842138 49	24830528 49	85800368 48	5500 49
5400 49	28273428 49	25065568 49	88625478 48	5400 49
5300 49	28713608 49	25301058 49	91552698 48	5300 49
5200 49	29163738 49	25537368 49	94591138 48	5200 49
5100 49	29624988 49	25774908 49	97750848 48	5100 49
5000 49	30098648 49	26014098 49	10104288 49	5000 49
4900 49	30586128 49	26255378 49	10447978 49	4900 49
4800 49	31088968 49	26499238 49	10807518 49	4800 49
4700 49	31608858 49	26746178 49	11184458 49	4700 49
4600 49	32147688 49	26996718 49	11580508 49	4600 49
4500 49	32707508 49	27251418 49	11997598 49	4500 49
4400 49	33290628 49	27510878 49	12437868 49	4400 49
4300 49	33899548 49	27775738 49	12903718 49	4300 49
4200 49	34537098 49	28046678 49	13397848 49	4200 49
4100 49	35206388 49	28324398 49	13923268 49	4100 49
4000 49	35910898 49	28609698 49	14483388 49	4000 49
3950 49	36277558 49	28755448 49	14777638 49	3950 49
3900 49	36654518 49	28903388 49	15082028 49	3900 49
3850 49	37042328 49	29053658 49	15397128 49	3850 49
3800 49	37441568 49	29206368 49	15723518 49	3800 49

Integrated Cross Sections and Integrals for Average Energies

$\gamma = 12\ 50$ γ_1'	$\int_{\gamma_1'}^{\gamma}\left[\frac{\sigma_3(\gamma')}{\phi_0}\right]d\gamma'$	$\int_{\gamma_1'}^{\gamma}\left[\frac{\gamma'\sigma_3(\gamma')}{\phi_0}\right]d\gamma'$	$\int_0^{E=\gamma-\gamma_1'}[E'\sigma_6(E')/\phi_0]dE'$	γ_1'
3750 49	3785289 49	2936163 49	1606183 49	3750 49
3700 49	3827694 49	2951958 49	1641274 49	3700 49
3650 49	3871442 49	2968036 49	1677695 49	3650 49
3600 49	3916609 49	2984408 49	1715523 49	3600 49
3550 49	3963274 49	3001090 49	1754838 49	3550 49
3529 49	3982945 49	3008052 49	1771481 49	3529 49

$\gamma = 13\ 50$ γ_1'	$\int_{\gamma_1'}^{\gamma}\left[\frac{\sigma_3(\gamma')}{\phi_0}\right]d\gamma'$	$\int_{\gamma_1'}^{\gamma}\left[\frac{\gamma'\sigma_3(\gamma')}{\phi_0}\right]d\gamma'$	$\int_0^{\varepsilon=\gamma-\gamma_1'}[E'\sigma_6(E')/\phi_0]dE'$	γ_1'
1300 50	0000000 00	0000000 00	0000000 00	1300 50
1250 50	2186151 48	2787612 48	5438440 46	1250 50
1200 50	4306991 48	5385911 48	2131777 47	1200 50
1150 50	6363165 48	7802186 48	4699284 47	1150 50
1100 50	8355771 48	1004413 49	8183700 47	1100 50
1050 50	1028651 49	1211992 49	1252535 48	1050 50
1000 50	1215787 49	1403831 49	1766922 48	1000 50
9500 49	1397345 49	1580873 49	2356764 48	9500 49
9000 49	1573835 49	1744146 49	3018399 48	9000 49
8500 49	1745969 49	1894780 49	3749806 48	8500 49
8000 49	1914749 49	2034034 49	4551396 48	8000 49
7500 49	2081575 49	2163328 49	5427190 48	7500 49
7000 49	2248424 49	2284290 49	6386621 48	7000 49
6900 49	2282026 49	2307643 49	6589915 48	6900 49
6800 49	2315765 49	2330754 49	6797416 48	6800 49
6700 49	2349671 49	2353640 49	7009330 48	6700 49
6600 49	2383775 49	2376319 49	7225885 48	6600 49
6500 49	2418112 49	2398810 49	7447363 48	6500 49
6400 49	2452719 49	2421131 49	7674043 48	6400 49
6300 49	2487636 49	2443303 49	7906242 48	6300 49
6200 49	2522906 49	2465346 49	8144319 48	6200 49
6100 49	2558576 49	2487283 49	8388660 48	6100 49
6000 49	2594695 49	2509135 49	8639695 48	6000 49
5900 49	2631320 49	2530925 49	8897902 48	5900 49
5800 49	2668507 49	2552680 49	9163792 48	5800 49
5700 49	2706322 49	2574423 49	9437958 48	5700 49
5600 49	2744835 49	2596182 49	9721034 48	5600 49
5500 49	2784121 49	2617985 49	1001372 49	5500 49
5400 49	2824262 49	2639861 49	1031679 49	5400 49
5300 49	2865348 49	2661841 49	1063111 49	5300 49
5200 49	2907477 49	2683958 49	1095761 49	5200 49
5100 49	2950755 49	2706245 49	1129736 49	5100 49
5000 49	2995300 49	2728739 49	1165150 49	5000 49
4900 49	3041238 49	2751477 49	1202131 49	4900 49
4800 49	3088710 49	2774500 49	1240822 49	4800 49
4700 49	3137870 49	2797849 49	1281381 49	4700 49
4600 49	3188885 49	2821571 49	1323980 49	4600 49
4500 49	3241945 49	2845711 49	1368817 49	4500 49
4400 49	3297253 49	2870320 49	1416108 49	4400 49
4300 49	3355036 49	2895454 49	1466092 49	4300 49
4200 49	3415546 49	2921168 49	1519041 49	4200 49
4100 49	3479062 49	2947525 49	1575255 49	4100 49
4000 49	3545895 49	2974589 49	1635073 49	4000 49
3950 49	3580661 49	2988409 49	1666451 49	3950 49
3900 49	3616390 49	3002432 49	1698875 49	3900 49

Integrated Cross Sections and Integrals for Average Energies

$\gamma = 13\ 50$ γ_1'	$\int_{\gamma_1'}^{\gamma}\left[\frac{\sigma_s(\gamma')}{\phi_0}\right]d\gamma'$	$\int_{\gamma_1'}^{\gamma}\left[\frac{\gamma'\sigma_s(\gamma')}{\phi_0}\right]d\gamma'$	$\int_0^{E=\gamma-\gamma_1'}[E'\sigma_s(E')/\phi_0]\,dE'$	γ_1'
3850 49	3653130 49	3016668 49	1732401 49	3850 49
3800 49	3690934 49	3031128 49	1767086 49	3800 49
3750 49	3729858 49	3045821 49	1802994 49	3750 49
3700 49	3769960 49	3060759 49	1840188 49	3700 49
3650 49	3811303 49	3075951 49	1878742 49	3650 49
3611 49	3844359 49	3087952 49	1909714 49	3611 49

$\gamma = 14\ 50$ γ_i'	$\int_{\gamma_i'}^{\gamma}\left[\frac{\sigma_s(\gamma')}{\phi_0}\right]d\gamma'$	$\int_{\gamma_i'}^{\gamma}\left[\frac{\gamma'\sigma_s(\gamma')}{\phi_0}\right]d\gamma'$	$\int_0^{E=\gamma-\gamma_i'}[E'\sigma_s(E')/\phi_0]dE'$	γ_i'
1400 50	0000000 00	0000000 00	0000000 00	1400 50
1350 50	1888904 48	2597439 48	4702670 46	1350 50
1300 50	3729294 48	5036165 48	1848459 47	1300 50
1250 50	5521675 48	7321646 48	4086992 47	1250 50
1200 50	7266797 48	9459618 48	7138990 47	1200 50
1150 50	8965774 48	1145610 49	1095983 48	1150 50
1100 50	1062016 49	1331747 49	1550753 48	1100 50
1050 50	1223213 49	1505051 49	2074476 48	1050 50
1000 50	1380466 49	1666251 49	2664013 48	1000 50
9500 49	1534177 49	1816133 49	3317151 48	9500 49
9000 49	1684894 49	1955557 49	4032939 48	9000 49
8500 49	1833360 49	2085473 49	4812317 48	8500 49
8000 49	1980588 49	2206938 49	5658852 48	8000 49
7500 49	2127966 49	2321152 49	6580004 48	7500 49
7000 49	2277417 49	2429490 49	7588932 48	7000 49
6900 49	2307775 49	2450589 49	7802963 48	6900 49
6800 49	2338347 49	2471531 49	8021551 48	6800 49
6700 49	2369160 49	2492329 49	8244947 48	6700 49
6600 49	2400244 49	2513000 49	8473416 48	6600 49
6500 49	2431631 49	2533558 49	8707250 48	6500 49
6400 49	2463357 49	2554021 49	8946791 48	6400 49
6300 49	2495458 49	2574405 49	9192369 48	6300 49
6200 49	2527976 49	2594728 49	9444383 48	6200 49
6100 49	2560953 49	2615009 49	9703252 48	6100 49
6000 49	2594437 49	2635266 49	9969459 48	6000 49
5900 49	2628477 49	2655520 49	1024348 49	5900 49
5800 49	2663130 49	2675791 49	1052590 49	5800 49
5700 49	2698453 49	2696101 49	1081733 49	5700 49
5600 49	2734513 49	2716474 49	1111843 49	5600 49
5500 49	2771377 49	2736933 49	1142994 49	5500 49
5400 49	2809122 49	2757503 49	1175267 49	5400 49
5300 49	2847830 49	2778211 49	1208751 49	5300 49
5200 49	2887591 49	2799085 49	1243542 49	5200 49
5100 49	2928502 49	2820153 49	1279749 49	5100 49
5000 49	2970669 49	2841446 49	1317490 49	5000 49
4900 49	3014210 49	2862998 49	1356896 49	4900 49
4800 49	3059251 49	2884841 49	1398109 49	4800 49
4700 49	3105931 49	2907013 49	1441290 49	4700 49
4600 49	3154406 49	2929552 49	1486615 49	4600 49
4500 49	3204841 49	2952499 49	1534279 49	4500 49
4400 49	3257425 49	2975896 49	1584498 49	4400 49
4300 49	3312361 49	2999792 49	1637513 49	4300 49
4200 49	3369876 49	3024233 49	1693592 49	4200 49
4100 49	3430221 49	3049274 49	1753035 49	4100 49
4000 49	3493675 49	3074970 49	1816174 49	4000 49

Integrated Cross Sections and Integrals for Average Energies

$\gamma = 14\ 50$ γ_1'	$\int_{\gamma_1'}^{\gamma}\left[\frac{\sigma_{-1}(\gamma')}{\phi_0}\right]d\gamma'$	$\int_{\gamma_1'}^{\gamma}\left[\frac{\gamma'\sigma_3(\gamma')}{\phi_0}\right]d\gamma'$	$\int_0^{E=\gamma-\gamma_1'}[E'\sigma_6(E')/\phi_0]\,dE'$	γ_1'
3950 49	3526664 49	3088083 49	1849247 49	3950 49
3900 49	3560549 49	3101383 49	1883386 49	3900 49
3850 49	3595375 49	3114877 49	1918648 49	3850 49
3800 49	3631189 49	3128576 49	1955088 49	3800 49
3750 49	3668040 49	3142486 49	1992770 49	3750 49
3700 49	3705981 49	3156619 49	2031755 49	3700 49
3684 49	3716198 49	3161130 49	2044347 49	3684 49

Integrated Cross Sections and Integrals for Average Energies

$\gamma = 15$ γ_i 50	$\int_{\gamma_1'}^{\gamma}\left[\frac{\sigma_s(\gamma')}{\phi_0}\right]d\gamma'$	$\int_{\gamma_1'}^{\gamma}\left[\frac{\gamma'\sigma_s(\gamma')}{\phi_0}\right]d\gamma'$	$\int_0^{E=\gamma-\gamma_i'}[E'\sigma_s(E')/\phi_0]dE'$	γ_i'
1500 50	00000000 00	00000000 00	00000000 00	1500 50
1450 50	16481864 8	24312284 8	41051104 6	1450 50
1400 50	32596074 8	47276564 8	16175534 7	1400 50
1350 50	48346634 8	68935064 8	35848834 7	1350 50
1300 50	63739134 8	89331614 8	62770804 7	1300 50
1250 50	78781364 8	10851184 9	96601504 7	1250 50
1200 50	93483904 8	12652394 9	13701944 8	1200 50
1150 50	10786084 9	14341804 9	18373174 8	1150 50
1100 50	12193074 9	15924804 9	23648154 8	1100 50
1050 50	13571834 9	17407084 9	29506764 8	1050 50
1000 50	14925604 9	18794784 9	35936194 8	1000 50
9500 49	16258654 9	20094584 9	42933934 8	9500 49
9000 49	17576624 9	21313754 9	50511774 8	9000 49
8500 49	18887034 9	22460384 9	58701734 8	8500 49
8000 49	20199924 9	23543474 9	67564084 8	8000 49
7500 49	21528834 9	24573284 9	77199684 8	7500 49
7000 49	22892284 9	25561594 9	87768324 8	7000 49
6900 49	23171214 9	25755444 9	90013694 8	6900 49
6800 49	23452754 9	25948304 9	92308344 8	6800 49
6700 49	23737184 9	26140294 9	94654924 8	6700 49
6600 49	24024784 9	26331544 9	97056394 8	6600 49
6500 49	24315854 9	26522184 9	99515944 8	6500 49
6400 49	24610724 9	26712374 9	10203704 9	6400 49
6300 49	24909734 9	26902244 9	10462354 9	6300 49
6200 49	25213264 9	27091944 9	10727954 9	6200 49
6100 49	25521734 9	27281644 9	11000954 9	6100 49
6000 49	25835564 9	27471514 9	11281834 9	6000 49
5900 49	26155224 9	27661704 9	11571134 9	5900 49
5800 49	26481244 9	27852414 9	11869444 9	5800 49
5700 49	26814144 9	28043834 9	12177384 9	5700 49
5600 49	27154534 9	28236144 9	12495654 9	5600 49
5500 49	27503064 9	28429574 9	12825024 9	5500 49
5400 49	27860414 9	28624324 9	13166294 9	5400 49
5300 49	28227344 9	28820624 9	13520394 9	5300 49
5200 49	28604684 9	29018714 9	13888314 9	5200 49
5100 49	28993334 9	29218864 9	14271134 9	5100 49
5000 49	29394254 9	29421314 9	14670074 9	5000 49
4900 49	29808514 9	29626364 9	15086414 9	4900 49
4800 49	30237284 9	29834304 9	15521624 9	4800 49
4700 49	30681834 9	30045444 9	15977304 9	4700 49
4600 49	31143554 9	30260134 9	16455194 9	4600 49
4500 49	31623984 9	30478714 9	16957264 9	4500 49
4400 49	32124804 9	30701564 9	17485644 9	4400 49
4300 49	32647874 9	30929074 9	18042734 9	4300 49
4200 49	33195254 9	31161694 9	18631194 9	4200 49

Integrated Cross Sections and Integrals for Average Energies

$\gamma = 15\ 50$ γ_1'	$\int_{\gamma_1'}^{\gamma}\left[\frac{\sigma_3(\gamma')}{\phi_0}\right]d\gamma'$	$\int_{\gamma_1'}^{\gamma}\left[\frac{\gamma'\sigma_3(\gamma')}{\phi_0}\right]d\gamma'$	$\int_0^{E=\gamma-\gamma_1'}[E'\sigma_6(E')/\phi_0]dE'$	γ_1'
4100 49	3376921 49	3139986 49	1925396 49	4100 49
4000 49	3437227 49	3164407 49	1991433 49	4000 49
3950 49	3468558 49	3176861 49	2025976 49	3950 49
3900 49	3500724 49	3189485 49	2061600 49	3900 49
3850 49	3533764 49	3202288 49	2098357 49	3850 49
3800 49	3567722 49	3215277 49	2136306 49	3800 49
3750 49	3602642 49	3228459 49	2175504 49	3750 49

$\gamma = 16$ 50 γ_1'	$\int_{\gamma_1'}^{\gamma}\left[\frac{\sigma_3(\gamma')}{\phi_0}\right]d\gamma'$	$\int_{\gamma_1'}^{\gamma}\left[\frac{\gamma'\sigma_3(\gamma')}{\phi_0}\right]d\gamma'$	$\int_0^{E=\gamma-\gamma_1'}[E'\sigma_0(E')/\phi_0]dE'$	γ_1'
1600 50	00000000 00	00000000 00	00000000 00	1600 50
1550 50	1450574 48	2284773 48	3614540 46	1550 50
1500 50	2872787 48	4453764 48	1426949 47	1500 50
1450 50	4266964 48	6510294 48	3168488 47	1450 50
1400 50	5633554 48	8457793 48	5558942 47	1400 50
1350 50	6973129 48	1029982 49	8571830 47	1350 50
1300 50	8286451 48	1204008 49	1218242 48	1300 50
1250 50	9574488 48	1368243 49	1636750 48	1250 50
1200 50	1083849 49	1523093 49	2110656 48	1200 50
1150 50	1208007 49	1668988 49	2638240 48	1150 50
1100 50	1330128 49	1806382 49	3218231 48	1100 50
1050 50	1450475 49	1935762 49	3849989 48	1050 50
1000 50	1569388 49	2057652 49	4533682 48	1000 50
9500 49	1687304 49	2172624 49	5270632 48	9500 49
9000 49	1804794 49	2281302 49	6063678 48	9000 49
8500 49	1922601 49	2384380 49	6917817 48	8500 49
8000 49	2041709 49	2482637 49	7840984 48	8000 49
7500 49	2163430 49	2576956 49	8845321 48	7500 49
7000 49	2289535 49	2668359 49	9948961 48	7000 49
6900 49	2315481 49	2686392 49	1018377 49	6900 49
6800 49	2341720 49	2704365 49	1042386 49	6800 49
6700 49	2368276 49	2722290 49	1066951 49	6700 49
6600 49	2395177 49	2740179 49	1092103 49	6600 49
6500 49	2422450 49	2758043 49	1117877 49	6500 49
6400 49	2450127 49	2775894 49	1144309 49	6400 49
6300 49	2478240 49	2793746 49	1171438 49	6300 49
6200 49	2506824 49	2811610 49	1199308 49	6200 49
6100 49	2535918 49	2829502 49	1227966 49	6100 49
6000 49	2565561 49	2847436 49	1257462 49	6000 49
5900 49	2595799 49	2865427 49	1287851 49	5900 49
5800 49	2626676 49	2883490 49	1319192 49	5800 49
5700 49	2658246 49	2901642 49	1351552 49	5700 49
5600 49	2690563 49	2919900 49	1385000 49	5600 49
5500 49	2723686 49	2938283 49	1419615 49	5500 49
5400 49	2757680 49	2956809 49	1455479 49	5400 49
5300 49	2792614 49	2975498 49	1492685 49	5300 49
5200 49	2828565 49	2994371 49	1531333 49	5200 49
5100 49	2865615 49	3013451 49	1571533 49	5100 49
5000 49	2903853 49	3032760 49	1613404 49	5000 49
4900 49	2943377 49	3052323 49	1657080 49	4900 49
4800 49	2984294 49	3072167 49	1702703 49	4800 49
4700 49	3026721 49	3092318 49	1750435 49	4700 49
4600 49	3070784 49	3112806 49	1800448 49	4600 49
4500 49	3116625 49	3133662 49	1852937 49	4500 49
4400 49	3164397 49	3154919 49	1908116 49	4400 49

$\gamma = 16\ 50$ γ_1'	$\int_{\gamma_1'}^{\gamma}\left[\frac{\sigma_3(\gamma')}{\phi_0}\right]d\gamma'$	$\int_{\gamma_1'}^{\gamma}\left[\frac{\gamma'\sigma_3(\gamma')}{\phi_0}\right]d\gamma'$	$\int_0^{E=\gamma-\gamma_1'}[E'\sigma_6(E')/\phi_0]dE'$	γ_1'
4300 49	3214270 49	3176612 49	1966219 49	4300 49
4200 49	3266430 49	3198778 49	2027510 49	4200 49
4100 49	3321085 49	3221458 49	2092278 49	4100 49
4000 49	3378463 49	3244693 49	2160847 49	4000 49
3950 49	3408252 49	3256534 49	2196668 49	3950 49
3900 49	3438820 49	3268531 49	2233580 49	3900 49
3850 49	3470201 49	3280692 49	2271630 49	3850 49
3809 49	3496229 49	3290659 49	2303307 49	3809 49

$\gamma = 17\ 50$ γ_i'	$\int_{\gamma_i'}^{\gamma}\left[\frac{\sigma_s(\gamma')}{\phi_0}\right]d\gamma'$	$\int_{\gamma_i'}^{\gamma}\left[\frac{\gamma'\sigma_s(\gamma')}{\phi_0}\right]d\gamma'$	$\int_0^{E=\gamma-\gamma_i'}[E'\sigma_s(E')/\phi_0]dE'$	γ_i'
1700 50	0000000 00	0000000 00	0000000 00	1700 50
1650 50	1286386 48	2154789 48	3206740 46	1650 50
1600 50	2550546 48	4209141 48	1267874 47	1600 50
1550 50	3792761 48	6165720 48	2819732 47	1550 50
1500 50	5013389 48	8027267 48	4954946 47	1500 50
1450 50	6212880 48	9796604 48	7652930 47	1450 50
1400 50	7391801 48	1147665 49	1089412 48	1400 50
1350 50	8550863 48	1307044 49	1466025 48	1350 50
1300 50	9690951 48	1458113 49	1893482 48	1300 50
1250 50	1081316 49	1601203 49	2370351 48	1250 50
1200 50	1191889 49	1736661 49	2895507 48	1200 50
1150 50	1300986 49	1864856 49	3468208 48	1150 50
1100 50	1408824 49	1986178 49	4088230 48	1100 50
1050 50	1515675 49	2101046 49	4756014 48	1050 50
1000 50	1621886 49	2209915 49	5472921 48	1000 50
9500 49	1727898 49	2313276 49	6241506 48	9500 49
9000 49	1834275 49	2411672 49	7065958 48	9000 49
8500 49	1941749 49	2505705 49	7952684 48	8500 49
8000 49	2051275 49	2596053 49	8911146 48	8000 49
7500 49	2164116 49	2683488 49	9955092 48	7500 49
7000 49	2281962 49	2768902 49	1110434 49	7000 49
6900 49	2306321 49	2785831 49	1134915 49	6900 49
6800 49	2330991 49	2802730 49	1159956 49	6800 49
6700 49	2355997 49	2819608 49	1185586 49	6700 49
6600 49	2381361 49	2836475 49	1211839 49	6600 49
6500 49	2407113 49	2853342 49	1238750 49	6500 49
6400 49	2433280 49	2870220 49	1266356 49	6400 49
6300 49	2459893 49	2887118 49	1294700 49	6300 49
6200 49	2486985 49	2904050 49	1323825 49	6200 49
6100 49	2514592 49	2921028 49	1353778 49	6100 49
6000 49	2542751 49	2938064 49	1384612 49	6000 49
5900 49	2571503 49	2955171 49	1416384 49	5900 49
5800 49	2600892 49	2972363 49	1449153 49	5800 49
5700 49	2630966 49	2989655 49	1482987 49	5700 49
5600 49	2661775 49	3007061 49	1517957 49	5600 49
5500 49	2693376 49	3024599 49	1554140 49	5500 49
5400 49	2725827 49	3042284 49	1591621 49	5400 49
5300 49	2759193 49	3060134 49	1630494 49	5300 49
5200 49	2793544 49	3078168 49	1670857 49	5200 49
5100 49	2828957 49	3096405 49	1712823 49	5100 49
5000 49	2865514 49	3114865 49	1756509 49	5000 49
4900 49	2903305 49	3133570 49	1802048 49	4900 49
4800 49	2942428 49	3152544 49	1849584 49	4800 49
4700 49	2982991 49	3171810 49	1899275 49	4700 49
4600 49	3025111 49	3191395 49	1951294 49	4600 49

Integrated Cross Sections and Integrals for Average Energies

$\gamma = 17\ 50$ γ_i'	$\int_{\gamma_i'}^{\gamma}\left[\frac{\sigma_s(\gamma')}{\phi_0}\right]d\gamma'$	$\int_{\gamma_i'}^{\gamma}\left[\frac{\gamma'\sigma_s(\gamma')}{\phi_0}\right]d\gamma'$	$\int_0^{E=\gamma-\gamma_i'}[E'\sigma_s(E')/\phi_0]dE'$	γ_i'
4500 49	3068917 49	3211324 49	2005834 49	4500 49
4400 49	3114549 49	3231629 49	2063103 49	4400 49
4300 49	3162163 49	3252339 49	2123337 49	4300 49
4200 49	3211930 49	3273489 49	2186792 49	4200 49
4100 49	3264039 49	3295112 49	2253754 49	4100 49
4000 49	3318699 49	3317247 49	2324542 49	4000 49
3950 49	3347058 49	3328519 49	2361479 49	3950 49
3900 49	3376143 49	3339935 49	2399508 49	3900 49
3863 49	3397772 49	3348331 49	2427881 49	3863 49

$\gamma = 18\ 50$ γ_1'	$\int_{\gamma_1'}^{\gamma}\left[\frac{\sigma_3(\gamma')}{\phi_0}\right]d\gamma'$	$\int_{\gamma_1'}^{\gamma}\left[\frac{\gamma'\sigma_3(\gamma')}{\phi_0}\right]d\gamma'$	$\int_0^{E=\gamma-\gamma_1'}[E'\sigma_0(E')/\phi_0]dE'$	γ_1'
1800 50	0000000 00	0000000 00	0000000 00	1800 50
1750 50	1148508 48	2038674 48	2864170 46	1750 50
1700 50	2279354 48	3989458 48	1133798 47	1700 50
1650 50	3392782 48	5854522 48	2524863 47	1650 50
1600 50	4489089 48	7636090 48	4442697 47	1600 50
1550 50	5568636 48	9336445 48	6871000 47	1550 50
1500 50	6631865 48	1095793 49	9794190 47	1500 50
1450 50	7679315 48	1250299 49	1319777 48	1450 50
1400 50	8711642 48	1397411 49	1706838 48	1400 50
1350 50	9729640 48	1537392 49	2139428 48	1350 50
1300 50	1073428 49	1670513 49	2616584 48	1300 50
1250 50	1172677 49	1797060 49	3137589 48	1250 50
1200 50	1270856 49	1917333 49	3702078 48	1200 50
1150 50	1368145 49	2031651 49	4310103 48	1150 50
1100 50	1464768 49	2140354 49	4962288 48	1100 50
1050 50	1561002 49	2243806 49	5659971 48	1050 50
1000 50	1657193 49	2342402 49	6405462 48	1000 50
9500 49	1753781 49	2436572 49	7202338 48	9500 49
9000 49	1851319 49	2526790 49	8055852 48	9000 49
8500 49	1950523 49	2613584 49	8973572 48	8500 49
8000 49	2052314 49	2697550 49	9966168 48	8000 49
7500 49	2157907 49	2779365 49	1104867 49	7500 49
7000 49	2268910 49	2859816 49	1224423 49	7000 49
6900 49	2291940 49	2875821 49	1249671 49	6900 49
6800 49	2315291 49	2891816 49	1275707 49	6800 49
6700 49	2338986 49	2907810 49	1302364 49	6700 49
6600 49	2363048 49	2923811 49	1329676 49	6600 49
6500 49	2387503 49	2939829 49	1357677 49	6500 49
6400 49	2412378 49	2955872 49	1386407 49	6400 49
6300 49	2437701 49	2971952 49	1415909 49	6300 49
6200 49	2463503 49	2988078 49	1446227 49	6200 49
6100 49	2489818 49	3004261 49	1477410 49	6100 49
6000 49	2516680 49	3020513 49	1509511 49	6000 49
5900 49	2544129 49	3036844 49	1542588 49	5900 49
5800 49	2572205 49	3053268 49	1576701 49	5800 49
5700 49	2600952 49	3069797 49	1611916 49	5700 49
5600 49	2630418 49	3086445 49	1648307 49	5600 49
5500 49	2660654 49	3103225 49	1685952 49	5500 49
5400 49	2691716 49	3120153 49	1724936 49	5400 49
5300 49	2723664 49	3137244 49	1765351 49	5300 49
5200 49	2756562 49	3154516 49	1807296 49	5200 49
5100 49	2790482 49	3171983 49	1850885 49	5100 49
5000 49	2825500 49	3189666 49	1896234 49	5000 49
4900 49	2861699 49	3207584 49	1943474 49	4900 49
4800 49	2899170 49	3225756 49	1992749 49	4800 49

Integrated Cross Sections and Integrals for Average Energies

$\gamma = 18\ 50$ γ_1'	$\int_{\gamma_1'}^{\gamma}\left[\frac{\sigma_s(\gamma')}{\phi_0}\right]d\gamma'$	$\int_{\gamma_1'}^{\gamma}\left[\frac{\gamma'\sigma_s(\gamma')}{\phi_0}\right]d\gamma'$	$\int_0^{E=\gamma-\gamma_1'}[E'\sigma_s(E')/\phi_0]dE'$	γ_1'
4700 49	2938011 49	3244205 49	2044216 49	4700 49
4600 49	2978332 49	3262953 49	2098046 49	4600 49
4500 49	3020251 49	3282024 49	2154428 49	4500 49
4400 49	3063897 49	3301445 49	2213570 49	4400 49
4300 49	3109414 49	3321244 49	2275702 49	4300 49
4200 49	3156959 49	3341448 49	2341078 49	4200 49
4100 49	3206705 49	3362091 49	2409978 49	4100 49
4000 49	3258644 49	3383205 49	2482715 49	4000 49
3950 49	3285877 49	3393950 49	2520628 49	3950 49
3913 49	3306293 49	3401977 49	2549350 49	3913 49

$\gamma = 19\ 50$ γ_1'	$\int_{\gamma_1'}^{\gamma}\left[\frac{\sigma_s(\gamma')}{\phi_0}\right]d\gamma'$	$\int_{\gamma_1'}^{\gamma}\left[\frac{\gamma'\sigma_s(\gamma')}{\phi_0}\right]d\gamma'$	$\int_0^{E=\gamma-\gamma_1'}[E'\sigma_s(E')/\phi_0]dE'$	γ_1'
1900 50	00000000 00	00000000 00	00000000 00	1900 50
1850 50	1031615 48	1934337 48	25732 50 46	1850 50
1800 50	2049021 48	3791165 48	10197 59 47	1800 50
1750 50	3052432 48	5572275 48	22734 69 47	1750 50
1700 50	4042095 48	7279498 48	40048 17 47	1700 50
1650 50	5018307 48	8914711 48	6200722 47	1650 50
1600 50	5981426 48	1047983 49	8848790 47	1600 50
1550 50	6931871 48	1197683 49	11937 20 48	1550 50
1500 50	7870141 48	1340774 49	15455 22 48	1500 50
1450 50	8796841 48	1477467 49	19393 22 48	1450 50
1400 50	9712684 48	1607979 49	2374302 48	1400 50
1350 50	1061853 49	1732537 49	2849831 48	1350 50
1300 50	1151541 49	1851377 49	3365505 48	1300 50
1250 50	1240457 49	1964749 49	3921204 48	1250 50
1200 50	1328753 49	2072913 49	4517179 48	1200 50
1150 50	1416612 49	2176149 49	5154146 48	1150 50
1100 50	1504261 49	2274755 49	5833421 48	1100 50
1050 50	1591977 49	2369048 49	6557085 48	1050 50
1000 50	1680105 49	2459377 49	7328227 48	1000 50
9500 49	1769076 49	2546118 49	8151255 48	9500 49
9000 49	1859433 49	2629692 49	9032309 48	9000 49
8500 49	1951869 49	2710563 49	9979883 48	8500 49
8000 49	2047275 49	2789258 49	1100564 49	8000 49
7500 49	2146812 49	2866380 49	1212563 49	7500 49
7000 49	2252015 49	2942625 49	1336204 49	7000 49
6900 49	2273906 49	2957838 49	1362583 49	6900 49
6800 49	2296123 49	2973057 49	1389576 49	6800 49
6700 49	2318687 49	2988287 49	1417218 49	6700 49
6600 49	2341620 49	3003538 49	1445541 49	6600 49
6500 49	2364947 49	3018816 49	1474583 49	6500 49
6400 49	2388693 49	3034132 49	1504384 49	6400 49
6300 49	2412884 49	3049493 49	1534987 49	6300 49
6200 49	2437550 49	3064909 49	1566436 49	6200 49
6100 49	2462722 49	3080389 49	1598782 49	6100 49
6000 49	2488432 49	3095943 49	1632078 49	6000 49
5900 49	2514718 49	3111583 49	1666381 49	5900 49
5800 49	2541616 49	3127318 49	1701753 49	5800 49
5700 49	2569170 49	3143160 49	1738262 49	5700 49
5600 49	2597422 49	3159122 49	1775979 49	5600 49
5500 49	2626420 49	3175216 49	1814982 49	5500 49
5400 49	2656218 49	3191455 49	1855359 49	5400 49
5300 49	2686870 49	3207853 49	1897200 49	5300 49
5200 49	2718437 49	3224425 49	1940605 49	5200 49
5100 49	2750984 49	3241186 49	1985684 49	5100 49
5000 49	2784584 49	3258153 49	2032556 49	5000 49

Integrated Cross Sections and Integrals for Average Energies

$\gamma = 19\ 50$ γ_i'	$\int_{\gamma_i'}^{\gamma}\left[\frac{\sigma_3(\gamma')}{\phi_0}\right]d\gamma'$	$\int_{\gamma_i'}^{\gamma}\left[\frac{\gamma'\sigma_3(\gamma')}{\phi_0}\right]d\gamma'$	$\int_0^{E=\gamma-\gamma_i'}[E'\sigma_6(E')/\phi_0]dE'$	γ_i'
4900 49	2819312 49	3275342 49	2081350 49	4900 49
4800 49	2855253 49	3292773 49	2132208 49	4800 49
4700 49	2892500 49	3310464 49	2185286 49	4700 49
4600 49	2931151 49	3328435 49	2240752 49	4600 49
4500 49	2971317 49	3346710 49	2298793 49	4500 49
4400 49	3013119 49	3365310 49	2359615 49	4400 49
4300 49	3056687 49	3384260 49	2423444 49	4300 49
4200 49	3102167 49	3403588 49	2490529 49	4200 49
4100 49	3149719 49	3423320 49	2561146 49	4100 49
4000 49	3199520 49	3443488 49	2635601 49	4000 49
3958 49	3220981 49	3452027 49	2667836 49	3958 49

$\gamma = 20$ 50 γ_1'	$\int_{\gamma_1'}^{\gamma}\left[\frac{\sigma_3(\gamma')}{\phi_0}\right]d\gamma'$	$\int_{\gamma_1'}^{\gamma}\left[\frac{\gamma'\sigma_3(\gamma')}{\phi_0}\right]d\gamma'$	$\int_0^{E=\gamma-\gamma_1'}[E'\sigma_3(E')/\phi_0]dE'$	γ_1'
2000 50	00000000 00	00000000 00	00000000 00	2000 50
1900 50	18517773 48	36113342 48	92204470 46	1900 50
1800 50	36580779 48	69533378 48	36277798 47	1800 50
1700 50	54207777 48	10038455 49	80309800 47	1700 50
1600 50	71424044 48	12879477 49	14053539 48	1600 50
1500 50	88264184 48	15489988 49	21628849 48	1500 50
1400 50	10477604 49	17884455 49	30707751 48	1400 50
1300 50	12102634 49	20078433 49	41268422 48	1300 50
1200 50	13711014 49	22088988 49	53330314 48	1200 50
1100 50	15316444 49	23935194 49	66976964 48	1100 50
1000 50	16939244 49	25638874 49	82396124 48	1000 50
9750 49	17350964 49	26045444 49	86564874 48	9750 49
9500 49	17766244 49	26445144 49	90873464 48	9500 49
9250 49	18185774 49	26838444 49	95331094 48	9250 49
9000 49	18610344 49	27225854 49	99948364 48	9000 49
8750 49	19040834 49	27607894 49	10473764 49	8750 49
8500 49	19478244 49	27985144 49	10971344 49	8500 49
8250 49	19923714 49	28358214 49	11489214 49	8250 49
8000 49	20378524 49	28727724 49	12029324 49	8000 49
7750 49	20844154 49	29094384 49	12593934 49	7750 49
7500 49	21322304 49	29458944 49	13185664 49	7500 49
7250 49	21814904 49	29822204 49	13807604 49	7250 49
7000 49	22324214 49	30185044 49	14463374 49	7000 49
6750 49	22852834 49	30548434 49	15157234 49	6750 49
6500 49	23403814 49	30913404 49	15894214 49	6500 49
6250 49	23980714 49	31281124 49	16680304 49	6250 49
6000 49	24587754 49	31652864 49	17522644 49	6000 49
5900 49	24840094 49	31803004 49	17877184 49	5900 49
5800 49	25098404 49	31954114 49	18242704 49	5800 49
5700 49	25363074 49	32106294 49	18619864 49	5700 49
5600 49	25634514 49	32259654 49	19009384 49	5600 49
5500 49	25913184 49	32414304 49	19412054 49	5500 49
5400 49	26199544 49	32570364 49	19828734 49	5400 49
5300 49	26494144 49	32727964 49	20260314 49	5300 49
5200 49	26797534 49	32887234 49	20707824 49	5200 49
5100 49	27110324 49	33048314 49	21172324 49	5100 49
5000 49	27433174 49	33211354 49	21655004 49	5000 49
4900 49	27766824 49	33376494 49	22157144 49	4900 49
4800 49	28112034 49	33543914 49	22680154 49	4800 49
4700 49	28469674 49	33713784 49	23225564 49	4700 49
4600 49	28840654 49	33886284 49	23795034 49	4600 49
4500 49	29226024 49	34061604 49	24390444 49	4500 49
4400 49	29626874 49	34239974 49	25013764 49	4400 49
4300 49	30044434 49	34421594 49	25667264 49	4300 49
4200 49	30480044 49	34606714 49	26353374 49	4200 49

Integrated Cross Sections and Integrals for Average Energies

$\gamma = 20$ 50 γ_i'	$\int_{\gamma_i'}^{\gamma}\left[\frac{\sigma_3(\gamma')}{\phi_0}\right]d\gamma'$	$\int_{\gamma_i'}^{\gamma}\left[\frac{\gamma'\sigma_3(\gamma')}{\phi_0}\right]d\gamma'$	$\int_0^{E=\gamma-\gamma_i'}[E'\sigma_s(E')/\phi_0]dE'$	γ_i'
4100 49	3093519 49	3479558 49	2707480 49	4100 49
4000 49	3141152 49	3498847 49	2783456 49	4000 49

$\gamma = 21\ 50$ γ_i'	$\int_{\gamma_i'}^{\gamma}\left[\frac{\sigma_s(\gamma')}{\phi_0}\right]d\gamma'$	$\int_{\gamma_i'}^{\gamma}\left[\frac{\gamma'\sigma_s(\gamma')}{\phi_0}\right]d\gamma'$	$\int_{0}^{E=\gamma-\gamma_i'}[E'\sigma_s(E')/\phi_0]dE'$	γ_i'
2100 50	00000000 00	00000000 00	00000000 00	2100 50
2000 50	16815874 8	34475684 8	83765404 6	2000 50
1900 50	33258494 8	66541874 8	33009694 7	1900 50
1800 50	49343784 8	96302554 8	73194004 7	1800 50
1700 50	65092614 8	12386564 9	12828814 8	1700 50
1600 50	80532634 8	14934414 9	19774374 8	1600 50
1500 50	95700874 8	17285704 9	28114824 8	1500 50
1400 50	11064754 9	19453124 9	37828544 8	1400 50
1300 50	12544144 9	21450394 9	48923064 8	1300 50
1200 50	14017894 9	23292584 9	61449994 8	1200 50
1100 50	15499754 9	24996574 9	75529024 8	1100 50
1000 50	17009804 9	26581794 9	91387994 8	1000 50
9750 49	17394964 9	26962134 9	95673004 8	9750 49
9500 49	17784304 9	27336864 9	10010184 9	9500 49
9250 49	18178504 9	27706404 9	10468444 9	9250 49
9000 49	18578304 9	28071214 9	10943224 9	9000 49
8750 49	18984574 9	28431774 9	11435844 9	8750 49
8500 49	19398284 9	28788574 9	11947824 9	8500 49
8250 49	19820504 9	29142164 9	12480894 9	8250 49
8000 49	20252484 9	29493124 9	13037084 9	8000 49
7750 49	20695624 9	29842074 9	13618744 9	7750 49
7500 49	21151554 9	30189694 9	14228574 9	7500 49
7250 49	21622114 9	30536704 9	14869744 9	7250 49
7000 49	22109454 9	30883894 9	15545964 9	7000 49
6750 49	22616034 9	31232124 9	16261554 9	6750 49
6500 49	23144744 9	31582344 9	17021624 9	6500 49
6250 49	23698954 9	31935594 9	17832214 9	6250 49
6000 49	24282634 9	32293034 9	18700504 9	6000 49
5900 49	24525384 9	32437464 9	19065844 9	5900 49
5800 49	24773934 9	32582854 9	19442394 9	5800 49
5700 49	25028634 9	32729304 9	19830824 9	5700 49
5600 49	25289884 9	32876914 9	20231854 9	5600 49
5500 49	25558114 9	33025764 9	20646264 9	5500 49
5400 49	25833754 9	33175994 9	21074904 9	5400 49
5300 49	26117314 9	33327684 9	21518684 9	5300 49
5200 49	26409324 9	33480984 9	21978594 9	5200 49
5100 49	26710334 9	33635994 9	22455714 9	5100 49
5000 49	27020994 9	33792864 9	22951214 9	5000 49
4900 49	27341944 9	33951734 9	23466354 9	4900 49
4800 49	27673934 9	34112744 9	24002534 9	4800 49
4700 49	28017764 9	34276044 9	24561264 9	4700 49
4600 49	28374294 9	34441824 9	25144194 9	4600 49
4500 49	28744474 9	34610244 9	25753144 9	4500 49
4400 49	29129334 9	34781494 9	26390114 9	4400 49
4300 49	29530024 9	34955774 9	27057274 9	4300 49

Integrated Cross Sections and Integrals for Average Energies

$\gamma = 21\ \ 50$ γ_i'	$\int_{\gamma_1'}^{\gamma}\left[\frac{\sigma_s(\gamma')}{\phi_0}\right]d\gamma'$	$\int_{\gamma_1'}^{\gamma}\left[\frac{\gamma'\sigma_s(\gamma')}{\phi_0}\right]d\gamma'$	$\int_0^{E=\gamma-\gamma_i'}[E'\sigma_s(E')/\phi_0]dE'$	γ_i'
4200 49	2994779 49	3513331 49	2775704 49	4200 49
4100 49	3038400 49	3531433 49	2849208 49	4100 49
4038 49	3066227 49	3542755 49	2896321 49	4038 49

$\gamma = 25$ 50 γ_i'	$\int_{\gamma_i'}^{\gamma}\left[\frac{\sigma_s(\gamma')}{\phi_0}\right]d\gamma'$	$\int_{\gamma_i'}^{\gamma}\left[\frac{\gamma'\sigma_s(\gamma')}{\phi_0}\right]d\gamma'$	$\int_0^{=\gamma-\gamma_i'}[E'\sigma_s(E')/\phi_0]dE'$	γ_i'
2500 50	00000000 00	00000000 00	00000000 00	2500 50
2400 50	1190520 48	2916930 48	5937070 46	2400 50
2300 50	2362608 48	5671488 48	2350335 47	2300 50
2200 50	3517173 48	8269398 48	5235339 47	2200 50
2100 50	4655307 48	1071651 49	9217490 47	2100 50
2000 50	5778341 48	1301886 49	1426994 48	2000 50
1900 50	6887908 48	1518262 49	2037151 48	1900 50
1800 50	7986025 48	1721422 49	2750842 48	1800 50
1700 50	9075219 48	1912037 49	3567676 48	1700 50
1600 50	1015868 49	2090812 49	4488587 48	1600 50
1500 50	1124051 49	2258495 49	5516333 48	1500 50
1400 50	1232604 49	2415890 49	6656194 48	1400 50
1300 50	1342231 49	2563875 49	7917035 48	1300 50
1200 50	1453885 49	2703421 49	9312926 48	1200 50
1100 50	1568878 49	2835628 49	1086566 49	1100 50
1000 50	1689067 49	2961774 49	1260895 49	1000 50
9750 49	1720220 49	2992536 49	1308013 49	9750 49
9500 49	1751913 49	3023040 49	1356744 49	9500 49
9250 49	1784208 49	3053315 49	1407205 49	9250 49
9000 49	1817169 49	3083390 49	1459532 49	9000 49
8750 49	1850871 49	3113299 49	1513878 49	8750 49
8500 49	1885396 49	3143075 49	1570415 49	8500 49
8250 49	1920838 49	3172756 49	1629339 49	8250 49
8000 49	1957301 49	3202380 49	1690874 49	8000 49
7750 49	1994905 49	3231990 49	1755273 49	7750 49
7500 49	2033784 49	3261633 49	1822828 49	7500 49
7250 49	2074093 49	3291358 49	1893876 49	7250 49
7000 49	2116009 49	3321219 49	1968803 49	7000 49
6750 49	2159733 49	3351276 49	2048058 49	6750 49
6500 49	2205503 49	3381594 49	2132165 49	6500 49
6250 49	2253592 49	3412245 49	2221734 49	6250 49
6000 49	2304319 49	3443309 49	2317488 49	6000 49
5900 49	2325431 49	3455870 49	2357706 49	5900 49
5800 49	2347051 49	3468518 49	2399110 49	5800 49
5700 49	2369209 49	3481259 49	2441765 49	5700 49
5600 49	2391936 49	3494099 49	2485743 49	5600 49
5500 49	2415266 49	3507046 49	2531118 49	5500 49
5400 49	2439233 49	3520108 49	2577975 49	5400 49
5300 49	2463877 49	3533291 49	2626400 49	5300 49
5200 49	2489239 49	3546606 49	2676491 49	5200 49
5100 49	2515364 49	3560060 49	2728350 49	5100 49
5000 49	2542301 49	3573662 49	2782090 49	5000 49
4900 49	2570102 49	3587423 49	2837832 49	4900 49
4800 49	2598825 49	3601353 49	2895709 49	4800 49
4700 49	2628531 49	3615462 49	2955865 49	4700 49

Integrated Cross Sections and Integrals for Average Energies

$\gamma = 25\ \ 50$ γ_1'	$\int_{\gamma_1'}^{\gamma}\left[\frac{\sigma_3(\gamma')}{\phi_0}\right]d\gamma'$	$\int_{\gamma_1'}^{\gamma}\left[\frac{\gamma'\sigma_3(\gamma')}{\phi_0}\right]d\gamma'$	$\int_0^{E=\gamma-\gamma_1'}[E'\sigma_6(E')/\phi_0]dE'$	γ_1'
4600 49	2659288 49	3629763 49	3018456 49	4600 49
4500 49	2691169 49	3644268 49	3083655 49	4500 49
4400 49	2724255 49	3658991 49	3151647 49	4400 49
4300 49	2758633 49	3673944 49	3222640 49	4300 49
4200 49	2794401 49	3689144 49	3296858 49	4200 49
4166 49	2806650 49	3694268 49	3322356 49	4166 49

$\gamma = 30\ 50$ γ_i'	$\int_{\gamma_i'}^{\gamma}\left[\frac{\sigma_s(\gamma')}{\phi_0}\right]d\gamma'$	$\int_{\gamma_i'}^{\gamma}\left[\frac{\gamma'\sigma_s(\gamma')}{\phi_0}\right]d\gamma'$	$\int_0^{E=\gamma-\gamma_i'}[E'\sigma_s(E')/\phi_0]dE'$	γ_i'
3000 50	00000000 00	00000000 00	00000000 00	3000 50
2900 50	82877745 47	24449960 48	41362890 46	2900 50
2800 50	16487333 48	47819150 48	16428460 47	2800 50
2700 50	24603770 48	70140020 48	36712860 47	2700 50
2600 50	32642780 48	91444010 48	64843300 47	2600 50
2500 50	40610940 48	11176340 49	10069430 48	2500 50
2400 50	48515880 48	13113090 49	14416670 48	2400 50
2300 50	56366440 48	14958020 49	19519120 48	2300 50
2200 50	64173020 48	16714530 49	25373720 48	2200 50
2100 50	71947860 48	18386140 49	31982140 48	2100 50
2000 50	79705530 48	19976470 49	39351850 48	2000 50
1900 50	87463500 48	21489270 49	47497800 48	1900 50
1800 50	95242940 48	23928440 49	56444440 48	1800 50
1700 50	10306970 49	24298080 49	66228490 48	1700 50
1600 50	11097600 49	25602530 49	76902760 48	1600 50
1500 50	11900200 49	26846440 49	88541650 48	1500 50
1400 50	12719900 49	28034840 49	10124860 49	1400 50
1300 50	13563340 49	29173250 49	11516770 49	1300 50
1200 50	14439290 49	30267870 49	13050000 49	1200 50
1100 50	15359590 49	31325790 49	14752980 49	1100 50
1000 50	16340660 49	32355320 49	16666660 49	1000 50
9750 49	16597970 49	32609400 49	17184510 49	9750 49
9500 49	16860940 49	32862510 49	17720330 49	9500 49
9250 49	17130090 49	33114820 49	18275460 49	9250 49
9000 49	17405980 49	33366550 49	18851380 49	9000 49
8750 49	17689210 49	33617900 49	19449730 49	8750 49
8500 49	17980490 49	33869120 49	20072370 49	8500 49
8250 49	18280600 49	34120440 49	20721370 49	8250 49
8000 49	18590400 49	34372130 49	21399070 49	8000 49
7750 49	18910860 49	34624470 49	22108130 49	7750 49
7500 49	19243110 49	34877780 49	22851560 49	7500 49
7250 49	19588390 49	35132400 49	23632790 49	7250 49
7000 49	19948150 49	35388690 49	24455750 49	7000 49
6750 49	20324000 49	35647060 49	25324960 49	6750 49
6500 49	20717860 49	35907950 49	26245640 49	6500 49
6250 49	21131900 49	36171850 49	27223840 49	6250 49
6000 49	21568660 49	36439320 49	28266660 49	6000 49
5900 49	21750380 49	36547440 49	28703690 49	5900 49
5800 49	21936410 49	36656260 49	29152970 49	5800 49
5700 49	22126990 49	36765850 49	29615140 49	5700 49
5600 49	22322370 49	36876230 49	30090870 49	5600 49
5500 49	22522790 49	36987460 49	30580910 49	5500 49
5400 49	22728540 49	37099590 49	31086040 49	5400 49
5300 49	22939930 49	37212670 49	31607110 49	5300 49
5200 49	23157270 49	37326770 49	32145030 49	5200 49

Integrated Cross Sections and Integrals for Average Energies

$\gamma = 30$ 50 γ_1'	$\int_{\gamma_1'}^{\gamma} \left[\frac{\sigma_3(\gamma')}{\phi_0}\right] d\gamma'$	$\int_{\gamma_1'}^{\gamma} \left[\frac{\gamma'\sigma_3(\gamma')}{\phi_0}\right] d\gamma'$	$\int_0^{E=\gamma-\gamma_1'} [E'\sigma_6(E')/\phi_0]\, dE'$	γ_1'
5100 49	2338091 49	3744194 49	3270079 49	5100 49
5000 49	2361123 49	3755825 49	3327546 49	5000 49
4900 49	2384864 49	3767576 49	3387017 49	4900 49
4800 49	2409358 49	3779455 49	3448619 49	4800 49
4700 49	2434652 49	3791469 49	3512487 49	4700 49
4600 49	2460798 49	3803626 49	3578767 49	4600 49
4500 49	2487852 49	3815935 49	3647621 49	4500 49
4400 49	2515876 49	3828405 49	3719222 49	4400 49
4300 49	2544936 49	3841045 49	3793764 49	4300 49
4285 49	2549176 49	3842865 49	3804664 49	4285 49

$\gamma = 35\ 50$ γ_i'	$\int_{\gamma_i'}^{\gamma} \left[\frac{\sigma_s(\gamma')}{\phi_0}\right] d\gamma'$	$\int_{\gamma_i'}^{\gamma} \left[\frac{\gamma'\sigma_s(\gamma')}{\phi_0}\right] d\gamma'$	$\int_{0}^{\epsilon=\gamma-\gamma_i'} [E'\sigma_s(E')/\phi_0]\, dE'$	γ_i'
3500 50	0000000 00	0000000 00	0000000 00	3500 50
3400 50	6097895 47	2103813 48	3044960 46	3400 50
3300 50	1214851 48	4130808 48	1211721 47	3300 50
3200 50	1815484 48	6082901 48	2712935 47	3200 50
3100 50	2412018 48	7962016 48	4800483 47	3100 50
3000 50	3004822 48	9770097 48	7467820 47	3000 50
2900 50	3594310 48	1150911 49	1070973 48	2900 50
2800 50	4180947 48	1318105 49	1452266 48	2800 50
2700 50	4765258 48	1478792 49	1890480 48	2700 50
2600 50	5347840 48	1633177 49	2385664 48	2600 50
2500 50	5929372 48	1781469 49	2938114 48	2500 50
2400 50	6510634 48	1923878 49	3548438 48	2400 50
2300 50	7092525 48	2060621 49	4217625 48	2300 50
2200 50	7676091 48	2191922 49	4947099 48	2200 50
2100 50	8262551 48	2318007 49	5738852 48	2100 50
2000 50	8853343 48	2439116 49	6595541 48	2000 50
1900 50	9450177 48	2555493 49	7520691 48	1900 50
1800 50	1005510 49	2667395 49	8518895 48	1800 50
1700 50	1067059 49	2775097 49	9596108 48	1700 50
1600 50	1129970 49	2878887 49	1076008 49	1600 50
1500 50	1194619 49	2979076 49	1202090 49	1500 50
1400 50	1261482 49	3076007 49	1339179 49	1400 50
1300 50	1331166 49	3170055 49	1489028 49	1300 50
1200 50	1404467 49	3261647 49	1653988 49	1200 50
1100 50	1482442 49	3351273 49	1837273 49	1100 50
1000 50	1566539 49	3439517 49	2043370 49	1000 50
9750 49	1588742 49	3461442 49	2099156 49	9750 49
9500 49	1611491 49	3483335 49	2156883 49	9500 49
9250 49	1634828 49	3505213 49	2216686 49	9250 49
9000 49	1658803 49	3527089 49	2278721 49	9000 49
8750 49	1683467 49	3548977 49	2343158 49	8750 49
8500 49	1708881 49	3570894 49	2410189 49	8500 49
8250 49	1735109 49	3592859 49	2480024 49	8250 49
8000 49	1762226 49	3614890 49	2552903 49	8000 49
7750 49	1790315 49	3637007 49	2629094 49	7750 49
7500 49	1819467 49	3659233 49	2708902 49	7500 49
7250 49	1849789 49	3681594 49	2792668 49	7250 49
7000 49	1881400 49	3704113 49	2880786 49	7000 49
6750 49	1914436 49	3726822 49	2973703 49	6750 49
6500 49	1949053 49	3749753 49	3071933 49	6500 49
6250 49	1985432 49	3772941 49	3176071 49	6250 49
6000 49	2023781 49	3796425 49	3286809 49	6000 49
5900 49	2039726 49	3805912 49	3333128 49	5900 49
5800 49	2056041 49	3815456 49	3380689 49	5800 49
5700 49	2072747 49	3825062 49	3429553 49	5700 49

$\gamma = 35\ 50$ γ_i'	$\int_{\gamma_i'}^{\gamma}\left[\frac{\sigma_3(\gamma')}{\phi_0}\right]d\gamma'$	$\int_{\gamma_i'}^{\gamma}\left[\frac{\gamma'\sigma_3(\gamma')}{\phi_0}\right]d\gamma'$	$\int_0^{E=\gamma-\gamma_i'}[E'\sigma_s(E')/\phi_0]\,dE'$	γ_i'
5600 49	2089862 49	3834731 49	3479785 49	5600 49
5500 49	2107407 49	3844468 49	3531457 49	5500 49
5400 49	2125406 49	3854277 49	3584645 49	5400 49
5300 49	2143883 49	3864162 49	3639428 49	5300 49
5200 49	2162863 49	3874127 49	3695895 49	5200 49
5100 49	2182375 49	3884175 49	3754140 49	5100 49
5000 49	2202450 49	3894312 49	3814265 49	5000 49
4900 49	2223120 49	3904543 49	3876377 49	4900 49
4800 49	2244420 49	3914873 49	3940597 49	4800 49
4700 49	2266388 49	3925307 49	4007052 49	4700 49
4600 49	2289067 49	3935852 49	4075881 49	4600 49
4500 49	2312500 49	3946514 49	4147236 49	4500 49
4400 49	2336737 49	3957299 49	4221282 49	4400 49
4375 49	2342928 49	3960015 49	4240234 49	4375 49

$\gamma = 40\ 50$ γ_i	$\int_{\gamma_i'}^{\gamma}\left[\frac{\sigma_s(\gamma')}{\phi_0}\right]d\gamma'$	$\int_{\gamma_i'}^{\gamma}\left[\frac{\gamma'\sigma_s(\gamma')}{\phi_0}\right]d\gamma'$	$\int_0^{E=\gamma-\gamma_i'}[E'\sigma_0(E')/\phi_0]dE'$	γ_i'
4000 50	00000000 00	00000000 00	00000000 00	4000 50
3500 50	23109644 48	86686766 48	57517933 47	3500 50
3000 50	45758353 48	16030699 49	22726422 48	3000 50
2500 50	68379033 48	22250259 49	51013600 48	2500 50
2000 50	91751266 48	27503466 49	91970400 48	2000 50
1900 50	96632266 48	28455186 49	10197726 49	1900 50
1800 50	10162076 49	29377946 49	11270336 49	1800 50
1700 50	10673986 49	30273686 49	12422266 49	1700 50
1600 50	11201806 49	31144436 49	13662786 49	1600 50
1500 50	11749006 49	31992426 49	15003616 49	1500 50
1400 50	12319966 49	32820086 49	16459776 49	1400 50
1300 50	12920216 49	33630156 49	18050706 49	1300 50
1200 50	13556936 49	34425716 49	19802026 49	1200 50
1100 50	14239616 49	35210366 49	21748086 49	1100 50
1000 50	14981116 49	35988386 49	23936066 49	1000 50
9800 49	15137936 49	36143636 49	24408116 49	9800 49
9600 49	15297986 49	36298876 49	24893076 49	9600 49
9400 49	15461446 49	36454166 49	25391626 49	9400 49
9200 49	15628526 49	36609536 49	25904566 49	9200 49
9000 49	15799436 49	36765066 49	26432686 49	9000 49
8800 49	15974426 49	36920796 49	26976916 49	8800 49
8600 49	16153756 49	37076796 49	27538206 49	8600 49
8400 49	16337696 49	37233136 49	28117626 49	8400 49
8200 49	16526556 49	37389886 49	28716336 49	8200 49
8000 49	16720686 49	37547116 49	29335606 49	8000 49
7800 49	16920436 49	37704916 49	29976816 49	7800 49
7600 49	17126216 49	37863356 49	30641516 49	7600 49
7400 49	17338476 49	38022546 49	31331376 49	7400 49
7200 49	17557706 49	38182566 49	32048246 49	7200 49
7000 49	17784436 49	38343536 49	32794206 49	7000 49
6800 49	18019276 49	38505556 49	33571546 49	6800 49
6600 49	18262896 49	38668766 49	34382796 49	6600 49
6400 49	18516026 49	38833286 49	35230826 49	6400 49
6200 49	18779526 49	38999276 49	36118836 49	6200 49
6000 49	19054326 49	39166886 49	37050436 49	6000 49
5800 49	19341496 49	39336296 49	38029686 49	5800 49
5600 49	19642226 49	39507686 49	39061226 49	5600 49
5400 49	19957906 49	39681286 49	40150336 49	5400 49
5200 49	20290096 49	39857316 49	41303076 49	5200 49
5000 49	20640616 49	40036046 49	42526416 49	5000 49
4800 49	21011556 49	40217766 49	43828436 49	4800 49
4600 49	21405346 49	40402816 49	45218576 49	4600 49
4444 49	21729246 49	40549266 49	46367726 49	4444 49

Integrated Cross Sections and Integrals for Average Energies

$\gamma = 45\ 50$ γ_i'	$\int_{\gamma_i'}^{\gamma}\left[\frac{\sigma_3(\gamma')}{\phi_0}\right]d\gamma'$	$\int_{\gamma_i'}^{\gamma}\left[\frac{\gamma'\sigma_3(\gamma')}{\phi_0}\right]d\gamma'$	$\int_0^{E=\gamma-\gamma_i'}[E'\sigma_6(E')/\phi_0]dE'$	γ_i'
4500 50	00000000 00	00000000 00	00000000 00	4500 50
4000 50	18315244 48	77855599 48	45630084 47	4000 50
3500 50	36348124 48	14548614 49	18080444 48	3500 50
3000 50	54357554 48	20401064 49	40598344 48	3000 50
2500 50	72763254 48	25459774 49	72836884 48	2500 50
2000 50	92311354 48	29851054 49	11689054 49	2000 50
1900 50	96468174 48	30661544 49	12749134 49	1900 50
1800 50	10074354 49	31452384 49	13882224 49	1800 50
1700 50	10515924 49	32224994 49	15096644 49	1700 50
1600 50	10974124 49	32980884 49	16402684 49	1600 50
1500 50	11452194 49	33721704 49	17813164 49	1500 50
1400 50	11954124 49	34449284 49	19344274 49	1400 50
1300 50	12484974 49	35165674 49	21016724 49	1300 50
1200 50	13051264 49	35873204 49	22857484 49	1200 50
1100 50	13661544 49	36574624 49	24902344 49	1100 50
1000 50	14327364 49	37273204 49	27199924 49	1000 50
9800 49	14468494 49	37412924 49	27695314 49	9800 49
9600 49	14612624 49	37552724 49	28204094 49	9600 49
9400 49	14759924 49	37692654 49	28726994 49	9400 49
9200 49	14910554 49	37832734 49	29264774 49	9200 49
9000 49	15064734 49	37973034 49	29818264 49	9000 49
8800 49	15222654 49	38113574 49	30388374 49	8800 49
8600 49	15384554 49	38254424 49	30976084 49	8600 49
8400 49	15550684 49	38395624 49	31582454 49	8400 49
8200 49	15721304 49	38537224 49	32208634 49	8200 49
8000 49	15896714 49	38679304 49	32855904 49	8000 49
7800 49	16077234 49	38821904 49	33525644 49	7800 49
7600 49	16263214 49	38965104 49	34219374 49	7600 49
7400 49	16455054 49	39108964 49	34938764 49	7400 49
7200 49	16653164 49	39253574 49	35685644 49	7200 49
7000 49	16858014 49	39399014 49	36462054 49	7000 49
6800 49	17070134 49	39545364 49	37270244 49	6800 49
6600 49	17290104 49	39692724 49	38112734 49	6600 49
6400 49	17518554 49	39841214 49	38992304 49	6400 49
6200 49	17756224 49	39990924 49	39912104 49	6200 49
6000 49	18003914 49	40141994 49	40875634 49	6000 49
5800 49	18262544 49	40294564 49	41886864 49	5800 49
5600 49	18533134 49	40448784 49	42950304 49	5600 49
5400 49	18816854 49	40604814 49	44071054 49	5400 49
5200 49	19115074 49	40762844 49	45254994 49	5200 49
5000 49	19429304 49	40923074 49	46508804 49	5000 49
4800 49	19761344 49	41085734 49	47840314 49	4800 49
4600 49	20113244 49	41251094 49	49258524 49	4600 49
4500 49	20297394 49	41334874 49	50003384 49	4500 49

Integrated Cross Sections and Integrals for Average Energies

$\gamma = 50$ γ_i' 50	$\int_{\gamma_i'}^{\gamma}\left[\frac{\sigma_s(\gamma')}{\phi_0}\right]d\gamma'$	$\int_{\gamma_i'}^{\gamma}\left[\frac{\gamma'\sigma_s(\gamma')}{\phi_0}\right]d\gamma'$	$\int_{0}^{E=\gamma-\gamma_i'}[E'\sigma_s(E')/\phi_0]dE'$	γ_i'
5000 50	00000000 00	00000000 00	00000000 00	3000 50
4500 50	14867398 48	70630400 48	37065562 47	4000 50
4000 50	29552598 48	13304711 49	14715854 48	4000 50
3500 50	44221038 48	18805011 49	33055064 48	3500 50
3000 50	59122208 48	23646233 49	59148614 48	3000 50
2500 50	74657738 48	27914729 49	94141504 48	2500 50
2000 50	91535338 48	31704439 49	14063239 49	2000 50
1900 50	95175518 48	32414179 49	15173584 49	1900 50
1800 50	98937738 48	33110079 49	16358799 49	1800 50
1700 50	10284219 49	33793219 49	17627849 49	1700 50
1600 50	10691299 49	34464759 49	18991729 49	1600 50
1500 50	11117999 49	35125959 49	20464019 49	1500 50
1400 50	11567999 49	35778249 49	22061729 49	1400 50
1300 50	12045939 49	36423219 49	23806459 49	1300 50
1200 50	12557759 49	37062679 49	25726099 49	1200 50
1100 50	13111239 49	37698799 49	27857389 49	1100 50
1000 50	13716809 49	38334159 49	30249889 49	1000 50
9800 49	13845359 49	38461419 49	30765349 49	9800 49
9600 49	13976679 49	38588789 49	31294589 49	9600 49
9400 49	14110929 49	38716329 49	31838319 49	9400 49
9200 49	14248279 49	38844049 49	32397309 49	9200 49
9000 49	14388889 49	38971999 49	32972409 49	9000 49
8800 49	14532949 49	39100209 49	33564519 49	8800 49
8600 49	14680669 49	39228719 49	34174609 49	8600 49
8400 49	14832269 49	39357569 49	34803739 49	8400 49
8200 49	14987979 49	39486809 49	35453079 49	8200 49
8000 49	15148069 49	39616479 49	36123869 49	8000 49
7800 49	15312829 49	39746629 49	36817509 49	7800 49
7600 49	15482559 49	39877309 49	37535479 49	7600 49
7400 49	15657609 49	40008589 49	38279449 49	7400 49
7200 49	15838349 49	40140519 49	39051219 49	7200 49
7000 49	16025199 49	40273169 49	39852829 49	7000 49
6800 49	16218619 49	40406619 49	40686459 49	6800 49
6600 49	16419109 49	40540939 49	41554599 49	6600 49
6400 49	16627239 49	40676209 49	42459989 49	6400 49
6200 49	16843649 49	40812529 49	43405699 49	6200 49
6000 49	17069029 49	40949999 49	44395149 49	6000 49
5800 49	17304199 49	41088729 49	45432239 49	5800 49
5600 49	17550039 49	41228839 49	46521329 49	5600 49
5400 49	17807579 49	41370469 49	47667409 49	5400 49
5200 49	18077979 49	41513759 49	48876129 49	5200 49
5000 49	18362589 49	41658879 49	50154039 49	5000 49
4800 49	18662929 49	41806019 49	51508629 49	4800 49
4600 49	18980799 49	41955389 49	52948609 49	4600 49
4555 49	19070809 49	41996549 49	53357469 49	4555 49

$\gamma = 55\ 50$ γ_1'	$\int_{\gamma_1'}^{\gamma}\left[\frac{\sigma_3(\gamma')}{\phi_0}\right]d\gamma'$	$\int_{\gamma_1'}^{\gamma}\left[\frac{\gamma'\sigma_3(\gamma')}{\phi_0}\right]d\gamma'$	$\int_0^{E=\gamma-\gamma_1'}[E'\sigma_6(E')/\phi_0]dE'$	γ_1'
5500 50	0000000 00	0000000 00	0000000 00	5500 50
5000 50	1230655 48	6461639 48	3069675 47	5000 50
4500 50	2449048 48	1224931 49	1220453 48	4500 50
4000 50	3666278 48	1742230 49	2742229 48	4000 50
3500 50	4898228 48	2204108 49	4899175 48	3500 50
3000 50	6168757 48	2616804 49	7760122 48	3000 50
2500 50	7516080 48	2986889 49	1146955 49	2500 50
2000 50	9007095 48	3321566 49	1632335 49	2000 50
1900 50	9332278 48	3384967 49	1747785 49	1900 50
1800 50	9669616 48	3447364 49	1870924 49	1800 50
1700 50	1002098 49	3508841 49	2002700 49	1700 50
1600 50	1038864 49	3569489 49	2144262 49	1600 50
1500 50	1077533 49	3629410 49	2297023 49	1500 50
1400 50	1118447 49	3688715 49	2462745 49	1400 50
1300 50	1162032 49	3747531 49	2643650 49	1300 50
1200 50	1208835 49	3806005 49	2842590 49	1200 50
1100 50	1259567 49	3864310 49	3063309 49	1100 50
1000 50	1315178 49	3922656 49	3310825 49	1000 50
9800 49	1326993 49	3934352 49	3364109 49	9800 49
9600 49	1339066 49	3946063 49	3418801 49	9600 49
9400 49	1351411 49	3957790 49	3474970 49	9400 49
9200 49	1364042 49	3969537 49	3532697 49	9200 49
9000 49	1376976 49	3981306 49	3592063 49	9000 49
8800 49	1390229 49	3993100 49	3653159 49	8800 49
8600 49	1403819 49	4004923 49	3716083 49	8600 49
8400 49	1417767 49	4016778 49	3780940 49	8400 49
8200 49	1432093 49	4028668 49	3847845 49	8200 49
8000 49	1446822 49	4040598 49	3916923 49	8000 49
7800 49	1461978 49	4052571 49	3988312 49	7800 49
7600 49	1477591 49	4064592 49	4062159 49	7600 49
7400 49	1493690 49	4076665 49	4138630 49	7400 49
7200 49	1510309 49	4088796 49	4217903 49	7200 49
7000 49	1527485 49	4100990 49	4300177 49	7000 49
6800 49	1545258 49	4113253 49	4385670 49	6800 49
6600 49	1563675 49	4125591 49	4474624 49	6600 49
6400 49	1582786 49	4138011 49	4567312 49	6400 49
6200 49	1602646 49	4150522 49	4664031 49	6200 49
6000 49	1623318 49	4163131 49	4765118 49	6000 49
5800 49	1644873 49	4175847 49	4870956 49	5800 49
5600 49	1667391 49	4188680 49	4981970 49	5600 49
5400 49	1690961 49	4201642 49	5098644 49	5400 49
5200 49	1715687 49	4214744 49	5221533 49	5200 49
5000 49	1741685 49	4228001 49	5351269 49	5000 49
4800 49	1769092 49	4241428 49	5488579 49	4800 49
4600 49	1798064 49	4255042 49	5634310 49	4600 49
4583 49	1800554 49	4256186 49	5646864 49	4583 49

Integrated Cross Sections and Integrals for Average Energies

$\gamma = 60\ 50$ γ_1'	$\int_{\gamma_1'}^{\gamma}\left[\frac{\sigma_3(\gamma')}{\phi_0}\right]d\gamma'$	$\int_{\gamma_1'}^{\gamma}\left[\frac{\gamma'\sigma_3(\gamma')}{\phi_0}\right]d\gamma'$	$\int_0^{E=\gamma-\gamma_1'}[E'\sigma_0(E')/\phi_0]dE'$	γ_1'
6000 50	0000000 00	0000000 00	0000000 00	6000 50
5500 50	1035328 48	5953626 48	2583456 47	5500 50
5000 50	2062107 48	1134443 49	1028215 48	5000 50
4500 50	3088079 48	1621763 49	2310841 48	4500 50
4000 50	4123883 48	2061911 49	4124181 48	4000 50
3500 50	5184700 48	2459574 49	6512463 48	3500 50
3000 50	6293270 48	2819598 49	9563637 48	3000 50
2500 50	7485876 48	3147111 49	1344413 49	2500 50
2000 50	8825718 48	3447772 49	1847659 49	2000 50
1900 50	9120512 48	3505247 49	1967060 49	1900 50
1800 50	9427211 48	3561976 49	2094350 49	1800 50
1700 50	9747563 48	3618025 49	2230512 49	1700 50
1600 50	1008367 49	3673469 49	2376734 49	1600 50
1500 50	1043810 49	3728390 49	2534471 49	1500 50
1400 50	1081401 49	3782877 49	2705529 49	1400 50
1300 50	1121535 49	3837034 49	2892175 49	1300 50
1200 50	1164716 49	3890983 49	3097312 49	1200 50
1100 50	1211599 49	3944864 49	3324729 49	1100 50
1000 50	1263056 49	3998852 49	3579486 49	1000 50
9800 49	1273994 49	4009680 49	3634286 49	9800 49
9600 49	1285173 49	4020524 49	3690517 49	9600 49
9400 49	1296605 49	4031383 49	3748250 49	9400 49
9200 49	1308304 49	4042263 49	3807561 49	9200 49
9000 49	1320283 49	4053163 49	3868535 49	9000 49
8800 49	1332558 49	4064087 49	3931262 49	8800 49
8600 49	1345146 49	4075039 49	3995838 49	8600 49
8400 49	1358065 49	4086019 49	4062370 49	8400 49
8200 49	1371334 49	4097031 49	4130972 49	8200 49
8000 49	1384974 49	4108080 49	4201767 49	8000 49
7800 49	1399009 49	4119167 49	4274891 49	7800 49
7600 49	1413465 49	4130297 49	4350494 49	7600 49
7400 49	1428368 49	4141473 49	4428734 49	7400 49
7200 49	1443748 49	4152700 49	4509792 49	7200 49
7000 49	1459641 49	4163983 49	4593862 49	7000 49
6800 49	1476081 49	4175326 49	4681161 49	6800 49
6600 49	1493110 49	4186734 49	4771928 49	6600 49
6400 49	1510773 49	4198214 49	4866427 49	6400 49
6200 49	1529121 49	4209772 49	4964955 49	6200 49
6000 49	1548209 49	4221415 49	5067842 49	6000 49
5800 49	1568102 49	4233150 49	5175461 49	5800 49
5600 49	1588869 49	4244986 49	5288229 49	5600 49
5400 49	1610592 49	4256932 49	5406621 49	5400 49
5200 49	1633362 49	4268998 49	5531177 49	5200 49
5000 49	1657285 49	4281197 49	5662513 49	5000 49
4800 49	1682479 49	4293540 49	5801338 49	4800 49
4615 49	1706985 49	4305074 49	5936840 49	4615 49

$\gamma = 65\ 50$ γ_1'	$\int_{\gamma_1'}^{\gamma}\left[\frac{\sigma_3(\gamma')}{\phi_0}\right]d\gamma'$	$\int_{\gamma_1'}^{\gamma}\left[\frac{\gamma'\sigma_3(\gamma')}{\phi_0}\right]d\gamma'$	$\int_0^{E=\gamma-\gamma_1'}[E'\sigma_0(E')/\phi_0]dE'$	γ_1'
6500 50	00000000 00	00000000 00	00000000 00	6500 50
6000 50	88298885 47	55190331 48	22039444 47	6000 50
5500 50	17598394 8	10561074 9	87788204 7	5500 50
5000 50	26361214 8	15161434 9	19733494 8	5000 50
4500 50	35192494 8	19355824 9	35192934 8	4500 50
4000 50	44193954 8	23180474 9	55455924 8	4000 50
3500 50	53510464 8	26672474 9	81093294 8	3500 50
3000 50	63358514 8	29870284 9	11312744 9	3000 50
2500 50	74082484 8	32814754 9	15338864 9	2500 50
2000 50	86279904 8	35551234 9	20530704 9	2000 50
1900 50	88982484 8	36078144 9	21760464 9	1900 50
1800 50	91800554 8	36599384 9	23070974 9	1800 50
1700 50	94750534 8	37115514 9	24472324 9	1700 50
1600 50	97852104 8	37627144 9	25976724 9	1600 50
1500 50	10112914 9	38134924 9	27599024 9	1500 50
1400 50	10461114 9	38639624 9	29357604 9	1400 50
1300 50	10833484 9	39142104 9	31275514 9	1300 50
1200 50	11234694 9	39643354 9	33382144 9	1200 50
1100 50	11670814 9	40144574 9	35715714 9	1100 50
1000 50	12149894 9	40647214 9	38327124 9	1000 50
9800 49	12251774 9	40748064 9	38888454 9	9800 49
9600 49	12355894 9	40849064 9	39464264 9	9600 49
9400 49	12462384 9	40950224 9	40055274 9	9400 49
9200 49	12571354 9	41051564 9	40662254 9	9200 49
9000 49	12682944 9	41153104 9	41286044 9	9000 49
8800 49	12797294 9	41254864 9	41927534 9	8800 49
8600 49	12914554 9	41356874 9	42587714 9	8600 49
8400 49	13034884 9	41459154 9	43267594 9	8400 49
8200 49	13158474 9	41561724 9	43968334 9	8200 49
8000 49	13285504 9	41664624 9	44691164 9	8000 49
7800 49	13416204 9	41767864 9	45437434 9	7800 49
7600 49	13550784 9	41871484 9	46208624 9	7600 49
7400 49	13689514 9	41975524 9	47006304 9	7400 49
7200 49	13832654 9	42080014 9	47832254 9	7200 49
7000 49	13980524 9	42184984 9	48688404 9	7000 49
6800 49	14133444 9	42290494 9	49576894 9	6800 49
6600 49	14291794 9	42396574 9	50500064 9	6600 49
6400 49	14455974 9	42503284 9	51460544 9	6400 49
6200 49	14626454 9	42610674 9	52461254 9	6200 49
6000 49	14803724 9	42718804 9	53505424 9	6000 49
5800 49	14988374 9	42827734 9	54596724 9	5800 49
5600 49	15181044 9	42937544 9	55739244 9	5600 49
5400 49	15382454 9	43048304 9	56937654 9	5400 49
5200 49	15593434 9	43160104 9	58197204 9	5200 49
5000 49	15814924 9	43273044 9	59523954 9	5000 49

Integrated Cross Sections and Integrals for Average Energies

$\gamma = 65\ 50$ γ_1'	$\int_{\gamma_1'}^{\gamma}\left[\frac{\sigma_s(\gamma')}{\phi_0}\right]d\gamma'$	$\int_{\gamma_1'}^{\gamma}\left[\frac{\gamma'\sigma_s(\gamma')}{\phi_0}\right]d\gamma'$	$\int_0^{E=\gamma-\gamma_1'}[E'\sigma_s(E')/\phi_0]dE'$	γ_1'
4800 49	1604800 49	4338723 49	6092480 49	4800 49
4642 49	1624008 49	4347791 49	6208261 49	4642 49

$\gamma = 70$ 50 γ_i'	$\int_{\gamma_i'}^{\gamma}\left[\frac{\sigma_3(\gamma')}{\phi_0}\right]d\gamma'$	$\int_{\gamma_i'}^{\gamma}\left[\frac{\gamma'\sigma_3(\gamma')}{\phi_0}\right]d\gamma'$	$\int_0^{E=\gamma-\gamma_i'}[E'\sigma_6(E')/\phi_0]dE'$	γ_i'
7000 50	00000000 00	00000000 00	00000000 00	7000 50
6500 50	7619076 47	5143137 48	1902166 47	6500 50
6000 50	1519296 48	9876926 48	7581480 47	6000 50
5500 50	2276278 48	1422949 49	1704459 48	5500 50
5000 50	3038188 48	1822918 49	3038139 48	5000 50
4500 50	3812118 48	2190466 49	4780161 48	4500 50
4000 50	4607786 48	2528510 49	6969402 48	4000 50
3500 50	5439014 48	2840036 49	9672738 48	3500 50
3000 50	6326412 48	3128150 49	1300338 49	3000 50
2500 50	7302692 48	3396164 49	1715720 49	2500 50
2000 50	8424431 48	3647779 49	2249321 49	2000 50
1900 50	8674377 48	3696510 49	2375553 49	1900 50
1800 50	8935475 48	3744804 49	2510029 49	1800 50
1700 50	9209266 48	3792706 49	2653780 49	1700 50
1600 50	9497595 48	3840267 49	2808049 49	1600 50
1500 50	9802703 48	3887544 49	2974348 49	1500 50
1400 50	10112734 49	3934599 49	3154542 49	1400 50
1300 50	1047495 49	3981506 49	3350961 49	1300 50
1200 50	1084989 49	4028348 49	3566575 49	1200 50
1100 50	1125743 49	4075219 49	3804984 49	1100 50
1000 50	1170614 49	4122265 49	4072033 49	1000 50
9800 49	1180149 49	4131705 49	4129343 49	9800 49
9600 49	1189896 49	4141159 49	4188115 49	9600 49
9400 49	1199864 49	4150629 49	4248425 49	9400 49
9200 49	1210065 49	4160115 49	4310345 49	9200 49
9000 49	1220511 49	4169621 49	4373960 49	9000 49
8800 49	1231215 49	4179146 49	4439360 49	8800 49
8600 49	1242191 49	4188695 49	4506641 49	8600 49
8400 49	1253453 49	4198268 49	4575907 49	8400 49
8200 49	1265019 49	4207867 49	4647271 49	8200 49
8000 49	1276907 49	4217496 49	4720857 49	8000 49
7800 49	1289136 49	4227156 49	4796796 49	7800 49
7600 49	1301726 49	4236850 49	4875236 49	7600 49
7400 49	1314702 49	4246581 49	4956334 49	7400 49
7200 49	1328088 49	4256352 49	5040266 49	7200 49
7000 49	1341912 49	4266166 49	5127223 49	7000 49
6800 49	1356206 49	4276028 49	5217415 49	6800 49
6600 49	1371002 49	4285941 49	5311075 49	6600 49
6400 49	1386338 49	4295908 49	5408462 49	6400 49
6200 49	1402256 49	4305936 49	5509862 49	6200 49
6000 49	1418803 49	4316028 49	5615596 49	6000 49
5800 49	1436030 49	4326191 49	5726023 49	5800 49
5600 49	1453996 49	4336430 49	5841546 49	5600 49
5400 49	1472768 49	4346753 49	5962623 49	5400 49
5200 49	1492419 49	4357167 49	6089771 49	5200 49

Integrated Cross Sections and Integrals for Average Energies

$\gamma = 70\ \ 50$ γ_1'	$\int_{\gamma_1'}^{\gamma}\left[\frac{\sigma_s(\gamma')}{\phi_0}\right]d\gamma'$	$\int_{\gamma_1'}^{\gamma}\left[\frac{\gamma'\sigma_s(\gamma')}{\phi_0}\right]d\gamma'$	$\int_0^{E=\gamma-\gamma_1'}[E'\sigma_t(E')/\phi_0]dE'$	γ_1'
5000 49	1513037 49	4367680 49	6223580 49	5000 49
4800 49	1534718 49	4378302 49	6364726 49	4800 49
4666 49	1549818 49	4385449 49	6463282 49	4666 49

$\gamma = 75\ 50$ γ_1'	$\int_{\gamma_1'}^{\gamma}\left[\frac{\sigma_3(\gamma')}{\phi_0}\right]d\gamma'$	$\int_{\gamma_1'}^{\gamma}\left[\frac{\gamma'\sigma_3(\gamma')}{\phi_0}\right]d\gamma'$	$\int_0^{\varepsilon=\gamma-\gamma_1'}[E'\sigma_s(E')/\phi_0]dE'$	γ_1'
7500 50	00000000 00	00000000 00	00000000 00	7500 50
7000 50	66409477	48148882 48	16582844	7000 50
6500 50	13247900	92746584	66126754	6500 50
6000 50	19851894	13402094	14868294	6000 50
5500 50	26492344	17220104	26491554	5500 50
5000 50	33220304	20751794	41634354	5000 50
4500 50	40103614	24020544	60571664	4500 50
4000 50	47235154	27050184	83761874	4000 50
3500 50	54746824	29865124	11194994	3500 50
3000 50	62835034	32490854	14635414	3000 50
2500 50	71810834	34954624	18903504	2500 50
2000 50	82210884	37287094	24371064	2000 50
1900 50	84538854	37740964	25663174	1900 50
1800 50	86974204	38191404	27039244	1800 50
1700 50	89531444	38638814	28509764	1700 50
1600 50	92227974	39083614	30087354	1600 50
1500 50	95084834	39526284	31787334	1500 50
1400 50	98127894	39967364	33628554	1400 50
1300 50	10138934	40407464	35634554	1300 50
1200 50	10491004	40847314	37835224	1200 50
1100 50	10874264	41287784	40269234	1100 50
1000 50	11295694	41729934	42987804	1000 50
9800 49	11385344	41818674	43571374	9800 49
9600 49	11476964	41907554	44169714	9600 49
9400 49	11570674	41996574	44783524	9400 49
9200 49	11666574	42085754	45413564	9200 49
9000 49	11764774	42175104	46060674	9000 49
8800 49	11865384	42264644	46725744	8800 49
8600 49	11968554	42354394	47409734	8600 49
8400 49	12074404	42444374	48113684	8400 49
8200 49	12183104	42534584	48838704	8200 49
8000 49	12294814	42625064	49586044	8000 49
7800 49	12409704	42715824	50356994	7800 49
7600 49	12527984	42806894	51153024	7600 49
7400 49	12649864	42898294	51975684	7400 49
7200 49	12775574	42990054	52826734	7200 49
7000 49	12905364	43082204	53708044	7000 49
6800 49	13039534	43174774	54621714	6800 49
6600 49	13178374	43267784	55570054	6600 49
6400 49	13322254	43361294	56555584	6400 49
6200 49	13471534	43455334	57581164	6200 49
6000 49	13626654	43549954	58649954	6000 49
5800 49	13788084	43645184	59765474	5800 49
5600 49	13956374	43741094	60931704	5600 49
5400 49	14132114	43837744	62153154	5400 49

Integrated Cross Sections and Integrals for Average Energies

$\gamma = 75\ 50$ γ_1'	$\int_{\gamma_1'}^{\gamma}\left[\frac{\sigma_s(\gamma')}{\phi_0}\right]d\gamma'$	$\int_{\gamma_1'}^{\gamma}\left[\frac{\gamma'\sigma_s(\gamma')}{\phi_0}\right]d\gamma'$	$\int_{0}^{E=\gamma-\gamma_1'}[E'\sigma_s(E')/\phi_0]dE'$	γ_1'
5200 49	1431600 49	4393519 49	6343487 49	5200 49
5000 49	1450882 49	4403351 49	6478269 49	5000 49
4800 49	1471146 49	4413279 49	6620323 49	4800 49
4687 49	1483015 49	4418908 49	6703707 49	4687 49

Integrated Cross Sections and Integrals for Average Energies

$\gamma = 80$ 50 γ_1'	$\int_{\gamma_1'}^{\gamma}\left[\frac{\sigma_3(\gamma')}{\phi_0}\right]d\gamma'$	$\int_{\gamma_1'}^{\gamma}\left[\frac{\gamma'\sigma_3(\gamma')}{\phi_0}\right]d\gamma'$	$\int_0^{E=\gamma-\gamma_1'}[E'\sigma_e(E')/\phi_0]dE'$	γ_1'
8000 50	00000000 00	00000000 00	00000000 00	8000 50
7500 50	5839555 47	45225805 48	14583390 47	7500 50
7000 50	11165305 48	87406654 48	58178775 47	7000 50
6500 50	17464366 48	12663244 49	13082449 48	6500 50
6000 50	23303255 48	16312366 49	23302441 48	6000 50
5500 50	29207488 48	19706922 49	36590588 48	5500 50
5000 50	35225955 48	22866022 49	53147333 48	5000 50
4500 50	41423600 48	25809000 49	73298814 48	4500 50
4000 50	47889233 48	28555555 49	97558344 48	4000 50
3500 50	54748855 48	31125933 49	12673144 49	3500 50
3000 50	62189800 48	33541311 49	16210522 49	3000 50
2500 50	70508377 48	35824433 49	20582277 49	2500 50
2000 50	80214511 48	38001000 49	26170600 49	2000 50
1900 50	82395311 48	38426177 49	27490077 49	1900 50
1800 50	84679377 48	38848633 49	28894866 49	1800 50
1700 50	87080422 48	39268711 49	30395622 49	1700 50
1600 50	89614855 48	39686777 49	32005100 49	1600 50
1500 50	92302555 48	40103233 49	33738800 49	1500 50
1400 50	95167877 48	40518544 49	35615755 49	1400 50
1300 50	98241144 48	40933255 49	37659666 49	1300 50
1200 50	10156066 49	41347966 49	39900577 49	1200 50
1100 50	10517599 49	41763455 49	42377333 49	1100 50
1000 50	10915233 49	42180644 49	45141222 49	1000 50
9800 49	10999822 49	42264377 49	45734188 49	9800 49
9600 49	11086277 49	42348244 49	46341999 49	9600 49
9400 49	11174700 49	42432233 49	46965377 49	9400 49
9200 49	11265188 49	42516388 49	47605099 49	9200 49
9000 49	11357833 49	42600699 49	48261988 49	9000 49
8800 49	11452766 49	42685177 49	48936911 49	8800 49
8600 49	11550088 49	42769844 49	49630866 49	8600 49
8400 49	11649944 49	42854711 49	50344844 49	8400 49
8200 49	11752477 49	42939811 49	51079988 49	8200 49
8000 49	11857833 49	43025144 49	51837499 49	8000 49
7800 49	11966188 49	43110733 49	52618700 49	7800 49
7600 49	12077700 49	43196600 49	53425033 49	7600 49
7400 49	12192600 49	43282777 49	54258044 49	7400 49
7200 49	12311088 49	43369266 49	55119444 49	7200 49
7000 49	12433400 49	43456100 49	56011144 49	7000 49
6800 49	12559811 49	43543311 49	56935188 49	6800 49
6600 49	12690599 49	43630933 49	57893844 49	6600 49
6400 49	12826077 49	43718988 49	58889633 49	6400 49
6200 49	12966611 49	43807511 49	59925399 49	6200 49
6000 49	13112599 49	43896555 49	61004211 49	6000 49
5800 49	13264466 49	43986144 49	62129577 49	5800 49
5600 49	13422722 49	44076344 49	63305422 49	5600 49

Integrated Cross Sections and Integrals for Average Energies

$\gamma = 80\ 50$ γ_1'	$\int_{\gamma_1'}^{\gamma}\left[\frac{\sigma_s(\gamma')}{\phi_0}\right]d\gamma'$	$\int_{\gamma_1'}^{\gamma}\left[\frac{\gamma'\sigma_s(\gamma')}{\phi_0}\right]d\gamma'$	$\int_0^{E=\gamma-\gamma_1'}[E'\sigma_s(E')/\phi_0]dE'$	γ_1'
5400 49	1358791 49	4416718 49	6453616 49	5400 49
5200 49	1376069 49	4425874 49	6582680 49	5200 49
5000 49	1394176 49	4435107 49	6718305 49	5000 49
4800 49	1413196 49	4444425 49	6861142 49	4800 49
4705 49	1422488 49	4448842 49	6931065 49	4705 49

Integrated Cross Sections and Integrals for Average Energies

$\gamma = 85\ 50$ γ_i'	$\int_{\gamma_i'}^{\gamma}\left[\frac{\sigma_3(\gamma')}{\phi_0}\right]d\gamma'$	$\int_{\gamma_i'}^{\gamma}\left[\frac{\gamma'\sigma_3(\gamma')}{\phi_0}\right]d\gamma'$	$\int_0^{E=\gamma-\gamma_i'}[E'\sigma_s(E')/\phi_0]dE'$	γ_i'
8500 50	0000000 00	0000000 00	0000000 00	8500 50
8000 50	5174792 47	4269321 48	1292515 47	8000 50
7500 50	1032928 48	8264098 48	5157898 47	7500 50
7000 50	1548212 48	1199987 49	1159933 48	7000 50
6500 50	2065624 48	1549226 49	2065546 48	6500 50
6000 50	2588018 48	1875694 49	3241210 48	6000 50
5500 50	3119015 48	2180973 49	4701898 48	5500 50
5000 50	3663304 48	2466658 49	6471507 48	5000 50
4500 50	4227104 48	2734366 49	8586727 48	4500 50
4000 50	4818915 48	2985747 49	1110330 49	4000 50
3500 50	5450786 48	3222500 49	1410668 49	3500 50
3000 50	6140615 48	3446405 49	1773118 49	3000 50
2500 50	6916665 48	3659379 49	2219786 49	2500 50
2000 50	7827487 48	3863607 49	2789756 49	2000 50
1900 50	8032768 48	3903629 49	2924223 49	1900 50
1800 50	8247975 48	3943434 49	3067344 49	1800 50
1700 50	8474409 48	3983050 49	3220197 49	1700 50
1600 50	8713522 48	4022509 49	3384070 49	1600 50
1500 50	8967497 48	4061846 49	3560526 49	1500 50
1400 50	9238333 48	4101102 49	3751480 49	1400 50
1300 50	9528993 48	4140324 49	3959320 49	1300 50
1200 50	9843093 48	4179565 49	4187064 49	1200 50
1100 50	1018529 49	4218892 49	4438605 49	1100 50
1000 50	1056172 49	4258386 49	4719081 49	1000 50
9800 49	1064180 49	4266313 49	4779220 49	9800 49
9600 49	1072365 49	4274253 49	4840853 49	9600 49
9400 49	1080736 49	4282204 49	4904052 49	9400 49
9200 49	1089301 49	4290170 49	4968894 49	9200 49
9000 49	1098071 49	4298150 49	5035458 49	9000 49
8800 49	1107056 49	4306147 49	5103836 49	8800 49
8600 49	1116268 49	4314161 49	5174122 49	8600 49
8400 49	1125719 49	4322193 49	5246419 49	8400 49
8200 49	1135421 49	4330246 49	5320838 49	8200 49
8000 49	1145390 49	4338320 49	5397499 49	8000 49
7800 49	1155641 49	4346418 49	5476535 49	7800 49
7600 49	1166191 49	4354541 49	5558086 49	7600 49
7400 49	1177058 49	4362691 49	5642309 49	7400 49
7200 49	1188264 49	4370870 49	5729374 49	7200 49
7000 49	1199828 49	4379080 49	5819465 49	7000 49
6800 49	1211778 49	4387325 49	5912789 49	6800 49
6600 49	1224138 49	4395605 49	6009570 49	6600 49
6400 49	1236939 49	4403925 49	6110061 49	6400 49
6200 49	1250214 49	4412288 49	6214535 49	6200 49
6000 49	1264000 49	4420696 49	6323304 49	6000 49
5800 49	1278337 49	4429154 49	6436711 49	5800 49

Integrated Cross Sections and Integrals for Average Energies

$\gamma = 85\ 50$ γ_i'	$\int_{\gamma_i'}^{\gamma}\left[\frac{\sigma_s(\gamma')}{\phi_0}\right]d\gamma'$	$\int_{\gamma_i'}^{\gamma}\left[\frac{\gamma'\sigma_s(\gamma')}{\phi_0}\right]d\gamma'$	$\int_{0}^{E=\gamma-\gamma_i'}[E'\sigma_s(E')/\phi_0]dE'$	γ_i'
5600 49	1293271 49	4437666 49	6555141 49	5600 49
5400 49	1308855 49	4446236 49	6679033 49	5400 49
5200 49	1325147 49	4454869 49	6808881 49	5200 49
5000 49	1342213 49	4463571 49	6945241 49	5000 49
4800 49	1360130 49	4472349 49	7088759 49	4800 49
4722 49	1367346 49	4475785 49	7146662 49	4722 49

$\gamma = 90\ 50$ γ_i'	$\int_{\gamma_1'}^{\gamma}\left[\frac{\sigma_3(\gamma')}{\phi_0}\right]d\gamma'$	$\int_{\gamma_1'}^{\gamma}\left[\frac{\gamma'\sigma_3(\gamma')}{\phi_0}\right]d\gamma'$	$\int_0^{E=\gamma-\gamma_1'}[E'\sigma_6(E')/\phi_0]dE'$	γ_i'
9000 50	00000000 00	00000000 00	00000000 00	9000 50
8500 50	46173044 7	40402374 8	11533654 7	8500 50
8000 50	92185577 7	78363078 8	46039427 7	8000 50
7500 50	13818568	11401288 9	10354248	7500 50
7000 50	18435248	14748269	18434578	7000 50
6500 50	23090618	17890429	28911299	6500 50
6000 50	27812099	20841009	41998759	6000 50
5500 50	32634429	23613349	57576389	5500 50
5000 50	37602588	26220919	76214188	5000 50
4500 50	42776228	28677389	98212178	4500 50
4000 50	48236778	30996719	12416389	4000 50
3500 50	54099638	33193319	15496369	3500 50
3000 50	60536018	35282279	19200139	3000 50
2500 50	67815938	37279989	23754369	2500 50
2000 50	76402518	39205139	29557139	2000 50
1900 50	78342768	39583409	30925089	1900 50
1800 50	80378458	39959929	32380689	1800 50
1700 50	82521919	40334939	33934789	1700 50
1600 50	84787919	40708719	35600409	1600 50
1500 50	87194278	41081578	37393278	1500 50
1400 50	89762818	41453869	39332669	1400 50
1300 50	92520639	41826009	41442569	1300 50
1200 50	95501939	42198469	43753279	1200 50
1100 50	98750709	42571829	46303809	1100 50
1000 50	10232489	42946819	49145589	1000 50
9800 49	10308529	43022089	49754609	9800 49
9600 49	10386239	43097469	50378649	9600 49
9400 49	10465399	43172919	51015619	9400 49
9200 49	10547029	43248589	51674649	9200 49
9000 49	10630289	43324349	52348199	9000 49
8800 49	10715579	43400259	53039949	8800 49
8600 49	10803019	43476329	53750849	8600 49
8400 49	10892719	43552569	54481899	8400 49
8200 49	10984799	43628989	55234209	8200 49
8000 49	11079409	43705619	56008999	8000 49
7800 49	11176669	43782449	56807569	7800 49
7600 49	11276769	43859519	57631339	7600 49
7400 49	11379849	43936829	58481829	7400 49
7200 49	11486129	44014409	59360729	7200 49
7000 49	11595799	44092269	60269889	7000 49
6800 49	11709089	44170429	61211359	6800 49
6600 49	11826259	44248929	62187379	6600 49
6400 49	11947579	44327779	63200389	6400 49
6200 49	12073359	44407009	64253159	6200 49
6000 49	12203939	44486649	65348729	6000 49

Integrated Cross Sections and Integrals for Average Energies

$\gamma = 90$ 50 γ_i'	$\int_{\gamma_i'}^{\gamma}\left[\frac{\sigma_s(\gamma')}{\phi_0}\right]d\gamma'$	$\int_{\gamma_i'}^{\gamma}\left[\frac{\gamma'\sigma_s(\gamma')}{\phi_0}\right]d\gamma'$	$\int_0^{E=\gamma-\gamma_i'}[E'\sigma_s(E')/\phi_0]dE'$	γ_i'
5800 49	1233969 49	4456674 49	6649051 49	5800 49
5600 49	1248107 49	4464731 49	6768233 49	5600 49
5400 49	1262854 49	4472841 49	6892849 49	5400 49
5200 49	1278266 49	4481008 49	7023387 49	5200 49
5000 49	1294403 49	4489237 49	7160397 49	5000 49
4800 49	1311338 49	4497534 49	7304516 49	4800 49
4736 49	1316865 49	4500169 49	7351618 49	4736 49

Integrated Cross Sections and Integrals for Average Energies

$\gamma = 95\ 50$ γ_i	$\int_{\gamma_i'}^{\gamma}\left[\frac{\sigma_3(\gamma')}{\phi_0}\right]d\gamma'$	$\int_{\gamma_i'}^{\gamma}\left[\frac{\gamma'\sigma_3(\gamma')}{\phi_0}\right]d\gamma'$	$\int_0^{E=\gamma-\gamma_i'}[E'\sigma_3(E')/\phi_0]dE'$	γ_i'
9500 50	00000000 00	00000000 00	00000000 00	9500 50
9000 50	41145215 47	38343397 48	10355578 47	9000 50
8500 50	82775771 47	74502242 48	41345504 47	8500 50
8000 50	12408896 48	10858861 49	92989990 47	8000 50
7500 50	16553633 48	14070644 49	16553305 48	7500 50
7000 50	20728881 48	17097748 49	25948892 48	7000 50
6500 50	24955677 48	19950355 49	37575339 48	6500 50
6000 50	29260554 48	22640500 49	51570144 48	6000 50
5500 50	33676833 48	25179333 49	68136644 48	5500 50
5000 50	38247733 48	27578300 49	87570500 48	5000 50
4500 50	43030488 48	29849077 49	11029888 49	4500 50
4000 50	48103233 48	32003599 49	13694477 49	4000 50
3500 50	53576611 48	34054144 49	16843633 49	3500 50
3000 50	59614644 48	36013711 49	20620199 49	3000 50
2500 50	66475722 48	37896355 49	25255599 49	2500 50
2000 50	74602422 48	39718266 49	31154033 49	2000 50
1900 50	76442733 48	40077055 49	32543555 49	1900 50
1800 50	78374855 48	40434411 49	34021700 49	1800 50
1700 50	80410522 48	40790566 49	35599433 49	1700 50
1600 50	82563766 48	41145744 49	37289833 49	1600 50
1500 50	84851566 48	41500233 49	39108755 49	1500 50
1400 50	87294622 48	41854344 49	41075555 49	1400 50
1300 50	89918699 48	42208411 49	43214333 49	1300 50
1200 50	92756188 48	42562911 49	45555546 49	1200 50
1100 50	95848800 48	42918333 49	48138033 49	1100 50
1000 50	99251366 48	43275311 49	51013477 49	1000 50
9800 49	99975155 48	43346966 49	51629422 49	9800 49
9600 49	10071499 49	43418722 49	52260455 49	9600 49
9400 49	10147144 49	43490588 49	52907266 49	9400 49
9200 49	10224544 49	43562577 49	53570611 49	9200 49
9000 49	10303799 49	43634677 49	54251333 49	9000 49
8800 49	10384977 49	43706922 49	54950299 49	8800 49
8600 49	10468188 49	43779311 49	55668455 49	8600 49
8400 49	10553544 49	43851877 49	56406822 49	8400 49
8200 49	10641166 49	43924599 49	57166500 49	8200 49
8000 49	10731177 49	43997500 49	57948677 49	8000 49
7800 49	10823711 49	44070599 49	58754655 49	7800 49
7600 49	10918922 49	44143900 49	59585844 49	7600 49
7400 49	11016966 49	44217433 49	60443788 49	7400 49
7200 49	11118033 49	44291200 49	61330122 49	7200 49
7000 49	11222311 49	44365244 49	62246722 49	7000 49
6800 49	11330011 49	44439544 49	63195599 49	6800 49
6600 49	11441388 49	44514155 49	64178955 49	6600 49
6400 49	11556666 49	44589099 49	65199255 49	6400 49
6200 49	11676166 49	44664366 49	66259211 49	6200 49

Integrated Cross Sections and Integrals for Average Energies

$\gamma = 95\ 50$ γ_1'	$\int_{\gamma_1'}^{\gamma}\left[\frac{\sigma_s(\gamma')}{\phi_0}\right]d\gamma'$	$\int_{\gamma_1'}^{\gamma}\left[\frac{\gamma'\sigma_s(\gamma')}{\phi_0}\right]d\gamma'$	$\int_0^{E=\gamma-\gamma_1'}[E'\sigma_s(E')/\phi_0]\,dE'$	γ_1'
6000 49	1180019 49	4474001 49	6736185 49	6000 49
5800 49	1192911 49	4481607 49	6851055 49	5800 49
5600 49	1206333 49	4489255 49	6970908 49	5600 49
5400 49	1220328 49	4496952 49	7096170 49	5400 49
5200 49	1234949 49	4504701 49	7227321 49	5200 49
5000 49	1250254 49	4512504 49	7364910 49	5000 49
4800 49	1266308 49	4520369 49	7509559 49	4800 49
4750 49	1270447 49	4522346 49	7546906 49	4750 49

$\gamma = 10\ 51$ γ_i	$\int_{\gamma_i'}^{\gamma}\left[\frac{\sigma_3(\gamma')}{\phi_0}\right]d\gamma'$	$\int_{\gamma_i'}^{\gamma}\left[\frac{\gamma'\sigma_3(\gamma')}{\phi_0}\right]d\gamma'$	$\int_0^{E=\gamma-\gamma_i'}[E'\sigma_\epsilon(E')/\phi_0]dE'$	γ_i'
1000 51	00000000 00	00000000 00	00000000 00	1000 51
9500 50	37419411 47	36484511 48	93490400 46	9500 50
9000 50	74734611 47	71001348 48	37332720 47	9000 50
8500 50	11204233 48	10364533 49	83969300 47	8500 50
8000 50	14945699 48	13451177 49	14945220 48	8000 50
7500 50	18711577 48	16369599 49	23419777 48	7500 50
7000 50	22518455 48	19129377 49	33890780 48	7000 50
6500 50	26386699 48	21740133 49	46465640 48	6500 50
6000 50	30341655 48	24211555 49	61300920 48	6000 50
5500 50	34415422 48	26553400 49	78620180 48	5500 50
5000 50	38649555 48	28775555 49	98740020 48	5000 50
4500 50	43099055 48	30888033 49	12211020 49	4500 50
4000 50	47839000 48	32901100 49	14937899 49	4000 50
3500 50	52975600 48	34825400 49	18150200 49	3500 50
3000 50	58666200 48	36672111 49	21994099 49	3000 50
2500 50	65158488 48	38453455 49	26705033 49	2500 50
2000 50	72876066 48	40183533 49	32692522 49	2000 50
1950 50	73741088 48	40354377 49	33386711 49	1950 50
1900 50	74626944 48	40524899 49	34102055 49	1900 50
1850 50	75534866 48	40695122 49	34839744 49	1850 50
1800 50	76466199 48	40865077 49	35601111 49	1800 50
1750 50	77422366 48	41034788 49	36387588 49	1750 50
1700 50	78404999 48	41204277 49	37200722 49	1700 50
1650 50	79415822 48	41373577 49	38042244 49	1650 50
1600 50	80456766 48	41542711 49	38914044 49	1600 50
1550 50	81529922 48	41711722 49	39818199 49	1550 50
1500 50	82637633 48	41880633 49	40756999 49	1500 50
1450 50	83782499 48	42049488 49	41733000 49	1450 50
1400 50	84967377 48	42218311 49	42749055 49	1400 50
1350 50	86195499 48	42387166 49	43808322 49	1350 50
1300 50	87470444 48	42556077 49	44914377 49	1300 50
1250 50	88796322 48	42725100 49	46071211 49	1250 50
1200 50	90177700 48	42894299 49	47283400 49	1200 50
1150 50	91619855 48	43063722 49	48556133 49	1150 50
1100 50	93128755 48	43233444 49	49895311 49	1100 50
1050 50	94711333 48	43403533 49	51307799 49	1050 50
1000 50	96375611 48	43574099 49	52801511 49	1000 50
9500 49	98130977 48	43745200 49	54385777 49	9500 49
9000 49	99988455 48	43916977 49	56071477 49	9000 49
8500 49	10196122 49	44089533 49	57871677 49	8500 49
8000 49	10406500 49	44263044 49	59802011 49	8000 49
7500 49	10631922 49	44437688 49	61881544 49	7500 49
7000 49	10874733 49	44613644 49	64133733 49	7000 49
6500 49	11137911 49	44791199 49	66587955 49	6500 49
6000 49	11425222 49	44970655 49	69281611 49	6000 49

Integrated Cross Sections and Integrals for Average Energies

$\gamma = 10$ 51 γ_i'	$\int_{\gamma_i'}^{\gamma}\left[\frac{\sigma_s(\gamma')}{\phi_0}\right]d\gamma'$	$\int_{\gamma_i'}^{\gamma}\left[\frac{\gamma'\sigma_s(\gamma')}{\phi_0}\right]d\gamma'$	$\int_0^{E=\gamma-\gamma_i'}[E'\sigma_s(E')/\phi_0]dE'$	γ_i'
5500 49	1174156 49	4515241 49	7226327 49	5500 49
5000 49	1209345 49	4533699 49	7559756 49	5000 49
4761 49	1227597 49	4542605 49	7733370 49	4761 49

$\gamma = 11$ 51 γ_i	$\int_{\gamma_i}^{\gamma}\left[\frac{\sigma_s(\gamma')}{\phi_0}\right]d\gamma'$	$\int_{\gamma_i}^{\gamma}\left[\frac{\gamma'\sigma_s(\gamma')}{\phi_0}\right]d\gamma'$	$\int_0^{E=\gamma-\gamma_i}[E'\sigma_s(E')/\phi_0]dE'$	γ_i
1100 51	00000000 00	00000000 00	00000000 00	1100 51
1000 51	61803 15 47	64895 64 48	30878 24 47	1000 51
9500 50	92664 71 47	94985 52 48	69456 50 47	9500 50
9000 50	12359 81 48	12359 84 49	12359 48 48	9000 50
8500 50	15469 33 48	15080 58 49	19356 76 48	8500 50
8000 50	18605 67 48	17667 93 49	27983 06 48	8000 50
7500 50	21781 58 48	20129 07 49	38306 70 48	7500 50
7000 50	25012 47 48	22471 20 49	50425 23 48	7000 50
6500 50	28317 27 48	24701 58 49	64474 17 48	6500 50
6000 50	31719 49 48	26827 51 49	80639 27 48	6000 50
5500 50	35248 95 48	28856 34 49	99175 02 48	5500 50
5000 50	38944 16 48	30795 54 49	12043 03 49	5000 50
4500 50	42856 12 48	32652 70 49	14489 04 49	4500 50
4000 50	47054 37 48	34435 58 49	17324 22 49	4000 50
3500 50	51637 16 48	36152 26 49	20648 61 49	3500 50
3000 50	56749 92 48	37811 31 49	24613 59 49	3000 50
2500 50	62621 15 48	39422 10 49	29461 16 49	2500 50
2000 50	69640 89 48	40995 59 49	35609 38 49	2000 50
1950 50	70429 82 48	41151 40 49	36321 39 49	1950 50
1900 50	71238 10 48	41306 98 49	37054 92 49	1900 50
1850 50	72066 87 48	41462 37 49	37811 19 49	1850 50
1800 50	72917 36 48	41617 57 49	38591 51 49	1800 50
1750 50	73790 89 48	41772 62 49	39397 36 49	1750 50
1700 50	74688 94 48	41927 52 49	40230 31 49	1700 50
1650 50	75613 09 48	42082 30 49	41092 09 49	1650 50
1600 50	76565 09 48	42236 99 49	41984 60 49	1600 50
1550 50	77546 88 48	42391 61 49	42909 95 49	1550 50
1500 50	78560 58 48	42546 19 49	43870 45 49	1500 50
1450 50	79608 55 48	42700 75 49	44868 66 49	1450 50
1400 50	80693 44 48	42855 33 49	45907 45 49	1400 50
1350 50	81818 14 48	43009 96 49	46989 99 49	1350 50
1300 50	82985 97 48	43164 67 49	48119 89 49	1300 50
1250 50	84200 61 48	43319 52 49	49301 14 49	1250 50
1200 50	85466 25 48	43474 54 49	50538 33 49	1200 50
1150 50	86787 66 48	43629 78 49	51836 64 49	1150 50
1100 50	88170 29 48	43785 30 49	53202 01 49	1100 50
1050 50	89620 40 48	43941 16 49	54641 27 49	1050 50
1000 50	91145 26 48	44097 43 49	56162 36 49	1000 50
9500 49	92753 36 48	44254 18 49	57774 53 49	9500 49
9000 49	94454 70 48	44411 51 49	59488 65 49	9000 49
8500 49	96261 13 48	44569 52 49	61317 72 49	8500 49
8000 49	98186 90 48	44728 34 49	63277 24 49	8000 49
7500 49	10024 93 49	44888 13 49	65386 12 49	7500 49
7000 49	10246 96 49	45049 03 49	67667 59 49	7000 49
6500 49	10487 44 49	45211 27 49	70150 66 49	6500 49

Integrated Cross Sections and Integrals for Average Energies

$\gamma = 11$ 51 γ_i'	$\int_{\gamma_i'}^{\gamma}\left[\frac{\sigma_3(\gamma')}{\phi_0}\right]d\gamma'$	$\int_{\gamma_i'}^{\gamma}\left[\frac{\gamma'\sigma_3(\gamma')}{\phi_0}\right]d\gamma'$	$\int_0^{E=\gamma-\gamma_i'}[E'\sigma_6(E')/\phi_0]dE'$	γ_i'
6000 49	1074975 49	4537511 49	7287221 49	6000 49
5500 49	1103826 49	4554089 49	7588001 49	5500 49
5000 49	1135877 49	4570900 49	7923748 49	5000 49
4782 49	1151000 49	4578297 49	8082713 49	4782 49

$\gamma = 12\ 51$ γ_1'	$\int_{\gamma_1'}^{\gamma}\left[\frac{\sigma_3(\gamma')}{\phi_0}\right]d\gamma'$	$\int_{\gamma_1'}^{\gamma}\left[\frac{\gamma'\sigma_3(\gamma')}{\phi_0}\right]d\gamma'$	$\int_0^{E=\gamma-\gamma_1'}[E'\sigma_6(E')/\phi_0]dE'$	γ_1'
1200 51	00000000 00	00000000 00	00000000 00	1200 51
1100 51	51956560 47	59751720 48	25961600 47	1100 51
1000 51	10390750 48	11429850 49	10390510 48	1000 51
9500 50	13001960 48	13975720 49	16266320 48	9500 50
9000 50	15631470 48	16407920 49	23498410 48	9000 50
8500 50	18287670 48	18731970 49	32132380 48	8500 50
8000 50	20980510 48	20953390 49	42232240 48	8000 50
7500 50	23721880 48	23077720 49	53885400 48	7500 50
7000 50	26526150 48	25110520 49	67208630 48	7000 50
6500 50	29410980 48	27057400 49	82357750 48	6500 50
6000 50	32398300 48	28923990 49	99539620 48	6000 50
5500 50	35515880 48	30715990 49	11903060 49	5500 50
5000 50	38799610 48	32439180 49	14120360 49	5000 50
4500 50	42296980 48	34099420 49	16656960 49	4500 50
4000 50	46072680 48	35702760 49	19584450 49	4000 50
3500 50	50218060 48	37255500 49	23006170 49	3500 50
3000 50	54868210 48	38764330 49	27077520 49	3000 50
2500 50	60235090 48	40236640 49	32045460 49	2500 50
2000 50	66679890 48	41681150 49	38334710 49	2000 50
1950 50	67405640 48	41824480 49	39062280 49	1950 50
1900 50	68149450 48	41967660 49	39811680 49	1900 50
1850 50	68912350 48	42110690 49	40584130 49	1850 50
1800 50	69695490 48	42253610 49	41380970 49	1800 50
1750 50	70500080 48	42396420 49	42203680 49	1750 50
1700 50	71327470 48	42539130 49	43053830 49	1700 50
1650 50	72179140 48	42681770 49	43933190 49	1650 50
1600 50	73056680 48	42824360 49	44843650 49	1600 50
1550 50	73961890 48	42966920 49	45787350 49	1550 50
1500 50	74896720 48	43109470 49	46766590 49	1500 50
1450 50	75863330 48	43252030 49	47783960 49	1450 50
1400 50	76864150 48	43394630 49	48842340 49	1400 50
1350 50	77901860 48	43537300 49	49944930 49	1350 50
1300 50	78979480 48	43680070 49	51095300 49	1300 50
1250 50	80100390 48	43822970 49	52297500 49	1250 50
1200 50	81268450 48	43966040 49	53556100 49	1200 50
1150 50	82488010 48	44109310 49	54876300 49	1150 50
1100 50	83764060 48	44252840 49	56264030 49	1100 50
1050 50	85102330 48	44396680 49	57726120 49	1050 50
1000 50	86509470 48	44540880 49	59270490 49	1000 50
9500 49	87990660 48	44685480 49	60903300 49	9500 49
9000 49	89562680 48	44830650 49	62644570 49	9000 49
8500 49	91228680 48	44976380 49	64498040 49	8500 49
8000 49	93004170 48	45122810 49	66482200 49	8000 49
7500 49	94904880 48	45270060 49	68615800 49	7500 49
7000 49	96950110 48	45418270 49	70921860 49	7000 49

Integrated Cross Sections and Integrals for Average Energies

$\gamma = 12\ 51$ γ_i'	$\int_{\gamma_i'}^{\gamma}\left[\frac{\sigma_s(\gamma')}{\phi_0}\right]d\gamma'$	$\int_{\gamma_i'}^{\gamma}\left[\frac{\gamma'\sigma_s(\gamma')}{\phi_0}\right]d\gamma'$	$\int_0^{E=\gamma-\gamma_i'}[E'\sigma_s(E')/\phi_0]dE'$	γ_i'
6500 49	9916395 48	4556763 49	7342911 49	6500 49
6000 49	1015769 49	4571835 49	7617394 49	6000 49
5500 49	1042284 49	4587071 49	7920347 49	5500 49
5000 49	1071709 49	4602505 49	8258007 49	5000 49
4800 49	1084444 49	4608745 49	8404593 49	4800 49

$\gamma = 13$ 51 γ_i	$\int_{\gamma_i}^{\gamma} \left[\frac{\sigma_s(\gamma')}{\phi_0}\right] d\gamma'$	$\int_{\gamma_i}^{\gamma} \left[\frac{\gamma'\sigma_s(\gamma')}{\phi_0}\right] d\gamma'$	$\int_0^{E=\gamma-\gamma_i} [E'\sigma_t(E')/\phi_0] dE'$	γ_i'
1300 51	0000000 00	0000000 00	0000000 00	1300 51
1200 51	4428699 47	5535992 48	2213167 47	1200 51
1100 51	8857015 47	1062843 49	8856860 47	1100 51
1000 51	1331772 48	1531175 49	2001296 48	1000 51
9500 50	1557323 48	1751077 49	2734425 48	9500 50
9000 50	1785411 48	1962047 49	3589877 48	9000 50
8500 50	2016825 48	2164519 49	4573546 48	8500 50
8000 50	2252496 48	2358927 49	5693178 48	8000 50
7500 50	2493535 48	2545708 49	6958882 48	7500 50
7000 50	2741293 48	2725300 49	8383802 48	7000 50
6500 50	2997418 48	2898146 49	9984974 48	6500 50
6000 50	3263966 48	3064690 49	1178465 49	6000 50
5500 50	3543535 48	3225382 49	1381214 49	5500 50
5000 50	3839482 48	3380678 49	1610649 49	5000 50
4500 50	4156247 48	3531043 49	1872078 49	4500 50
4000 50	4499874 48	3676957 49	2172879 49	4000 50
3500 50	4878897 48	3818921 49	2523644 49	3500 50
3000 50	5305918 48	3957469 49	2940224 49	3000 50
2500 50	5800697 48	4093196 49	3447711 49	2500 50
2000 50	6396852 48	4226808 49	4089100 49	2000 50
1950 50	6464087 48	4240086 49	4163227 49	1950 50
1900 50	6533012 48	4253354 49	4239562 49	1900 50
1850 50	6603723 48	4266611 49	4318229 49	1850 50
1800 50	6676326 48	4279860 49	4399363 49	1800 50
1750 50	6750934 48	4293102 49	4483112 49	1750 50
1700 50	6827672 48	4306339 49	4569634 49	1700 50
1650 50	6906676 48	4319571 49	4659108 49	1650 50
1600 50	6988096 48	4332801 49	4751724 49	1600 50
1550 50	7072095 48	4346029 49	4847694 49	1550 50
1500 50	7158857 48	4359259 49	4947254 49	1500 50
1450 50	7248579 48	4372492 49	5050660 49	1450 50
1400 50	7341487 48	4385730 49	5158203 49	1400 50
1350 50	7437829 48	4398976 49	5270202 49	1350 50
1300 50	7537884 48	4412232 49	5387017 49	1300 50
1250 50	7641964 48	4425500 49	5509053 49	1250 50
1200 50	7750424 48	4438784 49	5636767 49	1200 50
1150 50	7863667 48	4452088 49	5770679 49	1150 50
1100 50	7982152 48	4465415 49	5911382 49	1100 50
1050 50	8106407 48	4478771 49	6059559 49	1050 50
1000 50	8237043 48	4492158 49	6215999 49	1000 50
9500 49	8374774 48	4505583 49	6381622 49	9500 49
9000 49	8520435 48	4519054 49	6557512 49	9000 49
8500 49	8675020 48	4532576 49	6744950 49	8500 49
8000 49	8839717 48	4546159 49	6945473 49	8000 49
7500 49	9015966 48	4559813 49	7160943 49	7500 49

Integrated Cross Sections and Integrals for Average Energies

$\gamma = 13\ 51$ γ_i'	$\int_{\gamma_1'}^{\gamma}\left[\frac{\sigma_3(\gamma')}{\phi_0}\right]d\gamma'$	$\int_{\gamma_1'}^{\gamma}\left[\frac{\gamma'\sigma_3(\gamma')}{\phi_0}\right]d\gamma'$	$\int_0^{E=\gamma-\gamma_1'}[E'\sigma_0(E')/\phi_0]dE'$	γ_i'
7000 49	9205535 48	4573551 49	7393645 49	7000 49
6500 49	9410622 48	4587387 49	7646422 49	6500 49
6000 49	9634014 48	4601341 49	7922878 49	6000 49
5500 49	9879307 48	4615435 49	8227663 49	5500 49
5000 49	1015125 49	4629700 49	8566930 49	5000 49
4814 49	1025996 49	4635034 49	8702918 49	4814 49

Integrated Cross Sections and Integrals for Average Energies

$\gamma = 14\ 51$ γ_1'	$\int_{\gamma_1'}^{\infty}\left[\frac{\sigma_3(\gamma')}{\phi_0}\right]d\gamma'$	$\int_{\gamma_1'}^{\infty}\left[\frac{\gamma'\sigma_3(\gamma')}{\phi_0}\right]d\gamma'$	$\int_0^{E=\gamma-\gamma_1'}[E'\sigma_6(E')/\phi_0]dE'$	γ_2'
1400 51	0000000 00	0000000 00	0000000 00	1400 51
1300 51	3819735 47	5156729 48	1909003 47	1300 51
1200 51	7639195 47	9930964 48	7639100 47	1200 51
1100 51	1148231 48	1435023 49	1724999 48	1100 51
1000 51	1537993 48	1844213 49	3089773 48	1000 51
9500 50	1736140 48	2037395 49	3932012 48	9500 50
9000 50	1937276 48	2223432 49	4887544 48	9000 50
8500 50	2142139 48	2402670 49	5963247 48	8500 50
8000 50	2351605 48	2575458 49	7167887 48	8000 50
7500 50	2566721 48	2742147 49	8512623 48	7500 50
7000 50	2788754 48	2903089 49	1001166 49	7000 50
6500 50	3019254 48	3058638 49	1168318 49	6500 50
6000 50	3260152 48	3209151 49	1355062 49	6000 50
5500 50	3513888 48	3354990 49	1564453 49	5500 50
5000 50	3783614 48	3496522 49	1800537 49	5000 50
4500 50	4073497 48	3634121 49	2068773 49	4500 50
4000 50	4389207 48	3768176 49	2376713 49	4000 50
3500 50	4738746 48	3899092 49	2735153 49	3500 50
3000 50	5133922 48	4027302 49	3160189 49	3000 50
2500 50	5593235 48	4153294 49	3677235 49	2500 50
2000 50	6148117 48	4277650 49	4329713 49	2000 50
1950 50	6210770 48	4290024 49	4405054 49	1950 50
1900 50	6275011 48	4302389 49	4482625 49	1900 50
1850 50	6340928 48	4314748 49	4562551 49	1850 50
1800 50	6408620 48	4327101 49	4644967 49	1800 50
1750 50	6478194 48	4339450 49	4730021 49	1750 50
1700 50	6549764 48	4351795 49	4817874 49	1700 50
1650 50	6623459 48	4364138 49	4908704 49	1650 50
1600 50	6699416 48	4376480 49	5002702 49	1600 50
1550 50	6777790 48	4388823 49	5100082 49	1550 50
1500 50	6858748 48	4401168 49	5201079 49	1500 50
1450 50	6942478 48	4413517 49	5305953 49	1450 50
1400 50	7029188 48	4425872 49	5414991 49	1400 50
1350 50	7119107 48	4438234 49	5528516 49	1350 50
1300 50	7212496 48	4450606 49	5646889 49	1300 50
1250 50	7309645 48	4462992 49	5770512 49	1250 50
1200 50	7410884 48	4475392 49	5899846 49	1200 50
1150 50	7516584 48	4487810 49	6035409 49	1150 50
1100 50	7627174 48	4500248 49	6177795 49	1100 50
1050 50	7743140 48	4512713 49	6327684 49	1050 50
1000 50	7865052 48	4525206 49	6485867 49	1000 50
9500 49	7993567 48	4537733 49	6653260 49	9500 49
9000 49	8129459 48	4550300 49	6830943 49	9000 49
8500 49	8273646 48	4562913 49	7020192 49	8500 49
8000 49	8427225 48	4575579 49	7222537 49	8000 49

Integrated Cross Sections and Integrals for Average Energies

$\gamma = 14\ 51$ γ_i'	$\int_{\gamma_1'}^{\gamma}\left[\frac{\sigma_s(\gamma')}{\phi_0}\right]d\gamma'$	$\int_{\gamma_1'}^{\gamma}\left[\frac{\gamma'\sigma_s(\gamma')}{\phi_0}\right]d\gamma'$	$\int_0^{E=\gamma-\gamma_i'}[E'\sigma_s(E')/\phi_0]dE'$	γ_i'
7500 49	8591526 48	4588307 49	7439829 49	7500 49
7000 49	8768174 48	4601109 49	7674335 49	7000 49
6500 49	8959196 48	4613996 49	7928878 49	6500 49
6000 49	9167151 48	4626986 49	8207027 49	6000 49
5500 49	9395341 48	4640097 49	8513380 49	5500 49
5000 49	9648121 48	4653357 49	8854012 49	5000 49
4827 49	9741999 48	4657970 49	8980829 49	4827 49

Integrated Cross Sections and Integrals for Average Energies

$\gamma = 15$ 51 γ_i	$\int_{\gamma_i}^{\gamma} \left[\frac{\sigma_s(\gamma')}{\phi_0}\right] d\gamma'$	$\int_{\gamma_i}^{\gamma} \left[\frac{\gamma' \sigma_s(\gamma')}{\phi_0}\right] d\gamma'$	$\int_0^{E=\gamma-\gamma_i} [E' \sigma_s(E')/\phi_0] dE'$	γ_i
1500 51	0000000 00	0000000 00	0000000 00	1500 51
1400 51	3328191 47	4825940 48	1663462 47	1400 51
1300 51	6656184 47	9318663 48	6656132 47	1300 51
1200 51	1000185 48	1350052 49	1502263 48	1200 51
1100 51	1338780 48	1739391 49	2687796 48	1100 51
1000 51	1684312 48	2102128 49	4243406 48	1000 51
9500 50	1860833 48	2274223 49	5170266 48	9500 50
9000 50	2040622 48	2440513 49	6204201 48	9000 50
8500 50	2224377 48	2601281 49	7352852 48	8500 50
8000 50	2412923 48	2756809 49	8625760 48	8000 50
7500 50	2607249 48	2907385 49	1003488 49	7500 50
7000 50	2808547 48	3053294 49	1159526 49	7000 50
6500 50	3018280 48	3194826 49	1332594 49	6500 50
6000 50	3238268 48	3332271 49	1525130 49	6000 50
5500 50	3470810 48	3465925 49	1740290 49	5500 50
5000 50	3718876 48	3596087 49	1982226 49	5000 50
4500 50	3986389 48	3723066 49	2256518 49	4500 50
4000 50	4278691 48	3847177 49	2570860 49	4000 50
3500 50	4603309 48	3968754 49	2936209 49	3500 50
3000 50	4971350 48	4088157 49	3368868 49	3000 50
2500 50	5400199 48	4205788 49	3894510 49	2500 50
2000 50	5919366 48	4322137 49	4556912 49	2000 50
1950 50	5978041 48	4333724 49	4633336 49	1950 50
1900 50	6038211 48	4345306 49	4712009 49	1900 50
1850 50	6099960 48	4356884 49	4793056 49	1850 50
1800 50	6163380 48	4368457 49	4876612 49	1800 50
1750 50	6228571 48	4380028 49	4962828 49	1750 50
1700 50	6295640 48	4391596 49	5051864 49	1700 50
1650 50	6364708 48	4403164 49	5143897 49	1650 50
1600 50	6435904 48	4414733 49	5239122 49	1600 50
1550 50	6509370 48	4426303 49	5337752 49	1550 50
1500 50	6585266 48	4437876 49	5440022 49	1500 50
1450 50	6663765 48	4449453 49	5546193 49	1450 50
1400 50	6745061 48	4461037 49	5656555 49	1400 50
1350 50	6829371 48	4472628 49	5771428 49	1350 50
1300 50	6916935 48	4484229 49	5891174 49	1300 50
1250 50	7008027 48	4495842 49	6016199 49	1250 50
1200 50	7102951 48	4507468 49	6146958 49	1200 50
1150 50	7202058 48	4519111 49	6283975 49	1150 50
1100 50	7305743 48	4530774 49	6427841 49	1100 50
1050 50	7414463 48	4542459 49	6579235 49	1050 50
1000 50	7528745 48	4554171 49	6738947 49	1000 50
9500 49	7649202 48	4565913 49	6907891 49	9500 49
9000 49	7776555 48	4577690 49	7087143 49	9000 49
8500 49	7911655 48	4589507 49	7277976 49	8500 49

Integrated Cross Sections and Integrals for Average Energies

$\gamma = 15\ 51$ γ_i	$\int_{\gamma_i'}^{\gamma}\left[\frac{\sigma_s(\gamma')}{\phi_0}\right]d\gamma'$	$\int_{\gamma_i'}^{\gamma}\left[\frac{\gamma'\sigma_s(\gamma')}{\phi_0}\right]d\gamma'$	$\int_{0}^{E=\gamma-\gamma_i'}[E'\sigma_s(E')/\phi_0]\,dE'$	γ_i'
8000 49	8055523 48	4601373 49	7481912 49	8000 49
7500 49	8209390 48	4613293 49	7700792 49	7500 49
7000 49	8374765 48	4625277 49	7936870 49	7000 49
6500 49	8553524 48	4637338 49	8192948 49	6500 49
6000 49	8748034 48	4649487 49	8472563 49	6000 49
5500 49	8961345 48	4661744 49	8780273 49	5500 49
5000 49	9197475 48	4674131 49	9122082 49	5000 49
4838 49	9279361 48	4678158 49	9240883 49	4838 49

Integrated Cross Sections and Integrals for Average Energies

$\gamma = 16\ 51$ γ_i	$\int_{\gamma_i}^{\gamma}\left[\frac{\sigma_s(\gamma')}{\phi_0}\right]d\gamma'$	$\int_{\gamma_i}^{\gamma}\left[\frac{\gamma'\sigma_s(\gamma')}{\phi_0}\right]d\gamma'$	$\int_0^{E=\gamma-\gamma_i}[E'\sigma_s(E')/\phi_0]dE'$	γ_i
1600 51	00000000 00	00000000 00	00000000 00	1600 51
1500 51	29257254 7	45349234 8	14623704 7	1500 51
1400 51	58513024 7	87769584 8	58512494 7	1400 51
1300 51	87903634 7	12744514 9	13200684 8	1300 51
1200 51	11759834 8	16456014 9	23597174 8	1200 51
1100 51	14781094 8	19929934 9	37198214 8	1100 51
1000 51	17881694 8	23184764 9	54259474 8	1000 51
9500 50	19472664 8	24735824 9	64204314 8	9500 50
9000 50	21097974 8	26239084 9	75176734 8	9000 50
8500 50	22764234 8	27696874 9	87258964 8	8500 50
8000 50	24479244 8	29111544 9	10055254 9	8000 50
7500 50	26252364 8	30485444 9	11518334 9	7500 50
7000 50	28094864 8	31820944 9	13130844 9	7000 50
6500 50	30020594 8	33120424 9	14912514 9	6500 50
6000 50	32046734 8	34386304 9	16888464 9	6000 50
5500 50	34195034 8	35621014 9	19091034 9	5500 50
5000 50	36493564 8	36827044 9	21562644 9	5000 50
4500 50	38979384 8	38006944 9	24360084 9	4500 50
4000 50	41702944 8	39163334 9	27561374 9	4000 50
3500 50	44735324 8	40299004 9	31277514 9	3500 50
3000 50	48181334 8	41416954 9	35673174 9	3000 50
2500 50	52204914 8	42520574 9	41007294 9	2500 50
2000 50	57084144 8	43614004 9	47720624 9	2000 50
1950 50	57635984 8	43722994 9	48494584 9	1950 50
1900 50	58201944 8	43831934 9	49291184 9	1900 50
1850 50	58782834 8	43940844 9	50111694 9	1850 50
1800 50	59379504 8	44049724 9	50957474 9	1800 50
1750 50	59992884 8	44158594 9	51830014 9	1750 50
1700 50	60624004 8	44267454 9	52730944 9	1700 50
1650 50	61273974 8	44376314 9	53662044 9	1650 50
1600 50	61944024 8	44485194 9	54625244 9	1600 50
1550 50	62635484 8	44594084 9	55622694 9	1550 50
1500 50	63349864 8	44703024 9	56656764 9	1500 50
1450 50	64088764 8	44812004 9	57730034 9	1450 50
1400 50	64854034 8	44921034 9	58845414 9	1400 50
1350 50	65647684 8	45030154 9	60006144 9	1350 50
1300 50	66471984 8	45139354 9	61215814 9	1300 50
1250 50	67329484 8	45248674 9	62478494 9	1250 50
1200 50	68223054 8	45358124 9	63798764 9	1200 50
1150 50	69155964 8	45467724 9	65181824 9	1150 50
1100 50	70131924 8	45577494 9	66633574 9	1100 50
1050 50	71155194 8	45687484 9	68160844 9	1050 50
1000 50	72230734 8	45797704 9	69771474 9	1000 50
9500 49	73364254 8	45908194 9	71474624 9	9500 49
9000 49	74562494 8	46019004 9	73281004 9	9000 49

Integrated Cross Sections and Integrals for Average Energies

$\gamma = 16\ \ 51$ γ_i'	$\int_{\gamma_i'}^{\gamma}\left[\frac{\sigma_s(\gamma')}{\phi_0}\right]d\gamma'$	$\int_{\gamma_i'}^{\gamma}\left[\frac{\gamma'\sigma_s(\gamma')}{\phi_0}\right]d\gamma'$	$\int_0^{E=\gamma-\gamma_i'}[E'\sigma_s(E')/\phi_0]dE'$	γ_i'
8500 49	7583341 48	4613017 49	7520329 49	8500 49
8000 49	7718651 48	4624176 49	7725666 49	8000 49
7500 49	7863330 48	4635385 49	7945943 49	7500 49
7000 49	8018783 48	4646650 49	8183402 49	7000 49
6500 49	8186755 48	4657983 49	8440826 49	6500 49
6000 49	8369450 48	4669395 49	8721726 49	6000 49
5500 49	8569700 48	4680901 49	9030620 49	5500 49
5000 49	8791233 48	4692522 49	9373452 49	5000 49
4848 49	8863286 48	4696070 49	9485188 49	4848 49

$\gamma = 17\ 51$ γ_1'	$\int_{\gamma_1'}^{\gamma}\left[\frac{\sigma_3(\gamma')}{\phi_0}\right]d\gamma'$	$\int_{\gamma_1'}^{\gamma}\left[\frac{\gamma'\sigma_3(\gamma')}{\phi_0}\right]d\gamma'$	$\int_0^{E=\gamma-\gamma_1'}[E'\sigma_6(E')/\phi_0]dE'$	γ_1'
1700 51	00000000 00	00000000 00	00000000 00	1700 51
1600 51	25920533 47	42769268 48	12956477 47	1600 51
1500 51	51839955 47	82943968 48	51839555 47	1500 51
1400 51	77864004 47	12067744 49	11691334 48	1400 51
1300 51	10412204 48	15612324 49	20884224 48	1300 51
1200 51	13077477 48	18943519 49	32882024 48	1200 51
1100 51	15802507 48	22076699 49	47875614 48	1100 51
1000 51	18613428 48	25027329 49	66155064 48	1000 51
9500 50	20061457 48	26439019 49	76654614 48	9500 50
9000 50	21544727 48	27810879 49	88151594 48	9000 50
8500 50	23069507 48	29144879 49	10073284 49	8500 50
8000 50	24643197 48	30442949 49	11450484 49	8000 50
7500 50	26274657 48	31707069 49	12959844 49	7500 50
7000 50	27974597 48	32939219 49	14617604 49	7000 50
6500 50	29756137 48	34141389 49	16444054 49	6500 50
6000 50	31635577 48	35315589 49	18464894 49	6000 50
5500 50	33633527 48	36463869 49	20713134 49	5500 50
5000 50	35776597 48	37588309 49	23231904 49	5000 50
4500 50	38099897 48	38691039 49	26078794 49	4500 50
4000 50	40651227 48	39774279 49	29332804 49	4000 50
3500 50	43497887 48	40840369 49	33106034 49	3500 50
3000 50	46739087 48	41891849 49	37564594 49	3000 50
2500 50	50529927 48	42931609 49	42969274 49	2500 50
2000 50	55133257 48	43963189 49	49763344 49	2000 50
1950 50	55654197 48	44066069 49	50546074 49	1950 50
1900 50	56188527 48	44168919 49	51351574 49	1900 50
1850 50	56736987 48	44271759 49	52181124 49	1850 50
1800 50	57300397 48	44374569 49	53036104 49	1800 50
1750 50	57879627 48	44477379 49	53917994 49	1750 50
1700 50	58475657 48	44580189 49	54828434 49	1700 50
1650 50	59089527 48	44682999 49	55769194 49	1650 50
1600 50	59722397 48	44785829 49	56742244 49	1600 50
1550 50	60375527 48	44888689 49	57749694 49	1550 50
1500 50	61050307 48	44991589 49	58793944 49	1500 50
1450 50	61748297 48	45094529 49	59877574 49	1450 50
1400 50	62471207 48	45197529 49	61003514 49	1400 50
1350 50	63220937 48	45300609 49	62174984 49	1350 50
1300 50	63999617 48	45403769 49	63395584 49	1300 50
1250 50	64809657 48	45507039 49	64669394 49	1250 50
1200 50	65653757 48	45610429 49	66000964 49	1200 50
1150 50	66534987 48	45713959 49	67395524 49	1150 50
1100 50	67456827 48	45817639 49	68858964 49	1100 50
1050 50	68423307 48	45921519 49	70398104 49	1050 50
1000 50	69439057 48	46025619 49	72020784 49	1000 50
9500 49	70509457 48	46129959 49	73736124 49	9500 49

Integrated Cross Sections and Integrals for Average Energies

$\gamma = 17$ 51 γ_i	$\int_{\gamma_i}^{\gamma}\left[\frac{\sigma_s(\gamma')}{\phi_0}\right]d\gamma'$	$\int_{\gamma_i}^{\gamma}\left[\frac{\gamma'\sigma_s(\gamma')}{\phi_0}\right]d\gamma'$	$\int_{0}^{E=\gamma-\gamma_i'}[E'\sigma_s(E')/\phi_0]dE'$	γ_i
9000 49	7164081 48	4623457 49	7555481 49	9000 49
8500 49	7284060 48	4633952 49	7748951 49	8500 49
8000 49	7411774 48	4644485 49	7955530 49	8000 49
7500 49	7548299 48	4655062 49	8177047 49	7500 49
7000 49	7694952 48	4665690 49	8415728 49	7000 49
6500 49	7853364 48	4676377 49	8674342 49	6500 49
6000 49	8025595 48	4687135 49	8956376 49	6000 49
5500 49	8214288 48	4697978 49	9266312 49	5500 49
5000 49	8422920 48	4708922 49	9610042 49	5000 49
4857 49	8486809 48	4712070 49	9715504 49	4857 49

Integrated Cross Sections and Integrals for Average Energies

$\gamma = 18\ 51$ / γ_1'	$\int_{\gamma_1'}^{\gamma}\left[\frac{\sigma_3(\gamma')}{\phi_0}\right]d\gamma'$	$\int_{\gamma_1'}^{\gamma}\left[\frac{\gamma'\sigma_3(\gamma')}{\phi_0}\right]d\gamma'$	$\int_0^{E=\gamma-\gamma_1'}[E'\sigma_6(E')/\phi_0]dE'$	γ_1'
1800 51	00000000 00	00000000 00	00000000 00	1800 51
1700 51	23123 50 47	40466645 48	11558 57 47	1700 51
1600 51	46246 19 47	78618 54 48	46246 01 47	1600 51
1500 51	69451 28 47	11458 53 49	10426 95 48	1500 51
1400 51	92839 43 47	14849 61 49	18614 82 48	1400 51
1300 51	11653 37 48	18048 03 49	29280 36 48	1300 51
1200 51	14068 69 48	21066 73 49	42569 20 48	1200 51
1100 51	16549 22 48	23918 70 49	58698 99 48	1100 51
1000 51	19119 81 48	26616 95 49	77987 19 48	1000 51
9500 50	20448 74 48	27912 51 49	88952 19 48	9500 50
9000 50	21813 27 48	29174 55 49	10089 34 49	9000 50
8500 50	23219 38 48	30404 70 49	11390 18 49	8500 50
8000 50	24674 09 48	31604 63 49	12808 74 49	8000 50
7500 50	26185 85 48	32775 98 49	14358 55 49	7500 50
7000 50	27764 82 48	33920 43 49	16056 25 49	7000 50
6500 50	29423 48 48	35039 66 49	17922 60 49	6500 50
6000 50	31177 32 48	36135 38 49	19983 80 49	6000 50
5500 50	33045 94 48	37209 31 49	22273 38 49	5500 50
5000 50	35054 61 48	38263 21 49	24835 08 49	5000 50
4500 50	37236 70 48	39298 90 49	27727 16 49	4500 50
4000 50	39637 59 48	40318 25 49	31029 41 49	4000 50
3500 50	42321 21 48	41323 26 49	34854 91 49	3500 50
3000 50	45381 72 48	42316 11 49	39370 99 49	3000 50
2500 50	48966 26 48	43299 26 49	44840 00 49	2500 50
2000 50	53324 01 48	44275 79 49	51707 43 49	2000 50
1950 50	53817 40 48	44373 23 49	52498 09 49	1950 50
1900 50	54323 51 48	44470 65 49	53311 66 49	1900 50
1850 50	54843 03 48	44568 06 49	54149 40 49	1850 50
1800 50	55376 75 48	44665 46 49	55012 70 49	1800 50
1750 50	55925 50 48	44762 85 49	55903 05 49	1750 50
1700 50	56490 18 48	44860 25 49	56822 08 49	1700 50
1650 50	57071 81 48	44957 67 49	57771 59 49	1650 50
1600 50	57671 45 48	45055 10 49	58753 50 49	1600 50
1550 50	58290 31 48	45152 56 49	59769 99 49	1550 50
1500 50	58929 72 48	45250 06 49	60823 43 49	1500 50
1450 50	59591 12 48	45347 61 49	61916 41 49	1450 50
1400 50	60276 14 48	45445 22 49	63051 84 49	1400 50
1350 50	60986 59 48	45542 89 49	64232 96 49	1350 50
1300 50	61724 47 48	45640 65 49	65463 41 49	1300 50
1250 50	62492 06 48	45738 50 49	66747 20 49	1250 50
1200 50	63291 90 48	45836 47 49	68088 96 49	1200 50
1150 50	64126 89 48	45934 57 49	69493 84 49	1150 50
1100 50	65000 33 48	46032 81 49	70967 78 49	1100 50
1050 50	65916 00 48	46131 23 49	72517 57 49	1050 50
1000 50	66878 26 48	46229 84 49	74151 04 49	1000 50

Integrated Cross Sections and Integrals for Average Energies

$\gamma = 18\ 51$ γ_i	$\int_{\gamma_1'}^{\gamma}\left[\frac{\sigma_s(\gamma')}{\phi_0}\right]d\gamma'$	$\int_{\gamma_1'}^{\gamma}\left[\frac{\gamma'\sigma_s(\gamma')}{\phi_0}\right]d\gamma'$	$\int_0^{E=\gamma-\gamma_1'}[E'\sigma_s(E')/\phi_0]dE'$	γ_1'
9500 49	5789220 48	4632868 49	7587729 49	9500 49
9000 49	6896376 48	4642777 49	7770700 49	9000 49
8500 49	7009997 48	4652716 49	7965279 49	8500 49
8000 49	7130921 48	4662689 49	8172969 49	8000 49
7500 49	7260162 48	4672701 49	8395591 49	7500 49
7000 49	7398956 48	4682760 49	8635362 49	7000 49
6500 49	7548837 48	4692872 49	8895036 49	6500 49
6000 49	7711735 48	4703047 49	9178077 49	6000 49
5500 49	7890131 48	4713298 49	9488938 49	5500 49
5000 49	8087279 48	4723639 49	9833462 49	5000 49
4864 49	8144317 48	4726453 49	9933318 49	4864 49

Integrated Cross Sections and Integrals for Average Energies

$\gamma = 19\ 51$ γ_i	$\int_{\gamma_1'}^{\gamma'} \left[\frac{\sigma_3(\gamma')}{\phi_0}\right] d\gamma'$	$\int_{\gamma_1'}^{\gamma'} \left[\frac{\gamma'\sigma_3(\gamma')}{\phi_0}\right] d\gamma'$	$\int_0^{\mathcal{E}-\gamma'} [E'\sigma_6(E')/\phi_0] dE'$	γ_1'
1900 51	00000000 00	00000000 00	00000000 00	1900 51
1800 51	20755824 7	38398494 8	10375764 7	1800 51
1700 51	41510984 7	74719774 8	41510954 7	1700 51
1600 51	62331974 7	10907354 9	93571904 7	1600 51
1500 51	83298214 7	14156964 9	16696954 8	1500 51
1400 51	10450564 8	17231794 9	26242794 8	1400 51
1300 51	12607164 8	20142854 9	38107644 8	1300 51
1200 51	14814204 8	22901164 9	52458244 8	1200 51
1100 51	17090074 8	25517754 9	69533934 8	1100 51
1000 51	19458494 8	28003704 9	89674374 8	1000 51
9500 50	20686794 8	29201154 9	10103754 9	9500 50
9000 50	21950714 8	30370124 9	11336234 9	9000 50
8500 50	23255934 8	31512014 9	12674274 9	8500 50
8000 50	24609174 8	32628214 9	14129214 9	8000 50
7500 50	26018444 8	33720144 9	15714894 9	7500 50
7000 50	27493454 8	34789234 9	17448334 9	7000 50
6500 50	29046094 8	35836914 9	19350664 9	6500 50
6000 50	30691124 8	36864634 9	21448494 9	6000 50
5500 50	32447194 8	37873864 9	23775804 9	5500 50
5000 50	34338394 8	38866124 9	26376834 9	5000 50
4500 50	36396514 8	39842954 9	29310414 9	4500 50
4000 50	38664744 8	40805964 9	32657044 9	4000 50
3500 50	41203934 8	41756874 9	36530594 9	3500 50
3000 50	44103684 8	42697554 9	41099454 9	3000 50
2500 50	47503954 8	43630154 9	46627364 9	2500 50
2000 50	51641604 8	44557344 9	53561704 9	2000 50
1950 50	52110264 8	44649904 9	54359594 9	1950 50
1900 50	52591024 8	44742444 9	55180504 9	1900 50
1850 50	53084564 8	44834974 9	56025694 9	1850 50
1800 50	53591614 8	44927504 9	56896554 9	1800 50
1750 50	54112954 8	45020044 9	57794584 9	1750 50
1700 50	54649474 8	45112584 9	58721424 9	1700 50
1650 50	55202094 8	45205134 9	59678844 9	1650 50
1600 50	55771864 8	45297724 9	60668834 9	1600 50
1550 50	56359914 8	45390334 9	61693504 9	1550 50
1500 50	56967494 8	45482974 9	62755254 9	1500 50
1450 50	57595984 8	45575674 9	63856704 9	1450 50
1400 50	58246924 8	45668424 9	65000744 9	1400 50
1350 50	58922024 8	45761234 9	66190614 9	1350 50
1300 50	59623194 8	45854124 9	67429944 9	1300 50
1250 50	60352574 8	45947114 9	68722784 9	1250 50
1200 50	61112584 8	46040204 9	70073714 9	1200 50
1150 50	61905964 8	46133404 9	71487924 9	1150 50
1100 50	62735834 8	46226754 9	72971334 9	1100 50
1050 50	63605774 8	46320254 9	74530724 9	1050 50

Integrated Cross Sections and Integrals for Average Energies

$\gamma = 19\ 51$ γ_i'	$\int_{\gamma_i'}^{\gamma}\left[\frac{\sigma_s(\gamma')}{\phi_0}\right]d\gamma'$	$\int_{\gamma_i'}^{\gamma}\left[\frac{\gamma\cdot\sigma_s(\gamma')}{\phi_0}\right]d\gamma'$	$\int_0^{E=\gamma-\gamma_i'}[E'\sigma_s(E')/\phi_0]dE'$	γ_i'
1000 50	6451992 48	4641393 49	7617392 49	1000 50
9500 49	6548306 48	4650782 49	7791000 49	9500 49
9000 49	6650082 48	4660193 49	7974963 49	9000 49
8500 49	6757985 48	4669632 49	8170539 49	8500 49
8000 49	6872805 48	4679102 49	8379228 49	8000 49
7500 49	6995499 48	4688607 49	8602841 49	7500 49
7000 49	7127234 48	4698154 49	8843591 49	7000 49
6500 49	7269454 48	4707749 49	9104214 49	6500 49
6000 49	7423978 48	4717401 49	9388157 49	6000 49
5500 49	7593140 48	4727121 49	9699844 49	5500 49
5000 49	7780000 48	4736923 49	1004507 50	5000 49
4871 49	7831232 48	4739452 49	1013989 50	4871 49

Integrated Cross Sections and Integrals for Average Energies

$\gamma = 20$ 51 γ_1'	$\int_{\gamma_1'}^{\gamma}\left[\frac{\sigma_s(\gamma')}{\phi_0}\right]d\gamma'$	$\int_{\gamma_1'}^{\gamma}\left[\frac{\gamma'\sigma_s(\gamma')}{\phi_0}\right]d\gamma'$	$\int_0^{E=\gamma-\gamma_1'}[E'\sigma_s(E')/\phi_0]dE'$	γ_1'
2000 51	00000000 00	00000000 00	00000000 00	2000 51
1800 51	3746727 47	7118782 48	3746718 47	1800 51
1600 51	7515721 47	1352529 49	1506151 48	1600 51
1400 51	1136335 48	1929484 49	3431863 48	1400 51
1200 51	1537229 48	2450288 49	6241697 48	1200 51
1000 51	1967093 48	2922513 49	1011673 49	1000 51
9500 50	2081320 48	3033870 49	1128769 49	9500 50
9000 50	2199084 48	3142766 49	1255381 49	9000 50
8500 50	2320928 48	3249382 49	1392474 49	8500 50
8000 50	2447494 48	3353777 49	1541210 49	8000 50
7500 50	2579547 48	3456094 49	1703001 49	7500 50
7000 50	2718016 48	3556455 49	1879577 49	7000 50
6500 50	2864033 48	3654983 49	2073084 49	6500 50
6000 50	3019010 48	3751802 49	2286218 49	6000 50
5500 50	3184728 48	3847041 49	2522415 49	5500 50
5000 50	3363484 48	3940828 49	2786141 49	5000 50
4500 50	3558313 48	4033297 49	3083329 49	4500 50
4000 50	3773337 48	4124588 49	3422087 49	4000 50
3500 50	4014362 48	4214849 49	3813875 49	3500 50
3000 50	4289932 48	4304242 49	4275622 49	3000 50
2500 50	4613391 48	4392956 49	4833825 49	2500 50
2000 50	5007306 48	4481227 49	5533387 49	2000 50
1950 50	5051938 48	4468217 49	5635660 49	1950 50
1900 50	5097725 48	4498855 49	5696596 49	1900 50
1850 50	5144731 48	4507668 49	5781796 49	1850 50
1800 50	5193026 48	4516481 49	5869572 49	1800 50
1750 50	5242685 48	4525295 49	5960076 49	1750 50
1700 50	5293790 48	4534110 49	6053471 49	1700 50
1650 50	5346431 48	4542927 49	6149936 49	1650 50
1600 50	5400707 48	4551746 49	6249668 49	1600 50
1550 50	5456725 48	4560568 49	6352882 49	1550 50
1500 50	5514604 48	4569394 49	6459815 49	1500 50
1450 50	5574477 48	4578224 49	6570730 49	1450 50
1400 50	5636488 48	4587060 49	6685916 49	1400 50
1350 50	5700800 48	4595901 49	6805699 49	1350 50
1300 50	5767595 48	4604751 49	6930440 49	1300 50
1250 50	5837076 48	4613608 49	7060544 49	1250 50
1200 50	5909473 48	4622476 49	7196471 49	1200 50
1150 50	5985046 48	4631354 49	7338738 49	1150 50
1100 50	6064091 48	4640245 49	7487938 49	1100 50
1050 50	6146949 48	4649151 49	7644747 49	1050 50
1000 50	6234010 48	4658073 49	7809947 49	1000 50
9500 49	6325730 48	4667013 49	7984446 49	9500 49
9000 49	6422641 48	4675975 49	8169306 49	9000 49
8500 49	6525373 48	4684962 49	8365784 49	8500 49

Integrated Cross Sections and Integrals for Average Energies

$\gamma = 20$ 51 γ_i'	$\int_{\gamma_i'}^{\gamma}\left[\frac{\sigma_s(\gamma')}{\phi_0}\right]d\gamma'$	$\int_{\gamma_i'}^{\gamma}\left[\frac{\gamma'\sigma_s(\gamma')}{\phi_0}\right]d\gamma'$	$\int_0^{E=\gamma-\gamma_i'}[E'\sigma_s(E')/\phi_0]dE'$	γ_i'
8000 49	6634676 48	4693976 49	8575375 49	8000 49
7500 49	6751454 48	4703023 49	8799885 49	7500 49
7000 49	6876811 48	4712108 49	9041516 49	7000 49
6500 49	7012115 48	4721237 49	9302994 49	6500 49
6000 49	7159083 48	4730417 49	9587749 49	6000 49
5500 49	7319918 48	4739658 49	9900179 49	5500 49
5000 49	7497510 48	4748974 49	1024604 50	5000 49
4878 49	7543780 48	4751259 49	1033630 50	4878 49

Integrated Cross Sections and Integrals for Average Energies

$\gamma = 22$ γ_1' 51	$\int_{\gamma_1'}^{\gamma} \left[\frac{\sigma_2(\gamma')}{\phi_0}\right] d\gamma'$	$\int_{\gamma_1'}^{\gamma} \left[\frac{\gamma' \sigma_3(\gamma')}{\phi_0}\right] d\gamma'$	$\int_0^{E=\gamma-\gamma_1'} [E' \sigma_4(E')/\phi_0] dE'$	γ_1'
2200 51	0000000 00	0000000 00	0000000 00	2200 51
2000 51	3096946 47	6496204 48	3170790 47	2000 51
1800 51	6208834 47	1241565 49	1243780 48	1800 51
1600 51	9372551 47	1779273 49	2826881 48	1600 51
1400 51	1263985 48	2269142 49	5116259 48	1400 51
1200 51	1608666 48	2716846 49	8222188 48	1200 51
1000 51	1983082 48	3128078 49	1234704 49	1000 51
9500 50	2083383 48	3225857 49	1357586 49	9500 50
9000 50	2187127 48	3321805 49	1489874 49	9000 50
8500 50	2294813 48	3416012 49	1632575 49	8500 50
8000 50	2407027 48	3508569 49	1786891 49	8000 50
7500 50	2524475 48	3599568 49	1954278 49	7500 50
7000 50	2648006 48	3689100 49	2136513 49	7000 50
6500 50	2778660 48	3777260 49	2335793 49	6500 50
6000 50	2917730 48	3864140 49	2554866 49	6000 50
5500 50	3066850 48	3949838 49	2797231 49	5500 50
5000 50	3228125 48	4034452 49	3067423 49	5000 50
4500 50	3404336 48	4118083 49	3371457 49	4500 50
4000 50	3599259 48	4200838 49	3717533 49	4000 50
3500 50	3818210 48	4282830 49	4117231 49	3500 50
3000 50	4069008 48	4364186 49	4587632 49	3000 50
2500 50	4363856 48	4445052 49	5155433 49	2500 50
2000 50	4723377 48	4525613 49	5865816 49	2000 50
1950 50	4764132 48	4533662 49	5947429 49	1950 50
1900 50	4805945 48	4541711 49	6031369 49	1900 50
1850 50	4848874 48	4549759 49	6117765 49	1850 50
1800 50	4892984 48	4557809 49	6206756 49	1800 50
1750 50	4938341 48	4565859 49	6298492 49	1750 50
1700 50	4985021 48	4573911 49	6393137 49	1700 50
1650 50	5033107 48	4581965 49	6490871 49	1650 50
1600 50	5082687 48	4590021 49	6591892 49	1600 50
1550 50	5133861 48	4598080 49	6696415 49	1550 50
1500 50	5186736 48	4606143 49	6804676 49	1500 50
1450 50	5241431 48	4614209 49	6916940 49	1450 50
1400 50	5298081 48	4622281 49	7033497 49	1400 50
1350 50	5356831 48	4630358 49	7154670 49	1350 50
1300 50	5417848 48	4616526 49	7302741 49	1300 50
1250 50	5481316 48	4646533 49	7412363 49	1250 50
1200 50	5547445 48	4654633 49	7549746 49	1200 50
1150 50	5616469 48	4662742 49	7693491 49	1150 50
1100 50	5688659 48	4670862 49	7844188 49	1100 50
1050 50	5764321 48	4678994 49	8002513 49	1050 50
1000 50	5843812 48	4687140 49	8169247 49	1000 50
9500 49	5927544 48	4695302 49	8345295 49	9500 49
9000 49	6015999 48	4703482 49	8531716 49	9000 49

Integrated Cross Sections and Integrals for Average Energies

$\gamma = 22\ 51$ γ_1'	$\int_{\gamma_1'}^{\gamma}\left[\frac{\sigma_3(\gamma')}{\phi_0}\right]d\gamma'$	$\int_{\gamma_1'}^{\gamma}\left[\frac{\gamma'\sigma_3(\gamma')}{\phi_0}\right]d\gamma'$	$\int_{0}^{E=\gamma-\gamma_1'}[E'\sigma_6(E')/\phi_0]dE'$	γ_1'
8500 49	6109747 48	4711683 49	8729761 49	8500 49
8000 49	6209465 48	4719907 49	8940918 49	8000 49
7500 49	6315972 48	4728158 49	9166981 49	7500 49
7000 49	6430263 48	4736441 49	9410139 49	7000 49
6500 49	6553571 48	4744760 49	9673097 49	6500 49
6000 49	6687444 48	4725215 49	9987162 49	6000 49
5500 49	6833864 48	4732955 49	10301154 50	5500 49
5000 49	6995424 48	4740691 49	10649224 50	5000 49
4888 49	7033710 48	4771904 49	10702225 50	4888 49

$\gamma = 24$ γ_i' 51	$\int_{\gamma_i'}^{\gamma} \left[\frac{\sigma_s(\gamma')}{\phi_0}\right] d\gamma'$	$\int_{\gamma_i'}^{\gamma} \left[\frac{\gamma'\sigma_s(\gamma')}{\phi_0}\right] d\gamma'$	$\int_0^{E=\gamma-\gamma_i'} [E'\sigma_s(E')/\phi_0] dE'$	γ_i'
2400 51	00000000 00	00000000 00	00000000 00	2400 51
2200 51	26025997 47	59859778 48	26026114 47	2200 51
2000 51	52155985 47	11472914 49	10445224 48	2000 51
1800 51	78641514 47	16504324 49	23696414 48	1800 51
1600 51	10582354 48	21123764 49	42738944 48	1600 51
1400 51	13418054 48	25374854 49	68284794 48	1400 51
1200 51	16441394 48	29301314 49	10158024 49	1200 51
1000 51	19761284 48	32947034 49	14480044 49	1000 51
9500 50	20656534 48	33819764 49	15755904 49	9500 50
9000 50	21584954 48	34678414 49	17125474 49	9000 50
8500 50	22551154 48	35523674 49	18599104 49	8500 50
8000 50	23560564 48	36356244 49	20189114 49	8000 50
7500 50	24619674 48	37176834 49	21910394 49	7500 50
7000 50	25736344 48	37986154 49	23781064 49	7000 50
6500 50	26920164 48	38784934 49	25823454 49	6500 50
6000 50	28183074 48	39573894 49	28065484 49	6000 50
5500 50	29540154 48	40353784 49	30542584 49	5500 50
5000 50	31010844 48	41125374 49	33300644 49	5000 50
4500 50	32620784 48	41889454 49	36400414 49	4500 50
4000 50	34404804 48	42646854 49	39924684 49	4000 50
3500 50	36411924 48	43398464 49	43990164 49	3500 50
3000 50	38714224 48	44145284 49	48768854 49	3000 50
2500 50	41424104 48	44888494 49	54529364 49	2500 50
2000 50	44731384 48	45629574 49	61725734 49	2000 50
1950 50	45106424 48	45703644 49	62551784 49	1950 50
1900 50	45489804 48	45777704 49	63397814 49	1900 50
1850 50	45886324 48	45851794 49	64275384 49	1850 50
1800 50	46292284 48	45925874 49	65175624 49	1800 50
1750 50	46709754 48	45999974 49	66103454 49	1750 50
1700 50	47139424 48	46074084 49	67060544 49	1700 50
1650 50	47582034 48	46148214 49	68048664 49	1650 50
1600 50	48038404 48	46222364 49	69069804 49	1600 50
1550 50	48509444 48	46296554 49	70126124 49	1550 50
1500 50	48996154 48	46370764 49	71219994 49	1500 50
1450 50	49499614 48	46445024 49	72354074 49	1450 50
1400 50	50021064 48	46519314 49	73531234 49	1400 50
1350 50	50561834 48	46593664 49	74754744 49	1350 50
1300 50	51123454 48	46668074 49	76028234 49	1300 50
1250 50	51707614 48	46742544 49	77355734 49	1250 50
1200 50	52316224 48	46817084 49	78741844 49	1200 50
1150 50	52951444 48	46891714 49	80191754 49	1150 50
1100 50	53615734 48	46966434 49	81711344 49	1100 50
1050 50	54311924 48	47041264 49	83307364 49	1050 50
1000 50	55043254 48	47116204 49	84987614 49	1000 50
9500 49	55813504 48	47191284 49	86761114 49	9500 49

Integrated Cross Sections and Integrals for Average Energies

$\gamma = 24\ 51$ γ_1'	$\int_{\gamma_1'}^{\gamma}\left[\frac{\sigma_s(\gamma')}{\phi_0}\right]d\gamma'$	$\int_{\gamma_1'}^{\gamma}\left[\frac{\gamma'\sigma_s(\gamma')}{\phi_0}\right]d\gamma'$	$\int_0^{E=\gamma-\gamma_1'}[E'\sigma_s(E')/\phi_0]dE'$	γ_1'
9000 49	5662706 48	4726652 49	8863844 49	9000 49
8500 49	5748914 48	4734193 49	9063203 49	8500 49
8000 49	5840593 48	4741754 49	9275670 49	8000 49
7500 49	5938489 48	4749338 49	9503035 49	7500 49
7000 49	6043508 48	4756949 49	9747471 49	7000 49
6500 49	6156773 48	4764591 49	1001166 50	6500 49
6000 49	6279691 48	4772269 49	1029899 50	6000 49
5500 49	6414064 48	4779990 49	1061376 50	5500 49
5000 49	6562244 48	4787763 49	1096162 50	5000 49
4897 49	6594448 48	4789357 49	1103731 50	4897 49

$\gamma = 2.6\ 51$ γ_i'	$\int_{\gamma_1'}^{\gamma}\left[\frac{\sigma_3(\gamma')}{\phi_0}\right]d\gamma'$	$\int_{\gamma_1'}^{\gamma}\left[\frac{\gamma'\sigma_3(\gamma')}{\phi_0}\right]d\gamma'$	$\int_0^{E=\gamma-\gamma_1'}[E'\sigma_c(E')/\phi_0]dE'$	γ_i'
2600 51	00000000 00	00000000 00	00000000 00	2600 51
2400 51	22177799 47	55444499 48	22177799 47	2400 51
2200 51	44430061 47	10662234 49	88961906 47	2200 51
2000 51	66935304 47	15387734 49	20154464 48	2000 51
1800 51	89925944 47	19754914 49	36258344 48	1800 51
1600 51	11371944 48	23798144 49	57689104 48	1600 51
1400 51	13876044 48	27551754 49	85259654 48	1400 51
1200 51	16570094 48	31050154 49	12033094 49	1200 51
1000 51	19555294 48	34327884 49	16515864 49	1000 51
9500 50	20364674 48	35116914 49	17831244 49	9500 50
9000 50	21205874 48	35894874 49	19240394 49	9000 50
8500 50	22083134 48	36662324 49	20753824 49	8500 50
8000 50	23001514 48	37419804 49	22384134 49	8000 50
7500 50	23967044 48	38167884 49	24146444 49	7500 50
7000 50	24987014 48	38907114 49	26059134 49	7000 50
6500 50	26070354 48	39638084 49	28144834 49	6500 50
6000 50	27228124 48	40361354 49	30431774 49	6000 50
5500 50	28474344 48	41077524 49	32955764 49	5500 50
5000 50	29827034 48	41787204 49	35763094 49	5000 50
4500 50	31310014 48	42491014 49	38915024 49	4500 50
4000 50	32955604 48	43189624 49	42494934 49	4000 50
3500 50	34809254 48	43883764 49	46620294 49	3500 50
3000 50	36937804 48	44574214 49	51464084 49	3000 50
2500 50	39445454 48	45261944 49	57296224 49	2500 50
2000 50	42507994 48	45948194 49	64572604 49	2000 50
1950 50	42855384 48	46016794 49	65407204 49	1950 50
1900 50	43211814 48	46085404 49	66265324 49	1900 50
1850 50	43577794 48	46154024 49	67148254 49	1850 50
1800 50	43953854 48	46222644 49	68057384 49	1800 50
1750 50	44340584 48	46291284 49	68994234 49	1750 50
1700 50	44738614 48	46359944 49	69960454 49	1700 50
1650 50	45148644 48	46428614 49	70957844 49	1650 50
1600 50	45571424 48	46497314 49	71988394 49	1600 50
1550 50	46007794 48	46566034 49	73054234 49	1550 50
1500 50	46458674 48	46634794 49	74157784 49	1500 50
1450 50	46925084 48	46703574 49	75301644 49	1450 50
1400 50	47408134 48	46772404 49	76488754 49	1400 50
1350 50	47909084 48	46841284 49	77722354 49	1350 50
1300 50	48429334 48	46910204 49	79006064 49	1300 50
1250 50	48970424 48	46979184 49	80343944 49	1250 50
1200 50	49534144 48	47048234 49	81740554 49	1200 50
1150 50	50122484 48	47117344 49	83201104 49	1150 50
1100 50	51503824 49	47455334 49	25164424 50	1100 50
1050 50	51382394 48	47255844 49	86338404 49	1050 50
1000 50	52059574 48	47325234 49	88029654 49	1000 50

$\gamma = 26\ 51$ γ_i'	$\int_{\gamma_i'}^{\gamma}\left[\frac{\sigma_s(\gamma')}{\phi_0}\right]d\gamma'$	$\int_{\gamma_i'}^{\gamma}\left[\frac{\gamma'\sigma_s(\gamma')}{\phi_0}\right]d\gamma'$	$\int_0^{E=\gamma-\gamma_i'}[E'\sigma_s(E')/\phi_0]dE'$	γ_i'
9500 49	5277269 48	4739475 49	8981426 49	9500 49
9000 49	5352582 48	4746439 49	9170273 49	9000 49
8500 49	5432373 48	4753419 49	9370750 49	8500 49
8000 49	5517212 48	4760416 49	9584335 49	8000 49
7500 49	5607783 48	4767433 49	9812805 49	7500 49
7000 49	5704922 48	4774472 49	1005832 50	7000 49
6500 49	5809655 48	4781538 49	1032356 50	6500 49
6000 49	5923275 48	4788636 49	1061188 50	6000 49
5500 49	6047431 48	4795770 49	1092755 50	5500 49
5000 49	6184276 48	4802948 49	1127617 50	5000 49
4905 49	6211740 48	4804309 49	1134621 50	4905 49

$\gamma = 2.8$ γ_i' 51	$\int_{\gamma_i'}^{\gamma} \left[\frac{\sigma_s(\gamma')}{\phi_0}\right] d\gamma'$	$\int_{\gamma_i'}^{\gamma} \left[\frac{\gamma'\sigma_s(\gamma')}{\phi_0}\right] d\gamma'$	$\int_0^{E=\gamma-\gamma_i'} [E'\sigma_s(E')/\phi_0] dE'$	γ_i'
2800 51	0000000 00	0000000 00	0000000 00	2800 51
2600 51	1912424 47	5163543 48	1912438 47	2600 51
2400 51	3830339 47	9958142 48	7668060 47	2400 51
2200 51	5766627 47	1441117 49	1735383 48	2200 51
2000 51	7737869 47	1855003 49	3115997 48	2000 51
1800 51	9765909 47	2240214 49	4942401 48	1800 51
1600 51	1188034 48	2599495 49	7270019 48	1600 51
1400 51	1412271 48	2935593 49	1018766 49	1400 51
1200 51	1655389 48	3251267 49	1383823 49	1200 51
1000 51	1926840 48	3549285 49	1845867 49	1000 51
9500 50	2000772 48	3621357 49	1980805 49	9500 50
9000 50	2077746 48	3692545 49	2125144 49	9000 50
8500 50	2158159 48	3762891 49	2279955 49	8500 50
8000 50	2242483 48	3832441 49	2446513 49	8000 50
7500 50	2331281 48	3901239 49	2626349 49	7500 50
7000 50	2425234 48	3969332 49	2821323 49	7000 50
6500 50	2525173 48	4036764 49	3033720 49	6500 50
6000 50	2632133 48	4103582 49	3266390 49	6000 50
5500 50	2747419 48	4169834 49	3522940 49	5500 50
5000 50	2872716 48	4235568 49	3808037 49	5000 50
4500 50	3010244 48	4300838 49	4127845 49	4500 50
4000 50	3163017 48	4365695 49	4490752 49	4000 50
3500 50	3335273 48	4430199 49	4908566 49	3500 50
3000 50	3533244 48	4494416 49	5398667 49	3000 50
2500 50	3766637 48	4558424 49	5988160 49	2500 50
2000 50	4051824 48	4622327 49	6722781 49	2000 50
1950 50	4084179 48	4628717 49	6806986 49	1950 50
1900 50	4117378 48	4635107 49	6893553 49	1900 50
1850 50	4151467 48	4641498 49	6982610 49	1850 50
1800 50	4186495 48	4647891 49	7074296 49	1800 50
1750 50	4222517 48	4654284 49	7168765 49	1750 50
1700 50	4259593 48	4660679 49	7266183 49	1700 50
1650 50	4297786 48	4667076 49	7366727 49	1650 50
1600 50	4337168 48	4673475 49	7470597 49	1600 50
1550 50	4377816 48	4679877 49	7578009 49	1550 50
1500 50	4419815 48	4686281 49	7689202 49	1500 50
1450 50	4463259 48	4692689 49	7804438 49	1450 50
1400 50	4508253 48	4699099 49	7924011 49	1400 50
1350 50	4554913 48	4705514 49	8048245 49	1350 50
1300 50	4603369 48	4711934 49	8177500 49	1300 50
1250 50	4653765 48	4718358 49	8312185 49	1250 50
1200 50	4706266 48	4724789 49	8452756 49	1200 50
1150 50	4761056 48	4731226 49	8599731 49	1150 50
1100 50	4818346 48	4737670 49	8753699 49	1100 50
1050 50	4878376 48	4744122 49	8915332 49	1050 50

Integrated Cross Sections and Integrals for Average Energies

$\gamma = 28\ 51$ γ_1'	$\int_{\gamma_1'}^{\gamma}\left[\frac{\sigma_s(\gamma')}{\phi_0}\right]d\gamma'$	$\int_{\gamma_1'}^{\gamma}\left[\frac{\gamma'\sigma_s(\gamma')}{\phi_0}\right]d\gamma'$	$\int_0^{E=\gamma-\gamma_1'}[E'\sigma_s(E')/\phi_0]dE'$	γ_1'
1000 50	4941425 48	4750583 49	9085409 49	1000 50
9500 49	5007814 48	4757055 49	9264826 49	9500 49
9000 49	5077919 48	4763538 49	9454637 49	9000 49
8500 49	5152182 48	4770034 49	9656077 49	8500 49
8000 49	5231130 48	4776545 49	9870622 49	8000 49
7500 49	5315397 48	4783074 49	10100004 50	7500 49
7000 49	5405754 48	4789622 49	10346449 50	7000 49
6500 49	5503151 48	4796192 49	10612263 50	6500 49
6000 49	5608780 48	4802791 49	10901179 50	6000 49
5500 49	5724162 48	4809421 49	11218823 50	5500 49
5000 49	5851282 48	4816089 49	11567750 50	5000 49
4912 49	5874979 48	4817264 49	11632667 50	4912 49

$\gamma = 30$ γ_i' 51	$\int_{\gamma_i'}^{\gamma}\left[\frac{\sigma_s(\gamma')}{\phi_0}\right]d\gamma'$	$\int_{\gamma_i'}^{\gamma}\left[\frac{\gamma'\sigma_s(\gamma')}{\phi_0}\right]d\gamma'$	$\int_0^{E=\gamma-\gamma_i'}[E'\sigma_s(E')/\phi_0]dE'$	γ_i'
3000 51	0000000 00	0000000 00	0000000 00	3000 51
2800 51	1666029 47	4831486 48	1666022 47	2800 51
2600 51	3336190 47	9340776 48	6677940 47	2600 51
2400 51	5020059 47	1355013 49	1510048 48	2400 51
2200 51	6729724 47	1748181 49	2707358 48	2200 51
2000 51	8480737 47	2115809 49	4284118 48	2000 51
1800 51	1029359 48	2460128 49	6279489 48	1800 51
1600 51	1219605 48	2783369 49	8754461 48	1600 51
1400 51	1422707 48	3087768 49	1180354 49	1400 51
1200 51	1644377 48	3375567 49	1557563 49	1200 51
1000 51	1893477 48	3649022 49	2031410 49	1000 51
9500 50	1961579 48	3715409 49	2169328 49	9500 50
9000 50	2032586 48	3781079 49	2316681 49	9000 50
8500 50	2106873 48	3846065 49	2474555 49	8500 50
8000 50	2184881 48	3910405 49	2644239 49	8000 50
7500 50	2267138 48	3974135 49	2827279 49	7500 50
7000 50	2354282 48	4037292 49	3025553 49	7000 50
6500 50	2447092 48	4099914 49	3241363 49	6500 50
6000 50	2546540 48	4162039 49	3477581 49	6000 50
5500 50	2653848 48	4223705 49	3737838 49	5500 50
5000 50	2770594 48	4284954 49	4026828 49	5000 50
4500 50	2898858 48	4345826 49	4350749 49	4500 50
4000 50	3041465 48	4406367 49	4718029 49	4000 50
3500 50	3202385 48	4466625 49	5140531 49	3500 50
3000 50	3387453 48	4526656 49	5635702 49	3000 50
2500 50	3605754 48	4586525 49	6230738 49	2500 50
2000 50	3872610 48	4646320 49	6971510 49	2000 50
1950 50	3902889 48	4652300 49	7056370 49	1950 50
1900 50	3933959 48	4658281 49	7143598 49	1900 50
1850 50	3965862 48	4664262 49	7233326 49	1850 50
1800 50	3998645 48	4670244 49	7325692 49	1800 50
1750 50	4032359 48	4676229 49	7420848 49	1750 50
1700 50	4067058 48	4682214 49	7518962 49	1700 50
1650 50	4102804 48	4688200 49	7620213 49	1650 50
1600 50	4139662 48	4694189 49	7724798 49	1600 50
1550 50	4177704 48	4700180 49	7832934 49	1550 50
1500 50	4217012 48	4706174 49	7944861 49	1500 50
1450 50	4257671 48	4712171 49	8060843 49	1450 50
1400 50	4299779 48	4718171 49	8181168 49	1400 50
1350 50	4343447 48	4724174 49	8306166 49	1350 50
1300 50	4388792 48	4730182 49	8436195 49	1300 50
1250 50	4435953 48	4736194 49	8571666 49	1250 50
1200 50	4485080 48	4742212 49	8713029 49	1200 50
1150 50	4536347 48	4748234 49	8860808 49	1150 50
1100 50	4589950 48	4754264 49	9015587 49	1100 50

Integrated Cross Sections and Integrals for Average Energies

$\gamma = 30$ 51 γ_i'	$\int_{\gamma_i'}^{\gamma}\left[\frac{\sigma_s(\gamma')}{\phi_0}\right]d\gamma'$	$\int_{\gamma_i'}^{\gamma}\left[\frac{\gamma'\sigma_s(\gamma')}{\phi_0}\right]d\gamma'$	$\int_0^{\varepsilon=\gamma-\gamma_i'}[E'\sigma_s(E')/\phi_0]dE'$	γ_i'
1050 50	4646114 48	4760300 49	9178044 49	1050 50
1000 50	4705097 48	4766345 49	9348946 49	1000 50
9500 49	4767198 48	4772398 49	9529197 49	9500 49
9000 49	4832769 48	4778462 49	9719844 49	9000 49
8500 49	4902220 48	4784537 49	9922123 49	8500 49
8000 49	4976042 48	4790625 49	10137750 50	8000 49
7500 49	5054826 48	4796729 49	10367750 50	7500 49
7000 49	5139285 48	4802850 49	10615000 50	7000 49
6500 49	5230305 48	4808991 49	10881920 50	6500 49
6000 49	5328993 48	4815155 49	11171820 50	6000 49
5500 49	5436759 48	4821348 49	11488920 50	5500 49
5000 49	5555442 48	4827573 49	11838750 50	5000 49
4918 49	5576099 48	4828598 49	11899690 50	4918 49

$\gamma = 32\ 51$ γ_1'	$\int_{\gamma_1'}^{\gamma}\left[\frac{\sigma_3(\gamma')}{\phi_0}\right]d\gamma'$	$\int_{\gamma_1'}^{\gamma}\left[\frac{\gamma'\sigma_3(\gamma')}{\phi_0}\right]d\gamma'$	$\int_0^{E=\gamma-\gamma_1'}[E'\sigma_6(E')/\phi_0]dE'$	γ_1'
3200 51	0000000 00	0000000 00	0000000 00	3200 51
3000 51	1464352 47	4539490 48	1464386 47	3000 51
2800 51	2931872 47	8795190 48	5868000 47	2800 51
2600 51	4409829 47	1278543 49	1326021 48	2600 51
2400 51	5907242 47	1652855 49	2374620 48	2400 51
2200 51	7435494 47	2004290 49	3750676 48	2200 51
2000 51	9009229 47	2334685 49	5482683 48	2000 51
1800 51	1064774 48	2645875 49	7614027 48	1800 51
1600 51	1237718 48	2939702 49	1020997 49	1600 51
1400 51	1423423 48	3218009 49	1336945 49	1400 51
1200 51	1627265 48	3482643 49	1724605 49	1200 51
1000 51	1857588 48	3735465 49	2208819 49	1000 51
9500 50	1920758 48	3797043 49	2349382 49	9500 50
9000 50	1986703 48	3858031 49	2499420 49	9000 50
8500 50	2055777 48	3918457 49	2660030 49	8500 50
8000 50	2128395 48	3978351 49	2832513 49	8000 50
7500 50	2205053 48	4037743 49	3018428 49	7500 50
7000 50	2286353 48	4096664 49	3219665 49	7000 50
6500 50	2373027 48	4155146 49	3438543 49	6500 50
6000 50	2465990 48	4213219 49	3677949 49	6000 50
5500 50	2566392 48	4270916 49	3941538 49	5500 50
5000 50	2675717 48	4328270 49	4234023 49	5000 50
4500 50	2795922 48	4385318 49	4561633 49	4500 50
4000 50	2929664 48	4442095 49	4932831 49	4000 50
3500 50	3080676 48	4498644 49	5359522 49	3500 50
3000 50	3254445 48	4555008 49	5859215 49	3000 50
2500 50	3459509 48	4611246 49	6459183 49	2500 50
2000 50	3710263 48	4667433 49	7205408 49	2000 50
1950 50	3738719 48	4673053 49	7290848 49	1950 50
1900 50	3767917 48	4678674 49	7378661 49	1900 50
1850 50	3797899 48	4684295 49	7468984 49	1850 50
1800 50	3828709 48	4689917 49	7561951 49	1800 50
1750 50	3860393 48	4695541 49	7657717 49	1750 50
1700 50	3893003 48	4701166 49	7756446 49	1700 50
1650 50	3926597 48	4706792 49	7858319 49	1650 50
1600 50	3961237 48	4712421 49	7963538 49	1600 50
1550 50	3996988 48	4718051 49	8072313 49	1550 50
1500 50	4033928 48	4723684 49	8184887 49	1500 50
1450 50	4072139 48	4729319 49	8301526 49	1450 50
1400 50	4111711 48	4734958 49	8422518 49	1400 50
1350 50	4152746 48	4740600 49	8548188 49	1350 50
1300 50	4195357 48	4746245 49	8678899 49	1300 50
1250 50	4239673 48	4751894 49	8815060 49	1250 50
1200 50	4285835 48	4757548 49	8957125 49	1200 50
1150 50	4334005 48	4763208 49	9105611 49	1150 50

$\gamma = 32$ 51 γ_i'	$\int_{\gamma_i'}^{\gamma} \left[\frac{\sigma_s(\gamma')}{\phi_0}\right] d\gamma'$	$\int_{\gamma_i'}^{\gamma} \left[\frac{\gamma'\sigma_s(\gamma')}{\phi_0}\right] d\gamma'$	$\int_0^{E=\gamma-\gamma_i'} [E'\sigma_s(E')/\phi_0] dE'$	γ_i'
1100 50	4384368 48	4768872 49	9261105 49	1100 50
1050 50	4437133 48	4774543 49	9424282 49	1050 50
1000 50	4492542 48	4780222 49	9595915 49	1000 50
9500 49	4550877 48	4785909 49	9776899 49	9500 49
9000 49	4612464 48	4791604 49	9968281 49	9000 49
8500 49	4677689 48	4797309 49	1017129 50	8500 49
8000 49	4747011 48	4803027 49	1038740 50	8000 49
7500 49	4820979 48	4808757 49	1061837 50	7500 49
7000 49	4900265 48	4814503 49	1086634 50	7000 49
6500 49	4985692 48	4820266 49	1113394 50	6500 49
6000 49	5078293 48	4826051 49	1142448 50	6000 49
5500 49	5179385 48	4831860 49	1174217 50	5500 49
5000 49	5290682 48	4837698 49	1209248 50	5000 49
4923 49	5308847 48	4838599 49	1214971 50	4923 49

$\gamma = 34\ 51$ γ_i'	$\int_{\gamma_i'}^{\gamma}\left[\frac{\sigma_s(\gamma')}{\phi_0}\right]d\gamma'$	$\int_{\gamma_i'}^{\gamma}\left[\frac{\gamma'\sigma_s(\gamma')}{\phi_0}\right]d\gamma'$	$\int_0^{E=\gamma-\gamma_i'}[E'\sigma_e(E')/\phi_0]dE'$	γ_i'
3400 51	00000000 00	00000000 00	00000000 00	3400 51
3200 51	12971192 47	42807368 48	12971195 47	3200 51
3000 51	25968555 47	83096038 48	51970559 47	3000 51
2800 51	39046044 47	12101899 49	11737644 48	2800 51
2600 51	52273088 47	15672879 49	20999733 48	2600 51
2400 51	65734900 47	19037855 49	33120088 48	2400 51
2200 51	79539022 47	22212133 49	48311388 48	2200 51
2000 51	93823855 47	25211000 49	66891018 48	2000 51
1800 51	10877166 48	28049800 49	89325668 48	1800 51
1600 51	12462955 48	30743877 49	11630166 49	1600 51
1400 51	14174399 48	33308588 49	14884366 49	1400 51
1200 51	16062299 48	35759366 49	18852422 49	1200 51
1000 51	18205455 48	38111711 49	23786833 49	1000 51
9500 50	18794833 48	38686255 49	25216188 49	9500 50
9000 50	19410766 48	39255866 49	26740722 49	9000 50
8500 50	20056555 48	39820800 49	28371477 49	8500 50
8000 50	20736144 48	40381311 49	30121566 49	8000 50
7500 50	21454211 48	40937655 49	32006688 49	7500 50
7000 50	22216444 48	41490066 49	34045844 49	7000 50
6500 50	23029766 48	42038833 49	36262377 49	6500 50
6000 50	23902788 48	42584199 49	38685288 49	6000 50
5500 50	24846388 48	43126444 49	41351266 49	5500 50
5000 50	25874577 48	43665855 49	44307688 49	5000 50
4500 50	27005811 48	44202722 49	47617055 49	4500 50
4000 50	28265199 48	44737366 49	51364311 49	4000 50
3500 50	29687944 48	45270122 49	55666899 49	3500 50
3000 50	31325811 48	45801399 49	60706388 49	3000 50
2500 50	33259377 48	46331666 49	66750211 49	2500 50
2000 50	35624344 48	46861588 49	74261188 49	2000 50
1950 50	35892744 48	46914588 49	75120744 49	1950 50
1900 50	36168155 48	46967600 49	76004100 49	1900 50
1850 50	36450955 48	47020622 49	76912622 49	1850 50
1800 50	36741555 48	47073655 49	77847633 49	1800 50
1750 50	37040411 48	47126699 49	78810711 49	1750 50
1700 50	37348011 48	47179755 49	79803499 49	1700 50
1650 50	37664888 48	47232833 49	80827788 49	1650 50
1600 50	37991611 48	47285911 49	81885577 49	1600 50
1550 50	38328844 48	47339022 49	82979033 49	1550 50
1500 50	38677266 48	47392155 49	84110555 49	1500 50
1450 50	39037666 48	47445311 49	85282766 49	1450 50
1400 50	39410900 48	47498499 49	86498600 49	1400 50
1350 50	39797933 48	47551700 49	87761299 49	1350 50
1300 50	40199822 48	47604955 49	89074466 49	1300 50
1250 50	40617777 48	47658222 49	90442199 49	1250 50
1200 50	41053111 48	47711544 49	91869033 49	1200 50

Integrated Cross Sections and Integrals for Average Energies

$\gamma = 34\ 51$ γ_1'	$\int_{\gamma_1'}^{\gamma}\left[\frac{\sigma_s(\gamma')}{\phi_0}\right]d\gamma'$	$\int_{\gamma_1'}^{\gamma}\left[\frac{\gamma'\sigma_s(\gamma')}{\phi_0}\right]d\gamma'$	$\int_0^{E=\gamma-\gamma_1'}[E'\sigma_s(E')/\phi_0]dE'$	γ_1'
1150 50	4150738 48	4776491 49	9336018 49	1150 50.
1100 50	4198229 48	4781834 49	9492146 49	1100 50
1050 50	4247984 48	4787181 49	9655964 49	1050 50
1000 50	4300228 48	4792535 49	9828241 49	1000 50
9500 49	4355227 48	4786290 49	10021148 50	9500 49
9000 49	4413286 48	4803265 49	10201191 50	9000 49
8500 49	4474770 48	4808643 49	10405557 50	8500 49
8000 49	4540104 48	4814033 49	10622232 50	8000 49
7500 49	4609817 48	4819432 49	10853394 50	7500 49
7000 49	4684525 48	4824847 49	11102253 50	7000 49
6500 49	4765006 48	4830276 49	11370774 50	6500 49
6000 49	4852228 48	4835725 49	11661185 50	6000 49
5500 49	4947425 48	4841195 49	11980004 50	5500 49
5000 49	5052201 48	4846691 49	12330779 50	5000 49
4927 49	5068299 48	4847491 49	12384772 50	4927 49

$\gamma = 36\ 51$ γ_1'	$\int_{\gamma_1'}^{\infty} \left[\frac{\sigma_3(\gamma')}{\phi_0}\right] d\gamma'$	$\int_{\gamma_1'}^{\infty} \left[\frac{\gamma'\sigma_3(\gamma')}{\phi_0}\right] d\gamma'$	$\int_0^{\alpha=\gamma-\gamma_1'} [E'\sigma_e(E')/\phi_0] dE'$	γ_1'
3600 51	0000000 00	0000000 00	0000000 00	3600 51
3400 51	1157101 47	4049857 48	1157075 47	3400 51
3200 51	2316157 47	7874672 48	4634932 47	3200 51
3000 51	3481574 47	1148732 49	1046347 48	3000 51
2800 51	4658679 47	1490067 49	1870567 48	2800 51
2600 51	5853978 47	1812762 49	2946701 48	2600 51
2400 51	7075550 47	2118103 49	4290947 48	2400 51
2200 51	8333587 47	2407381 49	5927102 48	2200 51
2000 51	9641201 47	2681884 49	7889478 48	2000 51
1800 51	1101567 48	2942905 49	1022736 49	1800 51
1600 51	1248040 48	3191736 49	1301210 49	1600 51
1400 51	1406824 48	3429672 49	1634895 49	1400 51
1200 51	1582731 48	3658014 49	2039818 49	1200 51
1000 51	1783229 48	3878069 49	2541558 49	1000 51
9500 50	1838495 48	3931943 49	2686639 49	9500 50
9000 50	1896301 48	3985402 49	2841281 49	9000 50
8500 50	1956961 48	4038468 49	3006594 49	8500 50
8000 50	2020849 48	4091161 49	3183897 49	8000 50
7500 50	2088409 48	4143503 49	3374769 49	7500 50
7000 50	2160177 48	4195516 49	3581122 49	7000 50
6500 50	2236811 48	4247222 49	3805297 49	6500 50
6000 50	2319125 48	4298643 49	4050209 49	6000 50
5500 50	2408151 48	4349803 49	4319542 49	5500 50
5000 50	2505214 48	4400724 49	4618048 49	5000 50
4500 50	2612065 48	4451433 49	4952002 49	4500 50
4000 50	2731077 48	4501956 49	5329922 49	4000 50
3500 50	2865585 48	4552324 49	5763785 49	3500 50
3000 50	3020490 48	4602569 49	6271194 49	3000 50
2500 50	3203413 48	4652735 49	6879551 49	2500 50
2000 50	3427194 48	4702878 49	7635023 49	2000 50
1950 50	3452593 48	4707894 49	7721443 49	1950 50
1900 50	3478655 48	4712911 49	7810250 49	1900 50
1850 50	3505417 48	4717928 49	7901573 49	1850 50
1800 50	3532917 48	4722947 49	7995557 49	1800 50
1750 50	3561199 48	4727966 49	8092350 49	1750 50
1700 50	3590307 48	4732987 49	8192120 49	1700 50
1650 50	3620293 48	4738009 49	8295046 49	1650 50
1600 50	3651211 48	4743033 49	8401328 49	1600 50
1550 50	3683122 48	4748059 49	8511183 49	1550 50
1500 50	3716093 48	4753086 49	8624851 49	1500 50
1450 50	3750197 48	4758117 49	8742595 49	1450 50
1400 50	3785515 48	4763148 49	8864706 49	1400 50
1350 50	3822137 48	4768183 49	8991511 49	1350 50
1300 50	3860164 48	4773222 49	9123370 49	1300 50
1250 50	3899709 48	4778263 49	9260692 49	1250 50

Integrated Cross Sections and Integrals for Average Energies

$\gamma = 36\ 51$ γ_i'	$\int_{\gamma_i'}^{\gamma}\left[\frac{\sigma_s(\gamma')}{\phi_0}\right]d\gamma'$	$\int_{\gamma_i'}^{\gamma}\left[\frac{\gamma'\sigma_s(\gamma')}{\phi_0}\right]d\gamma'$	$\int_0^{E=\gamma-\gamma_i'}[E'\sigma_s(E')/\phi_0]dE'$	γ_i'
1200 50	3940899 48	4783308 49	9403931 49	1200 50
1150 50	3983878 48	4788357 49	9553605 49	1150 50
1100 50	4028808 48	4793411 49	9710301 49	1100 50
1050 50	4075877 48	4798470 49	9874690 49	1050 50
1000 50	4125299 48	4803534 49	10047 54 50	1000 50
9500 49	4177322 48	4808606 49	1022975 50	9500 49
9000 49	4232237 48	4813684 49	1042237 50	9000 49
8500 49	4290385 48	4818771 49	1062661 50	8500 49
8000 49	4352172 48	4823867 49	1084395 50	8000 49
7500 49	4418085 48	4828973 49	1107613 50	7500 49
7000 49	4488716 48	4834091 49	1132528 50	7000 49
6500 49	4564792 48	4839224 49	1159402 50	6500 49
6000 49	4647225 48	4844373 49	1188563 50	6000 49
5500 49	4737176 48	4849543 49	1220429 50	5500 49
5000 49	4836152 48	4854734 49	1255541 50	5000 49
4931 49	4850517 48	4855448 49	1260641 50	4931 49

$\gamma = 3\,8\,51$ γ_1'	$\int_{\gamma_1'}^{\gamma} \left[\frac{\sigma_s(\gamma')}{\phi_0}\right] d\gamma'$	$\int_{\gamma_1'}^{\gamma} \left[\frac{\gamma'\sigma_s(\gamma')}{\phi_0}\right] d\gamma'$	$\int_0^{\alpha-\gamma-\gamma_1'} [E'\sigma_s(E')/\phi_0] dE'$	γ_1'
3800 51	0000000 00	0000000 00	0000000 00	3800 51
3600 51	1038535 47	3842580 48	1038541 47	3600 51
3400 51	2078636 47	7482881 48	4159377 47	3400 51
3200 51	3123812 47	1093184 49	9386430 47	3200 51
3000 51	4178253 47	1420041 49	1676944 48	3000 51
2800 51	5247018 47	1729954 49	2639119 48	2800 51
2600 51	6336292 47	2024019 49	3837722 48	2600 51
2400 51	7453752 47	2303329 49	5290964 48	2400 51
2200 51	8609083 47	2568983 49	7024684 48	2200 51
2000 51	9814746 47	2822076 49	9075272 48	2000 51
1800 51	1108715 48	3063707 49	1149413 49	1800 51
1600 51	1244856 48	3294975 49	1435479 49	1600 51
1400 51	1393016 48	3516982 49	1776480 49	1400 51
1200 51	1557769 48	3730835 49	2188687 49	1200 51
1000 51	1746210 48	3937646 49	2697952 49	1000 51
9500 50	1798255 48	3988380 49	2844989 49	9500 50
9000 50	1852734 48	4038763 49	3001626 49	9000 50
8500 50	1909945 48	4088810 49	3168982 49	8500 50
8000 50	1970243 48	4138542 49	3348381 49	8000 50
7500 50	2034049 48	4187976 49	3541410 49	7500 50
7000 50	2101873 48	4237131 49	3749988 49	7000 50
6500 50	2174340 48	4286025 49	3976467 49	6500 50
6000 50	2252224 48	4334678 49	4223773 49	6000 50
5500 50	2336503 48	4383110 49	4495601 49	5500 50
5000 50	2428437 48	4431340 49	4796720 49	5000 50
4500 50	2529687 48	4479391 49	5133421 49	4500 50
4000 50	2642508 48	4527286 49	5514246 49	4000 50
3500 50	2770066 48	4575050 49	5951201 49	3500 50
3000 50	2917010 48	4622714 49	6461926 49	3000 50
2500 50	3090578 48	4670314 49	7073882 49	2500 50
2000 50	3302948 48	4717900 49	7833305 49	2000 50
1950 50	3327053 48	4722660 49	7920143 49	1950 50
1900 50	3351788 48	4727421 49	8009372 49	1900 50
1850 50	3377186 48	4732184 49	8101125 49	1850 50
1800 50	3403286 48	4736946 49	8195541 49	1800 50
1750 50	3430126 48	4741710 49	8292770 49	1750 50
1700 50	3457752 48	4746475 49	8392983 49	1700 50
1650 50	3486210 48	4751241 49	8496359 49	1650 50
1600 50	3515553 48	4756009 49	8603093 49	1600 50
1550 50	3545838 48	4760779 49	8713408 49	1550 50
1500 50	3577128 48	4765550 49	8827539 49	1500 50
1450 50	3609494 48	4770323 49	8945754 49	1450 50
1400 50	3643010 48	4775099 49	9068342 49	1400 50
1350 50	3677764 48	4779877 49	9195626 49	1350 50
1300 50	3713850 48	4784658 49	9327974 49	1300 50

Integrated Cross Sections and Integrals for Average Energies

$\gamma = 38\ 51$ γ_i'	$\int_{\gamma_i'}^{\gamma}\left[\frac{\sigma_s(\gamma')}{\phi_0}\right]d\gamma'$	$\int_{\gamma_i'}^{\gamma}\left[\frac{\gamma'\sigma_s(\gamma')}{\phi_0}\right]d\gamma'$	$\int_{0}^{E=\gamma-\gamma_i'}[E'\sigma_s(E')/\phi_0]dE'$	γ_i'
1250 50	3751376 48	4789442 49	9465788 49	1250 50
1200 50	3790461 48	4794229 49	9609525 49	1200 50
1150 50	3831243 48	4799020 49	9759704 49	1150 50
1100 50	3873874 48	4803816 49	9916908 49	1100 50
1050 50	3918533 48	4808616 49	1008180 50	1050 50
1000 50	3965421 48	4813420 49	1025518 50	1000 50
9500 49	4014775 48	4818232 49	1043791 50	9500 49
9000 49	4066868 48	4823049 49	1063105 50	9000 49
8500 49	4122024 48	4827873 49	1083581 50	8500 49
8000 49	4180626 48	4832707 49	1105367 50	8000 49
7500 49	4243135 48	4837550 49	1128636 50	7500 49
7000 49	4310109 48	4842403 49	1153601 50	7000 49
6500 49	4382238 48	4847270 49	1180523 50	6500 49
6000 49	4460381 48	4852151 49	1209729 50	6000 49
5500 49	4545633 48	4857049 49	1241635 50	5500 49
5000 49	4639417 48	4861969 49	1276781 50	5000 49
4935 49	4652315 48	4862610 49	1281618 50	4935 49

$\gamma = 40$ γ_i 51	$\int_{\gamma_i'}^{\gamma} \left[\frac{\sigma_3(\gamma')}{\phi_0}\right] d\gamma'$	$\int_{\gamma_i'}^{\gamma} \left[\frac{\gamma'\sigma_3(\gamma')}{\phi_0}\right] d\gamma'$	$\int_0^{E=\gamma-\gamma_i'} [E'\sigma_4(E')/\phi_0] dE'$	γ_i'
4000 51	0000000 00	0000000 00	0000000 00	4000 51
3800 51	9373000 46	3655471 48	9372870 46	3800 51
3600 51	1875869 47	7128132 48	3753445 47	3600 51
3400 51	2818536 47	1042737 49	8467710 47	3400 51
3200 51	3768644 47	1356257 49	1512004 48	3200 51
3000 51	4730183 47	1654312 49	2377615 48	3000 51
2800 51	5707975 47	1937839 49	3453502 48	2800 51
2600 51	6707911 47	2207780 49	4753645 48	2600 51
2400 51	7737304 47	2465072 49	6298498 48	2400 51
2200 51	8805379 47	2710656 49	8114957 48	2200 51
2000 51	9924008 47	2945472 49	1024131 49	2000 51
1800 51	1110882 48	3170462 49	1273069 49	1800 51
1600 51	1238103 48	3386569 49	1565842 49	1600 51
1400 51	1377033 48	3594738 49	1913395 49	1400 51
1200 51	1532029 48	3795919 49	2332199 49	1200 51
1000 51	1709850 48	3991066 49	2848335 49	1000 51
9500 50	1759046 48	4039023 49	2997163 49	9500 50
9000 50	1810577 48	4086679 49	3155629 49	9000 50
8500 50	1864726 48	4134048 49	3324858 49	8500 50
8000 50	1921832 48	4181146 49	3506181 49	8000 50
7500 50	1982295 48	4227991 49	3701189 49	7500 50
7000 50	2046601 48	4274596 49	3911810 49	7000 50
6500 50	2115345 48	4320978 49	4140403 49	6500 50
6000 50	2189264 48	4367154 49	4389904 49	6000 50
5500 50	2269290 48	4413141 49	4664019 49	5500 50
5000 50	2356621 48	4458956 49	4967529 49	5000 50
4500 50	2452840 48	4504619 49	5306742 49	4500 50
4000 50	2560092 48	4550150 49	5690219 49	4000 50
3500 50	2681391 48	4595571 49	6129994 49	3500 50
3000 50	2821162 48	4640908 49	6643742 49	3000 50
2500 50	2986290 48	4686193 49	7258969 49	2500 50
2000 50	3188362 48	4731471 49	8021978 49	2000 50
1950 50	3211298 48	4736001 49	8109195 49	1950 50
1900 50	3234835 48	4740531 49	8198809 49	1900 50
1850 50	3259002 48	4745062 49	8290948 49	1850 50
1800 50	3283837 48	4749594 49	8385756 49	1800 50
1750 50	3309377 48	4754127 49	8483383 49	1750 50
1700 50	3335664 48	4758662 49	8583996 49	1700 50
1650 50	3362743 48	4763197 49	8687777 49	1650 50
1600 50	3390664 48	4767734 49	8794923 49	1600 50
1550 50	3419481 48	4772272 49	8905652 49	1550 50
1500 50	3449254 48	4776812 49	9020206 49	1500 50
1450 50	3480049 48	4781354 49	9138844 49	1450 50
1400 50	3511939 48	4785898 49	9261862 49	1400 50
1350 50	3545007 48	4790444 49	9389584 49	1350 50

$\gamma = 40$ 51 γ_i'	$\int_{\gamma_1'}^{\gamma}\left[\frac{\sigma_s(\gamma')}{\phi_0}\right]d\gamma'$	$\int_{\gamma_1'}^{\gamma}\left[\frac{\gamma'\sigma_s(\gamma')}{\phi_0}\right]d\gamma'$	$\int_{0}^{E=\gamma-\gamma_1'}[E'\sigma_s(E')/\phi_0]dE'$	γ_i'
1300 50	3579341 48	4794993 49	95223 71 49	1300 50
1250 50	3615043 48	4799544 49	9660630 49	1250 50
1200 50	3652229 48	4804099 49	9804818 49	1200 50
1150 50	3691027 48	4808657 49	9955452 49	1150 50
1100 50	3731583 48	4813219 49	10113311 50	1100 50
1050 50	3774066 48	4817785 49	10278 48 50	1050 50
1000 50	3818668 48	4822356 49	10452 31 50	1000 50
9500 49	3865613 48	4826932 49	10635 52 50	9500 49
9000 49	3915160 48	4831513 49	10829 12 50	9000 49
8500 49	3967616 48	4836102 49	11034 36 50	8500 49
8000 49	4023346 48	4840698 49	11252 68 50	8000 49
7500 49	4082785 48	4845304 49	11485 83 50	7500 49
7000 49	4146464 48	4849918 49	11735 93 50	7000 49
6500 49	4215034 48	4854544 49	12005 59 50	6500 49
6000 49	4289311 48	4859184 49	12298 06 50	6000 49
5500 49	4370330 48	4863840 49	12617 48 50	5500 49
5000 49	4459440 48	4868514 49	12969 24 50	5000 49
4938 49	4471085 48	4869093 49	13015 24 50	4938 49

$\gamma = 42\ 51$ γ_1'	$\int_{\gamma_1'}^{\infty}\left[\frac{\sigma_s(\gamma')}{\phi_0}\right]d\gamma'$	$\int_{\gamma_1'}^{\infty}\left[\frac{\gamma'\sigma_s(\gamma')}{\phi_0}\right]d\gamma'$	$\int_0^{E=\gamma-\gamma_1'}[E'\sigma_s(E')/\phi_0]dE'$	γ_1'
4200 51	0000000 00	0000000 00	0000000 00	4200 51
4000 51	8501756 46	3485718 48	8501920 46	4000 51
3800 51	1701392 47	6805427 48	3404197 47	3800 51
3600 51	2555952 47	9967222 48	7677780 47	3600 51
3400 51	3416557 47	1297921 49	1370328 48	3400 51
3200 51	4286399 47	1584951 49	2153369 48	3200 51
3000 51	5169289 47	1858621 49	3124799 48	3000 51
2800 51	6069828 47	2119744 49	4295839 48	2800 51
2600 51	6993642 47	2369130 49	5682000 48	2600 51
2400 51	7947713 47	2607590 49	7304494 48	2400 51
2200 51	8940849 47	2835938 49	9192187 48	2200 51
2000 51	9984383 47	3054985 49	1138456 49	2000 51
1800 51	1109324 48	3265545 49	1393618 49	1800 51
1600 51	1228766 48	3468433 49	1692386 49	1600 51
1400 51	1359601 48	3664466 49	2045861 49	1400 51
1200 51	1505988 48	3854465 49	2470685 49	1200 51
1000 51	1674377 48	4039254 49	2993129 49	1000 51
9500 50	1721033 48	4084735 49	3143605 49	9500 50
9000 50	1769932 48	4129957 49	3303757 49	9000 50
8500 50	1821343 48	4174931 49	3474712 49	8500 50
8000 50	1875590 48	4219672 49	3657807 49	8000 50
7500 50	1933055 48	4264193 49	3854639 49	7500 50
7000 50	1994202 48	4308508 49	4067141 49	7000 50
6500 50	2059598 48	4352631 49	4297682 49	6500 50
6000 50	2129947 48	4396577 49	4549201 49	6000 50
5500 50	2206138 48	4440360 49	4825419 49	5500 50
5000 50	2289314 48	4483996 49	5131126 49	5000 50
4500 50	2380987 48	4527501 49	5472645 49	4500 50
4000 50	2483202 48	4570893 49	5858554 49	4000 50
3500 50	2598834 48	4614192 49	6300913 49	3500 50
3000 50	2732105 48	4657421 49	6817423 49	3000 50
2500 50	2889582 48	4700607 49	7435638 49	2500 50
2000 50	3082311 48	4743792 49	8201916 49	2000 50
1950 50	3104188 48	4748112 49	8289478 49	1950 50
1900 50	3126637 48	4752433 49	8379441 49	1900 50
1850 50	3149688 48	4756755 49	8471934 49	1850 50
1800 50	3173375 48	4761078 49	8567099 49	1800 50
1750 50	3197735 48	4765401 49	8665086 49	1750 50
1700 50	3222807 48	4769726 49	8766066 49	1700 50
1650 50	3248634 48	4774052 49	8870214 49	1650 50
1600 50	3275265 48	4778379 49	8977734 49	1600 50
1550 50	3302749 48	4782707 49	9088841 49	1550 50
1500 50	3331145 48	4787037 49	9203775 49	1500 50
1450 50	3360516 48	4791369 49	9322802 49	1450 50
1400 50	3390931 48	4795703 49	9446211 49	1400 50

$\gamma = 42\ 51$ γ_i'	$\int_{\gamma_i'}^{\gamma}\left[\frac{\sigma_s(\gamma')}{\phi_0}\right]d\gamma'$	$\int_{\gamma_i'}^{\gamma}\left[\frac{\gamma'\sigma_s(\gamma')}{\phi_0}\right]d\gamma'$	$\int_0^{E=\gamma-\gamma_i'}[E'\sigma_s(E')/\phi_0]dE'$	γ_i'
1350 50	3422468 48	4800039 49	9574327 49	1350 50
1300 50	3455212 48	4804377 49	9707516 49	1300 50
1250 50	3489261 48	4808717 49	9846181 49	1250 50
1200 50	3524723 48	4813061 49	9990778 49	1200 50
1150 50	3561722 48	4817407 49	10141 82 50	1150 50
1100 50	3600395 48	4821758 49	1029990 50	1100 50
1050 50	3640905 48	4826112 49	1046569 50	1050 50
1000 50	3683433 48	4830470 49	1063995 50	1000 50
9500 49	3728193 48	4834833 49	1082357 50	9500 49
9000 49	3775431 48	4839201 49	1101761 50	9000 49
8500 49	3825440 48	4843576 49	1122327 50	8500 49
8000 49	3878566 48	4847957 49	1144202 50	8000 49
7500 49	3935222 48	4852347 49	1167558 50	7500 49
7000 49	3995914 48	4856745 49	1192609 50	7000 49
6500 49	4061261 48	4861154 49	1219614 50	6500 49
6000 49	4132036 48	4865575 49	1248897 50	6000 49
5500 49	4209224 48	4870010 49	1280873 50	5500 49
5000 49	4294103 48	4874463 49	1316077 50	5000 49
4941 49	4304668 48	4874988 49	1320461 50	4941 49

$\gamma = 4451$ γ_i'	$\int_{\gamma_i'}^{\gamma}\left[\frac{\sigma_s(\gamma')}{\phi_0}\right]d\gamma'$	$\int_{\gamma_i'}^{\gamma}\left[\frac{\gamma'\sigma_s(\gamma')}{\phi_0}\right]d\gamma'$	$\int_0^{E=\gamma-\gamma_i'}[E'\sigma_s(E')/\phi_0]dE'$	γ_i'
4400 51	00000000 00	00000000 00	00000000 00	4400 51
4200 51	77465 66 46	33310 25 48	77464 20 46	4200 51
4000 51	15501 74 47	65106 16 48	31015 15 47	4000 51
3800 51	23284 48 47	95458 24 48	69935 00 47	3800 51
3600 51	31116 85 47	12443 69 49	12477 18 48	3600 51
3400 51	39024 66 47	15211 28 49	19595 70 48	3400 51
3200 51	47038 47 47	17855 63 49	28412 95 48	3200 51
3000 51	55194 72 47	20363 79 49	39018 80 48	3000 51
2800 51	63537 44 47	22802 83 49	51536 41 48	2800 51
2600 51	72120 46 47	25119 80 49	66132 06 48	2600 51
2400 51	81010 57 47	27341 74 49	83029 04 48	2400 51
2200 51	90292 03 47	29475 75 49	10252 74 49	2200 51
2000 51	10007 32 48	31528 87 49	12503 36 49	2000 51
1800 51	11049 71 48	33508 19 49	15110 54 49	1800 51
1600 51	12175 70 48	35420 79 49	18152 32 49	1600 51
1400 51	13412 46 48	37273 79 49	21741 03 49	1400 51
1200 51	14799 74 48	39074 32 49	26044 54 49	1200 51
1000 51	16399 27 48	40829 58 49	31327 21 49	1000 51
9500 50	16843 04 48	41262 17 49	32847 20 49	9500 50
9000 50	17308 36 48	41692 50 49	34464 29 49	9000 50
8500 50	17797 84 48	42120 68 49	36189 81 49	8500 50
8000 50	18314 54 48	42546 84 49	38037 15 49	8000 50
7500 50	18862 14 48	42971 10 49	40022 33 49	7500 50
7000 50	19445 07 48	43393 56 49	42164 74 49	7000 50
6500 50	20068 75 48	43814 36 49	44488 13 49	6500 50
6000 50	20739 91 48	44233 62 49	47021 99 49	6000 50
5500 50	21467 05 48	44651 47 49	49803 56 49	5500 50
5000 50	22261 12 48	45068 06 49	52880 89 49	5000 50
4500 50	23136 55 48	45483 51 49	56317 32 49	4500 50
4000 50	24112 90 48	45897 99 49	60198 81 49	4000 50
3500 50	25217 67 48	46311 67 49	64646 11 49	3500 50
3000 50	26491 21 48	46724 76 49	69836 59 49	3000 50
2500 50	27996 27 48	47137 51 49	76046 10 49	2500 50
2000 50	29838 43 48	47550 28 49	83738 83 49	2000 50
1950 50	30047 54 48	47591 58 49	84617 61 49	1950 50
1900 50	30262 11 48	47632 88 49	85520 44 49	1900 50
1850 50	30482 44 48	47674 19 49	86448 59 49	1850 50
1800 50	30708 86 48	47715 51 49	87403 49 49	1800 50
1750 50	30941 70 48	47756 84 49	88386 67 49	1750 50
1700 50	31181 35 48	47798 17 49	89399 78 49	1700 50
1650 50	31428 22 48	47839 52 49	90444 66 49	1650 50
1600 50	31682 76 48	47880 88 49	91523 27 49	1600 50
1550 50	31945 46 48	47922 25 49	92637 77 49	1550 50
1500 50	32216 87 48	47963 64 49	93790 61 49	1500 50
1450 50	32497 60 48	48005 04 49	94984 41 49	1450 50

$\gamma = 44$ γ_i' 51	$\int_{\gamma_i'}^{\gamma}\left[\frac{\sigma_s(\gamma')}{\phi_0}\right]d\gamma'$	$\int_{\gamma_i'}^{\gamma}\left[\frac{\gamma'\sigma_s(\gamma')}{\phi_0}\right]d\gamma'$	$\int_0^{E=\gamma-\gamma_i'}[E'\sigma_s(E')/\phi_0]dE'$	γ_i'
1400 50	3278830 48	4804646 49	9622207 49	1400 50
1350 50	3308971 48	4808790 49	9750685 49	1350 50
1300 50	3340267 48	4812936 49	9884238 49	1300 50
1250 50	3372808 48	4817085 49	10023327 50	1250 50
1200 50	3406699 48	4821236 49	10168824 50	1200 50
1150 50	3442058 48	4825390 49	10319166 50	1150 50
1100 50	3479016 48	4829547 49	10478112 50	1100 50
1050 50	3517728 48	4833708 49	10644429 50	1050 50
1000 50	3558366 48	4837872 49	10818894 50	1000 50
9500 49	3601135 48	4842041 49	11002295 50	9500 49
9000 49	3646271 48	4846215 49	11197737 50	9000 49
8500 49	3694051 48	4850395 49	11403433 50	8500 49
8000 49	3744804 48	4854581 49	11622256 50	8000 49
7500 49	3798927 48	4858774 49	11856650 50	7500 49
7000 49	3856900 48	4862975 49	12107738 50	7000 49
6500 49	3919312 48	4867186 49	12377778 50	6500 49
6000 49	3986901 48	4871408 49	12670950 50	6000 49
5500 49	4060603 48	4875643 49	12991010 50	5500 49
5000 49	4141634 48	4879894 49	13343300 50	5000 49
4943 49	4151264 48	4880372 49	13385180 50	4943 49

$\gamma = 46\ 51$ γ_1'	$\int_{\gamma_1'}^{\gamma} \left[\frac{\sigma_3(\gamma')}{\phi_0}\right] d\gamma'$	$\int_{\gamma_1'}^{\gamma} \left[\frac{\gamma'\sigma_3(\gamma')}{\phi_0}\right] d\gamma'$	$\int_0^{\Delta=\gamma-\gamma_1'} [E'\sigma_t(E')/\phi_0] dE'$	γ_1'
4600 51	0000000 00	0000000 00	0000000 00	4600 51
4400 51	7087703 46	3189466 48	7087740 46	4400 51
4200 51	1418259 47	6240243 48	2837483 47	4200 51
4000 51	2130040 47	9158494 48	6396930 47	4000 51
3800 51	2845933 47	1195039 49	1140901 48	3800 51
3600 51	3568050 47	1462210 49	1790931 48	3600 51
3400 51	4298868 47	1717979 49	2594999 48	3400 51
3200 51	5041313 47	1962964 49	3560397 48	3200 51
3000 51	5798880 47	2197781 49	4697034 48	3000 51
2800 51	6575789 47	2423049 49	6018140 48	2800 51
2600 51	7377199 47	2639384 49	7541280 48	2600 51
2400 51	8209512 47	2847404 49	9289708 48	2400 51
2200 51	9080803 47	3047728 49	1129440 49	2200 51
2000 51	1000146 48	3240975 49	1359698 49	2000 51
1800 51	1098519 48	3427764 49	1625423 49	1800 51
1600 51	1205052 48	3608715 49	1934524 49	1600 51
1400 51	1322347 48	3784452 49	2298345 49	1400 51
1200 51	1454216 48	3955598 49	2733798 49	1200 51
1000 51	1606574 48	4122785 49	3267458 49	1000 51
9500 50	1648893 48	4164036 49	3420871 49	9500 50
9000 50	1693286 48	4205092 49	3584026 49	9000 50
8500 50	1740004 48	4245959 49	3758058 49	8500 50
8000 50	1789339 48	4286649 49	3944312 49	8000 50
7500 50	1841645 48	4327173 49	4144396 49	7500 50
7000 50	1897345 48	4367541 49	4360249 49	7000 50
6500 50	1956960 48	4407763 49	4594255 49	6500 50
6000 50	2021134 48	4447852 49	4849367 49	6000 50
5500 50	2090682 48	4487817 49	5129322 49	5500 50
5000 50	2166652 48	4527672 49	5438928 49	5000 50
4500 50	2250426 48	4567429 49	5784533 49	4500 50
4000 50	2343880 48	4607101 49	6174748 49	4000 50
3500 50	2449646 48	4646706 49	6621667 49	3500 50
3000 50	2571589 48	4686259 49	7143052 49	3000 50
2500 50	2715719 48	4725786 49	7766523 49	2500 50
2000 50	2892143 48	4765317 49	8538544 49	2000 50
1950 50	2912170 48	4769272 49	8626713 49	1950 50
1900 50	2932720 48	4773228 49	8717287 49	1900 50
1850 50	2953822 48	4777184 49	8810400 49	1850 50
1800 50	2975506 48	4781141 49	8906189 49	1800 50
1750 50	2997806 48	4785099 49	9004810 49	1750 50
1700 50	3020757 48	4789058 49	9106427 49	1700 50
1650 50	3044400 48	4793018 49	9211223 49	1650 50
1600 50	3068777 48	4796978 49	9319397 49	1600 50
1550 50	3093936 48	4800941 49	9431166 49	1550 50
1500 50	3119928 48	4804904 49	9546768 49	1500 50

$\gamma = 46$ 51 γ_1'	$\int_{\gamma_1'}^{\gamma}\left[\frac{\sigma_s(\gamma')}{\phi_0}\right]d\gamma'$	$\int_{\gamma_1'}^{\gamma}\left[\frac{\gamma'\sigma_s(\gamma')}{\phi_0}\right]d\gamma'$	$\int_0^{E=\gamma-\gamma_1'}[E'\sigma_s(E')/\phi_0]dE'$	γ_1'
1450 50	3146813 48	4808869 49	9666471 49	1450 50
1400 50	3174652 48	4812836 49	9790566 49	1400 50
1350 50	3203517 48	4816805 49	9919374 49	1350 50
1300 50	3233486 48	4820775 49	10053526 50	1300 50
1250 50	3264648 48	4824747 49	10192663 50	1250 50
1200 50	3297101 48	4828723 49	10337794 50	1200 50
1150 50	3330959 48	4832700 49	10489771 50	1150 50
1100 50	3366348 48	4836681 49	10648552 50	1100 50
1050 50	3403414 48	4840665 49	10815504 50	1050 50
1000 50	3442325 48	4844652 49	10990004 50	1000 50
9500 49	3483273 48	4848644 49	11174441 50	9500 49
9000 49	3526484 48	4852640 49	11369119 50	9000 49
8500 49	3572225 48	4856641 49	11575559 50	8500 49
8000 49	3620810 48	4860648 49	11795507 50	8000 49
7500 49	3672616 48	4864661 49	12029337 50	7500 49
7000 49	3728102 48	4868683 49	12280358 50	7000 49
6500 49	3787832 48	4872713 49	12551131 50	6500 49
6000 49	3852509 48	4876753 49	12844478 50	6000 49
5500 49	3923026 48	4880805 49	13165511 50	5500 49
5000 49	4000544 48	4884871 49	13517763 50	5000 49
4946 49	4009356 48	4885309 49	13557733 50	4946 49

$\gamma = 48$ 51 γ_i	$\int_{\gamma_i'}^{\infty}\left[\frac{\sigma_s(\gamma')\gamma'}{\phi_0}\right]d\gamma'$	$\int_{\gamma_i'}^{\infty}\left[\frac{\gamma'\sigma_s(\gamma')}{\phi_0}\right]d\gamma'$	$\int_0^{\gamma_i'}[E'\sigma_s(E')/\phi_0]dE'$	γ_i'
4800 51	00000000 00	00000000 00	00000000 00	4800 51
4600 51	6509456 46	3059444 48	6509470 46	4600 51
4400 51	1302494 47	5991393 48	2605824 47	4400 51
4200 51	1955966 47	8801279 48	5873603 47	4200 51
4000 51	2612874 47	1149452 49	1047267 48	4000 51
3800 51	3274962 47	1407657 49	1643251 48	3800 51
3600 51	3944260 47	1655283 49	2379614 48	3600 51
3400 51	4623146 47	1892875 49	3262349 48	3400 51
3200 51	5314430 47	2120975 49	4299509 48	3200 51
3000 51	6021467 47	2340127 49	5501764 48	3000 51
2800 51	6748308 47	2550875 49	6883129 48	2800 51
2600 51	7499907 47	2753761 49	8461948 48	2600 51
2400 51	8282411 47	2949329 49	1026228 49	2400 51
2200 51	9103574 47	3138124 49	1231590 49	2200 51
2000 51	9973372 47	3320691 49	1466527 49	2000 51
1800 51	1090495 48	3497575 49	1736801 49	1800 51
1600 51	1191611 48	3669322 49	2050412 49	1600 51
1400 51	1303183 48	3836480 49	2418802 49	1400 51
1200 51	1428872 48	3999601 49	2858985 49	1200 51
1000 51	1574353 48	4159237 49	3397660 49	1000 51
9500 50	1614803 48	4198668 49	3552388 49	9500 50
9000 50	1657252 48	4237925 49	3716888 49	9000 50
8500 50	1701941 48	4277017 49	3892299 49	8500 50
8000 50	1749150 48	4315953 49	4079967 49	8000 50
7500 50	1799218 48	4354744 49	4281505 49	7500 50
7000 50	1852553 48	4393397 49	4498859 49	7000 50
6500 50	1909653 48	4431923 49	4734414 49	6500 50
6000 50	1971138 48	4470331 49	4991132 49	6000 50
5500 50	2037788 48	4508631 49	5272753 49	5500 50
5000 50	2110610 48	4546835 49	5584097 49	5000 50
4500 50	2190932 48	4584953 49	5931523 49	4500 50
4000 50	2280551 48	4622998 49	6323650 49	4000 50
3500 50	2381995 48	4660983 49	6772594 49	3500 50
3000 50	2498971 48	4698926 49	7296138 49	3000 50
2500 50	2637246 48	4736847 49	7921934 49	2500 50
2000 50	2806513 48	4774774 49	8696489 49	2000 50
1950 50	2825727 48	4778569 49	8784925 49	1950 50
1900 50	2845444 48	4782364 49	8875772 49	1900 50
1850 50	2865690 48	4786160 49	8969155 49	1850 50
1800 50	2886495 48	4789956 49	9065220 49	1800 50
1750 50	2907890 48	4793754 49	9164119 49	1750 50
1700 50	2929910 48	4797552 49	9266020 49	1700 50
1650 50	2952594 48	4801351 49	9371099 49	1650 50
1600 50	2975981 48	4805152 49	9479561 49	1600 50
1550 50	3000119 48	4808953 49	9591621 49	1550 50

Integrated Cross Sections and Integrals for Average Energies

$\gamma = 48$ 51 γ_i'	$\int_{\gamma_i'}^{\gamma}\left[\frac{\sigma_s(\gamma')}{\phi_0}\right]d\gamma'$	$\int_{\gamma_i'}^{\gamma}\left[\frac{\gamma'\sigma_s(\gamma')}{\phi_0}\right]d\gamma'$	$\int_0^{E=\gamma-\gamma_i'}[E'\sigma_s(E')/\phi_0]\,dE'$	γ_i'
1500 50	3025057 48	4812755 49	9707519 49	1500 50
1450 50	3050849 48	4816559 49	9827519 49	1450 50
1400 50	3077558 48	4820365 49	9951913 49	1400 50
1350 50	3105249 48	4824172 49	10081102 50	1350 50
1300 50	3134000 48	4827981 49	10215222 50	1300 50
1250 50	3163895 48	4831792 49	10354902 50	1250 50
1200 50	3195028 48	4835606 49	10500053 50	1200 50
1150 50	3227507 48	4839421 49	10652261 50	1150 50
1100 50	3261455 48	4843240 49	10811174 50	1100 50
1050 50	3297010 48	4847061 49	10978258 50	1050 50
1000 50	3334332 48	4850886 49	11153912 50	1000 50
9500 49	3373608 48	4854715 49	11338602 50	9500 49
9000 49	3415053 48	4858547 49	11533371 50	9000 49
8500 49	3458922 48	4862385 49	11740442 50	8500 49
8000 49	3505515 48	4866227 49	11960242 50	8000 49
7500 49	3555195 48	4870076 49	12194862 50	7500 49
7000 49	3608400 48	4873932 49	12446382 50	7000 49
6500 49	3665668 48	4877796 49	12717412 50	6500 49
6000 49	3727674 48	4881669 49	13011162 50	6000 49
5500 49	3795270 48	4885553 49	13331742 50	5500 49
5000 49	3869566 48	4889451 49	13684462 50	5000 49
4948 49	3877661 48	4889853 49	13722922 50	4948 49

$\gamma = 50$ 51 γ_i'	$\int_{\gamma_i'}^{\gamma} \left[\frac{\sigma_3(\gamma')}{\phi_0}\right] d\gamma'$	$\int_{\gamma_i'}^{\infty} \left[\frac{\gamma' \sigma_3(\gamma')}{\phi_0}\right] d\gamma'$	$\int_0^{E=\gamma-\gamma_i'} [E' \sigma_6(E')/\phi_0] dE'$	γ_i'
5000 51	0000000 00	0000000 00	0000000 00	5000 51
4800 51	5999187 46	2939599 48	5999370 46	4800 51
4600 51	1200348 47	5761601 48	2401383 47	4600 51
4400 51	1802402 47	8470809 48	5412010 47	4400 51
4200 51	2407349 47	1107202 49	9647270 47	4200 51
4000 51	3016644 47	1357004 49	1513178 48	4000 51
3800 51	3631966 47	1596968 49	2190147 48	3800 51
3600 51	4255265 47	1827573 49	3000586 48	3600 51
3400 51	4888827 47	2049301 49	3951121 48	3400 51
3200 51	5535357 47	2262632 49	5050462 48	3200 51
3000 51	6198079 47	2468046 49	6309937 48	3000 51
2800 51	6880891 47	2666024 49	7744214 48	2800 51
2600 51	7588556 47	2857048 49	9372301 48	2600 51
2400 51	8326984 47	3041598 49	1121893 49	2400 51
2200 51	9103632 47	3220156 49	1331660 49	2200 51
2000 51	9928095 47	3393204 49	1570843 49	2000 51
1800 51	1081301 48	3561225 49	1845281 49	1800 51
1600 51	1177550 48	3724702 49	2163050 49	1600 51
1400 51	1283959 48	3884120 49	2535674 49	1400 51
1200 51	1404045 48	4039967 49	2980260 49	1200 51
1000 51	1543269 48	4192734 49	3523614 49	1000 51
9500 50	1582014 48	4230502 49	3679569 49	9500 50
9000 50	1622688 48	4268117 49	3845325 49	9000 50
8500 50	1665522 48	4305587 49	4022022 49	8500 50
8000 50	1710786 48	4342919 49	4211011 49	8000 50
7500 50	1758805 48	4380122 49	4413905 49	7500 50
7000 50	1809972 48	4417204 49	4632658 49	7000 50
6500 50	1864766 48	4454174 49	4869656 49	6500 50
6000 50	1923781 48	4491039 49	5127868 49	6000 50
5500 50	1987770 48	4527810 49	5411040 49	5500 50
5000 50	2057699 48	4564496 49	5724003 49	5000 50
4500 50	2134844 48	4601107 49	6073118 49	4500 50
4000 50	2220935 48	4637653 49	6467022 49	4000 50
3500 50	2318398 48	4674149 49	6917845 49	3500 50
3000 50	2430799 48	4710607 49	7443392 49	3000 50
2500 50	2563677 48	4747047 49	8071339 49	2500 50
2000 50	2726347 48	4783497 49	8848239 49	2000 50
1950 50	2744813 48	4787144 49	8936923 49	1950 50
1900 50	2763761 48	4790791 49	9028017 49	1900 50
1850 50	2783218 48	4794439 49	9121654 49	1850 50
1800 50	2803212 48	4798087 49	9217974 49	1800 50
1750 50	2823773 48	4801737 49	9317130 49	1750 50
1700 50	2844935 48	4805387 49	9419290 49	1700 50
1650 50	2866734 48	4809038 49	9524634 49	1650 50
1600 50	2889210 48	4812690 49	9633361 49	1600 50

Integrated Cross Sections and Integrals for Average Energies

$\gamma = 50$ 51 γ_1'	$\int_{\gamma_1'}^{\gamma}\left[\frac{\sigma_3(\gamma')}{\phi_0}\right]d\gamma'$	$\int_{\gamma_1'}^{\gamma}\left[\frac{\gamma'\sigma_3(\gamma')}{\phi_0}\right]d\gamma'$	$\int_0^{E=\gamma-\gamma_1'}[E'\sigma_t(E')/\phi_0]dE'$	γ_1'
1550 50	2912406 48	4816343 49	9745689 49	1550 50
1500 50	2936371 48	4819998 49	9861859 49	1500 50
1450 50	2961157 48	4823653 49	9982135 49	1450 50
1400 50	2986823 48	4827310 49	1010680 50	1400 50
1350 50	3013433 48	4830969 49	1023626 50	1350 50
1300 50	3041061 48	4834629 49	1037067 50	1300 50
1250 50	3069788 48	4838291 49	1051065 50	1250 50
1200 50	3099704 48	4841955 49	1065656 50	1200 50
1150 50	3130913 48	4845622 49	1080894 50	1150 50
1100 50	3163531 48	4849291 49	1096836 50	1100 50
1050 50	3197693 48	4852962 49	1113550 50	1050 50
1000 50	3233553 48	4856637 49	1131112 50	1000 50
9500 49	3271288 48	4860316 49	1149612 50	9500 49
9000 49	3311105 48	4863998 49	1169152 50	9000 49
8500 49	3353249 48	4867684 49	1189856 50	8500 49
8000 49	3398008 48	4871376 49	1211866 50	8000 49
7500 49	3445729 48	4875073 49	1235357 50	7500 49
7000 49	3496832 48	4878776 49	1260538 50	7000 49
6500 49	3551834 48	4882487 49	1287668 50	6500 49
6000 49	3611379 48	4886207 49	1317069 50	6000 49
5500 49	3676287 48	4889937 49	1349150 50	5500 49
5000 49	3747618 48	4893679 49	1384441 50	5000 49
4950 49	3755081 48	4894050 49	1388135 50	4950 49

Compton Cross Section vs. Angle of Scattered Quantum

w \ γ	0.0	0.1	0.2	0.3	0.4	0.5	0.6	0.7	0.8	0.9
1.00N	1193 49	8427 48	6438 48	5187 48	4339 48	3730 48	3273 48	2918 48	2635 48	2403 48
.90N	1080 49	7756 48	6000 48	4883 48	4119 48	3567 48	3150 48	2824 48	2562 48	2347 48
.80N	9788 48	7147 48	5599 48	4603 48	3916 48	3416 48	3035 48	2737 48	2495 48	2296 48
.70N	8892 48	6603 48	5239 48	4351 48	3732 48	3279 48	2932 48	2658 48	2436 48	2252 48
.60N	8116 48	6130 48	4924 48	4129 48	3572 48	3160 48	2843 48	2591 48	2386 48	2215 48
.50N	7460 48	5729 48	4658 48	3944 48	3438 48	3062 48	2771 48	2539 48	2348 48	2189 48
.40N	6923 48	5406 48	4448 48	3801 48	3337 48	2990 48	2720 48	2504 48	2326 48	2176 48
.30N	6505 48	5164 48	4299 48	3705 48	3275 48	2950 48	2697 48	2492 48	2323 48	2181 48
.20N	6207 48	5009 48	4217 48	3663 48	3257 48	2949 48	2706 48	2509 48	2346 48	2208 48
.10N	6027 48	4945 48	4209 48	3684 48	3293 48	2993 48	2755 48	2562 48	2401 48	2264 48
.00	5968 48	4977 48	4282 48	3776 48	3393 48	3094 48	2855 48	2660 48	2497 48	2358 48
.10	6027 48	5110 48	4446 48	3949 48	3566 48	3263 48	3018 48	2815 48	2645 48	2500 48
.20	6207 48	5351 48	4710 48	4217 48	3828 48	3514 48	3257 48	3043 48	2862 48	2706 48
.30	6505 48	5705 48	5084 48	4591 48	4193 48	3866 48	3593 48	3363 48	3166 48	2995 48
.35	6699 48	5927 48	5316 48	4824 48	4421 48	4086 48	3805 48	3565 48	3359 48	3179 48
.40	6923 48	6179 48	5580 48	5089 48	4682 48	4341 48	4050 48	3801 48	3584 48	3395 48
.45	7176 48	6463 48	5877 48	5390 48	4980 48	4632 48	4333 48	4074 48	3848 48	3648 48
.50	7460 48	6779 48	6210 48	5729 48	5318 48	4965 48	4658 48	4390 48	4154 48	3944 48
.55	7773 48	7129 48	6580 48	6108 48	5700 48	5344 48	5032 48	4755 48	4510 48	4290 48
.60	8116 48	7513 48	6989 48	6531 48	6130 48	5774 48	5459 48	5177 48	4924 48	4695 48
.62	8262 48	7676 48	7164 48	6714 48	6316 48	5962 48	5646 48	5363 48	5107 48	4876 48
.64	8412 48	7845 48	7345 48	6903 48	6510 48	6159 48	5844 48	5560 48	5302 48	5069 48
.66	8568 48	8020 48	7534 48	7101 48	6714 48	6366 48	6052 48	5768 48	5510 48	5274 48
.68	8728 48	8200 48	7729 48	7307 48	6927 48	6584 48	6272 48	5989 48	5730 48	5492 48
.70	8892 48	8387 48	7932 48	7522 48	7150 48	6812 48	6504 48	6222 48	5963 48	5725 48
.72	9062 48	8579 48	8142 48	7745 48	7383 48	7052 48	6748 48	6469 48	6212 48	5974 48
.74	9236 48	8778 48	8359 48	7977 48	7626 48	7303 48	7005 48	6730 48	6476 48	6239 48
.76	9415 48	8983 48	8584 48	8218 48	7880 48	7567 48	7277 48	7007 48	6756 48	6522 48
.78	9599 48	9193 48	8817 48	8469 48	8145 48	7843 48	7562 48	7300 48	7054 48	6824 48
.80	9788 48	9410 48	9058 48	8729 48	8421 48	8134 48	7864 48	7610 48	7371 48	7147 48
.82	9981 48	9633 48	9306 48	8999 48	8710 48	8438 48	8181 48	7938 48	7709 48	7492 48
.84	1017 49	9862 48	9563 48	9280 48	9012 48	8757 48	8516 48	8286 48	8068 48	7860 48
.86	1038 49	1009 49	9828 48	9571 48	9326 48	9092 48	8868 48	8655 48	8450 48	8255 48
.88	1059 49	1034 49	1010 49	9873 48	9654 48	9443 48	9240 48	9045 48	8857 48	8677 48
.90	1080 49	1059 49	1038 49	1018 49	9996 48	9811 48	9632 48	9459 48	9291 48	9129 48
.92	1101 49	1084 49	1067 49	1051 49	1035 49	1019 49	1004 49	9897 48	9754 48	9614 48
.94	1124 49	1110 49	1097 49	1084 49	1072 49	1060 49	1048 49	1036 49	1024 49	1013 49
.96	1146 49	1137 49	1128 49	1119 49	1111 49	1102 49	1094 49	1085 49	1077 49	1069 49
.98	1170 49	1165 49	1160 49	1156 49	1151 49	1147 49	1142 49	1138 49	1133 49	1129 49
1.00	1193 49	1193 49	1193 49	1193 49	1193 49	1193 49	1193 49	1193 49	1193 49	1193 49

Compton Cross Section vs. Angle of Scattered Quantum

w \ γ	1.0	1.1	1.2	1.3	1.4	1.5	1.6	1.7	1.8	1.9
1.00N	2210 48	2047 48	1907 48	1785 48	1679 48	1585 48	1501 48	1426 48	1358 48	1297 48
.90N	2167 48	2015 48	1883 48	1768 48	1667 48	1578 48	1498 48	1426 48	1361 48	1302 48
.80N	2129 48	1986 48	1862 48	1754 48	1658 48	1573 48	1497 48	1428 48	1366 48	1309 48
.70N	2096 48	1962 48	1846 48	1744 48	1653 48	1573 48	1500 48	1434 48	1374 48	1319 48
.60N	2070 48	1944 48	1835 48	1739 48	1653 48	1576 48	1507 48	1444 48	1386 48	1333 48
.50N	2053 48	1935 48	1832 48	1741 48	1659 48	1586 48	1530 48	1459 48	1403 48	1352 48
.40N	2048 48	1936 48	1839 48	1752 48	1674 48	1603 48	1539 48	1481 48	1427 48	1378 48
.30N	2058 48	1952 48	1858 48	1774 48	1699 48	1631 48	1569 48	1512 48	1460 48	1411 48
.20N	2089 48	1986 48	1894 48	1812 48	1739 48	1672 48	1611 48	1555 48	1504 48	1456 48
.10N	2146 48	2043 48	1952 48	1871 48	1798 48	1731 48	1670 48	1614 48	1562 48	1514 48
.00	2238 48	2133 48	2040 48	1957 48	1882 48	1814 48	1752 48	1695 48	1642 48	1593 48
.10	2374 48	2264 48	2166 48	2079 48	2001 48	1929 48	1864 48	1804 48	1749 48	1697 48
.20	2570 48	2451 48	2346 48	2251 48	2166 48	2089 48	2019 48	1954 48	1894 48	1839 48
.30	2846 48	2714 48	2597 48	2492 48	2397 48	2311 48	2233 48	2161 48	2094 48	2032 48
.35	3022 48	2882 48	2758 48	2646 48	2545 48	2454 48	2370 48	2293 48	2222 48	2156 48
.40	3228 48	3080 48	2948 48	2828 48	2720 48	2622 48	2532 48	2450 48	2373 48	2303 48
.45	3472 48	3314 48	3172 48	3044 48	2928 48	2823 48	2726 48	2636 48	2554 48	2478 48
.50	3757 48	3590 48	3438 48	3301 48	3176 48	3062 48	2957 48	2860 48	2771 48	2688 48
.55	4093 48	3915 48	3754 48	3607 48	3472 48	3349 48	3235 48	3130 48	3033 48	2942 48
.60	4489 48	4301 48	4129 48	3972 48	3828 48	3695 48	3572 48	3457 48	3351 48	3252 48
.62	4666 48	4474 48	4299 48	4138 48	3990 48	3853 48	3726 48	3608 48	3498 48	3395 48
.64	4856 48	4660 48	4481 48	4317 48	4164 48	4023 48	3893 48	3771 48	3657 48	3551 48
.66	5058 48	4860 48	4677 48	4509 48	4353 48	4208 48	4073 48	3948 48	3830 48	3720 48
.68	5274 48	5074 48	4888 48	4716 48	4557 48	4408 48	4270 48	4141 48	4019 48	3906 48
.70	5506 48	5303 48	5115 48	4940 48	4777 48	4626 48	4484 48	4351 48	4226 48	4108 48
.72	5754 48	5549 48	5359 48	5182 48	5016 48	4861 48	4716 48	4580 48	4451 48	4330 48
.74	6019 48	5814 48	5623 48	5444 48	5276 48	5118 48	4970 48	4830 48	4699 48	4574 48
.76	6303 48	6099 48	5907 48	5727 48	5557 48	5398 48	5247 48	5105 48	4970 48	4843 48
.78	6608 48	6405 48	6214 48	6034 48	5863 48	5703 48	5550 48	5406 48	5269 48	5139 48
.80	6935 48	6735 48	6546 48	6366 48	6197 48	6036 48	5883 48	5737 48	5599 48	5467 48
.82	7286 48	7090 48	6905 48	6728 48	6560 48	6400 48	6248 48	6102 48	5963 48	5831 48
.84	7662 48	7474 48	7294 48	7122 48	6957 48	6800 48	6650 48	6506 48	6367 48	6235 48
.86	8067 48	7888 48	7716 48	7551 48	7392 48	7239 48	7093 48	6952 48	6816 48	6686 48
.88	8503 48	8336 48	8174 48	8018 48	7868 48	7723 48	7583 48	7447 48	7316 48	7190 48
.90	8972 48	8820 48	8672 48	8529 48	8391 48	8256 48	8126 48	7999 48	7875 48	7756 48
.92	9478 48	9345 48	9215 48	9089 48	8966 48	8846 48	8728 48	8614 48	8502 48	8393 48
.94	1002 49	9914 48	9807 48	9702 48	9600 48	9499 48	9400 48	9303 48	9208 48	9114 48
.96	1061 49	1053 49	1045 49	1037 49	1030 49	1022 49	1015 49	1007 49	1000 49	9933 48
.98	1124 49	1120 49	1116 49	1111 49	1107 49	1103 49	1099 49	1094 49	1090 49	1086 49
1.00	1193 49	1193 49	1193 49	1193 49	1193 49	1193 49	1193 49	1193 49	1193 49	1193 49

Compton Cross Section vs. Angle of Scattered Quantum

w \ γ	2.0	2.5
1.00N	1241 48	1022 48
.90N	1248 48	1035 48
.80N	1257 48	1049 48
.70N	1269 48	1067 48
.60N	1285 48	1088 48
.50N	1305 48	1113 48
.40N	1332 48	1144 48
.30N	1366 48	1181 48
.20N	1411 48	1227 48
.10N	1470 48	1284 48
.00	1547 48	1357 48
.10	1649 48	1450 48
.20	1787 48	1573 48
.30	1975 48	1739 48
.35	2095 48	1843 48
.40	2237 48	1967 48
.45	2407 48	2114 48
.50	2611 48	2292 48
.55	2858 48	2508 48
.60	3160 48	2775 48
.62	3299 48	2899 48
.64	3451 48	3035 48
.66	3617 48	3184 48
.68	3799 48	3348 48
.70	3998 48	3530 48
.72	4216 48	3730 48
.74	4457 48	3954 48
.76	4722 48	4202 48
.78	5016 48	4480 48
.80	5341 48	4792 48
.82	5704 48	5143 48
.84	6107 48	5541 48
.86	6560 48	5993 48
.88	7067 48	6511 48
.90	7639 48	7104 48
.92	8287 48	7790 48
.94	9023 48	8588 48
.96	9862 48	9523 48
.98	1082 49	1062 49
1.00	1193 49	1193 49

w \ γ	3.0	3.5	4.0	4.5	5.0
1.00N	8700 47	7576 47	6713 47	6027 47	5470 47
.90N	8853 47	7741 47	6880 47	6193 47	5632 47
.80N	9028 47	7925 47	7067 47	6378 47	5813 47
.70N	9229 47	8135 47	7277 47	6585 47	6014 47
.60N	9460 47	8373 47	7515 47	6818 47	6241 47
.50N	9730 47	8647 47	7786 47	7084 47	6499 47
.40N	1004 48	8966 47	8099 47	7388 47	6793 47
.30N	1042 48	9339 47	8463 47	7741 47	7133 47
.20N	1088 48	9783 47	8892 47	8154 47	7530 47
.10N	1143 48	1031 48	9405 47	8645 47	8000 47
.00	1212 48	1097 48	1002 48	9237 47	8565 47
.10	1299 48	1178 48	1079 48	9964 47	9256 47
.20	1411 48	1282 48	1176 48	1088 48	1012 48
.30	1560 48	1418 48	1303 48	1206 48	1123 48
.40	1763 48	1603 48	1473 48	1364 48	1271 48
.50	2053 48	1865 48	1713 48	1586 48	1479 48
.60	2484 48	2255 48	207 48	1916 48	1786 48
.62	2595 48	2356 48	2162 48	2001 48	1865 48
.64	2718 48	2467 48	2265 48	2096 48	1953 48
.66	2853 48	2591 48	2378 48	2201 48	2051 48
.68	3002 48	2727 48	2504 48	2317 48	2160 48
.70	3168 48	2879 48	2644 48	2448 48	2282 48
.72	3352 48	3049 48	2802 48	2595 48	2419 48
.74	3559 48	3241 48	2979 48	2761 48	2575 48
.76	3790 48	3457 48	3181 48	2949 48	2752 48
.78	4051 48	3702 48	3411 48	3166 48	2956 48
.80	4348 48	3982 48	3675 48	3416 48	3193 48
.82	4685 48	4303 48	3981 48	3707 48	3469 48
.84	5071 48	4675 48	4338 48	4048 48	3796 48
.86	5516 48	5109 48	4759 48	4454 48	4187 48
.88	6033 48	5619 48	5258 48	4941 48	4661 48
.90	6636 48	6224 48	5859 48	5534 48	5243 48
.91	6977 48	6570 48	6206 48	5880 48	5585 48
.92	7347 48	6949 48	659 48	6265 48	5970 48
.93	7750 48	7366 48	7016 48	6697 48	6404 48
.94	8191 48	7826 48	7491 48	7182 48	6896 48
.95	8674 48	8336 48	8023 48	7731 48	7458 48
.96	9203 48	8903 48	8621 48	8354 48	8102 48
.97	9787 48	9535 48	9295 48	9066 48	8847 48
.98	1043 49	1024 49	1006 49	9885 48	9714 48
.99	1114 49	1103 49	1093 49	1083 49	1073 49
1.00	1193 49	1193 49	1193 49	1193 49	1193 49

Compton Cross Section vs. Angle of Scattered Quantum

w \ γ	5.5	6.0	6.5	7.0	7.5	8.0	8.5	9.0	9.5	10.0
1.00N	5008 47	4618 47	4284 47	7576 47	3744 47	3522 47	3325 47	3149 47	2991 47	2848 47
.90N	5165 47	4770 47	4432 47	4138 47	3881 47	3654 47	3453 47	3272 47	3110 47	2963 47
.80N	5340 47	4939 47	4595 47	4296 47	4033 47	3801 47	3594 47	3409 47	3241 47	3090 47
.70N	5536 47	5128 47	4777 47	4471 47	4202 47	3964 47	3751 47	3560 47	3388 47	3232 47
.60N	5755 47	5340 47	4981 47	4668 47	4392 47	4146 47	3927 47	3730 47	3552 47	3390 47
.50N	6004 47	5580 47	5212 47	4890 47	4606 47	4353 47	4126 47	3922 47	3738 47	3569 47
.40N	6288 47	5853 47	5475 47	5143 47	4849 47	4588 47	4353 47	4141 47	3948 47	3773 47
.30N	6615 47	6168 47	5778 47	5434 47	5129 47	4857 47	4613 47	4391 47	4190 47	4007 47
.20N	6997 47	6534 47	6129 47	5772 47	5455 47	5170 47	4914 47	4682 47	4471 47	4279 47
.10N	7447 47	6966 47	6543 47	6170 47	5837 47	5538 47	5268 47	5024 47	4801 47	4597 47
.00	7986 47	7482 47	7038 47	6644 47	6292 47	5976 47	5690 47	5431 47	5194 47	4977 47
.10	8645 47	8110 47	7639 47	7220 47	6845 47	6507 47	6202 47	5924 47	5670 47	5437 47
.20	9466 47	8892 47	8386 47	7935 47	7530 47	7166 47	6835 47	6534 47	6259 47	6005 47
.30	1052 48	9893 47	9339 47	8846 47	8403 47	8003 47	7640 47	7310 47	7006 47	6728 47
.40	1191 48	1121 48	1059 48	1004 48	9552 47	9105 47	8699 47	8329 47	7989 47	7677 47
.50	1386 48	1305 48	1234 48	1170 48	1113 48	1062 48	1015 48	9730 47	9339 47	8980 47
.60	1674 48	1576 48	1491 48	1414 48	1346 48	1285 48	1229 48	1178 48	1131 48	1088 48
.62	1748 48	1647 48	1557 48	1478 48	1406 48	1342 48	1284 48	1231 48	1182 48	1137 48
.64	1831 48	1724 48	1631 48	1547 48	1473 48	1406 48	1345 48	1289 48	1239 48	1192 48
.66	1923 48	1811 48	1712 48	1625 48	1547 48	1476 48	1413 48	1354 48	1301 48	1252 48
.68	2025 48	1907 48	1803 48	1711 48	1629 48	1555 48	1488 48	1427 48	1371 48	1319 48
.70	2139 48	2015 48	1905 48	1808 48	1722 48	1643 48	1573 48	1508 48	1449 48	1395 48
.72	2268 48	2136 48	2021 48	1918 48	1826 48	1743 48	1668 48	1600 48	1537 48	1480 48
.74	2414 48	2275 48	2152 48	2043 48	1945 48	1857 48	1777 48	1705 48	1638 48	1577 48
.76	2582 48	2433 48	2302 48	2186 48	2081 48	1987 48	1902 48	1825 48	1754 48	1689 48
.78	2774 48	2616 48	2476 48	2351 48	2240 48	2139 48	2048 48	1965 48	1889 48	1818 48
.80	2999 48	2829 48	2679 48	2545 48	2425 48	2317 48	2218 48	2129 48	2047 48	1971 48
.82	3262 48	3080 48	2919 48	2775 48	2645 48	2528 48	2422 48	2325 48	2235 48	2154 48
.84	3575 48	3380 48	3206 48	3050 48	2910 48	2783 48	2667 48	2561 48	2464 48	2375 48
.86	3952 48	3742 48	3555 48	3386 48	3234 48	3095 48	2969 48	2853 48	2747 48	2648 48
.88	4411 48	4187 48	3986 48	3804 48	3638 48	3487 48	3348 48	3221 48	3103 48	2995 48
.90	4981 48	4744 48	4529 48	4333 48	4153 48	3989 48	3837 48	3697 48	3567 48	3446 48
.91	5319 48	5077 48	4855 48	4653 48	4467 48	4296 48	4137 48	3990 48	3854 48	3727 48
.92	5701 48	5455 48	5229 48	5021 48	4829 48	4651 48	4486 48	4332 48	4189 48	4056 48
.93	6135 48	5887 48	5658 48	5446 48	5249 48	5066 48	4895 48	4736 48	4586 48	4446 48
.94	6631 48	6385 48	6156 48	5942 48	5743 48	5556 48	5381 48	5216 48	5061 48	4915 48
.95	7202 48	6963 48	6738 48	6527 48	6328 48	6141 48	5964 48	5797 48	5638 48	5488 48
.96	7864 48	7639 48	7425 48	7223 48	7030 48	6847 48	6673 48	6508 48	6350 48	6199 48
.97	8637 48	8437 48	8244 48	8060 48	7883 48	7714 48	7551 48	7394 48	7243 48	7098 48
.98	9549 48	9388 48	9232 48	9081 48	8935 48	8793 48	8654 48	8520 48	8390 48	8263 48
.99	1063 49	1053 49	1044 49	1034 49	1025 49	1016 49	1007 49	9984 48	9897 48	9811 48
1.00	1193 49	1193 49	1193 49	1193 49	1193 49	1193 49	1193 49	1193 49	1193 49	1193 49

Compton Cross Section vs. Angle of Scattered Quantum

w \ γ	11.0	12.0	13.0	14.0	15.0	16.0	17.0	18.0	19.0	20.0
1.00N	2599 47	2391 47	2213 47	2060 47	1927 47	1810 47	1706 47	1614 47	1531 47	1456 47
.90N	2707 47	2492 47	2308 47	2150 47	2012 47	1891 47	1783 47	1687 47	1601 47	1523 47
.80N	2826 47	2603 47	2414 47	2249 47	2106 47	1980 47	1869 47	1769 47	1679 47	1598 47
.70N	2958 47	2728 47	2531 47	2360 47	2212 47	2080 47	1964 47	1860 47	1766 47	1681 47
.60N	3107 47	2868 47	2663 47	2485 47	2330 47	2192 47	2071 47	1962 47	1863 47	1775 47
.50N	3275 47	3025 47	2811 47	2625 47	2463 47	2319 47	2191 47	2077 47	1974 47	1880 47
.40N	3466 47	3205 47	2980 47	2785 47	2614 47	2463 47	2328 47	2208 47	2099 47	2000 47
.30N	3685 47	3411 47	3175 47	2969 47	2789 47	2629 47	2486 47	2358 47	2243 47	2139 47
.20N	3939 47	3650 47	3400 47	3182 47	2991 47	2821 47	2669 47	2533 47	2410 47	2299 47
.10N	4238 47	3930 47	3665 47	3433 47	3228 47	3047 47	2885 47	2739 47	2607 47	2488 47
.00	4593 47	4265 47	3980 47	3731 47	3511 47	3316 47	3141 47	2984 47	2842 47	2713 47
.10	5024 47	4669 47	4362 47	4092 47	3854 47	3642 47	3452 47	3281 47	3127 47	2986 47
.20	5556 47	5170 47	4834 47	4539 47	4279 47	4046 47	3838 47	3650 47	3479 47	3324 47
.30	6233 47	5806 47	5434 47	5107 47	4818 47	4560 47	4328 47	4118 47	3928 47	3755 47
.40	7121 47	6641 47	6222 47	5853 47	5526 47	5234 47	4971 47	4734 47	4518 47	4321 47
.50	8339 47	7786 47	7303 47	6877 47	6499 47	6160 47	5856 47	5580 47	5329 47	5100 47
.60	1012 48	9460 47	8883 47	8373 47	7920 47	7515 47	7149 47	6818 47	6517 47	6241 47
.62	1058 48	9893 47	9291 47	8760 47	8287 47	7865 47	7483 47	7138 47	6824 47	6536 47
.64	1108 48	1036 48	9741 47	9186 47	8692 47	8250 47	7852 47	7491 47	7163 47	6862 47
.66	1165 48	1089 48	1023 48	9658 47	9141 47	8678 47	8261 47	7883 47	7538 47	7223 47
.68	1228 48	1148 48	1079 48	1018 48	9642 47	9155 47	8717 47	8319 47	7957 47	7626 47
.70	1298 48	1214 48	1141 48	1077 48	1020 48	9691 47	9229 47	8810 47	8428 47	8078 47
.72	1378 48	1289 48	1212 48	1144 48	1083 48	1029 48	9807 47	9364 47	8960 47	8590 47
.74	1468 48	1374 48	1292 48	1220 48	1156 48	1098 48	1046 48	9996 47	9567 47	9174 47
.76	1573 48	1472 48	1385 48	1308 48	1239 48	1178 48	1122 48	1072 48	1026 48	9846 47
.78	1694 48	1586 48	1493 48	1410 48	1336 48	1270 48	1211 48	1157 48	1108 48	1062 48
.80	1837 48	1721 48	1619 48	1530 48	1451 48	1379 48	1315 48	1257 48	1204 48	1155 48
.82	2008 48	1882 48	1771 48	1674 48	1588 48	1510 48	1440 48	1377 48	1319 48	1266 48
.84	2215 48	2077 48	1956 48	1850 48	1755 48	1670 48	1593 48	1523 48	1460 48	1401 48
.86	2473 48	2320 48	2187 48	2069 48	1963 48	1869 48	1784 48	1706 48	1636 48	1571 48
.88	2800 48	2630 48	2481 48	2349 48	2231 48	2125 48	2030 48	1943 48	1863 48	1790 48
.90	3229 48	3039 48	2871 48	2721 48	2587 48	2467 48	2358 48	2258 48	2167 48	2084 48
.91	3497 48	3295 48	3116 48	2957 48	2813 48	2684 48	2567 48	2460 48	2362 48	2272 48
.92	3813 48	3599 48	3408 48	3237 48	3083 48	2944 48	2818 48	2702 48	2596 48	2499 48
.93	4190 48	3963 48	3760 48	3577 48	3412 48	3262 48	3125 48	3000 48	2884 48	2778 48
.94	4648 48	4408 48	4191 48	3996 48	3818 48	3656 48	3508 48	3372 48	3246 48	3129 48
.95	5211 48	4959 48	4732 48	4524 48	4334 48	4159 48	3998 48	3850 48	3712 48	3584 48
.96	5917 48	5660 48	5423 48	5205 48	5004 48	4818 48	4645 48	4484 48	4334 48	4194 48
.97	6824 48	6570 48	6333 48	6112 48	5906 48	5712 48	5531 48	5360 48	5200 48	5049 48
.98	8020 48	7789 48	7571 48	7364 48	7167 48	6980 48	6802 48	6633 48	6471 48	6317 48
.99	9644 48	9482 48	9325 48	9172 48	9024 48	8880 48	8740 48	8605 48	8473 48	8344 48
1.00	1193 49	1193 49	1193 49	1193 49	1193 49	1193 49	1193 49	1193 49	1193 49	1193 49

Compton Cross Section vs. Angle of Scattered Quantum

w \ γ	22.0	24.0	26.0	28.0	30.0	32.0	34.0	36.0	38.0	40.0
1.00N	1326 47	1218 47	1126 47	1047 47	9786 46	9184 46	8651 46	8177 46	7752 46	7369 46
.90N	1389 47	1276 47	1180 47	1097 47	1025 47	9630 46	9073 46	8578 46	8133 46	7733 46
.80N	1457 47	1339 47	1239 47	1153 47	1078 47	1012 47	9542 46	9022 46	8557 46	8136 46
.70N	1534 47	1411 47	1306 47	1215 47	1136 47	1067 47	1006 47	9519 46	9029 46	8587 46
.60N	1620 47	1491 47	1380 47	1285 47	1202 47	1129 47	1065 47	1007 47	9559 46	9093 46
.50N	1718 47	1581 47	1465 47	1364 47	1276 47	1199 47	1131 47	1070 47	1016 47	9666 46
.40N	1829 47	1684 47	1561 47	1454 47	1361 47	1279 47	1207 47	1142 47	1084 47	1031 47
.30N	1956 47	1802 47	1671 47	1558 47	1459 47	1371 47	1294 47	1225 47	1163 47	1107 47
.20N	2104 47	1940 47	1800 47	1678 47	1572 47	1478 47	1395 47	1321 47	1254 47	1194 47
.10N	2279 47	2102 47	1951 47	1820 47	1705 47	1604 47	1515 47	1435 47	1362 47	1297 47
.00	2487 47	2295 47	2131 47	1989 47	1865 47	1755 47	1657 47	1570 47	1492 47	1421 47
.10	2739 47	2530 47	2350 47	2195 47	2058 47	1938 47	1831 47	1735 47	1649 47	1571 47
.20	3052 47	2821 47	2622 47	2450 47	2299 47	2165 47	2047 47	1940 47	1844 47	1757 47
.30	3450 47	3192 47	2969 47	2776 47	2606 47	2456 47	2322 47	2202 47	2093 47	1995 47
.40	3975 47	3680 47	3426 47	3205 47	3011 47	2838 47	2685 47	2547 47	2423 47	2310 47
.50	4697 47	4353 47	4056 47	3797 47	3569 47	3368 47	3187 47	3025 47	2879 47	2746 47
.60	5755 47	5340 47	4981 47	4668 47	4392 47	4146 47	3927 47	3730 47	3552 47	3390 47
.62	6029 47	5596 47	5221 47	4894 47	4605 47	4349 47	4120 47	3913 47	3727 47	3558 47
.64	6332 47	5878 47	5486 47	5143 47	4841 47	4572 47	4332 47	4116 47	3920 47	3743 47
.66	6667 47	6191 47	5780 47	5420 47	5102 47	4820 47	4568 47	4341 47	4135 47	3949 47
.68	7041 47	6541 47	6108 47	5729 47	5395 47	5097 47	4832 47	4592 47	4376 47	4179 47
.70	7462 47	6933 47	6476 47	6076 47	5723 47	5409 47	5128 47	4875 47	4646 47	4438 47
.72	7937 47	7378 47	6893 47	6470 47	6095 47	5762 47	5464 47	5196 47	4953 47	4731 47
.74	8480 47	7885 47	7370 47	6919 47	6521 47	6166 47	5849 47	5563 47	5303 47	5067 47
.76	9105 47	8470 47	7919 47	7437 47	7011 47	6632 47	6292 47	5986 47	5708 47	5456 47
.78	9834 47	9152 47	8560 47	8042 47	7584 47	7176 47	6810 47	6481 47	6182 47	5910 47
.80	1069 48	9957 47	9317 47	8757 47	8261 47	7820 47	7424 47	7067 47	6743 47	6448 47
.82	1172 48	1092 48	1022 48	9616 47	9075 47	8594 47	8162 47	7772 47	7418 47	7095 47
.84	1299 48	1210 48	1134 48	1066 48	1007 48	9543 47	9067 47	8637 47	8247 47	7891 47
.86	1457 48	1359 48	1273 48	1198 48	1132 48	1073 48	1020 48	9726 47	9290 47	8893 47
.88	1661 48	1550 48	1454 48	1370 48	1295 48	1228 48	1168 48	1113 48	1064 48	1019 48
.90	1936 48	1809 48	1698 48	1600 48	1514 48	1437 48	1367 48	1305 48	1248 48	1195 48
.91	2112 48	1975 48	1855 48	1749 48	1655 48	1572 48	1496 48	1428 48	1366 48	1310 48
.92	2325 48	2176 48	2045 48	1930 48	1827 48	1736 48	1654 48	1579 48	1511 48	1449 48
.93	2588 48	2424 48	2281 48	2154 48	2041 48	1940 48	1849 48	1767 48	1692 48	1623 48
.94	2921 48	2740 48	2581 48	2440 48	2314 48	2202 48	2100 48	2008 48	1924 48	1847 48
.95	3354 48	3153 48	2975 48	2817 48	2676 48	2548 48	2433 48	2329 48	2233 48	2145 48
.96	3940 48	3715 48	3516 48	3337 48	3176 48	3031 48	2898 48	2778 48	2667 48	2565 48
.97	4772 48	4523 48	4299 48	4097 48	3913 48	3745 48	3592 48	3451 48	3320 48	3200 48
.98	6029 48	5765 48	5523 48	5300 48	5094 48	4904 48	4727 48	4562 48	4409 48	4266 48
.99	8099 48	7866 48	7645 48	7436 48	7237 48	7048 48	6868 48	6696 48	6533 48	6377 48
1.00	1193 49	1193 49	1193 49	1193 49	1193 49	1193 49	1193 49	1193 49	1193 49	1193 49

γ / w	42.0		44.0		46.0		48.0		50.0	
1.00N	7022	46	6706	46	6418	46	6153	46	5909	46
.90N	7370	46	7039	46	6737	46	6460	46	6205	46
.80N	7756	46	7409	46	7092	46	6801	46	6533	46
.70N	8187	46	7822	46	7488	46	7182	46	6899	46
.60N	8670	46	8285	46	7933	46	7609	46	7311	46
.50N	9218	46	8810	46	8436	46	8093	46	7776	46
.40N	9843	46	9408	46	9010	46	8645	46	8308	46
.30N	1056	47	1009	47	9672	46	9280	46	8920	46
.20N	1139	47	1089	47	1044	47	1002	47	9632	46
.10N	1238	47	1184	47	1134	47	1089	47	1047	47
.00	1356	47	1297	47	1243	47	1193	47	1147	47
.10	1499	47	1435	47	1375	47	1320	47	1270	47
.20	1678	47	1606	47	1539	47	1478	47	1422	47
.30	1906	47	1824	47	1750	47	1681	47	1617	47
.40	2208	47	2114	47	2028	47	1948	47	1875	47
.50	2625	47	2515	47	2413	47	2319	47	2232	47
.60	3243	47	3107	47	2983	47	2868	47	2761	47
.62	3403	47	3261	47	3131	47	3011	47	2899	47
.64	3581	47	3432	47	3295	47	3169	47	3052	47
.66	3778	47	3621	47	3478	47	3345	47	3221	47
.68	3999	47	3834	47	3682	47	3541	47	3411	47
.70	4247	47	4072	47	3912	47	3763	47	3625	47
.72	4529	47	4343	47	4173	47	4015	47	3868	47
.74	4852	47	4654	47	4471	47	4303	47	4147	47
.76	5225	47	5012	47	4817	47	4636	47	4469	47
.78	5661	47	5432	47	5221	47	5026	47	4845	47
.80	6177	47	5929	47	5701	47	5489	47	5293	47
.82	6800	47	6529	47	6279	47	6047	47	5832	47
.84	7565	47	7266	47	6989	47	6733	47	6496	47
.86	8529	47	8195	47	7886	47	7599	47	7334	47
.88	9783	47	9403	47	9052	47	8727	47	8425	47
.90	1148	48	1104	48	1063	48	1025	48	9908	47
.91	1258	48	1210	48	1166	48	1125	48	1087	48
.92	1392	48	1340	48	1291	48	1246	48	1204	48
.93	1560	48	1502	48	1448	48	1398	48	1351	48
.94	1776	48	1710	48	1650	48	1594	48	1541	48
.95	2065	48	1990	48	1921	48	1856	48	1796	48
.96	2471	48	2384	48	2304	48	2228	48	2158	48
.97	3088	48	2984	48	2888	48	2797	48	2712	48
.98	4131	48	4005	48	3887	48	3776	48	3671	48
.99	6228	48	6086	48	5949	48	5819	48	5694	48
1.00	1193	49	1193	49	1193	49	1193	49	1193	49

Compton Cross Section vs. Energy of Scattered Quantum

γ' \ γ	0.1	0.2	0.3	0.4	0.5	0.6	0.7	0.8	0.9
900 48	3837 51								
100 49	7500 51								
150 49		1432 51							
160 49		1042 51							
170 49		9752 50							
180 49		1133 51							
190 49		1448 51	8653 50						
200 49		1875 51	6712 50						
210 49			5467 50						
220 49			4758 50						
230 49			4463 50	4764 50					
240 49			4490 50	4010 50					
250 49			4768 50	3457 50	3750 50				
260 49			5241 50	3066 50	3238 50				
270 49			5864 50	2807 50	2830 50				
280 49			6605 50	2657 50	2508 50	2529 50			
290 49			7435 50	2594 50	2257 50	2253 50			
300 49			8333 50	2604 50	2066 50	2025 50	1974 50		
310 49				2673 50	1925 50	1838 50	1788 50	1711 50	
320 49				2790 50	1827 50	1685 50	1629 50	1561 50	
330 49				2947 50	1764 50	1562 50	1495 50	1432 50	1360 50
340 49				3137 50	1731 50	1465 50	1383 50	1321 50	1256 50
350 49				3354 50	1723 50	1389 50	1288 50	1225 50	1165 50
360 49				3592 50	1737 50	1332 50	1209 50	1143 50	1085 50
370 49				3847 50	1769 50	1291 50	1144 50	1072 50	1015 50
380 49				4117 50	1817 50	1264 50	1091 50	1011 50	9544 49
390 49				4398 50	1878 50	1248 50	1048 50	9594 49	9010 49
400 49				4687 50	1950 50	1244 50	1015 50	9155 49	8544 49
410 49					2031 50	1248 50	9896 49	8785 49	8139 49
420 49					2120 50	1260 50	9711 49	8477 49	7788 49
430 49					2216 50	1279 50	9587 49	8224 49	7485 49
440 49					2317 50	1304 50	9518 49	8019 49	7224 49
450 49					2424 50	1334 50	9497 49	7857 49	7001 49
460 49					2534 50	1368 50	9518 49	7733 49	6812 49
470 49					2647 50	1406 50	9576 49	7644 49	6654 49
480 49					2762 50	1448 50	9667 49	7584 49	6523 49
490 49					2880 50	1492 50	9787 49	7552 49	6417 49
500 49					3000 50	1539 50	9933 49	7543 49	6332 49
510 49						1588 50	1010 50	7557 49	6268 49
520 49						1638 50	1028 50	7589 49	6221 49
530 49						1691 50	1049 50	7639 49	6191 49
540 49						1744 50	1071 50	7705 49	6175 49
550 49						1799 50	1095 50	7784 49	6172 49

γ' \ γ	0.1	0.2	0.3	0.4	0.5	0.6	0.7	0.8	0.9
560 49						1855 50	1119 50	7875 49	6181 49
570 49						1911 50	1145 50	7978 49	6201 49
580 49						1968 50	1172 50	8090 49	6231 49
590 49						2025 50	1199 50	8212 49	6269 49
600 49						2083 50	1227 50	8341 49	6315 49
610 49							1256 50	8477 49	6369 49
620 49							1285 50	8620 49	6429 49
630 49							1315 50	8768 49	6495 49
640 49							1345 50	8921 49	6566 49
650 49							1375 50	9079 49	6642 49
660 49							1406 50	9240 49	6722 49
670 49							1437 50	9405 49	6807 49
680 49							1468 50	9573 49	6895 49
690 49							1499 50	9744 49	6986 49
700 49							1530 50	9917 49	7080 49
720 49								1026 50	7275 49
740 49								1062 50	7479 49
760 49								1098 50	7690 49
780 49								1135 50	7906 49
800 49								1171 50	8126 49
820 49									8350 49
840 49									8575 49
860 49									8802 49
880 49									9030 49
900 49									9259 49

Compton Cross Section vs. Energy of Scattered Quantum

γ' \ γ	1.0	1.1	1.2	1.3	1.4	1.5	1.6	1.7	1.8	1.9
335 49	1233 50									
340 49	1187 50									
345 49	1144 50	1078 50								
350 49	1103 50	1041 50								
355 49	1064 50	1005 50	9488 49							
360 49	1028 50	9723 49	9180 49							
365 49	9944 49	9407 49	8889 49	8397 49						
370 49	9624 49	9108 49	8612 49	8142 49	7700 49					
375 49	9322 49	8826 49	8351 49	7900 49	7477 49	7083 49				
380 49	9039 49	8560 49	8103 49	7670 49	7264 49	6886 49				
385 49	8772 49	8308 49	7868 49	7452 49	7062 49	6698 49	6360 49			
390 49	8521 49	8070 49	7645 49	7245 49	6869 49	6519 49	6193 49	5891 49		
395 49	8284 49	7845 49	7434 49	7047 49	6685 49	6348 49	6034 49	5743 49	5473 49	
400 49	8062 49	7632 49	7233 49	6860 49	6510 49	6185 49	5882 49	5601 49	5340 49	5098 49
410 49	7656 49	7241 49	6862 49	6511 49	6185 49	5880 49	5597 49	5334 49	5090 49	4864 49
420 49	7297 49	6891 49	6528 49	6196 49	5888 49	5602 49	5337 49	5090 49	4861 49	4648 49
430 49	6980 49	6578 49	6227 49	5910 49	5618 49	5348 49	5098 49	4866 49	4650 49	4449 49
440 49	6701 49	6298 49	5955 49	5650 49	5372 49	5116 49	4879 49	4659 49	4455 49	4266 49
450 49	6456 49	6048 49	5710 49	5414 49	5147 49	4903 49	4677 49	4469 49	4275 49	4096 49
460 49	6240 49	5825 49	5489 49	5200 49	4942 49	4708 49	4492 49	4294 49	4109 49	3938 49
470 49	6052 49	5626 49	5290 49	5005 49	4755 49	4528 49	4322 49	4132 49	3956 49	3793 49
480 49	5888 49	5449 49	5110 49	4828 49	4583 49	4364 49	4165 49	3982 49	3813 49	3657 49
490 49	5746 49	5292 49	4948 49	4668 49	4426 49	4213 49	4020 49	3844 49	3681 49	3532 49
500 49	5625 49	5153 49	4803 49	4521 49	4283 49	4074 49	3886 49	3715 49	3559 49	3415 49
510 49	5521 49	5030 49	4672 49	4389 49	4152 49	3946 49	3762 49	3597 49	3445 49	3306 49
520 49	5433 49	4922 49	4554 49	4268 49	4031 49	3828 49	3648 49	3486 49	3339 49	3204 49
530 49	5361 49	4827 49	4449 49	4159 49	3921 49	3719 49	3542 49	3384 49	3241 49	3109 49
540 49	5301 49	4745 49	4355 49	4059 49	3821 49	3620 49	3445 49	3289 49	3149 49	3021 49
550 49	5254 49	4674 49	4271 49	3969 49	3729 49	3528 49	3354 49	3201 49	3063 49	2938 49
560 49	5218 49	4613 49	4197 49	3888 49	3644 49	3443 49	3270 49	3119 49	2984 49	2861 49
570 49	5192 49	4561 49	4131 49	3815 49	3568 49	3365 49	3193 49	3043 49	2909 49	2789 49
580 49	5175 49	4518 49	4073 49	3749 49	3497 49	3293 49	3121 49	2972 49	2840 49	2721 49
590 49	5167 49	4483 49	4022 49	3689 49	3433 49	3227 49	3054 49	2906 49	2775 49	2658 49
600 49	5166 49	4455 49	3978 49	3636 49	3375 49	3166 49	2993 49	2844 49	2714 49	2599 49
610 49	5172 49	4433 49	3940 49	3588 49	3322 49	3110 49	2936 49	2787 49	2658 49	2543 49
620 49	5185 49	4418 49	3908 49	3546 49	3273 49	3059 49	2883 49	2734 49	2605 49	2491 49
630 49	5203 49	4407 49	3880 49	3508 49	3230 49	3012 49	2834 49	2684 49	2555 49	2442 49
640 49	5227 49	4402 49	3858 49	3475 49	3190 49	2968 49	2788 49	2638 49	2509 49	2396 49
650 49	5255 49	4402 49	3840 49	3446 49	3155 49	2929 49	2746 49	2595 49	2466 49	2353 49
660 49	5288 49	4406 49	3826 49	3421 49	3123 49	2892 49	2708 49	2555 49	2425 49	2312 49
670 49	5325 49	4414 49	3816 49	3399 49	3094 49	2859 49	2672 49	2518 49	2387 49	2274 49
680 49	5365 49	4425 49	3809 49	3381 49	3068 49	2829 49	2639 49	2483 49	2351 49	2238 49
690 49	5409 49	4440 49	3806 49	3366 49	3046 49	2801 49	2608 49	2451 49	2318 49	2205 49
700 49	5456 49	4458 49	3805 49	3354 49	3026 49	2777 49	2580 49	2421 49	2287 49	2173 49

Compton Cross Section vs. Energy of Scattered Quantum

γ′ \ γ	1.0	1.1	1.2	1.3	1.4	1.5	1.6	1.7	1.8	1.9
750 49	5729 49	4586 49	3841 49	3328 49	2960 49	2685 49	2471 49	2300 49	2159 49	2041 49
800 49	6046 49	4762 49	3924 49	3350 49	2940 49	2636 49	2403 49	2218 49	2069 49	1945 49
850 49	6392 49	4969 49	4040 49	3405 49	2953 49	2619 49	2365 49	2166 49	2006 49	1875 49
900 49	6754 49	5197 49	4179 49	3483 49	2988 49	2625 49	2350 49	2135 49	1964 49	1825 49
950 49	7125 49	5439 49	4334 49	3578 49	3042 49	2648 49	2351 49	2121 49	1939 49	1791 49
100 50	7500 49	5688 49	4499 49	3685 49	3108 49	2685 49	2366 49	2120 49	1926 49	1769 49
105 50		5942 49	4671 49	3801 49	3183 49	2731 49	2391 49	2129 49	1922 49	1757 49
110 50		6198 49	4848 49	3922 49	3265 49	2784 49	2423 49	2145 49	1927 49	1752 49
115 50			5027 49	4048 49	3352 49	2843 49	2462 49	2168 49	1938 49	1754 49
120 50			5208 49	4176 49	3443 49	2907 49	2504 49	2196 49	1954 49	1760 49
125 50				4306 49	3537 49	2974 49	2551 49	2227 49	1973 49	1771 49
130 50				4437 49	3632 49	3043 49	2600 49	2261 49	1996 49	1785 49
135 50					3729 49	3114 49	2652 49	2298 49	2022 49	1802 49
140 50					3826 49	3186 49	2705 49	2337 49	2050 49	1821 49
145 50						3259 49	2760 49	2378 49	2079 49	1842 49
150 50						3333 49	2816 49	2419 49	2110 49	1864 49
155 50							2872 49	2462 49	2142 49	1888 49
160 50							2929 49	2506 49	2175 49	1913 49
165 50								2550 49	2209 49	1939 49
170 50								2595 49	2244 49	1965 49
175 50									2279 49	1992 49
180 50									2314 49	2020 49
185 50										2048 49
190 50										2077 49

Compton Cross Section vs. Energy of Scattered Quantum

γ' \ γ	2.0	2.5	3.0	3.5	γ' \ γ	4.0	4.5	5.0	5.5
400 49	4875 49								
410 49	4654 49								
420 49	4451 49	3649 49							
430 49	4263 49	3505 49	2960 49						
440 49	4089 49	3371 49	2853 49	2465 49					
450 49	3929 49	3246 49	2752 49	2382 49					
460 49	3779 49	3130 49	2659 49	2304 49	460 49	2030 49	1813 49	1636 49	1490 49
470 49	3641 49	3021 49	2571 49	2231 49					
480 49	3512 49	2920 49	2488 49	2162 49	480 49	1909 49	1707 49	1543 49	1408 49
490 49	3392 49	2825 49	2410 49	2097 49					
500 49	3281 49	2736 49	2337 49	2036 49	500 49	1801 49	1614 49	1461 49	1333 49
510 49	3177 49	2652 49	2269 49	1978 49					
520 49	3079 49	2573 49	2204 49	1924 49	520 49	1705 49	1529 49	1386 49	1267 49
530 49	2988 49	2499 49	2143 49	1872 49					
540 49	2903 49	2429 49	2085 49	1823 49	540 49	1618 49	1453 49	1318 49	1206 49
550 49	2824 49	2364 49	2030 49	1776 49					
560 49	2749 49	2302 49	1978 49	1732 49	560 49	1539 49	1384 49	1257 49	1151 49
570 49	2679 49	2243 49	1929 49	1690 49					
580 49	2614 49	2188 49	1882 49	1650 49	580 49	1468 49	1322 49	1201 49	1101 49
590 49	2552 49	2136 49	1838 49	1612 49					
600 49	2494 49	2086 49	1796 49	1576 49	600 49	1403 49	1264 49	1150 49	1055 49
625 49	2364 49	1974 49	1699 49	1493 49	620 49	1344 49	1212 49	1103 49	1012 49
					640 49	1290 49	1164 49	1060 49	9737 48
650 49	2253 49	1875 49	1614 49	1418 49	660 49	1241 49	1120 49	1021 49	9377 48
675 49	2157 49	1788 49	1538 49	1351 49	680 49	1195 49	1079 49	9843 48	9043 48
700 49	2073 49	1711 49	1470 49	1291 49	700 49	1153 49	1041 49	9502 48	8733 48
725 49	2002 49	1643 49	1409 49	1237 49	720 49	1114 49	1006 49	9186 48	8445 48
					740 49	1078 49	9744 48	8891 48	8176 48
750 49	1940 49	1582 49	1354 49	1188 49	760 49	1044 49	9442 48	8616 48	7925 48
775 49	1886 49	1528 49	1304 49	1144 49	780 49	1013 49	9159 48	8359 48	7689 48
800 49	1839 49	1480 49	1259 49	1103 49	800 49	9843 48	8895 48	8118 48	7469 48
825 49	1799 49	1437 49	1219 49	1066 49	820 49	9571 48	8648 48	7892 48	7261 48
					840 49	9317 48	8416 48	7680 48	7066 48
850 49	1764 49	1398 49	1182 49	1032 49	860 49	9079 48	8198 48	7481 48	6882 48
875 49	1735 49	1363 49	1148 49	1001 49	880 49	8855 48	7993 48	7292 48	6709 48
900 49	1709 49	1332 49	1117 49	9724 48	900 49	8645 48	7800 48	7115 48	6545 48
925 49	1687 49	1304 49	1089 49	9459 48	920 49	8447 48	7618 48	6947 48	6389 48
					940 49	8261 48	7446 48	6788 48	6242 48
950 49	1669 49	1279 49	1063 49	9214 48	960 49	8086 48	7284 48	6638 48	6103 48
975 49	1653 49	1256 49	1040 49	8987 48	980 49	7920 48	7130 48	6495 48	5970 48
100 50	1640 49	1236 49	1018 49	8777 48	100 50	7763 48	6984 48	6360 48	5844 48
110 50	1610 49	1172 49	9474 48	8075 48	110 50	7095 48	6358 48	5775 48	5298 48
120 50	1604 49	1130 49	8958 48	7543 48	120 50	6578 48	5866 48	5311 48	4863 48
130 50	1614 49	1104 49	8580 48	7134 48	130 50	6171 48	5473 48	4937 48	4509 48
140 50	1636 49	1089 49	8303 48	6815 48	140 50	5845 48	5154 48	4631 48	4216 48
150 50	1666 49	1082 49	8101 48	6566 48	150 50	5582 48	4892 48	4376 48	3972 48

Compton Cross Section vs. Energy of Scattered Quantum

γ' \ γ	2.0	2.5	3.0	3.5	γ' \ γ	4.0	4.5	5.0	5.5
160 50	1702 49	1081 49	7958 48	6370 48	160 50	5368 48	4675 48	4163 48	3766 48
170 50	1741 49	1085 49	7860 48	6217 48	170 50	5193 48	4494 48	3983 48	3590 48
180 50	1784 49	1093 49	7798 48	6097 48	180 50	5049 48	4341 48	3829 48	3440 48
190 50	1828 49	1103 49	7764 48	6005 48	190 50	4931 48	4212 48	3698 48	3309 48
200 50	1875 49	1116 49	7754 48	5935 48	200 50	4833 48	4103 48	3585 48	3196 48
210 50		1130 49	7763 48	5883 48					
220 50		1146 49	7788 48	5847 48					
230 50		1163 49	7826 48	5825 49					
240 50		1181 49	7876 48	5814 48					
250 50		1200 49	7935 48	5812 48	250 50	4564 48	3762 48	3210 48	2808 48
260 50			8002 48	5819 48					
270 50			8076 48	5833 48					
280 50			8157 48	5853 48					
290 50			8242 48	5879 48					
300 50			8333 48	5910 48	300 50	4508 48	3623 48	3026 48	2601 48
310 50				5946 48					
320 50				5985 48					
330 50				6027 48					
340 50				6073 48					
350 50				6122 48	350 50	4564 48	3593 48	2946 48	2492 48
					400 50	4687 48	3627 48	2928 48	2442 48
					450 50		3703 48	2950 48	2431 48
					500 50			3000 48	2445 48
					550 50				2479 48

Compton Cross Section vs. Energy of Scattered Quantum

γ' \ γ	6.0	6.5	7.0	7.5	8.0	8.5	9.0	9.5
480 49	1293 49	1196 49	1112 49	1039 49	9752 48	9185 48	8679 48	8226 48
500 49	1226 49	1135 49	1056 49	9878 48	9274 48	8739 48	8261 48	7833 48
520 49	1166 49	1080 49	1005 49	9410 48	8839 48	8333 48	7881 48	7476 48
540 49	1111 49	1030 49	9599 48	8984 48	8443 48	7963 48	7534 48	7149 48
560 49	1061 49	9845 48	9178 48	8595 48	8081 48	7624 48	7217 48	6850 48
580 49	1015 49	9427 48	8793 48	8238 48	7748 48	7313 48	6924 48	6574 48
600 49	9739 48	9043 48	8438 48	7909 48	7442 48	7026 48	6655 48	6320 48
620 49	9354 48	8689 48	8112 48	7606 48	7159 48	6761 48	6405 48	6085 48
640 49	8998 48	8362 48	7809 48	7325 48	6897 48	6516 48	6174 48	5867 48
660 49	8669 48	8059 48	7529 48	7064 48	6653 48	6287 48	5959 48	5664 48
680 49	8363 48	7778 48	7269 48	6822 48	6427 48	6075 48	5759 48	5474 48
700 49	8079 48	7516 48	7026 48	6596 48	6215 48	5876 48	5572 48	5297 48
720 49	7815 48	7272 48	6800 48	6385 48	6018 48	5690 48	5396 48	5131 48
740 49	7568 48	7044 48	6588 48	6187 48	5832 48	5516 48	5232 48	4976 48
760 49	7337 48	6830 48	6389 48	6002 48	5658 48	5352 48	5077 48	4830 48
780 49	7120 48	6629 48	6202 48	5827 48	5495 48	5198 48	4932 48	4692 48
800 49	6916 48	6441 48	6027 48	5663 48	5341 48	5053 48	4795 48	4562 48
820 49	6725 48	6263 48	5861 48	5508 48	5195 48	4916 48	4665 48	4439 48
840 49	6545 48	6096 48	5705 48	5362 48	5058 48	4787 48	4543 48	4323 48
860 49	6375 48	5938 48	5558 48	5224 48	4928 48	4664 48	4427 48	4213 48
880 49	6214 48	5788 48	5418 48	5093 48	4805 48	4548 48	4317 48	4109 48
900 49	6062 48	5647 48	5286 48	4969 48	4688 48	4437 48	4212 48	4009 48
920 49	5918 48	5512 48	5160 48	4851 48	4577 48	4333 48	4113 48	3915 48
940 49	5781 48	5385 48	5041 48	4739 48	4471 48	4233 48	4019 48	3825 48
960 49	5651 48	5264 48	4927 48	4632 48	4371 48	4138 48	3928 48	3739 48
980 49	5528 48	5149 48	4819 48	4530 48	4275 48	4047 48	3842 48	3658 48
100 50	5410 48	5039 48	4716 48	4434 48	4183 48	3960 48	3760 48	3580 48
110 50	4900 48	4560 48	4266 48	4010 48	3783 48	3581 48	3400 48	3237 48
120 50	4490 48	4175 48	3903 48	3666 48	3458 48	3272 48	3106 48	2957 48
130 50	4156 48	3859 48	3604 48	3383 48	3189 48	3017 48	2863 48	2724 48
140 50	3878 48	3595 48	3354 48	3146 48	2963 48	2802 48	2658 48	2528 48
150 50	3645 48	3374 48	3143 48	2945 48	2772 48	2619 48	2483 48	2361 48
160 50	3447 48	3184 48	2963 48	2772 48	2607 48	2461 48	2332 48	2217 48
170 50	3278 48	3022 48	2807 48	2623 48	2464 48	2325 48	2202 48	2091 48
180 50	3132 48	2881 48	2671 48	2493 48	2340 48	2205 48	2087 48	1981 48
190 50	3004 48	2757 48	2552 48	2379 48	2230 48	2100 48	1986 48	1884 48
200 50	2893 48	2649 48	2448 48	2278 48	2133 48	2006 48	1896 48	1797 48
250 50	2504 48	2265 48	2073 48	1914 48	1780 48	1665 48	1566 48	1479 48
300 50	2285 48	2042 48	1849 48	1693 48	1563 48	1454 48	1360 48	1279 48
350 50	2160 48	1907 48	1710 48	1551 48	1422 48	1314 48	1222 48	1144 48
400 50	2090 48	1826 48	1621 48	1459 48	1327 48	1218 48	1127 48	1050 48
450 50	2057 48	1779 48	1565 48	1397 48	1262 48	1152 48	1060 48	9825 47

γ' \ γ	6.0	6.5	7.0	7.5	8.0	8.5	9.0	9.5
5.00 50	2049 48	1756 48	1533 48	1358 48	1219 48	1105 48	1011 48	9331 47
5.50 50	2059 48	1751 48	1516 48	1334 48	1190 48	1073 48	9773 47	8970 47
6.00 50	2083 48	1758 48	1512 48	1322 48	1172 48	1052 48	9530 47	8708 47
6.50 50		1775 48	1518 48	1319 48	1163 48	1038 48	9366 47	8521 47
7.00 50			1530 48	1323 48	1161 48	1031 48	9263 47	8394 47
7.50 50				1333 48	1164 48	1030 48	9210 47	8313 47
8.00 50					1171 48	1032 48	9195 47	8270 47
8.50 50						1038 48	9214 47	8259 47
9.00 50							9259 47	8273 47
9.50 50								8310 47

Compton Cross Section vs. Energy of Scattered Quantum

γ' \ γ	10.0	11.0	12.0	13.0	14.0	15.0	16.0	17.0	18.0	19.0
500 49	7447 48	6778 48	6219 48	5744 48	5337 48	4984 48	4674 48	4400 48	4157 48	3939 48
550 49	6657 48	6067 48	5573 48	5154 48	4793 48	4479 48	4203 48	3959 48	3742 48	3548 48
600 49	6017 48	5491 48	5049 48	4673 48	4348 48	4066 48	3818 48	3599 48	3403 48	3228 48
650 49	5490 48	5015 48	4615 48	4274 48	3980 48	3723 48	3498 48	3298 48	3120 48	2960 48
700 49	5048 48	4615 48	4250 48	3938 48	3669 48	3434 48	3227 48	3044 48	2881 48	2734 48
750 49	4673 48	4274 48	3939 48	3651 48	3403 48	3186 48	2996 48	2826 48	2675 48	2539 48
800 49	4350 48	3981 48	3670 48	3404 48	3173 48	2972 48	2795 48	2638 48	2497 48	2371 48
850 49	4070 48	3726 48	3436 48	3188 48	2973 48	2785 48	2620 48	2473 48	2342 48	2224 48
900 49	3825 48	3503 48	3231 48	2998 48	2797 48	2621 48	2466 48	2328 48	2205 48	2094 48
950 49	3608 48	3305 48	3049 48	2830 48	2641 48	2475 48	2329 48	2199 48	2083 48	1978 48
100 50	3416 48	3129 48	2888 48	2681 48	2501 48	2345 48	2206 48	2084 48	1974 48	1875 48
105 50	3243 48	2972 48	2743 48	2546 48	2376 48	2228 48	2097 48	1980 48	1876 48	1782 48
110 50	3089 48	2830 48	2612 48	2425 48	2263 48	2122 48	1997 48	1886 48	1787 48	1698 48
115 50	2948 48	2702 48	2493 48	2315 48	2161 48	2026 48	1907 48	1801 48	1707 48	1622 48
120 50	2821 48	2585 48	2386 48	2215 48	2068 48	1939 48	1825 48	1724 48	1633 48	1552 48
125 50	2705 48	2478 48	2287 48	2124 48	1982 48	1859 48	1750 48	1653 48	1566 48	1488 48
130 50	2599 48	2381 48	2197 48	2040 48	1904 48	1785 48	1680 48	1587 48	1504 48	1429 48
135 50	2501 48	2291 48	2114 48	1962 48	1832 48	1717 48	1617 48	1527 48	1447 48	1375 48
140 50	2411 48	2208 48	2037 48	1891 48	1765 48	1655 48	1558 48	1471 48	1394 48	1325 48
145 50	2328 48	2131 48	1966 48	1825 48	1703 48	1597 48	1503 48	1420 48	1345 48	1278 48
150 50	2251 48	2060 48	1900 48	1764 48	1646 48	1543 48	1452 48	1372 48	1300 48	1235 48
155 50	2180 48	1994 48	1839 48	1706 48	1592 48	1493 48	1405 48	1327 48	1257 48	1195 48
160 50	2113 48	1933 48	1782 48	1653 48	1542 48	1446 48	1361 48	1285 48	1218 48	1157 48
165 50	2051 48	1875 48	1728 48	1603 48	1496 48	1402 48	1319 48	1246 48	1180 48	1122 48
170 50	1992 48	1821 48	1678 48	1556 48	1452 48	1360 48	1280 48	1209 48	1145 48	1088 48
175 50	1938 48	1771 48	1631 48	1513 48	1411 48	1322 48	1244 48	1174 48	1113 48	1057 48
180 50	1886 48	1723 48	1587 48	1471 48	1372 48	1285 48	1209 48	1142 48	1082 48	1028 48
185 50	1836 48	1678 48	1545 48	1432 48	1335 48	1251 48	1177 48	1111 48	1052 48	1000 48
190 50	1793 48	1636 48	1506 48	1396 48	1301 48	1218 48	1146 48	1082 48	1025 48	9740 47
195 50	1750 48	1596 48	1469 48	1361 48	1268 48	1188 48	1117 48	1055 48	9992 47	9491 47
200 50	1710 48	1559 48	1434 48	1328 48	1237 48	1159 48	1090 48	1028 48	9745 47	9256 47
250 50	1403 48	1272 48	1165 48	1076 48	1000 48	9351 47	8781 47	8279 47	7834 47	7435 47
300 50	1207 48	1088 48	9923 47	9155 47	8467 47	7896 47	7401 47	6967 47	6583 47	6241 47
350 50	1076 48	9636 47	8740 47	8009 47	7399 47	6881 47	6435 47	6047 47	5705 47	5402 47
400 50	9834 47	8742 47	7884 47	7192 47	6620 47	6139 47	5727 47	5371 47	5059 47	4783 47
450 50	9160 47	8085 47	7247 47	6580 47	6033 47	5577 47	5189 47	4856 47	4565 47	4309 47
500 50	8662 47	7587 47	6762 47	6110 47	5580 47	5140 47	4770 47	4452 47	4177 47	3937 47
550 50	8292 47	7310 47	6387 47	5742 47	5222 47	4794 47	4436 47	4130 47	3867 47	3638 47
600 50	8016 47	6930 47	6094 47	5451 47	4937 47	4516 47	4166 47	3869 47	3615 47	3394 47
650 50	7813 47	6691 47	5863 47	5219 47	4706 47	4290 47	3945 47	3654 47	3406 47	3192 47
700 50	7667 47	6528 47	5682 47	5032 47	4519 47	4104 47	3763 47	3476 47	3233 47	3023 47
750 50	7566 47	6401 47	5540 47	4883 47	4365 47	3951 47	3611 47	3327 47	3086 47	2880 47
800 50	7503 47	6307 47	5439 47	4765 47	4242 47	3825 47	3484 47	3201 47	2963 47	2759 47
850 50	7468 47	6241 47	5346 47	4667 47	4140 47	3720 47	3378 47	3095 47	2858 47	2656 47
900 50	7452 47	6199 47	5282 47	4592 47	4057 47	3632 47	3289 47	3005 47	2768 47	2567 47
950 50	7470 47	6176 47	5232 47	4533 47	3990 47	3560 47	3214 47	2929 47	2691 47	2490 47

Compton Cross Section vs. Energy of Scattered Quantum

γ' \ γ	10.0	11.0	12.0	13.0	14.0	15.0	16.0	17.0	18.0	19.0
100 51	7300 47	6170 47	5209 47	4490 47	3937 47	3501 47	3151 47	2864 47	2625 47	2424 47
110 51		6198 47								
120 51			5203 47	4423 47	3826 47	3361 47	2991 47	2691 47	2444 47	2238 47
130 51				4437 47						
140 51					3826 47	3325 47	2929 47	2611 47	2351 47	2136 47
150 51						3333 47				
160 51							2929 47	2590 47	2314 47	2087 47
170 51								2595 47		
180 51									2314 47	2074 47
1 0 .1										2077 47

γ′ \ γ	20.0	22.0	24.0	26.0	28.0	30.0	32.0	34.0	36.0	38.0
500 49	3743 48	3403 48	3121 48	2881 48	2676 48	2497 48	2342 48	2204 48	2082 48	1972 48
550 49	3373 48	3069 48	2816 48	2601 48	2417 48	2257 48	2117 48	1993 48	1883 48	1784 48
600 49	3069 48	2795 48	2566 48	2371 48	2204 48	2059 48	1931 48	1819 48	1719 48	1629 48
650 49	2816 48	2566 48	2356 48	2178 48	2025 48	1892 48	1776 48	1673 48	1581 48	1499 48
700 49	2601 48	2371 48	2178 48	2014 48	1874 48	1751 48	1644 48	1549 48	1464 48	1388 48
750 49	2417 48	2204 48	2025 48	1874 48	1743 48	1629 48	1530 48	1441 48	1363 48	1292 48
800 49	2257 48	2059 48	1893 48	1751 48	1629 48	1523 48	1430 48	1348 48	1275 48	1209 48
850 49	2117 48	1932 48	1776 48	1644 48	1530 48	1430 48	1343 48	1266 48	1197 48	1136 48
900 49	1994 48	1819 48	1673 48	1549 48	1442 48	1348 48	1266 48	1194 48	1129 48	1071 48
950 49	1884 48	1720 48	1582 48	1464 48	1363 48	1275 48	1198 48	1129 48	1068 48	1013 48
100 50	1786 48	1630 48	1500 48	1389 48	1293 48	1209 48	1136 48	1071 48	1013 48	9615 47
105 50	1697 48	1550 48	1426 48	1320 48	1229 48	1150 48	1080 48	1019 48	9641 47	9147 47
110 50	1617 48	1477 48	1359 48	1258 48	1172 48	1096 48	1030 48	9717 47	9193 47	8722 47
115 50	1545 48	1411 48	1298 48	1202 48	1120 48	1048 48	9846 47	9285 47	8785 47	8335 47
120 50	1478 48	1350 48	1243 48	1151 48	1072 48	1003 48	9427 47	8890 47	8411 47	7981 47
125 50	1417 48	1295 48	1192 48	1104 48	1028 48	9623 47	9042 47	8528 47	8069 47	7656 47
130 50	1362 48	1244 48	1145 48	1060 48	9880 47	9245 47	8688 47	8194 47	7753 47	7357 47
135 50	1310 48	1197 48	1101 48	1020 48	9506 47	8897 47	8360 47	7885 47	7461 47	7080 47
140 50	1262 48	1153 48	1061 48	9835 47	9161 47	8573 47	8057 47	7599 47	7190 47	6824 47
145 50	1218 48	1112 48	1024 48	9490 47	8840 47	8273 47	7775 47	7333 47	6939 47	6585 47
150 50	1177 48	1075 48	9897 47	9169 47	8541 47	7993 47	7512 47	7085 47	6704 47	6363 47
155 50	1138 48	1040 48	9574 47	8869 47	8261 47	7732 47	7266 47	6854 47	6485 47	6155 47
160 50	1102 48	1007 48	9271 47	8588 47	8000 47	7487 47	7036 47	6637 47	6280 47	5960 47
165 50	1068 48	9763 47	8986 47	8325 47	7755 47	7258 47	6821 47	6433 47	6088 47	5778 47
170 50	1037 48	9473 47	8720 47	8078 47	7524 47	7042 47	6618 47	6242 47	5907 47	5606 47
175 50	1007 48	9201 47	8468 47	7845 47	7307 47	6839 47	6427 47	6062 47	5737 47	5445 47
180 50	9792 47	8944 47	8232 47	7625 47	7103 47	6647 47	6247 47	5893 47	5576 47	5292 47
185 50	9527 47	8701 47	8008 47	7418 47	6909 47	6466 47	6077 47	5732 47	5424 47	5148 47
190 50	9277 47	8472 47	7797 47	7222 47	6727 47	6295 47	5916 47	5580 47	5281 47	5012 47
195 50	9039 47	8254 47	7596 47	7036 47	6553 47	6133 47	5764 47	5436 47	5144 47	4882 47
200 50	8814 47	8048 47	7406 47	6860 47	6389 47	5979 47	5619 47	5300 47	5015 47	4760 47
250 50	7075 47	6454 47	5934 47	5493 47	5114 47	4785 47	4495 47	4239 47	4011 47	3806 47
300 50	5934 47	5405 47	4965 47	4592 47	4273 47	3995 47	3752 47	3537 47	3346 47	3174 47
350 50	5131 47	4665 47	4280 47	3955 47	3677 47	3436 47	3225 47	3039 47	2874 47	2726 47
400 50	4537 47	4117 47	3771 47	3481 47	3233 47	3019 47	2832 47	2668 47	2522 47	2391 47
450 50	4082 47	3696 47	3380 47	3115 47	2891 47	2697 47	2529 47	2380 47	2249 47	2131 47
500 50	3724 47	3364 47	3070 47	2826 47	2619 47	2442 47	2287 47	2152 47	2032 47	1925 47
550 50	3436 47	3095 47	2820 47	2592 47	2399 47	2234 47	2091 47	1966 47	1855 47	1757 47
600 50	3200 47	2875 47	2614 47	2398 47	2217 47	2062 47	1929 47	1812 47	1709 47	1617 47
650 50	3004 47	2692 47	2442 47	2236 47	2065 47	1918 47	1792 47	1683 47	1586 47	1500 47
700 50	2840 47	2538 47	2296 47	2100 47	1935 47	1796 47	1677 47	1572 47	1481 47	1400 47
750 50	2701 47	2406 47	2172 47	1982 47	1825 47	1691 47	1577 47	1478 47	1391 47	1314 47
800 50	2583 47	2294 47	2066 47	1881 47	1739 47	1600 47	1490 47	1395 47	1312 47	1239 47
850 50	2481 47	2196 47	1973 47	1793 47	1645 47	1521 47	1415 47	1323 47	1244 47	1173 47
900 50	2394 47	2112 47	1892 47	1716 47	1572 47	1451 47	1348 47	1260 47	1183 47	1115 47
950 50	2318 47	2038 47	1822 47	1649 47	1507 47	1389 47	1290 47	1204 47	1129 47	1064 47

γ' \ γ	20.0	22.0	24.0	26.0	28.0	30.0	32.0	34.0	36.0	38.0
100 51	2252 47	1974 47	1760 47	1589 47	1450 47	1335 47	1237 47	1154 47	1081 47	1018 47
120 51	2063 47	1785 47	1574 47	1409 47	1276 47	1167 47	1076 47	9995 46	9332 46	8756 46
140 51	1955 47	1670 47	1457 47	1292 47	1162 47	1056 47	9684 46	8947 46	8318 46	7776 46
160 51	1898 47	1602 47	1383 47	1216 47	1085 47	9795 46	8929 46	8208 46	7598 46	7076 46
180 51	1875 47	1565 47	1338 47	1166 47	1032 47	9261 46	8394 46	7677 46	7075 46	6562 46
200 51	1875 47	1549 47	1312 47	1135 47	9977 46	8890 46	8012 46	7290 46	6688 46	6179 46
220 51		1549 47	1302 47	1117 47	9753 46	8636 46	7741 46	7009 46	6401 46	5890 46
240 51			1302 47	1109 47	9623 46	8472 46	7553 46	6806 46	6189 46	5672 46
260 51				1109 47	9566 46	8376 46	7430 46	6664 46	6034 46	5509 46
280 51					9566 46	8333 46	7356 46	6569 46	5925 46	5389 46
300 51						8333 46	7324 46	6513 46	5851 46	5303 46
320 51							7324 46	6487 46	5807 46	5245 46
340 51								6487 46	5787 46	5210 46
360 51									5787 46	5193 46
380 51										5193 46

γ′ \ γ	40.0	42.0	44.0	46.0	48.0	50.0
500 49	1874 48	1784 48	1703 48	1629 48	1561 48	1499 48
550 49	1696 48	1615 48	1542 48	1475 48	1414 48	1358 48
600 49	1548 48	1475 48	1409 48	1348 48	1292 48	1241 48
650 49	1425 48	1353 48	1297 48	1241 48	1190 48	1143 48
700 49	1320 48	1258 48	1201 48	1150 48	1102 48	1059 48
750 49	1229 48	1171 48	1119 48	1071 48	1027 48	9866 47
800 49	1150 48	1096 48	1047 48	1002 48	9614 47	9235 47
850 49	1080 48	1030 48	9841 47	9421 47	9035 47	8679 47
900 49	1018 48	9714 47	9281 47	8885 47	8522 47	8187 47
950 49	9639 47	9190 47	8781 47	8407 47	8064 47	7747 47
100 50	9146 47	8721 47	8333 47	7978 47	7653 47	7353 47
105 50	8701 47	8297 47	7928 47	7591 47	7282 47	6996 47
110 50	8297 47	7912 47	7561 47	7240 47	6945 47	6673 47
115 50	7930 47	7562 47	7226 47	6920 47	6638 47	6378 47
120 50	7593 47	7241 47	6920 47	6627 47	6357 47	6108 47
125 50	7284 47	6947 47	6639 47	6358 47	6099 47	5861 47
130 50	7000 47	6675 47	6380 47	6109 47	5861 47	5632 47
135 50	6736 47	6425 47	6140 47	5880 47	5641 47	5421 47
140 50	6492 47	6192 47	5918 47	5667 47	5437 47	5225 47
145 50	6265 47	5976 47	5711 47	5470 47	5247 47	5043 47
150 50	6054 47	5774 47	5519 47	5285 47	5071 47	4873 47
155 50	5856 47	5586 47	5339 47	5113 47	4905 47	4714 47
160 50	5671 47	5409 47	5170 47	4951 47	4750 47	4565 47
165 50	5498 47	5244 47	5012 47	4800 47	4605 47	4426 47
170 50	5335 47	5088 47	4863 47	4658 47	4469 47	4294 47
175 50	5181 47	4941 47	4723 47	4523 47	4340 47	4171 47
180 50	5036 47	4803 47	4591 47	4397 47	4218 47	4054 47
185 50	4899 47	4672 47	4466 47	4277 47	4104 47	3944 47
190 50	4769 47	4548 47	4348 47	4164 47	3995 47	3839 47
195 50	4646 47	4431 47	4235 47	4056 47	3892 47	3740 47
200 50	4529 47	4320 47	4129 47	3954 47	3794 47	3646 47
250 50	3621 47	3454 47	3301 47	3161 47	3033 47	2915 47
300 50	3020 47	2880 47	2752 47	2635 47	2528 47	2429 47
350 50	2592 47	2471 47	2361 47	2261 47	2169 47	2084 47
400 50	2273 47	2167 47	2070 47	1981 47	1900 47	1825 47
450 50	2026 47	1930 47	1844 47	1764 47	1692 47	1625 47
500 50	1829 47	1742 47	1663 47	1592 47	1526 47	1465 47
550 50	1669 47	1589 47	1517 47	1451 47	1390 47	1335 47
600 50	1535 47	1462 47	1395 47	1334 47	1278 47	1227 47
650 50	1423 47	1354 47	1292 47	1235 47	1183 47	1135 47
700 50	1328 47	1263 47	1204 47	1151 47	1102 47	1057 47
750 50	1245 47	1184 47	1128 47	1078 47	1032 47	9904 46
800 50	1174 47	1115 47	1062 47	1015 47	9715 46	9316 46
850 50	1111 47	1055 47	1005 47	9594 46	9179 46	8799 46
900 50	1055 47	1002 47	9538 46	9102 46	8705 46	8342 46
950 50	1006 47	9547 46	9082 46	8663 46	8282 46	7934 46

γ' \ γ	40.0	42.0	44.0	46.0	48.0	50.0
100 51	9622 46	9123 46	8675 46	8270 46	7904 46	7569 46
120 51	8250 46	7802 46	7402 46	7044 46	6720 46	6426 46
140 51	7304 46	6888 46	6519 46	6190 46	5894 46	5626 46
160 51	6624 46	6228 46	5880 46	5570 46	5292 46	5042 46
180 51	6121 46	5738 46	5402 46	5104 46	4839 46	4601 46
200 51	5743 46	5366 46	5037 46	4747 46	4490 46	4261 46
220 51	5455 46	5080 46	4755 46	4470 46	4217 46	3993 46
240 51	5235 46	4859 46	4534 46	4251 46	4001 46	3780 46
260 51	5066 46	4688 46	4362 46	4078 46	3829 46	3609 46
280 51	4938 46	4555 46	4226 46	3941 46	3691 46	3471 46
300 51	4843 46	4454 46	4120 46	3832 46	3580 46	3360 46
320 51	4775 46	4378 46	4039 46	3746 46	3492 46	3270 46
340 51	4728 46	4323 46	3977 46	3680 46	3422 46	3197 46
360 51	4700 46	4285 46	3932 46	3630 46	3368 46	3140 46
380 51	4687 46	4262 46	3901 46	3593 46	3326 46	3094 46
400 51	4687 46	4251 46	3882 46	3567 46	3295 46	3060 46
420 51		4251 46	3873 46	3551 46	3274 46	3034 46
440 51			3873 46	3544 46	3261 46	3016 46
460 51				3544 46	3255 46	3005 46
480 51					3255 46	3000 46
500 51						3000 46

Compton Cross Section vs. Angle of Scattered Electron

w' \ γ	0.0	0.1	0.2	0.3	0.4	0.5	0.6	0.7	0.8	0.9
1.000	4774 49	4078 49	3708 49	3506 49	3401 49	3357 49	3351 49	3373 49	3415 49	3470 49
.990	4542 49	3848 49	3466 49	3245 49	3116 49	3043 49	3005 49	2991 49	2994 49	3008 49
.980	4323 49	3633 49	3244 49	3010 49	2864 49	2771 49	2711 49	2673 49	2650 49	2638 49
.970	4116 49	3434 49	3042 49	2799 49	2642 49	2535 49	2460 49	2407 49	2368 49	2339 49
.960	3921 49	3249 49	2857 49	2610 49	2446 49	2330 49	2247 49	2184 49	2136 49	2097 49
.950	3737 49	3077 49	2689 49	2441 49	2273 49	2153 49	2064 49	1996 49	1943 49	1899 49
.940	3564 49	2919 49	2536 49	2289 49	2120 49	1999 49	1908 49	1838 49	1783 49	1737 49
.930	3402 49	2772 49	2396 49	2153 49	1986 49	1865 49	1775 49	1705 49	1649 49	1603 49
.920	3250 49	2637 49	2270 49	2032 49	1868 49	1749 49	1661 49	1592 49	1537 49	1492 49
.910	3107 49	2512 49	2155 49	1923 49	1764 49	1649 49	1563 49	1496 49	1443 49	1400 49
.900	2974 49	2397 49	2051 49	1827 49	1672 49	1561 49	1478 49	1414 49	1364 49	1322 49
.880	2733 49	2195 49	1872 49	1664 49	1522 49	1420 49	1344 49	1286 49	1240 49	1202 49
.860	2524 49	2025 49	1728 49	1536 49	1406 49	1314 49	1245 49	1192 49	1150 49	1115 49
.840	2344 49	1884 49	1611 49	1436 49	1318 49	1234 49	1172 49	1123 49	1084 49	1051 49
.820	2190 49	1768 49	1518 49	1359 49	1251 49	1174 49	1117 49	1072 49	1034 49	1002 49
.800	2059 49	1673 49	1444 49	1299 49	1201 49	1130 49	1076 49	1032 49	9964 48	9644 48
.750	1818 49	1509 49	1325 49	1206 49	1123 49	1060 49	1010 49	9671 48	9291 48	8945 48
.700	1671 49	1420 49	1266 49	1161 49	1084 49	1021 49	9691 48	9225 48	8803 48	8413 48
.650	1589 49	1376 49	1238 49	1138 49	1059 49	9929 48	9350 48	8831 48	8358 48	7922 48
.600	1544 49	1354 49	1221 49	1118 49	1034 49	9624 48	8986 48	8414 48	7896 48	7423 48
.550	1517 49	1336 49	1202 49	1094 49	1003 49	9251 48	8561 48	7947 48	7396 48	6899 48
.500	1492 49	1311 49	1172 49	1058 49	9616 48	8784 48	8059 48	7420 48	6853 48	6348 48
.450	1454 49	1271 49	1126 49	1007 49	9075 48	8219 48	7479 48	6834 48	6269 48	5770 48
.400	1396 49	1211 49	1063 49	9423 48	8412 48	7556 48	6826 48	6196 48	5649 48	5171 48
.350	1311 49	1127 49	9808 48	8616 48	7631 48	6806 48	6108 48	5511 48	4998 48	4553 48
.300	1197 49	1020 49	8797 48	7668 48	6743 48	5977 48	5334 48	4789 48	4323 48	3923 48
.250	1053 49	8898 48	7615 48	6592 48	5763 48	5081 48	4513 48	4035 48	3629 48	3281 48
.200	8815 48	7389 48	6283 48	5408 48	4704 48	4129 48	3654 48	3256 48	2919 48	2633 48
.150	6846 48	5704 48	4825 48	4135 48	3583 48	3135 48	2765 48	2458 48	2199 48	1979 48
.100	4680 48	3881 48	3271 48	2794 48	2415 48	2107 48	1855 48	1646 48	1470 48	1321 48
.050	2375 48	1964 48	1652 48	1408 48	1215 48	1059 48	9313 47	8253 47	7364 47	6611 47
.000	0000 00	0000 00	0000 00	0000 00	0000 00	0000 00	0000 00	0000 00	0000 00	0000 00

Compton Cross Section vs. Angle of Scattered Electron

w' \ γ	1.0	1.1	1.2	1.3	1.4	1.5	1.6	1.7	1.8	1.9
1.000	3536 49	3611 49	3692 49	3778 49	3869 49	3963 49	4060 49	4159 49	4261 49	4364 49
.990	3029 49	3056 49	3087 49	3121 49	3156 49	3192 49	3228 49	3264 49	3300 49	3335 49
.980	2632 49	2631 49	2633 49	2637 49	2642 49	2648 49	2655 49	2661 49	2667 49	2672 49
.970	2317 49	2300 49	2286 49	2274 49	2264 49	2255 49	2246 49	2238 49	2230 49	2222 49
.960	2066 49	2039 49	2017 49	1997 49	1979 49	1962 49	1947 49	1932 49	1918 49	1905 49
.950	1863 49	1832 49	1806 49	1782 49	1760 49	1741 49	1722 49	1705 49	1688 49	1672 49
.940	1699 49	1666 49	1638 49	1613 49	1590 49	1569 49	1550 49	1531 49	1514 49	1497 49
.930	1565 49	1532 49	1504 49	1478 49	1455 49	1434 49	1415 49	1396 49	1378 49	1361 49
.920	1455 49	1423 49	1395 49	1370 49	1347 49	1326 49	1307 49	1288 49	1271 49	1254 49
.910	1363 49	1332 49	1305 49	1281 49	1259 49	1239 49	1220 49	1201 49	1184 49	1167 49
.900	1287 49	1258 49	1231 49	1208 49	1186 49	1166 49	1147 49	1129 49	1112 49	1095 49
.880	1170 49	1142 49	1118 49	1095 49	1074 49	1055 49	1036 49	1018 49	1000 49	9831 48
.860	1085 49	1059 49	1035 49	1013 49	9926 48	9727 48	9534 48	9348 48	9165 48	8986 48
.840	1022 49	9969 48	9730 48	9506 48	9293 48	9087 48	8887 48	8693 48	8503 48	8316 48
.820	9742 48	9481 48	9237 48	9005 48	8782 48	8567 48	8358 48	8155 48	7956 48	7762 48
.800	9354 48	9085 48	8831 48	8588 48	8354 48	8128 48	7909 48	7696 48	7489 48	7288 48
.750	8624 48	8321 48	8032 48	7757 48	7493 48	7239 48	6996 48	6762 48	6538 48	6322 48
.700	8048 48	7706 48	7383 48	7077 48	6787 48	6512 48	6252 48	6005 48	5770 48	5548 48
.650	7518 48	7142 48	6791 48	6464 48	6157 48	5870 48	5601 48	5349 48	5113 48	4890 48
.600	6989 48	6591 48	6224 48	5885 48	5572 48	5282 48	5013 48	4763 48	4531 48	4314 48
.550	6450 48	6041 48	5669 48	5329 48	5018 48	4733 48	4470 48	4229 48	4005 48	3799 48
.500	5895 48	5489 48	5122 48	4790 48	4489 48	4215 48	3965 48	3736 48	3526 48	3333 48
.450	5328 48	4934 48	4582 48	4266 48	3981 48	3724 48	3490 48	3278 48	3084 48	2907 48
.400	4750 48	4379 48	4049 48	3755 48	3492 48	3255 48	3042 48	2848 48	2673 48	2513 48
.350	4165 48	3824 48	3524 48	3257 48	3019 48	2807 48	2616 48	2443 48	2288 48	2146 48
.300	3575 48	3271 48	3005 48	2770 48	2561 48	2375 48	2208 48	2059 48	1924 48	1802 48
.250	2981 48	2721 48	2493 48	2292 48	2115 48	1958 48	1817 48	1691 48	1578 48	1475 48
.200	2386 48	2173 48	1987 48	1823 48	1679 48	1552 48	1438 48	1337 48	1246 48	1164 48
.150	1790 48	1627 48	1485 48	1361 48	1252 48	1156 48	1070 48	9939 47	9253 47	8636 47
.100	1193 48	1083 48	9882 47	9049 47	8316 47	7670 47	7095 47	6583 47	6125 47	5712 47
.050	5968 47	5414 47	4934 47	4515 47	4148 47	3823 47	3535 47	3279 47	3049 47	2843 47
.000	0000 00	0000 00	0000 00	0000 00	0000 00	0000 00	0000 00	0000 00	0000 00	0000 00

Compton Cross Section vs. Angle of Scattered Electron

w' \ γ	0.5	1.0	1.5	2.0	2.5	3.0	3.5	4.0	4.5	5.0
1.000	3357 49	3536 49	3963 49	4469 49	5009 49	5568 49	6137 49	6713 49	7293 49	7877 49
.998				4203 49	4631 49	5053 49	5458 49	5843 49	6205 49	6543 49
.996				3963 49	4301 49	4617 49	4904 49	5160 49	5384 49	5576 49
.994				3746 49	4010 49	4245 49	4445 49	4611 49	4744 49	4847 49
.992				3549 49	3753 49	3924 49	4060 49	4163 49	4235 49	4280 49
.990	3043 49	3029 49	3192 49	3369 49	3524 49	3646 49	3734 49	3791 49	3821 49	3828 49
.980	2771 49	2632 49	2648 49	2677 49	2688 49	2679 49	2652 49	2610 49	2557 49	2497 49
.970	2535 49	2317 49	2255 49	2214 49	2170 49	2118 49	2058 49	1992 49	1924 49	1853 49
.960	2330 49	2066 49	1962 49	1891 49	1825 49	1758 49	1688 49	1617 49	1547 49	1477 49
.950	2153 49	1863 49	1741 49	1657 49	1582 49	1510 49	1438 49	1367 49	1297 49	1231 49
.940	1999 49	1699 49	1569 49	1481 49	1403 49	1329 49	1257 49	1187 49	1120 49	1056 49
.930	1865 49	1565 49	1434 49	1345 49	1267 49	1192 49	1121 49	1052 49	9872 48	9262 48
.920	1749 49	1455 49	1326 49	1237 49	1159 49	1084 49	1013 49	9460 48	8830 48	8245 48
.910	1649 49	1363 49	1239 49	1150 49	1071 49	9971 48	9264 48	8602 48	7989 48	7427 48
.900	1561 49	1287 49	1166 49	1078 49	9992 48	9243 48	8540 48	7890 48	7294 48	6753 48
.890				1018 49	9378 48	8626 48	7928 48	7288 48	6708 48	6186 48
.880	1420 49	1170 49	1055 49	9661 48	8848 48	8093 48	7399 48	6771 48	6206 48	5701 48
.870				9209 48	8386 48	7627 48	6938 48	6320 48	5769 48	5280 48
.860	1314 49	1085 49	9727 48	8810 48	7976 48	7214 48	6530 48	5922 48	5385 48	4912 48
.850				8455 48	7609 48	6845 48	6166 48	5568 48	5044 48	4586 48
.840	1234 49	1022 49	9087 48	8134 48	7276 48	6511 48	5838 48	5250 48	4740 48	4295 48
.830				7842 48	6973 48	6207 48	5540 48	4963 48	4465 48	4034 48
.820	1174 49	9742 48	8567 48	7573 48	6695 48	5929 48	5268 48	4702 48	4216 48	3798 48
.810				7324 48	6437 48	5672 48	5019 48	4463 48	3989 48	3584 48
.800	1130 49	9354 48	8128 48	7092 48	6197 48	5435 48	4789 48	4243 48	3781 48	3388 48
.750	1060 49	8624 48	7239 48	6115 48	5201 48	4459 48	3857 48	3364 48	2957 48	2618 48
.700	1021 49	8048 48	6512 48	5337 48	4431 48	3727 48	3173 48	2731 48	2374 48	2082 48
.650	9929 48	7518 48	5870 48	4681 48	3806 48	3149 48	2645 48	2252 48	1939 48	1687 48
.600	9624 48	6989 48	5282 48	4112 48	3284 48	2679 48	2225 48	1876 48	1604 48	1386 48
.550	9251 48	6450 48	4733 48	3608 48	2837 48	2286 48	1881 48	1574 48	1336 48	1148 48
.500	8784 48	5895 48	4215 48	3155 48	2448 48	1953 48	1593 48	1324 48	1118 48	9571 47
.450	8219 48	5328 48	3724 48	2744 48	2104 48	1664 48	1349 48	1115 48	9372 47	7987 47
.400	7556 48	4750 48	3255 48	2367 48	1797 48	1411 48	1137 48	9355 47	7832 47	6652 47
.350	6806 48	4165 48	2807 48	2017 48	1519 48	1185 48	9505 47	7790 47	6500 47	5506 47
.300	5977 48	3575 48	2375 48	1691 48	1265 48	9817 47	7839 47	6403 47	5329 47	4503 47
.250	5081 48	2981 48	1958 48	1383 48	1028 48	7950 47	6326 47	5154 47	4280 47	3610 47
.200	4129 48	2386 48	1552 48	1089 48	8069 47	6214 47	4932 47	4010 47	3323 47	2800 47
.150	3135 48	1790 48	1156 48	8078 47	5960 47	4578 47	3626 47	2943 47	2436 47	2050 47
.100	2107 48	1193 48	7670 47	5340 47	3931 47	3014 47	2384 47	1932 47	1598 47	1344 47
.050	1059 48	5968 47	3823 47	2657 47	1953 47	1495 47	1182 47	9578 46	7917 46	6653 46
.000	0000 00	0000 00	0000 00	0000 00	0000 00	0000 00	0000 00	0000 00	0000 00	0000 00

w' \ γ	5.5	6.0	6.5	7.0	7.5	8.0	8.5	9.0	9.5	10.0
1.000	8463 49	9051 49	9640 49	1023 50	1082 50	1141 50	1200 50	1259 50	1319 50	1378 50
.998	6855 49	7142 49	7404 49	7641 49	7854 49	8044 49	8212 49	8359 49	8486 49	8594 49
.996	5738 49	5872 49	5980 49	6064 49	6127 49	6170 49	6196 49	6206 49	6204 49	6189 49
.994	4922 49	4972 49	5001 49	5011 49	5005 49	4986 49	4955 49	4915 49	4867 49	4812 49
.992	4302 49	4304 49	4289 49	4261 49	4222 49	4174 49	4118 49	4057 49	3992 49	3924 49
.990	3817 49	3790 49	3751 49	3702 49	3645 49	3583 49	3517 49	3448 49	3378 49	3306 49
.980	2431 49	2362 49	2291 49	2220 49	2150 49	2081 49	2013 49	1948 49	1884 49	1823 49
.970	1783 49	1713 49	1645 49	1580 49	1517 49	1456 49	1399 49	1344 49	1293 49	1244 49
.960	1410 49	1345 49	1283 49	1224 49	1168 49	1116 49	1067 49	1020 49	9773 48	9365 48
.950	1167 49	1107 49	1050 49	9976 48	9481 48	9018 48	8586 48	8184 48	7809 48	7459 48
.940	9967 48	9407 48	8886 48	8402 48	7954 48	7539 48	7154 48	6798 48	6467 48	6160 48
.930	8695 48	8171 48	7687 48	7242 48	6832 48	6454 48	6107 48	5786 48	5490 48	5217 48
.920	7707 48	7213 48	6761 48	6348 48	5970 48	5624 48	5306 48	5015 48	4747 48	4500 48
.910	6914 48	6448 48	6023 48	5637 48	5286 48	4966 48	4674 48	4407 48	4162 48	3937 48
.900	6263 48	5820 48	5419 48	5057 48	4729 48	4432 48	4161 48	3915 48	3690 48	3484 48
.890	5716 48	5294 48	4915 48	4574 48	4267 48	3989 48	3737 48	3509 48	3300 48	3110 48
.880	5250 48	4847 48	4488 48	4165 48	3876 48	3616 48	3380 48	3168 48	2974 48	2798 48
.870	4847 48	4462 48	4120 48	3815 48	3542 48	3297 48	3076 48	2877 48	2697 48	2533 48
.860	4495 48	4126 48	3800 48	3511 48	3252 48	3022 48	2814 48	2628 48	2459 48	2306 48
.850	4184 48	3831 48	3520 48	3244 48	3000 48	2781 48	2586 48	2411 48	2253 48	2110 48
.840	3908 48	3569 48	3271 48	3009 48	2777 48	2570 48	2386 48	2221 48	2072 48	1938 48
.830	3660 48	3335 48	3050 48	2800 48	2579 48	2383 48	2209 48	2053 48	1913 48	1787 48
.820	3437 48	3124 48	2852 48	2613 48	2403 48	2217 48	2052 48	1904 48	1772 48	1653 48
.810	3235 48	2934 48	2673 48	2445 48	2244 48	2068 48	1911 48	1771 48	1646 48	1534 48
.800	3051 48	2762 48	2511 48	2293 48	2101 48	1933 48	1784 48	1652 48	1534 48	1428 48
.750	2334 48	2093 48	1887 48	1710 48	1557 48	1424 48	1307 48	1203 48	1112 48	1030 48
.700	1840 48	1638 48	1467 48	1322 48	1197 48	1089 48	9954 47	9130 47	8405 47	7762 47
.650	1481 48	1310 48	1168 48	1047 48	9443 47	8557 47	7791 47	7123 47	6538 47	6022 47
.600	1210 48	1065 48	9450 47	8439 47	7583 47	6850 47	6219 47	5671 47	5192 47	4772 47
.550	9980 47	8750 47	7733 47	6884 47	6168 47	5557 47	5033 47	4580 47	4185 47	3840 47
.500	8281 47	7235 47	6375 47	5660 47	5059 47	4548 47	4111 47	3735 47	3407 47	3121 47
.450	6887 47	6000 47	5274 47	4671 47	4167 47	3740 47	3375 47	3061 47	2789 47	2552 47
.400	5720 47	4971 47	4360 47	3855 47	3433 47	3077 47	2773 47	2512 47	2287 47	2090 47
.350	4724 47	4097 47	3587 47	3167 47	2816 47	2521 47	2269 47	2054 47	1868 47	1706 47
.300	3856 47	3339 47	2919 47	2574 47	2286 47	2044 47	1839 47	1663 47	1511 47	1379 47
.250	3086 47	2669 47	2331 47	2053 47	1822 47	1628 47	1463 47	1322 47	1201 47	1095 47
.200	2390 47	2065 47	1801 47	1585 47	1406 47	1255 47	1128 47	1019 47	9251 46	8435 46
.150	1749 47	1509 47	1316 47	1157 47	1026 47	9159 46	8225 46	7426 46	6739 46	6143 46
.100	1145 47	9884 46	8614 46	7573 46	6710 46	5987 46	5375 46	4851 46	4401 46	4011 46
.050	5670 46	4889 46	4259 46	3744 46	3316 46	2958 46	2655 46	2396 46	2174 46	1981 46
.000	0000 00	0000 00	0000 00	0000 00	0000 00	0000 00	0000 00	0000 00	0000 00	0000 00

Compton Cross Section vs. Angle of Scattered Electron

w′ \ γ	12.0	14.0	16.0	18.0	20.0	22.0	24.0	26.0	28.0	30.0
1.000	1616 50	1854 50	2092 50	2330 50	2569 50	2807 50	3046 50	3284 50	3523 50	3762 50
.999	1148 50	1210 50	1251 50	1273 50	1281 50	1278 50	1266 50	1248 50	1226 50	1200 50
.998	8867 49	8933 49	8855 49	8680 49	8445 49	8174 49	7885 49	7590 49	7297 49	7011 49
.997	7196 49	7049 49	6819 49	6546 49	6255 49	5962 49	5675 49	5400 49	5140 49	4895 49
.996	6042 49	5804 49	5525 49	5233 49	4944 49	4667 49	4406 49	4163 49	3938 49	3730 49
.995	5197 49	4922 49	4631 49	4344 49	4072 49	3818 49	3584 49	3370 49	3175 49	2996 49
.994	4553 49	4265 49	3978 49	3704 49	3451 49	3220 49	3010 49	2820 49	2648 49	2492 49
.993	4047 49	3758 49	3480 49	3222 49	2988 49	2777 49	2587 49	2417 49	2264 49	2126 49
.992	3638 49	3354 49	3088 49	2846 49	2629 49	2436 49	2263 49	2109 49	1972 49	1849 49
.991	3302 49	3025 49	2772 49	2545 49	2344 49	2165 49	2007 49	1867 49	1743 49	1631 49
.990	3020 49	2753 49	2512 49	2299 49	2111 49	1946 49	1801 49	1672 49	1558 49	1456 49
.985	2104 49	1883 49	1694 49	1532 49	1393 49	1274 49	1170 49	1080 49	1001 49	9316 48
.980	1603 49	1418 49	1264 49	1134 49	1025 49	9326 48	8527 48	7836 48	7233 48	6703 48
.975	1288 49	1130 49	1000 49	8929 48	8029 48	7269 48	6620 48	6061 48	5576 48	5151 48
.970	1072 49	9345 48	8225 48	7306 48	6542 48	5900 48	5355 48	4887 48	4482 48	4128 48
.965	9156 48	7931 48	6947 48	6144 48	5481 48	4926 48	4456 48	4054 48	3708 48	3406 48
.960	7964 48	6863 48	5984 48	5272 48	4686 48	4198 48	3786 48	3435 48	3133 48	2872 48
.955	7028 48	6027 48	5234 48	4594 48	4070 48	3635 48	3269 48	2959 48	2692 48	2461 48
.950	6273 48	5355 48	4632 48	4052 48	3579 48	3187 48	2859 48	2581 48	2343 48	2138 48
.945	5651 48	4804 48	4141 48	3610 48	3179 48	2824 48	2527 48	2276 48	2061 48	1877 48
.940	5130 48	4344 48	3731 48	3243 48	2848 48	2523 48	2252 48	2024 48	1830 48	1663 48
.935	4687 48	3954 48	3385 48	2934 48	2569 48	2271 48	2023 48	1814 48	1637 48	1485 48
.930	4306 48	3620 48	3089 48	2669 48	2332 48	2056 48	1828 48	1636 48	1474 48	1335 48
.925	3975 48	3330 48	2833 48	2442 48	2128 48	1873 48	1661 48	1484 48	1335 48	1207 48
.920	3685 48	3076 48	2610 48	2244 48	1951 48	1713 48	1517 48	1353 48	1215 48	1097 48
.915	3428 48	2853 48	2413 48	2070 48	1796 48	1574 48	1391 48	1239 48	1111 48	1002 48
.910	3200 48	2655 48	2240 48	1917 48	1660 48	1452 48	1281 48	1139 48	1020 48	9193 47
.905	2996 48	2478 48	2085 48	1780 48	1539 48	1344 48	1184 48	1051 48	9406 47	8463 47
.900	2812 48	2319 48	1947 48	1659 48	1431 48	1248 48	1098 48	9739 47	8698 47	7817 47
.850	1655 48	1334 48	1098 48	9207 47	7829 47	6739 47	5863 47	5148 47	4557 47	4062 47
.800	1098 48	8706 47	7074 47	5861 47	4937 47	4215 47	3641 47	3177 47	2797 47	2481 47
.750	7806 47	6116 47	4922 47	4046 47	3385 47	2874 47	2471 47	2147 47	1882 47	1664 47
.700	5810 47	4512 47	3605 47	2946 47	2453 47	2074 47	1777 47	1539 47	1346 47	1187 47
.650	4466 47	3444 47	2737 47	2227 47	1847 47	1557 47	1330 47	1150 47	1003 47	8838 46
.600	3514 47	2695 47	2132 47	1729 47	1430 47	1202 47	1025 47	8848 46	7711 46	6780 46
.550	2811 47	2146 47	1692 47	1368 47	1129 47	9480 46	8070 46	6953 46	6053 46	5317 46
.500	2274 47	1730 47	1360 47	1097 47	9044 46	7579 46	6444 46	5546 46	4823 46	4233 46
.450	1852 47	1405 47	1102 47	8879 46	7304 46	6114 46	5193 46	4465 46	3880 46	3403 46
.400	1512 47	1144 47	8961 46	7207 46	5921 46	4951 46	4202 46	3610 46	3135 46	2748 46
.350	1230 47	9297 46	7269 46	5839 46	4793 46	4005 46	3396 46	2916 46	2531 46	2218 46
.300	9931 46	7489 46	5848 46	4693 46	3849 46	3214 46	2724 46	2338 46	2029 46	1777 46
.250	7874 46	5930 46	4626 46	3709 46	3040 46	2537 46	2150 46	1844 46	1600 46	1401 46
.200	6053 46	4554 46	3550 46	2845 46	2331 46	1944 46	1646 46	1412 46	1225 46	1072 46
.150	4403 46	3310 46	2579 46	2066 46	1692 46	1411 46	1194 46	1024 46	8884 45	7776 45
.100	2873 46	2159 46	1681 46	1346 46	1102 46	9192 45	7781 45	6672 45	5784 45	5062 45
.050	1418 46	1065 46	8297 45	6642 45	5437 45	4533 45	3837 45	3290 45	2851 45	2495 45
.000	0000 00	0000 00	0000 00	0000 00	0000 00	0000 00	0000 00	0000 00	0000 00	0000 00

w' \ γ	32.0	34.0	36.0	38.0	40.0	42.0	44.0	46.0	48.0	50.0
1.000	4000 50	4239 50	4477 50	4716 50	4955 50	5193 50	5432 50	5671 50	5909 50	6148 50
.999	1173 50	1144 50	1114 50	1084 50	1055 50	1026 50	9980 49	9704 49	9436 49	9176 49
.998	6734 49	6470 49	6217 49	5978 49	5751 49	5537 49	5335 49	5144 49	4963 49	4793 49
.997	4665 49	4451 49	4251 49	4065 49	3891 49	3729 49	3579 49	3437 49	3305 49	3182 49
.996	3539 49	3362 49	3199 49	3049 49	2910 49	2782 49	2662 49	2551 49	2448 49	2352 49
.995	2833 49	2684 49	2547 49	2422 49	2307 49	2201 49	2102 49	2012 49	1927 49	1849 49
.994	2351 49	2223 49	2105 49	1998 49	1900 49	1810 49	1727 49	1650 49	1579 49	1513 49
.993	2002 49	1889 49	1787 49	1693 49	1608 49	1530 49	1458 49	1392 49	1331 49	1274 49
.992	1738 49	1637 49	1547 49	1464 49	1389 49	1320 49	1257 49	1199 49	1145 49	1096 49
.991	1531 49	1441 49	1360 49	1286 49	1219 49	1157 49	1101 49	1049 49	1002 49	9579 48
.990	1366 49	1284 49	1210 49	1143 49	1083 49	1027 49	9771 48	9305 48	8877 48	8480 48
.985	8695 48	8141 48	7644 48	7196 48	6791 48	6423 48	6087 48	5779 48	5497 48	5236 48
.980	6235 48	5819 48	5447 48	5113 48	4811 48	4537 48	4288 48	4061 48	3853 48	3661 48
.975	4777 48	4445 48	4150 48	3885 48	3646 48	3430 48	3234 48	3055 48	2892 48	2742 48
.970	3818 48	3544 48	3299 48	3081 48	2885 48	2708 48	2548 48	2402 48	2269 48	2147 48
.965	3142 48	2909 48	2702 48	2518 48	2353 48	2204 48	2069 48	1947 48	1835 48	1734 48
.960	2643 48	2441 48	2263 48	2104 48	1962 48	1834 48	1719 48	1615 48	1520 48	1433 48
.955	2260 48	2083 48	1927 48	1789 48	1665 48	1554 48	1454 48	1363 48	1281 48	1207 48
.950	1959 48	1802 48	1664 48	1542 48	1433 48	1335 48	1247 48	1168 48	1096 48	1031 48
.945	1717 48	1577 48	1453 48	1344 48	1247 48	1161 48	1083 48	1013 48	9500 47	8925 47
.940	1518 48	1392 48	1281 48	1184 48	1097 48	1019 48	9502 47	8877 47	8313 47	7802 47
.935	1354 48	1239 48	1139 48	1051 48	9727 47	9030 47	8405 47	7844 47	7338 47	6880 47
.930	1215 48	1111 48	1020 48	9398 47	8687 47	8056 47	7491 47	6984 47	6528 47	6115 47
.925	1097 48	1002 48	9188 47	8455 47	7808 47	7233 47	6720 47	6260 47	5846 47	5472 47
.920	9964 47	9087 47	8322 47	7650 47	7057 47	6532 47	6063 47	5643 47	5266 47	4926 47
.915	9088 47	8279 47	7574 47	6956 47	6411 47	5929 47	5499 47	5115 47	4769 47	4458 47
.910	8325 47	7576 47	6924 47	6353 47	5851 47	5406 47	5011 47	4657 47	4340 47	4054 47
.905	7656 47	6960 47	6355 47	5826 47	5361 47	4950 47	4585 47	4259 47	3966 47	3703 47
.900	7065 47	6416 47	5854 47	5363 47	4931 47	4550 47	4212 47	3910 47	3639 47	3396 47
.850	3644 47	3288 47	2981 47	2715 47	2484 47	2281 47	2102 47	1943 47	1802 47	1675 47
.800	2215 47	1990 47	1798 47	1633 47	1489 47	1363 47	1253 47	1155 47	1069 47	9923 46
.750	1482 47	1328 47	1197 47	1084 47	9871 46	9022 46	8278 46	7623 46	7042 46	6526 46
.700	1055 47	9438 46	8492 46	7681 46	6981 46	6373 46	5841 46	5373 46	4958 46	4591 46
.650	7841 46	7004 46	6294 46	5687 46	5163 46	4709 46	4312 46	3963 46	3655 46	3382 46
.600	6009 46	5361 46	4813 46	4345 46	3942 46	3593 46	3288 46	3020 46	2784 46	2574 46
.550	4707 46	4196 46	3765 46	3396 46	3079 46	2805 46	2566 46	2356 46	2170 46	2006 46
.500	3745 46	3336 46	2991 46	2697 46	2444 46	2226 46	2035 46	1868 46	1720 46	1590 46
.450	3009 46	2679 46	2401 46	2164 46	1960 46	1784 46	1631 46	1496 46	1378 46	1273 46
.400	2429 46	2162 46	1937 46	1745 46	1580 46	1438 46	1314 46	1205 46	1109 46	1025 46
.350	1959 46	1743 46	1561 46	1406 46	1273 46	1158 46	1058 46	9709 45	8937 45	8253 45
.300	1569 46	1396 46	1250 46	1125 46	1019 46	9269 45	8467 45	7764 45	7146 45	6599 45
.250	1237 46	1100 46	9849 45	8868 45	8027 45	7299 45	6667 45	6113 45	5625 45	5194 45
.200	9466 45	8418 45	7534 45	6783 45	6138 45	5582 45	5097 45	4674 45	4300 45	3970 45
.150	6863 45	6102 45	5461 45	4916 45	4448 45	4045 45	3693 45	3386 45	3115 45	2876 45
.100	4467 45	3972 45	3554 45	3199 45	2895 45	2632 45	2403 45	2203 45	2027 45	1871 45
.050	2202 45	1958 45	1752 45	1577 45	1426 45	1297 45	1184 45	1085 45	9990 44	9222 44
.000	0000 00	0000 00	0000 00	0000 00	0000 00	0000 00	0000 00	0000 00	0000 00	0000 00

γ	Φ/ϕ_0	E_q/ϕ_0	E_e/ϕ_0	$\bar{E}_q$	$\bar{E}_e$	F_q	F_e
000 00	1000 50	0000 00	0000 00	0000 00	0000 00	1000 50	0000 00
100 49	8413 49	7722 48	6913 47	9178 48	8217 47	9178 49	8217 48
200 49	7369 49	1267 49	2065 48	1719 49	2803 48	8598 49	1401 49
300 49	6626 49	1622 49	3659 48	2447 49	5522 48	8159 49	1840 49
400 49	6067 49	1895 49	5317 48	3123 49	8763 48	7809 49	2190 49
500 49	5627 49	2115 49	6979 48	3759 49	1240 49	7519 49	2480 49
600 49	5270 49	2300 49	8621 48	4364 49	1635 49	7273 49	2726 49
700 49	4972 49	2457 49	1023 49	4942 49	2057 49	7060 49	2939 49
800 49	4719 49	2594 49	1180 49	5498 49	2501 49	6872 49	3127 49
900 49	4499 49	2715 49	1334 49	6035 49	2964 49	6705 49	3294 49
100 50	4307 49	2823 49	1483 49	6555 49	3444 49	6555 49	3444 49
110 50	4136 49	2920 49	1629 49	7060 49	3939 49	6418 49	3581 49
120 50	3982 49	3008 49	1771 49	7552 49	4447 49	6293 49	3706 49
130 50	3844 49	3087 49	1909 49	8032 49	4967 49	6178 49	3821 49
140 50	3718 49	3161 49	2044 49	8501 49	5498 49	6072 49	3927 49
150 50	3602 49	3228 49	2175 49	8961 49	6038 49	5974 49	4025 49
160 50	3496 49	3290 49	2303 49	9412 49	6587 49	5882 49	4117 49
170 50	3397 49	3348 49	2427 49	9854 49	7145 49	5796 49	4203 49
180 50	3306 49	3401 49	2549 49	1028 50	7710 49	5716 49	4283 49
190 50	3220 49	3452 49	2667 49	1071 50	8282 49	5640 49	4359 49
200 50	3141 49	3498 49	2783 49	1113 50	8861 49	5569 49	4430 49
250 50	2806 49	3694 49	3322 49	1316 50	1183 50	5265 49	4734 49
300 50	2549 49	3842 49	3804 49	1507 50	1492 50	5024 49	4975 49
350 50	2342 49	3960 49	4240 49	1690 50	1809 50	4829 49	5170 49
400 50	2172 49	4054 49	4636 49	1866 50	2133 50	4665 49	5334 49
450 50	2029 49	4133 49	5000 49	2036 50	2463 50	4525 49	5474 49
500 50	1907 49	4199 49	5335 49	2202 50	2797 50	4404 49	5595 49
550 50	1800 49	4256 49	5646 49	2363 50	3136 50	4297 49	5702 49
600 50	1706 49	4305 49	5936 49	2522 50	3477 50	4203 49	5796 49
650 50	1624 49	4347 49	6208 49	2677 50	3822 50	4118 49	5881 49
700 50	1549 49	4385 49	6463 49	2829 50	4170 50	4042 49	5957 49
750 50	1483 49	4418 49	6703 49	2979 50	4520 50	3972 49	6027 49
800 50	1422 49	4448 49	6931 49	3127 50	4872 50	3909 49	6090 49
850 50	1367 49	4475 49	7146 49	3273 50	5226 50	3850 49	6149 49
900 50	1316 49	4500 49	7351 49	3417 50	5582 50	3797 49	6202 49
950 50	1270 49	4522 49	7546 49	3559 50	5940 50	3746 49	6253 49
100 51	1227 49	4542 49	7733 49	3700 50	6299 50	3700 49	6299 49
110 51	1151 49	4578 49	8082 49	3977 50	7022 50	3616 49	6383 49
120 51	1084 49	4608 49	8404 49	4249 50	7750 50	3541 49	6458 49
130 51	1025 49	4635 49	8702 49	4517 50	8482 50	3475 49	6524 49
140 51	9741 48	4657 49	8980 49	4781 50	9218 50	3415 49	6584 49
150 51	9279 48	4678 49	9240 49	5041 50	9958 50	3360 49	6639 49
160 51	8863 48	4696 49	9485 49	5298 50	1070 51	3311 49	6688 49
170 51	8486 48	4712 49	9715 49	5552 50	1144 51	3266 49	6733 49
180 51	8144 48	4726 49	9933 49	5803 50	1219 51	3224 49	6775 49
190 51	7831 48	4739 49	1013 50	6051 50	1294 51	3185 49	6814 49

Total Cross Section and Energies

γ	Φ/ϕ_0	E_q/ϕ_0	E_e/ϕ_0	$\overline{E_q}$	$\overline{E_e}$	$\overline{F_q}$	F_e
200 51	7543 48	4751 49	1033 50	6298 50	1370 51	3149 49	6850 49
210 51	7278 48	4762 49	1052 50	6542 50	1445 51	3115 49	6884 49
220 51	7033 48	4771 49	1070 50	6784 50	1521 51	3083 49	6916 49
230 51	6806 48	4780 49	1087 50	7024 50	1597 51	3054 49	6945 49
240 51	6594 48	4789 49	1103 50	7262 50	1673 51	3026 49	6973 49
250 51	6396 48	4797 49	1119 50	7499 50	1750 51	2999 49	7000 49
260 51	6211 48	4804 49	1134 50	7734 50	1826 51	2974 49	7025 49
270 51	6038 48	4811 49	1149 50	7967 50	1903 51	2950 49	7049 49
280 51	5874 48	4817 49	1163 50	8199 50	1980 51	2928 49	7071 49
290 51	5721 48	4823 49	1176 50	8430 50	2056 51	2906 49	7093 49
300 51	5576 48	4828 49	1189 50	8659 50	2134 51	2886 49	7113 49
320 51	5308 48	4838 49	1214 50	9114 50	2288 51	2848 49	7151 49
340 51	5068 48	4847 49	1238 50	9564 50	2443 51	2813 49	7186 49
360 51	4850 48	4855 49	1260 50	1001 51	2598 51	2780 49	7219 49
380 51	4652 48	4862 49	1281 50	1045 51	2754 51	2750 49	7249 49
400 51	4471 48	4869 49	1301 50	1089 51	2910 51	2722 49	7277 49
420 51	4304 48	4874 49	1320 50	1132 51	3067 51	2696 49	7303 49
440 51	4151 48	4880 49	1338 50	1175 51	3224 51	2671 49	7328 49
460 51	4009 48	4885 49	1355 50	1218 51	3381 51	2648 49	7351 49
480 51	3877 48	4889 49	1372 50	1261 51	3538 51	2627 49	7372 49
500 51	3755 48	4894 49	1388 50	1303 51	3696 51	2606 49	7393 49
550 51	3482 48	4903 49	1425 50	1407 51	4092 51	2559 49	7440 49
600 51	3249 48	4910 49	1458 50	1511 51	4488 51	2518 49	7481 49
650 51	3048 48	4917 49	1489 50	1613 51	4886 51	2481 49	7518 49
700 51	2872 48	4923 49	1518 50	1713 51	5286 51	2448 49	7551 49
750 51	2717 48	4928 49	1545 50	1813 51	5686 51	2417 49	7582 49
800 51	2579 48	4932 49	1570 50	1912 51	6087 51	2390 49	7609 49
850 51	2455 48	4936 49	1593 50	2010 51	6489 51	2364 49	7635 49
900 51	2344 48	4939 49	1615 50	2107 51	6892 51	2341 49	7658 49
950 51	2243 48	4942 49	1636 50	2203 51	7296 51	2319 49	7680 49
100 52	2151 48	4945 49	1656 50	2299 51	7700 51	2299 49	7700 49

REPORT LIBRARY
REC. FROM DA
DATE 4-1-53
RECEIPT ✓